

Ассоциация Нетрадиционных Исследований

Торсионные поля и информационные взаимодействия – 2016

Материалы V-й международной научно-практической
конференции

Москва

10-11 сентября 2016 г.

Москва - 2016

УДК 53.04+537.867+537.868+539.143.42

Торсионные поля и информационные взаимодействия – 2016: Материалы V-й международной научно-практической конференции. Москва, 10-11 сентября 2016 г. – М., 2016 - 270 с.

Материалы настоящей конференции доступны в Интернете:
<http://www.second-physics.ru/node/31>

Редактор В.А. Жигалов

Подписано в печать 23.08.16. Усл. печ. л. 22. Уч.-изд. л. Формат 60x84/16. Печать офсетная.
Тираж 300 экз.

Программный комитет

Шипов Г.И. - д.ф.-м.н., академик РАЕН;

Маленков А.Г. - зам. председателя программного комитета, д.б.н., почетный вице-президент РАЕН;

Бобров А.В. - к.б.н., почетный академик РАЕН, доцент ГОУ ВПО ОрелГТУ;

Шарков В.Ф. - д.ф.-м.н., член Академии инженерных наук им. А.М.Прохорова, Российской академии космонавтики им. К.Э.Циолковского;

Панов В.Ф. - д.ф.-м.н., профессор Пермского Государственного Национального Исследовательского Университета;

Полетаев А.И. - д.ф.-м.н., профессор, Центр теоретических проблем физико-химической фармакологии РАН;

Смирнов А.Ю. - к.б.н.;

Кернбах С. - Dr.rer.nat., академик РАЕН, Cybertronica Research, Research Center of Advanced Robotics and Environmental Science;

Жигалов В.А. - и.о. председателя программного комитета, к.т.н., Ассоциация Нетрадиционных Исследований;

Мельник И.А. - д.г.-м.н., ТФ ФГУП “СНИИГГиМС”;

Шкатов В.Т. - к.ф.-м.н.

От редактора

Настоящий сборник представляет первый юбилей конференции по торсионным полям, которая проводится в пятый раз. Начатая как инициатива нескольких человек в 2009 году, и как некоторый вызов, в настоящее время это почти устоявшаяся традиция. Стабильным становится количество докладов в сборнике (их всего на несколько штук больше, чем в 2014 году), более-менее одни и те же темы затрагиваются в докладах. С одной стороны, это может говорить о сложившейся нише для исследователей. С другой – об отсутствии того развития, которое было бы адекватно поднимаемым вопросам и получаемым результатам.

Почему мы не видим желаемого развития? Помимо известных причин, относящихся к социологии науки, данная область исследований сталкивается с трудностями философского и методологического характера. Эти вопросы уже много раз поднимались в докладах конференции, но мне бы хотелось во вступлении к данному сборнику заострить некоторые противоречия, характерные для всего направления торсионных исследований. Прежде всего – это большой разрыв между теорией и экспериментом. В данном сборнике видно, что экспериментальные работы составляют большинство, а теоретические работы как бы парят в отрыве от них. Тот слой научных работ, который призван заполнить этот промежуток между абстракциями теоретической физики, и конкретными экспериментальными фактами, ещё не сформирован. Это можно трактовать как начальный этап для всего направления: критический пул экспериментальных данных ещё не накоплен, притом что в отдельных областях эти явления уже применяются на практике.

Второе противоречие относится к тому, что данное направление и его результаты для полноценного развития должны широко обсуждаться в рамках академической науки, однако этого не происходит по той причине, что это направление и его результаты выходит за рамки господствующей парадигмы. Смена парадигмы, столь желанная для многих исследователей, только зреет, и эта новая парадигма будет входить в науку, скорее всего, гораздо медленнее, чем это происходило в период научных революций начала 20 века. Конечно, каждый доклад на данной конференции льёт воду на мельницу новой парадигмы, но мы даже приблизительно не можем сказать, сколько таких «капель» нужно, чтобы колесо естествознания снова повернулось, открывая новые горизонты, видные не только узкому кругу исследователей, но также многим и многим людям.

Наконец, ещё одно противоречие упирается в особенность торсионных исследований, если под ними понимать именно приборные эксперименты: они были изначально локализованы в СССР, и с большой неохотой распространялись за его пределы. Наука, между тем, не может развиваться в пределах каких-то географических и языковых границ, она интернациональна, и её суть заключается, прежде всего, в бескорыстном служении истине. Если какая-то идея верна, то для неё не будет помехой и языковой барьер, особенно при современном уровне развития информационных технологий. Мы видим, что понемногу к результатам, которые сначала были засекречены, затем частично рассекречены, затем объявлены лженаучными, проявляется интерес со стороны многих исследователей во многих странах. Данный сборник содержит не так много иностранных докладов, но будем считать, что распространение новых интересных, удивительных, «странных» результатов, как подтверждение перспективности развития торсионных исследований и технологий, только начинается.

В.А. Жигалов

ОГЛАВЛЕНИЕ

| | |
|---------------------------------------------------------------------------------------------------------------------------------------------------------------------------------------------|-----|
| ПРОГРАММНЫЙ КОМИТЕТ | 3 |
| ОТ РЕДАКТОРА | 4 |
| ОГЛАВЛЕНИЕ..... | 5 |
| ФИЛОСОФИЯ. МЕТОДОЛОГИЯ | 7 |
| БУДУЩАЯ НОВАЯ ФУНДАМЕНТАЛЬНАЯ ФИЗИЧЕСКАЯ ТЕОРИЯ. ЧТО ДОЛЖНО БЫТЬ ОБЪЯСНЕНО И ЧЕГО НЕ СТОИТ ОЖИДАТЬ..... | 7 |
| Д.Н. Куликов..... | 7 |
| ТЕОРЕТИЧЕСКИЕ МОДЕЛИ. ОБЗОРЫ..... | 18 |
| МАГНЕТИЗМ И ВИРТУАЛЬНЫЕ ЧАСТИЦЫ | 18 |
| Л.Б. Болдырева | 18 |
| ПОЛЯ И СИЛЫ ИНЕРЦИИ КАК ОБЪЕКТ НАУЧНОГО ИССЛЕДОВАНИЯ | 24 |
| Г.И. Шипов..... | 24 |
| THE GEOMETRY OF ENERGY – MOMENTUM TENSOR..... | 28 |
| Mariya Podarovskaya and Gennady Shipov | 28 |
| ПОЛЯ ЭЛЕКТРОДИНАМИКИ ОРИЕНТИРУЕМОЙ ТОЧКИ В НАУЧНОМ И ТЕХНОЛОГИЧЕСКОМ АСПЕКТЕ..... | 32 |
| Е.А. Губарев..... | 32 |
| ПРИМЕР УПРАВЛЯЮЩЕГО ВОЗДЕЙСТВИЯ НЕБЕСНЫХ ТЕЛ И О НЕРЕАЛЬНОСТИ НЕКОТОРЫХ ГИПОТЕТИЧЕСКИХ МОДЕЛЕЙ С МГНОВЕННЫМ ПЕРЕНОСОМ ЭНЕРГИИ, НО РЕАЛЬНОСТИ БЕЗЭНЕРГЕТИЧЕСКИХ УПРАВЛЯЮЩИХ ВОЗДЕЙСТВИЙ..... | 37 |
| С.А. Васильев | 37 |
| О МЕХАНИЗМАХ ПОДСОЗНАНИЯ И ПАМЯТИ..... | 42 |
| А.В. Бобров..... | 42 |
| О ПОЛЕВОЙ ФОРМЕ КОММУНИКАЦИИ БИОЛОГИЧЕСКИХ СИСТЕМ..... | 62 |
| Ю.В. Гуров, Д.Ю. Гуров | 62 |
| СРАВНИТЕЛЬНЫЕ СВОЙСТВА РАЗЛИЧНЫХ ВИДОВ ИЗЛУЧЕНИЯ | 70 |
| Н.А. Колтовой | 70 |
| ЭКСПЕРИМЕНТ. ПРАКТИКА | 73 |
| ИСПОЛЬЗОВАНИЕ ГЕНЕРАТОРОВ СВМ-ПОЛЕЙ В МЕТАЛЛУРГИИ..... | 73 |
| В.Ф. Панов, С.А. Курапов, А.Е. Бояршинов | 73 |
| ИССЛЕДОВАНИЕ ВЛИЯНИЯ СПИНОРНОГО ПОЛЯ НА ПЛЕСНЕВЫЕ ГРИБЫ В ПИТАТЕЛЬНОЙ СРЕДЕ... | 77 |
| А.В. Клюев, А.Е. Бояршинов, С.А. Курапов, В.Ф. Панов | 77 |
| ВЗАИМОДЕЙСТВИЕ ВИХРЕВОГО ТЕЧЕНИЯ И ОСЕВОГО ПОТОКА В ГИДРОМАШИНАХ | 79 |
| А.А. Анкудинов, В.Д. Шкилев..... | 79 |
| О ВЛИЯНИИ ВИХРЕВЫХ ТОРСИОННЫХ ВОЗДЕЙСТВИЙ (ПОЛЯ МЫСЛИ) НА СВОЙСТВА СПЛАВОВ СИЛУМИНОВ | 85 |
| Шкилев В.Д., Беккель Л.С., Хайченко В.Е., Филиппова И.А., Головачева Ю.Г. | 85 |
| О ВОЗМОЖНОСТИ ИСПОЛЬЗОВАНИЯ НЕЭЛЕКТРОМАГНИТНОГО ИЗЛУЧЕНИЯ ДЛЯ ПЕРЕДАЧИ ЭЛЕКТРОМАГНИТНОГО СИГНАЛА (СВЯЗИ)..... | 97 |
| А.В. Каравайкин..... | 97 |
| МЕТОД ДЕТЕКТИРОВАНИЯ ВОЗДЕЙСТВИЙ НЕЭЛЕКТРОМАГНИТНОЙ ПРИРОДЫ | 103 |
| А.В. Каравайкин..... | 103 |
| ВОПРОСЫ ВОЗНИКНОВЕНИЯ ДОПОЛНИТЕЛЬНОЙ ЭЛЕКТРОДВИЖУЩЕЙ СИЛЫ В ЭЛЕКТРИЧЕСКИХ ПРИБОРАХ ГЕНЕРИРУЮЩИХ НЕЭЛЕКТРОМАГНИТНЫЕ ИНФОРМАЦИОННЫЕ ПРОЦЕССЫ | 112 |
| А.В. Каравайкин..... | 112 |

| | |
|---------------------------------------------------------------------------------------------------------------------------------------------------------------------------|-----|
| ОТ ЧЕГО И КАК ЗАВИСИТ СРЕДНЯЯ СКОРОСТЬ ДОСТИЖЕНИЯ КОНТАКТА ИЗМЕРИТЕЛЬНОГО КОМПЛЕКСА GRG-01M1 С РАЗНОУДАЛЁННЫМИ ОБЪЕКТАМИ ПРИ РАБОТЕ ЧЕРЕЗ ИХ ЭЛЕКТРОННЫЕ ИЗОБРАЖЕНИЯ..... | 120 |
| <i>В.Т. Шкатов</i> | 120 |
| ВЛИЯНИЕ МОЛИТВ, ЦЕЛЕБНЫХ КАМНЕЙ И ПИРАМИД НА ВРАЩЕНИЕ ПОЛЯ, ЗАРЕГИСТРИРОВАННОЕ АППАРАТОМ SEVA-INTEGRAL-M-3 НАД ГОЛОВОЙ ЧЕЛОВЕКА..... | 132 |
| <i>С.М. Бланк, М.С. Кринкер, Н.В. Виртуозов</i> | 132 |
| РАСКРУТКА ПОЛЕВОГО ГИРОСКОПА ВНЕШНИМИ ВОЗДЕЙСТВИЯМИ | 141 |
| <i>М.С. Кринкер</i> | 141 |
| METHODS AND INSTRUMENTS TO INCREASE A SIGNAL-TO-NOISE RATIO IN THE IMAGE-ADDRESSING-BASED TORSION FIELD COMMUNICATION..... | 148 |
| <i>Mark Krinker</i> | 148 |
| МЕДЛЕННО МЕНЯЮЩИЕСЯ БИОЛОГИЧЕСКИЕ ЧАСЫ, ИСПОЛЬЗУЮЩИЕ ТОРСИОННЫЕ ПОЛЯ | 153 |
| <i>Диана Войтковяк, Бернардетта Глембицка, Кажимеж Радушкевич, Мирослава Скурковска, Анджей Фрыдерыховски</i> | 153 |
| ГЕОПАТОГЕННЫЕ ЗОНЫ ПРИРОДНОГО ПРОИСХОЖДЕНИЯ И ПРИБОРЫ ДЛЯ ИХ РЕГИСТРАЦИИ | 168 |
| <i>С.Ю. Стороженко</i> | 168 |
| ПРИМЕНЕНИЕ СПОСОБА И ТЕХНОЛОГИИ ДИСТАНЦИОННОГО ПОИСКА ВОЗДУШНЫХ СУДОВ И ПОДЗЕМНЫХ УГОЛЬНЫХ ПОЖАРОВ..... | 172 |
| <i>Ю.П. Кравченко, Р.Р. Ялчин, А.В. Черных, Д.В. Колоколов</i> | 172 |
| МАССОДИНАМИЧЕСКОЕ ВЗАИМОДЕЙСТВИЕ В ВИХРЕВЫХ ПРОЦЕССАХ..... | 176 |
| <i>В.Н. Самохвалов</i> | 176 |
| ЭЛЕКТРОМАГНИТНЫЙ УЮТ ЖИЛИЩА И ВИХРЕВЫЕ ПОЛЯ В НЁМ: ВЛИЯНИЕ НА ЗДОРОВЬЕ..... | 181 |
| <i>В.В. Брунов</i> | 181 |
| МЕГАЛИТЫ И ИХ ЗНАЧЕНИЕ В КУЛЬТУРЕ | 189 |
| <i>В.В. Брунов, Ю.П. Кравченко</i> | 189 |
| АНАЛИЗ АНАЛОГИЙ В СТРОЕНИИ И ФУНКЦИИ МЕГАЛИТОВ И СВЯТИЛИЩ | 201 |
| <i>В.В. Брунов</i> | 201 |
| ИССЛЕДОВАНИЕ ВОЛОГОДСКИХ СНЕЖНЫХ ПИРАМИД | 207 |
| <i>В.В. Брунов</i> | 207 |
| «КОСТЕР НА ВЕТРУ» ИЛИ О ТАК НАЗЫВАЕМОЙ ЭКСТРАСЕНСОРИКЕ И О ВОЗДЕЙСТВИИ СВЯТИЛИЩ НА ЛЮДЕЙ | 218 |
| <i>В.В. Брунов</i> | 218 |
| ПОЕЗДКА НА «ВОЛОГОДСКИЕ ДОЛЬМЕНЫ» 19 МАЯ 2016 Г. | 221 |
| <i>В.И. Чернышов, И.Ф. Никитинский, В.В. Брунов, Д.А. Кузнецов, А.В. Парамонова</i> | 221 |
| НАБЛЮДЕНИЯ ЗА ВЛИЯНИЕМ СОЛНЕЧНОГО ЗАТМЕНИЯ 20.03.2015 Г. НА ЛЮДЕЙ, ЖИВОТНЫХ, РАСТЕНИЯ | 223 |
| <i>В.В. Брунов</i> | 223 |
| ИЗМЕНЕНИЕ СОСТОЯНИЯ ВОДЫ И СЕМЯН ПРИ ДЕЙСТВИИ НАМЕРЕНИЙ ОПЕРАТОРА В ВИДЕ БУКВЕННЫХ ТЕКСТОВ, ЦИФРОВЫХ КОДОВ И ГЕОМЕТРИЧЕСКИХ ФИГУР..... | 227 |
| <i>С.Н. Маслоброд, М.А. Андрияшева</i> | 227 |
| НЕКОТОРЫЕ ПОДХОДЫ К СОЗДАНИЮ КОНЦЕПТУАЛЬНОЙ И ЭЛЕМЕНТНОЙ БАЗЫ КВАНТОВЫХ ГЕНЕРАТОРОВ ПЛАЗМАТОРСИОННОГО ИЗЛУЧЕНИЯ | 239 |
| <i>А.Ю. Смирнов</i> | 239 |
| ATTEMPTS TO DETECT THE TORSION FIELD NATURE OF SCALAR WAVE GENERATED BY DUAL TESLA COIL SYSTEM..... | 258 |
| <i>Gao Peng</i> | 258 |

ФИЛОСОФИЯ. МЕТОДОЛОГИЯ

БУДУЩАЯ НОВАЯ ФУНДАМЕНТАЛЬНАЯ ФИЗИЧЕСКАЯ ТЕОРИЯ. ЧТО ДОЛЖНО БЫТЬ ОБЪЯСНЕНО И ЧЕГО НЕ СТОИТ ОЖИДАТЬ

Д.Н. Куликов

dmitriy_koulikov@mail.ru

В статье рассматривается актуальность разработки новой фундаментальной физической теории, которая должна объяснить природу эффектов, обуславливаемых наличием скрытой структуры физического вакуума, и ряд других эффектов, наблюдавшихся в различных исследованиях специфической группы парадоксальных физических явлений. Показано, что подобная физическая концепция имеет огромный объяснятельный-предсказательный потенциал в виде множества следствий. Рассмотрен пример реализации подобной физической концепции (на основе модели "расслоенных физических пространств") российским физиком И.Л.Герловиным. Показана невозможность объяснения на основе этой ожидаемой новой фундаментальной физической теории специфической группы парадоксальных физических и биофизических явлений.

Так или иначе, в научном сообществе всегда имеется явление некоторого недовольства текущим состоянием дел в различных теоретических объяснениях природы мира, сомнений и ожидания возникновения чего-либо нового, способного улучшить ситуацию, попытки поиска и создания этого нового. В сущности, это то, что предотвращает превращение науки в религию со слепой верой в набор догм. В современной фундаментальной физике подобное "кипение мысли" является нормальным жизненным состоянием, но оно несколько ограничено общепринятыми "правилами хорошего тона" в виде поиска подтверждения своим идеям в различных экспериментальных проверках и данных. В частности, именно из-за этого расходуются огромные средства на эксперименты на установках типа "Большого адронного коллайдера". Чтобы аргументировано говорить о необходимости глубоких изменений в фундаментальных теоретических представлениях о природе мира, необходимо наглядно выявить, что имеющиеся представления в чём-либо существенно неверны. Но в настоящее время никаких подобных проблем не выявлено. Проблемы теоретического объяснения, конечно же есть, но они выглядят локальными, фрагментарными. Физики-теоретики исходя из своего опыта, знаний и представлений проводят эксперименты, которые, в целом, показывают, что их опыт, знания и представления на вполне хорошем уровне.

Примерно такая же ситуация в науке была в конце XIX столетия, когда считалось общепринятым, что комплекс теоретических объяснений всех физических свойств и явлений уже сформирован, а некоторые имеющиеся проблемы теоретических объяснений являются локальными и фрагментарными, не способными это изменить. Но в начале XX века Макс Планк попытался нестандартным образом решить одну из наиболее существенных подобных "локальных проблем" теоретической физики. И, в результате, человечество получило, фактически, совершенно другую физику, хотя "старая физика" сохранила в ней своё место.

В настоящее время в современной теоретической физике сформировалась почти полностью аналогичная ситуация. Разница заключается лишь в том, очередная "локальная проблема" физики пока не проявила себя наглядным образом в глазах "научного большинства".

Усилиями множества инициативных и талантливых исследователей не только в области физики, но и в множестве других научных областей, было сформировано понимание

наличия некоторой внешне расплывчатой области явлений с чрезвычайно разнообразной, но имеющую определённую общность природой, имеющих явное несоответствие существующим теоретическим представлениям о физическом мире. Их можно условно охарактеризовать как явления пока неизвестной ("неклассической") физической природы или как "явления новой фундаментальной физики". По стечению обстоятельств, наибольшую известность (по крайней мере, в России) получила часть исследований этой области явлений, получившая наименование "торсионика", поскольку значительная часть этих явлений была интерпретирована их исследователями как гипотетические "торсионные явления" с набором специфических общих свойств. На самом деле, далеко не все исследования "явлений новой фундаментальной физики" имеют подобную "бирку", часть их имеет другие наименования гипотетических действующих физических агентов или механизмов, а другая значительная часть вовсе не имеет какой либо интерпретации их физической сути за исключением констатации, что это не соответствует имеющимся физическим представлениям. Составление перечня множества данных исследований было бы большой работой для последующих любителей научной истории.

В целом, речь о накоплении в современной физике не расплывчатого недовольства состоянием дел в целом (что можно считать "нормой жизни"), а вполне конкретизированного недовольства из-за отсутствия достоверного объяснения группы физических явлений с определённой общностью именно на фундаментальном физическом уровне. В рамках данной статьи нет возможности и смысла зарываться в детализацию результатов исследований данной специфической группы "явлений новой фундаментальной физики". Более практично попытаться выделить некоторую "эссенцию сути" того что именно должна объяснить эта "новая фундаментальная физика". Конечно, это чрезвычайно трудная задача, которая неизбежно имеет влияние сугубо авторской точки зрения, исходя из его опыта, знаний, информированности и субъективных физических представлений. Тем не менее, автор надеется, что ему удастся обеспечить в этом определённый полезный результат.

1) Эффекты, обуславливаемые наличием скрытой структуры физического вакуума.

При прочтении этой фразы практически все исследователи (отнюдь не только физики) сразу вспоминают о достопамятных "теориях эфира", которые непрерывно разрабатывались в множестве различных вариантов с тех пор, как в начале XX века большинство физиков отказалось от идеи существования "физического эфира" [1-2] В действительности, как ни странно, "скрытая структура физического вакуума" может представлять собой нечто совсем другое, чем "физический эфир". Традиционное понятие "физического эфира" так или иначе, всегда подразумевает его материальность, проявленность в физическом мире в виде какой-либо (пусть даже самой экзотической по свойствам) субстанции. Но в конце XX-го века появились новые чрезвычайно сложные и перспективные физико-математические концепции многомерной физической среды ("расслоёных физических пространств"). Расслоёное пространство – понятие, широко используемое в современной высшей математике. В нём система дополнительных одно к другому подпространств рассматривается как математическая конструкция, в которой пространство, охватывающее все её элементы, называется объемлющим пространством, а вложенные в него подпространства делятся на "базу расслоения" и какие-либо другие "физические слои". Есть основания полагать, что подобная физико-математическая модель имеет реальный, конкретный физический смысл. При этом, наблюдаемое нами как окружающий мир "лабораторное" физическое подпространство может быть принято в качестве "базы расслоения", вне которой находятся специфические физические подпространства, в которых проявляется скрытая структура элементарных частиц и осуществляются различные скрытые (по отношению к "лабораторному" физическому пространству) физические взаимодействия. Основные квантовые параметры, наблюдаемые в нашем "лабораторном" подпространстве (масса, заряд, спин, магнитный момент и т.д.) формируются в других слоях "расслоенного физического пространства".

Таким образом, эффекты, обуславливаемые наличием скрытой структуры физического вакуума, могут быть объяснены не существованием традиционно понимаемого "физического эфира", а существованием реального расслоения некого объемлющего физического пространства, при котором скрытые от нас процессы в других физических слоях обуславливают внешне парадоксальные эффекты в доступном для наших приборных измерений и физических ощущений физическом пространстве.

Необходимо отметить, что уже, примерно, к 1990 году российским физиком И.Л.Герловиным была сформирована подобная физическая концепция, которая имеет весьма высокую степень проработки детализации, взаимосвязей множества возникающих физических аспектов [3-7].

Также необходимо отметить, что "эффекты, обуславливаемые наличием скрытой структуры физического вакуума", включают в себя почти всё чрезвычайное внешнее разнообразие того, что можно отнести к "явлениям новой фундаментальной физики".

2) Физические закономерности строения и свойств элементарных частиц, взаимосвязи фундаментальных физических констант.

Данная постановка вопроса выглядит грандиозной, но она объективно закономерна. Современные физики привыкли не вдаваться в рассуждения подобного уровня сложности исходя из отсутствия возможности как-либо подступиться к проблеме. Но по справедливому рассуждению, такие закономерности должны существовать. Природа основана на последствиях физических случайностей, но в ней также имеется логика и гармония сложных физических закономерностей, из-за которых, в целом, "всё именно так, а не по другому". Есть весьма большая вероятность, что в процессе формирования теории, объясняющей "эффекты скрытой структуры физического вакуума", удастся выяснить и эти закономерности. Например, это получило своё весьма проработанное, детализированное объяснение в упомянутой физической теории И.Л.Герловина.

3) Физическая природа электрического и магнитного полей, а также явления гравитации.

Такая постановка проблематики может многих смутить, поскольку упоминаются казалось бы совершенно давно и хорошо изученные наукой явления. Тем не менее, благополучие с их объяснением на фундаментальном физическом уровне природы полностью иллюзорно. В частности, многие специалисты в области электродинамики аргументировано поднимают вопрос являются ли электрическое и магнитное поле самостоятельными физическими сущностями или же одна из них имеет первопричинный характер. Встречаются высказывания, что "для непротиворечивого отражения физической сущности законами электродинамики необходимо полностью отказаться от любых понятий "магнитного поля" как некой самостоятельной сущности". Это, конечно, далеко не единственный из имеющихся спорных вопросов электродинамики, но он затрагивает фундаментальную суть природы. Например, в теории И.Л.Герловина предполагается существование в одном из слоёв расслоённого физического пространства специфических источников магнитного поля – Дираковских магнитных монополей. Специфика динамики этих магнитных монополей различным образом отражается на физических процессах в других слоях расслоённого физического пространства, в конечном счёте, порождая эффекты в наблюдаемом нами "лабораторном" пространстве. Но в настоящее время нет оснований для уверенности, что магнитное поле, действительно, имеет первопричинный характер. Теория И.Л.Герловина ещё не была в достаточной степени проанализирована специалистами по теоретической физике, и вполне может быть сформирована какая-либо другая, более совершенная теоретическая концепция.

Точно так же совершенно неочевидна истинная фундаментальная природа явления гравитации. Формирование верифицированной фундаментальной теоретической концепции объясняющей "эффекты скрытой структуры физического вакуума" практически неизбежно заставит пересмотреть все существующие идеи по этому поводу.

4) Физическая природа эффектов глобальных космофизических влияний на различные физические процессы.

Объяснение природы этого феномена также является принципиально важным и затрагивает фундамент физических представлений. Основа исследований этих феноменов была сформирована российским биофизиком С.Э.Шнолем [8-12]. Он обратил внимание на наличие "макроскопических флуктуаций", которые представляют собой синхронные в разных географических пунктах, но по одинаковому местному времени, возрастания вероятности реализации одинаковой детальной структуры распределений результатов измерений процессов разной природы. То есть, они представляют собой большую степень подобия формы гистограмм, построенных по результатам последовательных измерений параметров процессов разной природы (от химических (биохимических) реакций до радиоактивного распада). При этом наблюдается чёткая цикличность этого эффекта с периодами равными 24 часам (приблизительно), 27 суткам и году. Как было выяснено при длительных экспериментальных наблюдениях, форма гистограмм измерений определяется экспозицией данного участка земной поверхности относительно сферы неподвижных звезд, т.е. привязана не к "солнечным" (24ч), а к "звёздным" (23 часов 56 минут) суткам.

В настоящее время результаты, полученные С.Э.Шнолем, уже подтверждены многими другими исследованиями. Например, взаимосвязь параметров радиоактивного распада с космофизическими факторами циклического характера также была обнаружена исследователями США (Ядерный центр Университета штата Охайо в Коламбусе и Брукхавенская национальная лаборатория (Brookhaven National Laboratory)) и Германии (Physikalisch-Technische Bundesanstalt).

5) Физическая природа "эффекта геометрических форм".

Данный эффект проявляется во многих "явлении новой фундаментальной физики", но наиболее существенное значение (причём практическое) имеет в области исследования "торсионных" явлений [13-14]. Он заключается в зависимости неких фундаментальных свойств физической среды от геометрической формы расположенных в ней материальных объектов. Определённые геометрические формы объектов создают неоднородности свойств физической среды вокруг и внутри них со специфичными для этих форм зонами концентрации действующих факторов пока неизвестной физической природы. Это, например, даёт возможность создавать с помощью подобных экспериментально и интуитивно найденных эффектов различное экспериментальное оборудование для исследования "торсионных" явлений, которое работает намного эффективнее и более управляемо.

Первично "эффект геометрических форм" был обнаружен и практически использован чрезвычайно давно, в древнейшие эпохи развития человечества. Это было сделано с помощью тех или иных форм "экстрасенсорного" восприятия и использовалось для создания строений и помещений с необходимыми благоприятными "биоэнергетическими" свойствами для людей. В XX-м веке это получило более совершенное и сложное развитие сначала в экспериментах в области "биолокации", а затем "торсионники".

Также необходимо отметить, что весьма близко к "эффектам геометрических форм" соотносится наблюдавшийся в экспериментах А.Ю.Смирнова эффект чередования пространственных максимумов специфических проявлений "торсионных" эффектов [15-17]. Возможно, эти эффекты получат общее объяснение.

Автор рассмотрел лишь несколько сформированных к настоящему времени принципиально важных вопросов физической природы, объяснение которых стоит ожидать от "новой фундаментальной физической теории". Причём ни один из них, за исключением последнего, внешне не связан с тематикой исследований "торсионники". На самом деле, необходимо понимать, что в физике существуют определённые фундаментальные концепции, теории, которые являются источником множества других концепций и теорий,

являющихся их косвенными следствиями. Примерами подобных фундаментальных концепций являются квантовая теория Макса Планка, специальная и общая теории относительности Альберта Эйнштейна. Формирование физической концепции достоверно объясняющей "эффекты, обуславливаемые наличием скрытой структуры физического вакуума", способно стать своеобразным "локомотивом", который потянет из тоннеля непознанного бесконечную вереницу теоретических объяснений самых разных частных физических аспектов. При этом стоит ожидать не только объяснение природы "явлений новой фундаментальной физики", включая "торсионные" явления, но и переосмысление природы казалось бы привычных явлений физики. В частности, есть основания ожидать, что это объяснит все другие вопросы фундаментальной физической природы, рассмотренные автором. Также можно надеяться, что это попутно приведёт к формированию базиса нелинейной квантовой механики, которая призвана объяснить связь микромира (квантовых явлений с вероятностной природой) с макромиром [19].

Возникающий комплекс последствий попытки создания подобной фундаментальной концепции можно оценить на примере ранее упомянутой "Теории фундаментального поля" И.Л.Герловина. "Теория фундаментального поля" (ТФП) объединяет все виды известных взаимодействий в веществе: сильное, слабое, электромагнитное и гравитационное, – рассматривая их как разные проявления одного фундаментального поля.

На основе ТФП И.Л.Герловиным был открыт периодический закон элементарных частиц, что является огромным событием в квантовой физике. Найденные в ТФП расчётные формулы позволили теоретически вычислить массы, заряды, спины, магнитные моменты, времена жизни и другие квантовые характеристики всех элементарных частиц, как известных из опыта, так и ещё не обнаруженных. Совпадение теоретических данных с опытными в пределах точности теории и эксперимента оказалось полным.

ТФП открыла уникальную возможность вычисления всех мировых физических констант (включая безразмерные), в том числе, известных размерных постоянных из безразмерных постоянных, найденных в ТФП. При этом все постоянные ТФП – прямое следствие её уравнений и не содержат подгоночных параметров характерных для ныне общепринятой квантовой физики.

ТФП не входит в противоречие с известными общепринятыми физическими теориями, а только обосновывает постулаты, на которых они основаны, и устанавливает границы применимости этих постулатов. Таким образом, ТФП – не альтернатива общепринятым теориям, она развивает и углубляет эти представления на новом уровне научного понимания, устранивая многие ранее необъяснимые парадоксы.

В "Теории фундаментального поля" впервые:

- 1) найдены физические явления, ответственные за квантовые и релятивистские свойства, определены границы области применимости этих свойств;
- 2) найдена структура физического вакуума, рассматриваемого как структурированная материальная субстанция, сформулированы и вычислены свойства физического вакуума;
- 3) найден "периодический закон" для кварковых структур элементарных частиц, позволяющий теоретически вычислять все их квантовые характеристики;
- 4) предложена и исследована струнная модель частиц, которая намного глубже и глобальней по своим следствиям, чем широко рассматриваемые сейчас другие струнные и суперструнные модели;
- 5) вскрыта физическая природа кварков, тахионов, виртуальных состояний и некоторых других постулированных объектов современной микрофизики;
- 6) обнаружен единый подход для описания фермионов и бозонов, который шире суперсимметричного подхода, открытого позднее и усиленно разрабатываемого сейчас (на момент 1990г.);
- 7) дано объяснение причин нарушения закона сохранения пространственной чётности в слабых взаимодействиях;
- 8) объяснено почему "лёгкие" кварки способны образовывать тяжёлые элементарные частицы, а "тяжёлые" кварки – лёгкие элементарные частицы;

9) объяснён механизм формирования "куперовских пар" при возникновении сверхпроводимости, вычислены температуры перехода в сверхпроводящее состояние для различных веществ, совпавшие с экспериментальными данными, а также предсказана возможность формирования сверхпроводящих состояний нового типа при температурах выше 100°К;

10) объяснено, почему твёрдые вещества плавятся при строго определённых температурах, найден и подтверждён вычислениями способ теоретического расчёта температур плавления;

11) дана возможность объяснения экспериментальных данных, свидетельствующих о насыщении "сильных" ядерных сил (каждый нуклон может быть связан обменными силами притяжения не более чем с тремя другими нуклонами), а также о возможности преимущественной пространственной локализации электронов в атомах;

12) сформирована физико-математическая основа для высокоэффективного компьютерного моделирования структурных особенностей, квантовых свойств и особенностей взаимодействий всех "проявленных" и виртуальных микрочастиц, а также различных физических процессов и явлений.

Необходимо отметить, что во время разработки своей физической концепции (1960-1990г.) И.Л.Герловин ещё не имел никаких сведений о "торсионной теории" и рассматривал лишь "спинорные эффекты" в классическом, дираковском понимании. Но в фундаменте его теории оказались физические механизмы, способные объяснить природу большинства "торсионных" явлений. Это хорошо видно в его последнем и наиболее полном издании по "Теории фундаментального поля" – "Основы единой теории всех взаимодействий в веществе" [7].

По многим обстоятельствам, физическая концепция И.Л.Герловина ещё не была должным образом глубоко проанализирована другими физиками. Основной причиной этого являлись смерть автора в начале 1990-х годов, в связи с чем он не смог обеспечить ей необходимую популяризацию, а также крайне высокая физико-математическая сложность его концепции. Разумеется, она ещё не является полностью завершённой и, как любая новая теория, может иметь скрытые ошибки. Однако обеспеченное на её основе предварительное сравнение теоретических расчётов с экспериментальными данными показывает её потенциальную перспективность для анализа и развития. Необходимо отметить, что она является одним из немногих примеров физических теорий, обеспечивших хотя бы первичную расчётную верификацию и сходимость теоретических расчётов с известными результатами измерений. Это является принципиально важным условием доверия к каким-либо физическим теориям. Также физическая концепция И.Л.Герловина дала пример чрезвычайно оригинального и интересного взгляда на возможные варианты моделей процессов физического микромира. Даже если последующий углублённый физико-математический анализ выявит ту или иную степень её ошибочности, она будет прекрасным вариантом "затравочной" (стимулирующей развитие полезных идей) физической концепции для создания более совершенного, достоверного варианта "новой фундаментальной физической теории".

Необходимо понимать, что ожидаемая "новая фундаментальная физическая теория" не заменит собой основную часть существующих физических знаний и представлений, а интегрируется в них, создав базу понимания ранее скрытой природы явлений микромира, сумма которых определяет всё бесконечное разнообразие наблюдавшихся часто парадоксальных внешних эффектов. Кстати, именно это бесконечное разнообразие наблюдавшихся внешних эффектов "торсионных" явлений (к которым некоторые авторы неправомерно пытаются приписать всю область "явлений новой фундаментальной физики") обуславливает невозможность их объяснения какой-либо "локальной" теорией, постулирующей существование в природе каких-либо сколь угодно фантастических по своим свойствам излучений или полей. Попытки популистского приписывания этим

излучениям и полям набора качеств, необходимых для объяснения этого разнообразия наблюдаемых внешних эффектов, неизбежно порождают непреодолимые нестыковки и противоречия. (Хотя многие соблазнённые подобными ложными обещаниями и надеждами могут довольно долго это не замечать.)

Как несложно понять, формирование "новой фундаментальной физической теории" будет чрезвычайно трудным и длительным процессом, в который будет вовлечено множество выдающихся учёных. К сожалению, в настоящее время в различных локализациях и уровнях научного руководства в России отсутствует понимание факта возникновения новой специфической протонаучной области исследований, её актуальности и того, что именно и почему должно предприниматься в плане формирования "новой фундаментальной физической теории". (И это несмотря на то, что уже многие годы как в России были разработаны и успешно использованы в реальном промышленном производстве (металлургии) технологии, которые можно отнести к области "торсионных" эффектов [20-22]). В связи с этим, в России нет какой-либо организационной и ресурсной поддержки тематики исследований "явлений новой фундаментальной физики" (включая "торсионные явления"), так же как и поддержки формирования "новой фундаментальной физической теории". Поэтому следует ожидать, что эти тематики исследований получат дальнейшее эффективное развитие только в наиболее способной к их поддержке стране - США. И лишь затем, спустя какое-то время, они распространятся в науке других стран.

Энтузиасты, занимающиеся исследованиями "явлений новой фундаментальной физики", способны внести косвенный, но весьма важный вклад в формирование "новой фундаментальной физической теории". В первую очередь, они способны обеспечить потребность физиков-теоретиков в создании оборудования для экспериментальной базы, позволяющей получать результаты исследований этих явлений с необходимой степенью научной достоверности. В частности, это означает потребность в эффективно работающих устройствах генерации и регистрации гипотетических "торсионных" полей и излучений. Ситуация с созданием таких устройств медленно, но постепенно улучшается [13,15-18]. Определённую сложность в текущий момент представляет создание эффективных (сравнительно быстродействующих и формирующих пропорциональный сигнал) устройств регистрации "торсионных" полей и излучений. Вполне возможно, что будет перспективно создание таких устройств на основе хорошо известных (для специалистов этой области) эффектов изменения, вследствие "торсионных" воздействий, свойств растворов белков и других органических веществ. Наиболее известным в этом плане является изменение Рамановских спектров, а также ультрафиолетовых спектров поглощения данных растворов [15,23-25]. Однако, по ряду косвенных экспериментальных данных [26-28] автор предполагает, что возможно создание эффективных регистрирующих систем на основе измерения времени спин-спиновой релаксации ЯМР (времени T_2) подобных растворов, а также, вероятно, сухих либо минимально увлажнённых препаратов. По мнению автора, при рассматриваемых аномальных физических воздействиях на молекулы белков (в частности, ферментов) должен наблюдаться ярко выраженный эффект увеличения времени их спин-спиновой релаксации (T_2), что совпадает с наблюдавшимся в этих экспериментах резким увеличением биологической активности белков и ферментов из-за увеличения конформационной подвижности их молекул. Обычно такие эффекты возникают при взаимодействии сухих препаратов белков и ферментов с водой. Методы измерения времени спин-спиновой релаксации (T_2) хорошо отлажены, не требуют нестандартного оборудования (хотя его можно оптимизировать и компактифицировать) и позволяют производить измерения за короткие интервалы времени.

Кроме того, для формирования "новой фундаментальной физической теории", безусловно, будет полезен анализ накопленного опыта экспериментальных наблюдений "явлений новой фундаментальной физики" с выделением обобщённых групп аномальных физических эффектов и анализ некоторых попыток интерпретации их физической природы. Также существенный полезный косвенный вклад в формирование "новой фундаментальной

физической теории" способны внести некоторые идеи учёных, рассматривавших различные оригинальные физические механизмы, которые могут реализоваться в специфической "скрытой структуре физического вакуума" формируя различные внешние видимые эффекты [29]. Вероятно, что также окажутся полезны некоторые идеи и экспериментальные наблюдения учёных, пытавшихся создать различные теории физического эфира, либо рассмотреть их отдельные физические аспекты, поскольку они, как минимум, указывали на различные проблемные вопросы современной физики и на необычные экспериментальные факты [30-32].

Существует специфическая категория "явлений новой фундаментальной физики", объяснения природы которой не стоит ожидать от рассматривавшейся "новой фундаментальной физической теории". Она потребуют объяснения на основе принципиально другой физической концепции. Это явления специфических аномальных дистанционных взаимодействий биологических объектов (включая "психофизические" явления), биофизических и некоторых особым образом взаимодействующих физических систем, а также их комбинации [15-17,33-36]. Специфическая проблематика объяснения природы этих явлений уже достаточно подробно рассматривалась автором [37]. Есть основания полагать, что это получит объяснение на основе "энергоинформационной" концептуальной модели. При этом в качестве механизма взаимоотображения объектов и процессов физического мира и их информационных образов, могут служить процессы самоорганизации физической информации [38] и информационно-энтропийные процессы, воспринимающие либо обуславливающие изменения квантовых состояний структуры объектов физической среды (в виде сдвигов состояний квантовой неопределенности к какому-либо определённому физическому состоянию), а также, возможно, ранее неизвестный механизм квантовой физики, обуславливающий разнообразие наблюдавшихся конечных макроэффектов в результате суммирования множества единичных сдвигов квантовой неопределенности. Механизм упомянутой трансформации эффектов микромира в макроскопические эффекты может быть объяснён на основе "новой фундаментальной физической теории".

Обычно в контексте описания перспектив развития новых научных идей большого масштаба даётся описание их ожидаемых прогрессивных последствий. В данном случае это представляется излишним, поскольку даже сделанное автором краткое рассмотрение особенностей "новой фундаментальной физической теории" показывает, что это будет переход человечества в другую эпоху, в принципиально другой научно-технологический мир. Это хорошо понимается многими энтузиастами исследований "явлений новой фундаментальной физики".

Остается без ответа вопрос: стоит ли ожидать, что когда-то, взглянув из будущего на события прошлого, человечество осознает принципиально важный факт, касающийся его сущности? Разум полностью биологичен, он полностью определяется неосознаваемыми мотивациями при отсутствие обучения с детства их строгому самоконтролю. А биологичность разума обуславливает то, что он работает совсем не так, как это идеализированно представляется людям. Это заставляет их делать многочисленные ошибки с тяжёлыми последствиями, что мы можем наблюдать постоянно как в обычной, так и в научной жизни. И это самое большое препятствие для человечества на пути к его мечтам о лучшем будущем.

Литература

1. Рыков А.В. Вакуум и вещество Вселенной. 2011г.
2. Эткин В.А. Об эфирной природе всех взаимодействий. //Торсионные поля и информационные взаимодействия – 2014, С.71-79

3. Протодьяконов М.М., Герловин И.Л. Электронное строение и физические свойства кристаллов. 1975г.
4. Герловин И.Л. Исходная парадигма, основы и области практического использования единой теории фундаментального поля. 1988г.
5. Герловин И.Л. Единая релятивистская квантовая теория фундаментального поля – ТФП. 1985г.
6. Герловин И.Л. Развитие и использование ТФП в направлении взаимодействия макротел с физическим вакуумом и реализация других прикладных вопросов. //Отчёт по НИР, ЛПИ им.М.И.Калинина, №ГР01860002682, 1987г.
7. Герловин И.Л. Основы единой теории всех взаимодействий в веществе. 1990г.
8. Шноль С.Э., Коломбет В.А., Пожарский Э.В., Зенченко Т.А., Зверева И.М., Конрадов А.А. О космофизической обусловленности "макроскопических флуктуаций". //Биофизика. 1998. Т.43, №5 С.909-915
9. Шноль С.Э., Коломбет В.А., Пожарский Э.В., Зенченко Т.А., Зверева И.М., Конрадов А.А. О реализации дискретных состояний в ходе флуктуаций в макроскопических процессах. //Успехи физических наук. 1998. Т.168, №10 С.1129-1140
10. Шноль С.Э. Макроскопические флуктуации формы дискретных распределений как следствие арифметических и космофизических причин. //Биофизика. 2001. Т.46, №5 С.775-782
11. Федоров М.В., Зенченко К.И., Зенченко Т.А. и др. Закономерности проявления макроскопических флуктуаций при измерениях альфа-радиоактивности образцов ^{239}Pu в средних и высоких широтах. //Биофизика. 2001. Т.46, №5
12. Федоров М.В. Сравнение формы "несостоятельных гистограмм" с помощью вейвлет-анализа. //Биофизика. 2001. Т.46, №5 С.790-799
13. Жигалов В.А. Характерные эффекты неэлектромагнитного излучения.
http://www.second-physics.ru/work/zhilgalov_effects.pdf
14. Чередниченко Ю.Н., Михайлова Л.П. Эффекты формы и фазовые переходы первого рода: экспериментальное исследование дистантных взаимодействий на физических датчиках и клеточных биоиндикаторах. //Парapsихология и психофизика, 1999, №2(28), С.67-73
15. Смирнов А.Ю. Дальние нелокальные приборные взаимодействия в формировании концепции "телеportации информации". //Торсионные поля и информационные взаимодействия - 2010. Материалы II-й международной научно-практической конференции, г.Тамбов. 28-29 сентября 2010г. С.119-149
16. Смирнов А.Ю. Дальние нелокальные взаимодействия могут определяться торсионными возбуждениями и волнами в виртуальной плазме физического вакуума. (Гипотезы, концептуальный и качественный анализ) //Торсионные поля и информационные взаимодействия – 2012, С.173-200
17. Смирнов А.Ю. Психофизическая активность оператора и исследователя. Экспериментальное изучение, техническое моделирование. //Эксперименты с генераторами и детекторами торсионного поля, (сборник работ). 2014, С.93-124
18. Смирнов А.Ю. Генераторы возбуждений виртуальной плазмы физического вакуума на основе преобразователя когерентного ЭМИ КВЧ в плазмотрционное излучение. //Торсионные поля и информационные взаимодействия – 2014, С.154-167
19. Антонов В.А., Кондратьев Б.П. Пути построения нелинейной квантовой теории. //Труды международного физического конгресса (тезисы), 2005, С.29
20. Бояршинов А.Е., Клюев А.В., Кокарева Н.А., Курапов С.А., Панов В.Ф., Стрелков В.В. Структура и механические свойства металла после обработки расплава в нестационарном электромагнитном поле волнового излучателя. //Металловедение и термическая обработка металлов. 2009, №7(649), С.3-9
21. Панов В.Ф., Курапов С.А., Бояршинов А.Е. Применение генераторов СВМ-поля в металлургии. //Торсионные поля и информационные взаимодействия – 2014, С.183-184

22. Панов В.Ф., Курапов С.А., Клюев А.В. Развитие полевых информационных технологий Пермской группой. //Эксперименты с генераторами и детекторами торсионного поля, (сборник работ). 2014, С.84-92
23. Квартальнов В.В., Виленчик Л.С. Обнаружение компоненты излучения лазера новой физической природы - путь к новой физике и новым технологиям. // "Наука и технологии в промышленности", №4(7)-1(8), 2001-2002г.
24. Квартальнов В.В. Экспериментальное выделение из излучения лазера компоненты излучения неизвестной физической природы. //Информационный бюллетень Лазерной ассоциации "Лазер информ" выпуск №12(219), 2001г.
25. Yan Xin, Lu Zuyin, et.al. The effect of Qigong on Raman spectra of tap water, saline and glucose solutions. //Nature Journal, 1988, Vol.11, No 8, p.567; MISCHA Newsletter, 1996, No 13, pp.4-7
26. Николаев Г.М., Кукарских Г.П., Низовская Н.В., Вербицкий И.Б., Кренделева Т.Е. Изучение релаксационных характеристик протонов воды в прорастающих семенах, подвергнутых экстрасенсорному воздействию. //Материалы научной конференции "Сверхслабые взаимодействия в технике природе и обществе", Московское НТО им.А.С.Попова, 1993, С.27-28
27. Shen Jinchuan and Chulin Sun. Tests and considerations directly adjusting and controlling the growing of plants under the deeper conscious state. //(in Chinese) Chinese Journal of Somatic Science, 1998, Vol.8, No 2, pp.51-60
28. Ge Rong-chao, Zhiyi Liu, Yinzhu Shen, Feng Bai and Chulin Sun. The study on the ATPase activity of the fast germinating sprouts of the wheat and pea whose seeds were somatic psychic ability. //(in Chinese) Chinese Journal of Somatic Science, 1998, Vol.8, No 4, pp.152-154
29. Болдырева Л.Б. Свет как вихре-волновой процесс в физическом вакууме со свойствами сверхтекущего ^3He -В. //Торсионные поля и информационные взаимодействия – 2014, С.80-86
30. Рощин В.В., Годин С.М. Экспериментальное исследование физических эффектов в динамической магнитной системе. //Письма в ЖТФ, 2000, Вып.24, С.26; НиТ, <http://n-t.ru/tp/ts/dms.htm>, 2001
31. Делямуре В.П. Анализ динамики установки Година – Рошина. //НиТ, <http://n-t.ru/tp/ns/au.htm>, 2004
32. Делямуре В.П. Эфир: от гипотезы к практике. //НиТ, <http://n-t.ru/tp/ns/ef.htm>, 2007
33. Джан Р.Г. Нестареющий парадокс психофизических явлений: Инженерный подход. // Пер. с англ. ТИИЭР, 1982, №3, С.74-80.
(R.G.Jahn The persistent paradox of psychic phenomena: An engineering perspective. //Proceedings of the IEEE, 1982, Vol.70, No.2, pp.136-170)
34. Schmidt H.A. The strange properties of psychokinesis. //Journal of Scientific Exploration, 1987, Vol.1, No.2, pp.103-118.
35. Джан Р.Г., Данн Б.Д. Границы реальности. Роль сознания в физическом мире. 1995г.
(R.G.Jahn, B.J.Dunne Margins of reality. The role of consciousness in the physical world. 1987)
36. Jahn R.G., Dunne B.J. The PEAR proposition. //Journal of Scientific Exploration, Vol.19, No.2, pp.195-245, 2005.
37. Куликов Д.Н. Некоторые современные проблемы научной методологии в анализе результатов по тематике "психофизических", а также физических и биофизических явлений пока неизвестной ("неклассической") физической природы. //Торсионные поля и информационные взаимодействия – 2014, С.8-17
38. Хазен А.М. "Введение меры информации в аксиоматическую базу механики". 1998г.

FUTURE NEW FUNDAMENTAL PHYSICAL THEORY. WHAT NEEDS TO BE EXPLAINED AND WHAT NOT BE EXPECTED.

D.N. Kulikov

dmitriy_koulkov@mail.ru

The article considers the relevance of the development of new fundamental physical theory, which should explain the nature of the effects caused by the presence of hidden structure of the physical vacuum, and a number of other effects observed in various studies of specific groups of the paradoxical physical phenomena. It is shown that such physical theory has great explanatory and predictive capacity in the form of many consequences. An example implementation of such physical theory (based on the model of "bundle space") by the Russian physicist I.L.Gerlovin is shown. Shown the impossibility of explaining on the basis of this anticipated new fundamental physical theory specific group of paradoxical physical and biophysical phenomena.

ТЕОРЕТИЧЕСКИЕ МОДЕЛИ. ОБЗОРЫ

МАГНЕТИЗМ И ВИРТУАЛЬНЫЕ ЧАСТИЦЫ

Л.Б. Болдырева

Государственный университет управления

boldyrev-m@yandex.ru

Показано, что, учитывая свойства виртуальных частиц, создаваемых движущимися квантовыми объектами, электрический ток можно моделировать вихревой нитью в физическом вакууме и магнитные взаимодействия могут быть описаны уравнениями взаимодействия вихрей в идеальной несжимаемой жидкости с отрицательным давлением. Показано, что возможность спиновых корреляций между спинами виртуальных частиц посредством сверхтекущих спиновых токов может приводить к возникновению в физическом вакууме отрицательного давления.

1. Введение

В настоящее время во всех учебниках физики приведена модель магнитного поля, принятая в СТО (Специальная Теория Относительности). Суть этой модели поясним на примере образования магнитного поля вокруг проводника с током (рис. 1 [1]).

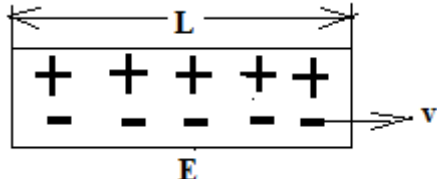


Рис. 1. Провод длиной L с током (отрицательные заряды двигаются со скоростью v). В системе движущегося заряда вокруг провода существует электрическое поле E .

При отсутствии тока плотности положительных и отрицательных зарядов одинаковы в любой системе. При движении отрицательных зарядов их плотность за счёт сжатия длины провода изменяется в системе зарядов в $\sqrt{1-(v/c)^2}$ раз. Таким образом, в системе движущихся зарядов провод окажется уже не нейтральным, около него возникнет электрическое поле E , которое и осуществляет магнитные взаимодействия.

До появления СТО многие исследователи, в частности Максвелл и Томсон, рассматривали магнитное поле как вихревое движение “светоносного эфира” [2]. Впоследствии академик Л.И. Седов показал [3], что все магнитные взаимодействия могут быть описаны уравнениями взаимодействия вихрей в идеальной несжимаемой жидкости с отрицательным давлением, то есть жидкости, для которой справедливо следующее:

$$\rho u^2 / 2 - p = \text{const} , \quad (1)$$

где u , ρ и p – соответственно скорость, плотность и давление в жидкости. На основе уравнения (1) можно вывести соотношения, устанавливающие связь между динамическими и кинематическими характеристиками такой жидкости и характеристиками магнитного поля. Приведём эти соотношения.

Взаимодействие двух бесконечной длины вихревых нитей и взаимодействие двух бесконечной длины проводов с током.

Сила, действующая на единицу длины каждой из двух бесконечных по длине параллельных вихревых нитей с циркуляцией Γ , равна $F = \rho\Gamma^2/(2\pi r_w)$, где r_w – расстояние между вихревыми нитями. Сила, действующая на единицу длины каждого из двух бесконечных по длине параллельных проводов с током I , равна [1]: $F = 2I^2/(r_{w1}c^2)$, где c – скорость света, r_{w1} – расстояние между проводами с током, принимаем $r_{w1} = r_w$. Приравнивая вышеприведённые выражения для сил и учитывая, что в соответствии с уравнением (1) при одинаковом направлении токов, так же как и при одинаковом направлении циркуляции вектора скорости вокруг вихревых нитей, рассматриваемые силы являются силами притяжения, имеем:

$$\Gamma = \frac{2I}{c} \sqrt{\frac{\pi}{\rho}}. \quad (2)$$

Поле скоростей, образованное замкнутой вихревой нитью, и магнитная индукция вокруг петли с током.

Поле скоростей \mathbf{u} , создаваемое замкнутой вихревой нитью с циркуляцией Γ вдоль произвольной петли, охватывающей вихревую нить, определяется как: $\mathbf{u} = \frac{\Gamma}{4\pi} \int_L \frac{d\mathbf{l} \times \mathbf{r}}{r^3}$, где

$d\mathbf{l}$ – бесконечно малый векторный элемент нити, L – длина вихревой нити, \mathbf{r} – вектор расстояния между элементом $d\mathbf{l}$ и исследуемой точкой. Структура уравнения для скорости \mathbf{u} совпадает со структурой уравнения для магнитной индукции \mathbf{B} вокруг произвольного провода длины L с током I (закон Био-Савара): $\mathbf{B} = \frac{I}{c} \int_L \frac{d\mathbf{l} \times \mathbf{r}}{r^3}$. Решая совместно уравнения для \mathbf{u} и \mathbf{B} , получаем уравнение, связывающее \mathbf{B} со скоростью среды \mathbf{u} :

$$\mathbf{B} = 2\sqrt{\pi\rho} \cdot \mathbf{u}. \quad (3)$$

Удельная энергия физического вакуума и удельная энергия магнитного поля.

Кинетическая энергия U_u единичного объёма среды, двигающейся со скоростью u , определяется как:

$$U_u = \rho u^2 / 2. \quad (4)$$

Используя (3) в (4), получаем выражение, совпадающее с выражением для удельной энергии магнитного поля B : $U_u = B^2 / (8\pi)$.

(Приведённые выше уравнения, определяющие магнитные взаимодействия, записаны для вакуума с магнитной проницаемостью $\mu = 1$ и в системе CGSE.)

В данной работе рассматривается модель магнитного поля, которая использует аналогии Л. И. Седова и имеет общие черты с моделью, рассматриваемой в СТО. Предложенная модель базируется на концепции квантовой механики: каждый квантовый объект создаёт в физическом вакууме пару электрически разноимённо заряженных виртуальных частиц. Виртуальные частицы определяют большое количество физических эффектов: спонтанную эмиссию фотонов, эффект Казимира, квантовые флуктуации в вакууме, поляризацию вакуума в электрических полях, рождение электронно-позитронных пар, Лэмбовский сдвиг и другие. Проведённые исследования показывают, что к этим явлениям следует отнести и магнетизм.

2. Свойства пары виртуальных частиц

В работе будут использованы следующие свойства пары виртуальных частиц, создаваемой квантовым объектом [4].

1. Пара виртуальных частиц создаётся в области, размер которой имеет порядок длины волны λ квантового объекта.

2. Пара виртуальных частиц имеет массу m_v . При определённой энергии пара виртуальных частиц может превратиться в пару реальных частиц с суммарной массой этих частиц, равной m_v .

3. Виртуальные частицы, составляющие пару, имеют равные и противоположные по знаку электрические заряды. Электрические свойства виртуальных частиц аналогичны электрическим свойствам реальных частиц.

4. Пара виртуальных частиц может превратиться в пару реальных частиц, имеющих спин. Из закона сохранения момента количества движения, следует, что и виртуальные частицы имеют спин, свойства которого аналогичны свойствам спина реальных частиц. Следовательно:

а) Спин пары виртуальных частиц S_v не имеет определённого направления в пространстве и под величиной спина понимается величина проекции спина на выделенное направление, что можно интерпретировать как прецессию спина относительно выделенного направления. Прецессия характеризуется углами прецессии и нутации, а также частотой прецессии, ω_v .

б) Между спинами пар виртуальных частиц могут осуществляться спиновые корреляции.

3. Электрический ток как вихревая нить

Представим электрический ток как последовательность электрически заряженных движущихся квантовых объектов. Каждый квантовый объект создаёт в физическом вакууме пару виртуальных частиц. На рис. 2 показаны следующие характеристики пары виртуальных частиц: S_v – спин; m_v – масса; ω_v – частота прецессии; Z_v – момент количества движения m_v , $Z_v \uparrow\uparrow \omega_v$; v_v – скорость циркуляционного движения m_v ; θ – угол нутации; α – угол (фаза) прецессии, отсчитываемый относительно линии отсчёта (л.о.); Γ_v – циркуляция v_v , определяемая как:

$$\Gamma_v = \frac{2\pi Z_v}{m_v} = \frac{2\pi Z_v}{m_v} \frac{\omega_v}{\omega_v}. \quad (5)$$

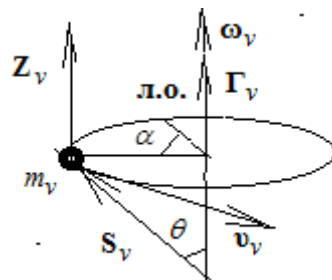


Рис. 2. Характеристики пары виртуальных частиц: S_v – спин; m_v – масса; ω_v – частота прецессии; Z_v – момент количества движения m_v ; v_v – скорость циркуляционного движения m_v ; θ – угол нутации; α – угол (фаза) прецессии, отсчитываемый относительно линии отсчёта (л.о.); Γ_v – циркуляция v_v .

В работе [5] показано, что частота прецессии ω_v направлена вдоль тока I :

$$\omega_v \uparrow\uparrow I. \quad (6)$$

Тогда, учитывая, что с каждым квантовым объектом связана циркуляция, направленная вдоль тока, ток можно представить вихревой нитью с циркуляцией Γ_I [6], определяемой как $\Gamma_I = z\Gamma_v$, где z – количество электрически заряженных квантовых объектов (заряд q), движение которых создаёт ток I , $z=I/q$. Используя уравнения (5) и (6) в выражении для Γ_I , получаем: $\Gamma_I = \mathbf{I} \cdot 2\pi \cdot Z_v / (m_v q)$.

Примечание.

1. Свойства (включая циркуляцию Γ_I) пар виртуальных частиц, создаваемых движущимися квантовыми объектами, образующими ток, и магнитная индукция \mathbf{B} , созданная этим током, определяются в одной и той же системе отсчета, а именно относительно «молекулярной системы» провода с током.
2. Согласно свойству 1 (Раздел 2) пара виртуальных частиц образуется в области, размер которой имеет порядок длины волны λ квантового объекта. Значение λ определяется массой m_q и скоростью движения квантового объекта v [7]: $\lambda = h / (m_q v)$, то есть, можно говорить о сжатии области занимаемой парой виртуальных частиц при движении пары.

4. От виртуальных частиц к “возмущённому” физическому вакууму с отрицательным давлением

Согласно свойству 4 виртуальных частиц (Раздел 2), виртуальные частицы имеют спин. Но при создании квантовым объектом виртуальных частиц, его спин не изменяется. В соответствии с законом сохранения момента количества движения это означает, что существует ещё один “источник” спина для образующихся виртуальных частиц. Можно предположить, что физический вакуум имеет внутреннюю степень свободы – спин, который и проявляется при создании виртуальных частиц. То есть, суммарный спин S_v пары виртуальных частиц определяет внутреннюю степень свободы физического вакуума в области создания пары виртуальных частиц.

Согласно свойству 4b (Раздел 2) между спинами могут существовать спиновые корреляции. Эксперименты, проводимые со сверхтекучим $^3\text{He}-\mathbf{B}$, показали, что спиновые корреляции могут осуществляться сверхтекучими спиновыми токами [8-10]. Сверхтекущие спиновые токи могут возникать между спинами виртуальных частиц, создаваемыми квантовыми объектами, образующими ток, и спинами, определяющими внутреннюю степень свободы физического вакуума. Сверхтекущий спиновый ток выравнивает характеристики прецессирующих спинов (углы нутации и прецессии), между которыми он возникает, и таким образом прецессия спина виртуальных частиц может “распространяться” в физическом вакууме. В результате каждую точку пространства можно характеризовать частотой прецессии спинов, определяющих внутреннюю степень свободы физического вакуума. (Это не противоречит принятой в квантовой механике концепции о том, что в физическом вакууме могут существовать квантовые гармонические осцилляторы, обладающие так называемой “zero-point energy”. Эта концепция была развита в Германии А. Эйнштейном и О. Стерном в 1913 году [11]). Из свойств виртуальных частиц следует, что с частотой спина связана масса, которая при определённых условиях может превратиться в массу реальных частиц. Возможность рождения частиц в физическом вакууме означает, что вакуум может работать “на разрыв”, что характерно для среды с отрицательным давлением [3].

Таким образом, согласно уравнению (3), магнитная индукция создаётся движением физического вакуума, в каждой точке которого имеется прецессия спинов, составляющих внутреннюю степень свободы физического вакуума, то есть движением возмущённого вакуума.

Примечание.

1. Такие характеристики физического вакуума как отрицательное давление и положительная плотность, не противоречат существующим моделям “космического” вакуума [12]. Согласно этим моделям, около 70% всей энергии Вселенной существует в виде так называемой тёмной энергии или “квинтэссенции”, характеризующейся однородным распределением положительной плотности и отрицательным давлением.

2. Движение объекта в возмущённом физическом вакууме (с плотностью ρ) равносильно наложению на него магнитного поля с индукцией $\mathbf{B} = -2\sqrt{\pi\rho} \cdot \mathbf{u}$, где \mathbf{u} скорость объекта. Имеются экспериментальные данные, косвенно свидетельствующие о том, что при отсутствии магнитного поля в системе физического вакуума в системе движущегося объекта магнитное поле существует. В рассматриваемых экспериментах данные относятся к нейтрино; на современном этапе развития физики наиболее приемлемой считается концепция массивного нейтрино, имеющего направленный вдоль спина магнитный момент. При движении относительно «космического» вакуума ориентация спина нейтрино противоположна направлению скорости, в то же время при движении в магнитном поле (существенно превышающем магнитное поле Земли) спин нейтрино ориентируется вдоль магнитной индукции [13, 14].

5. Заключение

1. Учёт свойств виртуальных частиц, создаваемых движущимися квантовыми объектами, позволяет моделировать электрический ток вихревой нитью в физическом вакууме и описывать магнитные взаимодействия уравнениями взаимодействия вихрей в идеальной несжимаемой жидкости с отрицательным давлением.

2. Так как сверхтекущий спиновый ток, возникающий между спинами, выравнивает характеристики (углы нутации и прецессии) прецессирующих спинов, прецессия спина виртуальных частиц может “распространяться” в физическом вакууме.

3. Величина магнитной индукции пропорциональна скорости движения физического вакуума, в каждой точке которого имеется прецессия спинов, составляющих внутреннюю степень свободы физического вакуума, то есть, пропорциональна скорости движения возмущённого вакуума.

4. В системе объекта, движущегося в неподвижном (в лабораторной системе) возмущённом физическом вакууме, существует магнитное поле.

Литература

1. Э. Парселл. Электричество и магнетизм. // Берклевский курс физики, том 2. – М.: Наука, 1975.
2. М. Борн. Эйнштейновская теория относительности. – М.: Мир, 1972.
3. Л. И. Седов. Механика сплошной среды. Т. 1-2. – М.: Наука, 1994.
4. F. Mandl, G. Shaw. Quantum Field Theory, // John Wiley & Sons, Chichester UK, revised edition, 56, 176, 1984/2002. ISBN 0-471-94186-7.
5. L.B. Boldyreva. “The Wave Properties of Matter: The Physical Aspect”. // International Journal of Physics, 2(6), 189-196, 2014, DOI: 10.12691/ijp-2-6-2.
6. Л. Б. Болдырева. Что даёт физике наделение физического вакуума свойствами сверхтекущего $^3\text{He-B}$. // М., Книжный дом «ЛИБРОКОМ», 2012. – 120 с.
7. Э. Вихман. Квантовая физика. // Берклевский курс физики, т. IV. Москва, Наука, 1977.
8. И.А. Фомин. “Критический сверхтекущий спиновый ток в $^3\text{He-B}$ ”. // Письма в ЖЭТФ 45 вып.2, стр. 106-108, 25 января 1987.
9. А.С. Боровик-Романов, Ю.М. Буньков, А. де Ваард, В.В. Дмитриев, В. Макроциева, Ю.М. Мухарский и Д.А. Сергацков. “Наблюдение аналога эффекта Джозефсона на спиновом токе”. // Письма в ЖЭТФ 47 вып. 8, стр. 400-403, 1988.

10. В.В. Дмитриев. “Спиновая сверхтекучесть в ${}^3\text{He}$ ”. Конференции и симпозиумы. // *Успехи физических наук* **175** №1, стр. 85-92, 2005.
11. A. Einstein, O. Stern. “Einige Argumente für die Annahme einer molekularen Agitation beim absoluten Nullpunkt”, // *Annalen der Physik*, **40**(3), 551, 1913.
12. А.Д. Чернин. “Космический вакуум.” // Успехи физических наук **171**, стр. 1153-1175. 2001.
13. А.И. Тернов. “Электромагнитные свойства массивных нейтрино.” // Соровский образовательный журнал **6** № 10, 2000.
14. S. Eidelman и др. (Particle Data Group): “Leptons in the 2005 Review of Particle Physics.” // *Physics Letters B* **592** issue 1, pp. 1–5, 2004.

MAGNETISM AND VIRTUAL PARTICLES

L. B. Boldyreva

State University of Management

boldyrev-m@yandex.ru

It has been shown that with due account of the properties of virtual particles created by moving quantum entities electric current can be represented by a vortex line in the physical vacuum, and magnetic interactions can be described by the equations for the interactions of vortices in an ideal incompressible liquid with positive density and negative pressure. The sign of the pressure in a medium depends on the nature of internal stresses in it. If the internal stresses are like “omniradial tensions”, the pressure will be negative. It is shown that spin correlations between spins of virtual particles effected by spin supercurrents may result in the rise of negative pressure in the physical vacuum.

ПОЛЯ И СИЛЫ ИНЕРЦИИ КАК ОБЪЕКТ НАУЧНОГО ИССЛЕДОВАНИЯ

Г.И. Шипов

warpdrive09@gmail.com

В теории Физического Вакуума торсионное поле интерпретируется как поле инерции, порождающее силы инерции. Установлена связь волновой функции квантовой механики с полем инерции. Все физические поля и взаимодействия сводятся к теории гравитационного, электромагнитного полей и полей инерции. Приведены примеры экспериментального проявления полей инерции в различных разделах физики.

Проблема полей и сил инерции возникла еще во времена Ньютона, который первый задался вопросом, почему изменяется геометрия поверхности воды во вращающемся ведре? С тех пор между учеными почти 350 лет ведутся споры по проблеме полей и сил инерции. Из 100 учебников по классической механике 60% авторов рассматривают силы инерции как «нереальные», 30% как реальные, а 10% вообще не обсуждают этот вопрос. Оказалось [1, 2], что проблема инерции в силу своей универсальности выходит далеко за границы классической механики в ее нынешнем понимании. Более того, поля инерции объединяют классическую и квантовую теорию поля.

В механике материальной точки известно четыре типа сил инерции

$$m \frac{d\vec{v}}{dt} = -\frac{\partial U}{\partial \vec{r}} - m\vec{W} - 2m[\vec{\omega}\vec{v}] - m[\vec{\omega}[\vec{\omega}\vec{r}']] - m[\dot{\vec{\omega}}\vec{r}'] \quad (1)$$

и все они не удовлетворяют третьему закону механики Ньютона, поскольку нет ответа на вопрос, со стороны каких тел они приложены. Все силы инерции порождены вращением: три силы $-2m[\vec{\omega}\vec{v}], -m[\vec{\omega}[\vec{\omega}\vec{r}']], -m[\dot{\vec{\omega}}\vec{r}']$ порождены вращением пространственных в углах Эйлера φ, ψ, θ , а «поступательная» сила инерции $-m\vec{W}$ вращением в псевдоевклидовых углах $\theta_1, \theta_2, \theta_3$ (углы в плоскостях $x_\alpha - ct$) [2]. Силы инерции имеют полевую природу, поскольку порождены полями инерции, возникающими при вращении материи. Более того, силы инерции можно отнести к внутренним и к внешним силам по отношению к некоторой механической системе. Убедительным доказательством реальности сил инерции могут служить фотографии (Рис. 1), на которых показано действие сил инерции на космонавта, находящегося внутри вращающейся центрифуги. Слева возникшая сила инерции эквивалента гравитационному полю 1G; справа сила инерции эквивалента гравитационному полю 8G. При увеличении угловой скорости вращения космонавт теряет сознание.



Рис. 1. Действие сил инерции на центрифуге.

«Мы все что-то прозевали, что-то очень важное» – пишет Роджер Пенроуз на последней странице своей фундаментальной книги «Путь к реальности» [3]. Теория Физического Вакуума показывает, что прозевали мы неголономные вращательные координаты $\varphi, \psi, \theta, \theta_1, \theta_2, \theta_3$ как элементы пространства событий [2]. Физика начинается с механики и дальнейшее развитие фундаментальной физики всегда связано с изменением основ механики. Так было, когда механика материальной точки Ньютона [4], базирующаяся

на трех уравнениях Ньютона и трех законах Ньютона, *была обобщена Л. Эйлером до механики твердого тела*. В механике Эйлера [5], вместо материальной точки Ньютона, рассматривается (абсолютно) твердое тело конечных размеров, состоящее из множества материальных точек, расстояние между которыми не меняется. В инерциальной системе отсчета, вместо трех уравнений Ньютона, Л. Эйлер вводит 6 уравнений для описания движения твердого тела: три поступательных уравнения движения и три вращательных уравнения. Л. Эйлер прекрасно понимал, что он открыл новый принцип механик [5], над которым он работал 25 лет и который воплощен в 6 уравнениях движения твердого тела. Но Л. Эйлер был математик и не сформулировал физические принципы механики твердого тела, как это обычно происходит при обобщении фундаментальной физической теории. Например, исходя из опыта, необходимо было сформулировать закон вращательной инерции твердого тела так: *вращающееся тело будет вращаться сколь угодно долго по инерции, если на него не действуют внешние силы и моменты сил*. Закон вращательной инерции нужно рассматривать как обобщение закона поступательной инерции механики Ньютона, дополнив ее *вращательной относительностью* [2]. Действительно, поступательная относительность установлена Л. Эйлером как существование в механике твердого тела евклидовой метрики $ds^2 = dx^2 + dy^2 + dz^2$, но им была упущена из вида вращательная метрика $d\tau^2 = (\vec{d}\chi)^2$, где $\vec{d}\chi = d\chi \vec{e}_x = \vec{e}_3 d\phi + \vec{e}_2 d\theta + \vec{e}_1 d\psi$ - бесконечно малый поворот триады Эйлера [2]. Существование вращательной метрики меняет геометрию пространства событий механики твердого тела, делая ее шестимерной, расслоенной и наделенной структурой геометрии абсолютного параллелизма $A_3(3)$ [2]. Этот факт вот уже 250 лет не попадает в поле зрения теоретиков, что в значительной степени тормозит развитие теоретической физики.

В 1922 г. математик Эли Картан высказал гипотезу о том, что вращение материи должно менять геометрию пространства, создавая *кручение* пространства вокруг вращающейся материи [6]. Эта гипотеза подтверждена аналитически в геометрии $A_3(3)$, кручение которого определяется через объект неголономности $\Omega^{\cdot\beta}_{\alpha\gamma}$ [2]. Исходя из принципа соответствия, находим, что в качестве поля инерции в уравнении (1) выступает угловая частота вращения $\vec{\omega}$, связанная с кручением $\Omega^{\cdot\beta}_{\alpha\gamma}$ посредством соотношений

$$T^\beta_{\alpha\gamma} = -\Omega^{\cdot\beta}_{\alpha\gamma} + g^{\alpha\delta}(g_{\alpha\mu}\Omega^{\cdot\mu}_{\delta\gamma} + g_{\gamma\mu}\Omega^{\cdot\mu}_{\delta\alpha}) , \quad (2)$$

$$\Omega_{\beta\alpha} = -\Omega_{\alpha\beta} = T_{\beta\alpha\gamma} \frac{dx^\gamma}{ds} , \quad \Omega_{\alpha\beta} = -\Omega_{\beta\alpha} = \begin{pmatrix} 0 & -\omega_3 & \omega_2 \\ \omega_3 & 0 & -\omega_1 \\ -\omega_2 & \omega_1 & 0 \end{pmatrix} , \quad (3)$$

где $T^\beta_{\alpha\gamma}$ - коэффициенты вращения Риччи пространства $A_3(3)$.

Отметим следующие свойства уравнений теории Физического Вакуума, описывающих динамику полей инерции (торсионных полей):

1. *Суперпричинность* указывает на существование объектов, движущихся со скоростями света с или меньше и больше скорости света. Существование таких объектов доказано экспериментально на макро [7-11] и микро [12] уровнях. Подобные волновые объекты могут иметь положительные, нулевые, отрицательные и мнимые массы покоя. В последнем случае допускается движение с бесконечной скоростью, при этом энергия объекта обращается в нуль, но его импульс оказывается конечным.

2. *Гиперпричинность* характеризует вторичные поля инерции, которые нормированы на единицу и удовлетворяют уравнениям квантовой теории поля. Перепутывание волновых функций вторичных полей инерции связывает все полевые объекты в теории Физического Вакуума так, что изменение состояния одного из них оказывается на состоянии остальных. Гиперпричинность экспериментально наблюдалась несколькими группами исследователей для фотонов, электронов и даже атомов [13-19].

3. *Мегапричинность* - свойство материальных объектов, которое существует до их появления в грубом материальном мире. Это некоторая информационная матрица объекта, существующая везде и всегда мгновенно, без понятия скорости распространения и без энергии в обычном ее понимании. Существование таких объектов теоретически предсказано уравнениями Физического Вакуума и пока не понятно, каким образом проделать эксперименты, доказывающие существование мегапричинности, поскольку такой вид причинности порожден постматериалистической физикой [1].

4. *Гиперпространство* теории Физического Вакуума имеет десять измерений [1]. Оно состоит из: 1) *внешнего* четырехмерного пространства трансляционных координат x, y, z, ct ; 2) *внутреннего* шестимерного пространства неголономных вращательных координат $\varphi_1, \varphi_2, \varphi_3, \theta_1, \theta_2, \theta_3$. Гиперпространство имеет две метрики: трансляционную метрику $ds^2 = g_{ik}dx^i dx^k$ и вращательную метрику $d\tau^2 = T^a{}_{bk}T^b{}_{an}dx^k dx^n$.

5. В теории Физического Вакуума все движения сводятся к вращению, поэтому в ней принципиально отсутствуют инерциальные системы отсчета. Если ускорение системы отсчета мало, то ее можно рассматривать как (квази)инерциальную [1].

6. *Поля инерции* в теории Физического Вакуума объединяют все физические поля и взаимодействия, являются первичными и в (квази)инерциальных системах отсчета удовлетворяют уравнениям квантовой электродинамики и квантовой гравидинамики [1].

7. *Полевой гироскоп* (заряженный или нет), подчиняющийся уравнениям Физического Вакуума - основной объект исследования в новой теории.

8. *Новые потенциалы взаимодействия* найдены из решений уравнений Физического Вакуума, позволяющие описывать ядерные взаимодействия фундаментальным образом [20-23].

9. *Потенциальная энергия* Физического Вакуума проявляет себя во многих физических явлениях и может быть использована в вакуумных технологиях [24].

10. *Телепортация* [25] материальных и тонкоматериальных объектов в 10ти - мерном пространстве теории Физического Вакуума допустима и управляема.

11. *Материализация* объектов теоретически описывается как: 1) исчезновение в одной точке A пространства и «почти мгновенное» появление в другой удаленной точке B ; 2) сублимация материального объекта из потенциальной энергии Физического Вакуума [26].

Литература

1. Шипов Г.И. //Теория Физического Вакуума. М.: НТ-Центр, 1993, с.362.
2. Шипов Г.И.// Теория физического вакуума, теория эксперименты и технологии, М., Наука, 1997. 450 с. Shipov G.// A theory of Physical Vacuum, M.: ST-Center, 1998. P. 312.
3. Пенроуз. Р // Путь к Реальности. Из-во: Институт компьютерных исследований, НИЦ "Регулярная и хаотическая динамика" 2007 г., Penrose R. // The Road to Reality. Alfred F. Knopf - New York, 2005. P.1099.
4. Ньютона И. // Математические начала натуральной философии. Перевод с латинского и примечания А. Н. Крылова. М.: Наука, 1989. 688 стр. ISBN 5-02-000747-1.
5. Эйлер Л. // Открытие нового принципа механики. Записки Берлинской академии наук, 1750, т. 14., с. 185-217.
6. Cartan E. // Compt. Rend. 1922. Vol. 174, p. 437.
7. Козырев Н. А.// Причинная механика и возможность экспериментального исследования свойств времени //История и методология естественных наук. Вып. 2. Физика. М., 1963. С. 95—113.
8. Лаврентьев М. М., Еганова И. А., Луцет М. К., Фоминых С. Ф. //О дистанционном воздействии звезд на резистор // Доклады АН СССР, 1990, т.314, № 2, с.352-355.
9. Лаврентьев М. М., Гусев В. А., Еганова И. А., Луцет М. К., Фоминых С. Ф. //О регистрации истинного положения Солнца" // Доклады АН СССР, 1990, т.315, № 2, с.368-370.

10. Лаврентьев М. М., Еганова И. А., Медведев В. Г., Олейник В. К., Фоминых С. Ф. //О сканировании звездного неба датчиком Козырева // Доклады АН, 1992, т.323, № 4, с.649-652.
11. Акимов А. Е., Ковалчук Г. У., Медведев В. Г., Олейник В. К., Пугач А. Ф. // Предварительные результаты астрономических наблюдений по методике Н. А. Козырева // Препринт Гл. Астрон. Обсерв. АН Украины №ГАО-92-5Р., Киев, 1992.
12. Матвеенко Л.И.// Видимые сверхсветовые скорости разлета компонентов во внегалактических объектах. УФН, 1983, том 140, вып. 3, стр. 463-501.
13. Moehring D. L., et al. Entanglement of single-atom quantum bits at a distance // Nature : журнал. 2007. № 449.
14. Salart D., et al. // Testing the speed of „spooky action at a distance“ // Nature : журнал. 2008. № 454.
15. Scheidl T. & al.// "Violation of local realism with freedom of choice", 2010. [arXiv:0811.3129v2](https://arxiv.org/abs/0811.3129v2)
16. Herrmann L. G., et al. Carbon Nanotubes as Cooper-Pair Beam Splitters // Physical Review Letters : журнал. 2010. Т. 104, вып. 2.
17. Lettner M., et al. Remote Entanglement between a Single Atom and a Bose-Einstein Condensate // Physical Review Letters : журнал. 2011. Т. 106, вып. 21..
18. Баргатин И. В., Гришанин Б. А., Задков В. Н. Запутанные квантовые состояния атомных систем // Успехи физических наук : журнал. М., 2001. Т. 171, № 6.
19. Валиев К. А. Квантовые компьютеры и квантовые вычисления // Успехи физических наук : журнал. 2005. Т. 175, № 1. С. 18.
20. Губарев Е.А., Сидоров А.Н. // Тез. докл. VIII Рос. грав. конф. «Теоретические и экспериментальные проблемы гравитации» М.: Рос. гравитац. ассоц. 1993. С.251.
21. Губарев Е.А., Сидоров А.Н., Шипов Г.И. // Модель сильного взаимодействия на основе решений уравнений теории Вакуума. Труды V семинара "Гравитационная энергия и гравитационные волны", Дубна, 16-18 мая, 1992 , с 232.
22. Шипов Г.И. // Фундаментальные взаимодействия в геометрической модели Физического Вакуума. Труды VI семинара "Гравитационная энергия и гравитационные волны", Дубна, 26-30 октября, 1993 , с 141.
23. Губарев Е.А., Сидоров А.Н. // Вакуумная модель сильного взаимодействия. Новые результаты. Труды VI семинара "Гравитационная энергия и гравитационные волны", Дубна, 26-30 октября, 1993 , с 146.
24. Шипов Г.И. // Вакуумная энергия и торсионные поля // «Академия Тринитаризма», М., Эл № 77-6567, публ.21942, 30.03.2016 . <http://www.trinitas.ru/rus/doc/0231/008a/1142-shp.pdf>
25. Einstein A., Rosen N. // Physical Review. 1935. Vol.48. P.73 – 77.
26. Шипов Г.И. // Психофизика и психофизические технологии // «Академия Тринитаризма», М., Эл № 77-6567, публ.21566, 17.12.2015. <http://www.trinitas.ru/rus/doc/0231/008a/1141-shp.pdf> .

FIELDS AND FORCES OF INERTIA AS THE OBJECT OF SCIENTIFIC RESEARCH

G.I. Shipov

warpdrive09@gmail.com

In the theory of Physical Vacuum, torsion field is interpreted as a field of inertia that generates inertial forces. The connection of the wave function of quantum mechanics with a field of inertia is defined. All physical fields and interactions are reduced to the gravitational , electromagnetic fields and field of inertia. Examples of experimental manifestations of fields of inertia in the various branches of physics are demonstrated.

THE GEOMETRY OF ENERGY – MOMENTUM TENSOR

Mariya Podarovskaya and Gennady Shipov

Faculty of physics, Lomonosov Moscow State University, Moscow, Russian Federation

warpdrive09@gmail.com

We presented the geometro-hydrodynamical formalism of a non-relativistic rigid body rotating motion based on a six-dimentional manifold of the geometry of absolute parallelism, which is the anholonomic geometry and possesses the torsion. We geometrized the energy – momentum tensor in the body-fixed coordinate system. It is important that the inertial forces are the result of the rotation of the space around the rotating object.

Introduction

During a lot of years attention is paid to the effects in the non-inertial frames. The inertial effects on electrons are in the focus of many studies starting with the Barnett effect and Einstein and de Haas experiment [1], [2]. In recent years attention is paid to the effect of the influence of acceleration and rotation on spintronic applications. The spin-dependent inertial force in an accelerating system under the presence of electromagnetic fields had been derived from the generally covariant Dirac equation [3]. It was shown that mechanical vibration in a high frequency resonator can create a spin current via the spin-orbit interaction augmented by the linear acceleration.

For a long time the problem of construction a realistic physical model of quantum matter with spin is an important subject of many researches. The geometro-hydrodynamical representation of the Pauli electron theory was offered in the pioneering works of Takabayashi, Holland and Vigier [4] – [10]. The geometro-hydrodynamical formalism to be able to express visually the information encoded in a two-component Pauli spinor and had been based on idea that spinor determines a state of rotation in spin space through an orthogonal set of coordinate axes or triad. In this model the spinor field defined on the manifold $\mathbb{R}(3) \times SU(2)$ is described by the motion of a fictitious ensemble of very small spinning bodies continuously distributed in space.

In different years attention is paid to the classical models of spin and their possible expansions to the quantum spin models [11] – [14]. The general statistical approach of a non-relativistic rotating and translating charged rigid body had been developed using Euler angle representation [15] and the author assumed that the Euler angle space must be a space with torsion. It is important that when we describe the motion of rigid body in the body-fixed coordinate system using the anholonomic rotational coordinates, the application of Hamilton's principle would produce wrong equations of motion [16]. It was shown that the rigid body moves along authoparallel trajectories in the body-fixed frame and the correct equations for the angular momentum and for the translational motion were derived.

The Euclidian geometry that underlies classical mechanics is a three-dimentional point manifold. To be able to take into account the rotational degrees of freedom of an arbitrarily accelerated three-dimentional reference frame we will have to use a six-dimentional manifold $(x_1, x_2, x_3, \theta, \phi, \chi)$ or the three-dimentional manifold of orientable points. The geometry of this manifold is the geometry of absolute parallelism [17] – [24], which was considered by Weitzenbock [19], [20] and Vitali [22], [23]. We can represent the six-dimentional manifold as a vector bundle [17] with a base formed by the manifold of the translational coordinated x_1, x_2, x_3 and a fibre specified at each point by orthonormalized references \vec{e}^a where $a = 1, 2, 3$ - is the number of the reference vector and $e_j^a e_b^j = \delta_b^a$.

The connection of absolute parallelism has the form $\Delta_{bc}^a = \vec{e}^a \partial_b \vec{e}_c, a, b, c = 1, 2, 3$ – are the Euler space indexes. The connection can be written as $\Delta_{bc}^a = \Gamma_{bc}^a + T_{bc}^a$, where Γ_{bc}^a – are

the Christoffel symbols and $T_{bc}^a = -\Omega_{bc}^a + g^{a\eta}(g_{b\rho}\Omega_{\eta c}^\rho + g_{c\rho}\Omega_{\eta b}^\rho)$ – are the Ricci rotation coefficients for the basis \vec{e}^a . The tensor Ω_{bc}^a represents the anholonomy object and can be defined as $\Omega_{bc}^a = -\frac{1}{2}\vec{e}^a(\partial_b\vec{e}_c - \partial_c\vec{e}_b)$.

The geometry of energy-momentum tensor

Einstein believed that the main problem in the Unified Field Theory was the geometrical representation of the energy-momentum tensor. Moreover, The geometrization of the energy-momentum tensor of matter should result in the geometrization of the matter fields and it means the geometrization of the quantum fields. The geometry of a six-dimensional manifold $\mathbb{R}(3) \otimes SO(3)$ should differ from the Euclidian geometry of Newton's mechanics in that the coordinates x_1, x_2, x_3 attach a polar vector whereas the Euler angles don't form a vector, but the vector is formed by the infinitesimal angular increments. And the general theory of the dynamics in anholonomic coordinates leads to the anholonomic coordinate transformations [17]. If the following relationship is carried out $\partial_b\vec{e}_c - \partial_c\vec{e}_b$, the geometric object Ω_{bc}^a will be equal to zero. In that case, the triad \vec{e}^a becomes holonomic, but if object Ω_{bc}^a is nonzero, we deal with the anholonomic differential geometry that possesses torsion. Using the curvature tensor of the absolute parallelism space which is defined in terms of the connection Ω_{bc}^a and using a conventional rule for the curvature tensor $S_{bc} = \Delta_{a,bc}^a - \Delta_{b,ac}^a = 0$, we derive the equation which is similar to the Einstein's equations, but with the geometrized of the energy-momentum tensor

$$T_{bc} = -\frac{1}{\nu} \left(T_{a,bc}^a - T_{b,ac}^a - \frac{1}{2} g_{bc} g^{pn} [T_{a,pn}^a - T_{p,an}^a] \right)$$

where $T_{a,bc}^a$ – is the derivation of the Ricci rotation coefficients T_{bc}^a .

The rigid rotator

The orientation of a rigid body rotating around a fixed point can be denoted through the orientation of a set of triad vectors $\hat{\vec{e}}_a$ fixed of the centre of mass of the body with respect to a set of the space axes $\hat{\vec{e}}'_a$ via the standard Euler θ, ϕ, χ . The translation and rotation evolution of the rigid body is prescribed on the *6-dimensional manifold* of the *absolute parallelism geometry*. We consider the pure rotations around an arbitrary fixed point of the body. The replacement of the fixes reference $\hat{\vec{e}}_a$ can be represent by one rotation by angle χ about the spatial axis passing through the origin of the $\hat{\vec{e}}_a$. The infinitesimal turn can be written by the vector $d\vec{\Phi}$ which determines the angular velocity vector $\omega^j = d\Phi^j/dt$. The infinitesimal increments $d\Phi^j$ are defined by the anholonomic linear transformation into the body-fixed system. We will describe the rotation motion of the body in the body-fixed fiber space where the orientation of the body are parametrized by the anholonomic coordinates. The body-frame components of the angular velocity have the standard form

$$\begin{aligned} \omega^1 &= \dot{\theta} \sin \chi - \dot{\phi} \sin \theta \cos \chi \\ \omega^2 &= \dot{\theta} \cos \chi + \dot{\phi} \sin \theta \sin \chi \\ \omega^3 &= \dot{\chi} + \dot{\phi} \cos \theta \end{aligned}$$

The angular velocity can be represented by the relation $\omega^j = a_b^j(\alpha)\dot{\alpha}^b$ where the coefficients $a_b^j(\alpha)$ form the matrix can have the form

$$\begin{matrix} \sin \chi & -\sin \theta \cos \chi & 0 \\ \cos \chi & \sin \theta \cos \chi & 0 \\ 0 & \cos \theta & 1 \end{matrix}$$

The covariant metric in the fiber space $g'_{bc} = \vec{e}_b \cdot \vec{e}_c$ can be represented in the terms of the covariant basic vectors in the fiber space $\vec{e}_b = a_{jb} \hat{\vec{e}}'_j$ and the geometry of the fiber space can be

prescribed by the nonzero components of the affine connection which was determined by the expression $\Delta_{\chi\phi}^\theta = \sin \theta$, $\Delta_{\chi\theta}^\phi = \Delta_{\theta\phi}^\chi = -\frac{1}{\sin \theta}$, $\Delta_{\chi\theta}^\chi = \Delta_{\theta\phi}^\phi = \cot \theta$,

Where the Ricci rotation coefficients for the basis \vec{e}^a are determined by the torsion $T_{bc}^a = -\Omega_{bc}^a$. In the space with torsion the affine connections are equal to the corresponding sum of Christoffel symbols and Ricci rotation coefficients $\Delta_{bc}^a = \Gamma_{bc}^a - \Omega_{bc}^a$. The energy – momentum tensor in the body-fixed frame depend on the torsion fields Ω_{bc}^a that will form the energy – tensor T_{bc}^a .

Conclusions

We was guided by the idea that the orientation of a rigid body is specified through the inclination of a set of body-fixed axes with respect to a set of space axes via the Euler angles. The geometry that underlies accurate description of the translational and rotational motion of the rigid body as we assume must be the *geometry of absolute parallelism* (autoparallelism), that represents a six-dimensional manifold $\mathbb{R}(3) \otimes SO(3)$ as a vector bundle with a base formed by the manifold of the translational coordinated and a fibre specified at each point by orthonormalized references \vec{e}_b . We investigate the rotational motion of the rigid body in the fibre space, where application of anholonomic coordinates leads to the nonzero torsion. We derived the equations which are similar to Einstein's equations but with the geometrized energy-momentum tensor. We take into consideration the fact that in the fibre space the rotation of the matter generates the torsion of the space, which formed the distribution and movement of the mass.

References and Links

1. S. J. Barnett, Phys. Rev. Vol. 6, 239 (1915).
2. A. Einstein and W. J. de Haas, Verh. Dtsch. Phys. Ges. Vol. 17, 152 (1915).
3. Mamoru Matsuo, Junichi Ieda, Eiji Saitoh, and Sadamichi Maekawa, Phys. Rev. B. Vol. 84, 104410 (2011).
4. T. Takabayasi, Prog. Theor. Phys. Vol. 14, 283 (1955);
T. Takabayasi, J. P. Vigier, Prog. Theor. Phys. Vol. 18, 573 (1957);
T. Takabayasi, Prog. Theor. Phys. Vol. 70, 1 (1983);
T. Takabayasi, Prog. Theor. Phys. Suppl. Vol. 4, 1 (1957);
5. P. R. Holland, P. N. Kyprianidis, Ann. Inst. Henri Poincare. Vol. 49, 325 (1988);
6. P. R. Holland, J. P. Vigier, Found. Phys. Vol. 18, 741 (1988);
7. Peter R. Holland, The Quantum Theory of Motion, Cambridge University Press, (1993);
8. P. R. Holland, Phys. Lett. A. Vol. 128, 9 (1988);
9. P. R. Holland, Phys. Rep. Vol. 169, 293 (1988).
10. A. Kramers, Quantentheorie des Electrons and des Strablung (Leipzig, 1938) 259
11. D. Arsenovic, A. Barut, Z. Marirc, and M. Božzirc, Nuovo Cimento B Vol. 110, 163 (1995).
12. A. Barut, M. Božzirc, and Z. Marirc, Ann. Phys. Vol. 214, 53 (1992).
13. A. Barut and N. Zanghi, Phys. Rev. Lett. Vol. 52, 2009 (1984).
14. P. Fiziev, H. Kleinert, Europhys.Lett. Vol. 35, 241 (1996).
15. G.H. Goedecke, arXiv:1408.1721; arXiv:1408.1722

16. P. Fiziev and H. Kleinert, hep-th/9503075
17. G. Shipov, A theory of physical vacuum, Moscow. (1988)
18. G. Shipov, Geometry of absolute parallelism, Part 1, preprint CISE VENT. N 14. 62. Moscow (1992).
19. Weitzenbock R., Invariantentheorie. Groningen: Noordhoff, Vol. 320 S, (1923).
20. Weitzenbock R., Proc. Knkl. nederl. akad. Vol. 28, 400 (1926)
21. Weitzenbock R., Sitzungsber. preuss. Akad. Wiss. Phys.-math. Kl. 466 (1924).
22. Vitali G., Atti Soc. ligust. sci. Lett. Vol. 11, 248 (1924).
23. Vitali G., Ibid. Vol. 14, 287 (1925).
24. J. A. Schouten, Tensor Analysis for Physicists. Clarendon Press. Oxford. (1954).

ГЕОМЕТРИЗАЦИЯ ТЕНЗОРА ЭНЕРГИИ-ИМПУЛЬСА

Мария Подаровская и Геннадий Шипов

Физический факультет, МГУ им. М. В. Ломоносова, Москва, Россия

warpdrive09@gmail.com

Мы представили геометро-гидродинамический формализм врачающегося тела, основанный на шестимерном многообразии геометрии абсолютного параллелизма, которая является англономной геометрией и обладает кручением. Мы представили геометризацию тензора энергии – импульса материи в координатах слоя. Было показано, что силы инерции являются следствием кручения пространства вокруг врачающегося объекта.

ПОЛЯ ЭЛЕКТРОДИНАМИКИ ОРИЕНТИРУЕМОЙ ТОЧКИ В НАУЧНОМ И ТЕХНОЛОГИЧЕСКОМ АСПЕКТЕ

Е.А. Губарев

МИТПФ РАН

e.gubarev.21@gmail.com

Показано, что основные качественные характеристики полей электродинамики ориентируемой точки в специальном режиме генерации совпадают с основными качественными характеристиками торсионных полей и скалярных волн Мейла.

1. Электродинамика ориентируемой точки. Специальные электромагнитные поля

Электродинамика ориентируемой точки [1, 2, 3] является расширением классической электродинамики Максвелла-Лоренца ввиду того, что уравнения новой электродинамики инварианты относительно преобразований теории относительности реальных систем отсчета (реальной относительности) [4]. Преобразования реальной относительности между реальными системами отсчета являются более общими, чем преобразования специальной относительности между инерциальными системами отсчета.

Теория реальной относительности [4] обосновывает преобразования пространственно-временных координат событий и координат физических полей между реальными системами отсчета, то есть такими системами отсчета, которые соединены с реальными телами и априори являются неинерциальными. В качестве реальной системы отсчета в этой теории выступает материальная точка (тело пренебрежимо малых размеров) или локальная часть протяженного тела, жестко связанные с четверкой ортогональных единичных векторов, - так называемая четырехмерная ориентируемая точка. Теория реальной относительности основана на пространстве событий четырехмерных ориентируемых точек, введенного Г.И. Шиповым [5].

Уравнения новой электродинамики в L -ковариантном виде (инвариантном относительно преобразований реальной относительности) формулируются единственным образом. Первая пара уравнений относительно локальных компонент L -тензора электромагнитного поля в самом общем виде выглядит так

$$\widetilde{\nabla}_c F_{ab} + \widetilde{\nabla}_b F_{ca} + \widetilde{\nabla}_a F_{bc} = 0, \quad (1)$$

где $\widetilde{\nabla}_c$ есть ковариантная производная в локальных неголономных координатах [8]:

$$\widetilde{\nabla}_c Z_a = Z_{a,c} + T_{ac}^b Z_b, \quad \widetilde{\nabla}_c Z^a = Z^a_{,c} - T_{bc}^a Z^b, \quad (2)$$

T_{bc}^a - коэффициенты вращения Риччи. Вторая пара уравнений электродинамики ориентируемой точки и уравнение непрерывности составляют следующие соотношения:

$$\widetilde{\nabla}_b F^{ab} = -\frac{4\pi}{c} j^a, \quad (3)$$

$$\widetilde{\nabla}_a j^a = 0. \quad (4)$$

Электромагнитное поле электродинамики ориентируемой точки в специальном режиме генерации (далее: «специальное ЭМ-поле») обозначает дополнительную (по

сравнению с классическим электромагнитным полем) составляющую электромагнитного поля, обладающую специальными (отличными от классических) свойствами.

В настоящей работе производится качественное сравнение специальных ЭМ-полей с:

- 1) экспериментально обнаруженными в России в конце 1980 гг. *торсионными полями* [6];
- 2) экспериментально обнаруженными в Германии в 1990 гг. *скалярными волнами* [7, 8] (в дальнейшем: «скаларные волны Мейла»), генерируемыми электромагнитным образом.

2. Основные свойства торсионных полей и скалярных волн Мейла и их сравнение с теоретическими свойствами специальных ЭМ-полей

Экспериментально обнаружено [6, 7, 8], что торсионные поля и скалярные волны Мейла демонстрируют ряд эффектов, выходящих за рамки классической электродинамики Максвелла-Лоренца. Среди них выделим пять основных эффектов:

2.1. При некоторых режимах генерации торсионных полей (скаларных волн Мейла) устанавливается режим стоячей волны в открытом пространстве между генератором и принимающим устройством. Для классических электромагнитных волн режим стоячих волн возможен только в закрытых волноводных структурах.

2.2. Скорость распространения торсионных полей (скаларных волн Мейла) может превышать скорость света в вакууме c . В одной серии экспериментов [8] был получен коэффициент превышения 1,5

$$\frac{V_{\text{scalarwave}}}{c} = 1,5 . \quad (5)$$

Отметим, что классическая электродинамика Максвелла-Лоренца и специальная относительность Эйнштейна устанавливают ограничение на скорость передачи сигналов (информации) материальными носителями - она не может превышать скорость света в вакууме c .

2.3. При некоторых режимах генерации торсионных полей (скаларных волн Мейла) электромагнитная мощность, передаваемая устройством на внешнюю нагрузку, больше, чем мощность, потребляемая устройством от внешних источников. Этот факт говорит о том, что при некоторых режимах генерации торсионных полей (скаларных волн Мейла) в систему добавляются внешние источники - так называемые тонкие структуры физического вакуума.

Отметим, что классические электромагнитные поля представляют собой в чистом и ограниченном виде проявленную материю. В классической парадигме (механика материальной точки, электродинамика Максвелла-Лоренца, специальная относительность) нет понятий о тонких структурах физической реальности, обладающих энергией.

2.4. Обычные электромагнитные экраны (например, «клетка Фарадея»), являющиеся эффективной защитой от классических электромагнитных полей, являются прозрачными для торсионных полей (скаларных волн Мейла) различных частот. Таким образом, экспериментально установлено, что торсионные поля (скаларные волны Мейла) имеют свойства сверхпроникаемости в проводящих средах.

2.5. Экспериментально установлено, что торсионные поля (скаларные волны Мейла) не подчиняются законам распространения классических электромагнитных волн, согласно которым интенсивность классических волн падает обратно пропорционально расстоянию от источника, а передаваемая мощность - обратно пропорционально квадрату расстояния от источника. Установлена слабая зависимость интенсивности торсионных полей (скаларных волн Мейла) от расстояния.

При анализе уравнений электродинамики ориентированной точки теоретически показано [1], что электромагнитное поле при некоторых режимах генерации обладает специальными свойствами, которые аналогичны свойствам 2.1, 2.2, 2.3, 2.4 торсионных полей (скаларных волн Мейла), полученных экспериментальным путем.

Более конкретно относительно свойства 2.1. В [1, раздел 9] теоретически показано, что при круговом движении заряда возможно существование стоячих электромагнитных волн в открытом пространстве.

Относительно свойства 2.2. В [1, раздел 8] теоретически показано, что при круговом движении заряда генерируются две монохроматические волны в направлении вперед, фазовая скорость одной из них больше скорости света в вакууме c .

Относительно свойства 2.3. В [1, Заключительные положения] указано на возможность генерации специальных электромагнитных полей, снабженных энергией, при взаимодействии зарядов и токов с тонкоматериальной структурой физического вакуума - полем кручения.

Относительно свойства 2.4. В [1, раздел 9] теоретически доказано, что квазистатические специальные ЭМ-поля имеют неиндукционный характер и не возбуждают никакой электродвижущей силы в плоскости, перпендикулярной направлению распространения. Поэтому они не совершают никакой работы над свободными зарядами и, вследствие этого, не рассеиваются в проводящих средах, то есть обладают свойством сверхпроницаемости.

Относительно свойства 2.5. Теоретическая зависимость специальных электромагнитных полей от расстояния в настоящее время исследуется в рамках электродинамики ориентируемой точки.

3. Два частных свойства специальных ЭМ-полей

3.1. Индукция Фарадея [9]. Только некоторые независимые авторы, в частности, К. Мейл (K. Meyl) [7], Ф.Ф. Менде [10], публично высказались о факте, что открытие униполярной индукции М. Фарадеем около 1830 г. не нашло своего объяснения в классической полевой концепции электромагнетизма, выдвинутой Дж. Максвеллом в 1862 г. Не секрет, что тема униполярного генератора М. Фарадея обходится классической электродинамикой или находит в ней поверхностные объяснения, не выдерживающие критики.

Что же касается индукции Фарадея, которая проявляется в случае постоянного во времени электромагнитного поля, то этот эффект объясняется в рамках электродинамики ориентируемой точки [1]. Действительно, эффекту индукции Фарадея соответствует следующая неявная зависимость специальной компоненты электрического поля

$$\mathbf{E}_T = \frac{1}{c} [\boldsymbol{\omega} \mathbf{A}] \quad (6)$$

от магнитного поля вращающегося магнита

$$\mathbf{H} = \text{rot } \mathbf{A}, \quad (7)$$

которая выполняется и в стационарном случае $d\mathbf{H}/dt = 0$, $d\mathbf{E}/dt = 0$. Здесь \mathbf{A} - векторный потенциал электромагнитного поля, $\boldsymbol{\omega}$ – угловая скорость вращения магнита.

Индукция Фарадея может быть отнесена к более общей области эффектов 2.3.

3.2. Эффект Козырева [11]. Астрономические наблюдения Н.А. Козырева зафиксировали «...не только истинное положение звезды в момент наблюдений, но и ее видимое положение, то есть положение в прошлом, когда от нее вышел свет» [11]. Другими словами, эффект заключается в получении двух сигналов от удаленного источника: скорость первого сигнала во много раз больше скорости света в вакууме, скорость второго может быть оценена порядка c . (Скорость распространения медленного сигнала измерить сложно, так как истинное расстояние до звезды неизвестно.)

В электродинамике ориентируемой точки [1, раздел 8] этот эффект называется *эффектом двойного сигнала*. Он заключается в следующем. При круговом вращении заряда генерируется в направлении вперед две волны - быстрая и медленная, причем фазовая скорость (скорость передачи энергии) быстрой волны может значительно превышать скорость света в вакууме, фазовая скорость медленной волны порядка c . Неподвижный наблюдатель может зафиксировать эффект двойного сигнала, который заключается в разном времени прихода быстрой и медленной волны, излученных одновременно.

Эффект Козырева может быть отнесен к области эффектов 2.2.

4. Заключение. Основные задачи развития

Сделанное в настоящем докладе сравнение экспериментальных свойств торсионных полей и скалярных волн Мейла с открытыми электродинамикой ориентируемой точки свойствами специальных ЭМ-полей приводит к следующему заключению:

основные теоретические свойства специальных ЭМ-полей качественно совпадают с основными свойствами торсионных полей и скалярных волн Мейла, полученных экспериментально.

В текущий момент основной задачей области, связанной с обсуждаемыми полями (специальными ЭМ-полями, торсионными полями, скалярными волнами Мейла), является задача их идентификации и измерения. Не секрет, что обычные приборы по измерению классических электромагнитных полей не подходят для измерения специальных ЭМ-полей, так как они никак не реагируют на эти поля. Поэтому, как правило, исследователи пользуются грубыми косвенными методами, позволяющим по вторичным эффектам говорить о наличии, но не о величине специальных ЭМ-полей. Тем не менее, исследователи уже ставят задачу об определении единицы измерения специальных ЭМ-полей [12]. Проблема глубока и традиционна - для того, чтобы установить единицу измерения поля, необходимо знать принцип действия этого поля на элементарный объект.

Без обоснования метрологии специальных ЭМ-полей сертификация приборов и технологий со специальными ЭМ-полями будет затруднительной – такая сертификация, как правило, проходит на основании заключения уполномоченного государственного органа. Прекрасной иллюстрацией к необходимости развития фундаментальных знаний о специальных ЭМ-полях является обзор текущего положения дел. Не секрет, что человечество в лице великого Николы Тесла уже более ста лет назад приоткрыло завесу над этой областью. Но воз и ныне там! Экспериментальные проявления специальных ЭМ-полей множатся, но внедренные технологии с их использованием в промышленных масштабах отсутствуют.

Литература

1. Е.А. Губарев. Электродинамика ориентируемой точки. Москва, Новый Центр, 2013.
2. Е.А. Губарев. Уравнения электродинамики, ковариантные относительно преобразований теории относительности реальных систем отсчета. // Фридмановские чтения: тез. докл. междунар. науч. конф. (Пермь, 24 июня – 28 июня 2013 г.) / гл. ред. В.Ф.Панов; Перм. гос. нац. исслед. ун-т. – Пермь, 2013, с.69.
3. E.A. Gubarev. Electrodynamics of oriented point as a consequence of the real relativity principle. // Proceedings of the Twelfth Asia-Pacific International Conference on Gravitation, Astrophysics, and Cosmology, World Scientific Publishing Co. Pte. Ltd., 2016, pp. 242-243.
4. Е.А. Губарев. Теория реальной относительности. Москва, Новый Центр, 2009.
5. Г.И. Шипов. Теория физического вакуума. Москва, фирма «НТ-Центр», 1993.
6. А.Е. Акимов. Эвристическое обсуждение проблемы поиска новых дальнодействий. EGS-концепции. // Сознание и физический мир. Сборник статей. Выпуск 1. М.: Издательство Агентства «Яхтсмен», 1995. С.36-84.
7. K. Meyl. Faraday or Maxwell? <http://www.k-meyl.de>.

8. K. Meyl. Scalar Wave Technology. <http://www.k-meyl.de>.
9. Л.Н. Смирных. Парадоксы униполярной генерации. О проблеме увлечения магнитного поля вращающимся магнитом. <http://www.nkozyrev.ru/bd/081.php>.
10. Ф.Ф. Менде. Новая электродинамика. Революция в современной физике. Харьков, «HTMT», 2012.
11. Н.А. Козырев, В.В. Насонов. О некоторых свойствах времени, обнаруженных астрономическими наблюдениями. <http://www.nkozyrev.ru/bd/013.php>.
12. В. Жигалов, С. Кернбах. От редакции. // Журнал Формирующихся Направлений Науки, номер 4(2), стр. 4-5, 2014.

FIELDS OF ELECTRODYNAMICS OF ORIENTED POINT
IN SCIENTIFIC AND TECHNOLOGICAL ASPECTS

E.Gubarev

IITAP RANS

e.gubarev.21@gmail.com

It is shown that the main qualitative characteristics of fields of Electrodynamics of Oriented Point in special regimes agree with the main qualitative characteristics of torsion fields and scalar waves by K. Meyl.

ПРИМЕР УПРАВЛЯЮЩЕГО ВОЗДЕЙСТВИЯ НЕБЕСНЫХ ТЕЛ И О НЕРЕАЛЬНОСТИ
НЕКОТОРЫХ ГИПОТЕТИЧЕСКИХ МОДЕЛЕЙ С МГНОВЕННЫМ ПЕРЕНОСОМ
ЭНЕРГИИ, НО РЕАЛЬНОСТИ БЕЗЭНЕРГЕТИЧЕСКИХ УПРАВЛЯЮЩИХ
ВОЗДЕЙСТВИЙ

С.А. Васильев

ВНИИГеофизика, Москва, retaired

disput22@mail.ru и disput22@gmail.com

Продемонстрирован наглядный пример управляющих воздействий небесных тел. Простейшая энергетическая оценка показывает, что изменение состояний и энергии земных объектов под влияниями звезды не может происходить за счёт энергии звезды, переносимой к земным объектам гипотетической плотностью времени (гипотеза Н.А. Козырева) или каким либо иным гипотетическим способом. В итоге подтверждается, что планеты и звёзды могут влиять на земные объекты только посредством управляющих безэнергетических воздействий, переносимых безэнергетическими (быть может, информационными) полями. Важнейшей задачей остается вскрытие механизмов безэнергетических воздействий. Сказанное имеет отношение и к экспериментам проекта «Вторая физика», когда воздействуют на сверх дальних расстояниях при крайне маломощных генераторах неких неэлектромагнитных полей.

Академическая наука твёрдо стоит на Позиции: «планеты и звёзды не могут влиять на Землю». Действительно, нетрудно убедиться, что всякое энергетическое поле со сферическим фронтом, исходящее от планеты или звезды, должно, независимо от его физической природы, убывать как $1/R^2$ на расстоянии R от планеты или звезды в силу закона сохранения энергии. Если учесть реальные расстояния от Земли до планет и звёзд, то оценка показывает невозможность сколь-нибудь заметного воздействия последних на Земле. Поэтому следует согласиться с указанной Позицией. Но, поскольку влияния планет и звёзд на земные процессы реально регистрируются [1], одновременно следует отметить: *из приведённого физического обоснования* Позиции не вытекает, будто влияния планет и звёзд на земные процессы невозможны вовсе, *это обоснование означает лишь, что влияния планет и звёзд на земные процессы реально невозможны энергетическим, силовым способом*. Приведём пример.

Валерий Николаевич Смирнов сконструировал прибор, который регистрирует заметные влияния планет и звёзд на Земле, и который автор статьи называет детектором Смирнова. В детекторе Смирнова используется волчок на магнитной подушке, вращение которого организовано по специальной своеобразной схеме [2, 3]. Под воздействием небесных тел изменяется скорость вращения волчка. Сначала было зарегистрировано изменение скорости вращения волчка при восходах-закатах, при верхних и нижних кульминациях планет, при соединениях планет с Солнцем, при попадании Солнца в точки равноденствия. При восходах-закатах и кульминациях планет скорость вращения волчка изменялась на 0.7-1.5%. Это изменение удерживалось в течении краткого промежутка времени, обычно, 1,5-3 минуты. С экспериментальными записями указанных изменений можно ознакомиться в работах [2, 3]. Все наблюдения с детектором Смирнова происходили без использования фокусирующих устройств типа телескопов. Заметные влияния звёзд на земные объекты могут показаться невероятными. Тем не менее, в 2009 году детектор Смирнова зарегистрировал существенные изменения скорости вращения волчка при верхних кульминациях ближайших звёзд, например, Сириуса, звезды ξ Eri (HP 15197) и звезды α For (HP 14679A), и при верхних кульминациях далёких галактик, например, туманности Андромеды и галактики NGC 1344 [3]. Причём, воздействия звёзд и галактик на волчок Смирнова не были ничтожными. Они были сопоставимы с воздействиями планет.

Если в результате воздействия звезды угловая скорость вращения волчка Смирнова ω возрастает от ω_1 до ω_2 за некоторое время δt , то энергия вращения волчка Смирнова увеличивается на некоторую величину δE . В соответствии с Позицией академической

физики, энергия δe звезды, достигающая волчка Смирнова за тоже время δt , исчезающе мала по сравнению с энергией δE и не играет никакой роли. Отношение $\delta E/\delta e$ несложно оценить, если учесть, что исходящий от звезды поток энергии излучения W (болометрическая светимость), размазывается по сфере Q_{ST} , радиус которой R_{ST} равен расстоянию до звезды, а её центр O совпадает со звездой¹. Следовательно, энергия волчка изменяется не за счёт энергии звезды. Тогда возникает вопрос: откуда берётся энергия волчка δE , и в чём собственно состоит воздействие звезды на волчок. Если предположить, что во время воздействия звезды на детектор Смирнова не включается передача энергии к волчку от других материальных объектов или процессов, то энергия δE берётся ниоткуда, что исключено. Следовательно, воздействие звезды на детектор Смирнова включает перекачку энергии к волчку от других материальных объектов или процессов. Аналогично, если в результате воздействия звезды скорость ω убывает от ω_1 до ω_2 за время δt , то энергия волчка уменьшается на величину δE , то есть, под воздействием звезды включается откачка энергии от волчка к другим материальным объектам или процессам. Таким образом, *воздействие звезды сводится здесь к управляемому воздействию, запускающему перекачку энергии*. Тогда где же находится реальный источник энергии δE ? Среди возможных источников или поглотителей энергии δE находится электрохимический источник энергии вращения волчка - обыкновенная батарейка, питающая микроэлектродвигатель, вращающий волчок в детекторе Смирнова. Это не удивительно, поскольку электролит является жидкостью, а жидкости изменяют свои структуру и свойства под воздействиями планет и звёзд [4]. Эти изменения, видимо, особенно заметны при рывках величины электрической нагрузки, организованной специально в детекторе Смирнова. Как рассказывал автору сам Валерий Николаевич, батарейки играют решающую роль в его детекторе – далеко не при всякой батарейке происходила регистрация воздействий небесных тел. Изменения процессов выработки электроэнергии в электрохимических элементах под влияниями небесных тел, означало бы участие последних в управлении этими процессами.

Выдающийся астрофизик Н.А. Козырев считал, что воздействие I звезды изменяет энергию земного объекта за счёт передачи ему энергии от звезды, то есть он считал, что воздействия звёзд на Землю происходит энергетическим, силовым способом. Вместе с тем, Н.А. Козырев обнаружил мгновенность передачи воздействия от звезды, что в корне противоречит специальной теории относительности (СТО), если воздействие переносит энергию. Дабы как-то преодолеть возникшее противоречие, Н.А. Козырев выдвинул концептуальную гипотезу, согласно которой энергию переносит так называемая плотность времени, каковая, как и само время, мгновенно пронизывает всю Вселенную, а при изменениях плотности времени происходит выделение или поглощение энергии временем. Последователи Н.А. Козырева называют данный способ переноса энергии и воздействий «распространением во временном аспекте» [5]. Тогда часть энергии звезды, а именно, её энергия, переносимая РВА, мгновенно и одновременно достигает все точки Вселенной. Так же Н.А. Козырев утверждает, что никакое поле не передаёт воздействия I звёзд, поскольку эти воздействия не передают импульс, что безусловно верно, *если считать поле энергетическим*.

Рассмотрим внимательнее энергетическое воздействие звезды на примере экспериментов с волчком Смирнова. Для простоты будем аппроксимировать волчок диском перпендикулярным лучу от звезды. Суммарный поток лучистой энергии звезды W размазывается по площади $4\pi R_{ST}^2$ сферы Q_{ST} . Лучистая энергия звезды δe , достигающая

¹ Каждый экспериментатор, работающий с детектором Смирнова, может оценить величину $N \equiv |\delta E/\delta e|$ по формуле $N = mR_{ST}^2/\omega_2^2 - \omega_1^2/(W\delta t)$, где m – масса волчка. Здесь волчок аппроксимируется диском и не учитывается поглощение энергии в межзвёздной среде. В опубликованных статьях автору удалось найти информацию об ω_1 , ω_2 , δt и потому оценить N по экспериментальным данным только для самой близкой звезды – Сириуса (см. правую часть графика на рис. 14 доклада [3]). Если положить $m = 0,1 \text{ кг}$, то величина δe в миллион двести тысяч раз меньше δE . Если мысленно переместить Сириус на расстояние ближайшей звезды Ригель (созвездие Ориона), то величина δe в 12 миллиардов раз была бы меньше δE (при тех же параметрах m , ω_1 , ω_2 , δt), не говоря уже о дальних звёздах нашей Галактики.

волчка за время δt распространяется по лучам от звезды и равна $\delta e = sW\delta t/4\pi R_{ST}^2$, где s – площадь диска волчка. И наоборот, суммарную лучистую энергию звезды $E = W\delta t$, испускаемую звездой и достигающую сферу Q_{ST} за время δt , можно вычислить по формуле

$$E = W\delta t = 4\pi R_{ST}^2 \delta e / s, \quad (1)$$

если известна величина δe . Однако, непонятно и неизвестно какая именно энергия δE_{PVA} достигает волчка за время δt методом «распространения во временном аспекте (РВА)». Поскольку энергия передаётся методом РВА мгновенно и одновременно во все точки Вселенной, то она мгновенно и одновременно передаётся и во все точки сферы Q_{ST} . В силу равноправности всех точек сферы Q_{ST} , на любую маленькую площадь s сферы Q_{ST} методом РВА передаётся за время δt одинаковая энергия δE_{PVA} . Потому, зная δE_{PVA} , можно вычислить суммарную энергию звезды E_{PVA} , передаваемую звездой на всю сферу Q_{ST} методом РВА за время δt

$$E_{PVA} = 4\pi R_{ST}^2 \delta E_{PVA}/s. \quad (2)$$

При этом получаем следующее. Если энергия δE_{PVA} , достигающая волчок Смирнова за время δt методом РВА, не превышает δe , то, в соответствии с Позицией академической физики, энергия δE_{PVA} , вместе с δe , исчезающее мала по сравнению с изменением энергии волчка δE и не играет никакой роли. Если же энергия δE_{PVA} сравнима с энергией δE или равна ей (так что энергия δE_{PVA} способна реально заметно изменить скорость вращения волчка), то из сравнения формул (1) и (2) видно, что тогда суммарная лучистая энергия звезды E исчезающее мала по сравнению с другой суммарной энергией звезды E_{PVA} , передаваемой звездой методом РВА. Последнее представляется нереальным. Потому модель с мгновенным переносом энергии плотностью времени и с изменениями состояний земных объектов за счёт энергии звёзд также представляется нереальной. Образно говоря, если бы это было так, а звёзд мириады, то звёзды обогревали бы Землю. Если энергия δE_{PVA} передаётся не волчку, а некоему иному элементу детектора Смирнова, например, источнику электрической энергии, то рассмотрение усложнится, но суть не изменится. Пусть теперь рассматривается модель с каким угодно другим гипотетическим необычным способом передачи энергии δE_{GIP} от звезды к волчку, а точки сферы Q_{ST} остаются равноправными. Тогда формулы (1), (2) остаются справедливыми с заменой в них δE_{PVA} на δE_{GIP} , а вместе с этим остаётся справедливым и вывод о нереальности данного гипотетического способа применительно к нашему физическому пространству. Указанные модели могут прекрасно преодолевать запрет СТО на превышение скорости света, но не преодолевают нереальность энергетического баланса воздействий звёзд на земные объекты², как на то и указывает Позиция академической физики. Потому, исходя из исчезающей малости энергии δe планеты или звезды, достигающей земного объекта, по сравнению с изменением энергии земного объекта δE под воздействием этой планеты или звезды, автор приходит к выводу: *планеты и звёзды могут влиять на земные объекты только посредством управляющих воздействий, как то описано на примере выше*. Разумеется, аналогичное верно и в случаях, когда энергия некоторого передатчика, достигающая некоторого объекта, ничтожна по сравнению с изменением энергии объекта под влиянием передатчика, то есть, мы наблюдаем управляющие воздействия передатчика, например, во многих экспериментах по воздействиям крайне маломощных передатчиков неких неэлектромагнитных полей на расстояниях в тысячи километров, скажем, в экспериментах по влияниям на развитие растений на расстоянии 1450 километров (проект Вторая физика) [6, 7].

² Сюда же относится и гипотетическая модель, предлагаемая уже много лет, в рамках которой наше пространство свёрнуто в маленький «катушек», в пределе в точку в пространстве большего числа измерений, а энергетический сигнал от звезды выходит из нашего пространства в дополнительные измерения и затем возвращается в наше пространство. При этом скорость сигнала не превышает скорость света, но за счёт стянутости нашего пространства в точку, или почти в точку, энергия мгновенно, или почти мгновенно, переносится между точками нашего пространства. Здесь так же преодолен только запрет СТО на превышение скорости света, но не более того.

Немыслимо себе представить, чтобы энергия, приходящая к волчку Смирнова, например, от далёкой галактики, удалённой на миллионы световых лет, была достаточна, дабы осуществить хоть какое-то управляющее *энергетическое* воздействие на волчок Смирнова, что снова согласуется с Позицией академической науки. Однако, приоритет имеет эксперимент, а эксперимент показывает, что далёкие галактики всё-таки воздействуют на волчок Смирнова. *Следовательно, далёкие небесные тела воздействуют каким-то принципиально иным способом, который по логике является только безэнергетическим способом управляющих воздействий.* В рамках представлений теории поля о переносе воздействий полями, *безэнергетические воздействия переносятся безэнергетическими (быть может информационными) полями*³. При этом запрет СТО на сверхсветовое распространение воздействия снимается автоматически [1]. А отсутствие передачи импульса от далёких небесных тел земному объекту при их воздействиях, которое смущило Н.А. Козырева, становится понятным, так как безэнергетические поля в принципе не могут переносить импульс. Сказанное выходит далеко за рамки привычных представлений. Потому научная общественность, в своём большинстве, стойко с порога отрицает безэнергетические воздействия и поля, игнорируя логику и экспериментальные факты. Но, когда будет вскрыт механизм безэнергетических (быть может информационных) воздействий физических тел, будет дан мощный импульс развитию науки и технологий.

Литература

1. Vasiliev Sergey A. Basic Physical Properties of the Physical Non-material World Objects. //Applied Physics Research, Vol. 4, No. 2; 2012, p. 175 – 189. Доступно и на русском языке на сайте www.nonmaterial.narod.ru.
2. Smirnov V. N., Egorov N. V., Shchedrin S. I. A New Detector for Perturbations in Gravitational Field. *Progress in Physics*, 2008. vol. 2, 129-133.
3. Смирнов В. Н., Егоров Н. В., Панчелюга В. А. О регистрации воздействия неэлектромагнитной природы от удаленных астрофизических объектов. *Доклад на международной конференции «Физические интерпретации теории относительности», 6–9 июля 2009 года, МГТУ им. Н. Э. Баумана, Москва*, доступно on line www.biophys.ru/archive/congress2009/pro-p148.htm.
4. Zubow K., Zubow A.V., Zubow V.A Water Clusters Ensemble as a Interface to Structure of the Epicenter and the Earthquake Mechanism on the Jawa Island ($8^{\circ} 73' \text{ s. } 112^{\circ} 36' \text{ e.}$). *J. of Phys. Chem.: An Indian Journal*, 2012, vol. 7, no. 3, 87-95.
5. Еганова И. А. Terra incognita, открытая Козыревым Н.А. 5-я Сибирская междисциплинарная конференция «Математические проблемы физики пространства-времени сложных систем» (ФПВ-2004), Библиотека конференции, 2005, вып. 2, с. 249-271. изд-во СО РАН, Новосибирск, ред. Лаврентьев М.М.
6. С.Н. Маслоброд, С. Кернбах, Е.С. Маслоброд. Нелокальная связь в системе 'Цифровое отображение растительного объекта - растительный объект'. ЖФНН, 2014, том 2, номер 4, 29 – 47 и ЖФНН. 2014, том 2, номер 5, 56 – 79.
7. С.Н. Маслоброд. Дистантное влияние эффекта формы на биоизомерию проростков. ЖФНН, 2016, том 4, номер 11, 54 – 57..

³ Автор самостоятельно и независимо пришёл к выводу о безэнергетических полях и воздействиях в 2003 году [8], не зная о ценных экспериментах С. Э. Шноля. В экспериментах группы С.Э. Шноля [9,10] исследуются изменения гистограмм G скорости протекания процессов разной физической природы и разной энергонасыщенности – от радиоактивных распадов и химических реакций до шумов в гравитационных антенах – под воздействиями небесных тел. Изменения гистограмм G оказываются *синхронно* сходными, несмотря на различия энергонасыщенности упомянутых процессов на сорок порядков. Другими словами, выявляется воздействие небесных тел при отсутствии какого-либо соответствия между энергией воздействия и энергией процессов. По мнению С.Э. Шноля, изменения форм гистограмм G порождаются флюктуациями пространства-времени, так как последнее есть единственное общее для столь разнородных процессов [9]. С.Э. Шноль обратил внимание на важный факт – на безэнергетичность рассматриваемых воздействий [10]: «...Диапазон изменений энергии в изученных нами процессах составляет десятки порядков. Отсюда ясно, что «внешняя сила», вызывающая синхронную смену форм гистограмм, имеет не энергетическую природу».

8. Васильев С.А. Проблемы построения физики нематериального мира и её значение для всех нас. // М. 2004, Христианское издательство, 82 с., ISBN 5-7820-0085-6, доступно on line www.nonmaterial.narod.ru.
9. Shnoll S.E. Changes in the fine structure of stochastic distributions as consequence of space-time fluctuations // Progress in Physics, 2006. V. 6. P. 39–45.
10. Шноль С. Э. Макроскопические флуктуации - возможное следствие флуктуаций пространства-времени. Арифметические и космофизические аспекты./ *Российский Химический журнал*, 2001, том XLV, № 1, стр.12-15

THE EXAMPLE OF THE CONTROL ACTIONS OF THE CELESTIAL BODIES AND
THE UNREALITY OF SOME HYPOTHETICAL MODELS WITH INSTANTANEOUS
ENERGY TRANSFER, BUT THE REALITY IS ENERGY-FREE CONTROL ACTIONS

Vasiliev S.A.

VNIIGeofizika, Moscow, retaired

disput22@mail.ru and disput22@gmail.ru

The illustrative example of the control actions of the heavenly bodies is demonstrated. The simplest energy assessment indicates that the energy change of the earthly object under the influence of the stars can not be at the expense of the star energy transferred to the earthly object by the hypothetical time density (hypothesis N. A. Kozyrev) or by some other hypothetical way. In result it is confirmed that the planets and the stars can influence to earthly objects only by means of the energy-free control actions carried by the energy-free (may be by informational) fields. The disclosure of the energy-free action mechanism remains the most important task. The foregoing relates and to the experiments of "Second Physics" project when the experimenters affect by the extremely low power generators of some nonelectromagnetic fields over very long distances.

О МЕХАНИЗМАХ ПОДСОЗНАНИЯ И ПАМЯТИ

А.В. Бобров

Орловский государственный университет имени Тургенева

drobser@yandex.ru

В работе продолжено развитие изложенной в [1] концепции двухуровневого механизма обработки информации в ЦНС - клеточного и полевого. Необходимость перехода к новой парадигме определяется отсутствием иных решений, позволяющих вывести из состояния стагнации ортодоксальную науку, обременённую хорошо известными нерешаемыми проблемами, связанными с психической деятельностью человека.

Модельное рассмотрение механизмов подсознания и памяти позволило определить статус феномена подсознания: *подсознание является автономной функциональной структурой феномена психической деятельности*. Феномен долговременной памяти - атрибут феномена подсознания. Функционирование механизма подсознания основано на взаимодействии Собственных спиновых полей (ССП) глиальных клеток олигодендроцитов, входящих в состав нейроглиальных комплексов (НГК), с дальнодействующими спиновыми полями физического вакуума.

Состояние ССП глиальных клеток, входящих в состав НГК, определяется афферентной информацией, поступающей на синаптические входы нейрона, входящего в состав НГК, а также информацией, поступающей из внешней среды по полевому каналу непосредственно на глиальную клетку.

Поступление афферентной информации на синаптический вход НГК приводит к возрастанию в глиальной клетке количества ионов калия – клетка деполяризуется. При этом снижается значение её отрицательного мембранныго потенциала, а интенсивность ССП глиальной клетки возрастает. Длительность процесса реполяризации – обратного выхода ионов калия из глиальной клетки, зависящая от величины поступившей афферентной информации, определяет продолжительность существования *полевой энграмм* долговременной памяти.

Описан механизм перекодировки информации при её переносе с клеточного уровня "биокомпьютера сознания" на полевой уровень. Описан механизм переноса информации с клеточного уровня "биокомпьютера сознания" на полевой уровень.

1. Кризис ортодоксальной науки

1.1. Нейрофизиологическая наука – истоки стагнации

Современная нейрофизиология основана на шаткой догме, пришедшей из далёкого прошлого, согласно которой нервная клетка является единственной структурной единицей, реализующей все проявления проходящих в ЦНС процессов психической деятельности индивида - осознания, мышления, памяти, ясновидения, предвидения, анализа, дедукции и многих других. Неуверенность в догме, и в то же время полная беспомощность нейрофизиологической науки наглядно отражена в учебном пособии для студентов В.В. Шульговским – доктором биологических наук, профессором, заведующим кафедрой Высшей нервной деятельности МГУ. Он пишет: "Сознание и другие психические феномены являются самым высоким уровнем психической деятельности человека. Но у биологов не должно быть сомнений, что в их основе лежат нейробиологические процессы мозга. Проблема состоит в детальном объяснении, как в этих случаях работает мозг. Возможно, в XXI столетии решение проблемы нейробиологии сознания станет самым важным открытием третьего тысячелетия...".

Сам В.В. Шульговский, по-видимому, не очень уверен в сказанном. Уже через две строки мы читаем: "Возможно, мы заблуждаемся, считая, что нейроны и синапсы являются анатомическими единицами сознания, скорее всего, оно является результатом кооперативной деятельности ряда мозговых систем". Но уже на следующей странице, верный корпоративным установкам, В.В. Шульговский возвращается к догме: "Сознание есть ни что иное, как активность нейронов" (2] (с.14, 15).

Доказательства существования механизмов, реализующих на уровне нейронных сетей коры головного мозга все не находящие объяснения проявления психической деятельности человека, отсутствуют. Напротив, низкие частотные и временные показатели процессов нейронных сетях коры головного мозга и ряд других веских обстоятельств свидетельствуют о невозможности проявления таких феноменов на клеточном уровне ЦНС.

1.2. Проявления психической деятельности в феноменах сверхбыстрой обработки информации и неограниченного объёма памяти

Ниже приведен ряд примеров, иллюстрирующих многообразие проявлений психической деятельности человека. К парадоксальным проявлениям психической деятельности человека, не решаемым на нейронном уровне, относятся сверхбыстрая обработка информации и неограниченный объём памяти.

1. Примером не решаемой на клеточном уровне проблемы сверхбыстрых психических процессов является феномен отражения в речи внезапно возникшей идеи. Индивид не прикладывает никаких усилий для её отражения в вербальной форме в виде предложений, содержащих набор слов, следующих друг за другом в соответствии с нормами лингвистики, извлечённых из словарного архива его памяти (в русском языке порядка 400000 слов!) и преобразованных в соответствии с нормами морфологии. Состав предложения формируется в подсознании индивида в доли секунды.

2. Женщина из Индии Шакунтала Дэви соревновалась с компьютером в извлечении корней из чисел. Она мгновенно извлекала корни 6-й степени из девятизначных чисел, что, однако, не свидетельствовало об уровне интеллекта: она дважды провалилась на промежуточном экзамене на степень бакалавра. В восьмидесятых годах прошлого столетия в средствах массовой информации прошло сообщение: «Женщина-компьютер Шакунтала Дэви вычислила с точностью до единицы корень двадцать третьей степени из двухсот-одного-разрядного числа, опередив на десять секунд ЮНИВАК 1108 – один из самых сложных компьютеров США. При этом Шакунтала Дэви утверждала, что "не знает, как она это делает" [3]. Для выполнения задачи с вычислением корня двадцать третьей степени не существует простой – на уровне средней школы – алгоритм, подобный алгоритму вычисления корня квадратного. По мнению специалистов, решение задачи невозможно без применения специальных методов или средств вычислительной техники. Но малограмотная женщина о методах решения задачи путем логарифмирования или разложения чисел в ряд, знать не могла. Таким образом, на основании объективных фактов, подтверждаемых самой участницей эксперимента, необходимо признать, что в рассматриваемом случае сложнейшая задача выполнялась на уровне подсознания с применением неизвестных методов и вычислительных средств, имеющих неизвестную природу. Эти методы не основывались на многочисленных обращениях к памяти, на сохранении в памяти и последующим извлечением из неё бесконечно большого объема цифровой информации. Мысление и память работали совместно с бесчисленным числом переключений.

3. Диктор Чиквашвили легко вычисляет, сколько слов и букв произнесено за определенный промежуток времени. Был поставлен контрольный эксперимент, в котором требовалось подсчитать количество слов и букв, произнесенных диктором, когда он комментировал футбольный матч. Ответ последовал, как только диктор закончил: 17427 букв, 1835 слов. Ответ был верный, а на проверку по магнитофонной записи ушло несколько часов [4].

4. Сотрудник Европейского центра атомных исследований Уильям Клейн помнит таблицу умножения до 100000, квадраты чисел до 150. Он неоднократно присутствовал при испытании компьютеров британских фирм. Однажды компьютеру было предложено извлечь корень квадратный из числа 555555555555. Пока программист вводил задание, Клейн сказал: «745356». Позднее компьютер выдал ответ: 745355,9924 [5].

5. Южноафриканский и международный политический деятель Ян Христиан Смэтс в преклонном возрасте выучил наизусть 5000 книг [6].

1.3. Проблемы памяти не могут быть решены на нейронном уровне рефлекторных реакций

Подтверждением кризиса ортодоксальной науки, основанной на нейрофизиологических принципах участия нервных клеток в процессах психической деятельности, является нулевой итог едва ли не векового исследования проблем памяти. К ним относятся отсутствие центра памяти, отсутствие завершённой теории памяти, не обнаруженная локализация следа памяти - энграмм.

Итоги векового исследования феномена памяти отражены в тупиковых коллизиях в работах академика П.К. Анохина, доктора биологических наук профессора В.В. Шульговского.

П.К. Анохин - интегративная функция нейрона и химические реакции взрывного типа в концепции памяти. Согласно П.К. Анохину: "...процесс, позволяющий извлекать из памяти в доли миллисекунды целые картины, образы и воспоминания, должен быть исключительно быстрым... Этот процесс извлечения из памяти является еще более поразительным, если вспомнить, с какой легкостью он ежесекундно и безошибочно помогает принять нужное решение. *Обратим внимание, с какой легкостью мы извлекаем из памяти самые тончайшие нюансы нашей мысли, разговора и всего того, что было накоплено за всю нашу жизнь...*" (выделено авт., А.Б.) [7].

Если проблема механизма сверхбыстрой обработки информации являлась ведущей темой при создании концепции интегративной функции нейрона, для решения которой Анохину пришлось постулировать существование неких сверхбыстрых ферментативных реакций, то сегодня эта проблема по причине отсутствия реальных путей ее решения просто игнорируется в надежде на будущее неожиданное просветление.

Второй, весьма существенной причиной стагнации явилось изучение механизма памяти в отрыве от процессов мышления. Согласно Анохину, функция памяти непосредственно вписана в интегративную функцию нейрона в качестве атрибута последней. Процесс накопления опыта является составной частью процессов, связанных с синтезом информации, поступающей по афферентным каналам через синапсы на дендритах и соме клетки.

Память, считает П.К. Анохин, должна рассматриваться только на основе системного подхода. "...Существующая в нейрофизиологии тенденция изучать и рассматривать такие компоненты афферентного синтеза, как память, в качестве отдельных, самодовлеющих проблем, неверна и малоэффективна... Взятая в отдельности, сама по себе, как самодовлеющая проблема, она уже показала, что может повести мысль исследователя в другую сторону... Подавляющее большинство исследователей проблемы памяти все внимание сосредотачивают на моменте фиксации пережитого опыта... Это, несомненно, важная сторона памяти, но совсем по-другому выглядит весь вопрос о ней, как только мы будем ее рассматривать как один из компонентов, органически включенных в проблему принятия решения. Здесь сразу же центр событий перемещается с фиксации опыта на динамическое извлечение этого опыта... *Совершенно очевидно, что... чудесная способность памяти быть готовой ежесекундно отдать, что было накоплено за много лет, ... не может быть изучена иначе, как на основе полного контакта и взаимодействия всех компонентов афферентного синтеза.*" (выделено авт., А.Б.) [7].

В этом начало основных, неподъемных для Анохина трудностей: выходя на уровень афферентного синтеза – на бесконечные просторы нейронных сетей коры головного мозга, он приходит к бесконечному замедлению процесса "динамического извлечения этого опыта". Вот что говорит Анохин: "Представленный нами в удобопонимаемом виде путь фиксации

приобретенного опыта полностью обеспечивает понимание... сверхбыстрого извлечения из памяти прошлого опыта. Извлечение из памяти соответственно изложенным выше представлениям является взрывным химическим процессом, развивающимся на генетически детерминированных и химически структурированных путях нейрона, начиная с прихода возбуждений к его синапсам. *Этот процесс – совершенно очевидный, и для успеха его надо лишь, чтобы конвергирующие на нейрон возбуждения были в том же составе, что и в случае запоминания, т.е. при фиксации памяти*" (Выделено авт., А.Б.) [7].

Оставим в стороне проблему химических реакций взрывного типа – она была порождена безысходностью в поиске альтернативных решений проблемы быстродействия. Что касается извлечения информации, хранящейся в долговременной памяти, то условие её тождественности с составом возбуждения, конвергировавшего на нейрон при фиксации памяти, требует поиска этих возбуждений во всем объеме коры. Однако сам процесс поиска, заключающийся в опросе бесконечного числа нейронов, необходимый для установления тождества конвергировавшей и воспроизведимой информации, это вовсе не "...процесс, позволяющий извлекать из памяти ежесекундно целые картины, образы и воспоминания", о котором говорил Анохин.

"Ошибка", которую допускает П.К. Анохин, исключая из процесса вспоминания время, необходимое на поиск в нейронных сетях коры, это – системная ошибка, обусловленная господствующей нейрофизиологической доктриной, исключающей альтернативные решения. Она присуща всем исследователям – психо- и нейрофизиологам и ХХ и ХХI века. Но наряду с этим не редки высказывания о возможном существовании некого неизвестного фактора. Вспомним сомнения В.В. Шульговского: "Возможно, мы заблуждаемся, считая, что нейроны и синапсы являются анатомическими единицами сознания... Скорее всего, оно является результатом кооперативной деятельности ряда мозговых систем". И он был прав! Ниже подробно изложена концепция полевого механизма подсознания и памяти, в которой основная функция сверхбыстрой обработки информации на полевом уровне принадлежит нейроглиальным комплексам (НГК).

О парадоксальном свойстве механизмов подсознания, участвующих в процессе вспоминания, В.В. Шульговский пишет: "Объем долговременной памяти вызывает восхищение! По мнению некоторых теоретиков, в долговременной памяти хранится всё, что туда попало в течение жизни индивида. Расположение этой огромной информации в долговременной памяти представляет самостоятельный интерес. Прежде всего, оно упорядочено. Например, *за секунду мы извлекаем из долговременной памяти информацию (о том), кто написал «Евгения Онегина». При простом переборе огромного массива хранящейся информации на это потребовались бы недели...* Математические модели долговременной памяти очень сложны, как и ее устройство. *Использование хранящейся в долговременной памяти информации связано с решением задач, логической дедукцией, учетом ответов на вопросы, припомнанием фактов и т.п...*" (выделено автором, А.Б.) [2], с.306.

Концепция упорядоченности (структурированности) информации возникла в условиях, при которых альтернативная полевая концепция сверхбыстрой обработки информации отсутствовала. Верный корпоративному духу нейрофизиологической доктрины, ничего не зная о существовании несущих информацию спиновых полях материальных объектов, В.В. Шульговский привязывает процессы запоминания и вспоминания информации к нейронным сетям головного мозга, тем самым наступая на те же грабли, что и П.К. Анохин. Отличие разве что в формулировках:

- П.К. Анохин: "...надо лишь, чтобы конвергирующие на нейрон возбуждения были в том же составе, что и в случае запоминания";

- В.В. Шульговский: "*Использование хранящейся в долговременной памяти информации связано с решением задач, логической дедукцией, учетом ответов на вопросы, припомнанием фактов и т.п...*" – здесь всё та же необходимость учёта бесконечного числа активных актов обработки информации в нейронных сетях коры головного мозга, завуалированная таинственным термином "структурированность", в которой ортодоксальная

наука надеется разобраться до конца столетия. И ни слова о времени, которое понадобится мозгу индивида для "решения задач логической дедукции, учёта ответов на вопросы, припоминания фактов" и т.п. Читателю предоставляется возможность домысливать продолжительность этих процессов. Самому же себе В.В. Шульговский на этот вопрос уже ответил: "...при простом переборе огромного массива хранящейся информации на это потребовались бы недели".

Зададимся вопросом: откуда берутся незнакомые нам образы и события, которые мы видим во сне? Может ли индивид извлечь из памяти образ человека, с которым он никогда прежде не встречался, или событие (эпизод, процесс), в котором никогда не участвовал? Может ли мозг сам создавать такие образы ("конструировать" информацию, прежде не поступавшую в структуры мозга)?

И.К. Анохин и В.В. Шульговский ответят: "нет". Но откуда берутся они в неимоверном количестве в наших снах? Концепция двухуровневого механизма сознания объясняет этот феномен следующим образом.

В длинноволновой стадии сна поток восходящей афферентной информации, поступающей в кору головного мозга от сенсорных систем (органов слуха, зрения и т.д.) резко снижается и даже может на время полностью прекратиться. При этом информация, поступающая в архивы памяти из внешней среды по полевому каналу, становится доминирующей и откладывается в подсознании в архивах памяти. С наступлением фазы парадоксального сна, образы, эпизоды и процессы, хранящиеся в архивах памяти, возникают во сне в хаотичной последовательности вне зависимости от времени их поступления в подсознание (в процессор) и от источника - клеточных структур БКС, или по полевому каналу из внешней среды.

В работе "Концепции памяти" ведущий научный сотрудник Института Психологии РАН, Т.Н. Греченко, рассматривая итоги исследования ортодоксальной наукой феномена памяти в XX столетии, пишет:

"...В опытах с экстирпациями различных участков мозга показано участие разных структур в кратковременной памяти. Даже при экстирпации значительных участков мозга обучение происходило, а память нарушалась относительно мало. Из работ У. Пенфилда и А. Перо (1969) известно, что удаление области коры, при стимуляции которой у людей развивалась определенные воспоминания, не отражается на возможности вызывать те же самые воспоминания раздражением другого пункта коры. К. Лешли пришел к выводу о том, что "памяти нигде нет, но в то же время она всюду". Можно представить, что след памяти распределен по разным нейронам, находящимся в различных структурах, и его невозможно полностью изъять".

Показано, что стимуляция любого пункта мозга за исключением мозжечка может применяться в качестве условного раздражения. Следовательно, независимо от того, где находится подвергающийся стимуляции элемент, доступ к другим стимулируемым структурам мозга открыт.

Возможно, существует универсальный биологический механизм, объединяющий два события, попадающих в допустимый интервал времени. Экспериментально подтверждено представление о том, что след памяти не имеет определенной локализации, а считывается с нейронов разных структур мозга в зависимости от обстоятельств. Факты, полученные в опытах, указывают на принцип распределенности энграмм как на основу организации памяти...

В итоге, ни одна из существующих концепций не претендует и не может рассматриваться как законченная теория памяти. И причины понятны – слишком многие явления остаются за пределами возможностей представленных концепций! Самая большая проблема заключается не в том, существует ли память кратковременная или долговременная, занята ее осуществлением одна или несколько систем, доминирует процедурная или декларативная память, а в том, как информация, хранимая в разных системах, интегрируется таким образом, что она может воспроизводиться и оказывать влияние на деятельность, делая ее более гибкой, перестраиваемой в соответствии с ситуацией. Усилия исследователей

сфокусированы на решении проблемы хранения в большей мере по сравнению с воспроизведением по той причине, что «*нет никаких гипотез о том, как поведенческие ответы используют сохраненные знания*» [8] (Выделено автором, А.Б.).

Итак, несмотря на огромный наработанный материал, ортодоксальная наука, будучи не в состоянии объяснить механизм феномена памяти, по-прежнему остается на исходной позиции *terra incognita*. Концепции сменяли друг друга. Иногда они вбирали в себя предшествующие наработки, иногда их отвергали. Но все они, никак не объясняя парадоксальность основных свойств феномена памяти – быстродействия и ничем не ограниченного объема сохраняемой информации, обходили их стороной.

1.4. Роль временного фактора

Одной из причин "нулевого" результата в исследованиях проблем памяти является, на наш взгляд, отсутствие во всех предложенных концепциях временного фактора, необходимого для описания любого процесса. Это в равной степени относится как к процессу запоминания информации, так и к последующему её извлечению – вспоминания следовавших друг за другом значимых фрагментов процесса – их длительности, временных интервалов между ними и т.д. Однако перед исследователями ортодоксальной науки проблема учёта временного фактора при поиске материального следа памяти не стояла. После отказа от поиска энграмм в нейронных сетях коры головного мозга, он проводился на уровнях клеточных и субклеточных – молекулярных процессов с применением электрофизиологических и биохимических методов. Считается, что поиск структурных перестроек в белковых молекулах, сопряжённый с проходившими некогда в клетках физико-химическими процессами, а также с процессами синаптической передачи информации, привёл к обнаружению следов памяти [8]. Но обнаруженные энграммы – это всего лишь следы процессов, не развёрнутых во времени – "пустышки", не несущие информацию о самом проходившем процессе. Энграмма, не содержащая фактор времени, подобна фотографии, на которой отсутствует последовательность кинокадров, отображающих кино-процесс. Её можно также сравнить со шрамом на теле, не содержащем никакой информации о дате и причинах этого повреждения, длительности процесса заживления и т.д.

Обнаруженные следы синаптических и физико-химических процессов, проходивших некогда в клетках, *не могут* нести информацию о времени (дате) проходившего процесса, его длительности и других деталях и, следовательно, индивид не сможет вспомнить (воспроизвести) в режиме исходного реального времени последовательность и мельчайшие детали некогда прошедшего события (процесса). Однако пожилые люди без труда вспоминают даты и подробно излагают детали значимых эпизодов из прошедшей жизни.

Е.М. Иванов пишет: "Более 40 лет назад У. Пенфилд обнаружил любопытный феномен: при воздействии электрического тока на отдельные точки средневисочной извилины левого полушария во время нейрохирургических операций у некоторых больных возникает как бы *раздвоение сознания*. Продолжая осознавать себя *на операционном столе*, *больной одновременно заново переживал определенный промежуток своей прошлой жизни*. Причем, в отличие от обычных воспоминаний, возникающие картины прошлого практически не отличались от первичного сенсорного восприятия, т.е. больной как бы переносился в прошлое и заново, со всеми подробностями, переживал его. Фиксировались даже такие детали, на которые обычно не обращают внимания. Как отмечал сам Пенфилд, эти "*вспышки пережитого*" *напоминали демонстрацию киноленты*, на которой запечатлено все, что человек некогда воспринимал. Причем *события в этом "фильме" всегда происходили в той же последовательности, что и в жизни, без всяких остановок или перескоков в другие временные периоды*. Эти удивительные наблюдения, говорят, по-видимому, о том, что *мозг человека запечатлевает в неизменной форме всю поступающую в него зрительную, слуховую и другую сенсорную информацию*. Если мозг полностью сохраняет все полученные впечатления, то он должен обладать колоссальной информационной емкостью. По оценкам Д. фон Неймана, она должна быть равна приблизительно 28×10^{19} бит. В таком случае на

один нейрон приходится порядка 30 миллиардов бит. Очевидно, что такую информационную емкость "коннекторный" механизм, основанный на изменении синаптической проводимости, обеспечить не сможет. Кроме того, "вспышки пережитого", а также некоторые другие феномены (ретроградная амнезия, хронологическая регрессия), указывают на жесткую временную упорядоченность зафиксированной в мозге информации, что также весьма трудно согласовать с "коннекторной" гипотезой. *По-видимому, наряду с "коннекторным" механизмом существует другой, гораздо более емкий механизм запоминания, основанный на каких-то иных физических принципах*" [9].

Судя по сказанному, ортодоксальная наука по существу вплотную подошла к решению проблемы долговременной памяти. Переход к концепции полевого механизма психической деятельности человека сегодня "висит на кончике пера".

Пытаясь подвести теоретическую базу под результаты экспериментов Пенфилда и результатов экспериментальных исследований, последовавших вслед за ними, ортодоксальная ая наука приступила к созданию альтернативных концепций памяти. Более чем полувековой результат этих исследований отражён в цитированном выше заключении Т.Н. Греченко об отсутствии законченной теории памяти. Главная причина нулевого исхода усилий, направленных на создание концепции долговременной памяти, заключается том, что они проводились в условиях парадигмы, основанной на торжестве, казалось бы, незыблемой нейрофизиологической догмы. Всё вышесказанное приводит к заключению: развитие нейрофизиологической науки, зажатой в тиски нейрофизиологической догмы, находится в состоянии глубокой стагнации.

1.5. Н.П. Бехтерева о механизмах подсознания и памяти

Ортодоксальная наука безуспешно пытается объяснить механизм процессов в феноменах *кreativnosti, озарения и альтернативного зрения* у незрячих от рождения детей специфичной динамикой распределения информации в различных разделах головного мозга. Анализируя результаты этих исследований, Н.П. Бехтерева обнажает противоречия и некорректность выводов авторов. Ничего не зная об информационных спиновых полях, она впервые указывает на возможное участие в процессах факторов внешней среды, поступающих непосредственно в мозг, минуя органы чувств и активируя клетки мозга.

Об объёме памяти и запоминаемой информации:

"Мозг помнит всё - всю нашу жизнь по секундам. Но выдает нам только то, что необходимо на данный момент для решения тех или иных задач" [10].

О механизме быстродействия:

"О том, как работает целостный мозг. Да, мы уже многое знаем о деталях его работы. Но целостная мозаика далека от завершения. Один из примеров: нейрон генерирует импульсы с частотой около 20 в секунду (*этот показатель занижен более чем на порядок, А.Б.*). Скорость взаимодействия – мили секунды. Так каким же образом такая медленная система обеспечивает такую гигантскую скорость обработки информации?" [11].

О несенсорном зрении у детей, слепых от рождения:

"...Что же и как обеспечивает сверхвозможности? Ответ и ожидаемый и простой: в обеспечении интеллектуальных сверхвозможностей важнейшую роль играет активация определенных, а вероятно, и многих мозговых структур. Сверхвозможности... пребывали здесь раскрыты не в условиях озарения, а полууправляемо, инструментально... Таким образом, сверхвозможности бывают исходные (талант, гений) и могут при определенных условиях оптимального эмоционального режима проявляться в форме озарения.... И, что самое важное в наших знаниях о сверхвозможностях, они могут формироваться при специальном обучении, а также в случае постановки сверхзадачи. Таким образом, речь идет о возможности непосредственного поступления информации в мозг, минуя органы чувств. Возможность прямой активации клеток мозга факторами внешней среды ... легко доказывается развивающимся эффектом. Можно, по-видимому, допустить, что в условиях сверхзадачи - формирования альтернативного зрения – результат достигается действительно

за счет...прямой активации клеток мозга факторами внешней среды... Однако сейчас это - не более чем хрупкая гипотеза... Надо думать! И изучать!" [12].

"Надо думать! И изучать!"... Преданная одному только божеству – научной Истине, Т.Н. Бехтерева готова покинуть вскормившую её нейрофизиологическую догму и, забыв о корпоративном долге, создавать новую парадигму. Развиваемая нами концепция двухуровневого механизма сознания, обладающего независимым каналом обмена информацией с внешней средой, является, по сути, ответом на вопросы (и ответы!), поднятые бесстрашной Натальей Петровной Бехтеревой.

2. Концепция двухуровневой обработки информации в ЦНС

2.1. Структура и функции Биокомпьютера сознания

Функцию психической деятельности человека выполняет Биокомпьютер сознания (БКС) – некое материальное «устройство», в функции которого входит обработка, отбор и хранение информации, необходимой для процессов жизнеобеспечения организма, в том числе психических процессов осознания, мышления, творчества и т.д.

БКС функционирует на клеточном и полевом уровнях. На клеточном уровне, кроме коры больших полушарий и подкорки, БКС охватывает участвующие в психических процессах нейронные структуры промежуточного и среднего мозга. Поступающая в них афферентная информация при постоянном участии ретикулярной формации подвергается первичной обработке. К структурам, участвующим в этих процессах, относятся и компоненты лимбической системы – центры боли и удовольствия, нейрогуморальной регуляции, жажды, голода и насыщения, сна и бодрствования, терморегуляции и т.д. Поясная извилина и миндалина участвуют в формирование эмоций (в частности, информация приобретает эмоциональную окраску), лимбические ядра таламуса и гипокамп участвуют в организации памяти и обучения.

На полевом уровне в состав БКС входит Процессор, содержащий механизмы подсознания и памяти, образующие Собственное спиновое поле (ССП) глиальных клеток – олигодендроцитов коры головного мозга (КГМ). В состав ССП КГМ входят подсистемы – ССП групп глиальных клеток олигодендроцитов, входящих в состав нейроглиальных комплексов (НГК) (см. ниже).

Развиваемая нами концепция двухуровневой обработки информации подразумевает существование различных клеточных структур коры головного мозга, обеспечивающих эти функции. Участие глиальных клеток в качестве структурной элементной основы полевого механизма подсознания соответствует этому принципу. Так, основным ("рабочим") потенциал задающим элементом, определяющим величину мембранныго потенциала глиальных клеток, является калий в отличие от нервных клеток, для которых эта функция принадлежит натрию.

Работа Процессора основана на взаимодействии ССП групп глиальных клеток НГК, входящих в качестве подсистем в состав Собственного спинового поля глиальных клеток коры головного мозга.

В задачи механизмов подсознания входит обработка афферентной информации, поступающей в Процессор с клеточного уровня БКС, а также информации, поступающей в него по полевому каналу непосредственно из внешней среды.

Обработка информации основана на взаимодействии Собственных спиновых полей групп глиальных клеток каждого НГК коры головного мозга – подсистем ССП групп глиальных клеток коры головного мозга.

2.2. Два уровня обработки афферентной информации

Многочисленные проявления психической деятельности человека свидетельствуют о существовании в ЦНС двух уровней обработки информации: клеточного (обработка путём

межнейронного переноса информации в нейронных сетях головного мозга); полевого, основанного на процессах взаимодействия несущих информацию ССП групп глиальных клеток, входящих в состав НГК коры головного мозга (см. ниже).

Существование механизма сверхбыстрой обработки информации подтверждается феноменом речи человека, рассмотренным в п.1.2. Другим доказательством является резкое расхождение между временными показателями переноса и обработки информации в нейронных сетях головного мозга и временными показателями реальных психических процессов. Так, В.В. Шульговский считает, что поиск ответа на вопрос об авторе произведения «Евгений Онегин» путём перебора вариантов в нейронных сетях головного мозга может длиться многие недели, тогда как в нашем подсознании ответ на этот вопрос возникает менее чем через секунду.

Итак, в психических процессах сверхбыстрая обработка информации основана на её полевой обработке с участием полевых механизмов подсознания и памяти.

2.3. Функционирование механизмов подсознания и памяти основано на взаимодействии информационных физических полей

Ранее были рассмотрены примеры проявления психической деятельности индивида, не находящие объяснения с позиций ортодоксальной науки, связанные со сверхбыстрой обработкой информации и неограниченным объёмом памяти. Широкий спектр приведенных ниже, и так же не находящих объяснения проявлений психической деятельности человека, позволяет судить о природе и свойствах участвующих в них активных факторов.

- В 1987 году в Тульской области колхозник-пенсионер Г.Н. Смирнов на следующий день после сильнейшего удара по голове стал свободно говорить по-немецки – с этим языком он ранее не был знаком.

- В 1992 году девочка из Ярославля после перенесенной тяжелой болезни вдруг заговорила на шумерском языке, существовавшем в 3-м веке до нашей эры.

- 50-летняя шотландка во сне пережила инсульт в легкой форме. Проснувшись утром, она стала разговаривать на родном языке с южноафриканским акцентом, хотя никогда там не была.

- Пенсионер С.П. Перов, прия в себя после автокатастрофы, начал говорить на старофранцузском языке [13].

Далее автор публикации сообщает: "лунатики" во время сна и медиумы во время спиритического сеанса легко переходят на иностранные языки, хотя в нормальном состоянии они этими языками не пользуются и, как правило, не владеют. Так, американская медиум Лаура Эдмондс, не зная никакого языка, кроме родного – французского, легко и свободно использовала 10 различных языков во время таких сеансов и даже пела на итальянском, индийском, немецком и польском языках, совершенно бессознательно, и не понимая ни слова. А девочка из США - Эмилия Толмэдж, отроду не знавшая ни одной ноты и никогда не игравшая ни одной мелодии, неожиданно записала (ноты) и блестяще исполнила на фортепиано музыкальное произведение.

Из приведенных примеров следует: кроме информации, поступающей из внешней среды в сенсорные зоны коры головного мозга, существует путь спонтанного поступления информации из внешней среды по полевому каналу, в том числе из "архивов" памяти. Эта информация может носить сложный характер и отражать различные эпизоды (события, процессы) с участием знакомых и незнакомых лиц, происходившие в различное время.

Информация может быть выражена в форме директивы, требующей после пробуждения индивида исполнение задания, например, использования незнакомого языка, исполнения незнакомого музыкального произведения и т.д., без его необходимого предварительного обучения.

Приведенные примеры свидетельствуют о существовании некого носителя сложной информации – физического поля, обладающего как способностью участвовать перечисленных выше проявлениях психической деятельности человека, так и свойством

взаимодействовать с материальными структурами головного мозга. Носителями информации, обладающими такими свойствами, и обуславливающими работу полевых механизмов подсознания (см. ниже), являются информационные спиновые поля материальных объектов [13-17].

Итак, все процессы, связанные с поступлением информации по полевому каналу, происходят на уровне подсознания с участием механизмов подсознания и памяти. Нормальная работа мозга с участием феномена подсознания возможна только при условии совместного функционирования клеточного и полевого уровней БКС.

2.4. Концепция двухуровневого механизма сознания позволяет определить статус феноменов подсознания и памяти

В состоянии клинической смерти на клеточном уровне БКС исчезают основные признаки жизнедеятельности индивида: у него отсутствуют ЭЭГ и ЭКГ-активность, дыхание и мышечная активность, рефлекторные реакции. Индивид лишён сознания и, следовательно, лишен управление полевые механизмы психической деятельности. Однако поступление информации по полевому каналу не прерывается. Полевые механизмы подсознания и памяти продолжают функционировать автономно. В памяти индивида откладываются все события, происходящие во внешней среде, о которых он рассказывает после входа из состояния клинической смерти. Описан случай, когда реанимированный попросил вернуть ему зубной протез, изъятый у него в состоянии клинической смерти, и сообщил, где протез хранится. Протез был обнаружен в указанном месте. Из этого следует: ЦНС человека, находящегося в состоянии клинической смерти, представляет собой модель БКС, у которого клеточный уровень обработки информации не функционирует. Индивид, находящийся в состоянии клинической смерти, получающий информацию из окружающей среды по полевому каналу, "видит", "слышит" и осознаёт процессы, происходящие в окружающей среде на уровне подсознания, но лишён возможности адекватно реагировать на поступающую информацию – его психическая активность ограничена. Из сказанного следует: концепция двухуровневой модели ББКС позволяет впервые чётко определить статус феноменов подсознания и памяти: подсознание является *автономной функциональной структурой феномена психической деятельности человека. Память - атрибут феномена подсознания.*

3. Информационные поля - реальный фактор

3.1. О происхождении близко- и дальнодействующих информационных спиновых полей

В ряде концепций, созданных в двадцатом столетии, исследователи пытались подвести теоретическую базу для объяснения результатов множества экспериментальных результатов, не находящих объяснения с позиций существующей ортодоксальной науки. При создании каждой новой гипотетической концепции авторы уделяли основное внимание природе возможного носителя информации.

Концепция двухуровневого механизма сознания основана на результатах наших экспериментов 2004-2010 годов, определивших функциональную значимость Собственных спиновых полей материальных объектов (ССП МО). Показано:

1. Все окружающие нас материальные объекты живой и неживой природы, включая их компоненты, обладают Собственными спиновыми полями, имеющими следующими уникальными свойствами, позволяющими считать их информационными:

- нести сложную информацию о структуре вещества и его элементном составе;
- взаимодействовать и обмениваться информацией с другими материальными объектами;
- проникать с незначительным затуханием сквозь любые природные среды [13-17].

2. Область распространения ССП МО ограничена "ближней зоной", определяемой топологическими параметрами объекта.

К информационным полям относятся дальнодействующие спиновые поля (ДСП) физического вакуума, имеющие неограниченную область распространения в мировом пространстве. Существуют два альтернативных представления о происхождении ДСП.

1. Согласно А.Е. Акимову, ДСП – это дальнодействующие торсионные поля (ТП), возникают в результате поляризации физического Вакуума действующим электромагнитными (электрическим или магнитным), гравитационным или спиновым полями (концепция EGS-поляризации) [18, 19].

A.E. Акимов о Физическом вакууме:

"учитывая, что вакуум определяется как состояние без частиц, и исходя из модели классического спина... как кольцевого волнового пакета циркулирующего потока энергии, будем рассматривать вакуум как систему из кольцевых волновых пакетов, соответствующих электронам и позитронам, а не собственно электронно-позитронным парам, несущим информацию о свойствах этих частиц... Нетрудно видеть, что условию истинной электронейтральности такого полевого электронно-позитронного вакуума будет отвечать состояние, когда кольцевые волновые пакеты электрона и позитрона будут вложены друг в друга. Если при этом спины этих вложенных кольцевых пакетов противоположны, то такая система будет самоскомпенсирована не только по зарядам, но и по классическому спину и магнитному моменту. Так как масса покоя волновых пакетов равна нулю, то такие системы будут обладать гравитационной нейтральностью. Такую систему из вложенных кольцевых волновых пакетов будем называть фитоном. Плотная упаковка фитонов будет образовывать материальную среду – физический вакуум [18].

A.E. Акимов о торсионных полях:

"Торсионные поля могут порождаться кручением пространства или как следствие возмущения физического вакуума, которое имеет геометрическую или топологическую природу, а также возникать как неотъемлемая компонента электромагнитного поля. Торсионные поля могут самогенерироваться... В созданной Г.И. Шиповым Теории физического вакуума [20] рассматривается возможность существования информационных - "первичных" торсионных полей, способных нести и обмениваться информацией... Первичное торсионное поле - это особая форма существования материи, которая представляет собой квантовые вихри, не обладающие энергией и не переносящие энергию. Эти квантовые вихри взаимодействуют информационно. В отсутствие энергии взаимодействия квантовых вихрей в первичном торсионном поле скорость передачи возмущения в среде этого уровня может быть равной только бесконечности. В первичном торсионном поле должна содержаться информация. Возможно, первичные ТП играют первостепенную роль в сознании человека" [19].

2. Сторонники второго – альтернативного представления о принадлежности дальнодействующих спиновых полях (ДСП) считают, что они зарождаются в эфире.

В работах ряда авторов рассматривается проблема существования несущих информацию дальнодействующих полей, распространяющихся в эфире. К ним относятся:

а. Концепция эфиродинамических полей В.А. Ацюковского [22];

б. Теория эфирного поля Н.Е. Невесского [23];

в. В теории В.Травкина Физики субатомных масштабов эфир рассматривается в качестве одной из фаз гетерогенной среды [24].

Происхождение ДСП является предметом бесконечного разбирательства физиков-теоретиков. Между тем, решение этой проблемы никак не влияет на суть развивающихся нами представлений о приоритетной роли взаимодействующих спиновых полей материальных объектов в механизмах подсознания и памяти по той простой причине, что и физический вакуум, и эфир – суть материальные объекты и ДСП – это их Собственные спиновые поля.

ССПМО, взаимодействуя с дальнодействующим спиновым полем физического вакуума, поляризует его, что приводит к возникновению в ФВ торсионного поля (ТП).

Исходя из сказанного, в дальнейшем нашем изложении мы принимаем:

ССП МО – это Собственные спиновые поля всех наблюдаемых нами материальных объектов;

ССПФВ – это дальнодействующее Собственное спиновое поле физического вакуума;

ТПФВ - торсионные поля физического вакуума, являются структурами поляризованного физического вакуума.

ССП МО и ССПФВ – это два взаимодействующих фактора в концепции двухуровневого механизма сознания, активно участвующие в функционирования полевых механизмов подсознания и памяти. Так, функционирование механизма долговременной памяти обусловлено непрерывным обменом информацией между ССП МО и ССПФВ – её переносом от материального объекта в архивы памяти физического вакуума и обратно.

ССП МО, участвующие во всех процессах полевого информационного взаимодействия - это атрибут материального объекта;

ССПФВ и ТПФВ – атрибуты поляризованного физического вакуума, обладающие способностью переносить и обмениваться информацией, всегда жестко связанные с ССПМО, но функционально ему не адекватные.

ССПМО и ССПФВ-ТПФВ находятся в непосредственном, но не равном соподчинении друг другу. Торсионное поле не может непосредственно взаимодействовать с материальным объектом, или вносить какие-либо изменения в происходящие в нём процессы, или изменять его состояние. Эти функции торсионное поле может реализовать опосредованно, путём взаимодействия с ССП этого объекта. При таком взаимодействии изменяется состояние ССП МО – его информационная составляющая – параметры входящих в него спинов (см. ниже). При этом изменяются характеристики и свойства вещества объекта, к которому ССП принадлежит.

В свою очередь, материальный объект не может непосредственно взаимодействовать с полями Физического Вакуума. Такое взаимодействие всегда происходит опосредованно при участии ССП материального объекта.

Каков механизм взаимодействия ССП МО и ССП ФВ? ТПФВ не экранируются веществом материальных объектов. Можно представить, что Физический вакуум "растворяет" в себе все компоненты вещества материального объекта вплоть до компонентов атома и его ядра – орбитальные электроны, протоны и нейтроны. Все они как бы "плавают" в ФВ, будучи связанными между собой слабыми, сильными и кулоновскими силами взаимодействия. ФВ, в силу своей нейтральности, непосредственно не изменяет структуры вещества. Отсюда следует: как ССП всех компонентов материального объекта, так и сам объект, сохраняют в пространстве свои топологические параметры, включая их местонахождение.

По существу, в "ближней зоне" ССП МО и ДСП слиты в единое спиновое поле, поскольку и ССПМО, и ДСП индуцированы веществом одного и того же материального объекта и, следовательно, содержат одну и ту же информацию - имеют одни и те же параметры спинов всех компонентов этого вещества.

Интенсивность ССП МО всегда выше интенсивности ДСП. Это обстоятельство позволяет определять топологическое месторасположение ССПМО по расположению "ближней зоны".

На рис. 1 приведена зависимость интенсивности ССП светодиодного излучателя от расстояния. В качестве биологического детектора ССП излучателя служили сухие дрожжи, расположенные в замкнутом стальном контейнере с толщиной стенок 25 мм. По оси ординат отложено значение зимазной активности дрожжей в процентах относительно контроля. Как следует из рис.1, протяженность "ближней зоны" составила менее 4 м. Отношение интенсивности СПП излучателя относительно интенсивности СППФА составляет порядка 3,7.

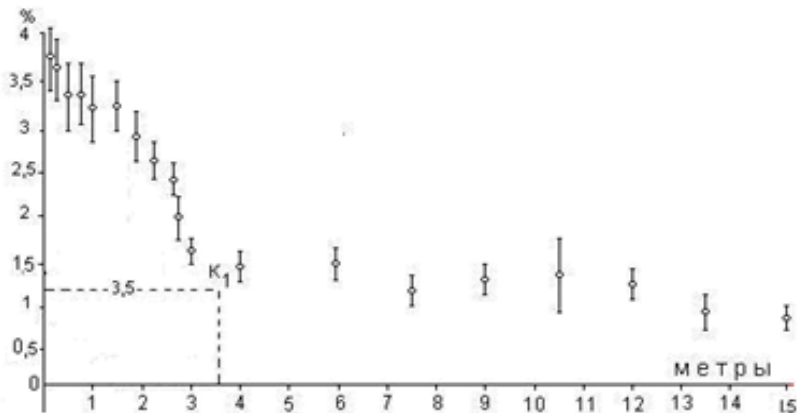


Рис. 1. Зависимость эффективности воздействия ССП светодиодного излучателя на биологический детектор от расстояния между излучателем и сухими дрожжами, заключёнными в стальной контейнер с толщиной стенок 25 мм. По вертикали отложено значение показателя зимазной активности дрожжей в процентах относительно контроля.

3.2. Две составляющие ССП МО

ССП МО содержит две составляющие: структурную и информационную.

Структурная составляющая ССП МО включает информацию о структуре вещества материального объекта, его количественном и элементном составе вещества и его топологии. *Информационная* составляющая содержит информацию о параметрах орбитальных электронов и частиц, входящих в состав ядра атома.

В отличие от всех других материальных объектов, в физическом вакууме отсутствуют атомы и молекулы и, следовательно, информационная составляющая дальнодействующих ССПФВ и ТПФВ содержит только информацию о параметрах спинов частиц, входящих в состав ФВ.

Структурная и информационная составляющие ССП неодушевленных объектов могут оставаться постоянными неопределенно долго, тогда как для ССП живых организмов характерен высокий уровень их нестабильности, обусловленной процессами и метаболизма и различных перемещений, значимость которых, в частности, в процессах психической деятельности, играет ключевую роль. Мы имеем в виду перенос ионов во всех процессах обработки информации, в том числе при её межуровневом переносе (см. ниже)

3.3. Фантомы ССП МО и ДСП

С целью обеспечения регистрации информационных процессов в концепцию двухуровневых механизмов подсознания и памяти включена категория "Фантомы спиновых полей".

Фантомом Собственного спинового поля материального объекта (ФССПМО) названо ССПМО с изменённым структурным и/или информационным содержанием, возникшие в результате информационного взаимодействия ССПМО с ПФВ, или в результате поступления афферентной информации на клеточный уровень БКС, а также по полевому каналу непосредственно на глиальные клетки-сателлиты, входящие в состав НГК.

Торсионным фантомом Физического Вакуума ФТПФВ названо торсионное поле физического вакуума, содержащее вновь поступившую информацию, возникшую в результате взаимодействия ССПМО с дальнодействующим спиновым полем ТПФВ. Механизм образования ФТПФВ напрямую связан с предваряющим его образованием ФССП: возникший фантом Собственного спинового поля материального объекта поляризует физический вакуум, что обуславливает его кручение и возникновение ФТПФВ.

Каждое новое поступление афферентной информации в кору головного мозга обуславливает изменение информационной составляющей СП МО и возникновение нового

ФССПМО с изменённой информационной составляющей. Это может привести к изменению происходящих в материальном объекте процессов, и, как следствие, привести к изменению структурной составляющей СПП и, в конечном счёте, приведёт к возникновению новых ФССПМО и ФТПФВ с изменёнными информационной и структурной составляющими.

Последовательность торсионных фантомов, возникающих в физическом вакууме, подобно последовательности кинокадров киноленты, сохраняет в архивах долговременной памяти физического вакуума всю информацию о происходившем процессе.

4. Участие структур головного мозга в механизмах обработки информации на полевом уровне БКС

4.1. Потоки аfferентной информации, поступающей в БКС

1. На клеточный уровень БКС – в нижние отделы и в кору головного мозга от рецепторов сенсорных анализаторов и интероцепторов поступает аfferентная информация, отображающая состояние внешней среды и внутренних органов.

2. Из нижних отделов клеточных структур БКС и коры головного мозга на полевой уровень – в «Процессор» поступают команды на обработку, отбор и оценку информации, необходимой для определения основных задач развития и обеспечения жизнедеятельности организма. Оценка значимости информации и выбор приоритетов определяется в процессе её многократных межуровневых переносов и повторной обработки.

В состоянии организма *in vivo* поступление этой информации на синаптический вход НГК приводит к деполяризации группы глиальных клеток, входящих в состав НГК – снижению величины их отрицательного мембранныго потенциала (см. ниже).

3. На полевой уровень БКС – в Процессор – аfferентная информация поступает непосредственно от дальнодействующих спиновых полей, в том числе, из «архивов» долговременной памяти, а также от Собственных спиновых полей окружающих объектов. Эта информация может иметь различную модальность и влиять на величину мембранныго потенциала глиальных клеток.

В состоянии клинической смерти индивида, когда прекращается всякая активность на клеточном уровне, механизм подсознания продолжает функционировать автономно. Информация продолжает поступать в Процессор по полевому каналу и запоминается в архивах долговременной памяти (см. ниже).

4.2. Структура и функция нейроглиальных комплексов коры головного мозга

Обоснование полевой концепции механизмов подсознания и памяти упирается в сложную и, казалось бы, нерешаемую проблему межуровневого переноса и информации. В чём она заключается?

На полевом уровне механизма подсознания обработка информации возможна только при участии аналоговых сигналов, тогда как на клеточном уровне БКС обработка информации реализуется исключительно при участии нервных импульсов – потенциалов действия (ПД). Длительность ПД составляет порядка 1,5 мс, а рефрактерное время, определяющее предельную частоту следования нервных импульсов, составляет 3,5 мс, и, следовательно, около 60% времени между двумя ПД, является "мёртвым" временем, в течение которого поступление и обработка информации на полевом уровне будет невозможна. Из сказанного следует: нейроны не могут непосредственно осуществлять межуровневый перенос и обработку информации в механизме подсознания. В этих процессах должны участвовать иные клетки или клеточные структуры головного мозга, удовлетворяющие требованию аналогового кодирования информации.

4.3. Участие нейроглиальных комплексов коры головного мозга в межуровневом переносе информации

Функцию перекодирования и переноса информации с клеточного уровня БКС на полевой выполняют нейроглиальные комплексы (НГК) коры головного мозга. В состав НГК входят нейрон и глиальные клетки олигодендроциты, образующие вокруг него подобие оболочки.

Непосредственную обработку и хранение информации на полевом уровне осуществляет глиальный компонент НГК – группа глиальных клеток олигодендроцитов.

Роль НГК, обнаруженных в первой половине прошлого столетия, до настоящего времени оставалась невыясненной. Некоторые исследователи указывали на возможную причастность НГК к психической деятельности человека, но механизм их функционирования и конкретная функция до 2007 года не находили объяснения.

4.4. Межуровневое разграничение и структурных компонентов БКС

По морфологическому признаку НГК коры головного мозга относятся к клеточному уровню БКС. Однако по выполняемым функциям входящие в них компоненты разграничены: нейрон комплекса и группа глиальных клеток-сателлитов относятся к разным уровням БКС. Нейрон и морфологически, и функционально принадлежит клеточному уровню. Группы глиальных клеток-сателлитов, входящих в состав НГК, также находится в коре головного мозга, но функционально входят в состав полевого механизма подсознания. Таким образом, пути информации, непосредственно поступающей в Процессор по полевому каналу, и информации, поступающей в кору больших полушарий из нижних отделов головного мозга, сходятся непосредственно в НГК, а сама информация функционально принадлежит одновременно двум уровням БКС.

5. Свойства глиальных клеток - компонентов нейроглиального комплекса

Ряд специфических свойств, присущих глиальным сателлитам, входящих в состав нейроглиальных комплексов, свидетельствуют об их единой направленности на реализацию в составе НГК функции межуровневого переноса информации. Рассмотрим эти свойства подробнее.

5.1. Зависимость количества глиальных клеток от структур коры головного мозга, участвующих в процессах психической деятельности

Имеются многочисленные данные об увеличении числа глиальных клеток, расположенных вокруг функционирующих нейронов, а также скопления большого количества глиальных клеток-сателлитов, непосредственно прилегающих к нейронам в областях повышенной синаптической деятельности. О функциональной связи глиальных клеток-сателлитов с нервными волокнами, проходящими рядом с данным нейроном, сообщается в работе [26].

Существуют косвенные свидетельства непосредственного участия нейроглии в процессах психической деятельности. В этой связи необходимо отметить возрастное увеличение глиального индекса (отношения количества сателлитов к количеству нейронов) у животных с 0,2 до 0,95 на протяжении периода жизни от первых 10 суток до 2-х лет [27]. Такое же возрастание этого индекса относительно нормы наблюдается у животных, находившихся в условиях, обуславливающих усиленную нервную деятельность. У них происходит увеличение толщины и массы коры, главным образом, за счет нарастания количества НГК [28]. В этой связи Гриир высказал предположение, что увеличение толщины коры может коррелировать с хранением информации в памяти [29]. Галамбос полагал, что

глии генетически свойственно программировать деятельность нейронов: нейроны выполняют «инструкции», полученные от глии [30, 31].

5.2. Зависимость мембранных потенциалов глиальных клеток $E_{m,gl}$ от концентрации ионов калия в её цитоплазме

При возбуждении нейрона из него в межклеточную среду НГК поступают ионы калия. При этом в результате повышения во внеклеточной среде концентрации $[K^+]$, в глиальную клетку, в соответствии с условием сохранения её равновесного мембранных потенциала, из внеклеточной среды поступают ионы калия, что приводит к её деполяризации – снижению величины её мембранных потенциала $E_{m,gl}$. Согласно уравнению Нернста, величина мембранных потенциал глиальной клетки E_m выражается логарифмом отношения концентрации ионов калия внутри клетки к концентрации во внеклеточной среде:

$$E_{m,gl, mV} = 61 \lg \frac{[K^+]_n}{[K^+]_{vn}}$$

где значение $E_{m,gl}$ выражается в милливольтах, а концентрация ионов калия в моль/л.

Поступление ионов калия в одну из глиальных клеток-сателлитов данного НГК обуславливает их равное распределение во всех остальных его клетках-сателлитах и их деполяризацию, а также понижение величины отрицательного значения мембранных потенциала $E_{m,g}$ и возрастание интенсивности их ССП. Из всего вышесказанного следует: в то время как на клеточном уровне БКС ведущую роль в процессах обработки информации отводится ионам натрия, на полевом уровне БКС эту роль выполняют ионы калия. Это особенно важно, поскольку ССП глиальных клеток каждого НГК и, следовательно, ССП коры головного мозга и в целом, функционирование механизмов подсознания и памяти определяется количеством ионов калия, поступающих в глиальные клетки НГК при их деполяризации.

5.3. Морфологическое строение НГК обусловлено единой функциональной направленностью его компонентов

Глиальные клетки-сателлиты, входящие в состав НГК, граничат с телом нейрона и с его аксоном, образуя своеобразную оболочку, отделяясь от них щелью, шириной которой составляет 15-20 нм. При этом общая площадь Собственного спинового поля глиальных клеток данного ДНГК резко возрастает.

Между соприкасающимися поверхностями глиальных клеток-сателлитов имеются щели, обеспечивающие свободное межклеточное перемещение ионов и молекул цитоплазмы. Специфика такого структурного образования направлена на обеспечение единой концентрации ионов калия в группе сателлитных глиальных клеток НГК при изменении концентрации в одной из них. Наличие этого механизма обеспечивает равную внутригрупповую поляризацию клеток-сателлитов и равные значения их мембранных потенциалов и, следовательно, тождественные ССП всех глиальных клеток НГК, образующих Собственное спиновое поле глиальных клеток данного НГК. При этом общая площадь глиальных клеток каждого НГК существенно превышает площадь нервной клетки, а топологическое расположение их ССП глиальных клеток коре головного мозга детерминировано местоположением НГК.

5.4. Диапазон изменения рабочих величин мембранных потенциалов глиальных клеток существенно выше, чем у нервных клеток

У нейрона равновесный мембранный потенциал покоя составляет порядка -(6÷70) мВ; если принять, что порог возникновения потенциала действия составляет порядка -(40÷50) мВ, то динамический диапазон изменения подпороговых значений величины мембранныго потенциала от потенциала покоя до возникновения потенциала действия составляет порядка 20÷30 мВ.

В отличие от нейрона, мембранный потенциал глиальной клетки $E_{m,gl}$ в состоянии покоя колеблется в области -(90÷100) мВ. С увеличением внутриклеточной концентрации ионов калия значение E_m может возрастать, например, до значения -20 мВ. Таким образом, динамический диапазон возможных "рабочих" значений $E_{m, gl}$ у глиальных клеток в 4 и более раз выше, чем у нейрона. Это свойство, присущее исключительно глиальным клеткам, как мы увидим ниже, играет важную роль в процессе удержания непрерывной функциональной деятельности механизма подсознания на протяжении всей жизни индивида.

5.5. Параметры ССП глиальных клеток каждого НГК коры головного мозга адекватны информации, поступившей на синаптические входы НГК

Поступление афферентной информации в кору головного мозга приводит к возбуждению нейрона, входящего в состав НГК, и выходу из него ионов калия в межклеточное пространство. Повышение избыточных положительно заряженных ионов калия в межклеточной среде приводит к процессу деполяризации группы глиальных клеток-сателлитов НГК - поглощению глиальными клетками ионов калия и снижению величины их отрицательного мембранныго потенциала в области возможных значений от -(90÷100)мВ до -(10÷20)мВ. В процессе реполяризации, возникающем вслед за процессом деполяризации, происходит обратный выход ионов калия из глиальных клеток в межклеточную среду.

На рис. 2 приведены результаты экспериментов, иллюстрирующих зависимость мембранныго потенциала глиальной клетки и длительности процессов её деполяризации и реполяризации от частоты синаптического возбуждения мембраны зрительного нерва протея [26], с. 87.

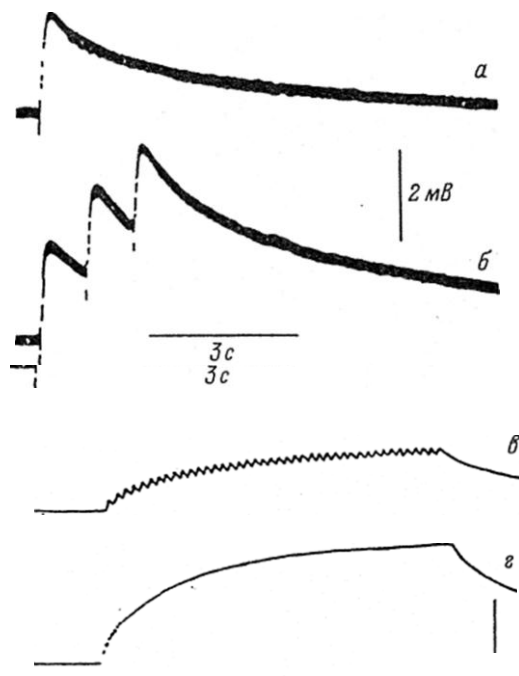


Рис. 2. Изменения мембраниного потенциала глиальной клетки, возникавшие в ответ на деполяризацию мембрани зрительного нерва при прохождении по нему:

а – одного нервного импульса;
б – трех импульсов с частотой следования 1 имп/с;
в и г – другая клетка; частота следования – 2 и 5 имп/мин.

6. Механизм подсознания и памяти

Полевой механизм подсознания и памяти представляет собой Собственное спиновое поле, образованное всеми его компонентами – Собственными спиновыми полями глиальных

клеток олигодендроцитов коры головного мозга, в том числе, ССП клеток - сателлитов, входящих в состав НГК.

6.1. Динамика Собственного спинового поля глиальных сателлитов коры головного мозга

Динамика полевого механизма подсознания – спинового поля всех клеток – олигодендроцитов коры головного мозга определяется параметрами информации, поступающей на синаптические входы НГК. Источником ионов калия, поступающих в глиальную клетку по градиенту концентрации, является активированная нервная клетка – компонент НГК.

Естественно ожидать, что вклад двух различных по происхождению источников информации в образование и функционирование полевого механизма подсознания также будет различным.

Рассмотрим подробнее механизм образования ССП глиальных клеток, входящих в состав НГК, и динамики его изменений и участие в образовании ССП коры головного мозга

Воздействие афферентной информации на синаптические входы нервной клетки, входящей в состав НГК, во всех случаях приводит к поступлению ионов калия в глиальную клетку и снижению отрицательной величины её мембранныго потенциала - возрастанию $E_{m,gl}$. За возникшим при этом процессом деполяризации глиального сателлита следует процесс его реполяризации – обратный выход ионов калия в межклеточное пространство.

Функционирование полевого механизма подсознания основано на феномене неравенства длительности процессов деполяризации и реполяризации – скоростей поступления в сателлитную клетку ионов калия и последующего их выхода из неё.

In vivo превышение скорости поляризации относительно скорости реполяризации, высокая частота циклов поляризации-реполяризации может приводить к преждевременному прекращению процесса реполяризации и, как следствие, к превышению количества ионов калия, поступивших в клетку при деполяризации, относительно количества ионов, покинувших её в процессе реполяризации, и снижению отрицательной величины мембранныго потенциала - возрастанию $E_{m,gl}$. Как следствие, в клетках происходит накопление ионов калия и, следовательно, снижение величины отрицательного мембранныго потенциала E_m с каждым последующим прерванным циклом переключения этих процессов.

Каждый незавершенный цикл незначительно (до 1мВ) изменяет величину и средняя величина деполяризации всех олигодендроцитов, входящих в состав НГК, занимает малую часть "рабочей области" значений E_m от порядка -(90÷100)мВ до -(10÷20)мВ.

6.2. О продолжительности жизни полевого механизма подсознания

Начало развития полевой структуры БКС – механизма подсознания сопряжено с развитием его клеточных структур на стадии эмбрионального онтогенеза. Образование основной массы нервных клеток коры происходит впренатальном периоде развития эмбриона после их дифференцировки. Формирование популяции глиальных клеток олигодендроцитов начинается позднее – после завершения деления нервных клеток. Возникновение нейроглиальных комплексов и начало их функционирования в качестве структуры подсознания относится уже к постнатальному периоду. Таким образом, возникновение Собственного спинового поля глиальных клеток-сателлитов коры головного мозга и начало функционирования механизма подсознания, обусловленное развитием клеточных структур неокортекса, относится к начальной стадии постнатального периода развития живого организма – примерно до полугода после рождения индивида. Дальнейшее развитие механизма подсознания обусловлено ростом числа нервных и глиальных клеток неокортекса и установлением функциональных связей между ними в процессе последующего онтогенетического развития на протяжении до двух десятков лет.

Собственные спиновые поля глиальных клеток-сателлитов, входящих в состав различных НГК коры головного мозга, на протяжении всего периода функционирования механизма подсознания находятся в состоянии непрерывно следующих друг за другом циклов поляризации-реполяризации, возникающих в ответ на поступление информации на клеточный уровень БКС. Их функционирование продолжается вплоть до наступления состояния биологической смерти, например, в результате одновременного повреждения клеток-сателлитов большинства НГК коры головного мозга, приводящего к необратимой деполяризации их мембранных потенциалов – снижения величины отрицательного мембранных потенциала ниже (условно принятого нами) значения -20 мВ. Такая ситуация может возникнуть в случае массового необратимого повреждения глиальных клеток, например, вследствие острой гипоксии.

Полевой механизм подсознания (Процессор) является автономной самодостаточной функциональной структурой БКС. Из результатов исследования феномена клинической смерти известно, что механизм подсознания – Собственное спиновое поле глиальных клеток-сателлитов продолжает функционировать при отсутствии всех проявлений жизнедеятельности организма. К ним относятся отсутствие дыхания и сердечной деятельности: полное прекращение клеточной активности коры головного мозга, отсутствие реакции на воздействие внешних раздражителей, отсутствие мышечной активности, отсутствие рефлекторных реакций, и т.д. Вместе с тем, на протяжении всего периода клинической смерти механизм памяти индивида продолжает функционировать. После реанимации и индивид рассказывает о событиях, происходивших вокруг него. Это подтверждает возможность несенсорного непрерывного поступления информации из внешней среды по полевому каналу и существовании механизма её регистрации на внеклеточном уровне.

Литература

1. Бобров А.В. Модельное исследование полевой концепции механизма сознания. ОрелГТУ, Орел, 2007, 260 с.
2. В.В. Шульговский. Физиология нервной деятельности с основами нейробиологии. М. Издательский центр «Академия». 2003. с. 14-15
3. Шукунтала Дэви Женщина-компьютер. Вечерний Тбилиси, 30.01.1982.
4. Чхиквашвили Знаменитые люди. Рекорды.
http://pomnupi.ru/index/znamenitye_ljudi_rekordy_podvigi_i_vershiny_pamjati/0-58
5. Уиллем Клайн. Знаменитые люди. Рекорды http://pomnupi.ru/index/znamenitye_ljudi_rekordy_podvigi_i_vershiny_pamjati/0-58
6. Христиан Смэтс <http://relax.wild-mistress.ru/wm/relax.nsf/publicall/9932d6acb46fce89c32574ce0047cf72>
7. Анохин Очерки по физиологии функциональных систем. М., Медицина, 1975, 467 с
http://polonsil.ru/blog/43421993688/Bolnyie-genialnostyu:-zagadki-“sindroma-savanta”?comments_ids%5B0%5D=428
8. Т.Н. Греченко. Концепции памяти. Интернет, Июнь, 2004. <http://flogiston.ru/>
9. Иванов Е.М. Материя и субъективность. Саратов. Изд-во СГУ, 1998. ИР, 1999
10. Бехтерева Н.П. Магия мозга и лабиринты жизни 2, 2007г
11. Бехтерева Н.П. На все науки цензор? Российская газета 26.06.2003
- 12 Бехтерева Н.П. Мозг человека - сверхвозможности и запреты. Ж. "Наука и Жизнь" №7,2001г
13. Бобров А.В. Взаимодействие спиновых полей материальных объектов. Часть1. Сознание и физическая реальность, Фолиум, М., 2010. Т.15, №7, с. 14-27
14. Бобров А.В. Взаимодействие спиновых полей материальных объектов. Часть2. Сознание и физическая реальность, Фолиум, м., 2010. Т.15, №8, с. 9-18

15. Бобров А.В. Физическая основа информационных методов в технологиях и медицине. Сознание и физическая реальность, Фолиум, М., 2010. Т.15.№9, с. 28-40
16. Бобров А.В. Спиновые поля материальных объектов – второй информационный фактор в явлении полевых информационных взаимодействий. Сознание и физическая реальность, Фолиум, М., 2012, Т.17 № 12, с.27-42.
17. Бобров А.В. Спиновые поля материальных объектов – фактор пятого фундаментального взаимодействия. ФГБОУ БПО «Госуниверситет УНПК», Орел, 2013, 106 с.
18. Акимов А.Е. 6 Акимов А.Е. Эвристическое обсуждение проблемы поиска новых дальнодействий. EGS-концепции,. Препринт 7А МНТЦ ВЕНТ, М1992. .
19. Акимов А.Е. Фундаментальные основания преодоления глобального цивилизационного кризиса. Доклад на Научно–творческой конференции «Нравственность третьего тысячелетия». 18.03.2006.
20. Шипов Г.И. Теория физического вакуума. НТ-Центр, М, 1993. 362 с.
21. Шипов Г.И. Теория физического вакуума. Наука. М., 1997, 450 с.
22. Ацюковский В.А. Концепция я эфиродинамических полей [22];
23. Невесский Н.Е. Теория эфиронного поля [23];
24. Травкин В.В. Физика субатомных масштабов.
25. Ройтбак А.И. Глия и ее роль в нервной деятельности. С.П-б, Наука, 1983, с. с.95, 96
26. Watson W.E. Physiology of neuroglia//physiol. Rev. 1974, Vol. 54, p. 245- 271.
27. Brizee K.R., Vogt J., Kharechko X. Postnatal changes in glial/neuron index with comparison of methods of cell enumeration in the white rat// Growth and maturation of the brain/Ed DP Purpura, J.M. Shadt, Amsterdam etc. 1964, Vol.24, p. 136-149. (Progr. in brain res.)
28. Bennet E.L., Rosenzweig M.R., Krech D., Diamond M.C. Fur.ter evidance for a relation environmental complexity, learning abillity and number of glialcells//Physiologist. 1965, Vol. 8, p. 322.
29. Greer E.R., Diamond M.C., Tang J.M.W. Increase in thickness of cerebral cortex in response to environmetal enrichment in Brattlebaro rats deficient in vasopressin// Exp. Neurol., 1981. Vol. 72, p. 366-379.

ABOUT MECHANISMS OF SUBCONSCIOUSNESS AND MEMORY

A.V. Bobrov

Orel State University named after I.S. Turgenev

In this work there is continued the development of the described in [1] concept of a two-level information processing mechanism in the central nervous system - cellular and field ones. The need to move to a new paradigm defined by the absence of other solutions that move from the state of stagnation of orthodox science, burdened with well-known intractable problems related to human mental activity.

Model review of the subconscious and memory mechanisms allows to determine the status of the phenomenon of the unconscious: the subconscious is an autonomous functional structure of the phenomenon of mental activity. The phenomenon of long-term memory is an attribute of subconscious phenomenon. The functioning of the subconscious mechanism based on the interaction of the Inherent Spin Fields (ISF) oligodendrocytes glial cells that make up the neuroglial complexes (NGC), with a long-range spin fields of the physical vacuum.

Status of ISF of glial cells that make up the NGC is defined by afferent information, coming to the synaptic inputs of the neuron, which is part of NGC, as well by the information coming from the external environment by field channel directly on the glial cells.

Receipt of afferent input information on synaptic input of NGC leads to an increase in the glial cells of potassium ions - the cell is depolarized. This reduces the value of its negative membrane potential, and the intensity of the ISF glial cells increases. The duration of the repolarization process as the reverse output of potassium ions from the glial cells, depending on the amount of the incoming afferent information, determines the duration of the existence of long-term memory field engrams.

The mechanism of information conversion in its transfer from the cellular level of "bio-computer of consciousness" at the field level is described. The mechanism of information transfer from the cellular level of "bio-computer of consciousness" at the field level is described.

О ПОЛЕВОЙ ФОРМЕ КОММУНИКАЦИИ БИОЛОГИЧЕСКИХ СИСТЕМ

Ю.В. Гуров⁽¹⁾, Д.Ю. Гуров⁽²⁾

⁽¹⁾ Доктор медицинских наук, профессор Российской Академии Естественных наук, старший преподаватель кафедры общей и клинической психологии Волгоградского государственного медицинского университета и генеральный директор Волгоградского Центра психотерапии и саморегуляции «Салюс», 400120, г. Волгоград, ул. Новоузенская 2а, тел. 8-(8442)-99-03-66.

⁽²⁾ Доктор медицинских наук, ассистент кафедры патологической анатомии Волгоградского государственного медицинского университета Министерства здравоохранения Российской Федерации, 400131, Россия, г. Волгоград, площадь Павших Борцов, д. тел.8-(8442)-97-13-99.

salus.psy@gmail.com, salus.psy@yandex.ru

В статье исследуется феномен передачи информации от одного биологического объекта другому, в т.ч. в системе «человек – человек». Рассмотрено такое свойство указанного взаимодействия как когерентность, а также индукционно-резонансные взаимодействия в системе «человек – микробная клетка». Сделано заключение о способности организма генерировать электромагнитные поля, в т.ч. мыслеформы, с достаточной интерференционной когерентностью, а также о способности организма (человека) осуществлять селекцию когерентных сигналов, в т.ч. в виде анизотропной энергетической флуктуации на фоне стохастической помехи. По мнению авторов, физическое (семантическое) поле человека – результат интерференции когерентных излучений отдельных эндогенных клеточных структур организма.

Феномен передачи информации от одного биологического объекта другому экспериментально получил подтверждение еще в 1923 году, когда А.Г. Гурвичем было открыто митогенетическое излучение. В опытах с корешками лука активно делящиеся клетки кончика корня на расстоянии 2-3 мм индуцировали митоз в меристематической ткани другого, химически изолированного от него корня. Стеклянная пластинка между двумя корешками снимала эффект, в то время как кварцевая на воздействие не влияла. Следовательно, по заключению Гурвича, эффект обусловлен не химическими воздействиями, а излучением, поглощаемым стеклом и не поглощаемым кварцем. Такими свойствами обладает ультрафиолетовое излучение [1]. Дальнейшие исследования показали, что таким свойством обладают не только корешки лука, но и различные клетки, ткани и органы растительного и животного происхождения. По мнению некоторых ученых, вызывает удивление тот факт, что у А.Г. Гурвича и его коллег столь важное свойство как направленность излучения не вызвало должного интереса [2]. К значению векторности излучения мы вернемся позже.

Проблемам межклеточного дистанционного взаимодействия были посвящены работы академика В. П. Казначеева — открытие «Явления межклеточных дистантных электромагнитных взаимодействий в системе двух тканевых культур», которое занесено в Государственный реестр открытий СССР под № 122 с датой приоритета от 15 февраля 1966 г. Формула открытия гласит: «Экспериментально установлено неизвестное ранее явление дистантных межклеточных электромагнитных взаимодействий между двумя культурами ткани при воздействии на одну из них факторов биологической, химической или физической природы с характерной реакцией другой (интактной) культуры в виде зеркального цитопатического эффекта, что определяет клеточную систему как детектор модуляционных особенностей электромагнитных излучений». Суть открытия заключается в возможности передачи биологической информации от одной культуры клеток другой [3].

Академик В.И. Вернадский подчеркивал необычную организованность живого вещества по сравнению с неживым. «При изучении живого вещества мы уже имеем дело с гетерогенным пространством. Живой организм представлен в пространстве веществом и полем. Живой организм является многомерным “конденсированным” пространством,

конфигурация которого в значительной мере обусловлена действием полей микрокосмоса. В отрыве от физических полей биополе рассматривать нельзя» [4].

В.М. Инюшин много лет посвятил исследованию биоплазмы как организованной плазмы. «В целом, в живой клетке все плазменные структуры, куда входят и виртуальные частицы, образуют единый биоплазменный ансамбль клетки, который является целостной системой, гомеостаз которой тесно связан с устойчивостью атомно-молекулярных компонентов (вода, органические молекулы и т.д.). Биоплазма, как организованная структура, является еще и излучающей системой, она генерирует композиционное упорядоченное поле со сложной конфигурацией – биополе» [5]. Именно В.М. Инюшин и П.Р. Чекуров обратили внимание на когерентность митогенетического излучения корешков лука.

Поскольку клеточные структуры и человек в целом являются не только излучателями информации, но и ее приемниками, то в этом случае клетку или даже человека можно использовать как прибор, воспринимающий воздействия от другого биологического объекта.

Нами на протяжении ряда лет исследовались индукционно - резонансные процессы в системе «человек - микробная клетка» и в системе «человек – человек».

Занимаясь вопросами психонейроиммуномодуляции и работая с бактериологами в очагах инфекционных заболеваний (в том числе природно-очаговых), мы обратили внимание, что эффективность работы бактериолога (% высеваемости с источников инфекции или с объектов внешней среды) во многом зависит (при прочих равных условиях) от личности специалиста. Особенно это было заметно в очагах менингококковой инфекции и острых кишечных заболеваний.

Предполагая, что в основе стимуляции или ингибирования роста высеваемых культур лежат индукционно - резонансные процессы (квантовое взаимодействие в системе «человек - микробная клетка»), которые, как показано нами ранее (Гуров Ю.В., Гуров Д.Ю., 1996 [6]), имеют место и в системе психотерапевтического воздействия на личном, межличностном уровнях и могут обусловить конгруэнтность или инконгруэнтность таких взаимодействий, мы попытались разработать на этой основе объективный тест оценки степени биотичности семантического поля человека - оператора.

Объектами исследования явились добровольцы (50 человек) с парапсихологическими особенностями (в большинстве случаев «акцентуанты»). Работа осуществлялась в рамках экспертизы народных целителей (экспертная комиссия при Волгоградском отделении Российской академии экологии) [7].

В работе в качестве биодетектора использовали стандартизованный живой лиофильно высушенный вакцинный штамм Y. Pestis EV.

Жизнеспособность культуры определяли после ее регидратации в натриево - фосфатном буфере ($\text{pH} = 7,0$) и последующим посевом на плотные питательные среды (контрольные образцы - такие же чашки (5 шт.), но без полевого воздействия).

«Целителей» просили мысленно воздействовать на культуру (психическое аутомоделирование), добиваясь либо ее ускоренного роста (стимуляция), либо подавления роста (ингибирование).

Установлено, что в случае прямого воздействия в 10% отмечалось спонтанное ингибирование роста культур, в 10% случаев - индифферентная реакция; в 76 % - регистрировалась стимуляция роста, но лишь в 10% случаев последняя тенденция оказалась достоверной ($p < 0,05\%$) по сравнению с контролем.

Следует отметить, что только у 4% испытуемых отмечалась способность к модуляции жизнеспособности тестируемых культур после соответствующего психического аутомоделирования.

Таким образом, путем разработки тест-системы оценки спонтанной биоэнергетической направленности и степени модулированности по вектору дозированного полевого воздействия оператора на референтную культуру получена возможность повысить эффективность психотерапевтической коррекции и устраниТЬ нежелательные побочные

явления у пациентов за счет учета характера и степени биотичности или абиотичности полевого компонента оператора (особенно в условиях невербального воздействия).

Нами также на протяжении ряда лет изучается техника индукции дистантных сенсомоторных реакций, которая основана на том, что семантическое поле человека на основе индукционно-резонансных механизмов выступает как передатчик информации от источника – оператора (онтопсихолога, психотерапевта) к получателю (клиенту, пациенту) в режиме временно действующей диады с регистрацией у получателя индуцируемых различных динамических гештальт формообразований. В результате многолетних исследований нами был запатентованы два способа анализа семантического поля человека.

В рамках онтопсихологии семантическое⁴ поле – это совокупная информация, идущая от целостного организма и содержащая информационные послания всех инстанций психосоматической структуры человека, это базовая информация, предшествующая чувствам и сознанию. Эта информация может передаваться от одного субъекта к другому. И в этом случае принимающий информацию субъект может проанализировать ее, т.е. проанализировать семантическое поле [8].

В человеческой коммуникации участвуют не только вербальные и невербальные сигналы, но еще и психосоматический радар. Психосоматический радар – генетически обусловленная частота электромагнитных колебаний, излучаемых мозгом, которая, дополняя словесные и невербальные паттерны общения, посыпает сигналы в окружающую среду и воспринимает сигналы, приходящие из окружающей среды. С помощью этого радара человек передает вовне информацию о себе и воспринимает информацию, идущую от других людей [9]. А. Менегетти (основатель онтопсихологии) утверждал, что такое энергетическое взаимодействие людей происходит в семантическом поле, и восприятие семантического поля позволяет человеку знать о любом действии, видимом или невидимом, которое имеет к нему отношение в окружающей его среде. Это поле – радар, данный человеку природой.

Особенность психосоматического радара состоит в том, что он может быть направлен как вовне (экстраверты), так и вовнутрь (интроверты) человека.

Нами под семантическим полем понимается физическое поле биообъекта (человека) с его биоэнергетическими и энергоинформационными особенностями, которые выявляются семиотически (по определенным знакам) на уровне кинетико-проксемических коммуникаций и которые в дальнейшем интерпретируются оператором, устанавливая pragматически связь знаков с «адресатом» и его свойствами.

Рассмотрим два запатентованных нами способа анализа семантического поля человека, которые в режиме «здесь и сейчас» позволяют оценивать экстра-интроверсивность (интенциональность), уровень реактивности и степени конгруэнтности и инконгруэнтности семантического поля человека.

Первый способ анализа семантического поля человека

Первоначальную наработку навыков техники анализа семантического поля на основе индукции дистантных сенсомоторных реакций в рамках кинетико-проксемической коммуникации от оператора (донора) к пациенту (реципиенту) путем передачи стандартизованных моторных образов (Патент на изобретение РФ № 2144316) [10] проводили на добровольцах – студентах высших учебных заведений города Волгограда, а уже в дальнейшем этот метод применяли в Волгоградском центре психотерапии и саморегуляции на клиентах в процессе психологического консультирования, в том числе проблем, связанных с антиципацией девиантного поведения, при индивидуальной психотерапии, психотерапии в группе и групповой психотерапии, а также при семейном

⁴ В онтопсихологии «под термином «семантический» понимается побуждение в процессе движения, создающее форму, которая затем присваивается получателем или результируется неким значением, которое мы именуем эффектом или симптомом» (Менегетти А. Учебник онтопсихологии / Пер. с итал. – М.: Славянская ассоциация Онтопсихологии, 1997.– 592 с.).

консультировании. Результаты интерпретации доводились до сведения пациента и он был в дальнейшем свободен в выборе принятия решения.

Изучение прикладного значения анализа семантического поля человека проводилось в рамках психонейроиммуномодуляции. Эта работа выполнялась в 1976-2001 годах в Волгоградском научно-исследовательском противочумном институте и Элистинской противочумной станции.

Исследования в рамках психонейроиммуномодуляции проводили в двух аспектах:

А) использование анализа семантического поля подлежащих вакцинации людей (специфическая профилактика);

Б) применение анализа семантического поля человека как способа определения уровня его неспецифической реактивности (неспецифической основы иммунитета).

Техника индукции дистантных сенсомоторных реакций основана на том, что семантическое поле человека на основе индукционно-резонансных механизмов выступает как передатчик информации от источника – оператора (онтопсихолога, психотерапевта) к получателю (клиенту, пациенту) в режиме временно действующей диады с регистрацией у получателя индуцируемых различных динамических гештальт формообразований [11].

Оператор и пациент стоят лицом друг к другу на расстоянии вытянутых рук. Такая дистанция оптимальна для восприятия семантического поля.

Оператор предлагает пациенту встать ровно и закрыть глаза, вызывая у него, тем самым, состояние неустойчивого мышечного равновесия, которое способствует повышению акцентуации восприятия.

Чтобы войти в резонансное взаимодействие с пациентом («присоединиться»), оператор начинает копировать его состояние (покачивание, микродвижения, дыхание).

Затем оператор, обращаясь к пациенту, произносит словесную формулу мотивации поведения неопределенного типа, содержащую предикаты кинестетической модальности, и которая формирует у пациента готовность к индукции.

Далее оператор психически аутомоделирует (создает мысленный образ) двигательные акты, которые индуцируют у пациента.

Причем аутомоделирование и индуцирование двигательных актов осуществляется в определенной последовательности: от общих, например, наклон туловища, до высокодифференцированных мышечных движений, например пальцев рук или языка. Там, где это возможно, двигательный акт имеет разное направление: вверх, вниз, вперед, назад, направо, налево.

Аутомоделировать можно разные физиологические процессы, но по двигательному акту проще анализировать семантическое поле.

За счет индукции у пациента возникают сенсомоторные реакции разного характера и степени выраженности.

Если пациент почти не реагирует на индуцируемый процесс, то это означает, что у него чувствительность к внешнему воздействию или реактивность практическим отсутствует, то есть его семантическое поле имеет интроверсивную (вовнутрь) ориентированность.

Если же пациент реагирует на индуцируемый процесс, значит, он чувствителен к внешнему воздействию, то есть его семантическое поле имеет экстраверсивную (наружную) ориентированность.

Уровень реактивности семантического поля определяют по величине эффективного (для реализации индукции) межличностного пространства в системе оператор-пациент.

Так, если индукция сенсомоторных реакций в стандартном положении для тестирования не отмечается - низкий уровень реактивности: если регистрируют реакции при величине межличностного пространства 1-5 метров средний уровень, а когда свыше 5 метров - высокий уровень реактивности.

Наряду с этими показателями выявляют конгруэнтность или инконгруэнтность⁵ семантического поля - соответствие или несоответствие полей в системе оператор-пациент.

Конгруэнтность определяют по степени совпадения индуцируемых и возникающих сенсомоторных реакций. Чем выше совпадение, тем выше конгруэнтность.

Инконгруэнтность оценивают также по степени совпадения векторов индуцируемых возникающих сенсомоторных реакций, но с противоположным знаком. Это своего рода индикатор парадоксальности реагирования пациента.

Степень конгруэнтности (или инконгруэнтности) определяют по уровню дифференцированности возникающих сенсомоторных реакций.

Чем выше дифференцированность реакции при последовательном индуцировании двигательных актов (реагируют пальцы конечностей или язык), тем выше степень конгруэнтности (или инконгруэнтности), чем ниже дифференцированность реакции (реагирует только туловище), тем ниже степень конгруэнтности (или инконгруэнтности).

Таким образом, можно говорить о высокой, средней и низкой степени конгруэнтности (или инконгруэнтности).

Все выявленные признаки семантического поля необходимо учитывать на психосоматическом уровне при любом взаимодействии в системе оператор-пациент, будь то составление прогноза лечения или эффективности вакцинопрофилактики. Причем эти признаки можно учитывать все сразу или порознь.

Так, ориентированность поля позволяет уточнить длительность курса лечения и дозировок (медикаментозное, массаж, иглорефлексотерапия и т.д.)

При экстраверсивной ориентированности поля дозы меньше и длительность короче, чем при интроверсивной ориентированности поля.

Уровень реактивности позволяет уточнить пролонгированность курса и величину дозировок. Например, при высоком уровне реактивности достаточно краткий курс лечения малыми дозами (при вакцинации рекомендуемый режим - по типу гипоиммунизации); при низком уровне реактивности - пролонгированный курс лечения более высокими дозами (при вакцинации лучший эффект дает гипериммунизация).

Если выявлена инконгруэнтность семантического поля, то действовать на пациента надо от обратного: «Мой голос слушать не обязательно». И он обязательно слушает. «Вы все будете помнить». И он все забывает. «Вам всегда хочется есть». И у него уменьшается аппетит. Рефлекторное воздействие для снижения аппетита вызывает у него «зверский» аппетит, а снотворная рецептура - бессонницу. То есть у пациентов с инконгруэнтностью семантического поля наблюдается парадоксальное реагирование, обратный эффект на психосоматическом уровне по сравнению с пациентами, у которых выявлена конгруэнтность семантического поля.

Таким образом, предлагаемый способ реализуется очень быстро, в течение нескольких минут; просто, так как может быть осуществлено любым аутентичным оператором, способным осуществить аутомоделирование и индуцирование двигательного акта.

Для объективизации процесса можно использовать визуальный контроль третьего лица или контроль с помощью технических средств (фото, электромагнитных устройств и т.д.).

⁵ Под конгруэнтностью (от англ. congruence) понимается эквивалентность функционирования на квантовом уровне (личностном или межличностном) и это уже вторично определяет психосоматическое состояние целостности и полной искренности, когда все части личности работают синхронно на основе биоэнергетических индукционно-резонансных механизмов и поэтому она функционирует как целеустремленная система прямого реагирования на внутренние или внешние стимулы.

При инконгруэнтности человек испытывает потребность в использовании психологических защит. При этом его внутренние переживания и чувства не точно отражаются сознанием, а значит и поведением по типу абрекций (реакций парадоксального реагирования).

Второй способ анализа семантического поля человека

Другой подход к анализу семантического поля (Патент на изобретение РФ № 2277853) [12] заключается в определении конгруэнтности или инконгруэнтности в рамках проксемической коммуникации в системе взаимодействие пациент-пациент [13].

В осуществлении предлагаемого способа принимают участие оператор и, по крайней мере, одна пара пациентов. При наличии нескольких пар оператор проводит исследование последовательно для каждой пары. В любом случае вначале для каждого пациента определяют ориентированность и уровень реактивности семантического поля по выше описанному способу.

Далее исследование семантического поля ведут с помощью оператора у пары пациентов. Причём схема исследования для экстра- и интроверсивной пары несколько отличается.

Когда пара состоит из экстраверсивно ориентированных пациентов (причём достаточно иметь в паре даже одного экстраверта), их располагают лицом к лицу на расстоянии вытянутых рук, с закрытыми глазами.

Оператор вербально сuggестирует взаимопрятяжение пациентов и затем за счёт своей вынесенной вовне когнитивной активности – энергетической анизотропной флюктуации⁶ - осуществляет попытку разрыва межличностного взаимодействия семантических полей пациентов.

И если происходит сближение пациентов с различной степенью, регистрируют степень конгруэнтности семантических полей.

Когда пара состоит из интроверсивно ориентированных пациентов, их также располагают лицом друг к другу на расстояние вытянутых рук, с закрытыми глазами.

Каждый из пациентов вербально аутосуггестирует мысль о взаимопрятяжении с одновременным образным представлением другого пациента, и затем оператор за счёт своей вынесенной вовне когнитивной активности осуществляет попытку кинестетического разрыва межличностного взаимодействия семантических полей пациентов.

При этом по различной степени отталкивания регистрируют различную степень инконгруэнтности:

Если отмечается лишь тенденция к отталкиванию – слабая степень инконгруэнтности.

При эффекте потери равновесия – сильная степень инконгруэнтности.

Для объективизации процесса можно также использовать визуальный контроль третьего лица или контроль с помощью технических средств (фото, видео, электромагнитных устройств и т.д.).

Когда пар несколько, например, при проведении гипнотерапии, помимо учёта взаимодействия между оператором и каждым пациентом, которое выявляется ориентированностью и уровнем реактивности каждого пациента, учитывается взаимодействие между пациентами в паре.

Таким образом, и этот способ анализа семантического поля человека также реализуется быстро, в течение нескольких минут; прост, доступен для освоения, так как может быть осуществлён аутентичным человеком - специалистом, способным осуществить аутомоделирование двигательного акта, индуцирование и способностью выноса вовне своей когнитивной активности.

В заключение хотелось бы высказать гипотезу о физической природе излучения, которое передает информацию от человека к человеку на полевом уровне. Если

⁶ «Суть самоорганизации – основного жизненного интереса в том, что в пространстве индивидуальной живой системы одни её части передают свой энергетический запас другим. Явление передачи энергии из разных частей системы в более ограниченную её область, потенциал которой в результате возрастает, называют флюктуацией... В живой системе флюктуации – процесс перераспределения энергии и информации осуществляется регулярно и закономерно... Излучаемое слабое воздействие может быть упорядоченным во времени и в пространстве, в частности быть анизотропным в отличие от теплового воздействия – неупорядоченного, изотропного» [13. С. 57].

рассматривать организм как «государство» клеток, тогда физическое (семантическое) поле человека – результат интерференции когерентных излучений отдельных эндогенных клеточных структур организма. С этих позиций можно объяснить межличностное взаимодействие на основе индукционно-резонансных процессов. В этой связи мы считаем заслуживающим внимание предположение некоторых авторов о том, что «... когерентное излучение несет в себе голограмму состояния объекта» [5. С. 66].

Исходя из выводов А.В. Будаговского о том, что «на фоне стохастических помех биообъектами надежно распознаются только коррелированные сигналы, т.е. межклеточные взаимодействия должны осуществляться полями с достаточно высокой когерентностью» [2. С. 90], нами сформулированы два важных заключения, необходимых для существования полевого коммуникационного канала на индукционно-резонансной основе в системе «человек-человек»:

1. Способность организма генерировать электромагнитные поля, в т.ч. мыслеформы, с достаточной интерференционной когерентностью.
2. Способность организма (человека) осуществлять селекцию когерентных сигналов, в т.ч. в виде анизотропной энергетической флуктуации на фоне стохастической помехи.

Список литературы

- [1] Гурвич А.А. Проблема митогенетического излучения как аспект молекулярной биологии. — АМН СССР. — Ленинград: МЕДИЦИНА, 1968. С. 14.
- [2] Будаговский А.В. Дистанционное межклеточное взаимодействие. – М.: НПЛЦ «Техника», 2004. – 104 с.
- [3] Казначеев, В.П., Михайлова Л.П. Сверхслабые излучения в межклеточных взаимодействиях. — Новосибирск: Наука, 1981.
- [4] Вернадский, В. И. Биосфера и ноосфера. — М.: Айрис-пресс, 2012. — 576 с.
- [5] Инюшин В.М., Чекуров П.Р. Биостимуляция лучом лазера и биоплазма. — Алма-Ата: Казахстан. — 1975. — 120 с.
- [6] Некоторые механизмы индукционно-резонансного взаимодействия в системе психотерапии / Гуров Ю.В. и [др.] // Тезисы докладов I Всероссийской учебно-практической конференции по психотерапии. – М., 1996. С. 133.
- [7] Гуров Ю.В., Гуров Д. Ю.Индикация и оценка биотичности семантического поля человека // Сборник материалов научной конференции «Итоги и перспективы развития традиционной медицины в России». М., 2002. С. 252-253.
- [8] Менегетти А. Введение в онтопсихологию. – Пермь: Хортон Лимитед, 1993. – С.20-31.
- [9] Гуров Ю.В., Гуров Д.Ю. Активная саморегуляция: Учебное пособие. – Волгоград: Принт, 2015. 236 с.
- [10] Патент 2144316 РФ, МПК А 61 В 5/16. Способ анализа семантического поля / Заявители, патентообладатели и авторы Гуров Ю.В., Гуров Д.Ю. - № 96119286/14; заявл. 27.09.96; опубл. 20.01.00, Бюл. 04. – 5с. (Опубликовано Европейским патентным офисом на сайте: esp@cenet).
- [11] Патент 2144316 РФ, МПК А 61 В 5/16. Способ анализа семантического поля / Заявители, патентообладатели и авторы Гуров Ю.В., Гуров Д.Ю. - № 96119286/14; заявл. 27.09.96; опубл. 20.01.00, Бюл. 04. – 5с. (Опубликовано Европейским патентным офисом на сайте: esp@cenet); Гуров Ю. В., Гуров Д. Ю. К вопросу анализа семантического поля человека // Психотерапия – от теории к практике. Материалы 2-й Всероссийской учебно-практической конференции по психотерапии. – М., 1997. – С.29-30; Гуров Ю. В., Гуров Д. Ю. К вопросу анализа семантического поля человека. // Психотерапия сегодня: Мат. III Всероссийской конференции по психотерапии. – М., 1999. – С.335-336. Гуров Ю.В. и др. Анализ семантического поля человека // Психология и здоровье. – Волгоград, 2000. – С.41-45.

- [12] Патент 2277853 РФ, МПК А 61 В 5/13, А 61 М 21/00. Способ анализа семантического поля / Заявители, патентообладатели и авторы Гуров Ю.В., Гуров Д.Ю., Лященко В.В. - № 2004113165/14; заявл. 28.04.04; опубл. 20.06.06, Бюл. № 08. – 5с.
- [13] Дмитриевский И. М. Магниторезонансный механизм слабых взаимодействий и его использование для понимания загадочных явлений природы. Материалы международной конференции «Мышление XXI века и образование». – М., 1999. – С.55-65.

ABOUT THE SHAPE OF THE FIELD OF COMMUNICATION IN BIOLOGICAL SYSTEMS

Gurov Yuriy Vasilievich, Gurov Dmitriy Yurievich

This article examines the phenomenon of transmission of information from one biological object to another, including in the system "man – man". Considered this property of the interaction as coherence, and induction-resonance interaction in the system "man – microbial cell". The conclusion about the ability of the body to generate an electromagnetic field, including thought forms, with sufficient intergeracional coherence, and the ability of the organism (person) to carry out the selection of coherent signals, including in the form of the anisotropic energy fluctuations on the background stochastic noise.

СРАВНИТЕЛЬНЫЕ СВОЙСТВА РАЗЛИЧНЫХ ВИДОВ ИЗЛУЧЕНИЯ

Н.А. Колтовой

koltovoi@mail.ru

Проведен сравнительный анализ свойств различных неэлектромагнитных излучений, обнаруженных разными авторами в разное время, и имеющими различные названия. Сравнительный анализ является одной из попыток выяснить, являются ли эти излучение одним и тем же излучением, или являются различными видами излучений.

Проведем сравнительный анализ свойств различных неэлектромагнитных излучений, открытых различными авторами в разное время, и обозначенных различными названиями. Сравнительный анализ является одной из попыток выяснить, являются ли все эти излучения одним и тем же излучением, или же это различные излучения, обладающие различными свойствами. Трудность проведения сравнительного анализа состоит в том, что экспериментальных данных по различным излучением очень мало, и пока не удалось найти работы, в которых бы проводился сравнительный эксперимент с различными излучениями.

| № | Год | Излучение | Источник | Приемник | 1 | 2 | 3 | 4 | 5 | 6 | 7 | 8 | 9 | 10 | 11 | 12 | 13 |
|----|------|---------------------------------|-----------|------------|---|---|---|---|---|---|---|---|---|----|----|----|----|
| 1 | | Биоизлучение | человек | Экстрасенс | + | + | + | + | + | + | + | + | + | + | + | + | + |
| 2 | 1991 | Торсионное излучение | генератор | Детектор | + | + | + | + | + | + | + | + | + | | | | + |
| 3 | 1964 | Продольные волны | генератор | Детектор | + | + | - | - | + | | | + | + | | | | |
| 4 | 1963 | Излучение Козырева | Солнце | Детектор | + | + | + | | | + | | + | | | | + | + |
| 5 | 1984 | Излучение Гребенникова | Солнце | Экстрасенс | + | + | | | + | | | + | | | | | |
| 6 | 1844 | Одеон Рейхенбаха | Солнце | Экстрасенс | + | | | | | | + | | + | | | | |
| 7 | 1903 | N-лучи Блондло | Все | Детектор | + | | | | | | + | | | | | | |
| 8 | 1981 | Хрональное излучение Вейника | Солнце | Детектор | + | | | | + | | + | | | | | | |
| 9 | 1991 | Аксационное излучение Шпильмана | генератор | Детектор | + | | | | | | | | | | | | + |
| 10 | 1998 | Мю-нейтрино | генератор | Детектор | + | + | | + | | | | + | | | | | |

Список свойств:

- 1 - Воздействие на биологические объекты,
- 2 - Высокая проникающая способность,
- 3 - Высокая скорость распространения,
- 4 - Наличие поляризации,
- 5 - Влияние на скорость радиоактивного распада,
- 6 - Влияние на ход времени,
- 7 - Влияет на физические свойства веществ,
- 8 - Распространяется по проводам,
- 9 - Возможно концентрировать,
- 10 - Разложение в спектр,
- 11 - Отражение,

- 12 - Влияние на крутильные весы,
 13 - Задержка при распространении в плотной среде.

Воздействие различных излучений на датчики

| | Датчики: | 1 | 2 | 3 | 4 | 5 | 6 | 7 |
|------|-------------------------------|---|---|---|---|---|---|---|
| | Биоизлучение | + | + | + | + | + | + | + |
| 1991 | Торсионное излучение | + | + | + | + | + | + | + |
| 1964 | Продольные волны | + | | + | | | | |
| 1958 | Излучение Козырева | | | | | + | | |
| 1984 | Излучение Гребенникова | + | | | | + | | |
| 1844 | Одеон Рейхенбаха | | | | | | | |
| 1903 | N-лучи Блондло | + | | | | | | |
| 1981 | Хрональное излучение Вейника | | | | | + | | |
| 1991 | Акционное излучение Шпильмана | | | | | | | |
| 1998 | Мю-нейтрино Шаймуратов | + | | | | | | |

Рассматриваются следующие типы датчиков:

- 1 - человек, изменяется состояние и самочувствие человека,
- 2 - растения, изменяется скорость роста растений,
- 3 - вода, изменяются физические свойства воды,
- 4 - крутильные весы, поворот под действием излучения,
- 5 - часы, влияет на ход времени,
- 6 - воздействие на случайные процессы.
- 7 - воздействие на процесс кристаллизации.

Анализируются следующие виды излучений:

1. Биоизлучение, биополе, исследовалось различными учеными. Источником излучения является человек. Регистрация излучения осуществляется различными способами.
2. Торсионное излучение. В 1991 году создан МНТЦ ВЕНТ, в котором под руководством *Акимова Анатолия Евгеньевича* (1938-2007), Москва, проводились исследования торсионного излучения. Источником излучения являются различные конструкции торсионных генераторов. Регистрация излучения осуществляется различными детекторами.
3. Продольные волны. У истоков исследования продольных электромагнитных волн стоит *Докучаев Владилен Иванович* (1931-1990) Москва. Источником излучения является генератор, который он назвал «генератором зарядового эквивалента». Регистрация излучения осуществляется различными методами.
4. Излучение Козырева, излучение времени. *Козырев Николай Александрович* (1908-1983) Санкт-Петербург, в 1963 году написал работу по экспериментальному исследованию времени. Источником излучения является солнце, звезды. Регистрация излучения производилась с помощью различных детекторов.
5. Излучение Гребенникова, эффект сотовых структур. *Гребенников Виктор Степанович* (1927-2001) Новосибирск, в 1985 году написал статью о взаимодействии полевых структур с живыми системами. Источником излучения

является Солнце. Регистрация излучения производилась по оценке влияния на различные объекты: крутильные весы, человек, часы, семена.

6. Одеон Рейхенбаха, одическая сила. *Карл Вильгельм Фон Рейхенбах* (1788-1869) немецкий естествоиспытатель, Штутгарт, с 1844 года 30 лет изучал поле, которое он назвал одической силой. Источники одической силы: Солнце, постоянный магнит, кристаллы. Регистрация излучения производилась сенситивом.
7. N-лучи Блондло. *Рене Блондо* (1849-1930), Нанси, французский физик, в 1903 году обнаружил новый вид излучения, которое он назвал N-лучи. Источником излучения является человек, металлы. Регистрация излучения проводилась с помощью бумаги, пропитанной раствором сернистого кальция.
8. Хроимальное излучение Вейника. *Вейник Альберт Иосифович* (1919-1996), Минск, белорусский теплофизик, в 1950 году приступил к разработке общей термодинамической теории, открыл хроимальное излучение. Источником хроимального излучения является Солнце. Регистрация хроимального излучения осуществлялась с помощью специального детектора, в центре которого располагались часы. Под действием излучения изменялся ход времени.
9. Аксионное излучение Шпильмана, спиновые поля. *Шпильман Александр Александрович*, Алма-Ата, исследовал аксионное излучение. Источником излучения является специально разработанный генератор, состоящий из вращающихся магнитов. Регистрация излучения осуществлялась с помощью крутильных весов.
10. Мю-нейтрино. *Шаймуратов Ринат Нуруллович*, Ташкент, в 1998 году исследовал излучение, которое он назвал потоком мю-нейтрино. Источником излучения является центробежный генератор на основе двигателя, который раскручивает алюминиевый диск. Регистрация излучения осуществлялась по воздействию на различные материалы, изменялись их свойства, повышается эффективность топлива.

Подробное рассмотрение экспериментов, подтверждающих наличие различных свойств у различных типов излучений приводится в Книге 5. Часть 1. «Неэлектромагнитные поля и излучения». Книгу можно бесплатно скачать с сайта koltovoi.nethouse.ru.

COMPARATIVE PROPERTIES OF DIFFERENT TYPES OF RADIATION.

Nikolai Koltovoi

koltovoi@mail.ru

A comparative analysis of the properties of various non-electromagnetic radiation discovered by different authors at different times, and designated by different names. Comparative analysis is one of the attempts to find out whether all the radiation with the same emission or emission are different, have different properties.

ЭКСПЕРИМЕНТ. ПРАКТИКА

ИСПОЛЬЗОВАНИЕ ГЕНЕРАТОРОВ СВМ-ПОЛЕЙ В МЕТАЛЛУРГИИ

В.Ф. Панов, С.А. Курапов, А.Е. Бояршинов

Пермский государственный национальный исследовательский университет,
ООО «Сталь-59»

panov@psu.ru, svm-perm@mail.ru

В работе представлены новейшие результаты воздействия СВМ-генераторов («торсионных и спинорных полей») на расплавы металлов. Сделана попытка теоретических обоснований использования СВМ-генераторов в металлургии на основе квантовой теории, бинарной геометрофизики Ю.С. Владимириова, теории Е.А. Губарева, работы Л.Б. Болдыревой, в которой физический вакуум наделяется свойствами сверхтекучего ${}^3\text{He-B}$.

В период с 1989 г. по 1991 г. в Институте проблем материаловедения АН Украины был проведён цикл работ по изменению физико-химических свойств металлов при воздействии «торсионных излучений» на расплавы [1]. Были получены однозначные результаты воздействия «торсионных излучений» на расплавы металлов в состоянии перегрева. Отметим, что в тот же период Г.И. Шиповым была предложена теория физического вакуума [2].

Нами, в условиях действующего производства, были проведены исследования по обработке расплавов чёрных и цветных металлов и сплавов, используемых в машиностроении и авиастроении, генераторами на электромагнитной основе (СВМ-генераторами). Были получены результаты по изменению микро- и макроструктуры, что привело к существенному улучшению механических свойств металлов и сплавов [3]. В настоящей статье излагаются новые результаты в этой области.

В 2015 году, в городе Конья, Турция, была проведена работа по применению СВМ-генераторов на производстве отливок из алюминиевых сплавов для автомобильной промышленности.

На территории Турции используются алюминиевые сплавы (силумины) производителя ETi Aluminum стандартов ETInorm. Ниже приведены примеры химического состава и механических свойств стандартов ETInorm и ГОСТ в сравнении с характеристиками силуминов ETInorm после ОНЭП.

Таблица 1. Химический состав алюминиевых сплавов по ГОСТ

| Марка сплава | Массовая доля, % | | | | | | | |
|----------------|----------------------|---------|--------------------|----------|---------|--------|------|-------|
| | Основных компонентов | | Примесей, не более | | | | | |
| | Алюминия | Кремния | Железа | Марганца | Кальция | Титана | Меди | Цинка |
| | Al | Si | Fe | Mn | Ca | Ti | Cu | Zn |
| AK12ч(сил-1) | основа | 10-13% | 0,5 | 0,4 | 0,08 | 0,13 | 0,02 | 0,06 |
| AK12пч(сил-0) | основа | 10-13% | 0,35 | 0,08 | 0,08 | 0,08 | 0,02 | 0,06 |
| AK12оч(сил-00) | основа | 10-13% | 0,2 | 0,03 | 0,04 | 0,03 | 0,02 | 0,04 |

Таблица 2. Химический состав алюминиевых сплавов ETInorm

| Марка сплава | Международный | Al | Fe | Si | Cu | Mn | Mg | Zn | Ni | Ti |
|--------------|---------------|----|----|----|----|----|----|----|----|----|
|--------------|---------------|----|----|----|----|----|----|----|----|----|

| | | | | | | | | | | |
|-----------|--------------|-------|------|-------|------|-----|------|------|---|------|
| | стандарт | | | | | | | | | |
| Etial-141 | ISO AlSi12Fe | 87,30 | 0,68 | 11,94 | 0,01 | 0,1 | 0,01 | 0,02 | - | 0,02 |

Таблица 3. Механические свойства алюминиевых сплавов по ГОСТ

| Марка сплава | Способ литья | Вид термической обработки | Предел прочности на растяжение σ_B , МПа | Отн. удлинение при разрыве d, % | Твердость HV |
|--------------|----------------------|---------------------------|-------------------------------------------------|---------------------------------|--------------|
| | | | Не менее | | |
| АК12(АЛ2) | ЗМ, ВМ, КМ К Д | - | 147 | 4,0 | 50,0 |
| | | | 157 | 2,0 | 50,0 |
| | | | 157 | 1,0 | 50,0 |
| | ЗМ, ВМ, КМ К Д | T2 | 137 | 4,0 | 50,0 |
| | | T2 | 147 | 3,0 | 50,0 |
| | | T2 | 147 | 2,0 | 50,0 |

Таблица 4. Механические свойства алюминиевых сплавов ETInorm

| Марка сплава | Предел прочности на растяжение σ_B , МПа | Предел текучести $\sigma_{0,2}$, МПа | Предел прочности на изгиб σ_{fu} , МПа | Твердость HV |
|--------------|-------------------------------------------------|---------------------------------------|-----------------------------------------------|--------------|
| Etial-141 | 122 | 98 | 99 | 71,5 |

Для каждого сплава было применено несколько режимов работы оборудования ОНЭП по 3 плавки для каждого режима. Полученные результаты для каждого двух плавок приведены в таблице 5.

Таблица 5. Свойства алюминиевых сплавов ETInorm после ОНЭП

| Марка сплава | Предел прочности на растяжение σ_B , МПа | Предел текучести $\sigma_{0,2}$, МПа | Отн. удлинение при разрыве d, % | Сужение поперечного сечения, % | Твердость HV |
|--------------|-------------------------------------------------|---------------------------------------|---------------------------------|--------------------------------|--------------|
| E-141-1-1 | 288,68 | 237,08 | 3,14 | 3,72 | 78 |
| E-141-1-2 | 269,05 | 244,23 | 0,63 | 0,86 | |
| E-141-2-1 | 274,77 | 238,91 | 1,14 | 0,86 | 77 |
| E-141-2-2 | 265,71 | 240,65 | 0,7 | 0,86 | |
| E-141-3-1 | 267,08 | 251,28 | 0,41 | 1,58 | 94 |
| E-141-3-2 | 278,49 | 256,08 | 0,49 | 1,15 | |
| E-141-4-1 | 262,36 | 236,37 | 0,71 | 4,51 | 73 |
| E-141-4-2 | 258,14 | 231,18 | 0,78 | 5,07 | |
| E-141-5-1 | 273,67 | 247,2 | 0,6 | 2,15 | 79 |
| E-141-5-2 | 266,73 | 227,94 | 1,53 | 4,89 | |

Как видно из результатов, представленных в таблицах, взятых из официального отчёта, уровень механических свойств силумина невысокой прочности методом СВМ-обработки доведён до уровня конструкционной стали.

Мы предлагаем ряд гипотез, объясняющих действие нашего генератора на расплавы металлов.

Воздействие электромагнитного потенциала генератора может приводить квантовым образом к поляризации спинов атомов расплава, что сказывается на характере кристаллической решётки твёрдого металла. Изменения в кристаллической решётке могут быть связаны с рассеянием спин-поляризованных электронов в металле за счёт эффекта Аронова-Бома [4], который обусловлен потенциалом электромагнитного поля нашего генератора. При этом меняется плотность вероятности распределения электронов в металле и квантовым образом меняется характер обменных сил, что в конечном итоге приводит к изменению образования структур дальнего порядка – зародышей кристаллизации. На это можно сказать, что эффект Ааронова-Бома мал, но, с другой стороны – нам не известны работы по расчёту этого эффекта в металлах, а также, возможно, мы имеем дело с модификацией этого эффекта.

Особого обоснования требует объяснение дистанционного воздействия в металлургии. Виртуальный перенос «информационных свойств металла-модификатора» на расплав требует специального рассмотрения. Для простейших квантовых систем проявляют себя квантовая нелокальность и квантовая запутанность. Видимо, в экспериментах на расплавах металлов (сложных системах) проявляет себя многочастичная квантовая запутанность (МКЗ). При этом действие СВМ-генератора следует описывать в рамках квантовой механики с учётом нелокальности и МКЗ. Информационная передача свойств металла-модификатора квантовым образом передаётся на расплав металла с учётом квантовой нелокальности. Этот вопрос требует более глубокого рассмотрения.

В развивающей Ю.С. Владимировым бинарной геометрофизике среди первичных понятий в принципе нет места для полей – переносчиков взаимодействий [5, 6]. Это соответствует концепции дальнодействия, альтернативной теории поля. Ю.С. Владимиров развил и углубил теорию прямого межчастичного взаимодействия на основе реляционной концепции пространства-времени с использованием унарных и бинарных систем отношений [6]. В классической электродинамике электромагнитное поле сильно затухает в расплаве металла, а вот в бинарной геометрофизике Ю.С. Владимира с учётом прямого межчастичного взаимодействия, возможно, электромагнитное взаимодействие может существенно влиять на электроны в расплаве металла и значительно влиять на процесс кристаллизации расплава металла. Этот вопрос требует специального рассмотрения.

Далее отметим, что в работе [7] сформулированы уравнения электродинамики ориентируемой точки, основанной на принципе реальной относительности. В рамках предложенной в [7] теории предсказаны квазистатические свободные электромагнитные поля, имеющие неиндукционный характер и не возбуждающие никакой электродвижущей силы в плоскости, перпендикулярной направлению распространения. Такие квазистатические поля должны иметь высокую проникающую способность в проводящих средах, так как по своей структуре они не производят никакой работы над свободными зарядами и, следовательно, не рассеиваются в таких средах. Квазистатические поля могут оказывать влияние квантовым образом на эффект кристаллизации расплава металла. С этой стороны интересно исследовать СВМ-генераторы в отношении проявления таких полей.

Наконец, в работе [8] Л.Б. Болдырева показала, что, наделяя физический вакуум свойствами сверхтекучего ${}^3\text{He-B}$, можно описать ряд физических явлений. Если считать, что физический вакуум, как новый физический эфир, обладает свойствами сверхтекучего ${}^3\text{He-B}$, то естественно считать, что от СВМ-генераторов может генерироваться вихревой процесс в «сверхтекучем эфире». (Происходит распространение спиново-магнитных возмущений в эфире). Эти «вихри» могут влиять на электроны расплава металла, в результате чего меняются обменные силы и процесс образования зародышей кристаллизации.

Отметим, что все эти подходы объяснения действия СВМ-генераторов в металлургии требуют квалифицированных теоретических и экспериментальных исследований, для чего необходимо достаточное финансирование.

Литература

1. Акимов А.Е., Финогенов В.П. Экспериментальные проявления торсионных полей и торсионные технологии. – М.: НТЦ «Информтехника», 1996 г. – 68 с.
2. Шипов Г.И. Теория физического вакуума: Теория, эксперименты и технологии. 2-е изд. – М.: Наука, 1996 г. – 450 с.
3. Бояршинов А.Е., Клюев А.В., Кокарева Н.А., Курапов С.А., Панов В.Ф., Стрелков В.В. Структура и механические свойства металла после обработки расплава в нестационарном электромагнитном поле волнового излучателя. – Металловедение и термическая обработка металлов. №7 (649), 2009 г. – С. 3-9
4. Цвелик А.М. Квантовая теория поля в физике конденсированного состояния. Перевод с английского. – М.: ФИЗМАТЛИТ, 2002 г. – 320 с.
5. Владимиров Ю.С. Реляционная теория пространства-времени и взаимодействий. Часть 2. Теория физических взаимодействий. – М.: Изд. МГУ, 1998 г. – 448 с.
6. Владимиров Ю.С. Физика дальнодействия: Природа пространства-времени. – М.: Книжный дом «ЛИБРОКОМ», 2012 г. – 224 с.
7. Губарев Е.А. Электродинамика ориентируемой точки. – М.: Новый Центр, 2013 г. – 70 с.
8. Болдырева Л.Б. Что даёт физике наделение физического вакуума свойствами сверхтекучего $^3\text{He-B}$. – М.: Книжный дом «ЛИБРОКОМ», 2012 г. – 120 с.

THE USE OF GENERATORS SVM-FIELDS IN METALLURGY

Panov V.F., Kurapov S.A., Boyarshinov A.E.

Perm state national research University,
JSC "Steel-59"

panov@psu.ru, svm-perm@mail.ru

The paper presents the newest results of the impact of SVM-generators ("torsion and spinor fields") to melt metals. Attempt of theoretical justification of the use of SVM-generators in metallurgy on the basis of quantum theory, binary geometrophysics Yu. S. Vladimirov, theory E. A. Gubarev, the work of L. B. Boldyreva in which the physical vacuum endowed with the properties of superfluid $^3\text{He-B}$.

ИССЛЕДОВАНИЕ ВЛИЯНИЯ СПИНОРНОГО ПОЛЯ НА ПЛЕСНЕВЫЕ ГРИБЫ В ПИТАТЕЛЬНОЙ СРЕДЕ

А.В. Клюев, А.Е. Бояршинов, С.А. Курапов, В.Ф. Панов

Пермский государственный национальный исследовательский университет,
ООО «Сталь-59»

svm-perm@mail.ru

Исследовательской группой проф. Панова В.Ф. на базе Пермского государственного научно-исследовательского университета, в микробиологической лаборатории «Бактерицид» Естественно-научного института, в 2014 – 2015 годах было проведено исследование влияния спинорного поля электромагнитного излучателя резонансных частот (плоская катушка Тесла) в диапазоне до 2 кГц и спинорного поля поляризованного объекта на плесневые грибы в питательной среде.

Исследование проводилось в два этапа. На первом этапе в качестве питательной среды была использована промышленная пшеничная мука 2 сорта, заражённая спорами плесневых грибов рода *Aspergillus flavus*. На втором этапе использовалась питательная среда Чапека, в которую помещались споры грибов.

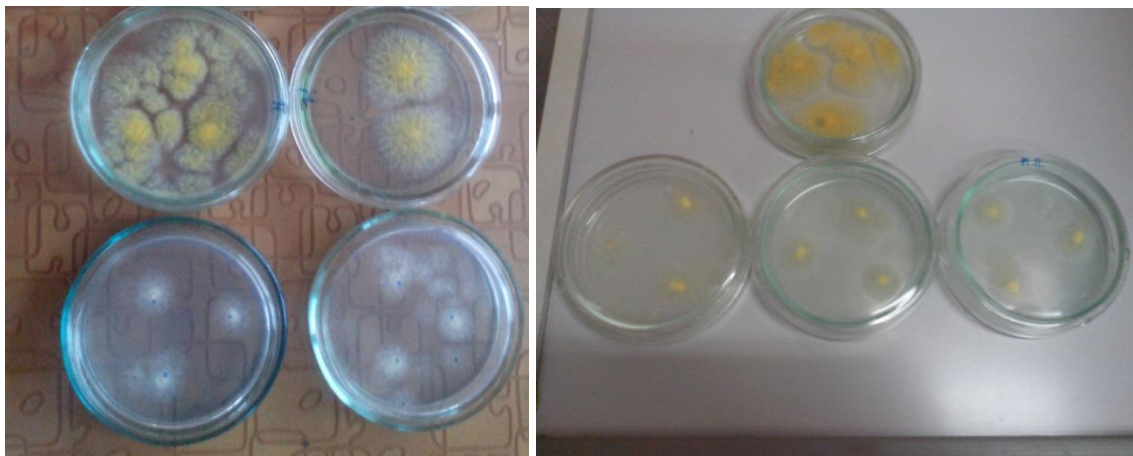
Воздействие на плесневые грибы на опытных образцах осуществлялось двумя типами устройств:

а) электромагнитное резонансное устройство (ЭМРУ) в качестве источника спинорного поля, включавшее в себя малогабаритный антенный излучатель в виде плоской катушки Тесла и генератор сигналов электромагнитный типа ГСС-40; значения резонансных частот 1823 Гц и 247 Гц были взяты из справочника: <http://squarewaveresearch.com.pa/frequencylists.html>.

б) спинорно-поляризованный объект (СПО), выполненный в виде автономного блока с размерами до 100 мм. СПО представлял собой композицию из природных материалов, залитых в эпоксидную смолу, подвергнутую во время изготовления поляризационной обработке в спинорном поле. Таким образом, СПО можно рассматривать как вторичный носитель спинорного поля, работающий за счёт своей внутренней энергии.

В результате экспериментов на пшеничной муке было установлено, что на опытных образцах, при 5-дневной экспозиции, рост грибов рода *Aspergillus flavus* был замедлен: количество плесневых грибов в опыте с ЭМРУ оказалось на 32% меньше, чем в контрольных образцах, а в опытах с СПО соответственно на 30%.

В экспериментах на питательной среде при 5-дневной экспозиции эффект снижения на 50 – 80% скорости роста плесневых грибов рода *Aspergillus flavus* наблюдался как под действием спинорного поля ЭМРУ, так и под действием поля СПО, который был изготовлен в спинорном поле ЭМРУ с выше указанными частотами, что позволяет говорить о сходной природе и резонансном механизме воздействия.



На снимках: замедление роста колонии плесневых грибов рода *Aspergillus flavus* под действием СПО (справа) и СПО +ЭМРУ (слева) при 5-дневной экспозиции. Верхние чашки – контрольные, нижние – опытные.

Полученные результаты представляют интерес для дальнейших разработок безопасных технических средств в целях безопасности пищевой продукции.

STUDY OF THE INFLUENCE OF THE SPINOR FIELD ON FUNGI IN A NUTRIENT MEDIUM.

Klyuev A.V., Boyarshinov A.E., Kurapov S.A., Panov V.F.

Perm state national research University,
JSK "Steel-59"

svm-perm@mail.ru

The research group of Professor V.F. Panov at the Perm state research University, in the Microbiology laboratory "Bactericide" Natural-scientific Institute in 2014-2015 a study was conducted of the influence of the spinor field of an electromagnetic radiator resonant frequencies (flat coil Tesla) in the range up to 2 kHz and the spinor field of a polarized object on fungi in the nutrient medium.

ВЗАИМОДЕЙСТВИЕ ВИХРЕВОГО ТЕЧЕНИЯ И ОСЕВОГО ПОТОКА В ГИДРОМАШИНАХ

А.А. Анкудинов, В.Д. Шкилев

vladimir-shkilev@mail.ru

Калужский филиал МГТУ им. Н.Э. Баумана

В статье рассматриваются рабочий процесс в насосах вихревого типа. Приводятся экспериментальные характеристики, подтверждающие преимущества вихревого течения, в частности увеличения напора и устойчивости работы на всех режимах.

Причиной возникновения вихревых течений в гидравлических машинах различные исследователи объясняют действием сил Кориолиса, неустойчивостью течения в каналах при наличии местных сопротивлений и неподвижных решеток, асимметрией граничных условий, возникновение вращения жидкости при истечении через отверстия и др. Вихревые структуры гигантских размеров наблюдаются при образовании смерчей и торнадо в атмосфере. Спиральные, вихревые структуры можно наблюдать и в космосе. Вихревое течение является основой работы фантастического двигателя Виктора Шаубергера. Вращающиеся рабочие органы, присутствие вращающихся магнитных полей, предполагает участие в процессе торсионных полей [1]. Вся Вселенная, любой материальный объект, включая гидромашину, является настолько сложным объектом, с точки зрения макро и микропроцессов, что современная физика не готова описать его во всем многообразии их проявлений. Некоторые исследователи помимо термина «торсионные поля» применяют другое название – «информационные поля». На наш взгляд с этим можно согласиться, так как с философских позиций это как раз наличие тех «противоположностей», которые могут дополнять друг друга. Помимо информационного подхода поможет и семантический подход, который сосредоточен на исследовании структуры [2]. Что касается течения жидкости в гидравлических машинах, оно взаимодействует с лопастями вращающегося ротора, каналами направляющих аппаратов, неподвижными решетками, патрубками и трубопроводами входа и выхода. Поэтому многое в работе гидромашин невозможно объяснить только с позиций классической гидродинамики.

В последние годы дано новое понимание происхождения и развития Вселенной [3]. Математическим обоснованием возникновения торсионных полей является использование кода Пифагора и лепестковой системы координат. Это позволяет создать геометрическую матрицу плотности из бесконечно большого набора неповторяющихся спиральных структур, которые получаются путем расщепления любого числа на зеркальные право и лево вращательные геометрические фигуры [4]. Такой подход позволяет подойти к пониманию сложного вихревого течения в гидромашинах и в будущем даст возможность их разработки с учетом указанных позиций.

Рассмотрим некоторые механизмы, в которых используется вихревое течение жидкости и газа. На рис. 1 показана схема течения жидкости в вихревом насосе и компрессоре. Передача энергии здесь происходит по всей длине бокового канала в результате взаимодействия двух потоков: а) вследствие действия центробежных сил; б) вследствие перепада давлений на лопатках рабочего колеса. В результате жидкость приобретает вихревое течение, направленное по окружности вдоль оси бокового канала. Как отмечено в работе [5] возникшее течение между рабочим колесом и боковым каналом передает энергию жидкости, что обусловлено обменом импульсов за счет взаимодействия вихрей. Такие насосы имеют достаточно высокий КПД, достигающий 50%, высокий коэффициент напора, стабильную энергетическую характеристику во всем диапазоне подачи. Эти качества способствовали широкому внедрению насосов и компрессоров такого типа в промышленности.

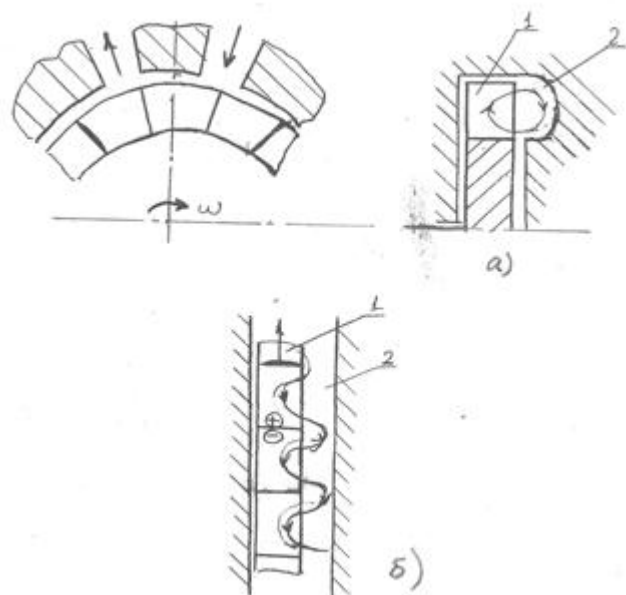


Рис. 1. Схема течения жидкости в вихревом насосе. 1 – рабочее колесо, 2 – боковой канал
Первый рисунок на Рис. 1 – общий вид; а) - разрез общего вида; б) – его развертка.

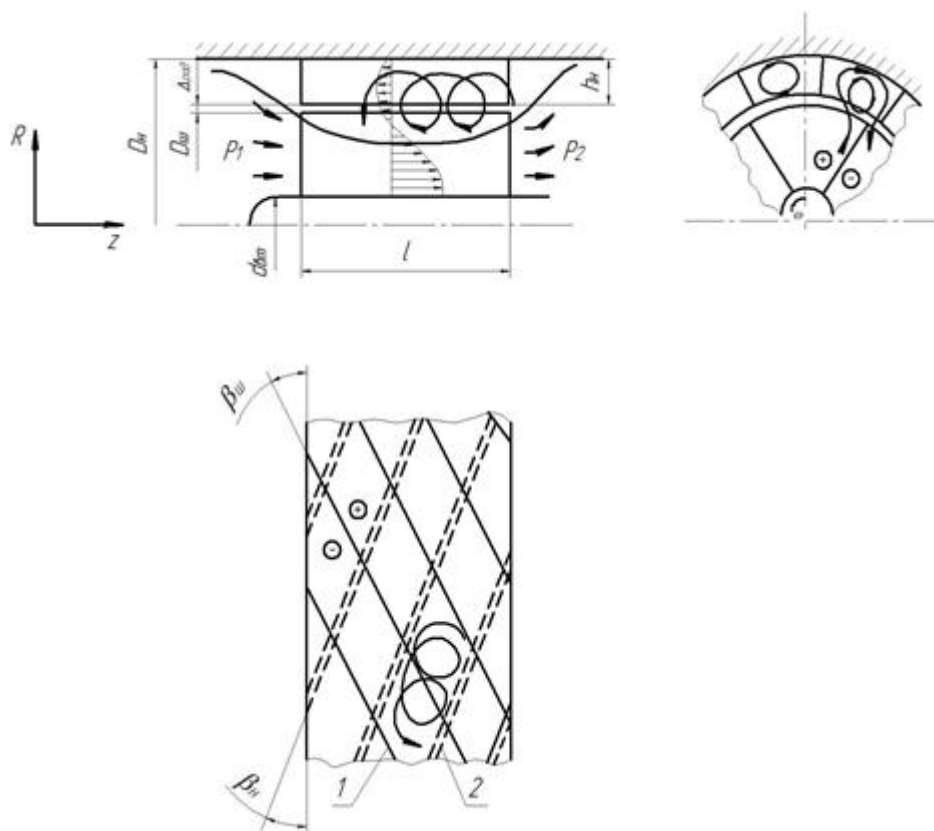


Рис. 2. Схема течения жидкости в каналах осевихревого насоса. 1 – лопастное осевое колесо, 2 – лопасти неподвижной винтовой решетки. Неподвижные лопасти условно показаны штриховыми линиями; подвижные лопасти показаны сплошными линиями.

На рис. 2 представлена схема течения жидкости в каналах осевихревого насоса.

Осевихревой насос (ОНВ) состоит из осевого колеса и надроторной винтовой решетки с каналами противоположного хода. ОНВ имеет высокие значения напора и лучшие кавитационные качества, чем у шнека, широко применяемого в качестве предвключенной ступени центробежных насосов. При работе насоса полностью отсутствовали низкочастотные пульсации на всех режимах по подаче и кавитационному запасу, работа устойчива, включая срывной кавитационный режим. Исследованы десятки вариантов ОНВ с различной геометрией, подтвердившие разработанную физическую модель и методику расчета. Течение в каналах ОНВ условно состоит из двух потоков: основного осевого и вторичного вихревого потоков. Взаимодействуя эти потоки, увеличивают напор (давление по ходу основного потока) без существенного снижения КПД.

На рис. 3 представлены энергетические характеристики насоса с различной неподвижной винтовой решеткой, отличающейся высотой лопастей.

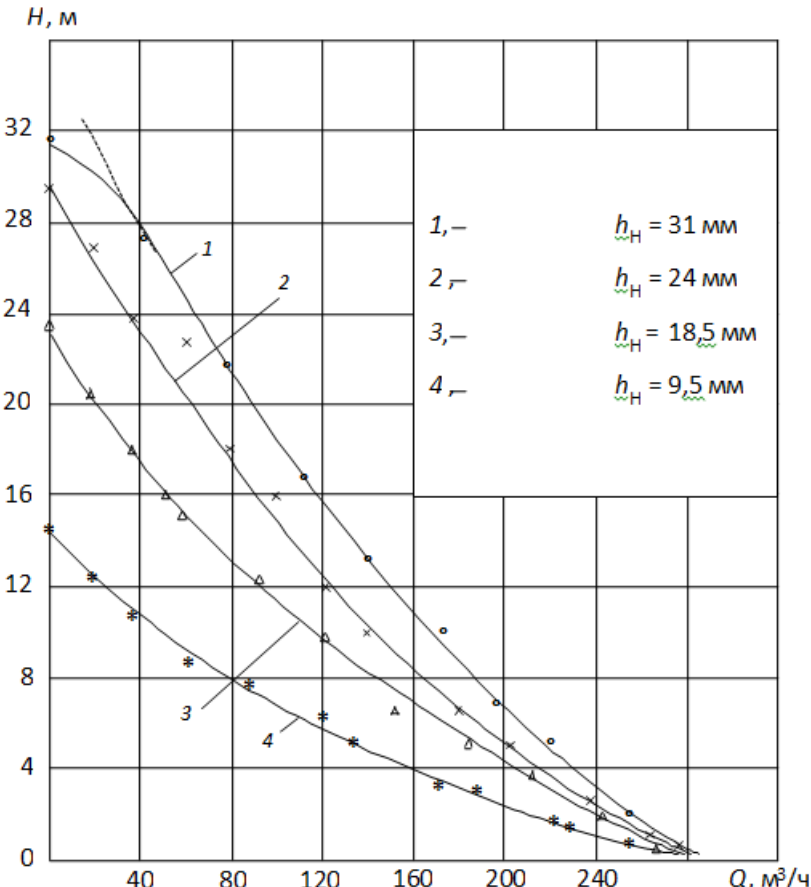


Рис. 3. Зависимости напора ОНВ от подачи с различными неподвижными решетками лопастей, отличающихся высотой.

Коэффициент полезного действия ОНВ на оптимальном режиме по подаче имеет такие же значения, как и у обычных шнеков и достигает максимального значения 55–60% .

Наличие в осевихревом насосе неподвижной винтовой решетки вызывающей интенсивное вихревое течение решающим образом влияет и на развитие кавитации. Благодаря вихревому течению в каналах неподвижной решетки происходит дробление кавитационных каверн, формирование вихревых структур, распространяющихся в винтовые каналы и «затягивание» срыва работы. Поэтому повышается устойчивость работы насоса и снижается вероятность кавитационных автоколебаний имеющих место при работе шнекоцентробежных насосов [6-7].

Другим механизмом, использующим вихревое течение жидкости или газа является гидромашина, представляющая собой ротор в виде цилиндрического или конического барабана с выполненными на нем глухими сферическими отверстиями [8].

На рис. 4 представлена схема насоса с цилиндрическим ротором и неподвижной винтовой решеткой на периферии.

При вращении ротора под действием центробежных сил и воздействия винтовой решетки на поток в глухих отверстиях ротора возникают вихри, показанные на рис. 4 стрелками. Вихри распространяются в каналы решетки и перемещают находящуюся там жидкость от входа к выходу. Основной поток перемещается по неподвижным каналам, в отличие от осевоихревого насоса, у которого поток движется и по каналам шнека. Упрощенно схему работы такого насоса можно представить как работу объемного насоса, где роль пластин выполняют вихри, возникающие в глухих отверстиях, а роль сборного отводящего канала выполняют неподвижные решетки лопастей. Вместе с тем, рабочий процесс такого насоса близок к вихревым насосам, где роль бокового канала выполняет винтовая решетка.

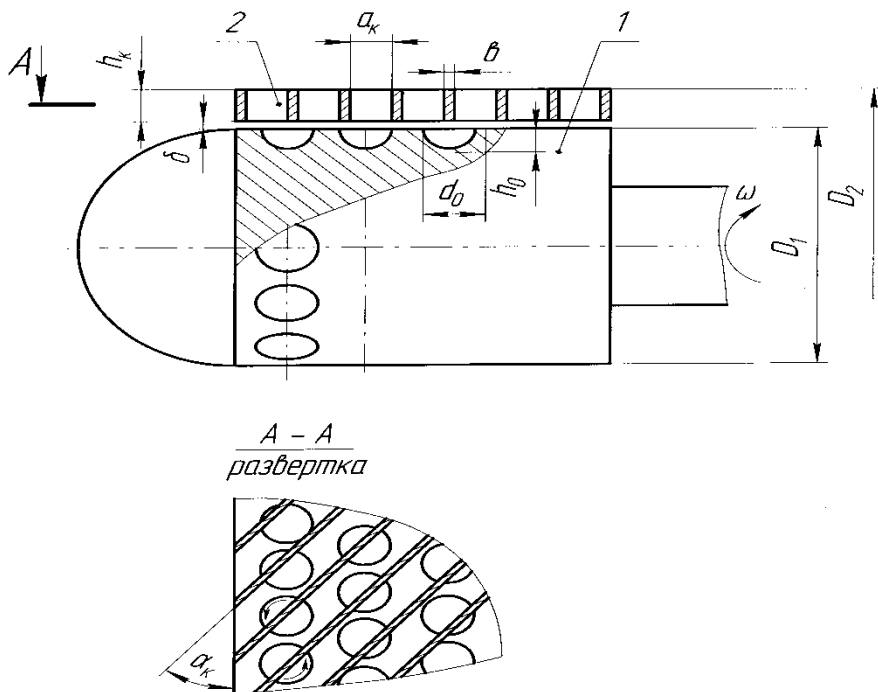


Рис. 4. Схема вихревой гидромашины с цилиндрическим ротором.

При вращении ротора в глухих отверстиях под воздействием лопастей неподвижной решетки возникают вихри, распространяющиеся в ее каналы. Поскольку вихри являются устойчивыми структурами они перемещают находящуюся жидкость от входа к выходу.

Влияние геометрических параметров на энергетические характеристики определялось экспериментальным путем.

Исследовались проточные части с различными наружными диаметрами барабанов и различным числом глухих отверстий. На наружных поверхностях барабанов выполнялись отверстия различного диаметра, формы, глубины. Винтовые решетки имели различный шаг одного витка. рабочей жидкости – воде с температурой в диапазоне $t = 20\ldots80^{\circ}\text{C}$. Частота вращения барабана $n = 800\ldots2000\text{об/мин}$. Диапазон расходов при определении характеристик составлял $Q = 0\ldots300\text{м}^3/\text{ч}$.

На рис. 5 приведены относительные напорные характеристики вихревой машины $H = f(Q)$ отличающейся только отношением глубины глухого отверстия к его диаметру h_0/d_0 . На этом же рисунке приводится напорная характеристика машины с барабаном, не имеющим отверстий на наружной поверхности. Из приведенных характеристик следует, что выполнение на барабане глухих отверстий приводит к значительному увеличению напора.

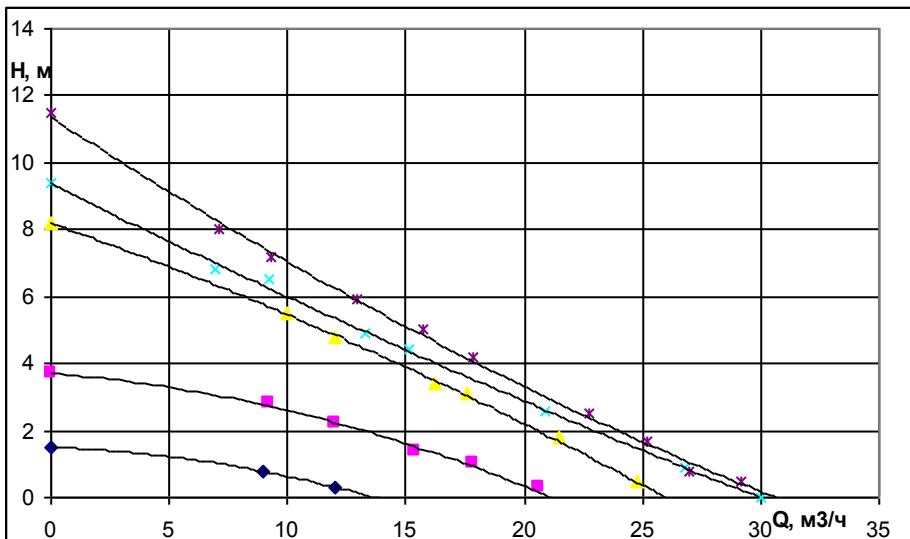


Рис. 5. Характеристики вихревой гидромашины с цилиндрическим ротором.

На рис. 5 изображены зависимости напора от подачи при различном выполнении отверстий на роторе. На верхней кривой (рис. 5) использованы максимальные диаметры отверстий, равные ширине канала.

Рассматривая работу гидромашин с вихревым течением жидкости, достаточно определенно можно сделать вывод, что наличие этого течения дает качественно новый результат. Нужен новый подход к теории рабочего процесса вихревых гидромашин с учетом торсионных полей.

Литература

- Шипов Г.И. «Торсионные поля в классической механике» Форум F.A.Q. «Альтернативные источники энергии будущего».
- Акимов А.Е. «Облик физики и технологий в начале XXI века», Москва 1999, 78с.
- Шкилев В.Д., Адамчук А.Н., Шкилев Д.В. «О существовании многоуровневой единой торсионной программы развития с позиций информационной панспермии» Материалы IV международной научно – практической конференции «Торсионные поля и информационные взаимодействия» Москва, Москва – 2014.
- Шкилев В.Д. «О коде Пифагора при расщеплении первых чисел натурального ряда на право – и лево вращательные геометрические фигуры как базисный информационный подход к пониманию торсионных полей» Материалы IV международной научно – практической конференции «Торсионные поля и информационные взаимодействия» Москва, Москва – 2014.
- К. Пфлейдерер. «Лопаточные машины для жидкостей и газов». 4-е переработанное издание. Москва 1960, 683с.
- Анкудинов А.А., Куфтов А.Ф. «Энергетические характеристики осевых вихревого насоса». Известия ВУЗов, Машиностроение, 2, 1989г с. 52 – 56.
- Зотов Б.Н., Анкудинов А.А. Осевые вихревой насос. Патент РФ 2014509.
- Анкудинов А.А., Лысенко Л.В. Разработка и исследование вихревой гидромашины В сб.: Международная конференция «Гидромеханика, гидромашины, гидроприводы и гидропневмоавтоматика» - М.: Изд-во МГТУ им. Н.Э. Баумана, 1994, стр.39.

THE INTERACTION OF A VORTEX FLOW AND AXIAL FLOW HYDRAULIC MACHINES

Ankudinov A.A., Shkilev V.D.

Bauman Moscow State Technical University, Kaluga

The article discusses the workflow in the vortex pumps. Experimental characteristics confirm the advantages of a vortex flow, in particular the increase of pressure and stability for all modes.

О ВЛИЯНИИ ВИХРЕВЫХ ТОРСИОННЫХ ВОЗДЕЙСТВИЙ (ПОЛЯ МЫСЛИ) НА СВОЙСТВА СПЛАВОВ СИЛУМИНОВ

Шкилев В.Д., Беккель Л.С., Хайченко В.Е., Филиппова И.А., Головачева Ю.Г.

vladimir-shkilev@mail.ru

Впервые экспериментально доказано, что влияние поля мысли способно уменьшать размеры зернистости в сплавах силуминов. Показано, что результаты воздействия практически не зависят от толщины обрабатываемого образца.

«Во Вселенной нет ничего кроме вихрей эфира»
Рене Декарт

Введение

Понимание того, что Сознание, точнее мыслеобраз подготовленного сознания человека способно повлиять на результаты в области квантовой физики, давно осмыслено на философском уровне основателями квантовой механики.

Превратить «влияние» Сознания в конкретные технологии задача не менее значимая, и не менее трудоемкая.

Исторически сложилось так, что первые технологии по влиянию торсионных полей (поля мысли) были заложены преимущественно в области изменения программ в растительном мире [1].

В области материаловедения, изучающей структуру и механические свойства металла, можно отметить работы Пермского государственного национального исследовательского университета, которые используют активные торсионные генераторы на основе СВМ-поля [2].

В области материаловедения работы, посвященные влиянию «поля мысли» или пассивных торсионных излучателей, на свойства металла нам не известны.

Выбранный эпиграф, высказанный древним мыслителем, оставившим значительный след в истории развития европейской математики, подтверждает вековую традиционность направления теоретической физики в теории торсионных полей (полей кручения) и одновременно является прямым свидетельством тех противоречий, которые вытекают из неполноты наших современных знаний о Природе.

Сегодня принято чаще говорить о таких понятиях, как торсионные поля, реже говорится о том, что торсионные поля имеют вихревую структуру. В рамках общепринятых взаимодействий (электромагнитных, гравитационных, слабых и сильных) создать теорию Единого Поля и дать исчерпывающие объяснения в современных экспериментальных работах, по-прежнему не удается добиться полной Гармонии [3]. Поиск новых типов всепроникающих дальнодействий на всех уровнях, несмотря на сопротивление традиционных представителей классической физики, активно продолжается. Физическое понимание природы торсионных полей было заложено в работах Эли Картана [4], который связал их с плотностью углового момента вращения, и в работах академика РАН Шипова Г.И. [5].

Изменение спиновой структуры материи может быть реализовано как за счет активных торсионных генераторов (энергетического взаимодействие), так и за счет пассивных торсионных генераторов (информационного воздействия). В настоящее время основные результаты по влиянию торсионных полей на структуру металлических сплавов получены с помощью активных торсионных генераторов [2, 6, 7], в которых использовались, в частности, врачающиеся постоянные магниты и генераторы СВМ-поля. Такие результаты получались при тщательном метрологическом контроле, исключающем возникновение

электромагнитных излучений (в пределах чувствительности метрологических приборов (в диапазоне до 40 ГГц).

Результаты, полученные с помощью «поля мысли», согласованы с [8].

Использование пассивных торсионных генераторов основано на информационном воздействии и не требует жесткого метрологического контроля для исключения всех других физических полей, помимо торсионных. Все виды побочных эффектов, в том числе влияние магнитных, электрических, звуковых, ультразвуковых полей, полностью исключены изначально. Основным результатом по влиянию активных торсионных генераторов на сплавы можно признать существенное измельчение размеров зерен.

Экспериментальные результаты

В части технологии «поля мысли» использовался человек, обладающий экстрасенсорными способностями, проверенными на других применениях. Можно ли человека отнести к использованию строго пассивного генератора? Это подлежит дальнейшему философскому осмыслению. Экстрасенс при этом старался во время облучения расплава мысленно держать в памяти форму спирали.

Диск из сплава алюминия после обработки сравнивался с диском того же размера и из того же материала при прочих равных условиях (температуре расплава в печи, температуре воздуха при охлаждении и т.д.) без использования торсионного излучателя (экстрасенс удалялся из комнаты и ему не сообщалось время разлива сплава алюминия).

Во избежание всех домыслов исследования проводились, помимо лаборатории КФ МГТУ им. Н.Э. Баумана, в лаборатории металловедения и термообработки ЦЗЛ Калужского турбинного завода, сотрудники которой не были посвящены в условиях эксперимента. Микроанализ подтвердил существенное различие структуры после торсионного воздействия.

Для доказательства идентичности образцов они подвергались спектральным исследованиям, подтвердившим неизменность их химического состава.

На рис. 1 приведено два диска без обработки и с обработкой экстрасенсом. Даже визуально видно, что на диске с обработкой зерна, размеры кристаллов меньше. На фотографиях, снятых с большим разрешением, выделены наиболее типичные участки, подтверждающие измельчение зерен после торсионной обработки.



a)



б)

Рис. 1. Макроанализ поверхности дисков: а) без обработки, б) после обработки.

Полученные диски после макроанализа сравнивались с ([9] с.317, рис. 23), а после совпадения с атласом [9] разрезались на отдельные участки с последующей полировкой и травлением поверхностей и с изучением микроструктуры поверхности. Часть образцов полировалась и проправливалась со стороны излучателя, часть с противоположной стороны, а другая часть позволяла исследовать влияние торсионного воздействия по всей толщине диска.

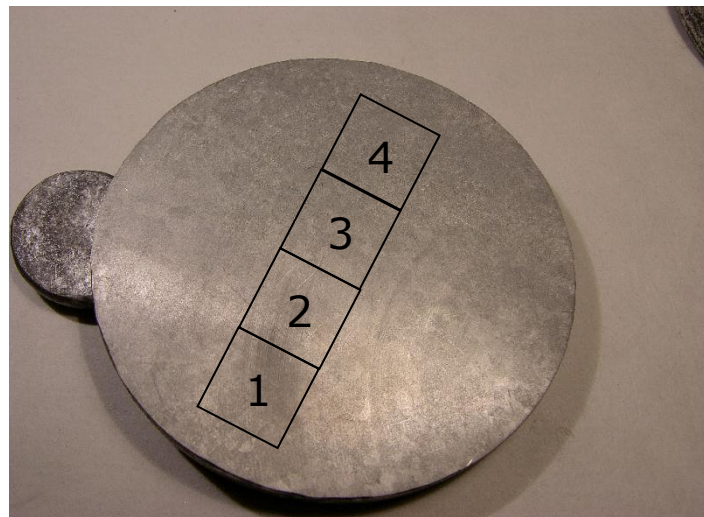


Рис. 2. Схема разрезки каждого из дисков на 4 отдельных участка.

Участки 1-2 исследовались в КФ МГТУ им. Н.Э. Баумана, участки 3-4 на Калужском турбинном заводе.

В первую очередь нас интересовали те поверхности на участках, которые отвечали за глубину торсионной обработки.

На участках 3-4 (рис. 3, рис. 4) приведены случайно выбранные линии, позволяющие рассчитывать размер зерна.

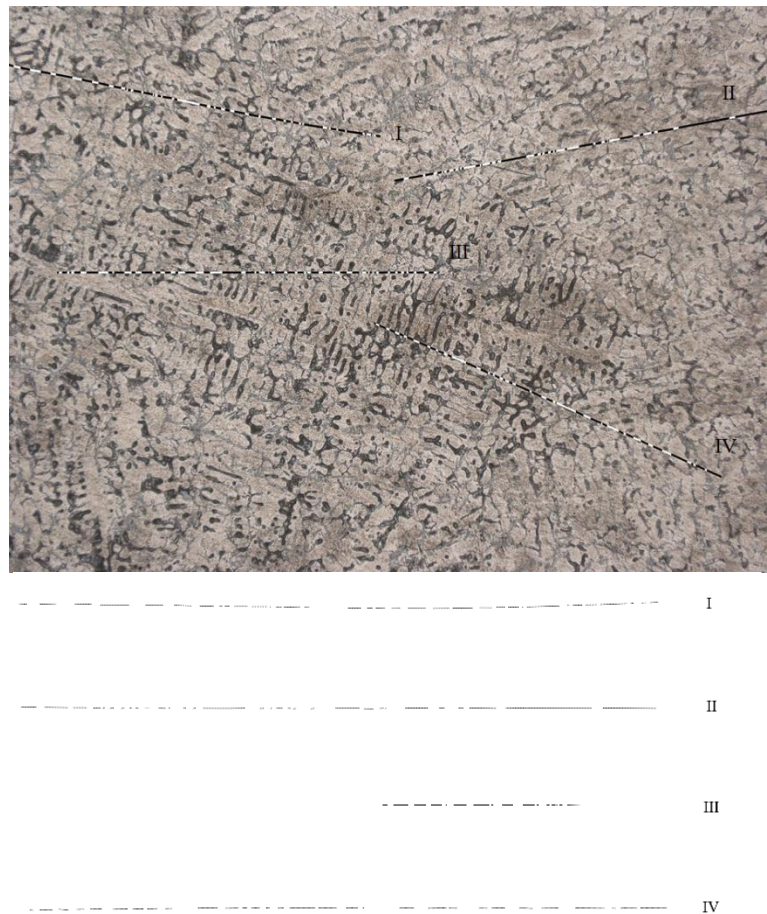


Рис. 3. Микроанализ участков 3-4, отвечающих за глубину торсионной обработки (до обработки).

Основные расчеты по исследованию размеров зерен проводились по известной методике [10-11].

Подсчет числа зерен на I линии дал 33 зерна, на II линии 30 зерен, на III линии 38 зерен, на IV линии 30 зерен. Среднее число зерен на всех четырех случайно проведенных линиях дает результат 34 зерна.

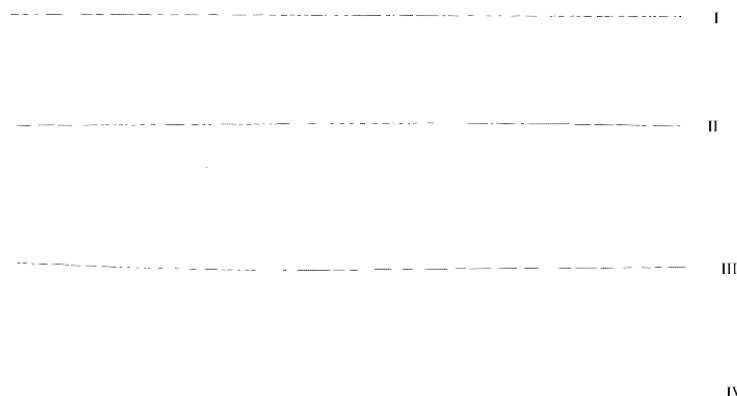
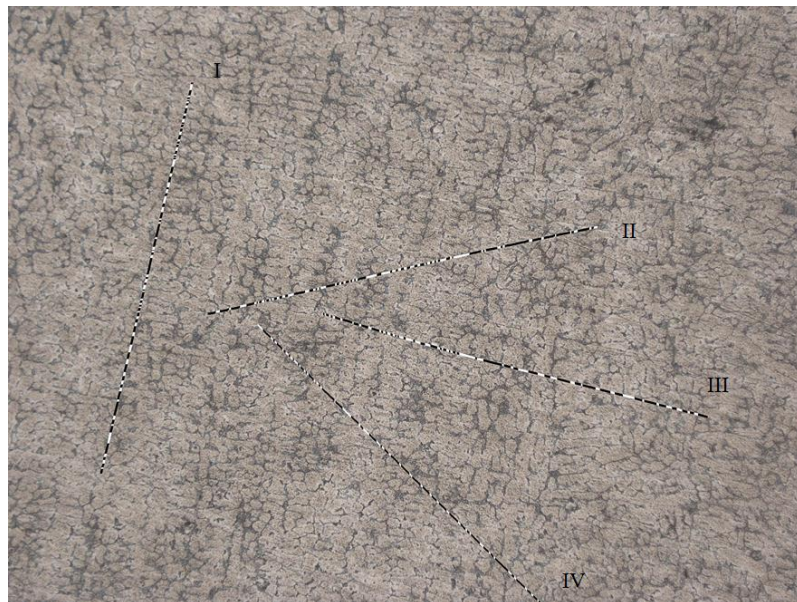


Рис. 4. Микроанализ участков 3-4, отвечающих за глубину торсионной обработки (после обработки).

Подсчет числа зерен на I линии дал 49 зерен, на II линии 47 зерен, на III линии 41 зерно, на IV линии 37 зерен. Среднее число зерен на всех четырех случайно проведенных линиях дает результат 44 зерна.

Средний размер зерен от обработки уменьшился на 27,6 процента.

Судя по неизменности структуры обработанного участка по толщине, можно сделать вывод, что торсионное взаимодействие не испытывает изменения воздействия при проникновении до 10 мм (толщина дисков).

Более углубленное изучение показало (рис. 5, рис. 6), что размеры первичных зерен - твердого раствора (светлые участки) становятся преобладающими.

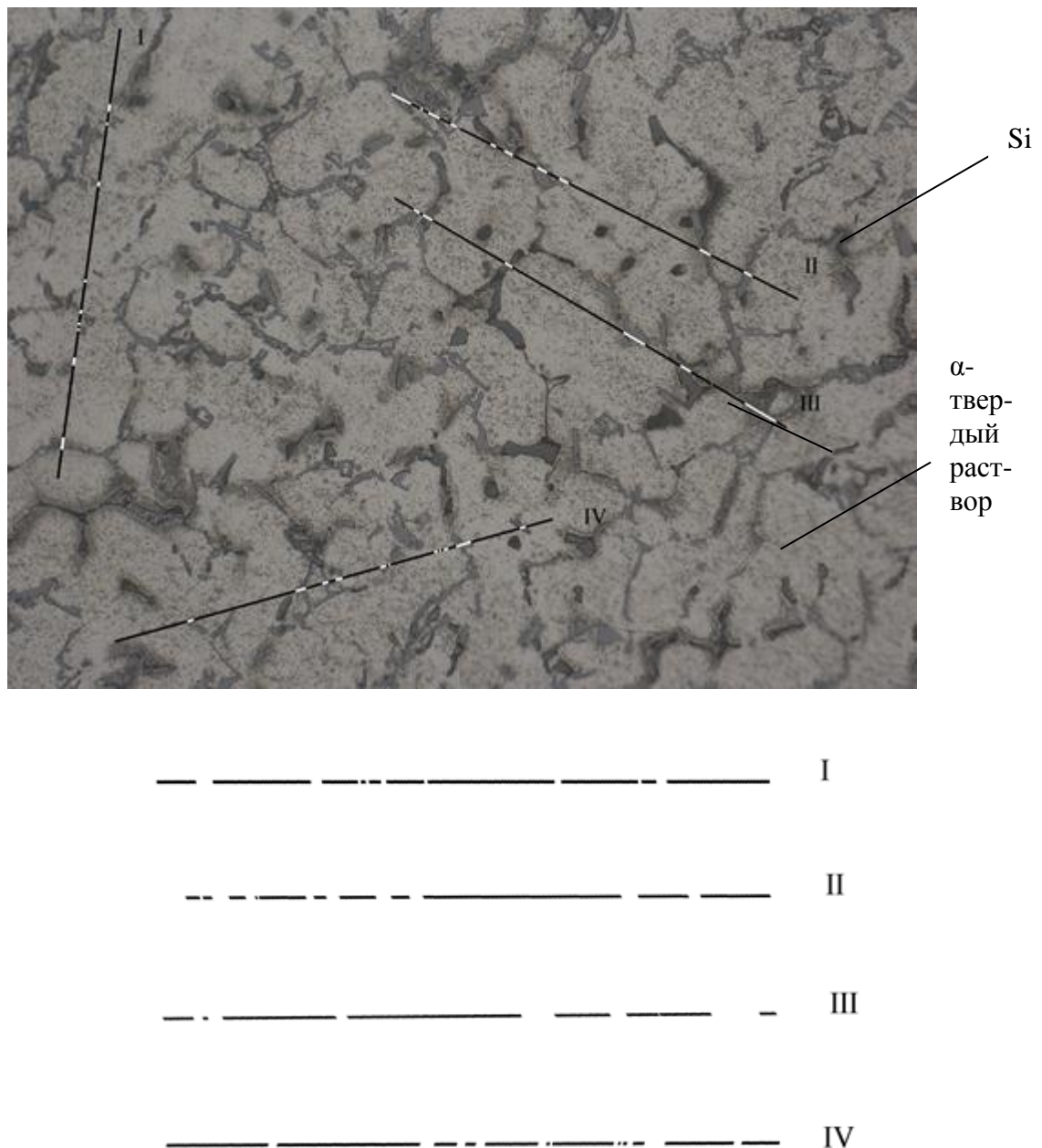


Рис 5. Микроанализ участка до обработки.

На линии I 10 зерен, на линии II 10 зерен, на линии III 7 зерен, на линии IV 12 зерен. Среднее число зерен на всех четырех случайно проведенных линиях дает результат 10 зерен.

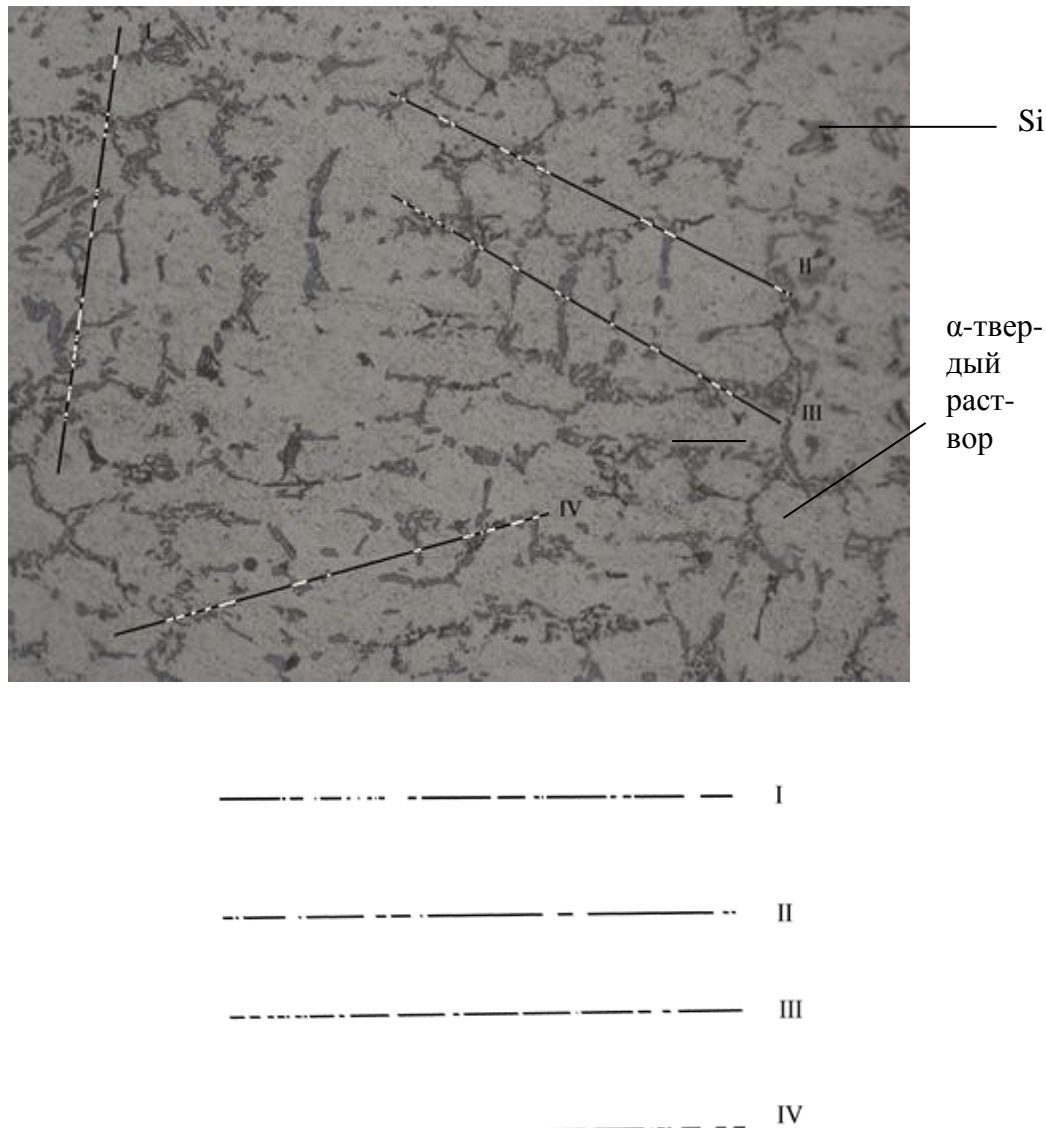


Рис. 6. Микроанализ участка после обработки.

На линии I 20 зерен, на линии II 13 зерен, на линии III 20 зерен, на линии IV 15 зерен. Среднее количество зерен после обработки 17. Уменьшение размера зерен в 1,7 раза.

Результаты, полученные при исследовании поверхностей, непосредственно расположенных под излучателем (рис. 7, рис. 8), показали, что при одинаковом увеличении размер зерен после торсионной обработки заметно меньше.

В сравнении с микроструктурой ([15] с.310, рис. 8), на фоне модифицированной эвтектики +Si видны первичные зерна α - твердого раствора (светлые участки) и выделения кремния (серые).

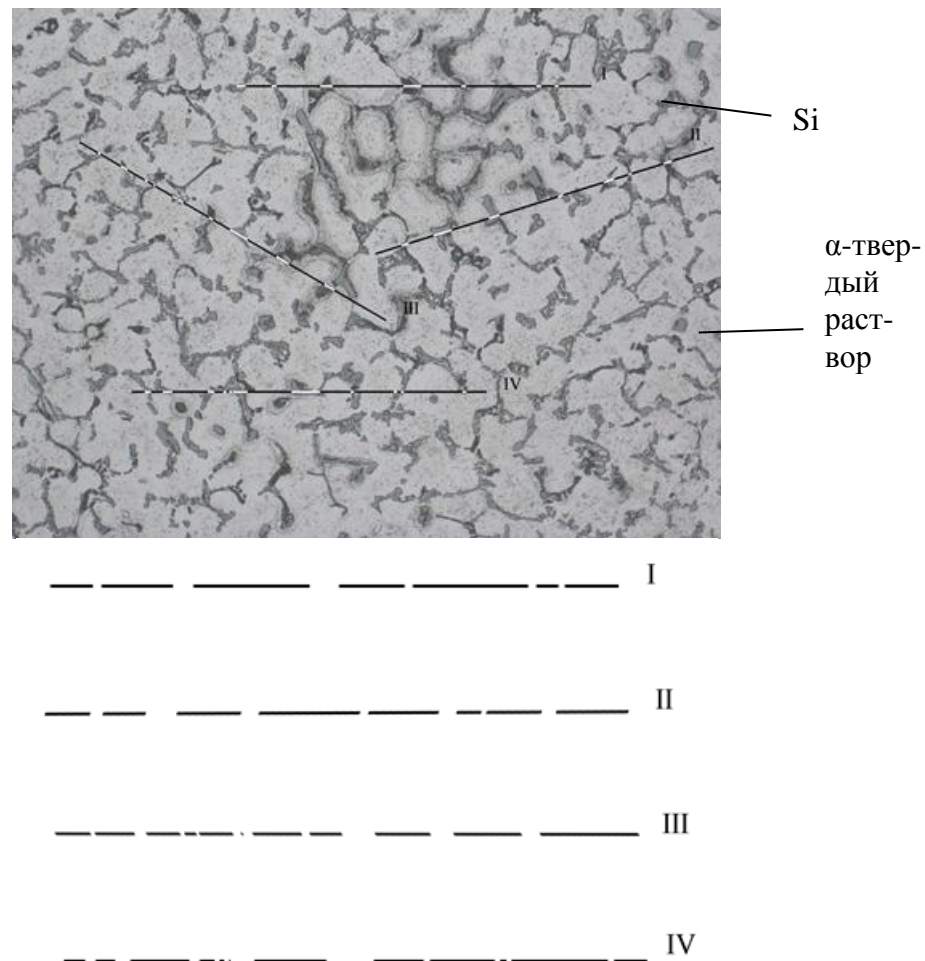


Рис. 7. Микроанализ участка до обработки.

На линии I 7, на линии II 8, на линии III 11, на линии IV 12 зерен. Среднее количество зерен до обработки 9,6.

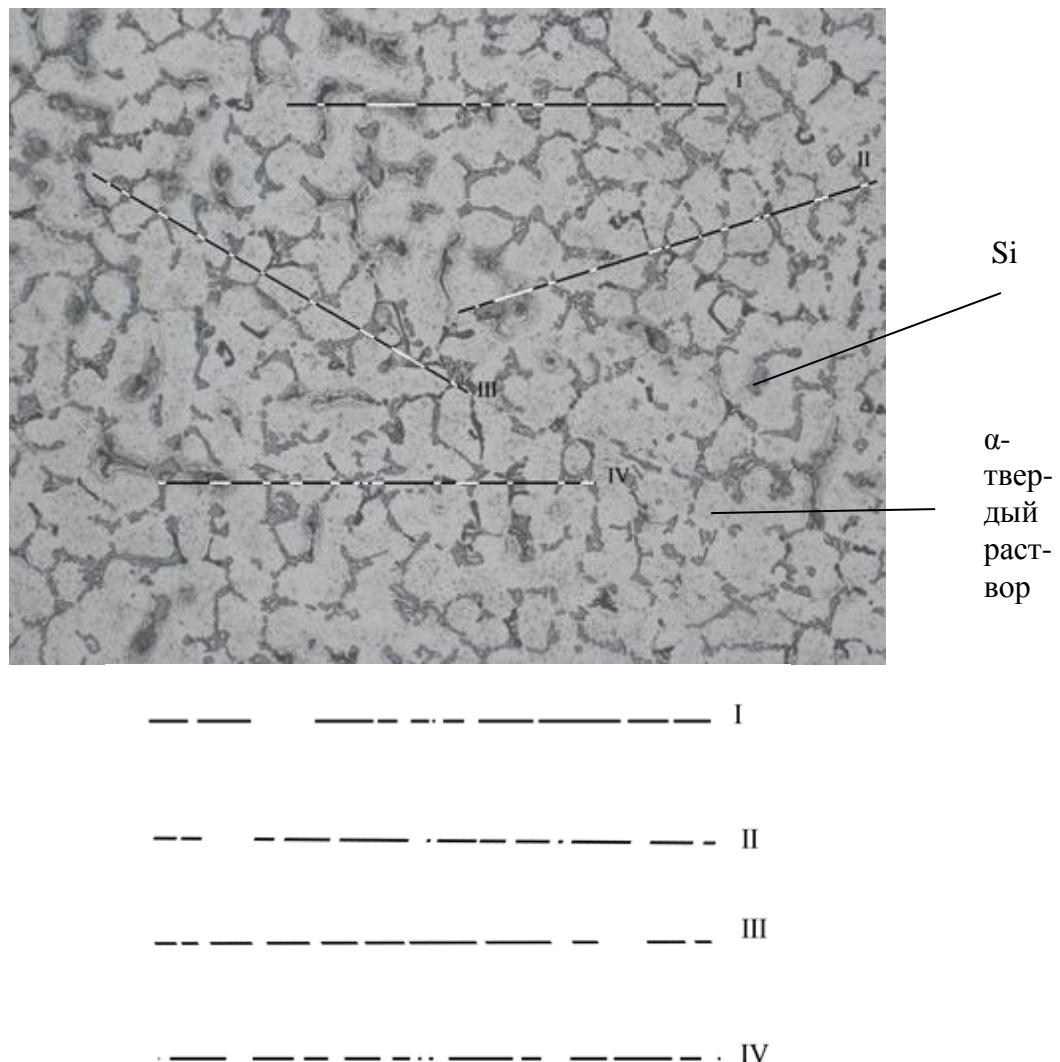


Рис. 8. Микроанализ участка после обработки.

На линии I 11 зерен, на линии II 13 зерен, на линии III 11 зерен, на линии IV 14 зерен.

Среднее количество зерен после обработки 12. Уменьшение размера зерен в 1,2 раза.

Возможно, что более мелкая зернистость поверхностей, соприкасающихся с воздухом, чем зернистость по толщине, объясняется разными скоростями охлаждения.

На рис. 9 и 10 приведены результаты исследования образцов 1-2 КФ МГТУ им. Н. Э. Баумана с увеличением, независимо подтверждающие такие же результаты.

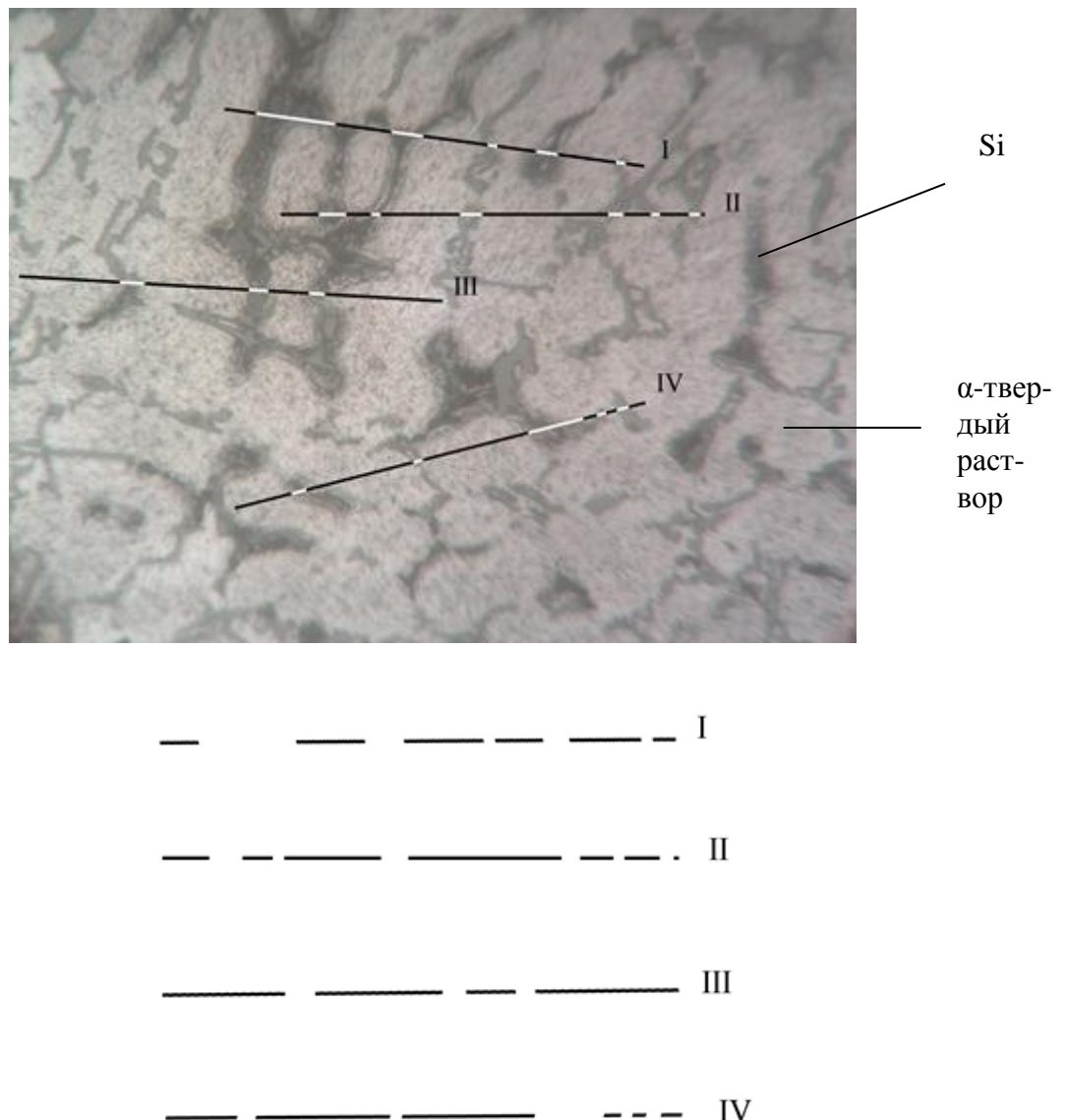


Рис. 9. Микроанализ участка до обработки.

На линии I 6 зерен, на линии II 7 зерен, на линии III 4 зерна, на линии IV 6 зерен. Среднее количество зерен до обработки 5,7.

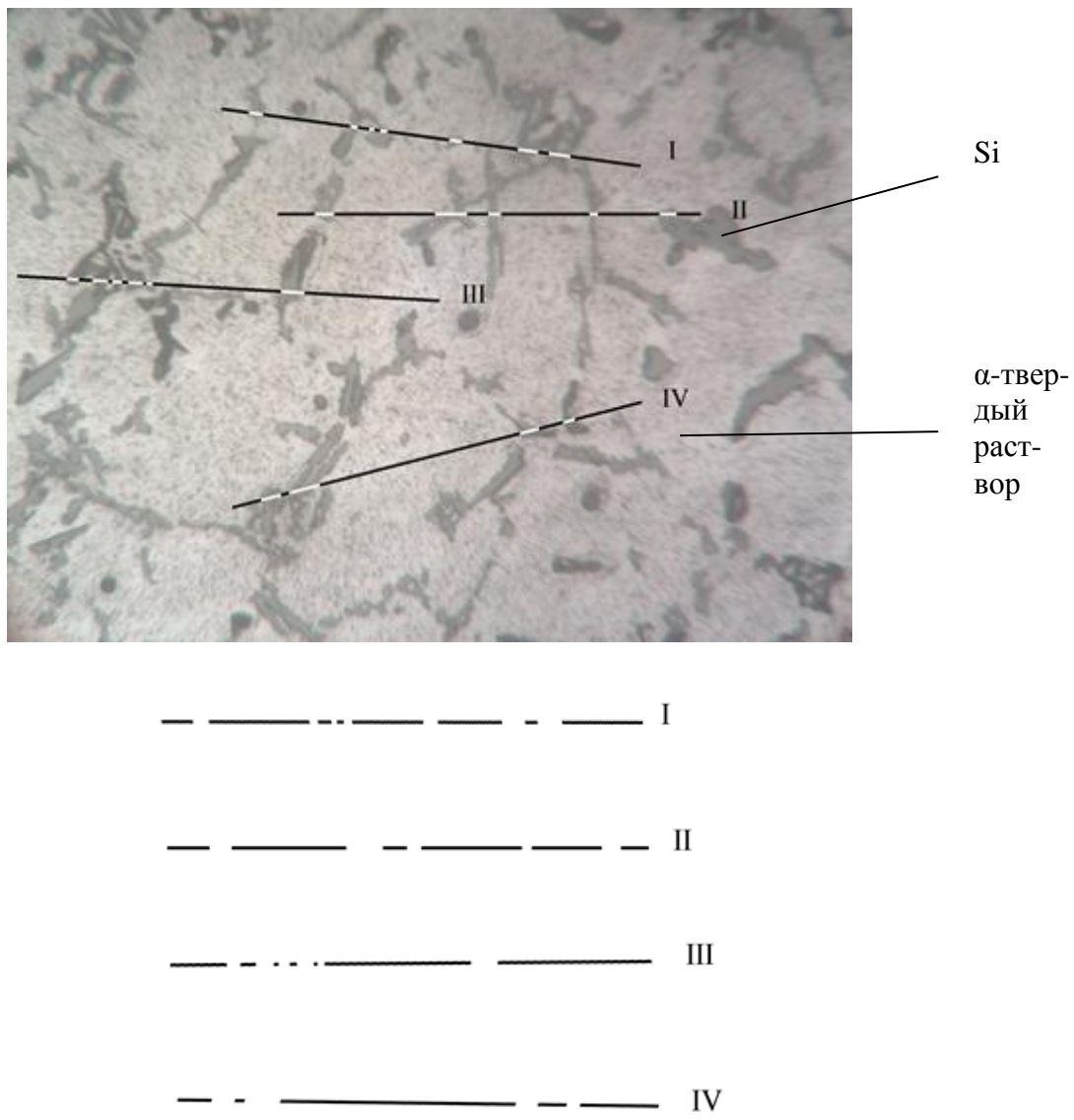


Рис 10. Микроанализ участка после обработки.

На линии I 8 зерен, на линии II 6 зерен, на линии III 7 зерен, на линии IV 5 зерен. Среднее количество зерен после обработки 6,5. Уменьшение размера зерен в 1,13 раза.

Возможно, что более мелкая зернистость поверхностей, соприкасающихся с воздухом, чем зернистость по толщине, объясняется разными скоростями охлаждения. Но во всех случаях, на всех плоскостях однозначно видно, что на обработанных участках размеры зерен значительно меньше, чем на необработанных торсионным полем.

Выводы

1. Действия пассивных вихревых (торсионных) воздействий на кристаллизацию алюминиевых сплавов сводится, в первую очередь, к измельчению зерен.
2. К параметрам, относящимся к воздействию торсионными полями, можно отнести структурные изменения, а, следовательно, и зависящие от этого механические свойства, размер и форма кристаллитов, коррозионная стойкость, пластичность, ударная вязкость и т.д.
3. Торсионные технологии в материаловедении являются технологиями, основанными на новых физических принципах, что открывает новые перспективы в создании изделий авиационной и космической техники.

Литература

1. Маслоброд С.Н., Карапил В.Г., Чалык С.Т., Кедис Л.И. Морфофизиологические генетические эффекты при воздействии поля мысли на растения // Электронная обработка материалов, №1, стр. 58-70, 2004.
2. Панов В.Ф., Курпатов С.А., Бояршинов А.Е. Применение генераторов СВМ-поля в металлургии // Материалы IV-й международной научно-практической конференции «Торсионные поля и информационные взаимодействия», стр. 183-184, 2014.
3. Акимов А.Е. Эвристическое обсуждение проблем поиска новых дальнодействий. EGS-концепции. МНТЦ, 1991, препринт N7A, с. 63.
4. Cartan E. CR Acad Sci., Paris, 1922, v. 174, p.593.
5. Шипов Г.И. Теория Физического Вакуума. Теория, эксперименты и технологии (2-е изд.) М.; Наука. 1977, с.450.
6. Абрамов А.А., Акимов А.Е., Булатов Э.И. Майборода В.П., Финогеев В.П. Чернов С.П. Доклад на Втором Международном Аэрокосмическом Конгрессе, Москва, 31 августа – 6 сентября 1997 года «Физические основы и экспериментальные результаты исследования торсионных технологий в производстве материалов»
7. Майборода В.П. Изменение структуры меди на стадии предплавления. Известия АН СССР, Металлы, №4.1990, с.49-52.
8. Сборник «Модифицирование силуминов», Киев, 1970, с.28-30
9. Мальцев М. В. «Металлография промышленных цветных металлов и сплавов», Атлас макро и микроструктур цветных металлов и сплавов» 2-е издание, издательство «металлургия», 1970, 364 с.
10. Панченко Е.В. и др. «Лаборатория металлографии», М.: Издательство «Металлургия», 1965, с. 284-290.
11. Богомолова Н.А. «Практическая металлография», М.: «Высшая школа», 1978, с. 166-168.

ON THE INFLUENCE OF THE FIELD ON THE MELTS OF SILUMIN

Shkilev V.D., Bekkel L.S., Haichenko V.E., Filippova I.A., Golovacheva Yu.G.

vladimir-shkilev@mail.ru

For the first time experimentally proved that the influence of the field of thought is able to reduce the grain size in the alloys of silumin. It is shown that the impact is practically not dependent on the thickness of the processed sample.

О ВОЗМОЖНОСТИ ИСПОЛЬЗОВАНИЯ НЕЭЛЕКТРОМАГНИТНОГО ИЗЛУЧЕНИЯ ДЛЯ ПЕРЕДАЧИ ЭЛЕКТРОМАГНИТНОГО СИГНАЛА (СВЯЗИ)

А.В. Каравайкин

Лаборатория неэлектромагнитной кибернетики «ВЕГА»

karavaykin@mail.ru

В докладе представлены результаты исследований возможности использования неэлектромагнитного излучения в качестве носителя электромагнитной информации.

Исследования неэлектромагнитных информационных процессов всё чаще приобретают прикладной характер, что открывает всё новые и новые возможности их практического использования в решении различных технических задач. Передача на расстояние неэлектромагнитного воздействия является одной из них, позволяющей значительно расширить сферу применения неэлектромагнитных информационных технологий. Наличие у электрического тока информационных свойств [1] является ключевым вопросом в её решении.

Учение об электричестве совершенно феноменологично, опирающееся на наблюдаемые эффекты, теоретическая трактовка которых ещё требует детального анализа, что совершенно не является запретом на инженерно-конструкторские работы в названной области. В свою очередь, возможность электрического тока передавать неэлектромагнитную информацию является собой продолжение подобного перечня эффектов, ожидающих теоретического осмысливания, но способных стать инструментом при исследовании проблемы передачи на расстоянии неэлектромагнитного сигнала (НС). Разработанное автором этих строк устройство «НГК-ВЕГА», принцип работы которого основан на факте наличия у электронов некоторой внутренней структуры с использование особой технологии её изменения. Подобное изменение внутренней структуры носителей заряда, в свою очередь, может характеризоваться как изменение энтропийно-информационных свойств. Перемещение же носителей заряда вдоль проводника позволяет изменять подобные энтропийно-информационные свойства удаленных материальных тел. Использование телекоммуникационных сетей для передачи информации неэлектромагнитного характера описано в [2]. Такие эксперименты интересны и разработанная на их базе технология, безусловно, найдёт сферу применения в различных областях техники, но не следует и забывать, что наряду с передачей информации неэлектромагнитного характера на расстоянии с использованием телекоммуникационных сетей существует и проблема аналогичного процесса через прямое излучение.

Данный вопрос подразумевает наличие, по крайней мере, двух технологий: излучение в пространство неэлектромагнитного сигнала и его регистрация. В качестве источника НС использовалось устройство «НГК-ВЕГА», для регистрации передаваемого сообщения использовалась хорошо отработанная в нашей лаборатории схема применения случайного процесса радиоактивного распада (РР), с использованием метода статистического анализа данных. Учитывая информационную природу неэлектромагнитных взаимодействий, представляется возможным судить о знаке и степени интенсивности воздействия, исследуя дисперсию регистрируемого сигнала характеризующего величину радиоактивного излучения [1,3].

Для того чтобы неэлектромагнитное излучение (НИ) превратить в НС оно должно быть соответствующим образом модулировано по времени. Данный вопрос является основным на пути решения проблемы. Представляется очевидным, что подобное модулирование несущего НИ на начальной стадии исследований должно быть наиболее простым, легко обнаруживаемым используемым рецептором. Исходя из сказанного, было предложено модулировать несущее НИ некоторым периодическим сигналом. Несколько

слов о критериях выбора периодического сигнала для модулирования им несущего неэлектромагнитного излучения. Во-первых, представляется относительно простой задачей процесс настройки величины интенсивности излучения неэлектромагнитного генератора «НГК-ВЕГА» характеризующейся некоторой периодичностью. И, во-вторых, еще более важно замечательное свойство периодических функций, заключающееся в том, что их дисперсия, определенная по некоторому значению равному их периоду есть постоянная величина. Это безумно важно учитывая, что именно дисперсия регистрируемого сигнала и является основной величиной характеризующей факт обнаружения НС, при использовании в качестве рецептора любого случайного процесса. Такая методика позволяет использовать, наряду с несложной технологией настройки степени интенсивности НИ устройства «НГК-ВЕГА» по периодическому закону и хорошо отработанную методику статистического анализа регистрируемого сигнала.



Рис.1. Пример периодического сигнала.

Для наглядности использования данного метода воспользуемся схематичным примером, рисунки 1 и 2. На рисунке 1 схематично изображен некоторый периодический сигнал, форма же сигнала не имеет особого значения. Далее, рисунок 2 демонстрирует его дисперсию, вычисленную по численному значению измерений соответствующих периоду. Средняя часть представленного графика своей прямолинейностью наглядно подтверждает ожидаемый нами результат. Однако, данный график периодического сигнала, очевидно, не является собой бесконечную функцию, он конечен, то есть имеет начало и конец, именно этим и объясняется отклонение в прямолинейности по обоим его концам. Эти отклонения от прямолинейности могут нами быть особым образом использованы для подтверждения факта обнаружения периодического сигнала неэлектромагнитного характера. Поскольку их наличие, резкое изменение дисперсии в начале и конце прямолинейного участка, являются собой непременное условие регистрации конечного периодического сигнала. Более того, учитывая свойство неэлектромагнитных взаимодействий демонстрировать фантомный эффект или эффект последействия, следует ожидать более выраженную реакцию дисперсии регистрируемого НС именно в конце передаваемого сообщения. Таковы предпосылки и ожидания в применении данного метода.

дисперсия периодического сигнала определённая по числу измерений соответствующих её периоду

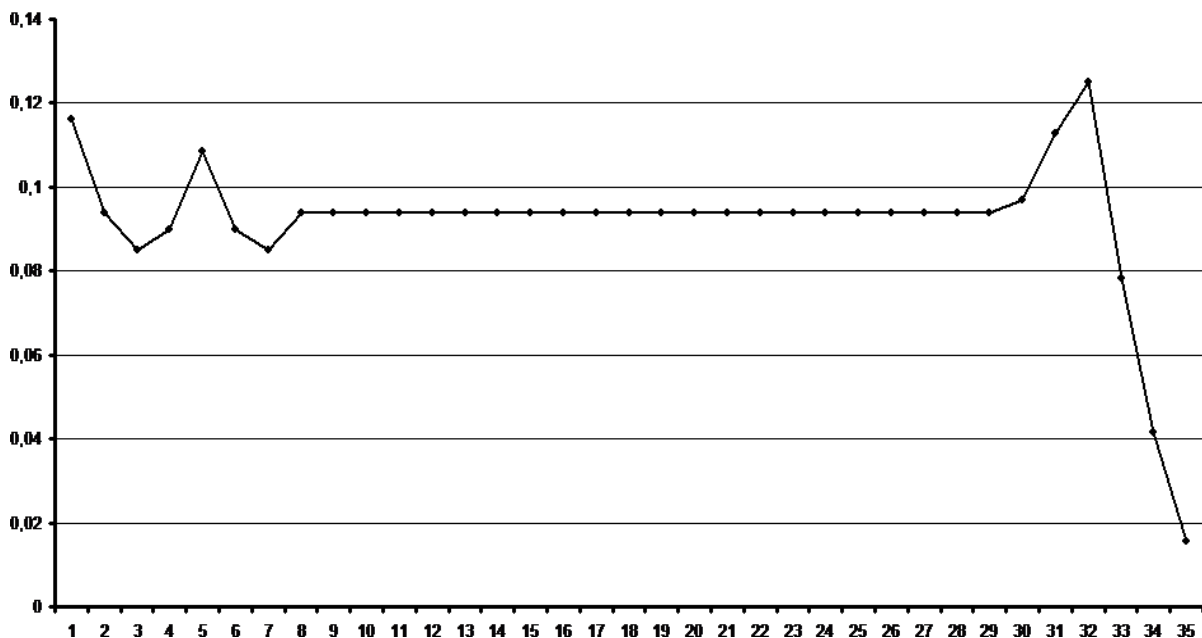


Рис. 2. Дисперсия периодического сигнала определенная по числу измерений соответствующих ее периоду.

Модулируемый периодический неэлектромагнитный сигнал, генерируемый устройством «НГК-ВЕГА», рецептируется приемником радиоактивного излучения (РИ) в качестве которого используется радиометр со счетчиком Гейгера СИ8Б-1 с дополнительным источником РИ - минералом красный гранит. Поступающая информация записывалась автоматически на ПК. Использование случайного процесса РР для обнаружения неэлектромагнитных взаимодействий сводится к регистрации временного ряда событий – промежутков времени набора строго заданного числа регистрируемых радиоактивных частиц, который является регистрируемым параметром. В свою очередь, дальнейшее математическое исследование изменений вероятностных характеристик полученных временных рядов позволяет обнаруживать наличие воздействий неэлектромагнитной природы. Целью является регистрация изменения дисперсии контролируемого параметра. При проведении данных исследований результативным является регистрация модулированного периодического неэлектромагнитного сигнала, выраженная максимальной прямолинейностью некоторого участка графика дисперсии регистрируемого параметра. Степень подобной максимальной прямолинейности зависит от инерционных свойств рецептора.

Рисунок 3 демонстрирует относительную дисперсию регистрируемого сигнала используемого рецептора, на нем вертикальными линиями отмечен участок, соответствующий регистрации модулированного периодического неэлектромагнитного сигнала. Понятно, что этот участок несколько отличается от прямолинейности, как указывалось выше, это объясняется инерциальными свойствами используемого рецептора. Возникает вопрос, каким образом при наличии подобного отклонения от прямолинейности, возможно, точно определить величину периода НС? Сделать это не трудно, достаточно вычислить погрешность относительной дисперсии.



Рис. 3. Относительная дисперсия регистрируемого сигнала. Вертикальными линиями отмечен участок регистрации модулированного периодического неэлектромагнитного сигнала.

Наименьшее значение погрешности относительной дисперсии соответствующее строго определенному числу измерений, по которому она вычисляется и является искомой величиной. Далее, опираясь на регистрируемый сигнал, который является временным рядом, определяется период сигнала. Даже при использовании достаточно инерциального процесса РР сделать это возможно с большой точностью.

Интересно, что используя подобную методику, существует принципиальная возможность для одновременной передачи сразу двух независимых параметров. Речь идет об амплитуде НС, действительно, при его регистрировании методом статистического анализа данных, амплитуда является разбросом данных, то есть, является характеристикой выраженной не прямолинейностью графика дисперсии, а его местоположения на графике.

Выше говорилось об особой возможности использования конечности периодического сигнала для выявления эффекта последействия. Рисунок 4 демонстрирует такую возможность вполне убедительно. На рисунке видно (отмечено горизонтальной линией со стрелкой) насколько значительно по величине отличается погрешность относительной дисперсии после прекращения сообщения от участков воздействия и даже фона... Данная методика может служить отдельной технологией позволяющей выявлять эффект последействия в неэлектромагнитных информационных процессах.

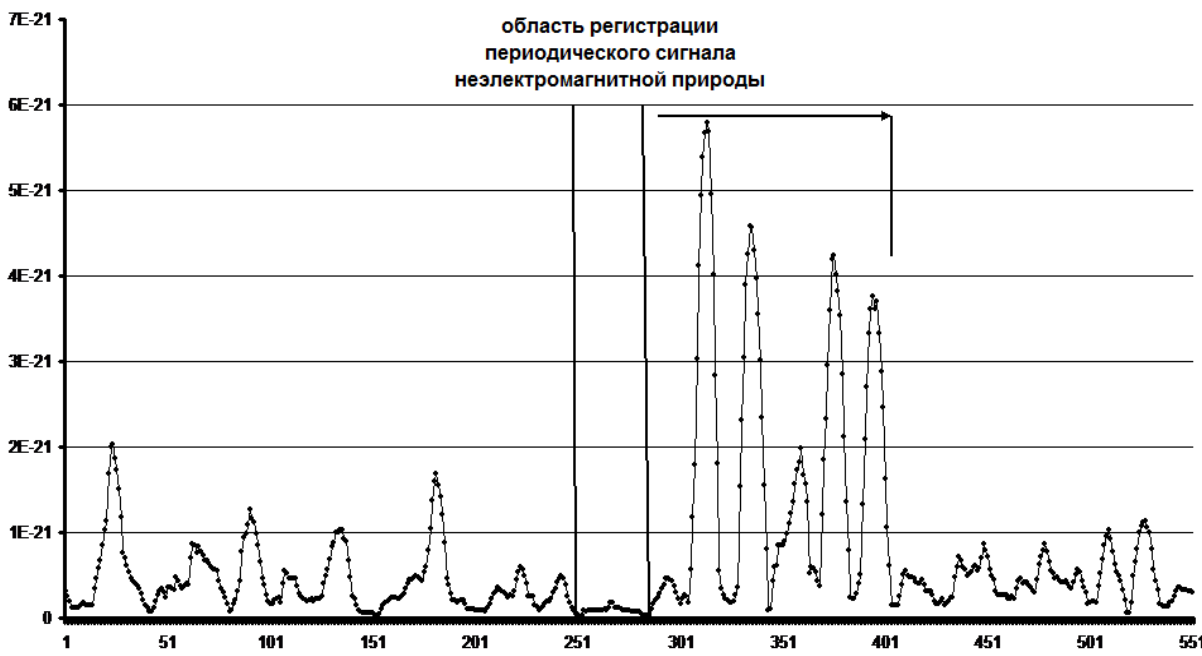


Рис. 4. Погрешность относительной дисперсии регистрируемого сигнала. Вертикальными линиями отмечен участок регистрации модулированного периодического неэлектромагнитного сигнала.

В описываемом эксперименте не ставилась задача удаленного транслирования сигнала неэлектромагнитной природы, расстояние между излучателем и приемником составляло около 3-х метров, для передачи сигнала был использован рефлектор диаметром 300мм. Н.А. Козырев описывал возможность регистрации подобных взаимодействий с использованием рефлекторных оптических систем, именно, благодаря подобной технологии стали возможны его знаменитые астрономические эксперименты [4].

Все эти результаты обоснованно указывают на принципиальную возможность проведение астрономических исследований неэлектромагнитных излучений с использованием рефлекторных оптических систем, в том числе и с применением технологии регистрации модулированных периодических неэлектромагнитных сигналов, как естественного, так и искусственного происхождения. Следует напомнить о возможном мгновенном распространении в пространстве неэлектромагнитных взаимодействий, что открывает невероятные возможности исследования Вселенной.

Литература

1. Каравайкин А.В. Обнаружение и исследование информационных свойств электрического тока. // Материалы III-й Международной научно-практической конференции «Торсионные поля и информационные взаимодействия». Москва. 15-16 сентября 2012 г. С. 65-73. <http://second-physics.ru/moscow2012/moscow2012.pdf>
2. С. Кернбах, А. Каравайкин. Использование глобальных телекоммуникационных сетей для передачи неэлектромагнитного воздействия. Журнал Формирующихся Направлений Науки, 8 (3):43-55, 2015. <http://www.unconv-science.org/n8/>
3. Каравайкин А.В. Некоторые вопросы неэлектромагнитной кибернетики. М.: Наука, 2005, 288 с.
4. Козырев Н.А. Избранные труды. - Л.: Изд-во Ленингр. ун-та, 1991. - 447 с.

**ABOUT THE USE OF NON-ELECTROMAGNETIC RADIATION TO TRANSMIT OF
ELECTROMAGNETIC SIGNALS (LINKS)**

Alexander Karavaykin

“VEGA” Laboratory of Non-electromagnetic Cybernetics

karavaykin@mail.ru

The report presents the results of research the possibility of using non-electromagnetic radiation as a carrier of electromagnetic information.

МЕТОД ДЕТЕКТИРОВАНИЯ ВОЗДЕЙСТВИЙ НЕЭЛЕКТРОМАГНИТНОЙ ПРИРОДЫ

А.В. Каравайкин

Лаборатория неэлектромагнитной кибернетики «ВЕГА»

karakavaykin@mail.ru

В докладе изложен метод регистрации неэлектромагнитных информационных взаимодействий с использованием случайного процесса радиоактивного распада.

Следует ли связывать воздействие неэлектромагнитной природы (ВНП) на процесс регистрации радиоактивного распада (РР) с влиянием на радиоактивность? Действительно, такой вопрос существует. Правомерно предположить, что воздействие оказывается только на сам детектор, а процесс РР считывается уже в несколько искаженном виде. Необходимость рассмотрения подобной темы определяется достоверностью исследований в области регистрации неэлектромагнитных взаимодействий, с позиции их информационной природы. Именно, в силу этого, данная проблема, имеет огромное значение для всего направления.

Наиболее рациональным подходом в ее решении является исключение внешнего неэлектромагнитного воздействия на используемую регистрирующую аппаратуру. Добиться этого можно сравнительным анализом данных полученных до и после воздействия. Такая методика позволяет вывести из-под воздействия, данного вида, любой регистрирующий прибор или измерительный комплекс. Применительно к возможности использования в качестве рецептора ВНП процесса РР, она предусматривает тестирование некоторого образца, обладающего радиоактивностью, непосредственно перед рассматриваемым внешним воздействием и, соответственно, после него.

Способствовать реализации подобной методики могут некоторые экспериментально обнаруженные эффекты, свойственные неэлектромагнитным взаимодействиям, в числе которых, наиболее значимым является, так называемый, «эффект последействия». В самом названии этого эффекта заключается основной его смысл, характеризующийся способностью рецепторов любых типов демонстрировать в течение длительного времени, после завершения процесса ВНП, наличие изменений контролируемых параметров. Причиной этого является способность вещества сохранять ранее оказываемые внешние ВНП, что позволяет применять сравнительный анализ параметров радиоактивности разнообразных источников малой мощности, на наличие отклонений обусловленных воздействиями подобного рода. Подобные работы, предложенные А.Г. Пархомовым и выполненные с его участием, были впервые проведены нами в 2004 году.

Так, после проведения предварительных измерений интенсивности альфа – излучения от источника малой мощности Ru^{239} , используемого в качестве рецептора, с применением в качестве детектора радиометра, на основе счётчика СБТ-11 (рисунок 1), на данный изотоп было оказано два деструктурирующих вещество ВНП, формируемых разработанным в нашей лаборатории прибором «НГК-ВЕГА».

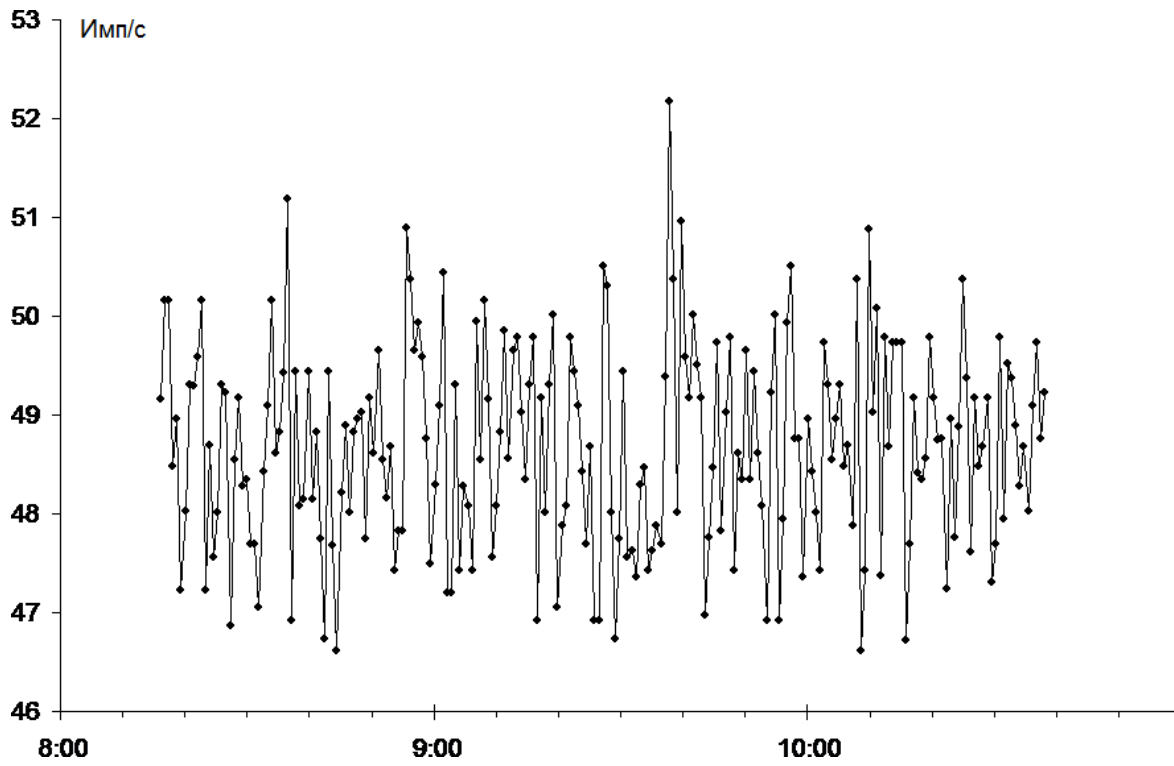


Рис. 1. Скорость счета радиометра на основе счетчика СБТ-11 с дополнительным источником альфа – излучения Pu^{239} . Регистрирование проводилось до процесса ВНП.

Деструктурирующее вещество ВНП вызывает строго определенную реакцию контролируемых параметров, характеризующих интенсивность процесса радиоактивного распада, соответствующую, в зависимости от интенсивности такого процесса, некоторому увеличению стандартного отклонения и дисперсии регистрируемых данных, наблюдавшихся нами на рисунке 2 (таблица 1). После завершения внешнего ВНП спустя несколько часов было проведено повторное исследование данного образца с использованием вышеуказанного детектора (рисунок 3 и таблица 2), которое показало аналогичное изменение контролируемых параметров интенсивности процесса альфа – распада, стандартного отклонения регистрируемых данных и дисперсии в сторону их увеличения на 7,1% и 10,76% соответственно. Общее соответствие изменений контролируемых параметров в сторону их увеличения, безусловно, является результатом предложенного в ходе эксперимента деструктурирующего ВНП, оказываемого на рецептор.

Эксперимент показал аналогичные реакции контролируемых параметров используемого детектора как на прямое ВНП, так и на его остаточное влияние, характеризующееся эффектом последействия, что может являться доказательством способности данного вида взаимодействий изменять параметры радиоактивности.

Однако, как показали исследования, эффект последействия является не единственным аргументом в цепи доказательной базы способности ВНП влиять на процесс РР.

В ходе многочисленных экспериментов влияния ВНП на процесс РР нами была обнаружена удивительная ситуация. В тех случаях, когда процесс внешнего ВНП не отслеживался экспериментатором в режиме реального времени, а полученные данные обрабатывались уже после его завершения, в некоторых случаях, совершенно неожиданно удавалось регистрировать непосредственно перед основным, «запланированным» влиянием некоторое зеркально противоположное ему по знаку воздействие, своей интенсивностью не уступающей основному воздействию. Причем с повышением интенсивности основного, запланированного ВНП частота «проявления» этого удивительного эффекта увеличивалась. Правомерно следует обозначить подобное явление как «эффект предвидения». Характерным примером подобного эффекта является рисунок 2, (время эффекта обозначено

горизонтальными линиями со стрелками). Обнаружить его можно только при строго определенном числе значений, по которым определяется статистический параметр, например, дисперсии, что может являться свидетельством его периодической природы. Наконец, учитывая, что он обнаруживается при полном отсутствии неэлектромагнитной первопричины, его также можно рассматривать как свидетельство, в общей цепи доказательств, способности воздействий данного вида оказывать влияния именно на радиоактивность, а не на регистрирующий детектор.

Таблица 1.

| Участки ВНП и фона | среднее значение скорости счета имп./сек. | среднее значение стандартного отклонения по трём ближайшим измерениям |
|----------------------------------|-------------------------------------------|-----------------------------------------------------------------------|
| фон | 48,99 | 0,86 |
| деструктурирующее воздействие 1. | 48,76 | 1,29 |
| деструктурирующее воздействие 2 | 49,65 | 1,45 |
| фон | 49,07 | 0,9 |
| фон | 49,15 | 1,05 |

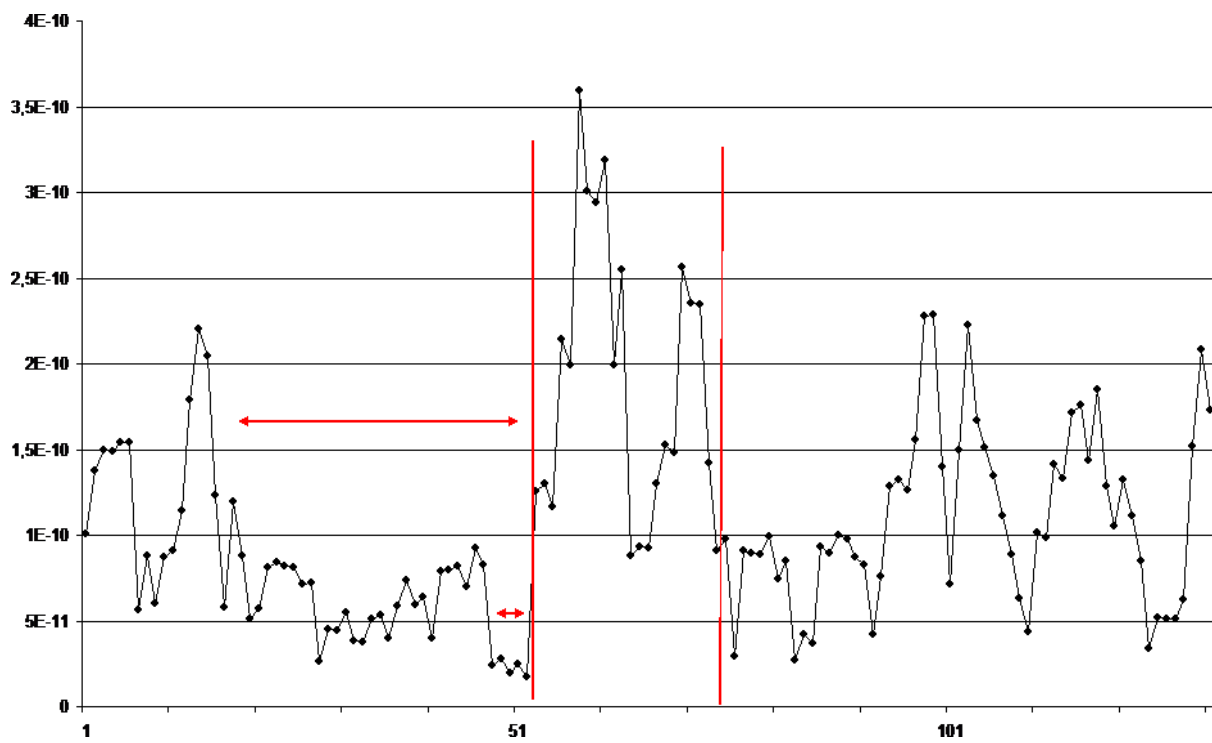


Рис. 2. Относительная дисперсия, вычисленная по пяти ближайшим измерениям. Вертикальными линиями показан участок ВНП. Горизонтальными линиями со стрелками показан эффект «предвидения».

В 2012 году был реализован следующий эксперимент на выше обозначенную тему. На обладающий естественной радиоактивностью минерал красный гранит неоднократно оказывалось ВНП деструктурирующего вещества характера. Приблизительно месяц спустя данный реагент исследовался детектором, не подвергавшимся воздействию неэлектромагнитного фактора, после чего полученные результаты сравнивались с соответствующими параметрами, полученными от аналогичных образцов, на которые вышеизложенное внешнее воздействие не оказывалось. Как и в предыдущем эксперименте,

используемый детектор радиоактивного излучения выводился из-под внешнего ВНП. Измерения были выполнены А.Г. Пархомовым. Анализу подвергались спектры и параметры интегральной скорости счёта гамма – излучения. Был использован сцинтилляционный детектор с кристаллом CsJ(Tl) в сочетании с фотоэлектронным умножителем ФЭУ-110 и 256-канальным амплитудным анализатором с диапазоном измерений от 300 до 3000 КэВ. Результаты измерений представлены на рисунках 4,5 и 6. Они демонстрируют несколько максимумов, характерных для продуктов распада: калия-40, урана-238, урана-235, а также тория-232. Сравнительный анализ спектров обнаруживает снижение интенсивностей гамма – излучения всех изотопов у образца, подвергавшегося ранее многократному ВНП (рисунок 4) относительно результатов измерений фонового образца сравнения (рисунок 6). Кроме того, анализ спектра образца, находящегося в нескольких метрах от процесса ВНП, демонстрирует некоторое промежуточное изменение интенсивностей (рисунок 5).

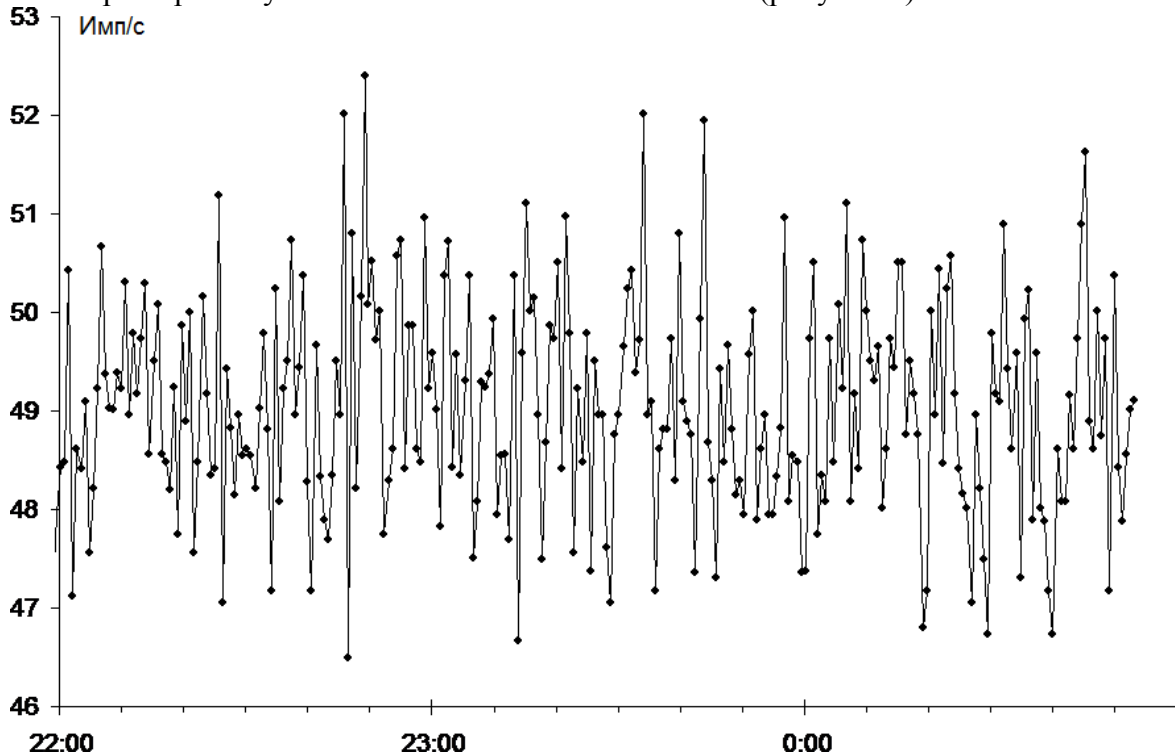


Рис. 3. Скорость счета радиометра на основе счетчика СБТ-11 с дополнительным источником альфа – излучения Ru²³⁹. Регистрирование проводилось после процесса ВНП.

Таблица 2.

| Параметры исследования | среднее значение скорости счета имп./сек. | стандартное отклонение по всему массиву данных | дисперсия по всему массиву данных |
|-------------------------------------------|-------------------------------------------|------------------------------------------------|-----------------------------------|
| параметры, полученные до процесса ВНП | 48,68 | 1,05 | 1,1 |
| параметры, полученные после процесса ВНП | 49,01 | 1,11 | 1,223 |
| изменение регистрируемого параметра в [%] | - | 7,1 | 10,62 |

Ниже представлены интегральные скорости счёта гамма – излучения образца, подверженного ВНП, и фоновых образцов сравнения:

Образец 1: $10,50 \pm 0,10$ [имп./с]

Образец 2: $14,87 \pm 0,12$ [имп./с]

Образец 3: $16,76 \pm 0,13$ [имп./с]

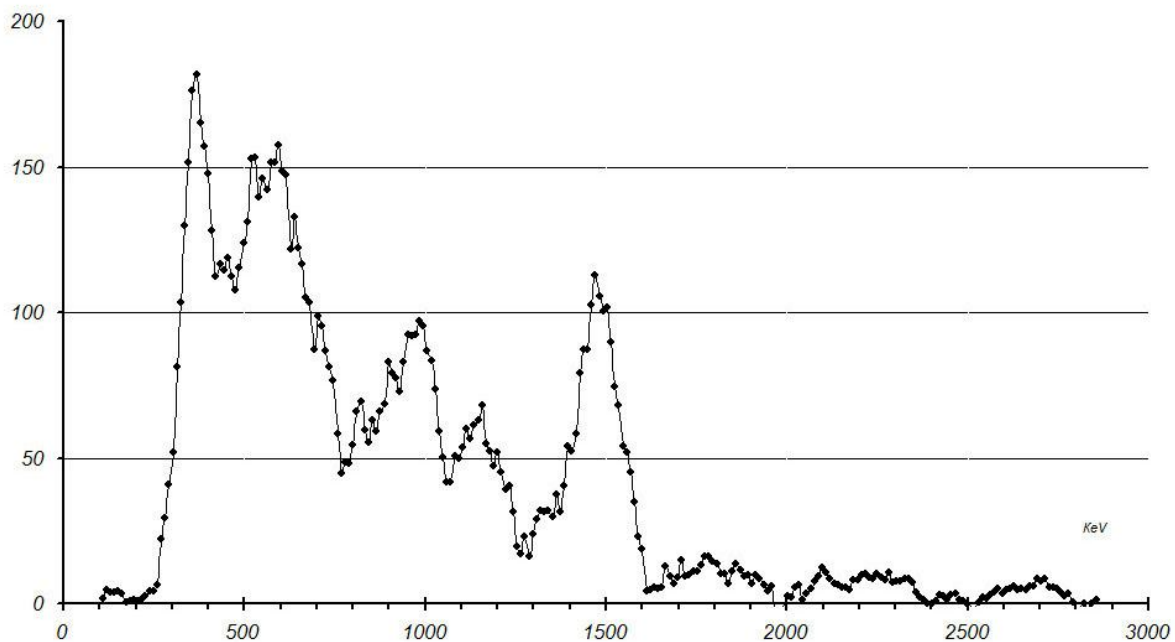


Рис. 4. Спектр гамма – излучения образца минерала красного гранита, подвергнутого ранее ВНП прибора «НГК-ВЕГА». Спектр получен сцинтилляционным спектрометром на основе кристалла CsJ(Tl).

Следует обратить особое внимание, что интегральная скорость счета образца 1, подверженного ранее ВНП, значительно ниже скоростей счета фоновых образцов 2 и 3, несмотря на то, что его масса (180 г.) превышает массу образцов сравнения (43 г. и 149 г., соответственно). Также интересен параметр образца 2, находящегося вблизи ВНП, который соответствует некоторому промежуточному значению скорости счета. Эти данные могут свидетельствовать о снижении уровня гамма – излучения как результата предшествующего ВНП.

Через год было проведено повторное исследование данных образцов. Следовало ожидать, что за прошедшее время должно было произойти выравнивание параметров исследуемых образцов. Однако результаты измерений оказались неожиданными...

Интегральные скорости счёта гамма – излучения исследованных образцов:

Образец 1: $7,85 \pm 0,40$ [имп./с]

Образец 2: $8,43 \pm 0,41$ [имп./с]

Образец 3: $10,81 \pm 0,41$ [имп./с]

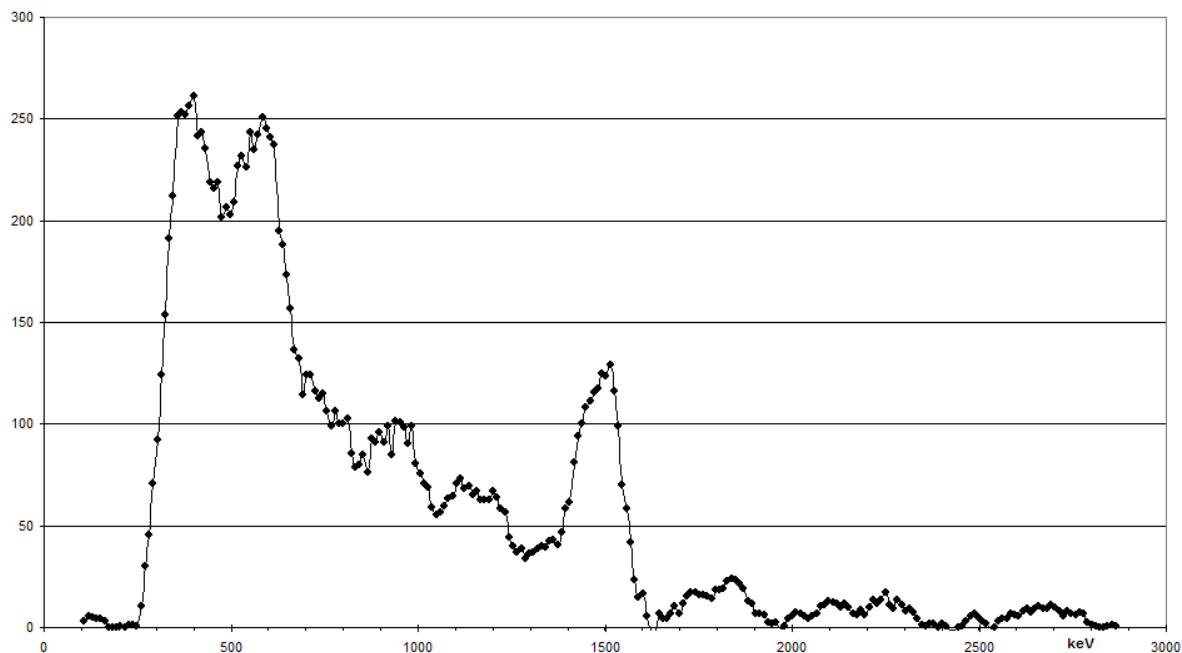


Рис. 5. Спектр гамма – излучения образца минерала красного гранита, находящегося на расстоянии 5-ти метров от источника ВНП. Спектр получен сцинтилляционным спектрометром на основе кристалла CsJ(Tl).

Выравнивание действительно произошло, но со снижением радиоактивности... Причины, приведшие к подобному результату, могут быть как технологические, связанные с неточностью самого процесса измерения, так и объясняющиеся условиями совместного хранения исследуемых образцов, в результате которого и произошло подобное выравнивание параметров...

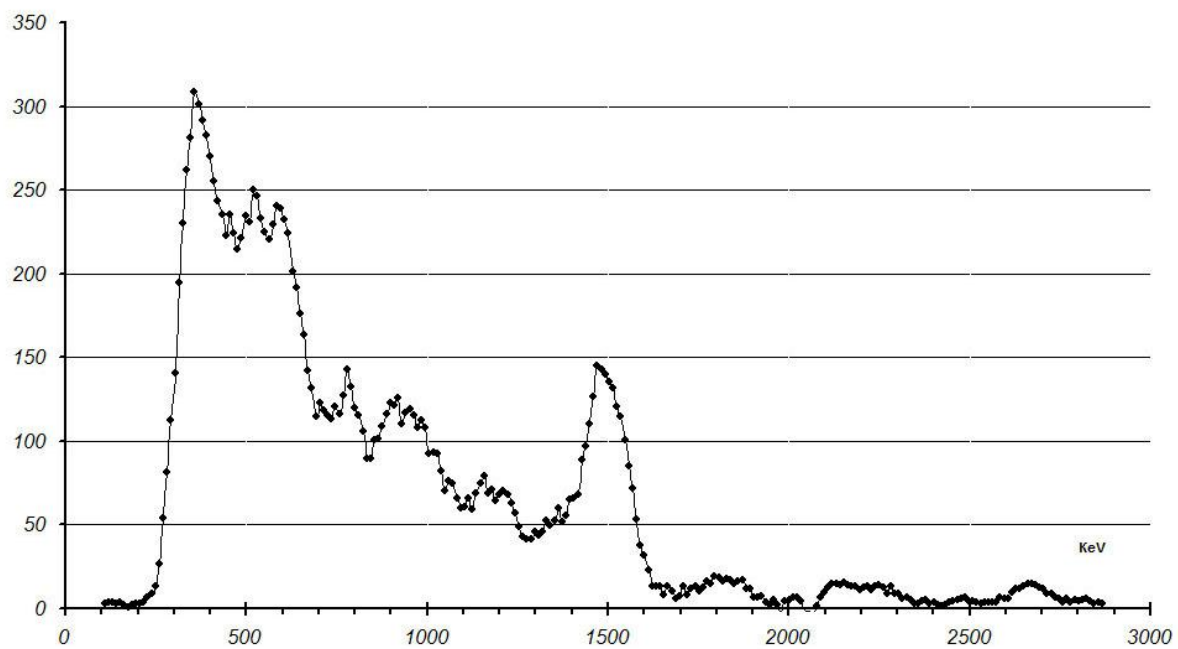


Рис. 6. Спектр гамма – излучения образца минерала красного гранита, не подвергавшегося ранее ВНП прибора «НГК-ВЕГА» и являющегося образцом сравнения. Спектр получен сцинтилляционным спектрометром на основе кристалла CsJ(Tl).

Анализ спектров (рисунки 7,8,9) также демонстрирует появившуюся схожесть. По неясной причине не наблюдаются регистрируемые год назад максимумы, соответствующие энергиям около 360, 600, 900, 1150, 1600, 2200, 2600 кэВ, характерные для продуктов распада урана-238, урана-235 и тория-232. Интенсивность их значительно снижена, практически отсутствует. В то же время, как и год назад, хорошо виден максимум, соответствующий энергии 1460 кэВ, связанный с гамма – излучением калия-40, хотя и с несколько сниженной интенсивностью относительно результатов, полученных годом раньше. Чем можно объяснить подобные «превращения»? Можно лишь констатировать факт того, что за истекший год значительно изменилась изотопная активность всех исследованных образцов! Результаты неожиданные, выдвигать гипотезы их объясняющие бессмысленно, необходимо продолжение исследований...

ВНП приводит к изменению энтропии локальной области эксперимента, его влиянию подвергается не только использующийся receptor, но и вся детектирующая аппаратура. В силу этого, для получения наиболее реалистичной картины результатов исследований, в данной области, необходимо использовать методы позволяющие предотвратить или максимально снизить влияние на регистрирующую аппаратуру. Предложенная настоящей работой методика является поиском решения проблемы.

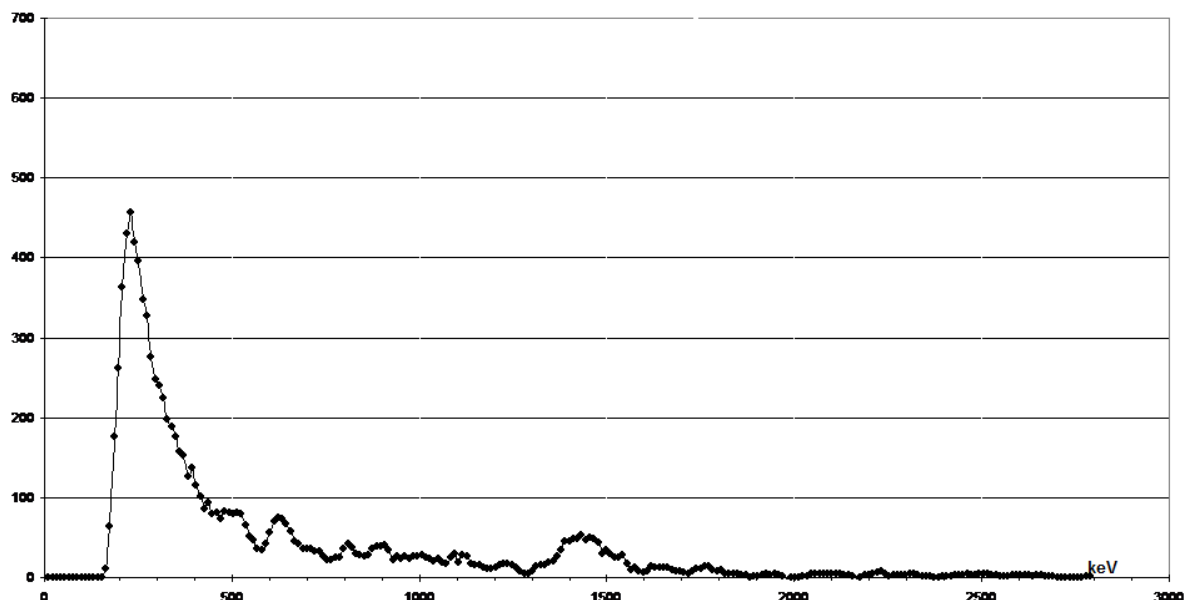


Рис. 7. Спектр гамма – излучения образца минерала красного гранита, подвергнутого ранее ВНП прибора «НГК-ВЕГА». Спектр получен сцинтилляционным спектрометром на основе кристалла CsJ(Tl).

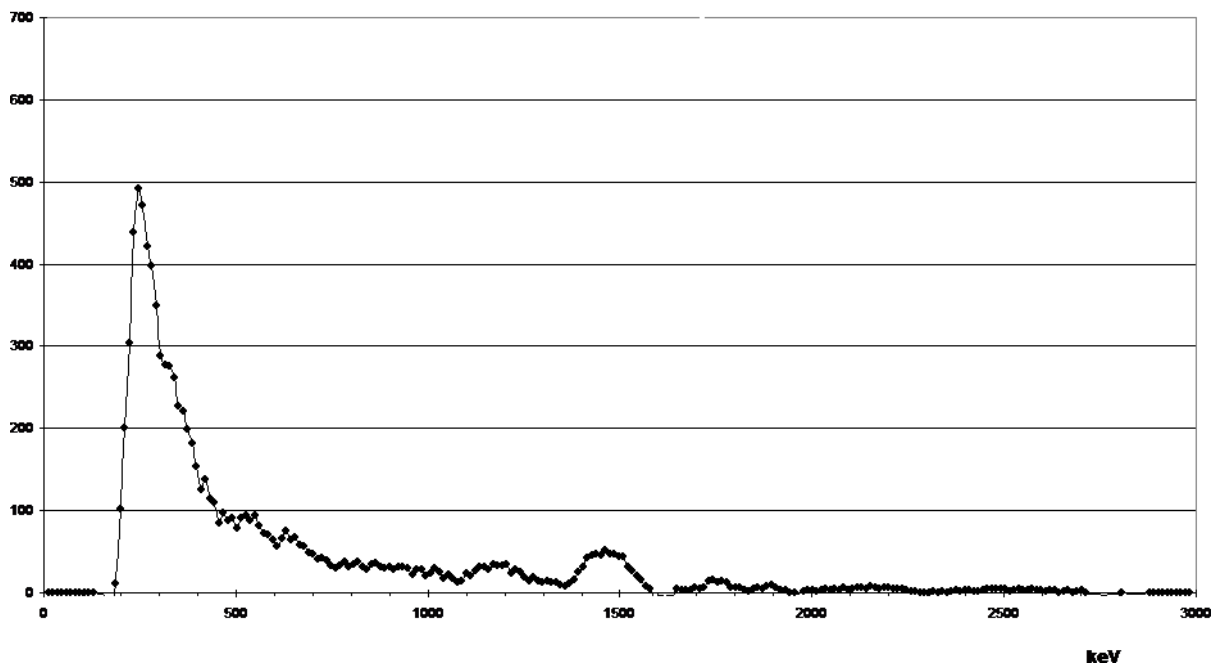


Рис. 8. Спектр гамма – излучения образца минерала красного гранита, находящегося на расстоянии 5-ти метров от источника ВНП. Спектр получен сцинтилляционным спектрометром на основе кристалла CsJ(Tl).

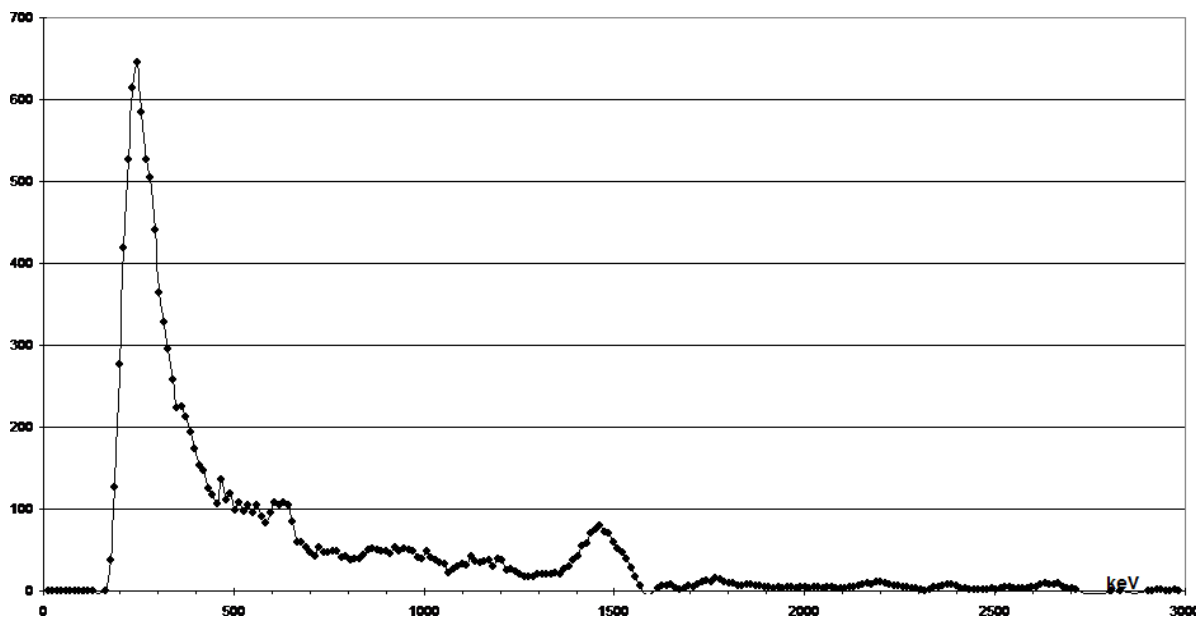


Рис. 9. Спектр гамма – излучения образца минерала красного гранита, не подвергавшегося ранее ВНП прибора «НГК-ВЕГА» и являющегося образцом сравнения. Спектр получен сцинтилляционным спектрометром на основе кристалла CsJ(Tl).

Литература

1. Авшалумов А.Ш., Филаретов Г.Ф. Методы выделения неоднородностей временных рядов. Доклад на VI Международной конференции "Космос и биосфера" Сентябрь 2005, Партенит, Крым.
2. Пархомов А.Г. Ритмические изменения и всплески скорости счета радиоактивных источников при длительных измерениях. Три типа флюктуаций в ходе процессов в различных системах. Доклад на VI Международной конференции "Космос и биосфера" Сентябрь 2005, Партенит, Крым.
3. Пархомов А.Г. Изменчивость процессов как проявление космо-земных и информационных взаимодействий // Материалы научной конференции «Этика и наука будущего». Москва, 22–24 марта 2006. С. 225–230.
4. Пархомов А.Г. Ритмы и флюктуации: три типа феноменов. Космо-земные и информационные взаимодействия. // Физика сознания и жизни, космология и астрофизика, №4, 2005.
5. Пархомов А.Г. Экспериментальные подтверждения информационного характера экстрасенсорных, а также некоторых космических и техногенных феноменов. // Сознание и физическая реальность, №3, 2006. С. 55–60.
6. Пархомов А.Г. Три типа изменчивости хода различных процессов // Культура и время. Время в культуре. Культура времени. Ред. В.С. Чураков. Шахты: ЮРГУЭС. 2007. С. 197–226.
7. Пархомов А.Г. Управляемый хаос. Материалы I-й международной научно-практической конференции «Торсионные поля и информационные взаимодействия». 2009 г.
8. Каравайкин А.В. Некоторые вопросы неэлектромагнитной кибернетики. М.: Наука, 2005, 288 с.
9. Каравайкин А.В. Обнаруженные эффекты интенсивного неэлектромагнитного воздействия на случайный процесс радиоактивного распада. Материалы IV-й международной научно-практической конференции «Торсионные поля и информационные взаимодействия». 2014г. С. 198-208 <http://www.second-physics.ru/moscow2014/moscow2014.pdf>
10. Каравайкин А.В. Закономерности статистического анализа данных регистрации интенсивности процесса радиоактивного распада, подверженного внешнему воздействию неэлектромагнитной природы. Материалы IV-й международной научно-практической конференции «Торсионные поля и информационные взаимодействия». 2014 г. С. 209-223

THE METHOD FOR DETECTION OF IMPACTS HAVING NON-ELECTROMAGNETIC NATURE

Alexander Karavaykin

“VEGA” Laboratory of Non-electromagnetic Cybernetics

karavaykin@mail.ru

The report contains a method of registering non-electromagnetic information interactions using a random process of radioactive decay.

ВОПРОСЫ ВОЗНИКНОВЕНИЯ ДОПОЛНИТЕЛЬНОЙ ЭЛЕКТРОДВИЖУЩЕЙ СИЛЫ В ЭЛЕКТРИЧЕСКИХ ПРИБОРАХ ГЕНЕРИРУЮЩИХ НЕЭЛЕКТРОМАГНИТНЫЕ ИНФОРМАЦИОННЫЕ ПРОЦЕССЫ

А.В. Каравайкин

Лаборатория неэлектромагнитной кибернетики «ВЕГА»

karavaykin@mail.ru

В докладе представлены результаты исследований направленных на создание условий для формирования дополнительной электродвигущей силы в электрических приборах генерирующих неэлектромагнитные информационные процессы.

Современное учение об электричестве имеет совершенно феноменологичный характер, проявляющийся в полном отсутствии объяснения самой природы предмета изучения и ограничивающийся лишь описанием явлений и процессов. Инженерный подход, в разрешении подобной ситуации реалистично-практичный, демонстрирующий абстрагируемость от отсутствия физического понимания сути электрических процессов и настаивающий на необходимости их практического использования. Обнаружение и исследование информационных свойств электричества [1,2,3,4] целиком и полностью отвечает такому инженерному взгляду на данную проблему.

Например, современная электродинамика трактует идеальный источник электрического процесса как независящий от нагрузки. При этом само понятие нагрузки трактуется как интенсивность электрического процесса – тока и характеризуется электрическим сопротивлением цепи как его приемника. Введение же такого параметра электрического процесса как напряжение, применительно к рассмотрению реального источника, способно характеризовать его основной принцип функционирования, проявляющийся в линейном его снижении при росте нагрузки. Кроме того, снижение напряжения на реальном источнике электрического процесса, при росте подаваемой на него нагрузки, является одним из феноменов...

Обнаруженная в 1820 году Эрстедом способность магнитной стрелки определенным образом реагировать на электрический процесс определило собой целое направление его детектирования. Данный эффект также строго лежит в рамках рассматриваемого нами феноменологичного подхода учения об электричестве и является одним из фундаментальных его составляющих. Инженерная мысль человечества позволила, используя подобный перечень обнаруженных эффектов, феноменов электрических процессов, разработать и внедрить в повседневную практическую деятельность целый комплекс приборов и систем, призванных решать разнообразные вопросы, как детектирования, данного процесса, так и его практического использования в различных сферах науки и техники.

Однако, вся эта радужная картина современной электродинамики рассыпается прахом при использовании в качестве приемника электрического явления электротехнических приборов, генерирующих неэлектромагнитные процессы. Приборы способные генерировать неэлектромагнитные процессы и имеющие электрический принцип работы экспериментально демонстрируют ряд феноменологических эффектов по ряду признаков выпадающих за привычные рамки классической электродинамики, но целиком и полностью объясняющихся информационными свойствами электричества. Подобное утверждение непосредственно вытекает из обнаруженной неспособности измерительных приборов различных типов детектировать классические электрические параметры в соответствии с общепринятыми в системе СИ соотношениями предусмотренными Законом Ома, а величины отклонений зависят только от интенсивности процесса неэлектромагнитного генерирования. Такая ситуация требует ввода в выражения Закона Ома, как для полной цепи, так и для его выделенного участка дополнительного коэффициента ответственного за информационные

свойства носителей заряда, величина которого объективно определяется только интенсивностью неэлектромагнитных процессов генерируемых в рассматриваемой электрической цепи. Как прямое следствие вышесказанного, существует необходимость внесения корректировок в некоторые устоявшиеся электродинамические понятия, в том числе, речь идёт об эффекте падения напряжения на реальном источнике электричества при росте подключенной к нему электрической нагрузки. Классическая электродинамика предлагает соответствующую модель обоснования этого явления, в каком качестве можно на нее полагаться при использовании такого источника для генерирования неэлектромагнитных процессов? Легко показать экспериментально, что основополагающим фактором, определяющим величину, так называемого, падения напряжения на источнике электричества, используемого для питания прибора генерирующего неэлектромагнитный процесс, является не величина его электрической нагрузки, а интенсивность самого неэлектромагнитного процесса! При определенных параметрах генерирования неэлектромагнитного процесса электрическим прибором, может наблюдаться, непостижимый с точки зрения классической электродинамики феномен характеризующийся отсутствием падения напряжения на источнике, более того, возрастание питающего напряжения.

Далее, для общего понимания сути явления необходимо обратиться к некоторым теоретическим вопросам характеризующим неэлектромагнитные процессы.

Генерирующий неэлектромагнитный процесс электрический прибор способен создавать противоположные по знаку воздействия, структурирующее и деструктурирующее. Структурирующее воздействие характеризуется излучением неэлектромагнитной информации в пространство, а деструктурирующее, обратным процессом, поглощения из пространства информации имеющей неэлектромагнитную природу. Каждому из описанных воздействий соответствует характерная картина приборного детектирования. Связь неэлектромагнитных взаимодействий с информационными процессами становится очевидной при анализе характера влияния на рецепторы. Изменение энтропии разнообразных рецепторов под влиянием неэлектромагнитных процессов однозначно указывает на их информационный характер. Наиболее красноречивым свидетельством информационной природы неэлектромагнитных процессов в Природе является характер последствий их воздействия на изменения некоторых параметров случайных процессов. Было обнаружено, что неэлектромагнитные информационные процессы способны изменять вероятностные характеристики случайных процессов, например, дисперсию. Возможность неэлектромагнитных процессов изменять не только интенсивность разнообразных случайных процессов, но и степень их случайности, безусловно, является неоспоримым свидетельством в пользу их информационной природы. В силу этого, именно, случайные процессы наиболее чувствительны к воздействиям данного типа, что позволяет разрабатывать на их основе единые стандарты рецептирования данного вида взаимодействий [5].

Таблица 1.

| | | |
|---------|-------------------------------------|-------------------------------------------------------------------------------------------------------------------------|
| Участок | Скорость счета рецептора Имп/сек | Среднее значение относительной дисперсии вычисленное по трем ближайшим измерениям контролируемого параметра |
|---------|-------------------------------------|-------------------------------------------------------------------------------------------------------------------------|

| | | |
|----|------|-------|
| 1. | 2,23 | 0,062 |
| 2. | 1,83 | 0,142 |
| 3. | 1,75 | 0,092 |
| 4. | 2,41 | 0,050 |
| 5. | 2,00 | 0,066 |
| 6. | 2,29 | 0,530 |
| | 2,18 | 0,060 |

На рисунках 1 и 2 представлены характерные примеры регистрации воздействий неэлектромагнитной природы обоих знаков с использованием в качестве рецептора случайного процесса радиоактивного распада. Обращают на себя внимание типичные последствия данного вида взаимодействий. Увеличение структурированности рецептора, уменьшение степени хаотичности процесса, выражено в снижении разброса регистрируемых данных – дисперсии, рисунок 1. Обратное явление деструктурирующего характера, сопровождается ростом хаоса в рецепторе - увеличение дисперсии характеризующего параметра, рисунок 2. Данные эксперименты проводились с использованием разработанного в нашей лаборатории генератора неэлектромагнитных процессов «НГК-ВЕГА».

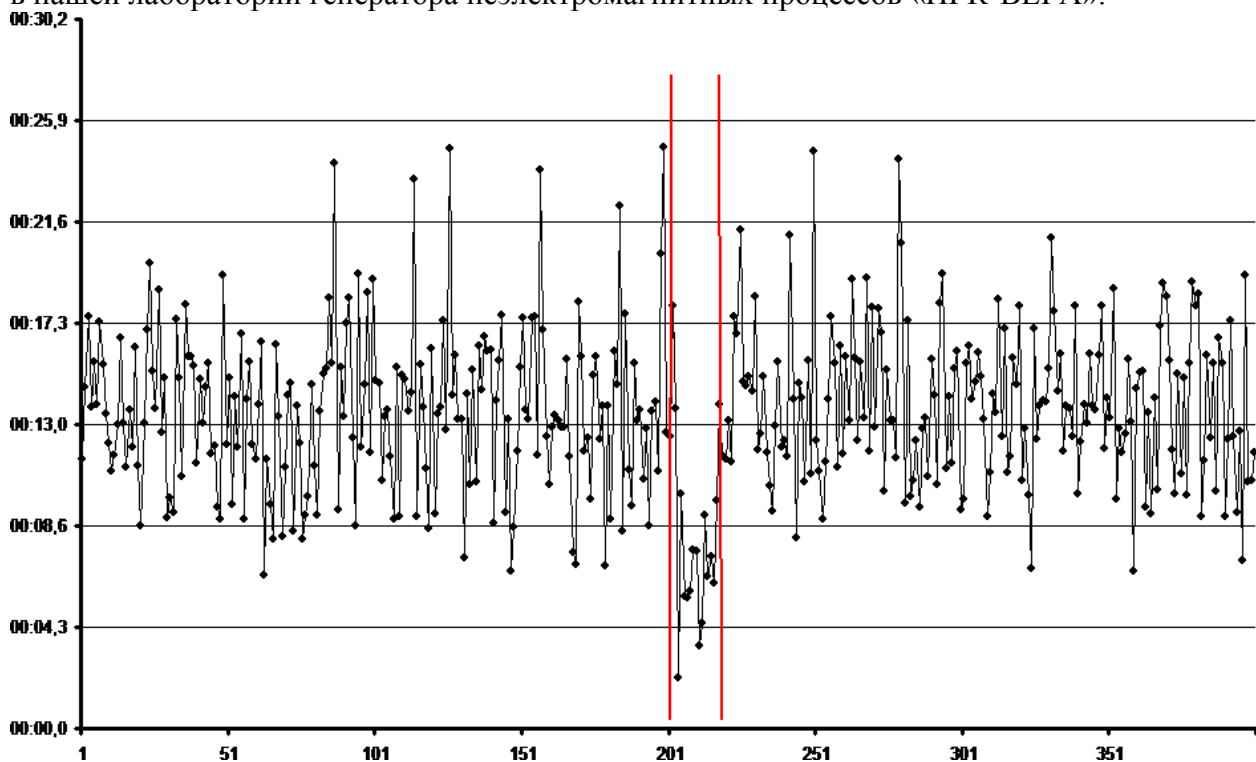


Рис. 1. Регистрируемый сигнал, представляющий собой временной ряд событий - промежутков времени набора рецепторной системой строго заданного числа регистрируемых радиоактивных частиц, параметр обратный скорости счета. Вертикальными линиями отмечен участок генерирования структурообразующего НИП прибора «НГК-ВЕГА».

Ранее описанные феномены работы электрического прибора генерирующего неэлектромагнитные информационные процессы (НИП) выраженные, в том числе и в несоответствии параметра падения напряжения на источнике электричества от предлагаемой нагрузки, являются следствием именно информационности явления. Далее для краткости будим называть этот эффект – «эффектом нагрузки» (ЭН). Было обнаружено, что ЭН возникает только в момент работы прибора «НГК-ВЕГА» соответствующего рисунку 2, то есть, в деструктурирующем веществе рецептора режиме. Этот режим характеризуется локальным увеличением энтропии, величина которой зависит только от интенсивности генерирования НИП данного знака. Попытаемся с позиции теории информации описать это

явление. Увеличение энтропии среды, или потеря структурной организованности является следствием оттока информации из локальной области эксперимента, именно отток информации, имеющий неэлектромагнитный характер и вызывает в электрической схеме прибора «НГК-ВЕГА» формирование носителей заряда отличающихся своими характеристиками от носителей заряда питающего напряжения. Следует предположить, что отток информации неэлектромагнитного характера формирует изменение структуры носителей заряда – электронов. Такие «измененные» носители заряда обладают рядом отличий от классического электричества, есть основания утверждать, что носители заряда с измененными информационными свойствами более активно взаимодействуют в электрической цепи. Такой вывод был сделан на основе многолетних экспериментов. В чём заключаются эти отличия носителей заряда? Чтобы ответить на этот и другие подобные вопросы предстояло провести рутинные многолетние эксперименты, которые, впрочем, ещё далеки от завершения. Однако можно с уверенностью сказать, что именно взаимодействие носителей заряда характеризующихся различными свойствами, которые следует трактовать как информационные свойства, и формируется ЭН и ряд других эффектов.

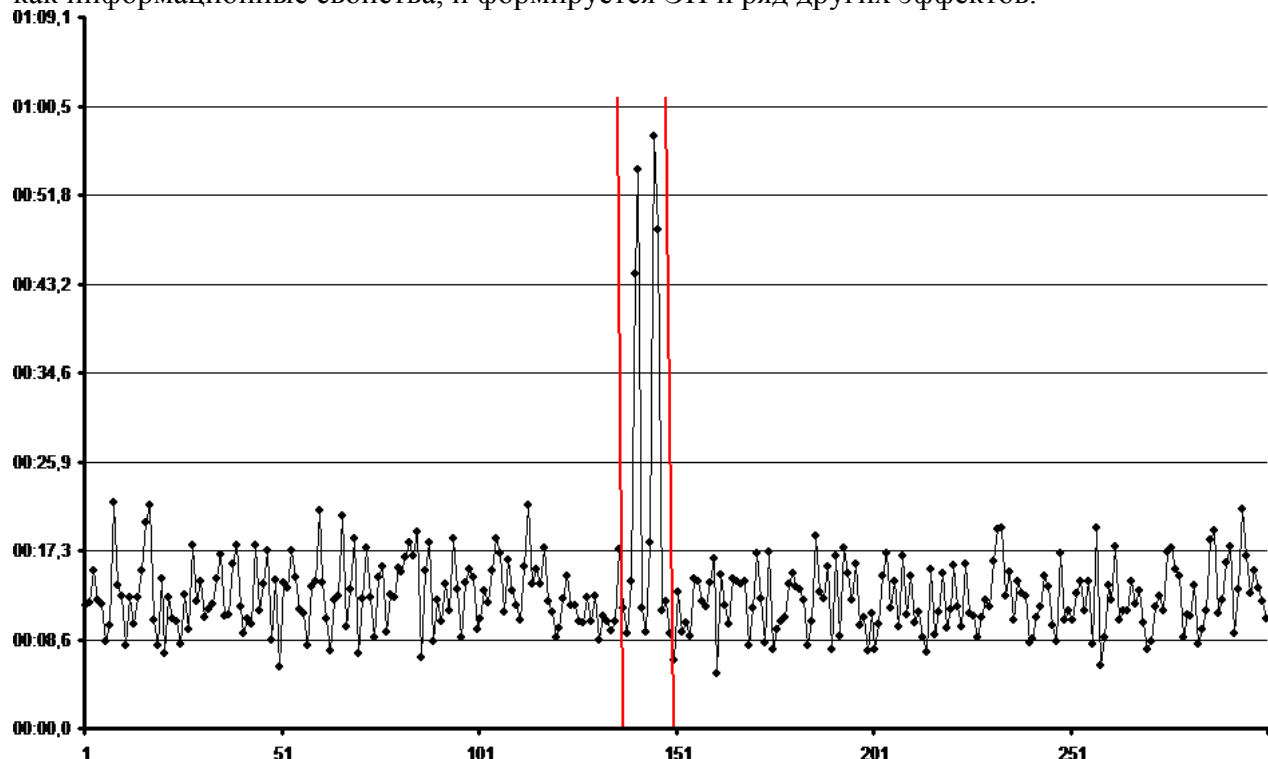


Рис. 2. Регистрируемый сигнал, представляющий собой временной ряд событий - промежутков времени набора рецепторной системой строго заданного числа регистрируемых радиоактивных частиц, параметр обратный скорости счета. Вертикальными линиями отмечен участок генерирования деструктурирующего НИП прибора «НГК-ВЕГА».

Главным выводом следует считать, образование в электрической цепи генератора НИП носителей заряда с измененными информационными свойствами, отличающимися от носителей заряда питающего напряжения, большей физической активностью, следует трактовать как формирование дополнительной электродвигущей силы (ДЭДС). Удалось установить, степень активности носителей заряда с измененными информационными свойствами экспоненциально растет с увеличением интенсивности генерируемого НИП.

Рассматривая формирование, в электрической схеме нагрузки конкретного электрического процесса, носителей заряда с измененными, более активными физическими свойствами, мы имеем дело с образование ДЭДС, по своим характеристикам способной превзойти ЭДС источника питания. Что будет означать данная ситуация? Как минимум, следует однозначно предположить о возможности получения автономного электрического процесса независящего от внешнего источника электричества, а как максимум, позволит

разработать автономный практически безтопливный источник энергии. Подобный вывод непосредственно вытекает из анализа экспериментальных данных. Использование, выше описанного, метода рецептирования НИП позволило разработать прибор, генерирующий данный вид взаимодействий, характеризующийся максимальной интенсивностью, что соответствует и получению максимально возможного изменения информационных свойств носителей заряда, обладающих максимальной физической активностью значительно превосходящей аналогичный параметр источника питания. Здесь следует особо отметить, как показали эксперименты, информационные свойства носителей заряда соответствующие разнообразным известным источникам электрического процесса практически идентичны и могут рассматриваться как обладающие фоновыми параметрами физической активности. Опыт исследований показывает, получение носителей заряда с максимально измененными информационными свойствами и обладающих максимальными показателями физической активности является не единственной необходимой технологией для получения автономного безтопливного источника электроэнергии (АБИЭ). Было выяснено, что чем значительнее изменение информационных свойств носителей заряда и соответственно их физическая активность, тем менее стабильна работа генерирующего НИП прибора в режиме АБИЭ. Понять почему имеет место подобная ситуация позволило применение метода рецептирования на основе исследования дисперсии контролируемого параметра характеризующего интенсивность случайного процесса радиоактивного распада. Такая технология позволяет контролировать во времени как интенсивность неэлектромагнитного процесса, так и его знак. Забегая вперед необходимо отметить, что, именно, смена знака характера неэлектромагнитного процесса явилась причиной отсутствия стабильной работы неэлектромагнитных генерирующих приборов в режиме АБИЭ.

Так, рисунок 3 графически показывает один из экспериментов, позволяющих оценить характер влияния генерируемого НИП на используемый рецeptор в процессе работы с использованием технологии АБИЭ. График разбит на шесть участков, каждому из которых соответствует определенный режим работы генерирующего НИП прибора «НГК-ВЕГА». Участок 1 соответствует фону, то есть, на этом участке генерирующий НИП прибор был выключен. На участке 2 прибор «НГК-ВЕГА» функционировал вне режима АБИЭ, носители заряда с измененными информационными свойствами не подавались в питающую электрическую цепь прибора, а локализовывались внутри цепи с использованием технологии «неэлектромагнитного затвора», такая технология позволяет изолировать носители заряда с измененными информационными свойствами от питающих электрическую цепь носителей заряда. Участок 3 соответствует работе генерирующего НИП прибора в режиме АБИЭ. 4-ый участок демонстрирует самопроизвольный сбой работы генерирующего НИП прибора. Участок 5 – самопроизвольное включение генерирующего НИП прибора в режиме АБИЭ. 6-ой участок повторный сбой работы генерирующего НИП прибора в режиме АБИЭ и, таким образом, демонстрирует фоновый параметр внешнего влияния со стороны прибора «НГК-ВЕГА» находящегося в состоянии сбоя, самопроизвольного прекращения работы в режиме АБИЭ.

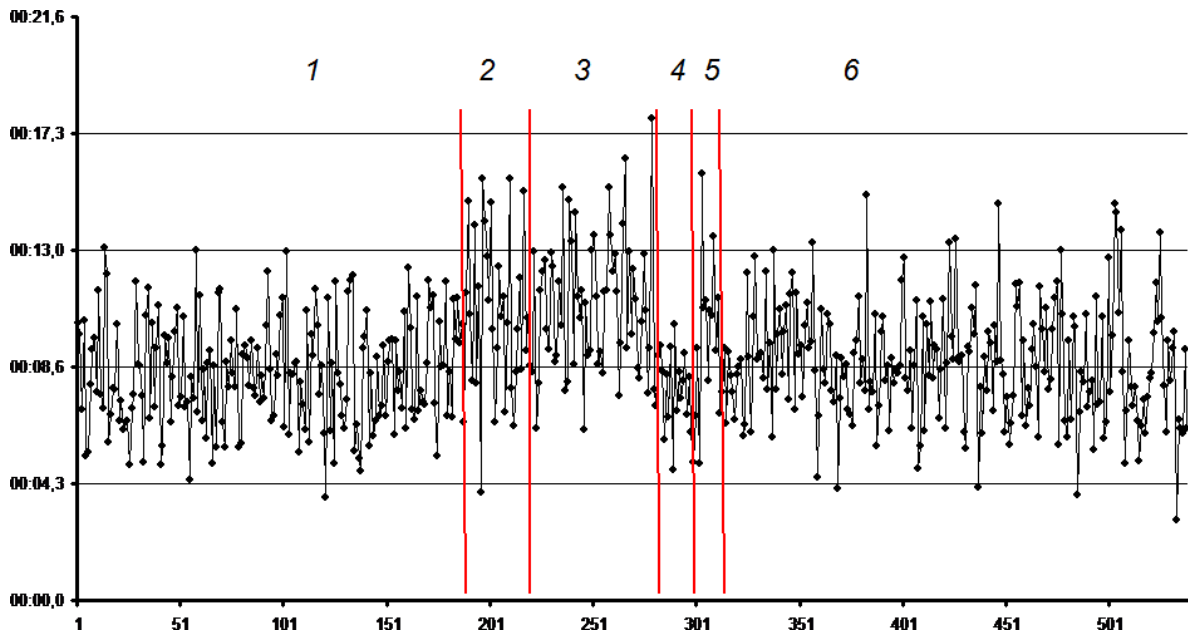


Рис. 3. Регистрируемый сигнал, представляющий собой временной ряд событий - промежутков времени набора рецепторной системой строго заданного числа регистрируемых радиоактивных частиц, параметр обратный скорости счета. Вертикальными линиями отмечены участки эксперимента. Участок 3 соответствует генерираванию НИП прибора «НГК-ВЕГА» функционирующего в режиме АБИЭ.

Анализ характера внешнего неэлектромагнитного влияния на рецептор со стороны генерирующего НИП прибора «НГК-ВЕГА» позволяет понять причины отсутствия его стабильной работы.

Используемый в качестве рецептора детектор радиоактивного излучения на основе счетчика Гейгера СИ-8Б характеризуется следующими контролируемыми параметрами, скоростью счета – соответствующей уровню радиоактивного излучения и определяемой на её основе относительной дисперсии. Эти параметры позволяют судить об интенсивности НИП и о знаке его внешнего влияния на рецептор.

Выше уже отмечалась способность разнообразных случайных процессов соответствующим образом реагировать на внешнее неэлектромагнитное воздействие, были даны типичные примеры реакции рецептора. Сейчас нам предстоит оценить внешнее неэлектромагнитное воздействие прибора «НГК-ВЕГА» на различных режимах, по участкам, относительно фоновых значений. Рисунок 3, таблица 1. Так, участок 2 демонстрирует реакцию рецептора на деструктурирующее вещество внешнее воздействие неэлектромагнитной природы, формируемое генератором НИП «НГК-ВЕГА», только такие процессы способны вызывать необходимые для функционирования режима АБИЭ изменения информационных свойств носителя заряда в электрической цепи генерирующего устройства. На этом участке обнаруживаем на фоне сокращения интенсивности процесса радиоактивного распада резкое увеличение относительной дисперсии контролируемого параметра, что является безусловным свидетельством роста энтропии рецептора. Это классическая реакция рецептора на предложенное деструктурирующее воздействие неэлектромагнитной природы. Далее, в произвольно выбранный момент времени работы генерирующего НИП прибора была переведена в режим АБИЭ. Реакция рецептора не заставила себя ждать, на участке 3, обнаруживаем сокращение относительной дисперсии, что свидетельствует о притоке в систему, генерирующую НИП в режиме АБИЭ, некоторого количества информации. Такая реакция может быть объяснена единственной причиной накопления электрической цепью возбуждения генератора «НГК-ВЕГА» неэлектромагнитной информации, являющейся неотъемлемой чертой его работы в этом режиме. Следует предположить, что этот структурообразующий процесс, формирующийся в электрической цепи генерирующего НИП прибора, должен приводить к неизбежному снижению величины информационных свойств носителей заряда и потери ими необходимой

физической активности. Эта ситуация является ключевой в цепи понимания сути происходящей в электрической цепи генерирующего НИП прибора информационных явлений в процессе функционирования в режиме АБИЭ. Общим результатом должно стать прекращение работы прибора в режиме АБИЭ, что мы и наблюдаем спустя некоторое время. Очевидно, чем интенсивнее процесс, требуемый для изменения информационных свойств носителя заряда, тем быстрее будет накапливаться в электрической цепи генерирующего прибора «паразитная» неэлектромагнитная информация. Данные зависимости были подтверждены экспериментально. Эту версию самопроизвольного прекращения режима АБИЭ красноречиво подтверждает участок 4, на нем видно присутствие значительного структурообразующего внешнего неэлектромагнитного воздействия. Процесс характеризуется резким увеличением радиоактивности с параллельным резким снижением относительной дисперсии контролируемого сигнала рецептора. Констатируем факт, непосредственно после самопроизвольного выхода генерирующего прибора из режима АБИЭ receptor демонстрирует присутствие в системе значительного количества информации неэлектромагнитной природы. Фактически участок 4 мы можем характеризовать как ждущий режим, необходимый для переизлучения накопившейся неэлектромагнитной информации в пространство.

Дальнейшее развитие эксперимента, участок 5, показывает самопроизвольное возобновление генерирования НИП в режиме АБИЭ, причиной которого является возвращение требуемой физической активности носителей заряда. Однако, запас физической активности носителей заряда был минимальным и самопроизвольное прекращение работы генерирующего прибора не заставило себя долго ждать, участок 6. Легко проследить на начальном этапе участка 6 повторение ситуации с участком 4, аналогичное увеличение радиоактивности с параллельным снижением относительной дисперсии – следствие присутствия излишков накопившейся неэлектромагнитной информации, которая в данной ситуации заглушает процесс образования носителей заряда с требуемой величиной физической активности. Фактически участок 4 и начало 6-го участка полностью соответствуют процессу, представленному на рисунке 1, подобные аналогии позволяют выработать общие критерии в оценках неэлектромагнитного информационного воздействия на вещество рецептора и соответствующим образом использовать в реальной инженерной практике.

Многочисленные эксперименты утверждают о необходимости принудительного отвода из электрической цепи генерирующего НИП прибора, функционирующего в режиме АБИЭ, накапливающейся в ней структурной неэлектромагнитной информации. Технология подобного отвода из цепи «паразитной» неэлектромагнитной информации сводится к реализации процесса двойного генерирования. Данная технология предусматривает одновременное использование двух независимых генерирующих НИП приборов, один из которых генерирует деструктурирующий режим, производящий условия для образования требуемых свойств носителей заряда, столь необходимых для поддержания режима АБИЭ, а другой излучает в пространство образующиеся в процессе его работы «паразитные» неэлектромагнитные излишки.

В настоящее время в нашей лаборатории проходит тестирование АБИЭ с малой мощностью вырабатываемой электроэнергии. Потребление генератора НИП функционирующего в режиме АБИЭ составляет порядка 150 микроампер, определить же вырабатываемую прибором мощность сложно, учитывая вышеописанные проблемы с детектированием подобного процесса, однако, оценивая скорость зарядки питающей аккумуляторной батареи, её можно определить приблизительно около 500 миллиампер. Более интенсивные процессы, призванные производить большие вырабатываемые мощности, в настоящее время сталкиваются с рядом технологических сложностей выражющихся в отсутствии стабильной синхронной работы системы двойного неэлектромагнитного генерирования, здесь ещё предстоят исследования...

Исследование информационных свойств электричества расширяет перечень феноменологических эффектов, позволяющих на их основе разрабатывать недоступные

ранее технологии в разнообразных сферах инженерной деятельности, от передачи неэлектромагнитной информации в пространстве, до принципиально новых источников энергии. В настоящее время невозможно даже представить имеющиеся на этом пути сложности. Однако, не следует считать, что исследователь данной проблемы представляет из себя беспомощного путника, окончательно заблудившегося в бесчисленном количестве необъяснимых фактов и экспериментально неподтверждённых теорий. Нет, сложность проблемы не означает нашу беспомощность перед ней. Отсутствие теоретического понимания не является приговором в общенаучном непризнании экспериментальных работ в названной области.

Литература

1. Каравайкин А.В. Обнаружение и исследование информационных свойств электрического тока. // Материалы Ш-й Международной научно-практической конференции. «Торсионные поля и информационные взаимодействия». Москва. 15-16 сентября 2012 г. С. 65-73. <http://second-physics.ru/moscow2012/moscow2012.pdf>
2. С. Кернбах, А. Каравайкин. Использование глобальных телекоммуникационных сетей для передачи неэлектромагнитного воздействия. Журнал Формирующихся Направлений Науки, 8 (3):43-55, 2015. <http://www.unconv-science.org/n8/>
3. Каравайкин А.В. Некоторые вопросы неэлектромагнитной кибернетики. М.: Наука, 2005, 288 с.
4. Каравайкин А.В. Обнаруженные эффекты интенсивного неэлектромагнитного воздействия на случайный процесс радиоактивного распада. Материалы IV-й международной научно-практической конференции «Торсионные поля и информационные взаимодействия». 2014г. С. 198-208
5. Каравайкин А.В. Закономерности статистического анализа данных регистрации интенсивности процесса радиоактивного распада, подверженного внешнему воздействию неэлектромагнитной природы. Материалы IV-й международной научно-практической конференции «Торсионные поля и информационные взаимодействия». 2014 г. С. 209-223

ABOUT THE APPEARANCE OF AN ADDITIONAL ELECTROMOTIVE FORCE IN ELECTRIC DEVICES GENERATING NON-ELECTROMAGNETIC INFORMATION PROCESSES

Alexander Karavaykin

“VEGA” Laboratory of Non-electromagnetic Cybernetics

karavaykin@mail.ru

The report presents the results of research aimed at creating conditions for the formation of additional electromotive force in electric devices generating non-electromagnetic information processes.

ОТ ЧЕГО И КАК ЗАВИСИТ СРЕДНЯЯ СКОРОСТЬ ДОСТИЖЕНИЯ КОНТАКТА
ИЗМЕРИТЕЛЬНОГО КОМПЛЕКСА GRG-01M1 С РАЗНОУДАЛЁННЫМИ ОБЪЕКТАМИ
ПРИ РАБОТЕ ЧЕРЕЗ ИХ ЭЛЕКТРОННЫЕ ИЗОБРАЖЕНИЯ

В.Т. Шкаторов

Частная лаборатория GRG, Томск

leo_1@inbox.ru

В работе получен предварительный ответ на важный вопрос, каков порядок средней скорости информационного «освоения» пространства, отделяющего сам объект от его изображения, при работе оператора с тонко полевым (ТП) измерительным комплексом GRG-001M1 и в каких пределах эта скорость может варьироваться. Выяснилось, что величина скорости «освоения» определяется, при прочих равных, не только свойствами среды, заполняющей исследуемое пространство, но и темпом съёма информации измерителем GRG-001M1, а также, предположительно, активностью оператора. Такие ответы удалось получить при работе с весьма удалёнными космическими телами: Луной, Марсом, спутниками Юпитера и системой Плутона. Оказалось также, что искомая средняя скорость «освоения» пространства на больших удалениях связана с расстоянием между измерителем и объектом как $V \sim \sqrt{S}$. Изображения требуемых объектов получены из архивов NASA. В других, более ранних, экспериментах оценивалась та же характеристика, но при существенно меньших расстояниях и большей плотности разделяющей среды.

Введение. Средой тонко полевых (ТП) взаимодействий является Физический Вакуум (ФВ, старое название - эфир), который в чистом виде характеризуется известными параметрами: электрическая постоянная $\epsilon_0 = 8,854 \cdot 10^{-12} \text{ Ф/м}$, магнитная постоянная $\mu_0 = 1,26 \cdot 10^{-6} \text{ Гн/м}$ и гравитационная постоянная $Y_0 = 6,674 \cdot 10^{-11} \text{ Н} \cdot \text{м}^2 \cdot \text{кг}^{-2}$. Энциклопедия «Физика». Репринтное издание «Физического энциклопедического словаря» 1983 года. Большая российская энциклопедия, М., 2003 г. [1]. Эти константы определяют силовые электромагнитные и гравитационные взаимодействия в рамках традиционной физики. Для такого типа взаимодействий предельная скорость распространения возмущений не превышает скорости света в вакууме $C = 1/\sqrt{\mu_0 \epsilon_0}$, конкретно $299792,458 \text{ км/сек}$.

Тонко полевые (ТП) взаимодействия, по крайней мере, в дальней зоне исследуемых объектов, не являются энергетическими, а, скорее, проявляют себя как информационные. Для таких взаимодействий скорость распространения возмущения напрямую не привязана к скорости света С. Она, в зависимости от условий, может быть как существенно ниже, так и выше общепринятой предельной скорости.

В науке ведётся непрерывный поиск адекватных механизмов распространения информационных возмущений в среде ФВ. Например, это следует из работы Я.П. Терлецкого [2], привлекшего для этой цели идею Оливера Хэвисайда об аналогии электромагнитных и гравитационных процессов, представленную последним в 1893 году в виде системы уравнений, подобных по форме основным уравнениям Maxwella [3], но с другими обозначениями рабочих величин.

К сожалению, для практических расчётов в рамках этих представлений не обойтись без конкретных значений эффективной плотности и упругости ФВ.

В работе Ф.Ф. Горбацевича «Эфирная среда и универсум», С-Петербург: Изд-во «АЛЬФА ШТАМП», 2004, гл.6, [4], эквивалентная плотность δ для ФВ приравнивается к константе $\mu_0 = 1,26 \cdot 10^{-6} \text{ кг} \cdot \text{м} / \text{с}^2 \cdot \text{А}^2$, а эквивалентная упругость K , соответственно, к величине $4/\epsilon_0 = 4,51763 \cdot 10^{11} \text{ кг} \cdot \text{м}^3 / \text{с}^4 \cdot \text{А}^2$, всё это в единицах СИ.

Тогда, в рамках используемой Ф.Ф. Горбацевичем механической аналогии, по известной формуле для скорости распространения механических продольных возмущений в «твёрдой» и «упругой» среде, $V = \sqrt{K}/\delta$, имеем $V = 598783820 \text{ м/с}$, что точно вдвое превышает справочное значение С. Хотя это и очевидно из-за наличия множителя 4 в выражении для K.

Вряд ли упомянутая красавая, но грубая аналогия вполне пригодна для описания транспорта информационных возмущений в ФВ, поскольку в этом случае речь не идёт о передаче энергии. Да и рассчитывать на наличие безусловных «констант» при информационном «освоении» пространства вряд ли приходится.

Следует указать и на другие подходы к оценке плотности ФВ, необходимой, наряду с его упругостью, для расчёта скорости распространения, так называемых, гравитационно-спиновых возмущений. В работе Д.И.Менделеева [5] из «барометрических» соображений, а также из логики построения своей ПС (Периодической Системы) приводится оценка атомного веса эфирной среды по отношению к водороду в диапазоне величин между 0,00000096 и 0,000000000053. При этом автор явно склонялся к параметру на уровне Е-6.

В работе [6] из «кинематических» соображений сделаны оценки плотности ФВ - не менее $3,7 \cdot 10^{-3}$ кг/м³, сдвиговой вязкости $2 \cdot 10^{-7}$ м²/с и внутреннего давления $3,4 \cdot 10^{13}$ Па.

Указанные теоретические оценки, к сожалению, дают слишком большой разброс величины искомой скорости. Поэтому крайне необходимо проведение сбалансированных экспериментов, адекватных поставленной задаче.

В Материалах III Международной научно-практической конференции «Горсионные поля и информационные взаимодействия», Москва, 15-16 сентября 2012 года, [7], опубликован доклад автора «О вероятном обнаружении осевых и радиальных тонко полевых (ТП) пространственных доменов при вращении источника излучения». В этой работе в качестве основного измерительного средства использовался измеритель-торсимер GRG-001, а также устройства для вращения источников ТП-излучения со скоростями от 6,7 до 15000 об/мин. В работе получены неординарные результаты о «прохождении» ТП-сигнала через некоторые плотные среды в виде листового материала разной толщины. На основе этого, с учётом правил размерности, была «сконструирована» формула взаимодействия измерительного комплекса GRG-001 + ПК с предлагаемыми средами, она выглядит так:

$D = f/\rho\alpha\omega$, где D- длина домена вращения, м;

ρ - плотность среды, кг/м³;

α - темп измерения, 1/с;

ω - темп вращения, 1/с;

f - «объёмная» плотность силы, кг/(м³·с)².

В этой формуле впервые продемонстрирована реальность «активного начала» в процессе измерения в виде произведения $\alpha\omega$. Т.е. темп «освоения» пространства измерительным средством зависит от объединения темпа вращения объекта с темпом считывания данных об этом вращении в управляющем ПК.

На основании этих, на первый взгляд, странных результатов, а также некоторых других, например, в «Письме коллегам от 09.03.10», [8] и в «Предварительном отчёте авторов В.Т.Шкатов и В.Замши. О предпосылках к проведению работ по измерению тонко полевого соответствия неоднородных объектов, имеющих скрытую общую платформу», [9], можно констатировать регистрацию *нижней границы приборной скорости первого «освоения» пространства на уровне всего 1-10 мм/сек*. Поистине, черепашья скорость.

Постановка задачи. Постановка задачи сводится к оптимизации рабочей области пространства, в которой можно ожидать существование контролируемого ТП взаимодействия объектов с измерителем GRG-01M1. Так как в задачу входит «расщепление» во времени откликов измерителя на изображение объекта и на сам объект, то, с учётом высокой скорости «освоения» в свободном от вещества Физическом Вакууме, приходится использовать весьма удалённые объекты из тех, для которых имеются чёткие электронные изображения. В нашем случае выбраны следующие космические тела в порядке возрастания расстояния до исследуемого объекта: Луна, Марс, спутники Юпитера Гарпаликс и Амальтея, а также планетоид Плутон и его спутник Харон. Максимальное перекрываемое расстояние до 7 млрд. км.

Аппаратура. На рис. 1 показан измеритель тонких (торсионных) полей GRG-01 в редакции 2010 года. Прибор в таком исполнении успешно эксплуатировался вплоть до 2014 года.



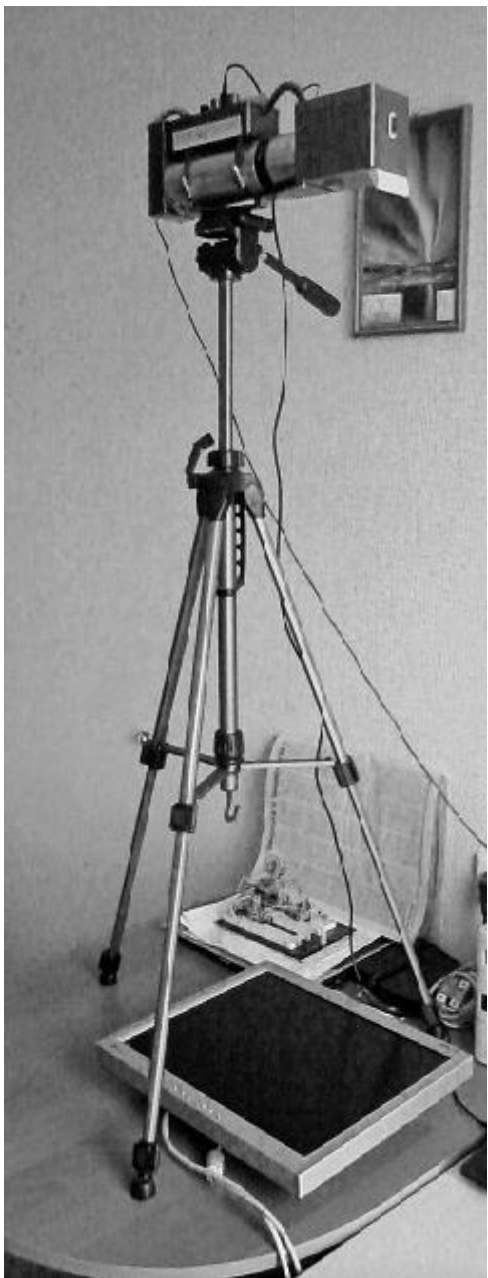
Рис. 1. Торсимер GRG-01 в базовой комплектации 2010 года.

На рис. 2 представлен его доработанный вариант GRG-01M1. Модификация коснулась системы внутреннего сглаживания сигнала посредством управляемого фильтра, добавления блока сканирования лазерного луча, а также блока «шумового» воздействия на объект и фокусирующей оптики.

Торсимер GRG-01 в редакции 2010 года разработан на основе ранее существовавших образцов стационарных измерителей тонких полей SADAF-08LC и AUREOLE-001. По сравнению с указанными приборами измеритель GRG-01 может эксплуатироваться в мобильном варианте с ресурсом внутреннего электропитания 9 часов. Прибор имеет два встроенных лазерных зонда, при этом только один взаимодействует с объектом. Второй лазерный зонд обращён внутрь Прибора и является опорным. Благодаря эффективной системе стабилизации средней частоты твердотельного датчика новый измеритель не нуждается в термостате. Он построен на достаточно экономичных активных элементах, имеет встроенный усреднитель по 8-ми элементарным дифференциальным измерительным операциям, жидкокристаллический 6-позиционный индикатор величины и знака, чип-транслятор для связи с ПК через USB-разъём, а также аудио-разъём для аналогового контроля и Фурье-анализа. Частота коммутации лазеров 16 Гц, частота выдачи данных в ПК 2Гц. Для защиты датчика и его электронной обвязки от боковых торсионных неоднородностей они размещены внутри металлического термоса, представляющего собой экранно-вакуумную торсионную изоляцию.

Кроме модернизированного измерителя GRG-01M1 в систему входил ПК на основе ноутбука Lenovo B590, на экран которого выводилась программа управления комплексом, разработанная П.В.Шкатовым. На нём же производилась вся последующая обработка результатов измерения. Работа производилась утром каждого дня в интервале 06:00-07:00 местного времени (московское время +3 часа). Настенное изображение Луны не использовалось. Изображение выбранных объектов выводилось на вспомогательный экран FLATRON L1810B.

Методика измерений. Методика измерения удалённого объекта по его изображению из архива NASA производилась обычным образом, за исключением того, что измерению подлежали три разных ракурса каждого объекта без существенной паузы между ними. Было замечено, что в какой-то момент времени (точнее, на каком-то номере отсчёта) происходит



характерное изменение кривой темповой развёртки – она резко уходила вниз, в отрицательную полуплоскость.

Каждый ракурс объекта измерялся с двумя фоновыми регистрациями для вычета их из объектовой регистрации. Затем вычеты по каждому ракурсу сшивались в одну темпо-временную линейку утроенной длины.

По этой линейке находилась генеральная задержка спада кривой в секундах от эффективного начала развёртки (причём, первые 6-7 отсчётов отбрасывались), рис. 3. Разъяснения по этому примечанию смотри ниже.

Отмечено, что сложность информационного отклика торсимера GRG-01M1 возрастает с увеличением расстояния до объекта. С другой стороны, в области относительно малых расстояний, например, на дистанциях Земля-Луна, Земля-Венера и т.п. появляются проблемы, связанные с глубокой модуляцией расстояния из-за сложного взаимного движения объектов.

Рис. 2. Модернизированный измеритель GRG-01M1 на фотоштативе Rekam RT-M42 с монитором типа FLATRON L1810B.

Рис. 3. К методике исследования распределения скоростей «освоения» в функции расстояния до объектов. Сквозная кривая по 3-м ракурсам на Марсе.

Из рисунка 3 виден резкий спад на 21 секунде (отсчёт № 85) от начала регистрации или на 19 секунде чистого времени. Все параметры измерений указаны внутри рисунка. Уже отмечалось выше, что при измерении каждого нового объекта первые 6-7 отсчётов входят в «мёртвую» зону и должны отбрасываться. Механизм этой зоны достоверно неизвестен. Можно предположить, что указанная «мёртвая» зона размером 6-7 отсчётов, сохраняющаяся при разном темпе сканирования, необходима ТП-комплексу GRG-01M1 для «уравновешивания» работы своих компонентов.



Выбор объектов исследования. Так как поверхность самого Юпитера, газового гиганта, не является вполне пригодной по чёткости изображения, то работа комплекса GRG-01M1 проходила по его спутникам. Из подобных соображений была выведена из списка пригодных объектов и Венера, постоянно закрытая плотной

атмосферой. На рис. 4 показан один из результатов, также поясняющий методику исследования.

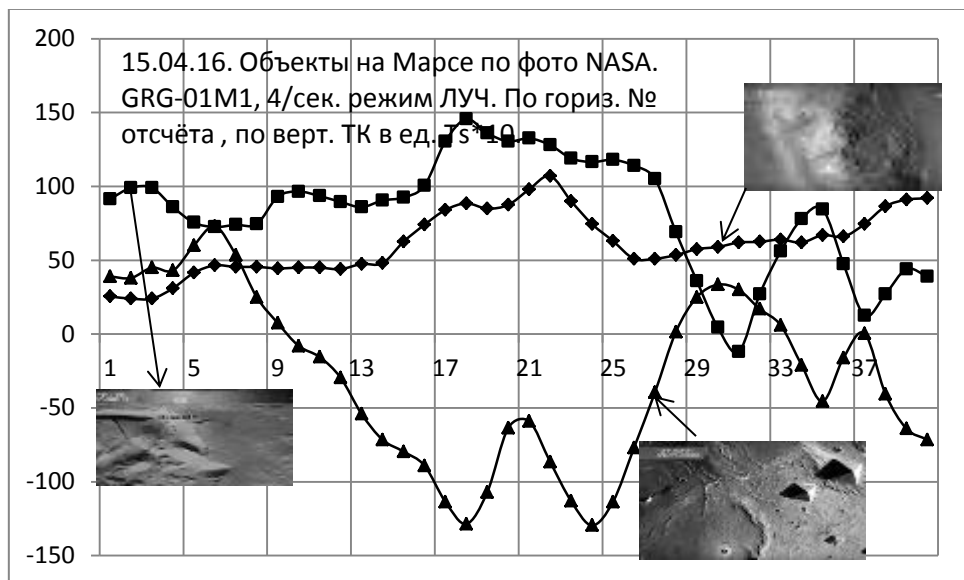


Рис. 4. К методике исследования распределения скоростей в функции расстояния. Работа по трём фрагментам Марса в отдельности. 1 проход – средняя кривая, 2 проход - верхняя кривая, 3 проход – нижняя кривая.

Из рисунков 3 и 4 видно, что глубоко в отрицательную область величин опустилась реакция измерительной системы именно на третьем фрагменте с пирамидами. Это, по предположению автора, соответствует достижению торсионным зондом самой поверхности Марса. А до этого взаимодействие измерителя GRG-01M1 производилось лишь с изображением Марса (в начале темповой развёртки) и с пространством, разделяющим Землю и Марс.

Эксперименты с планетой Марс явились пристрелочными. Они и определили дальнейший ход событий.

Основные результаты. Ниже, на рис. 5-9 приведены графики сквозного сканирования расстояний до выбранных основных целей: Луны, Марса, спутников Юпитера и системы Плутона. На рис. 10 приведён аналогичный график для «заштатной» цели – Венеры без оценки задержки на распространение поискового сигнала и определения соответствующей скорости «освоения».

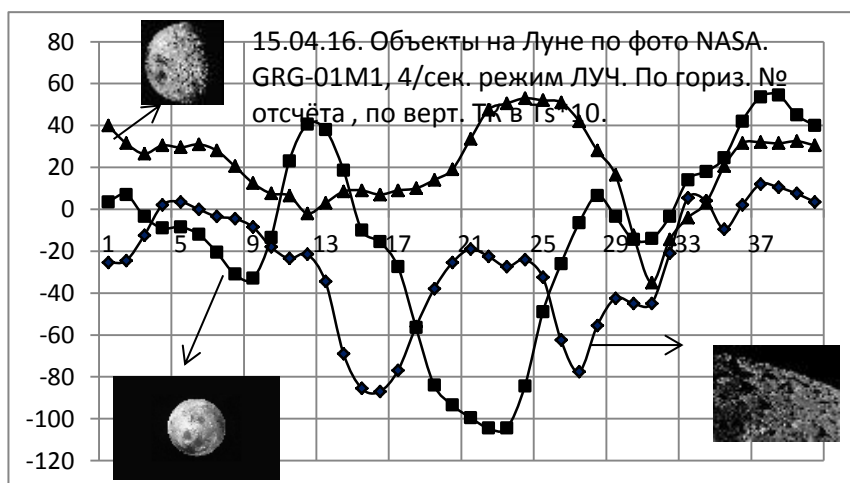


Рис. 5. Работа по фрагментам Луны. Первый свал в отрицательную область на 12 отсчёте первого фрагмента (справа внизу). Если вычесть «мёртвую зону» в 7 отсчётов, то останется 5 отсчётов, что с учётом темпа 4 отсчёта в секунду даёт 1,25 сек. Округляя до целых, получаем задержку до Луны 1 сек.

По горизонтальной оси № отсчёта, по вертикальной оси торсионный контраст ТК в $Ts^{*}10$.

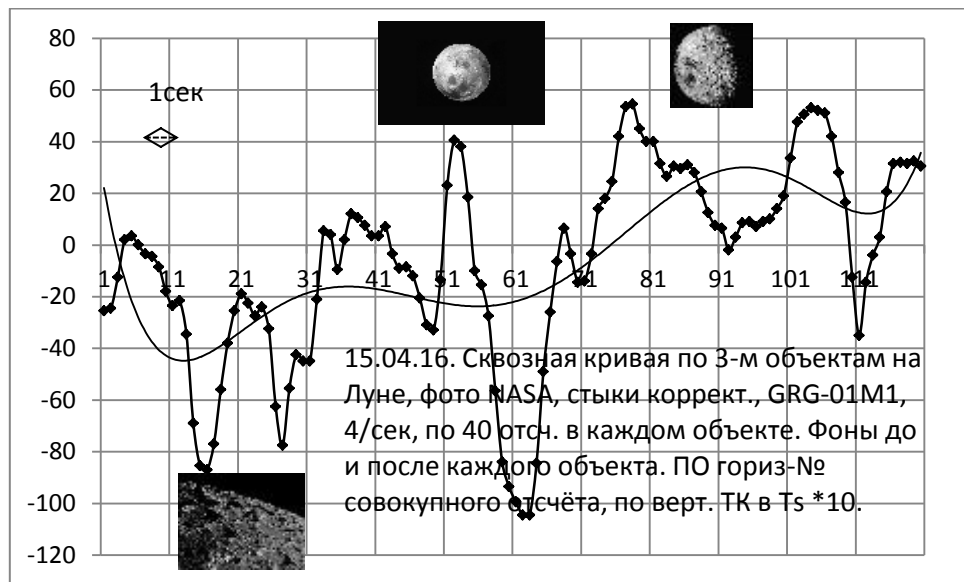


Рис. 6. Сквозная развёртка по всем трём фрагментам Луны. Видны повторы ситуации и более детальный анализ объекта Луна. Тонкая линия – полиноминальный тренд. По горизонтальной оси № отсчёта, по вертикальной оси ТК в Ts^*10 .

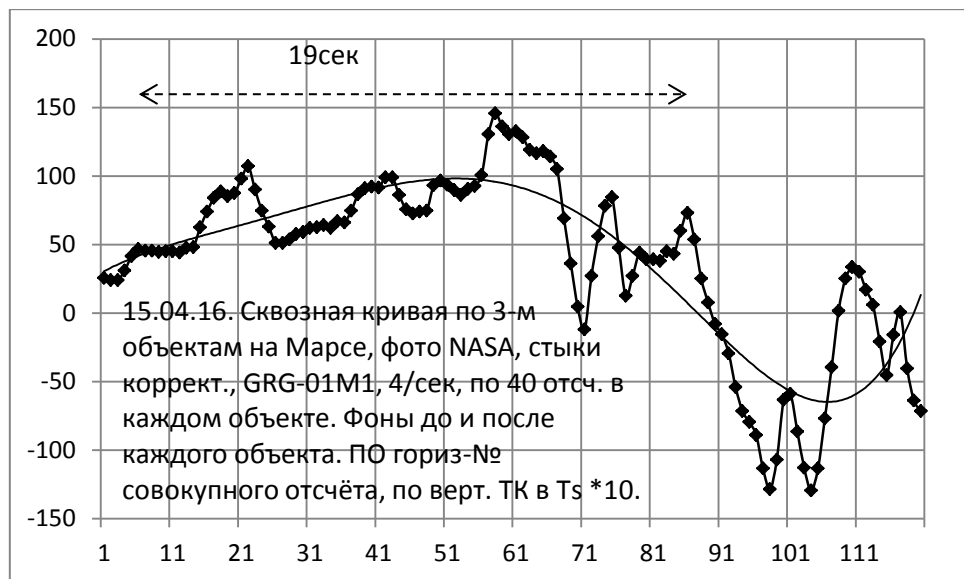


Рис. 7. Сканирование расстояния до Марса. Тонкая линия – полиноминальный тренд. По осям соответственно, № отсчёта и ТК в Ts^*10 .



Рис. 8. Сквозная развёртка для трёх спутников Юпитера. По горизонтальной оси - № отсчёта, по вертикальной оси ТК в $Ts \cdot 10$. Точки на кривой убраны, чтобы избежать нагромождения.



Рис. 9. Сквозная развёртка расстояния до системы Плутона. По горизонтальной оси - № отсчёта, по вертикальной оси ТК в $Ts \cdot 10$. Точки на кривой убраны, чтобы избежать нагромождения.

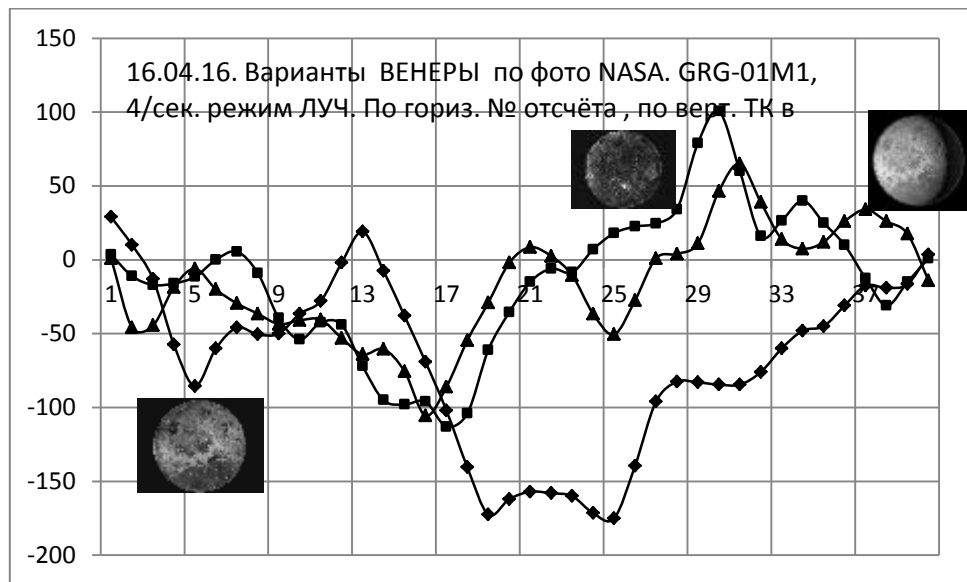


Рис. 10. Фрагменты сканирования для Венеры. Задержку распространения численно оценить можно, но скорость «освоения» определить затруднительно из-за неопределенности в расстоянии. По горизонтальной оси графиков - № отсчёта, по вертикальной оси – ТК в Ts^*10 .

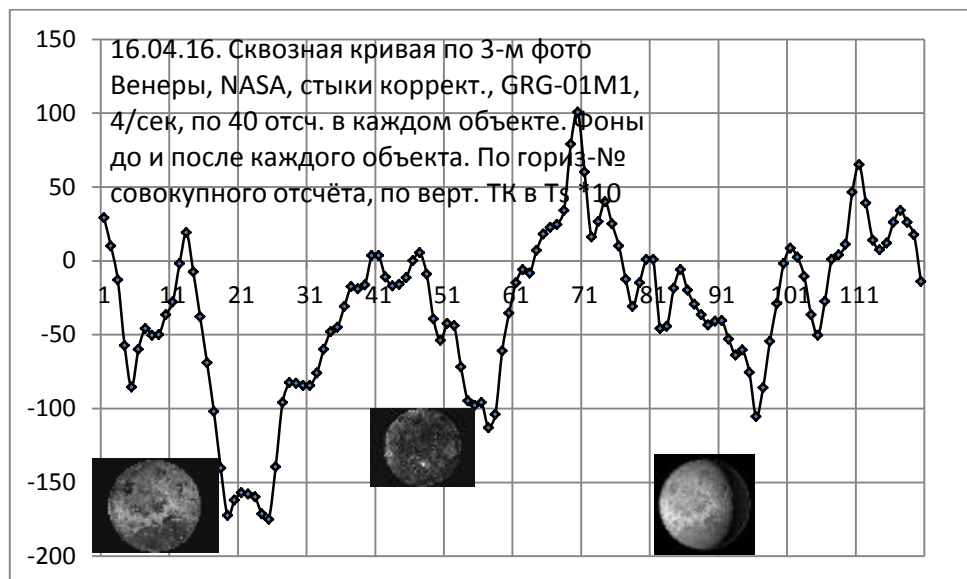


Рис. 11. Сквозная развёртка расстояния до Венеры. По горизонтальной оси - № отсчёта, по вертикальной оси ТК в Ts^*10 .

Данные по исследуемым объектам и результатам измерения сведены в табл.1.

Табл.1.

| Объект | Расстоян. | Log S/S0 | № отсч. | Время | Скорость | Log V/V0 |
|--------|--------------|----------|---------|-------|---------------|----------|
| Луна | 0,4 млн км | 5,6 | 4 | 1 | $0,4*E6$ | 5,6 |
| Марс | 102 млн км | 8 | 76 | 19 | $(10-30)E6$ | ср.7,3 |
| Юпитер | 778 млн км | 8,9 | 168 | 42 | $(35-39)E6$ | ср.7,6 |
| Плутон | $4,4-7,4*E9$ | 9,6-9,7 | 348 | 87 | $(50-85)E6$ | ср.7,8 |
| Прим-я | В млн. км | | | | В млн.км/сек. | |

Для наглядности они представлены и в графическом варианте, рис. 12 и 13.

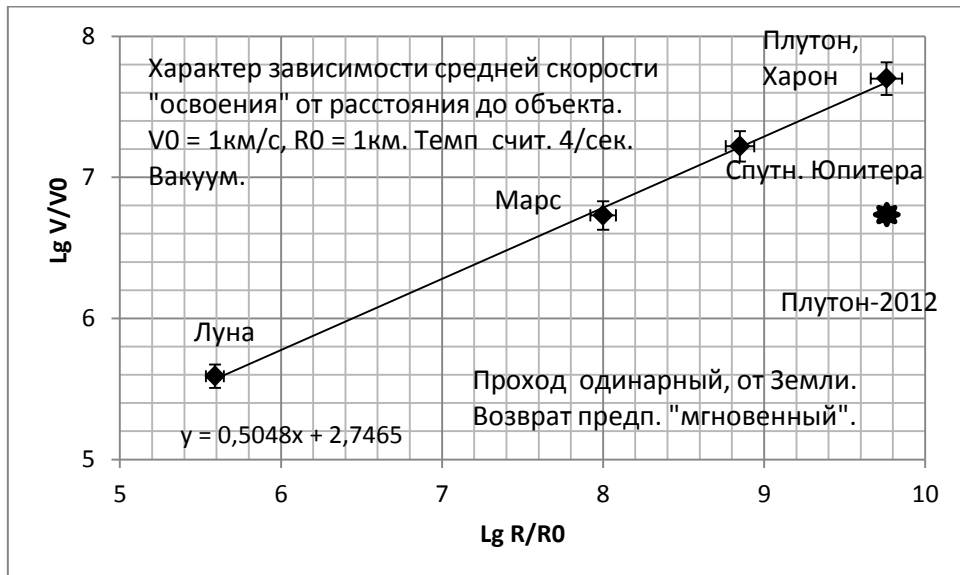


Рис. 12. Зависимость средней скорости «освоения» пространства удалённых объектов комплексом GRG-01M1. График построен в двойных логарифмических координатах. Погрешность точек по обоим координатам показана на рисунке.

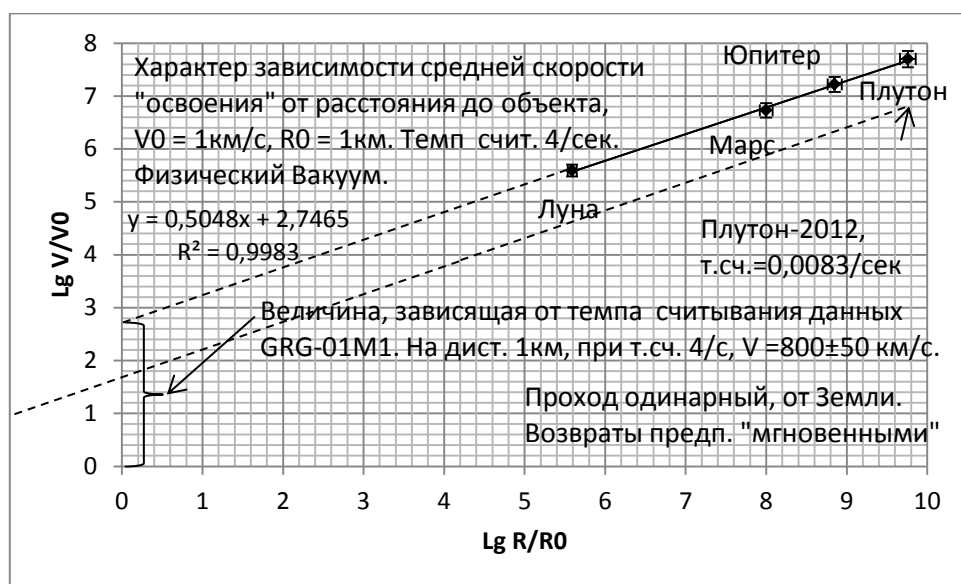


Рис. 13. Та же зависимость средней скорости «освоения» пространства удалённых объектов комплексом GRG-01M1. Построено в двойных лог. координатах. Погрешности по обоим координатам показаны на рисунке. График дополнен расчётной кривой для другой скорости считывания.

Обсуждение результатов. Самым интересным и неожиданным результатом работы является общий вид зависимости средней скорости «освоения» пространства комплексом «Измеритель – Оператор – Объект измерения», в целом приближающийся к $V \sim \sqrt{S}$, анонсируемому в начале текста. Из механики движения тел с постоянным ускорением под действием силы имеем похожую зависимость скорости от расстояния

$$V = (F/m)^{0,5} S^{0,5}; \quad (1)$$

где V , F , m , и S соответственно: скорость, сила, масса тела и пройденный путь.

Если принцип подобия справедлив для нашего случая, то можно предположить, что в информационном варианте роль разгонного фактора выполняет «нечто» с размерностью $1/\text{сек}^2$.

Такую размерность можно собрать из произведения двух компонентов: f_1 и f_2 , – соответственно, частоты циклирования приборной составляющей комплекса GRG-01M1 (для данного эксперимента 4 сек^{-1}) и частоты «циклирования» сердца оператора (для данного эксперимента порядка $1-1,2 \text{ сек}^{-1}$). В работе [7] функцию f_2 выполнял привод вращающегося диска от HD.

Попытка включения одного из параметров оператора в функционирование достаточно деликатного измерительного комплекса, на взгляд автора, является оправданной, т.к. влияние живого компонента на результаты измерения в среде тонких взаимодействий отмечается многими внимательными исследователями. Здесь важно установить, через какой конкретный параметр оператора такое влияние может оказываться.

Однако, было бы интересно сконструировать более полную математическую зависимость для величин V и S нашего эксперимента, с учётом данных, полученных в 2012 году с помощью другой аппаратуры (AUREOLE-001M1) по объекту Плутон. Для этого придётся задействовать ещё один технический параметр используемых комплексов, а именно стартовый размер оборудования с расширением до размера здания, в котором оно установлено. Такое расширение оправдывается тем, что в отсутствии поставленной оператором задачи система самостоятельно обследует доступный ей объём, ограниченный данным сооружением, не выходя за его пределы [10].

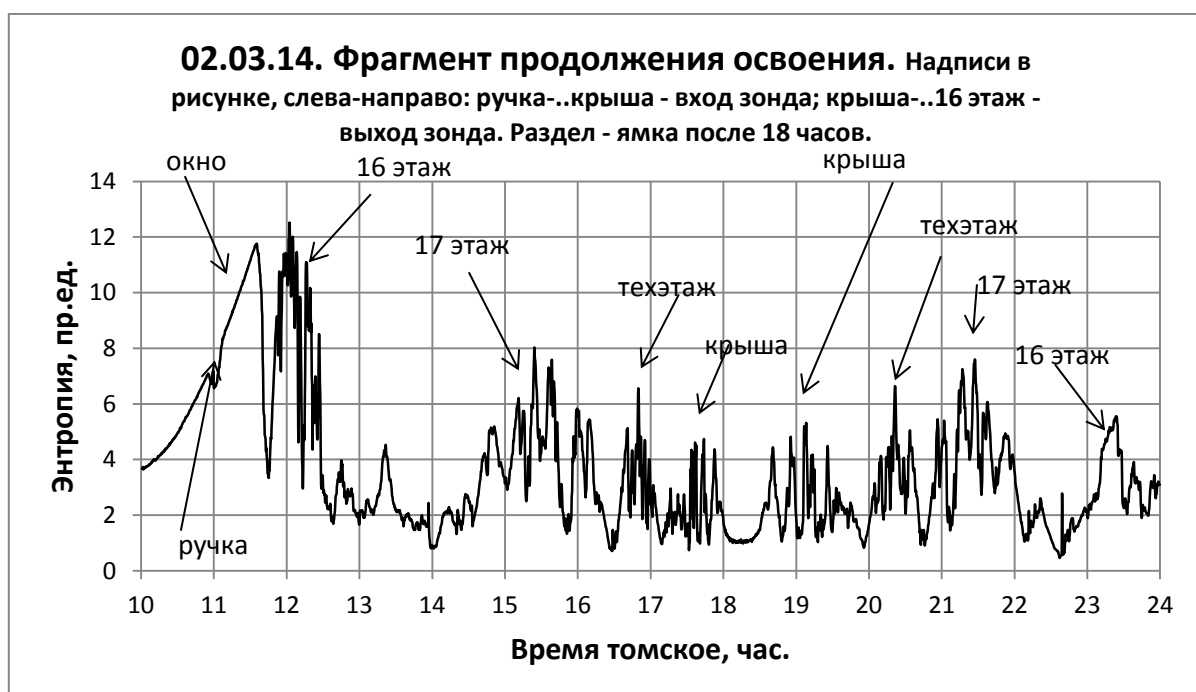


Рис. 14. Работа комплекса «Ореол» при «освоении» места его установки в новом районе Томска «Зелёные горки» в 2012 году. Измерительный комплекс находился в квартире на 16 этаже 17-ти этажного дома. На каждом этаже расположены 8 квартир (4 двухкомнатных и 4 однокомнатных).

При старте новой динамической задачи комплексы GRG-01M1 и AUREOLE-001M1 начинают «освоение» пространства S , начиная с ранее освоенного размера $S_{\text{нач}}$. С учётом этого искомая формула может приобрести следующий вид:

$$V = K * f_1^{0,5} * f_2^{0,5} * S^{0,5} * S_{\text{нач}}^{0,5}, \quad (2)$$

где K – безразмерный коэффициент, его значение находится из графика рис. 13, при продолжении его до пересечения с осью ординат, а также при введении конкретных значений опорных величин: $f_1 = 4 \text{ Гц}$, $f_2 = 1 \text{ Гц}$, $V_0 = 500 \text{ км/сек}$, $S_0 = 1 \text{ км}$, $S_{\text{нач}} = 0,1 \text{ км}$ и использовании соотношения (2), переписанного относительно K . С некоторым допустимым округлением в третьем знаке $K = 800$.

Эксперимент с Плутоном 2012 года делался с помощью комплекса AUREOLE-001M1 при $f_1 = 0,0083$ Гц (1 выборка в 120 секунд). Соответствующая этому объекту точка уходит с генеральной прямой для $f_1 = 4/\text{сек}$, но примерно соответствует выражению (2) с учётом изменения частоты.

Полученный в этой работе результат и его аналитическая аппроксимация соответствует здравому смыслу. Не получается обнуления скоростей при уменьшении пространственного масштаба, равно как и устремления в «дурную» бесконечность при его увеличении. Достигнуто также уверенное расщепление откликов от фотопосредника объекта и самого объекта. В результате, на уровне дистанций, приближающихся к полуразмеру Солнечной Системы, с помощью относительно простых аппаратных средств и операторских возможностей получен интересный результат, вполне пригодный для обсуждения и конструктивной критики.

Выводы

1. Продолжены работы по установлению скорости информационного «освоения» пространства удалённых объектов (в пределах Солнечной Системы) приборно-операторными средствами. Ранее подобные эксперименты делались в пределах ближней объектовой зоны. Итоговый общий диапазон скоростей «освоения» ($10^6 - 80*10^6$) км/сек.
2. Выяснено, что средняя скорость первого информационного «освоения» удалённого объекта связана с расстоянием до него, как $V \sim \sqrt{S}$. При повторных проходах данной дистанции, либо возвратах в исходную конфигурацию, эта скорость резко возрастает до неопределённо больших величин.
3. Найдено предварительное аппроксимирующее выражение для искомой скорости «освоения» удалённых объектов: $V = K * f_1^{0,5} * f_2^{0,5} * S^{0,5} * S_{\text{нач}}^{0,5}$. При данных условиях эксперимента К примерно равен 800.
4. Получена удовлетворительная сходимость результатов, добытых с помощью двух неидентичных измерительных средств, по отношению к системе Земля-Плутон.
5. Впервые предложен вариант учёта влияния внутреннего «циклизования» оператора на скорость «освоения» пространства.

Литература

1. Энциклопедия «Физика». Репринтное издание «Физического энциклопедического словаря» 1983 года. Большая российская энциклопедия, М., 2003 г.
2. Я.П.Терлецкий. Передача информации полями или частицами отрицательной энергии. Проблемы квантовой и статистической физики. М., Изд-во РУДН, 1994, 94 стр.
3. Единая теория электрических и магнитных явлений Максвелла. Электронный ресурс ens.tpu.ru/POSOBIE_FIS_KUSN/электромагнетизм/07-3.htm.
4. Ф.Ф.Горбацевич. «Эфирная среда и универсум», С-Петербург: Изд-во "АЛЬФА ШТАМП", 2004, гл.6,
5. Д.И.Менделеев. Попытка химического понимания мирового эфира.- Санкт-Петербург, 1910, 54 стр.
6. В.В.Низотцев, В.Л.Бычков. Структурно-динамические параметры эфирной среды. Материалы 11-й Российской конференции по холодной трансмутации ядер химических элементов и шаровой молнии. Дагомыс, Сочи, 28 сентября - 5 октября 2003 г., Москва, 2004, стр.325-339.
7. В.Т.Шкатов. О вероятном обнаружении осевых и радиальных тонко полевых (ТП) пространственных доменов при вращении источника излучения». В мат-х III

Международной научно-практической конференции «Торсионные поля и информационные взаимодействия», Москва, 15-16 сентября 2012г, стр.132-138.

8. В.Т.Шкатов. Письмо коллегам по «Второй физике» от 09.03.10.
9. В.Т.Шкатов, В.Замша. О предпосылках к проведению работ по измерению тонко полевого соответствия неоднородных объектов, имеющих скрытую общую платформу. Готовится к публикации.

FOR WHAT REASONS AND HOW DEPENDS THE AVERAGE SPEED OF MEASURING
COMPLEX GRG-01M1 CONTACT ATTAINMENT WITH DIFFERENT REMOTE OBJECTS
WHILE WORKING THROUGH THEIR ELECTRONIC IMAGES

V.T. Shkatov, GRG, Tomsk

The article presents a preliminary response to the important question, what is the value of an average «mastering» speed of the space, separating the object from its image, when the operator works with thinly field measuring complex GRG-001M1 and what are the limits of speed varying. It was found out that the value of the «mastering» speed is determined, all things being equal, not only by the properties of the medium, filling the space considered, but also by the pace of reading information by using meter GRG-001M1 and also supposedly by the operator activity. Such responses were received when working with very remote cosmic bodies: the Moon, Mars, Jupiter's satellites and Pluto's system. It also turned out that the required average «mastering» speed of space at large distances is associated with the distance between the meter and the object as a $V \sim \sqrt{S}$. Images of the required objects were obtained from NASA archives. In other previous experiments was evaluated the same characteristic, but at much smaller distances and higher density of separation medium.

ВЛИЯНИЕ МОЛИТВ, ЦЕЛЕБНЫХ КАМНЕЙ И ПИРАМИД НА ВРАЩЕНИЕ ПОЛЯ, ЗАРЕГИСТРИРОВАННОЕ АППАРАТОМ SEVA-INTEGRAL-M-3 НАД ГОЛОВОЙ ЧЕЛОВЕКА.

С.М. Бланк¹, М.С. Кринкер², Н.В. Виртуозов³

¹⁾ Ноосферная духовно-экологическая Ассамблея Мира, Координатор, США.

²⁾ Physicist, Farmingdale College, State University of New York, USA

³⁾ Инженер, Ноосферная духовно-экологическая Ассамблея Мира, США.

blanksofiya684@gmail.com

sevatronics@gmail.com

pedasha@yahoo.com

Проведена серия экспериментов по влиянию молитв, целебных камней и пирамид на полевое вращение над головами участников эксперимента. Применялся широкополосный измеритель вращения электромагнитного поля SEVA-Integral-M-3. Датчик аппарата сканировал на расстоянии 70 мм над теменной чакрой. Установлено, что психофизические воздействия указанных видов приводят к изменению динамики поведения поля над головой человека, включая реверсирование направление вращения, в некоторых случаях. Вращение поля рассматривается в парадигме Полевого Гироскопа, ПГ, ввиду наличия реального углового момента и инерции у такого поля. Для сравнения, результаты сопоставлены с проводившимся ранее сканированием над вершиной небольшой фрактальной картонной пирамиды, где было отмечено сильное вращение поля и изменение его направления при прохождении датчика над её вершиной.

Фотодатчик аппарата зарегистрировал изменения светового потока над головами участников, не воспринимаемые невооруженным глазом. Похожий эффект был отмечен и для небольшой фрактальной картонной пирамиды. Возможной причиной является воздействие сопутствующего торсионного поля на систему датчик-фотон. Есть основание предполагать зависимость вариации регистрируемого светового потока от пола и возраста участников эксперимента, ввиду наблюдавшегося реверсирования эффекта, зависящее от этих факторов.

Центральным вопросом психофизики является природа физических носителей сознания. Гипотезы о спин/торсионном характере этого физического носителя и соответствующие эксперименты занимают достойное место в сфере интересов научного сообщества [1-12]. Полное перечисление литературных источников данного направления далеко выходило бы за формат данной статьи.

Спин/торсионная основа сознания является квантовой по своей сути. Существующие приборы для исследования этих явлений явно или неявно вовлекают концепции квантовой механики. При этом электромагнитно-электронная база большинства таких приборов позволяет говорить о том, что мы фактически измеряем электромагнитную тень/проекцию спин-торсионных полей на плоскость нашего инструментального восприятия.

Для объективной оценки изучаемых явлений необходимо измерять их физические величины, помня, что электромагнетизм неразрывно связан со спин-торсионной природой сознания.

Аппараты SEVA-Integral-M [13, 14, 15] измеряют удельную мощность интегрального локализованного электромагнитного вращения, полевого гироскопа, ПГ (SEVA= Spinning Electric Vector Analyzer).

Единицей измерения является Вт/м³. Измерение производится в широкой области частот, до 250 МГц. Фактически, аппараты этого типа измеряют энергетическое действие широкого спектра дискретных Полевых гироскопов, каждый из которых обладает своим угловым моментом, а весь спектр имеет широкий набор направления их векторов.

Основными выходными каналами прибора являются квазистационарное вращение, QSS, и нестационарное вращение, NSS, полевого гироскопа. Кроме того, прибор содержит фотометр на основе фотодиода.

Все выходные сигналы прибора записывались с помощью аналогово-цифрового преобразователя DATAQ DI-149 на компьютере.

На Рис. 1 показан прибор SEVA-Integral-M-3. На Рис. 2 показан график градуировки аппарата относительно единиц шкалы выходного аналогового прибора аппарата.



Рис. 1. SEVA-Integral-M-3.

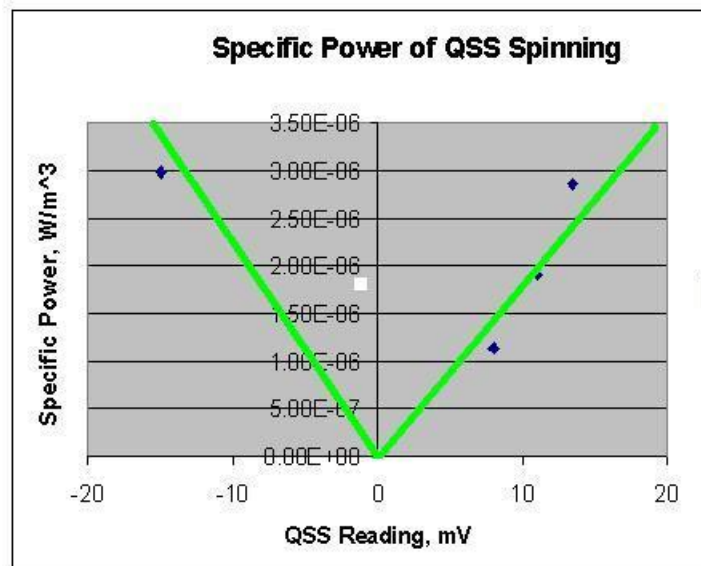


Рис. 2. Калибровка аппарата SEVA-Integral-M-3 для квазистационарного вращения ПГ на фиксированной частоте 100 кГц. Крутизна преобразования составляет $(1.5 \times 10^{-7} \text{ W/m}^3)/\text{mV}$ для положительных значений отсчёта и $(2.0 \times 10^{-7} \text{ W/m}^3)/\text{mV}$ для отрицательных значений отсчёта.

В ходе эксперимента оператор сканировал датчиком прибора над головой участников на расстоянии 7 см от темени. При этом размах сканирования охватывал расстояние между предплечьями человека.

В ходе экспериментов сначала записывалось положение вращательного фона в помещении, затем проводилось циклическое сканирование над головой человека, после его пребывания в расслабленном состоянии, отмечаемое индексом 0 на записи. Затем проводились чтения различных молитв, прикладывание целебных камней или пирамид, и проводились последующие записи во время этих процессов или после них, что отмечалось индексами, начиная с 1 и далее.

Результаты эксперимента

Как следует из результатов измерений, средний вращательный фон в помещении составлял порядка $7.5 \times 10^{-6} \text{ W/m}^3$ для QSS. Знак вращения зависит от системы отсчёта. Для

наблюдающего оператора фоновое вращение происходит против часовой стрелки, что диктуется условиями градуировки и полярностью сигнала на записи. С другой стороны, участники эксперимента сами являются источниками полей вращения и отсчёт направления будет происходить от них к датчику. Таким образом, при оценке направления вращения нельзя делать скоропалительных выводов и необходимо указывать источник вращения - окружающий фон или участник эксперимента. Записи показывают, что активация приводила к изменениям удельной мощности вращения в пределах от -20.0×10^{-6} W/m³ до $+20.0 \times 10^{-6}$ W/m³. Знак условен и показывает, что вращение поменяло направление!

На Рис. 3 показан фрагмент сканирования в некомпресированном виде. Горизонтальная чёрная линия соответствует нулевому уровню QSS вращения. Выше и ниже этой линии, квазистационарное вращение QSS изменяет направление. Датчик регистрирует изменение направления вращения ПГ по обе стороны от теменной чакры.

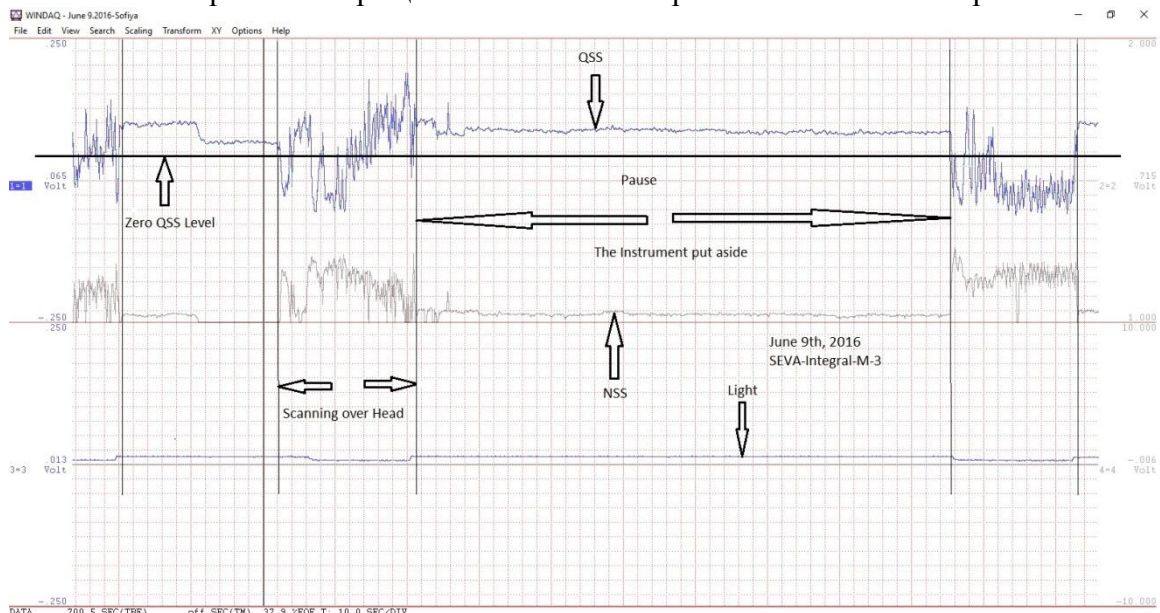


Рис. 3. Фрагмент полного сканирования (для пояснений). Сканирование показывает циклическое изменение направление вращения ПГ, при прохождении над теменной чакрой. Кроме того, базовое вращение над теменной чакрой постепенно изменяет направление в ходе воздействия активирующего фактора. После завершения очередного сканирования, прибор откладывается в сторону и показывает фоновое вращение в комнате. После паузы начинается новое сканирование, с другим воздействующим фактором. На крайнем правом фрагменте виден качественно отличный результат нового фактора.

Нестационарное вращение поля NSS характеризует хаотичность вращений полевого гироскопа. Уменьшение его уровня свидетельствует о большей упорядоченности вращения ПГ и одновременном сужении его спектра, приводящем к уменьшению числа комбинированных вращений.

Рис. 4 - 9 показывают компрессированную запись сканирований над участниками экспериментов. Значение индексов поясняются в комментариях к рисункам.

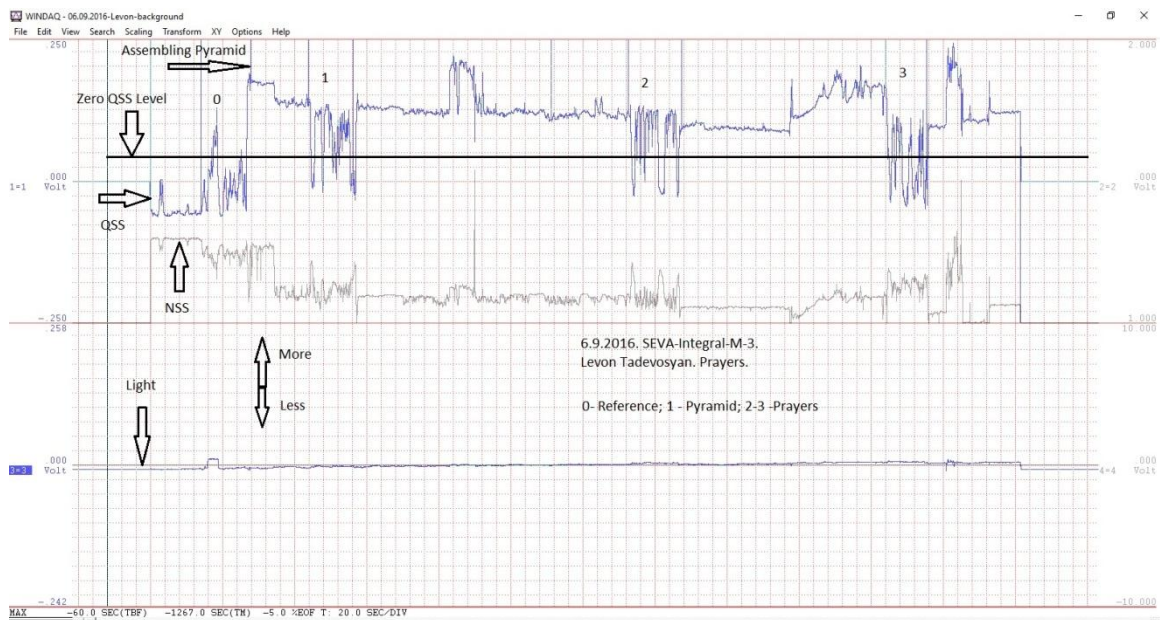


Рис. 4. Участник эксперимента Левон Тадевосян. После завершения исходного нулевого цикла над головой в расслабленном состоянии участник начал собирать небольшую картонную пирамиду. Прибор SEVA регистрирует повышение фонового уровня вращения. При этом фотометр показывает увеличение светового потока в течение 18 секунд. 1 -Пирамида приложена к телу, сканирование; 2, 3 - различные молитвы. При молитвах 2, 3 прибор фиксирует незначительное увеличение светового потока, нижняя кривая.

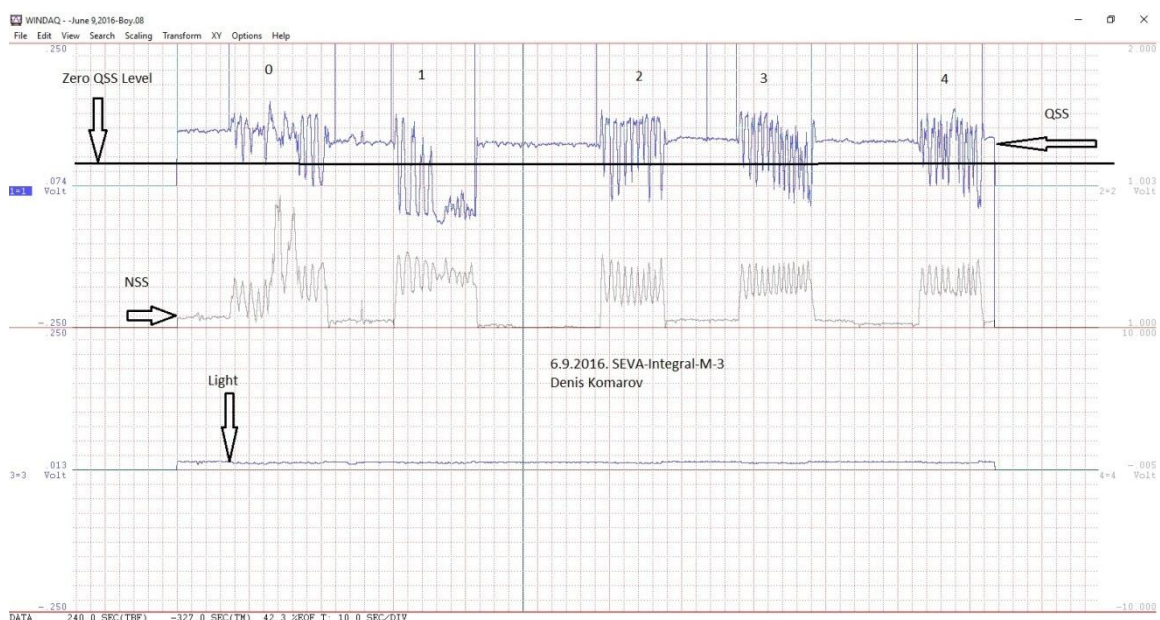


Рис. 5. Участник эксперимента Денис Комаров, мальчик 11 лет. После завершения исходного (0) сканирования в расслабленном состоянии: 1 - произносит молитву “*Отче Наш*”; 2 - молитва “*Шма Исраэль*”, 3 раза; 3 - произнёс утверждение “*Я есть Свет и Любовь, излучаемые Земле, Природе, Человечеству и Космосу*,” 3 раза; 4 - Три участника эксперимента мысленно произнесли молитву о Денисе.

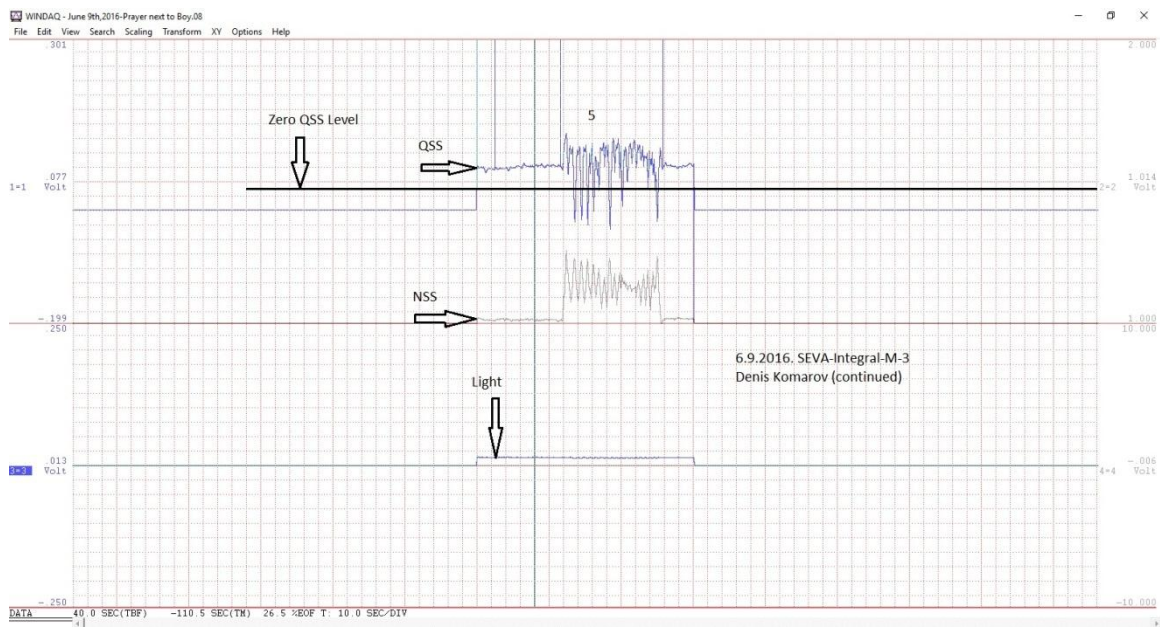


Рис. 6. Участник эксперимента Денис Комаров, мальчик 11 лет. Продолжение. Наблюдаются слабые осцилляции светового потока при молитве.

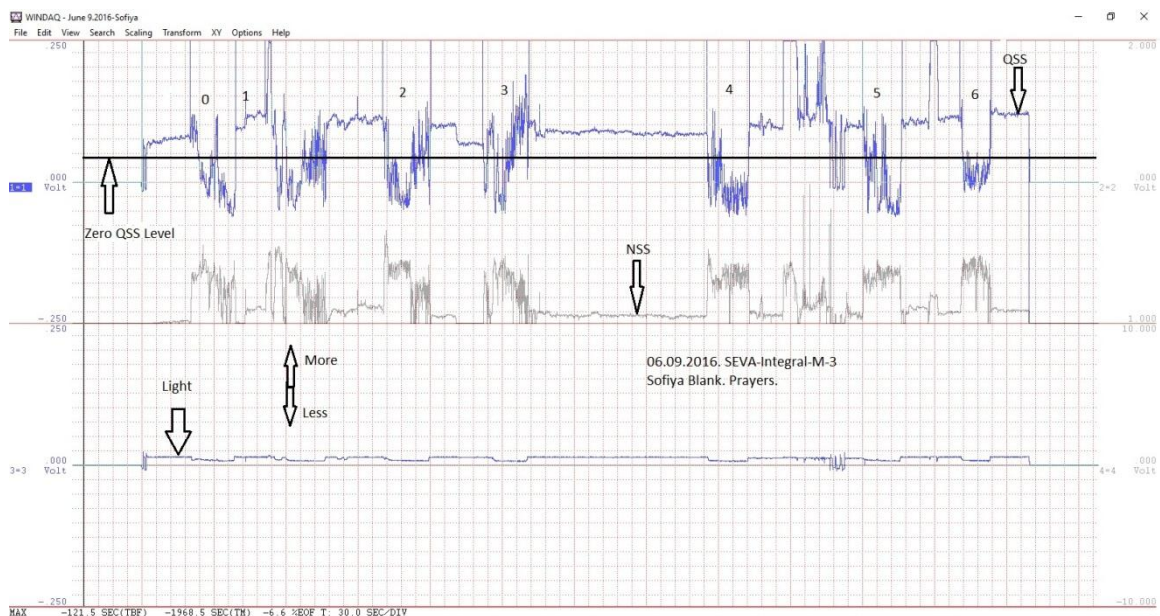


Рис. 7. Участница эксперимента София Бланк. 0 - Исходное сканирование, до молитв; 1 - Мысленное обращение к Творцу, Матери Мира и Высшим Силам, и обращение к Матери-Земле; 2 - Космический Знак Любви на груди; 3 - Яшма над сердцем; 4 - Жеод розовый, бордовый овальный с “деткой” над сердцем; 5 – Мароканский жеод над сердцем; 6 - Молитва на открытке, плюс мысленная благодарность Силам Света и элементальным существам. Фотодетектор фиксирует локальное уменьшение света при сканировании над головой данной участницы.

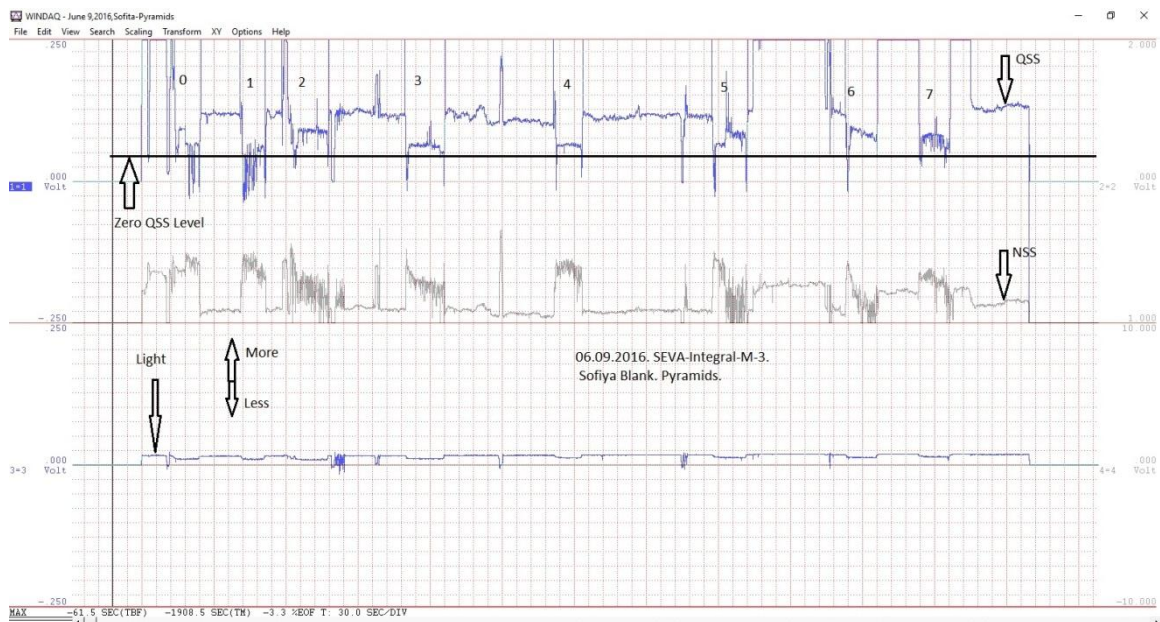


Рис. 8. Участница эксперимента София Бланк. Эксперимент преимущественно выполнялся для влияния пирамид. 0 - исходное сканирование, до воздействий. 1 - пирамидка на голове, не ориентирована на Север; 2 - Пирамидка ориентирована на Север, 3 - Трижды произнесены 3 слова Космического Кода; 4 - на голове маленькая полая пирамидка 9; 5 - Ромбовидная пирамидка, и на ней число 379 над головой; 6 - с Космическим Знаком; 7 - две ромбовидные пирамидки с иконой Божественной Матери. Начинает сказываться Эффект Информационной Усталости системы Объект-Оператор-Прибор-Объект: При сканировании над головой, прибор SEVA показывает значительные изменения интенсивности QSS, с изменяющейся полярностью. Однако на записи это не видно. Возможная причина - инфо-усталость преобразователя DATAQ DI-149. По-прежнему, фотодетектор фиксирует локальное уменьшение света при сканировании над головой данной участницы.

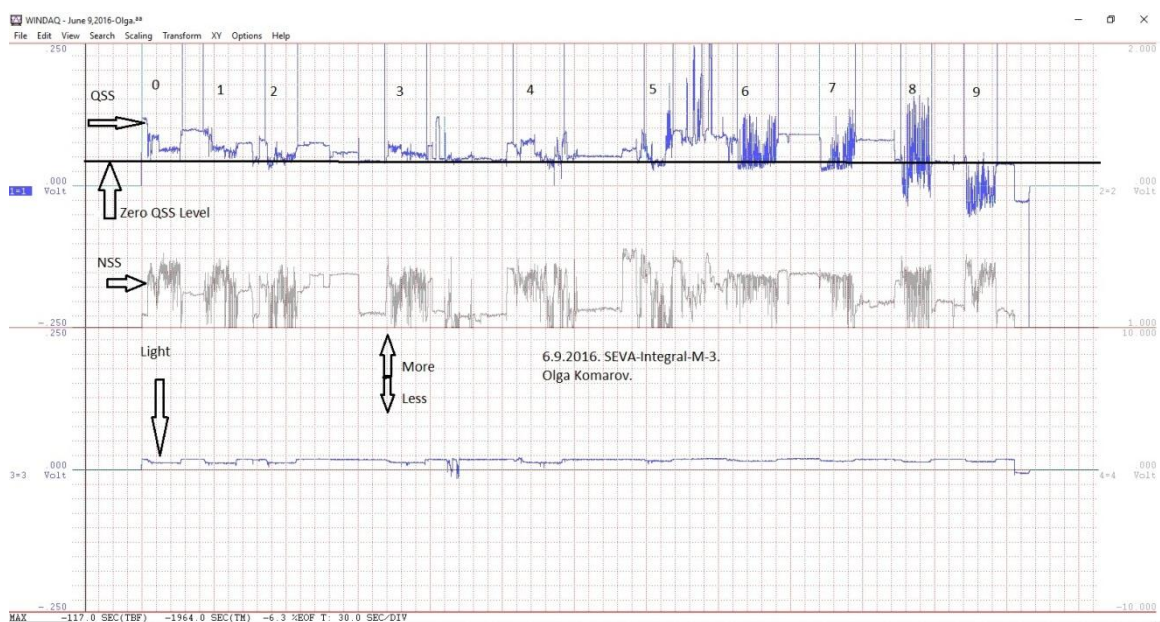


Рис. 9. Участница эксперимента Ольга Комарова. Эффект Инфо-Усталости продолжает сказываться в первой половине эксперимента. 0 - Исходное сканирование, до воздействий; 1 - с крестиком на груди; 2 - Одна молитва; 3 - семь раз молитва “*Отче Наш*”; 4 - молитва Софии об Ольге, плюс созданный над Ольгой Божественный поток; 5 - две ромбовидные пирамидки с Кодом; 6 - с иконой; 7 - с шунгитом; 8 - на сердце голубовато-серый жеод; 9- с бусами из Тибетского агата. Фотодетектор фиксирует локальное уменьшение света при сканировании над головой данной участницы.

Рис. 10 показывает результат сканирования над небольшой фрактальной пирамидой, конструкции Н. Виртуозова. Наблюдаются интенсивные вариации вращения поля, качественно совпадающие с экспериментами выше. Фотодетектор показывает очень сильную

вариацию света при прохождении датчика над вершиной пирамиды. Тем не менее, этот эффект не виден глазом и его возможное объяснение следует далее.



Рис. 10. Результат сканирования над небольшой фрактальной картонной пирамидой конструкции Н. Виртуозова. Наблюдаются интенсивные вариации вращения поля, качественно совпадающие с экспериментами выше. Фотодетектор показывает очень сильную вариацию света при прохождении датчика над вершиной пирамиды. Тем не менее, этот эффект не виден глазом и его возможное объяснение следует далее. Прохождение датчика над вершиной пирамиды очень сильно воздействует на цепь фотодатчика - видны интенсивные всплески тока. На данной записи направление интенсивности света соответствует наравлению стрелки *Light* на участке записи света.

Объяснение наблюдаемых эффектов

Фактически приборы SEVA фиксируют электромагнитную тень/проекцию спин-торсионных полей, реализуемую как Электромагнитный Полевой Гироскоп, ЭМ ПГ. В свою очередь, ЭМ ПГ является квантовым объектом, как по критерию массы, так и по его дискретной природе.

Рис. 11 показывает фотографии ПГ, при фиксированной частоте 6+ кГц, зарегистрированные возле различных объектов. Всех их объединяет отчетливо видимая дискретность орбит вращения поля, сопровождаемая возможной прецессией.

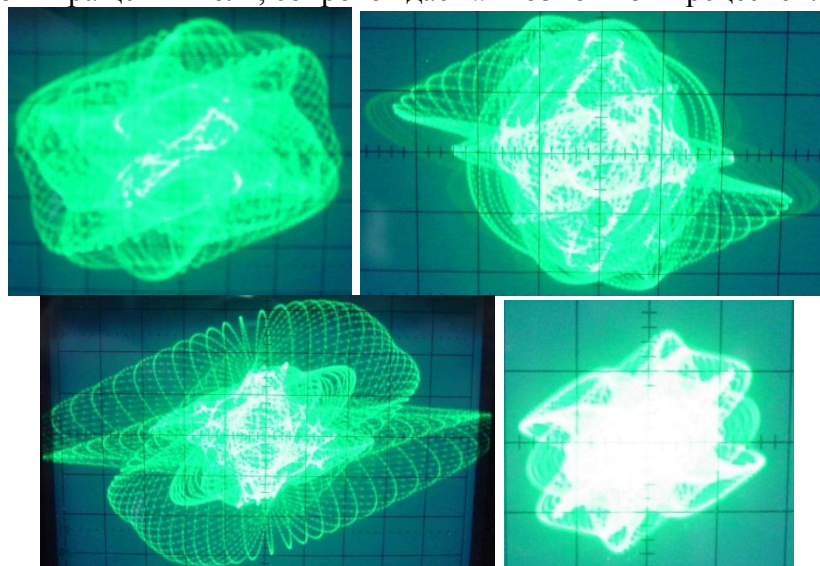


Рис. 11. Фотографии ПГ при фиксированной частоте 6+ кГц, зарегистрированные возле различных объектов. Всех их объединяет отчетливо видимая дискретность орбит вращения поля, сопровождаемая возможной прецессией.

Квантовая природа человеческой мысли в её динамике, при молитве и других воздействиях, находит своё отражение в показаниях прибора SEVA, измеряющего интегральный эффект дискретных полевых гироскопов различных частот. Наблюдаемый эффект уменьшения светового потока, фиксируемого датчиком, совпадает с более ранними результатами по уменьшению фоновых гамма-квантов во вращающихся электромагнитных полях [16, 17]. Этот эффект объяснялся взаимодействием полевого вращения со спином гамма-фотонов. Происходила передача дополнительного углового момента фотонам, при этом возрастала стабилизация фотонов и, как результат их неопределенность по координате становилась меньше, в силу особенностей Соотношения Неопределённостей Гейзенберга. А вместе с этим, уменьшалась вероятность встречи с детектором, наблюдаемая как уменьшение количества фотонов. Нечто подобное могло иметь место и в данном эксперименте.

Авторы выражают признательность участникам эксперимента Ольге Комаровой, Левону Тадевосяну и Денису Комарову.

Литература

1. А.Е. Акимов. *Эвристическое Обсуждение Проблемы Поиска Новых Дальнодействий. EGS-Концепции.* Сборник Сознание и Физический Мир. Выпуск 1, Москва, 1995, с.46-115.
2. А.Е. Акимов, В.Н. Бинги. *О Физике и Психофизике.* Сборник Сознание и Физический Мир. Выпуск 1, Москва, 1995, с.141-170.
3. С.М. Бланк. *Увидеть Невидимое.* Амрита-Русь, Москва, 2010, 2012.
4. А.В. Бобров. *Торсионные модели в психофизике.* Деп. Работа. ВТНИТИ № 821-В97, М., 1987, 72 с.
5. А.В. Бобров *Модельное исследование полевой концепции механизма сознания.* ОрёлГТУ, Орёл, 2006. 261 с.
6. А.В. Бобров. *Полевая концепция механизма сознания.* XI Международный Конгресс ГРВ электрографии. С.-Пб. 2007. с. 105-106
7. А.В. Бобров. *Механизмы подсознания и памяти в полевой концепции механизма сознания.* Тезисы доклада на IV-й Международной конференции: Торсионные Поля и Информационные Взаимодействия. Москва. 20-21сентября 2014 г., с.46-65.
8. А.П. Дубров. *Когнитивная Психофизика. Основы.* "Феникс". 2006. 312 с.
9. А.Ю. Смирнов. *Дальние Нелокальные Приборные Взаимодействия в Формировании Концепции "Телепортации Информации".* Материалы II-й Международной научно-практической конференции: Торсионные Поля и Информационные Взаимодействия, Тамбов, 28-29 Сентября 2010. с.119-149.
10. А.Ю. Смирнов. *Дальние Нелокальные Взаимодействия Могут Определяться Торсионными Возбуждениями и Волнами в Виртуальной Плазме Физического Вакуума (Гипотезы, Концептуальный и Качественный Анализ).* Материалы III-й Международной научно-практической конференции: Торсионные Поля и Информационные Взаимодействия, Москва-2012, с.173-200.
11. А.Ю. Смирнов. *Биофизика Информационных и Нелокальных Взаимодействий.* Материалы IV-й Международной научно-практической конференции: Торсионные Поля и Информационные Взаимодействия, Москва-2014, с.168-169.
12. Г.И. Шипов. *Явления Психофизики и Теория Физического Вакуума.* Сборник Сознание и Физический Мир. Выпуск 1, Москва, 1995, с.116-140.
13. M. Krinker, L. Pismenny, *Method and Apparatus for Detecting and Analyzing Pathogenic Zones.* Patent Application Publication. US2007/0015990 A1, 2007.
14. M. Krinker. *Spinning Electric Vector Analyzer, SEVA. Theory of Operation and Experimental Test.* BioPhysical Method, International Symposium, pp.5-31, Moscow 2008.

15. M. Krinker, A. Goykadosh, *SEVA-INTEGRAL - An Instrument for Exploration of Pathogenic Zones*, Conference LISAT-2011, IEEEXplore.
16. M. Krinker. F. Kitaichik, Influence of Electric Spinning on Background γ -Radiation. <http://arxiv.org/ftp/arxiv/papers/1004/1004.5161.pdf>
17. M. Krinker, A. Goykadosh, F. Kitaichik, *Spinning Electric Field-Induced Changes in Statistics of Background Gamma-Radiation. Cumulative Aftereffect in the Detector. Torsion Fields and Informational Interactions*. International Conference Tambov-2010, pp.90-94.

INFLUENCE OF PRAYERS, HEALING STONES AND PYRAMIDS ON SPINNING FIELD, REGISTERED WITH SEVA-INTEGRAL-M-3 INSTRUMENT OVER A HUMAN HEAD

Sofiya Blank ¹, Mark Krinker ², Nikolay Virtuozov ³

- ¹⁾ Noosphere spiritual-ecological Worldwide Assembly, a Coordinator, USA
²⁾ Physicist, Farmingdale College, State University of New York, USA
³⁾ Engineer, Noosphere spiritual-ecological Worldwide Assembly, USA

blanksofiya684@gmail.com
sevatronics@gmail.com
pedasha@yahoo.com

A series of experiments on influence of prayers, healing stones and pyramids on the field spinning over participants' heads was conducted. The wide-band meter of electromagnetic spinning, SEVA-Integral-M-3 was employed. The sensor was scanning 70 mm over a sincipital chakra. Such the psycho-physical actions lead to a variation of the field dynamics over a human head, including reverse of the spinning direction in some cases, as it was revealed. The spinning field is considered as the Field gyroscope paradigm, FG, because this field has a real angular momentum and inertia as well. The obtained results were compared with the earlier conducted scanning over a top of the small fractal cartoon pyramid, where a strong field spinning was recorded as well as reversing of its direction as the sensor was passing over the top. The photo-sensor of the instrument registered a variation of a light flux over the heads of the participants, which was not noted by a naked eye. The similar phenomenon was noted for the small fractal cartoon pyramid. Action of the accompanying Torsion field on the sensor-photon system can be a possible cause of this phenomenon. There is a reason to suppose a dependence of the registered light flux on gender and age of the participants, because the observed reversing direction phenomenon depended on these factors.

РАСКРУТКА ПОЛЕВОГО ГИРОСКОПА ВНЕШНИМИ ВОЗДЕЙСТВИЯМИ

М.С. Кринкер

Farmingdale College, State University of New York, USA

sevatronics@gmail.com

Эксперименты с приборами SEVA, измерителями локализованных электромагнитных вращающихся полей - полевыми гироскопами, выявили процесс релаксационного установления отсчёта при стационарных внешних воздействиях: свет, графический источник информации и т.д. При этом время релаксации такого процесса значительно превосходит собственную постоянную времени прибора.

Показана взаимосвязь между электромагнитными и торсионными полевыми гироскопами: ЭМПГ и ТПГ, являющимися квантовыми объектами. Варирующий угловой момент, создаваемый ЭМПГ, трансформируется в монотонно нарастающий угловой момент ТПГ благодаря интегральному эффекту накопления, своего рода раскрутке. Ведущую роль в замедлении процесса может играть как сам объект измерения - свет, носитель информации и т.д., так и замкнутая система измерений в целом. Электронный прибор регистрирует электромагнитную проекцию торсионных полей. Ввиду жесткой взаимосвязи этих полей, прибор регистрирует некое вторичное электромагнитное поле, привязанное к медленно нарастающему угловому моменту торсионного поля. Первая производная нарастающего углового момента ТПГ создаёт момент сил, действующий на приборы крутильного типа. Инерционные свойства полевых гироскопов объясняют эффект фантомов.

Полевые гироскопы [12,13] не являются принципиально новым объектом для Физики. В явном или неявном виде, они уже присутствовали в исследованиях ученых.

Значительный вклад в эти исследования внесла российская/советская школа. Еще на стыке 19 и 20 веков, Н.П. Мышкин, российский учёный, заметил и исследовал явление поворота легкого диска в световом потоке. Он объяснил это действием некоторых пондеромоторных сил [7].

Появление парадигмы Торсионных Полей (ТП) позволило идентифицировать приборы крутильного типа, как фактически первичные приборы для регистрации этих полей. Электронно/электромагнитные приборы, так или иначе коррелирующие с ТП, следует считать вторичными приборами, т.к. они непосредственно регистрируют электромагнитное поле, сопровождающее ТП.

Однако, для всех ТП приборов, первичных и вторичных, ключевыми словами следует считать *угловой момент*.

В работах Н.А. Козырева, связанных с исследованиями ТП, активно применялись крутильные весы для их регистрации.

В свою очередь, торсионные генераторы А.Е. Акимова основаны на возбуждении спинов в феррите, с помощью электромагнитного поля. Сам же электромагнитный компонент не пропускался во внешнюю среду с помощью соответствующих экранов [9-11].

Полевой Гироскоп является квантовым объектом. Г.И. Шипов считает, что квантовая теория описывает динамику ПГ, основанную на полях инерции. Согласно этой концепции, явление инерции является доминирующим здесь и описывает физические поля и взаимодействия посредством уравнения Шрёдингера [16,17].

Автор этой работы считает, что следует разделять электромагнитный (ЭМ) ПГ, непосредственно регистрируемый прибором SEVA, и торсионный ПГ, регистрируемый приборами крутильного типа, такими, как торсионные весы, прибор *торсинд* и т.д. Оба типа полевых гироскопов взаимно связаны и неотделимы один от другого. Электромагнитные и торсионные поля являются следствием различной поляризации физического вакуума. Вопрос только в методе регистрации.

Для ЭМПГ, автором ранее были получены следующие зависимости массы m , углового момента L и момента сил dL/dt для гироскопа, образованного вектором поля E_s , вращающимся с угловой частотой ω в ограниченном объёме V внутри условного цилиндра с диаметром $D=2R$.

$$m(t) = \frac{\varepsilon \varepsilon_0 \int_V E_s^2(t) dV}{2c^2 - \left(\frac{D\omega}{2}\right)^2} \quad (1)$$

$$\vec{L}_i(t) = \frac{D^2 \bar{\omega}_i(t) \varepsilon \varepsilon_0 \int_V E_s^2(t) dV}{8c^2 - (D\omega)^2} \quad (2)$$

$$\frac{d\vec{L}}{dt}(t) = \frac{D^2}{8c^2 - (D\omega)^2} \varepsilon \varepsilon_0 \left(\omega \frac{d}{dt} \int_V \vec{E}_s^2(t) dV + \frac{d\omega}{dt} \int_V \vec{E}_s^2(t) dV \right) \vec{n} = [\vec{R} \times \vec{F}(t)] \quad (3)$$

ЭМПГ испытывает циклическую вариацию/модуляцию массы и углового момента, поскольку сам вращающийся вектор \vec{E}_s есть результат сложения двух взаимно ортогональных родительских векторов $E_1(t)$ и $E_2(t)$, сдвинутых по фазе на тот или иной угол φ .

$$E_s(t) = \sqrt{(E_1 \sin \omega t)^2 + (E_2 \sin(\omega t + \varphi))^2} \quad (4)$$

Что же касается момента сил (первой производной углового момента), то эта величина становится циклической и знакопеременной.

Такой осциллирующий момент сил реально действует на объекты и опасен для многослойных систем с различными временами релаксации, имеющими радиальную симметрию, к которым относятся и кровеносные сосуды человека.

Если времена релаксации слоёв составляют множество π , то, с повышением частоты поля ω из процесса поляризации, а значит и действия силы, будут постепенно уходить компоненты, для которых выполняется условие $\omega \sim 1/\pi$. На компоненты с маленьким временем релаксации будет по-прежнему действовать скручивающая сила вращающегося поля, в то время как медленные слои будут не реагировать на поле. Тогда может возникнуть взаимное скольжение и разделение слоёв.

Однако, для индикаторов крутильного типа, к которым можно отнести и L-образный индикатор биолокации, мы наблюдаем монотонный поворот объекта во вращающемся поле высокой частоты, период которой значительно меньше времени релаксации объекта [15].

По мнению автора, наблюдаемое противоречие связано с особенностью взаимосвязи электромагнитных и торсионных полевых гироскопов.

ЭМПГ постепенно раскручивает ТПГ, обладающий своей постоянной времени, в режиме накопления углового момента. Тогда угловой момент ТПГ будет монотонно нарастать под действием ЭМПГ, а его первая производная даст момент сил RF определённого знака, который и поворачивает крутильные весы или индикатор для биолокации.

$$L_T = b \int_0^t L_{EM} dt \quad (5)$$

$$RF = b_0 \frac{d}{dt} \int_0^t L_{EM} dt \quad (6)$$

Данное свойство может быть упрощённо проиллюстрировано простой RC цепью, на вход которой подаётся ступенчатое напряжение (аналог ЭМПГ), а выходное напряжение медленно нарастает (аналог ТПГ). Сам же процесс происходит в Физическом Вакууме, с некой локальной постоянной времени. Для данной аналогии более адекватна цепь с интегратором напряжения, но упрощённый RC вариант лучше отражает суть процесса накопления углового момента на выходе.

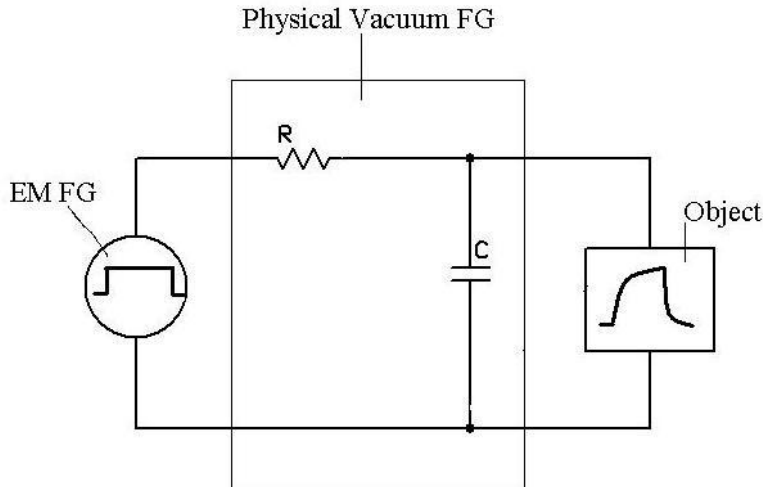


Рис. 1. Упрощённая аналогия взаимодействия ЭМПГ и ТПГ. Быстроизменяющийся сигнал на входе, аналог ЭМПГ, приводит к медленному нарастанию сигнала на выходе. Процесс трансформации происходит в Физическом Вакууме, имеющем локальную постоянную времени.

Эксперименты

Рис. 2 показывает прибор SEVA-Integral-M-3 для регистрации ЭМПГ. Прибор измеряет удельную мощность, W/m^3 , обоих одновременных режимов вращения широкополосного (до 250 МГц) полевого гироскопа: квазистационарное и нестационарное. Метрологическая основа этих приборов показана в [1, 2, 3, 4, 8].

Квазистационарное, QSS, вращение образовано векторной суммой элементарных вращений, на базе родительских векторов одинаковой частоты, т.е. такой ЭМПГ вращается в определённом направлении, с амплитудой, которая может изменяться во время одного периода поворота ПГ. В отличие от него, нестационарное, NSS, вращение создаётся всеми комбинациями частот доступного ЭМ спектра и такой ПГ многократно изменяет направление вращения в течение одного цикла. По этой причине (число комбинаций частот), интенсивность NSS всегда превосходит QSS.

Прибор также содержит датчик освещённости, для исследования вклада светового потока в образование более низкочастотных ПГ, чем свет [5, 6].



Рис. 2. Прибор SEVA-Integral-M-3 - измеритель ЭМПГ. Светонепроницаемый датчик прибора содержит также CdSe фоторезистор для изучения влияния света на формирование полевых гироскопов.

ПГ является квантовым объектом. Рис. 3 показывает фотографии одночастотного ЭМПГ вблизи различных объектов, полученные автором с помощью осциллографа. Хорошо видна дискретность орбит и прецессия ПГ.

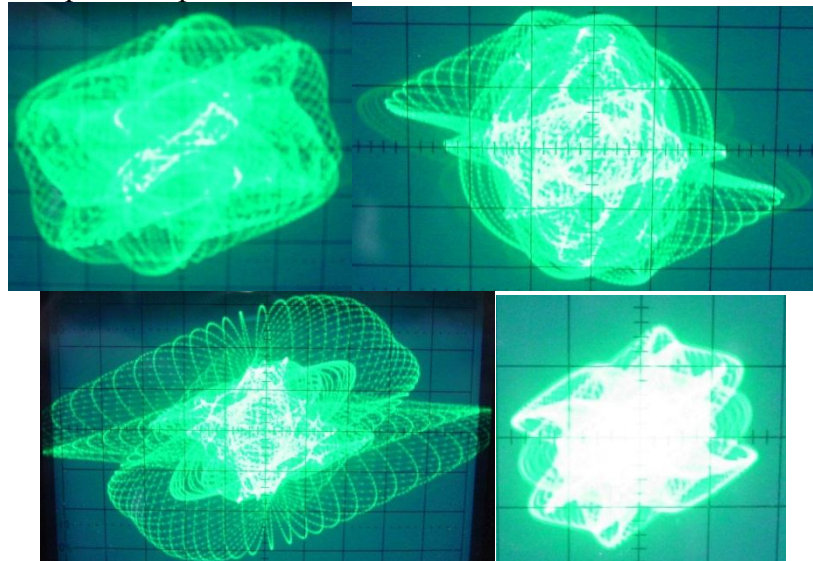


Рис. 3. Квантовая основа ЭМПГ. Хорошо видна дискретность орбит и прецессия вращения. Снимок сделан для ПГ, созданного естественными полями Земли возле различных предметов. Частота вращения- 6+ кГц, применялся узкополосный фильтр.

Рис. 4 показывает воздействие светового потока от лампы накаливания, периодически включаемой и создающей световой поток 1000 lumen/m² на постоянном фоне потока 500 lumen/m² в месте расположения светонепроницаемого датчика прибора.

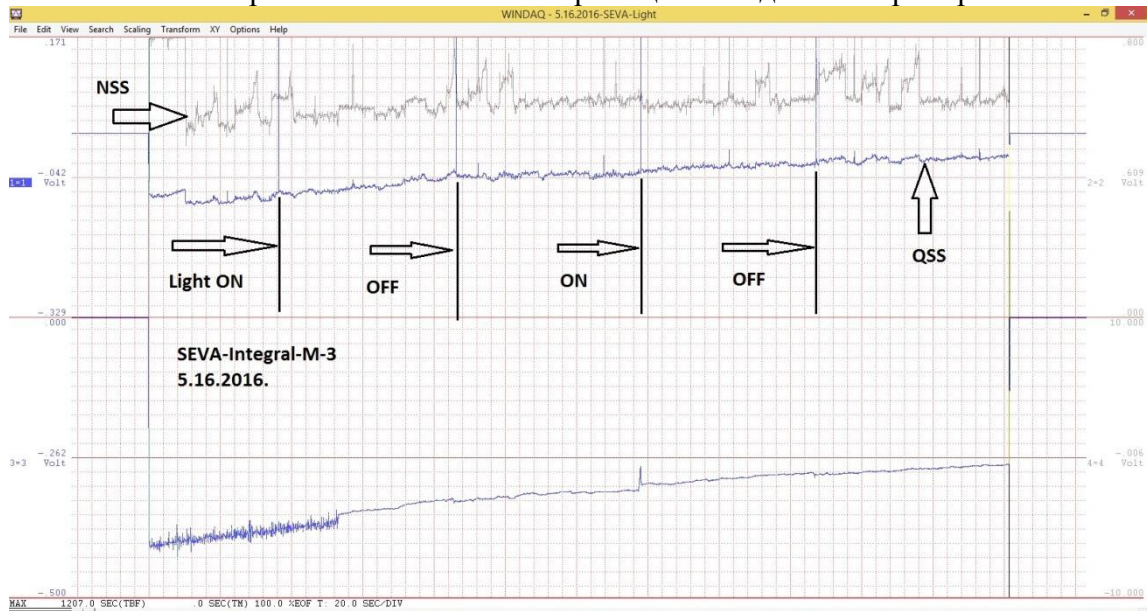


Рис. 4. Воздействие лампы накаливания на появление полевого гироскопа.

Рис. 5 показывает эксперимент с 20 Вт газоразрядной лампой, расположенной в 20 см от светонепроницаемого датчика прибора. Хорошо видна релаксационная реакция прибора на каждое включение-выключение. Масштаб по горизонтали - 50 сек/деление. Можно сделать вывод, что постоянная времени этого процесса составляет порядка 10 секунд. Нижняя кривая на записи - цепь фотометра на базе CdSe фотодиода. Монотонное снижение линии освещённости вызвано посторонними причинами и не имеет отношения к процессу включения-выключения света.

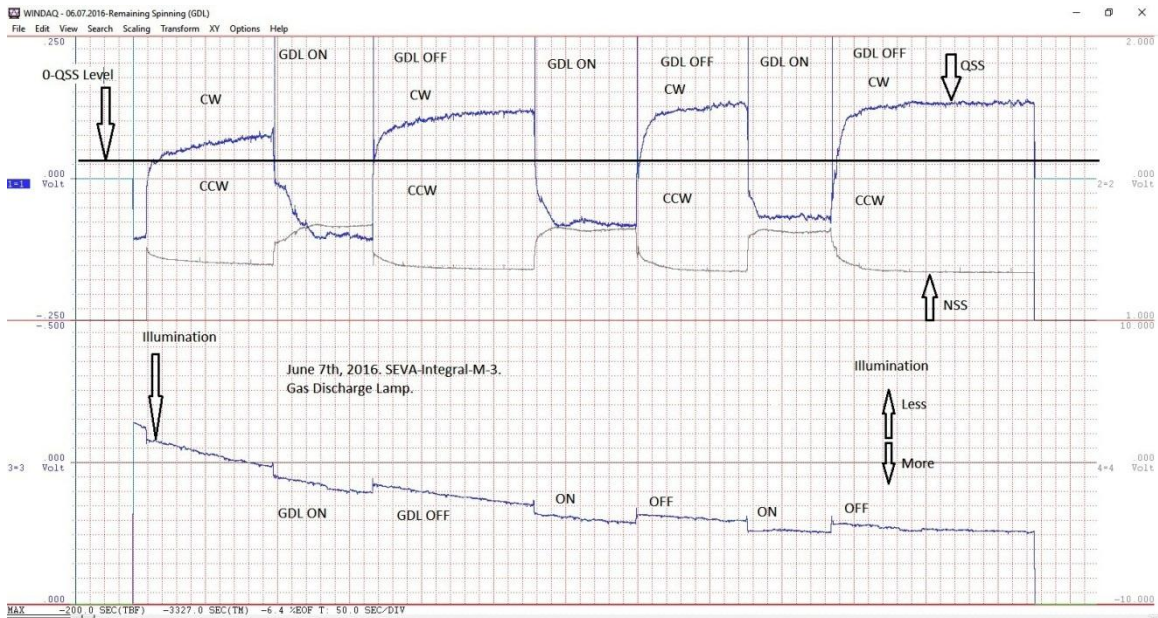


Рис.5. Влияние света газоразрядной лампы на формирование полевого гироскопа

Такая же закономерность релаксационного характера просматривается при реакции приборов SEVA на изображения. Рис. 6а показывает реакцию одного из ранних вариантов прибора на распечатанную фотографию технического устройства, помещённую под светонепроницаемый датчик вращения поля. Для сравнения, Рис. 6б показывает реакцию того же прибора на исходный белый лист бумаги для принтера, подложенный по датчику.

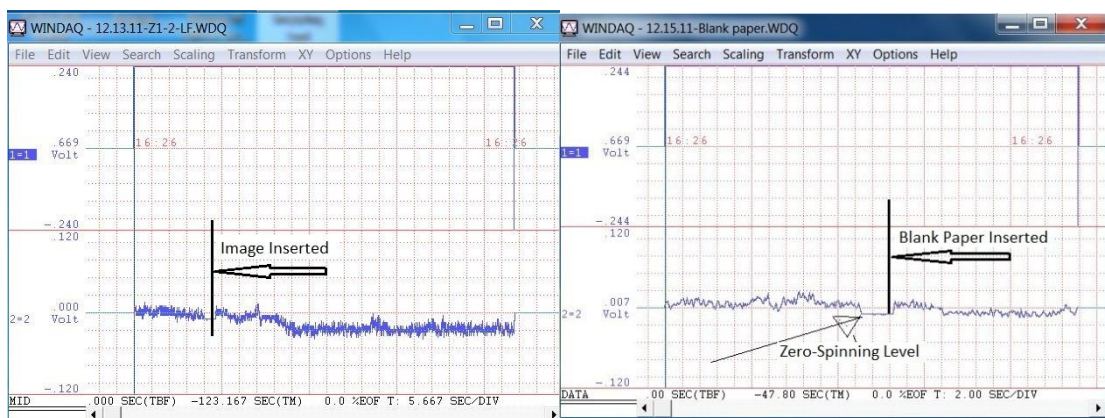


Рис. 6. а) Реакция одного из ранних вариантов прибора на распечатанную принтером фотографию технического устройства, помещённую под светонепроницаемый датчик вращения поля; б) Реакция на белый лист бумаги

По мнению автора, явление остаточного действия ТП приборов, длиющееся иногда сутками и более и называемое *фантомом*, представляет собой остаточное вращение полевого гироскопа. Одно из проявлений длительного остаточного вращения было видеодокументировано [14].

При эксплуатации прибора SEVA было выявлено постепенное образование фантомов вокруг квадрупольного датчика вращения, из-за наличия и суперпозиции отраженных сигналов в коаксиальных кабелях. Фантомы создают техническое неудобство, их-за понижения чувствительности прибора. Однако они удаляются небольшим ударом по датчику. Возможным механизмом их удаления является ускорение и сопутствующая гравитация.

Возникает закономерный вопрос: почему быстродействующий электронный прибор, который должен реагировать на быстрые изменения ЭМПГ, показывает медленные изменения электрического вращения?

Ведущую роль в замедлении процесса может играть сам объект измерения: свет, носитель информации и т.д. Надо ещё учесть, что речь идёт о системе Объект-Оператор-Прибор-Объект и прибор нельзя рассматривать, как изолированный объект, а только с учётом информационной ёмкости всей системы. Может быть, поэтому эффект действия поворотного момента в экспериментах с индикатором биолокации во вращающемся поле происходил только при участии оператора [15].

В указанном замкнутом контуре возникшее торсионное поле порождает сопровождающее электромагнитное, которое следует за медленными изменениями ТП и отображается на записи, как релаксационный процесс.

Раскрутка ПГ напоминает эффект освоения объекта прибором, часто упоминавшийся В.Т. Шкатовым в переписке с группой Вторая Физика.

Проявление инерционных свойств ПГ, являющимся очевидным квантовым объектом, Рис. 3, хорошо согласуется с концепцией полей инерции в квантовой механике, предложенной Г.И. Шиповым [16, 17].

Литература

1. Марк Кринкер, Валерий Письменный, *Некоторые Физические Аспекты Лозоискательства*. (M. Krinker, L. Pismenny, *Some Physical Aspects of Dowsing*) BioGeoPhysics, No.4,5. 2005, Moscow (in Russian).
2. M. Krinker, L. Pismenny, *What Stands Beyond Dowsing and Feng Shui?*, EcoDowsing LLC, New York, 2006, 76pp.
3. M. Krinker, L. Pismenny, *Method and Apparatus for Detecting and Analyzing Pathogenic Zones*. Patent Application Publication. US2007/0015990 A1, 2007.
4. M. Krinker. *Spinning Electric Vector Analyzer, SEVA. Theory of Operation and Experimental Test*. BioPhysical Method, International Symposium, pp.5-31, Moscow 2008.
5. M. Krinker. *Huygens-Fresnel Principle as a Base for Origination of Spinning Process*. Torsion Fields and Informational Interactions. International Conference. Moscow-2012, pp. 229-230.
6. M. Krinker. *Light-Induced Electromagnetic Spinning as one of the Sources for the Field Gyroscope. The Field Gyroscope as a Base of the Yin and Yang Energies*. <http://vixra.org/abs/1408.0141.2014>.
7. Н.П. Мышкин. *Движение Тела, Находящегося в Потоке Лучистой Энергии*. (N. P. Myshkin. *Motion of the Body in the Flux of a Radiant Energy*). International Journal of Unconventional Science, No.1, pp. 89-104, 2013. Restored by V.A. Zhigalov (in Russian), <http://www.unconv-science.org/n1/myshkin/>
8. M. Krinker. *Some Physical Aspects of Artificial and Natural Field Gyroscopes. Relation to Atmospheric Phenomena and Geo-Pathogenic Zones*. <http://vixra.org/abs/1407.0025.2014>.
9. A. E. Akimov, G. I. Shipov et al, "Torsion Fields and Their Experimental Manifestations," *Journal of New Energy*, vol. 2, no 2, 1997.
10. A. E. Akimov, Torsion Communications of the Third Millennium," Papers of the International Conference "Modern Telecommunication Technologies," Moscow, May 1995 (Russian).
11. Akimov A. E., Binghi, V. *Homeopathy, Quantum Physics and Torsion Fields. Proceedings of the Congress of the International Homeopathic Association*, Kiev, Sept. 25-29, 1991, page 143 (in Russian).
12. M. Krinker. *Spinning Electric Field As a Virtual Gyroscope: On Possibility of Existence of Kozyrev's Effect in Rotating Electrical Fields*. Was published at www.ecodowsing.com, 2005

13. M. Krinker. *Вращающееся Электрическое Поле Как Виртуальный Гироскоп. К Возможности Существования Эффекта Козырева Во Вращающихся Полях.* Sources of Bio-active Radiations, Collection, pp.9-25, Moscow, 2006. (in Russian). *Spinning Electric Field As a Virtual Gyroscope: On Possibility of Existence of Kozyrev's Effect in Rotating Electrical Field*
14. V. Pismenny. M. Krinker. Axion Generator Test. November 2nd, 2006. New York.
www.youtube.com/watch/?v=xvRQLLHzbcA
15. M. Krinker. *The Field Gyroscope and Divining Rod.* Series of the Experiments.
www.youtube.com/watch?v=jjbKrA9pRV8 ;
www.youtube.com/watch?v=82C5xCc6OT4 ;
www.youtube.com/watch?v=TVY2ymoY9EQ
16. Шипов Г.И.. *КВАНТОВАЯ МЕХАНИКА КАК ДИНАМИКА ПОЛЕВЫХ ГИРОСКОПОВ.* Shipov. G.I. *Quantum Mechanics as a Mechanics of Field Gyroscopes.* (Russian). www.trinitas.ru/rus/doc/0231/008a/1087-sh.pdf, 2011
17. Шипов Г.И. *ИСКРИВЛЕНИЕ ПРОСТРАНСТВА ДВИГАТЕЛЕМ БРАУНА.* Shipov G.I. *Curving a Space by a Braun Engine.* (Russian). www.trinitas.ru/rus/doc/02311088.htm, 2011

DRIVING A FIELD GYROSCOPE UP TO SPEED BY MEANS OF EXTERNAL ACTIONS

M. Krinker

Farmingdale College, State University of New York, USA

sevatronics@gmail.com

SEVA (Spinning Electric Vector Analyzer)- based experiments on localized spinning electromagnetic fields - the field gyroscopes, have revealed a relaxation reading process at the stationary external actions of light, carriers of information and so on. The time constant of such the process exceeds that of the instrument considerably.

The relation between electromagnetic and torsion field gyroscopes, EMFG and TFG, which are the quantum objects, is shown. A varying angular momentum, developed by EMFG, transforms into the angular momentum of TFG which increases in a monotonic way due to an accumulation phenomenon, kind of a driving up to speed. The various objects can play a leading role in the relaxation/retardation process as well as a closed measuring system. An electronic device registers the electromagnetic projection of the torsion fields. Due to a solid relation between these fields, the instrument reads some secondary field which is coherent with the slow rising angular momentum of the torsion field. The first derivative of the rising angular momentum develops a torque which can affect torsion type instruments. The inertial properties of the field gyroscopes can explain a Phantom phenomenon.

METHODS AND INSTRUMENTS TO INCREASE A SIGNAL-TO-NOISE RATIO IN THE IMAGE-ADDRESSING-BASED TORSION FIELD COMMUNICATION

Mark Krinker

Farmingdale College, State University of New York, USA

sevatronics@gmail.com

To increase a signal-to-noise ratio in Torsion Field Communication Sessions, by means of better entangling wave functions of the communicating objects, the transmitted spinning signal is proposed to form directly from the video signals of images of transmitter and receiver or their combinations. In turn, the original images for formation of the video signal can be that of introscopy or holography, as well as the conventional amplitude and color scattered images. The receiver contains a mixer/multiplier, fed with an identical reference video signal and the signal of the sensor, as well as a low-pass filter between the mixer/multiplier and the output of the receiver. This method can be tried for the Instrumental Trans Communication with the receiver alone, where the reference video signal is that of the object of communication.

Torsion Field Communication, TFC, is based on a non-electromagnetic exchange of information, by means of entangling the wave functions of transmitters and receivers.

Actually, Alan Aspect's and collaborators' experiment with two identical mutually correlated photons, (1982, Orsay, France), traveling in different ways but reacting to each other immediately, was one of the first instrumental TFC experiments [1].

In turn, the Nature is rich with examples of telepathic communication between related objects: relatives, twins, long living together spouses and so on. The Ultra Weak Mental Interaction, UWMI, considered in [2], is a kind of natural TFC, sharing with it the features of Non-locality, Integrations and Remoteness and so on.

To achieve the needed entanglement of the wave functions, which is believed to be a major condition of the Non-locality, the instrumental TFC uses images of an object for addressing in the communication, placed next to either transmitter or receiver or two related images, placed at the transmitter and the receiver.

In a parallel and independent way, A.A. Okhatri and coworkers [3], as one party, and V.T. Shkatov, [4] as other party, proposed employing an image of an object to establish a contact with it.

Later, 2011, V. Zamsha proposed employing two identical images (either the transmitter or the receiver) next to transmitter and receiver to better entangle their wave functions and increase a quality of the communication [5].

Later in that year, the author of the current publication offered a cross-images method for entangling the wave functions: the image of the receiver put next to the transmitter, while the image of the transmitter put next to the receiver [6], as well as other measures to increase a coherency between the transmitter and the receiver.

However, there is unclear question on the extent of identity of the image and its original in terms of the wave function. This can result in insufficient quality of the signal-to-noise ratio of the communication.

To increase signal-to-noise ratio by means of increasing the extent of identity of the original and its image, the following method is proposed.

The transmitter generates a spinning electromagnetic field, formed by an analog electronic image, a video signal of the receiver or a combined image of the transmitter and receiver. The spinning field always produces a Torsion Field component, so, the emitted Torsion field has an encoded image of the receiver or the receiver and transmitter together, that makes the wave functions of the transmitter and the receiver more entangled, which results in increase of the signal-to-noise ratio. Beside the original conventional amplitude and color scattered images, formation of the electronic image (the video signal) can be made from the introscopy or holography.

In turn, the receiver by this method receives the torsion signal, having an electromagnetic projection. The electromagnetic signal is subject to multiplication/mixing procedure with an electric

signal of the image of the transmitter or the combined image of the transmitter and the receiver to make their product. When the wave functions of both multiplied values coincide approximately, the noise level gets minimal. To exclude high frequency component

Another important moment to increase a quality of TFC sessions is directing the axis of the transmitter to a location of the receiver. According to A.E. Akimov, a Russian scientist, who predicted the TFC and made a great contribution into theory and practice of Torsion Fields, these fields have an axial symmetry [7]. By this reason, we can expect an increase of the signal-to-noise ratio by directing the axis of the transmitting spinning to the receiver.

The TF-transmitter, made by this conception, comprises a source of an analog electronic image of the receiver or a combined image of the transmitter and receiver, connected both to a pair of plates of electric quadrupole and an input of a differentiator, the input of the differentiator is connected to other two plates of the quadrupole. A computer video output can be employed as the source of the electronic image.

The receiver comprises a spherical metal sensor, connected to one of the inputs of an analog multiplier. The other input of the multiplier is connected to an electronic source of the image of the transmitter. The output of the multiplier is connected to a low pass filter. The output of the low pass filter is connected to any output device like an analog/digital meter, oscilloscope and so on. This approach allows using advantages of synchronous detecting signals for weak signals to increase the signal-to-noise ratio.

Drawing Figures

In the drawings, closely related figures have the same number but different alphabetic suffixes.

Fig. 1 shows a unit diagram of a Torsion Field transmitter, according to the proposed Method.

Fig. 2 shows a unit diagram of a Torsion Filed receiver, according to the proposed Method.

Fig. 3a shows an example of a simple combined image of the transmitter and the receiver on a screen of a monitor, providing a corresponding video-signal of them.

Fig. 3b shows an example of a complex/mosaic image of the transmitter and the receiver on the screen of the monitor, providing a corresponding video-signal of them.

Referral Numerals in Drawings

- 10 source of the video signal of image of the receiver or combined image of the receiver and transmitter;
- 11 electric quadrupole;
 - 11a,b,c,d plates of the quadrupole 11;
- 12 inverter;
- 13 differentiator;
- 14 another inverter;
- 15 modulator;
- 16 source of transmitted information

- 20 spherical metal sensor
- 21 mixer/multiplier
- 22 source of the video signal of image of the receiver or combined image of the receiver and transmitter;
- 23 low-pass filter
- 24 output device

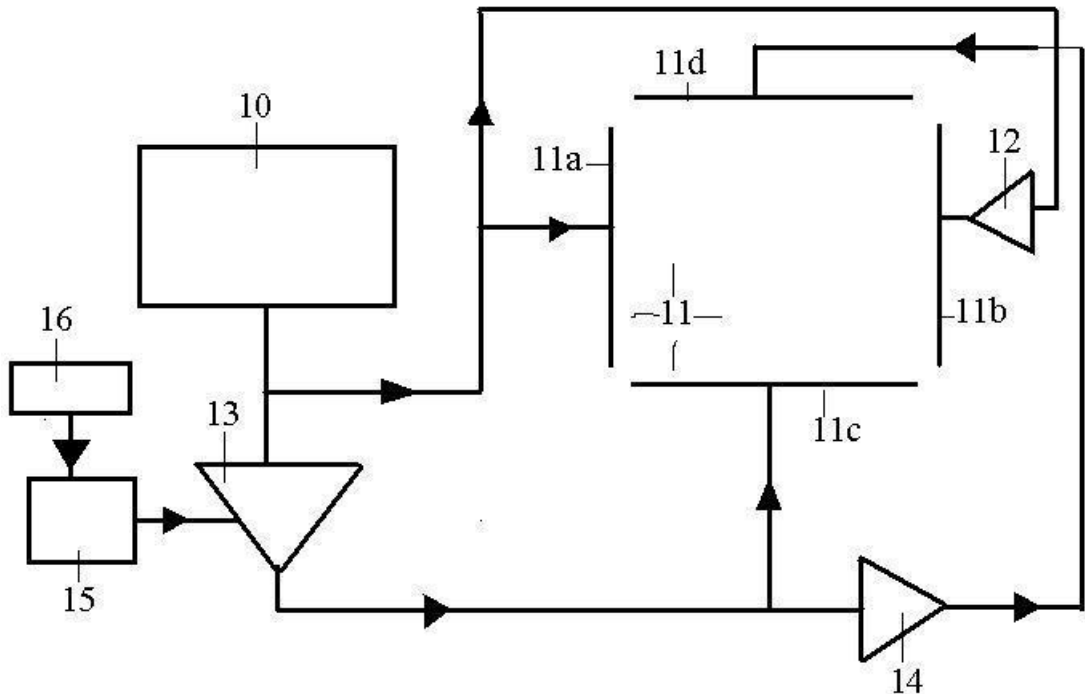


Fig. 1. TF Transmitter. 10 - source of the video signal of image of the receiver or combined image of the receiver and transmitter; 11 - electric quadrupole; 11a,b,c,d - plates of the quadrupole 11; 12 - inverter; 13 - differentiator; 14 - another inverter; 15 - modulator; 16 - source of transmitted information.

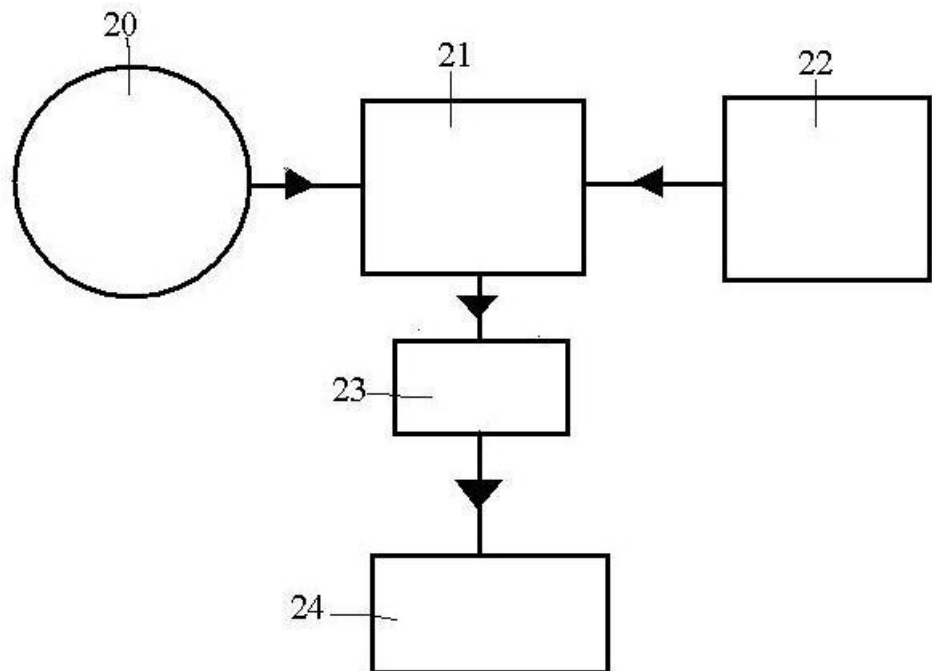


Fig. 2. TF Receiver. 20 - spherical metal sensor; 21 - mixer/multiplier; 22 - source of the video signal of image of the receiver or combined image of the receiver and transmitter; 23 - low-pass filter; 24 - output device.

Description

This TF transmitter works in the following way. The video signal of the source 10, comprising the image of the receiver or both the receiver and transmitter, feeds plates 11a and 11c of the quadrupole 11. The differentiator 13 shifts the analog signal at its output for 90 degrees. The output signal of the differentiator feeds the other pair of the quadrupole. Therefore, the quadrupole

is supplied with two electric signals, shifted in a phase for 90 degrees, what forms the electromagnetic spinning between the plates. The inverters 12 and 14 serve to form an opposite-phase signal at the plates 11b and 11d to increase the field strength. As a result, the quadrupole produces the Torsion Field with encoded image of the receiver. The modulator 15 controls either amplitude of the direct channel or that of the differentiated one. The modulation can be any of type.

The TF receiver works in the following way. The conductive sphere 20 receives the torsion signal with its electromagnetic accompanying. This electromagnetic component induces the electric potential at the sphere 20. The mixer/multiplier 21 makes a product of this signal and that of the source of video signal 22, which contains the image of the transmitter or both the transmitter and the receiver. The signal at an output of the mixer/multiplier 21 contains two combined components: the difference of frequencies and phases and other contains their sum. The low pass filter 23 passes only that with the differences of the frequencies and phases, which is maximal when the differences are equal to zero. So, the output signal after the filter 23 will be maximal in a case when the signals 20 and 22 are in phase, what takes a place for reception of the Torsion signal of the transmitter, because of a coherency of the video signals of sources 10 and 22. After the low-pass filter 23, the mixed signal U_{Mix} can be shown as a sum of the products of the input signals U_{sig_i} (unit 20), and the reference signal U_{ref_i} and their phases Θ_{sig_i} and Θ_{ref_i} .

$$U_{Mix} = \sum_{i=1}^n U_{sig_i} \cdot U_{ref_i} \cdot \cos(\omega_{sig_i} - \omega_{ref_i}) \cdot t + \Theta_{sig_i} - \Theta_{ref_i}$$

This signal is maximal if the components of the video spectrum are identical.

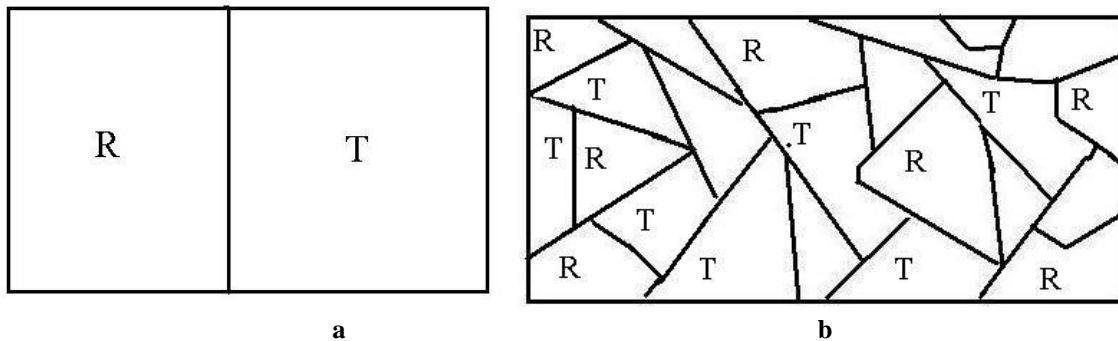


Fig. 3. Basic images of the TF transmitter and receiver for forming video signals according to the method: a - simple combination of receiver, R, and transmitter, T, images; b - a mosaic combination of original images.

Literature

1. Amit Goswami with Richard E. Reed and Maggie Goswami. *The Self-Aware Universe*. Penguin Putnam Inc. New York, 1993, p.60-61.
2. A.P. Dubrov. *Consciousness and Meta Physics*. Moscow, 2013.
3. Охатрин А.Ф., Охатрин А.А., Охатрин Ф.А., Ломоносов М.Н., Сизов В.С., Касьянов В.В. *Способ Энергоинформационной Связи и Устройство для его Осуществления*. Patent RU 2159009, 2000.
4. В.Т. Шкатов. Патент РФ 2201133 с приоритетом от 30.09.1999.
5. V. Shkatov and V. Zamsha. *Torsion Field and Interstellar Communication*. 2015.
6. M. Krinker. *On Increase of the Signal-to-Noise Ratio in Torsion-Based Sessions of Transmitting Information*. Conference: Torsion Fields and Informational Interactions, pp.220-222. Moscow, 2012 (Russian).
7. Akimov. A.E. *Heuristic Discussion of a Search of New Long-Range Actions Problem. EGS-Concepts. Consciousness and the Physical World*, Collection, pp.46-115. Moscow, 1995 (in Russian).

МЕТОД И УСТРОЙСТВО ДЛЯ УВЕЛИЧЕНИЯ ОТНОШЕНИЯ СИГНАЛ/ШУМ В СЕАНСАХ ТОРСИОННОЙ СВЯЗИ, ИСПОЛЬЗУЮЩИХ ОБРАЗНУЮ АДРЕСАЦИЮ

М.С. Кринкер

Farmingdale College, State University of New York, USA

sevatronics@gmail.com

Для увеличения отношения сигнал/шум в сеансах торсионной связи путем лучшего “запутывания”, сцепления волновых функций объектов связи предлагается формировать передающий сигнал непосредственно из видео-сигнала на базе изображений/образов передатчика и приёмника или их комбинации. В свою очередь, в качестве исходных изображений могут быть использованы таковые из интроскопии участвующих объектов, или их голограммы, помимо традиционных изображений на основе рассеивания амплитуды и цвета. Приёмник содержит смеситель/перемножитель сигналов, на один из входов которого подаётся сигнал, идентичный видео-сигналу передатчика, а на другой вход - сигнал датчика. К выходу смесителя/перемножителя подключен фильтр нижних частот, для устранения неинформативной компоненты результата умножения сигналов. Возможно испробовать такой метод в сеансах транс-коммуникации, если применять только приёмник, на референтный вход которого подаётся видео сигнал, сформированный образом объекта, с которым устанавливается связь.

МЕДЛЕННО МЕНЯЮЩИЕСЯ БИОЛОГИЧЕСКИЕ ЧАСЫ, ИСПОЛЬЗУЮЩИЕ ТОРСИОННЫЕ ПОЛЯ

Диана Войтковяк¹, Бернардетта Глембицка¹, Кажимеж Радушкевич², Мирослава Скурковска,
Анджей Фрыдыховски¹

ПОЛЬША

¹⁾ Департамент физиологии человека, Факультет науки о здоровье с Факультетом акушерства и Институтом морской и тропической медицины Гданьского медицинского университета;

Тувима 15, 80-210, Гданьск – ПОЛЬША;

²⁾ ООО ПОЛЬМИОР, Гданьск

Диана Войтковяк: science@adr.com.pl

В работе представлены результаты экспериментальных исследований, показывающих связь торсионных полей, доходящих к нам с Солнца, с циклическими физиологическими изменениями человека, описанными врачами в начале двадцатого века под определением биоритмов, характеристика этих полей с использованием спектроскопии торсионных полей несущих информацию химических элементов: йода, ртути и урана, связь с астрологическими знаками зодиака, новый метод ознакомления с внутренней частью Солнца, присутствие торсионного поля, происходящего от упомянутых элементов в теле человека, и излучаемых галогенными и ртутными лампочками, а также возможности его минимизации.

Исходная точка

Умелый наблюдатель способен заметить, наблюдая за собой, что, когда Солнце находится в знаке Девы, возможности аналитического мышления чрезвычайно высоки, что в знаке Скорпиона агрессивность повышенна, в знаке Льва и Весов аппетит снижен и т.п. Более того, он заметит, что тут немного что-то не сходится, потому что период аналитического мышления запаздывает и затягивается на один день дольше, как и остальные упомянутые периоды. Отсюда могут возникнуть сомнения, точно ли тут дело в знаке зодиака, и также может появиться разочарование в анализе такого типа, в актуальном оказании влияния астрологических небесных тел. Эти актуальные влияния следует отличать от самой известной астрологии рождения, которая опирается на информацию, впечатанную один раз на всю жизнь. Чтобы исследовать информацию торсионного поля, приходящего от Солнца, мы можем использовать ускоритель элементарных частиц торсионного поля, описанный в сообщении предыдущей конференции «Торсионные поля и информационные взаимодействия». [1]. Для исследований мы использовали ускоритель с восемью секциями электродов с отступом 2 см, в котором частицы торсионного поля двигаются по винтовой линии между электродами, которые питаются по очереди возрастающим напряжением, поставляемым из 5 батареек 9V. Восемь пар электродов использовано, чтобы угол зрения на входе ускорителя был по возможности узким и не поступала информация от находящихся по соседству на эклиптике планет, особенно Меркурия. Точное наведение на направление Солнца распознается по свету, проходящему через пустую внутреннюю часть ускорителя. За ускорителем размещается ампула с 10 мл воды и включается ускоритель на 3 с. Потом в лаборатории исследуется дальность излучения из ампулы с водой методом кинезиологического типа, используя поочередно двенадцать металлических образцов Категории (лозоискательных цветов, знаков зодиака), которые держат в руке, аналогично описанному ранее [1]. Первоначально мы ожидали присутствие знака зодиака.

Что нам несет солнышко?

В таблице 1 представлено сопоставление измерений торсионного поля Солнца, которые проводились в течение двух месяцев. Картина изменений излучений Солнца оказалась

гораздо сложнее, чем можно было ожидать. Кроме знака зодиака, три цикла длиной примерно 22, 27 и 30 дней, которые с большой долей вероятности отвечают так называемым биоритмам, определенным врачами, учениками Зигмунда Фрейда (Герман Свобода, Вильгельм Флисс), которые наблюдали примерно 23- и 28-дневную цикличность у своих пациентов, касающуюся: высокой температуры, воспалительных состояний, боли, выздоровления или кризисов, часто заканчивающихся смертью. К сожалению, эти циклы были быстро открыты и так же быстро направлены по ложному пути одним из их открывателей, который хотел сделать из них что-то типа нумерологии, где простая математика имеет преимущество над материей. Он произвольно соотнес три цикла с точным количеством дней, отсчитываемых от рождения. Очевидно, что каждый из этих циклов не состоит из круглого числа дней. В таблице 1 красным цветом обозначен процесс, связанный со знаками зодиака, желтым цветом 30-дневный цикл, голубым цветом 27-дневный цикл, зеленым цветом 22-дневный цикл, с правой стороны обозначено количество дней. В первой колонке указан номер Категории (понятие категории, описанное в позиции [1]), в первой строчке день месяца.

30-дневный цикл - 1/12 знака зодиака

Когда мы посмотрим на графике на примерно 30-дневный цикл, заметим, что он четко синхронизирован со знаками зодиака. Это ровно 1/12 времени продолжительности цикла знаков зодиака, то есть 30,44 дня. Когда знак зодиака находится в своей начальной фазе, то малый цикл находится в Категории 1 (эквивалент Овна), а когда знак зодиака находится в последней фазе, малый цикл находится в Категории 12 (эквивалент Рыб). Тут мы имеем дело с так называемым планетарным фракталом, описанным в книгах одного из авторов данной работы. [2, 3] В этих книгах он был описан на основании циклов развития человека и животных, а также на основании распределения устойчивых этнических особенностей на земном шаре. Это фрактал со многими уровнями схожести, соответствующий в своей идее эзотерическому праву октав [4]. Но, в отличие от права октав с разделением на семь или восемь составляющих частей, содержащимся в литературных описаниях только фрагментарно, тут имеет место деление целого на двенадцать частей и каждой части на двенадцать и, опускаясь еще ниже, на двенадцать и т.д. В излучении Солнца при более точных измерениях мы можем заметить присутствие третьего уровня - 1/144 продолжительности цикла знаков зодиака около 2,54 дня, где изменения фазы происходят каждые несколько часов.

В книге [2] описаны так называемые часы развития, работающие по модели планетарного фрактала, синхронизированного с годовым вращением Земли вокруг Солнца (фаза цикла передвинута). Очередные фазы цикла связаны с активацией определенных систем нейропередачи в мозге. В часах развития человека наблюдаются циклы: 144 года (изменение фазы каждые 12 лет), 12 лет и 1 год, а у грызунов 1/12 года. Ниже представлена сводка, взятая из этой книги, опирающаяся на повторный анализ данных, содержащихся в научных публикациях, с добавлением гистамина. В сводке также поданы психические функции и расстройства, связанные с отдельными нейропередатчиками.

Август 2011

| | 1 | 2 | 3 | 4 | 5 | 6 | 7 | 8 | 9 | 10 | 11 | 12 | 13 | 14 | 15 | 16 | 17 | 18 | 19 | 20 | 21 | 22 | 23 | 24 | 25 | 26 | 27 | 28 | 29 | 30 | 31 | | |
|-----|-----|-----|-----|-----|-----|-----|-----|-----|-----|-----|-----|-----|-----|-----|-----|-----|-----|-----|-----|-----|-----|-----|-----|-----|-----|-----|-----|-----|-----|-----|-----|-----|--|
| K1 | 180 | 90 | 100 | 90 | 90 | 340 | 320 | | 90 | 110 | 100 | 100 | 100 | 100 | 100 | 100 | 100 | 100 | 100 | 100 | 100 | 100 | 100 | 100 | 100 | 100 | 100 | 100 | 100 | 100 | 100 | 100 | |
| K2 | 180 | 100 | 90 | 90 | 90 | 100 | 90 | 520 | | 270 | 360 | 100 | 100 | 100 | 100 | 100 | 100 | 100 | 100 | 100 | 100 | 100 | 100 | 100 | 100 | 100 | 100 | 100 | 100 | 100 | 100 | 100 | |
| K3 | 180 | 100 | 100 | 90 | 90 | 100 | 90 | 400 | 500 | 550 | 530 | 110 | 110 | 110 | 110 | 110 | 110 | 110 | 110 | 110 | 110 | 110 | 110 | 110 | 110 | 110 | 110 | 110 | 110 | 110 | 110 | 110 | |
| K4 | 300 | 310 | 340 | 90 | 100 | 100 | 90 | 90 | 130 | 390 | 400 | | 580 | | | | | | | | | | | | | | | | | | | 30 | |
| K5 | 320 | 350 | 330 | 400 | 400 | 250 | 330 | 400 | 300 | 330 | 460 | 340 | 440 | | | | | | | | | | | | | | | | | | | | |
| K6 | 210 | 100 | 100 | 110 | 90 | 380 | 500 | 100 | 110 | 100 | 300 | 420 | | | | | | | | | | | | | | | | | | | | | |
| K7 | 180 | 100 | 100 | 90 | 90 | 100 | 90 | 290 | | 130 | 100 | 100 | 200 | | | | | | | | | | | | | | | | | | | | |
| K8 | 180 | 100 | 100 | 90 | 80 | 100 | 90 | 300 | 200 | 500 | 100 | 100 | 100 | 100 | 100 | 100 | 100 | 100 | 100 | 100 | 100 | 100 | 100 | 100 | 100 | 100 | 100 | 100 | 100 | 100 | 100 | | |
| K9 | 420 | 400 | 100 | 100 | 90 | 100 | 90 | 100 | 520 | 100 | 450 | 500 | | | | | | | | | | | | | | | | | | | | | |
| K10 | 190 | 100 | 220 | 100 | 90 | 100 | 90 | 120 | 140 | 100 | 150 | 150 | | | | | | | | | | | | | | | | | | | | | |
| K11 | 300 | 350 | 360 | 350 | 270 | 100 | 90 | 100 | 130 | 100 | 100 | 100 | 380 | 360 | 330 | 130 | 120 | 250 | 270 | 210 | 280 | 480 | 200 | 100 | | | | | | | | | |
| K12 | 180 | 100 | 620 | 630 | 500 | 560 | 750 | | 230 | 120 | 100 | 100 | | | | | | | | | | | | | | | | | | | | | |

Сентябрь 2011

| | 1 | 2 | 3 | 4 | 5 | 6 | 7 | 8 | 9 | 10 | 11 | 12 | 13 | 14 | 15 | 16 | 17 | 18 | 19 | 20 | 21 | 22 | 23 | 24 | 25 | 26 | 27 | 28 | 29 | 30 |
|-----|-----|-----|-----|-----|-----|-----|-----|-----|-----|-----|-----|-----|-----|-----|-----|-----|-----|-----|-----|-----|-----|-----|-----|-----|-----|-----|-----|-----|-----|-----|
| K1 | 450 | 500 | 150 | 240 | 190 | 120 | 120 | 100 | 120 | 420 | 300 | 130 | 130 | 120 | 120 | 120 | 120 | 120 | 120 | 230 | 200 | 260 | 450 | 200 | 150 | 110 | 130 | 360 | 420 | 27 |
| K2 | 180 | 200 | 490 | 380 | 230 | 120 | 130 | 110 | 100 | 110 | 120 | 370 | 330 | 110 | 120 | 120 | 120 | 120 | 120 | 120 | 140 | 120 | 430 | 400 | 300 | 190 | 270 | 220 | | |
| K3 | 500 | 230 | 270 | 280 | 350 | 370 | 130 | 100 | 100 | 200 | 200 | 100 | 110 | 350 | 420 | | | | | 110 | 130 | 120 | 130 | 130 | 200 | 260 | 380 | 340 | 280 | |
| K4 | 390 | 480 | 480 | 220 | 200 | 240 | 330 | 360 | 170 | 240 | 270 | 120 | 170 | 110 | 150 | | | | | 330 | 150 | 150 | 200 | 140 | 180 | 200 | 270 | 240 | 300 | 480 |
| K5 | 200 | 280 | 220 | 440 | 220 | 200 | 200 | 220 | 350 | 210 | 240 | 240 | 220 | 240 | 250 | | | | | 360 | 390 | 200 | 220 | 210 | 240 | 240 | 210 | 230 | 240 | 250 |
| K6 | 490 | 520 | 450 | 490 | 510 | 480 | 490 | 520 | 500 | 510 | 490 | 480 | 480 | 490 | 520 | | | | | 460 | 470 | 500 | 480 | 190 | 130 | 100 | 150 | 180 | 130 | 150 |
| K7 | 380 | 150 | 180 | 100 | 100 | 180 | 480 | 470 | 280 | 250 | 270 | 300 | 350 | 390 | 160 | | | | | 120 | 100 | 130 | 200 | 520 | 490 | 450 | 490 | 500 | 520 | 470 |
| K8 | 100 | 100 | 400 | 400 | 200 | 100 | 130 | 130 | 100 | 380 | 380 | 380 | 260 | 260 | 290 | 440 | | | | 380 | 240 | 140 | 120 | 130 | 310 | 320 | 200 | 250 | 270 | |
| K9 | 100 | 110 | 110 | 400 | 130 | 100 | 120 | 100 | 140 | 200 | 290 | 370 | 400 | 190 | 260 | | | | | 440 | 470 | 280 | 200 | 150 | 110 | 120 | 230 | 310 | 420 | 280 |
| K10 | 110 | 110 | 100 | 100 | 100 | 430 | 430 | 200 | 100 | 100 | 100 | 110 | 170 | 300 | 340 | 380 | | | | 280 | 220 | 400 | 390 | 350 | 260 | 260 | 120 | 120 | 200 | 350 |
| K11 | 100 | 100 | 120 | 100 | 130 | 190 | 460 | 360 | 120 | 110 | 110 | 110 | 120 | 150 | 470 | | | | 350 | 300 | 300 | 200 | 370 | 400 | 350 | 140 | 150 | 200 | 230 | |
| K12 | 200 | 110 | 100 | 100 | 100 | 120 | 370 | 300 | 360 | 230 | 120 | 110 | 100 | 180 | | | | | 330 | 360 | 430 | 120 | 240 | 260 | 340 | 400 | 240 | 230 | | |

Таблица 1 Циклы горизонтального поля Солнца

Норадреналин (выступает соединение норадреналина с адреналином) - Категория 1, Категория 8 – поиск нового, активность, агрессия, уровень возбуждения, включен в изменяющиеся состояния настроения в мании и депрессии.

Ацетилхолин - Категория 2 – принимает участие в преобразовании чувствительных раздражителей, поиске существенных раздражителей или связанных с наградой, включен в обучение, память и изменяющиеся состояния настроения в мании и депрессии.

Глутаминовая кислота (выступает соединение глутаминовой кислоты с глицином и GABA - для К3) - Категория 3, Категория 6 – высшие умственные функции, основа обучения и памяти, шизофрения, галлюцинации, иллюзии.

Серотонин - Категория 4 – играет роль в страхе, связь с оборонительным поведением, аппетит на углеводы, комплекс посттравматических нарушений.

Допамин - Категория 5 – связь с системой награды и мотивации, в том числе с предвидением награды, снижение аппетита, паранойя.

Опиоиды (выступает соединение опиоидов с ацетилхолином - для К7) - Категория 7 – модуляция ощущения боли, аппетит на углеводы и жиры, деперсонализация, диссоциация, дереализация.

Каннабиноиды - Категория 11 – эффект награды, усиление аппетита, особенно на сладкую пищу, параноидальные черты.

Гистамин - Категория 12 – регуляция аппетита, регуляция термогенеза, зависимость от психоактивных веществ, противоэпилептическое действие, возбуждение сознания, болезненное поведение.

Эту сводку, сделанную на основании планетарного фрактала, синхронизованного длиной периода ровно с оборотом Земли вокруг Солнца, без учета присутствия такого фрактала в излучении, доходящем к нам с Солнца, можем для начала принять как аналогичную планетарному фракталу, наблюдаемому в наших опытах измерения торсионного поля, приходящего с Солнца. Дополнительно имеет место четкое совпадение особенностей знаков зодиака, описанных астрологами, с Категориями, представленными в часах развития [2]. Эти знания могут использоваться для создания нового поколения гомеопатических лекарств, действующих на системы нейропередачи.

Перемещение знаков зодиака на 21 час и характер момента перехода

Теоретически стоило бы ожидать, что изменение знаков зодиака в виде торсионного поля, доходящего с Солнца, будет или скачкообразное, или в приближении линейно интенсивность соседних знаков зодиака будет меняться на всей длине диаметра Солнца, когда оно проходит через границу знаков зодиака на эклиптике. С этой целью было проведено исследование изменений интенсивности излучения отдельных Категорий Солнцем в районе перехода от одного до другого знака зодиака. Уже предварительные исследования показали, что переход к следующему знаку зодиака задерживается примерно на 21 час с точки зрения астрологических эфемерид, как польских [5], так и американских [6]. Факт перемещения вхождения в очередной знак зодиака имеет важные коннотации для астрологических интерпретаций, особенно если учесть, что некоторые авторы астрологических эфемерид хвалятся, что произвели расчеты с точностью до секунды, что может усыпить бдительность астрологов, использующих такие эфемериды и, как правило, осознающих ограниченность точности составляемого гороскопа.

Вторым наблюдением был факт, что астрологически активной является только внутренняя часть Солнца – ядро. Поперечник солнечного диска, видного летом - это 31 угловая минута, то есть Солнце перемещается через данную точку эклиптики 12,5 часа. Наблюдаемые изменения делятся менее 2,5 часов, то есть астрологически активной является только 1/5 диаметра Солнца. В это время происходит постепенное снижение интенсивности определенного знака зодиака (в представленном ниже случае К3) и увеличение

интенсивности следующего (К4), при одновременном снижении интенсивности Категории 12 меньшего цикла 1/12 года и росте интенсивности Категории 1 цикла 1/12 года. На рис. 1 представлен переход Солнца к очередному знаку зодиака – от знака Тельца к Близнецам, измеренный 21.05.2016 г.

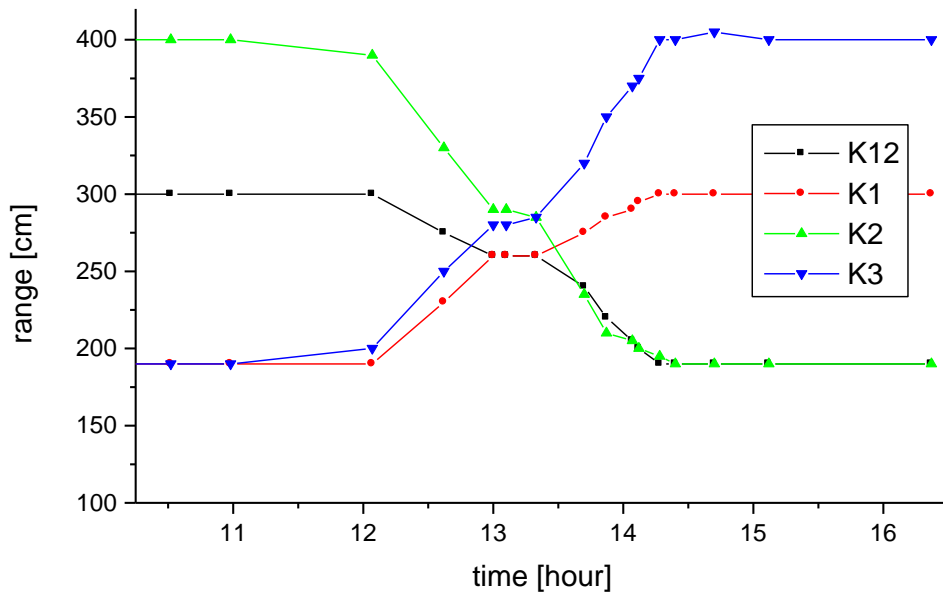


Рис. 1. Измерения изменений интенсивности во времени в излучении торсионного поля Солнца 21.05.2016, для четырех Категорий, которые были непосредственно связаны с изменением знака. К12 - последняя Категория малого цикла, К1 – первая Категория малого цикла, К2 – уходящий знак зодиака, К3 – входящий знак зодиака.

В 13.15 видно малое *плато*, продолжающееся около 0,5 часа. Из нескольких измерений, сделанных в течение нескольких лет, вырисовывается общий характер изменения входящего знака зодиака, представленный на рис. 2.

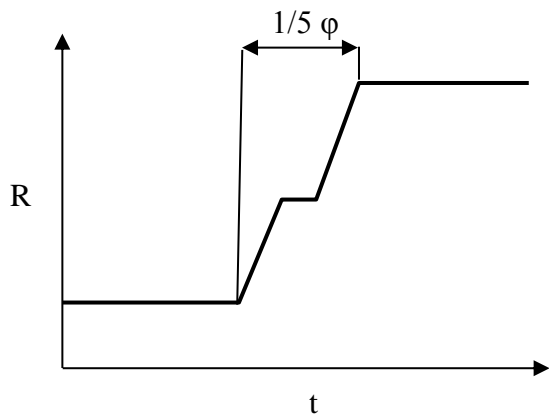


Рис. 2. Характер изменений интенсивности излучения из ампулы, подвергнутой облучению ускорителем элементарных частиц, нарисован для Категории, отвечающей знаку зодиака, в который входит Солнце. t - время, R - радиус действия излучения из ампулы с водой для исследуемой Категории. Символ $1/5\phi$ показывает время, в течение которого Солнце передвинется на эклиптике на расстояние, соответствующее $1/5$ его диаметра.

Это малое *плато* является самым интересным эффектом, поскольку указывало бы на еще меньшее ядро с другими свойствами во внутренней части этого большего, охватывающего $1/5$ диаметра Солнца.

Центр плато, имеющий отношение к изменению знака зодиака, припадал на 21.05.2016 на 13:15. Данные, полученные с эфемерид [4], указывают, что изменение знака зодиака должно иметь место в предыдущий день в 14:34 по времени GMT, то есть 16.34 по местному времени. Это означает задержку изменения знаков зодиака на 20 часов и 41 минуту.

27-дневный цикл

Для 27-дневного цикла (способ определения, что переход Категории 7 связан с 27-дневным циклом, описан в следующей части статьи) мы наблюдали в ходе тех же измерений 21.05.2016 присутствие аналогичного малого *плато* с продолжительностью около 0,5 часа для Категории 7. Появление эффекта произошло чуть позже, совпадение этих двух переходов Категории 7 стоит признать случайным.

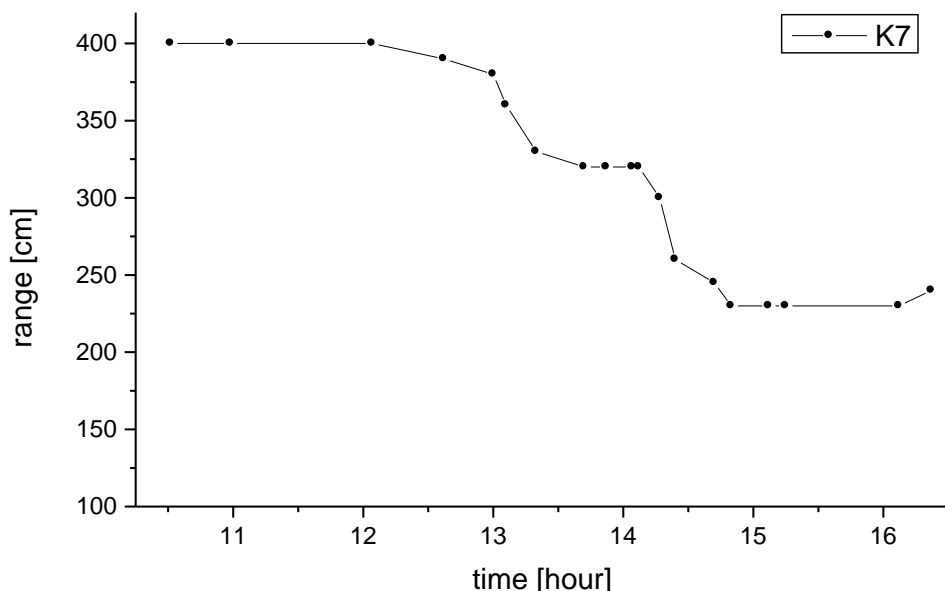


Рис. 3. Измерения изменений интенсивности Категории 7 во времени в излучении торсионного поля Солнца 21.05.2016, связанной в это время с 27-дневным циклом.

Тот же характер изменений говорит о том, что, как знаки зодиака и 30-дневный цикл генерируются планетарным фракталом земли (геоцентрическая система знаков зодиака на эклиптике), так и два остальных цикла, скорее всего, имеют внешнее происхождение от планет Солнечной системы, а не генерируются только Солнцем.

Способ, каким торсионное поле доходит с Солнца

Лабораторно исследованная скорость расхождения частиц торсионного поля в воздухе – это несколько десятков м/с [1, 7], то есть очень мало. С другой стороны, когда мы разделим на призме пучок света из полупроводникового лазера или галогенной лампочки, получим невидимый отдельно пучок торсионного поля и отклоненный на другой угол пучок света, причем оба эти пучка несут признаки торсионного поля.

Мы провели следующий опыт. Первая проба – ускоритель направлен на Солнце, информация переносится на ампулу с водой, то есть так, как мы стандартно собираем информацию, происходящую от Солнца. Вторая проба была показана таким же способом, но перед ускорителем мы разместили зеркальце, которое отразит фотоны света и пропустит торсионное поле. Третья проба была показана через размещенное перед ускорителем стекло, наклоненное под углом 45°, которое по принципу полного наружного отражения отбросит в сторону частицы торсионного поля, приходящие со стороны Солнца, и пропустит фотоны

света. Излучение с первой пробы показало типичный спектр знаков зодиака, характерный для Солнца с самым сильным сигналом K11, происходящим от активного знака зодиака, в котором находилось Солнце. Во второй пробе все Категории были ослаблены примерно в 10 раз, в третьей пробе весь спектр незначительно отличался от первого, но был ослаблен примерно на 5%. Это означало бы, что частицы торсионного поля проходят с Солнца через космический вакуум на фотонах света. В свою очередь, исследование влияния облачности на получаемый сигнал торсионного поля показало, что 10-кратное уменьшение интенсивности освещения с 60 000 лк до 6 000 лк привело к снижению зоны действия излучения из ампулы с водой только примерно на 5%. Это означает, что в перенесении частиц торсионного поля главное участие принимают фотоны в зоне инфракрасного излучения.

Возможно, это не единственный путь, по которому информация торсионного поля с Солнца доходит к нам. По мнению астрологов, ночь не препятствует астрологическому влиянию Солнца на человека. Стоит принять во внимание сущность планетарного фрактала, создающего пространства знаков зодиака на эклиптике, скорее всего, как чистого торсионного поля, независимого от перемещающихся в пространстве частиц торсионного поля, которое могло бы возвращаться, отраженное от Солнца, но тут можно только выдвигать гипотезы. Кроме самого существования планетарного фрактала, мы почти ничего не знаем о свойствах этого поля.

Спектроскопия

Для более точного исследования торсионного поля, досягающего к нам с Солнца, мы применили спектроскопию торсионного поля, используя сконструированный нами спектроскоп оптического типа, то есть опирающийся на свойствах геометрической оптики в применении к торсионным полям. Идея строения спектроскопа принадлежит Томасу Галлену Иеронимусу [8], который проводил разделение торсионного поля, происходящего от химических элементов, на стеклянной призме. Вместо разделения на призме мы применили как преломляющую плоскость поверхность одной из двух линз, использованных в системе для создания параллельного пучка методом Фраунгофера и наклоняемой под переменным углом. Принимая во внимание проницаемость торсионных полей, большую длину волны около 2 мм и дробный коэффициент преломления для стекла, мы разработали специальные коллиматоры и использовали вогнутые линзы. Сигнал с ампулы с водой, излучающей частицы торсионного поля, после прохода через систему расщепления спектра усиливается ускорителем элементарных частиц торсионного поля и переносится на ампулы с водой, создающие очередные фракции разделения как аналитического, так и препаратного, с которых излучение считывается методом кинезиологического типа. Широкое описание как строения спектроскопа, так и его исследовательских возможностей есть в публикации, которая готовится к печати и предназначена для публикации в издании «Журнал Формирующихся Направлений Науки».

Для исследования спектра торсионного поля, досягающего с Солнца, показывающего присутствие химических элементов, использована архивная проба от 27 августа 2011 года с четким отношением к ранее охарактеризованным циклам. Результаты представлены на рис. 4. Основной спектр – это расположенная ниже всех кривая, он измерен для Категории, которая не выделена в Таблице 1 от 27 августа. Выбрано Категория 12. Принимая во внимание, что в гомеопатических препаратах основной сигнал, представленный определенной Категорией, сопровождается другими Категориями с меньшей интенсивностью, но тоже несущими эту частотную информацию, создавая график спектра для одной Категории, не теряется информация, связанная с другими Категориями, а только меняется интенсивность отдельных пиков сигнала. Принадлежность отдельных пиков определенным химическим элементам определена двумя методами на основании расположения пика на спектре (угол отклонения пучка), руководствуясь ранее определенным положением образцовых препаратов гомеопатических элементов и резонансным методом. Резонансный метод заключается в постановке рядом с ампулой с препаратом, полученным

как фракция из спектроскопии, пробы минимум 10 г химического элемента. Увеличение зоны излучения на 15%-50% говорит о присутствии в полученном препарате информации данного элемента. Увеличение на 5% не специфически связано с массой дополнительной субстанции. Этот резонанс характерен для количества протонов в ядре элемента. Нас интересуют самые сильные пики, происходящие, в частности, от железа (Fe), йода (J), ртути (Hg) и двух изотопов урана ^{234}U и ^{238}U . Уран мы не проверяли резонансным методом, поскольку радиоактивное излучение радиоактивных элементов стимулирует не специфически измеряемую зону излучения гомеопатических препаратов. Полученные пики не обязательно пропорциональны количеству элементов в объекте источника, поскольку торсионное поле, излучаемое элементами, поддающимися радиоактивному распаду, может быть несколько рядов величины интенсивнее, чем происходящее от устойчивых элементов. Также нет уверенности, что отдельные пики торсионного поля, видимые на спектре, происходят с самого Солнца. Существует теоретическая возможность, что они могут быть ретранслированы от планет по их планетарным фракталам.

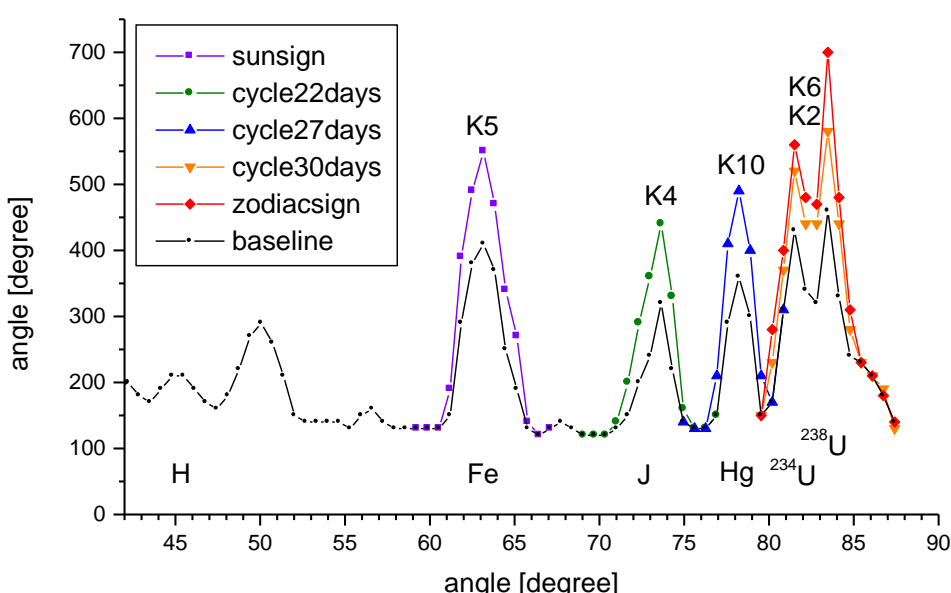


Рис. 4. Спектр торсионных полей, доходящих с Солнца, выполненный спектроскопом торсионных полей с архивной пробой от 27 августа 2011 г. Ось абсцисс – угол падающего пучка с перспективы преломляющей плоскости, измеряемый в градусах, ось ординат – зона излучения из проб на выходе спектроскопа, измеряемая в сантиметрах.

Обозначения: фиолетовые квадраты (*sunsign*) - не изменяющийся во времени сигнал, характерный для Солнца измеренный образцом K5, зеленые кружки (*cycle 22 days*) - 22-дневный цикл измеренный образцом K4, голубые треугольники (*cycle 27 days*) - 27-дневный цикл измеренный образцом K10, оранжевые треугольники кончиком донизу (*cycle 30 days*) - 30-дневный цикл измеренный образцом K2, красный квадрат кончиком вверх (*zodiac sign*) - знак зодиака измеренный образцом K6, черные маленькие кружки (*baseline*) - основная кривая измеренная образцом K12.

Следующим шагом является определение, с какими элементами связаны очередные циклы. Когда мы будем определять спектр для Категорий, в которой сейчас находится данный цикл, пик элемента, с которым связан цикл, будет иметь высшую интенсивность. Проведено определение спектра для пяти Категорий, которые 27.08.2011г. имели высокую интенсивность. Пользуясь данными предыдущих опытов, в этом опыте были выполнены только подтверждающие измерения в сфере пиков, которые уже в более ранних опытах были связаны нами с определенными циклами. Течение для этих Категорий мы видим на графике выше пиков основного течения, обозначенные такими цветами, как в таблице 1 и выделенные геометрическими фигурами. Результат следующий. Не изменяющемуся во времени сигналу, характерному для Солнца (K5) отвечало железо, 22-дневному циклу – йод, 27-дневному циклу – ртуть, 30-дневному циклу и знаку зодиака – уран. Уран выступает тут

в виде изотопа 234 (присутствует в натуральном уране в количестве всего 0,005%, значительно меньшей от урана 235, но проявляющий значительное излучение α), а также изотопа 238. Оба изотопа представлены той же Категорией.

Сейчас, когда у нас есть установленная связь между циклами и элементами, представляющими их, больше нет потребности рисовать день за днем график Категорий, чтобы не потерять, какой сигнал принадлежит к какому циклу. Мы можем в любой момент при помощи спектроскопа выделить фракции для йода (фр. 74°) и ртути (фр. 79°) и проверить в них, какие Категории самые сильные. Таким способом мы определили для пробы от 21.05.2016, полученной в 8:06, что Категории K7 отвечает 27-дневный цикл, а Категории K8 22-дневный цикл. Это было представлено в таблице 2.

Таб. 2. Переход Телец-Близнецы для проб от 21.05.2016.

| Кате- гория | время 8.06 | время 16.22 | время 8.06 J фракция 74 | время 8.06 Hg фракция 79 |
|----------------|----------------------------|----------------------------|-------------------------------|--------------------------------|
| | радиус действия [см] | радиус действия [см] | радиус действия [см] | радиус действия [см] |
| K1 | 190 | 300 | 170 | 170 |
| K2 | 400 | 190 | 170 | 180 |
| K3 | 190 | 400 | 170 | 170 |
| K4 | 200 | 190 | 180 | 170 |
| K5 | 370 | 370 | 170 | 170 |
| K6 | 210 | 210 | 180 | 180 |
| K7 | 400 | 240 | 250 | 360 |
| K8 | 280 | 350 | 300 | 180 |
| K9 | 220 | 190 | 170 | 180 |
| K10 | 190 | 190 | 190 | 180 |
| K11 | 190 | 200 | 180 | 170 |
| K12 | 300 | 190 | 170 | 170 |

Возвращаясь к таблице 1, в которой 27-дневный цикл демонстрирует некоторые отклонения от прямолинейности, мы проверяли этим методом каждые несколько дней самые сильные Категории для фракций 74 и 79 (выделенные в таблице 1 более темным цветом). Полученные результаты показывают, что 27-дневный цикл не совсем чистый, что он состоит из двух циклов ртути с похожим периодом, наложенных друг на друга.

Исследуя торсионное поле, происходящее от разных небесных тел: Солнца, Луны и Юпитера с использованием образцов, отвечающих Категории актуального знака зодиака во всех этих случаях самым сильным сигналом была раздвоенная вершина двух изотопов урана с той же пропорцией компонентов. Такой же сигнал урана мы получили, когда на зазор первого коллиматора направили при помощи вогнутого зеркала пучок торсионного поля, выходящего вертикально из Земли, а также, когда воду облучали в течение 1 часа торсионным полем, излучаемым из ацетата уранила, без усиления ускорителем элементарных частиц. Сравнение графиков находится на рис. 5. Пробы, исследованные спектроскопом, были ранее скопированы, используя такое же время, чтобы все имели ту же зону излучения, но первоначально не отличались друг от друга более чем в два раза.

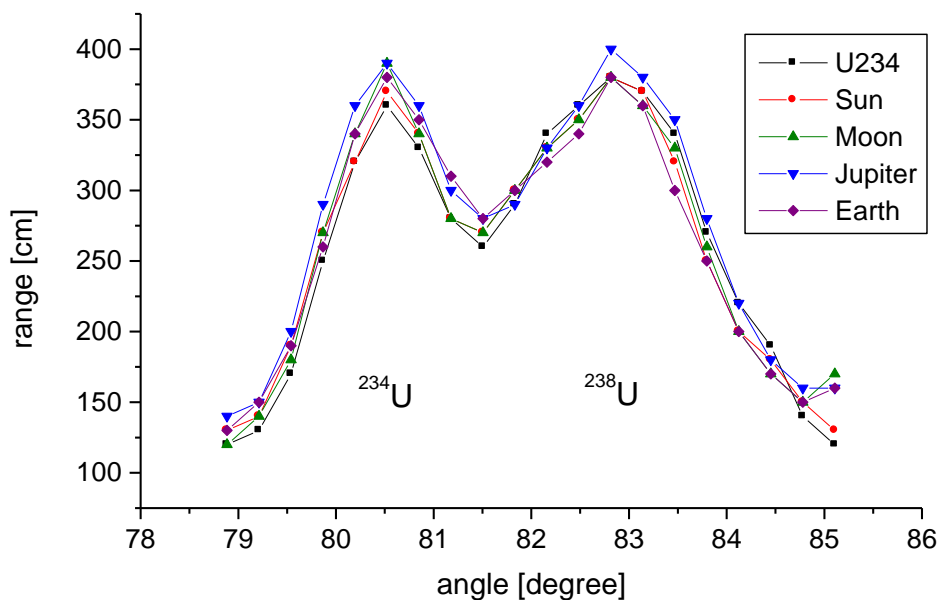


Рис. 5. Сравнение сигнала урана в доходящем торсионном поле: с излучения ацетата уранила (К8) - U234; с Солнца (6.09.2012, К6) - Sun; с Луны (6.09.2011, К10) - Moon; с Юпитера (1.10.2011, К2) - Jupiter; из глубины Земли (15.06.2016, К6) Earth. Ось абсцисс – угол падающего пучка с перспективы преломляющей плоскости измеряемый в градусах, ось ординат – зона излучения из проб на выходе спектроскопа, измеряемая в сантиметрах.

Можно сказать, что уран вездесущий. Но, возможно, в случае Солнца, Луны и Юпитера это информация, которая дошла с Земли, ведь мы рассматриваем здесь знаки зодиака, которые по своей природе геоцентрические. В этом случае информация, которая кроется под 30-дневным циклом и знаками зодиака, приходящими от Солнца, была бы земного происхождения, а 27-дневная и 22-дневная информация передавалась бы от других планет. Характерно то, что под этими двумя циклами, представленными в таблице 1, представленный теми же Категориями, находится также уран, но в интенсивности несколько раз меньшей, чем в 30-дневном цикле. Мы обнаружили это, исследуя распределение Категорий для пика урана из спектроскопии от 27.08.2011. Аналогичное явление синхронизации Категорий для сигналов разных элементов мы получили в полном спектре, полученном из глубины Земли, где все пики элементов имеют такое же распределение Категорий. В таблице 3 показано распределение интенсивности Категорий для выбранных нескольких элементов.

Таблица 3. Эффект синхронизации Категорий на определенном участке Земли (15.06.2016)

| Кате- гория | Земля фрак- ция 52,5 Si | Земля фрак- ция 63,5 NiFe | Земля фрак- ция 78 Bi | Земля фрак- ция 80,5 ^{234}U | Территория Категории | проявления |
|----------------|-------------------------------------|---------------------------------------|-----------------------------------|---------------------------------------------------|-------------------------|------------|
| | радиус действ ия [см] | радиус действи я [см] | радиус действи я [см] | радиус действи я [см] | | |
| K1 | 160 | 160 | 150 | 150 | | |
| K2 | 160 | 160 | 150 | 150 | | |
| K3 | 160 | 170 | 160 | 160 | | |
| K4 | 150 | 150 | 150 | 150 | | |

| | | | | | |
|-----|-----|-----|-----|-----|-----------------------------------------------------------|
| K5 | 350 | 340 | 340 | 360 | Центральная Европа - 1/12 длины параллелей |
| K6 | 350 | 350 | 350 | 360 | Центральная Европа - 1/12 длины меридианов |
| K7 | 250 | 250 | 250 | 260 | Поморское воеводство в Польше - 1/144 длины параллелей |
| K8 | 250 | 250 | 250 | 260 | Поморское воеводство в Польше - 1/144 длины меридианов |
| K9 | 160 | 160 | 160 | 150 | |
| K10 | 170 | 180 | 180 | 170 | |
| K11 | 150 | 170 | 160 | 160 | |
| K12 | 160 | 180 | 170 | 160 | |

Выделенные в таблице более интенсивным фоном Категории не случайны. Они представляют определенную территорию земного шара, описанную в таблице 3. Самые сильные и чуть более слабые Категории полностью соответствуют картам распределения Категорий на земном шаре, которые есть в книге одного из авторов статьи [3], в которой систематическое распределение Категорий на Земле было определено только на основании широкого обзора этнических данных. Такое распределение Категорий, как было предусмотрено ранее, должно иметь место на территории Поморского воеводства, где находится наша лаборатория. Это прекрасное подтверждение связи торсионных полей, присутствующих на данной территории, с психикой людей, независимо от зависимостей, которые установлены в астрологии. Также это подтверждение правильности нового подхода к сути национальных черт, предложенной в данной книге. Таким образом, традиционное понятие «народ» и «патриотизм» приобретают конкретные очертания, а проводимые ранее на тему этих двух понятий философские споры и попытка обоснования смысла экспериментирования с так называемым этническим котлом, из которого должно появиться новое – лучшее общество, становятся бессмысленными.

Ртуть и йод в HCG

Присутствие йода в так называемом физическом цикле сразу ассоциируется с йодом, содержащимся в щитовидной железе, и интенсивностью основного обмена веществ, регулированного гормонами щитовидной железы, например, тиреоидином. То есть, в общем с регуляцией энергетики организма. Следовательно, название, присвоенное циклу, адекватно биохимическим связям.

Занимаясь вопросом использования гомеопатических препаратов, полученных с торсионного поля, содержащего информацию о знаках зодиака, для регуляции систем нейропередачи, в том числе для регуляции (уменьшения) аппетита, мы также исследовали относящуюся к этой теме информацию по хорионическому гонадотропину (HCG - human chorionic gonadotropin), обладающему, как указано, эффектом, который приводит к тому, что, несмотря на недостаточное питание организма, не чувствуется усталость. Этот эффект связан с видом как химического вещества, так и гомеопатического препарата. Ниже (рис. 6) размещен спектр спектроскопии торсионного поля, перенесенный на воду с двух ампул медицинского препарата «Прегнил», который содержит 6мг HCG плюс около 200мг производных сахаров, консервирующих препарат. Препарата был получен из мочи беременных женщин, поэтому является максимально натуральным препаратом. Важной была проверка, даст ли изготовление первичной настойки при помощи специального малого ускорителя торсионных полей препарат с видимым за количественно преобладающими сахарами сигналом HCG.

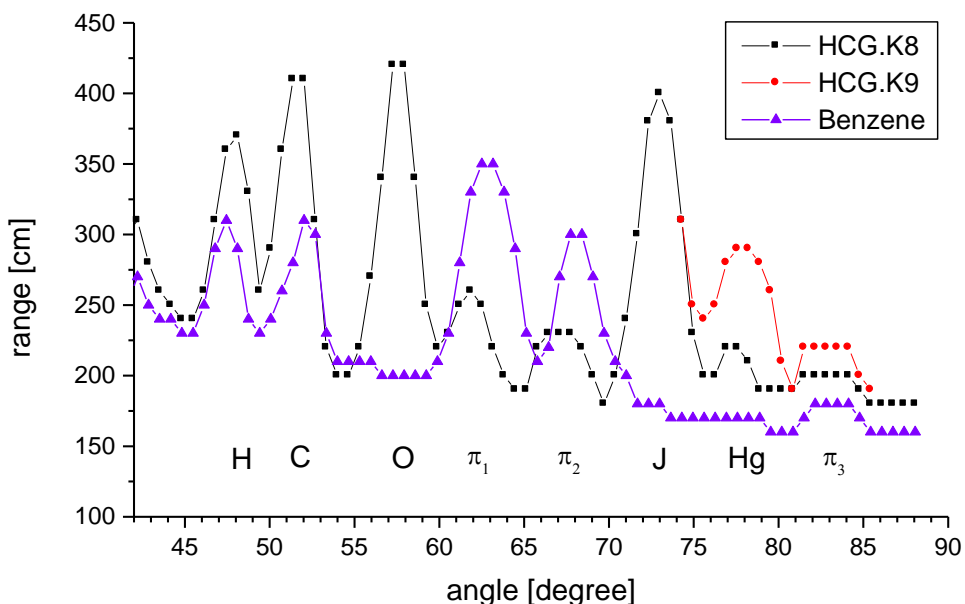


Рис. 6. Спектр препарата «Прегнил» 5000 м.е. Копия двух ампул фирмы N.V. Organon, LOT 176282. Весь график «Прегнила» был получен для самой сильной для этого препарата Категории K8. Зона пика ртути была дополнительно определена для Категории K9 для выделения присутствия этого элемента. Также был показан спектр бензола, как сравнительный для определения присутствия ароматических колец. Ось абсцисс – угол падающего пучка с перспективы преломляющей плоскости, измеряемый в градусах, ось ординат – зона излучения из проб на выходе спектроскопа, измеряемая в сантиметрах.

На кривой спектра видны первые три пика – это атомы водорода, углерода и кислорода, в основном происходящие от находящихся в численном преимуществе сахаров. Пики π_1 , π_2 , π_3 , происходят от колец ароматических аминокислот. По отношению к торсионным полям это особая группа, поскольку частицы торсионного поля могут кружить по кольцам, содержащим электроны π , как электроны. Для сравнения, что в этом случае идет речь об ароматических кольцах, тут размещен график бензола, на котором видны такое же пики. На основании пиков ароматических колец мы можем говорить, что сигнал HCG был перенесен на воду, и мы можем ожидать, что препарат будет биологически активным.

Остался еще сюрприз. Два последних пика принадлежат йоду и ртути, то есть солнечным циклам. Связанному с энергетикой организма 22-дневному циклу и 27-дневному лунному циклу у женщин. По крайней мере, на такую мысль наводят результаты. Не то, чтобы мы совсем не ожидали такого результата, все же мы немного рассчитывали на элементы солнечного цикла. У нас нет исследований для препарата HCG другого производителя, но мы выполнили аналогичный спектр для препарата этой фирмы из другой серии LOT 144701, первый куплен в Польше, другой в Германии. Спектр показал аналогичный результат, йода и ртути было примерно в два раза меньше. Результат настолько интересный, что гормон HCG образовывающийся в плаценте, состоит из двух цепочек, одна – уникальная, а вторая совместная с гормонами гипофиза: LH, FSH, TSH. Если йод и ртуть связаны с общей частью этих гормонов гипофиза, то вся система, связанная с гипофизом, будет регулироваться солнечными циклами. Стоит надеяться, что найденный йод и ртуть – радиоактивные элементы, присутствующие в очень малом количестве, но достаточном для того, чтобы систематически производить в упомянутом гормоне гомеопатический препарат, который будет фильтром информации, приходящей извне. Из наших опытов следует, что вещества, проявляющие радиоактивные свойства в процессе хранения, становятся гомеопатическим препаратом, переносящим информацию об атомах, подлежащих распаду. Таким образом, если мы попробуем изготовить гомеопатический препарат из ацетата уранила с использованием ускорителя торсионного поля (и стоит надеяться, что также через классическое потенцирование) и не изгоним снижением магнитного поля гомеопатическую

информацию, переносимую этим химическим соединением, (которое может быть таким же носителем информации, как вода), то вместо ожидаемого препарата целой частицы ацетата уринила, основанной на уране 238, получим препарат, подавленный информацией о подлежащих интенсивному распаду атомах урана 234. Проведенные опыты – это, конечно, всего лишь первый предвестник познания приемников солнечных циклов, указывающий на вероятно очень результативное направление исследований.

Ртутные и галогенные лампы, нарушающие биологические часы

Широко используемые ртутные лампы излучают торсионное поле, несущее сигнал ртути, а галогенные – торсионное поле йода, то есть информацию, используемую человеческим организмом для регуляции биологических циклов. Интенсивность сигнала от этих ламп сравнима с той, которая приходит с Солнца. Так что можем ожидать, что наши биологические часы будут нарушены, причем не каким-то вероятным, а количественным способом, путем замены естественного сигнала нарушающим сигналом.

Галогенная лампочка излучает торсионное поле, происходящее из йода и вольфрама, при этом присутствие переменного тока вводит дополнительные сигналы йода и вольфрама, модулированные частотой сети. На рисунке 7 они расположены перед и за соответствующими сигналами йода и вольфрама. Использование питания постоянным током вместо переменного привело к многократному снижению уровня излучения торсионного поля, что видно на графике. В исследуемом нами случае постоянный ток имел определенные пульсации, поскольку была использована простая система выпрямителя, который можно применять для уменьшения вредного действия торсионного поля в индивидуальных лампах. Для лампочки 42W использован последовательно соединён полизстеровый конденсатор $15\mu F$, снижающий напряжение для получения в конечном результате подходящего напряжения, эффективного для лампочки 230V, дальше выпрямительный мостик и электролитический выравнивающий конденсатор $220\mu F$.

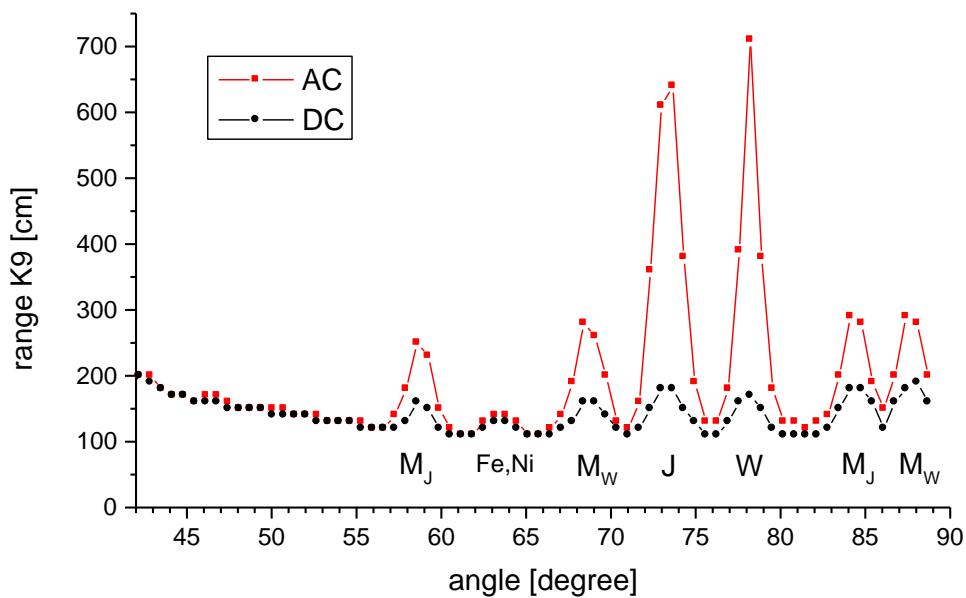


Рис. 7. Спектр галогенной лампочки Livarnolux 42W, 230V, питающейся переменным током (AC) и постоянным током (DC). В обоих случаях интенсивность освещения составляла 230 лк. Копирование сигнала с лампочки с расстояния 30 см ускорителем для исследования излучения Солнца, используя в обоих случаях такое же время копирования. M_J – сигнал йода, модулированный частотой 50Hz, Fe, Ni – сигнал железа и никеля, M_W – сигнал вольфрама, модулированный частотой 50Hz, J – сигнал йода, W – сигнал вольфрама. Ось абсцисс – угол падающего пучка с перспективы преломляющей плоскости

измеряемый в градусах, ось ординат – зона излучения из проб на выходе спектроскопа, измеряемая в сантиметрах.

Так что мы не беззащитны перед достижениями техники, которыми хотели бы пользоваться, но можем использовать решения, снижающие излучение торсионных полей технических устройств согласно понятию технологии низкого излучения [9]. В случае ртутных ламп, излучающих ртуть и компоненты люминофора (например, торий), мы не можем использовать постоянный ток, но можем, например, снижать первичное торсионное поле, доходящее до лампы. Экранирование торсионного поля после излучения из лампы настолько сложное, что выступает как в виде свободных частиц торсионного поля, так и перенесенных на фотонах. Тут также стоит обратить внимание на круглые металлические отражатели (рефлекторы) ламп, которые могут аккумулировать вихревое торсионное поле. После замены ртутной лампочки в такой лампе на обычную лампочку может оказаться, что лампа продолжает активно излучать ртутную информацию. Нужно выпустить на свободу циркулирующие частицы торсионного поля, например, сделав маленький надрез в отражателе.

Литература

1. Д. Войтовяк, Э. Малярчик, К. Радушкевич, М. Скурковска, М. Войтовяк, А. Фрыдриховски; Корпускулярно-волновые свойства торсионных полей - итоги собственных экспериментов; Торсионные поля и информационные взаимодействия – 2014: Материалы IV-й международной научно-практической конференции. Москва, 20-21 сентября 2014 г. с. 185-197 <http://www.second-physics.ru/node/30>
2. Diana Wojtkowiak; Psychopatologia według kategorii uniwersalnych; Autorska Seria Naukowa DETERMINIZM Tom I, Gdańsk 2008; <http://wojtkowiak-diana.nowe-horyzonty.net/books/psychopatologia/>
3. Diana Wojtkowiak; Antropologia systematyczna; Autorska Seria Naukowa DETERMINIZM Tom II, Gdańsk 2009; <http://nowe-horyzonty.net/pl/index.php?page=26>
4. Piotr Demianowicz Uspieński; Fragmenty nieznanego nauczania - w poszukiwaniu cudownego; Wydawnictwo Pusty Obłok, Warszawa 1991.
5. Janusz Nawrocki; Efemerydy Planet 1950-2050; Studio Astropsychologii, Białystok 2001.
6. Neil F. Michelsen; The American Ephemeris for the 20th Century 1900 to 2000 at Midnight; 1988.
7. А. И. Вейник; Термодинамика реальных процессов; Мн.: "Навука і тэхніка", 1991.
8. T. G. Hieronymus; Detection of emanations from materials and measurement of the volumes thereof; US Pat. 2482773, (1949).
9. А. Р. Павленко; Биобезопасная электроника: Шаг за горизонт официальной науки; издание 2, 2015; http://www.spinor.kiev.ua/userfiles/image/book/book_Pavlenko_v_07.pdf

SLOWLY-VARIABLE BIOLOGICAL CLOCKS EMPLOYING A TORSION FIELDS

Diana Wojtkowiak¹, Bernardetta Głebicka, Kazimierz Raduszkievicz², Miroslawa Skorkowska,
Andrzej Frydrychowski¹

POLAND

¹⁾ Institute of Human Physiology, Faculty of Health Sciences with Subfaculty of Nursing and Institute of Maritime and Tropical Medicine, Medical University of Gdańsk, Tuwima 15, 80-211 Gdańsk, Poland

²⁾ POLIMOR LLC, Gdansk

Diana Wojtkowiak: science@adr.com.pl

The paper presents the results of experimental studies showing the relationship between torsion fields reaching us from the Sun and the cyclical physiological changes in humans, described by doctors at the beginning of the twentieth century as biorhythms, the characteristic of these fields by means of torsion field spectroscopy and how they carry the information of chemical elements: iodine, mercury and uranium, their connection with the astrological signs of the zodiac, a new method of insight into the Sun interior, the presence in the human body of the torsion field coming from these elements as well as that radiated by halogen and mercury vapor lamps and the ways of minimizing it.

ГЕОПАТОГЕННЫЕ ЗОНЫ ПРИРОДНОГО ПРОИСХОЖДЕНИЯ И ПРИБОРЫ ДЛЯ ИХ РЕГИСТРАЦИИ

С.Ю. Стороженко

Белгородский государственный национальный исследовательский университет
Лаборатория экспериментальных медицинских приборов (ЛЭМП)

povezlo5@gmail.com

Настоящий текст содержит данные по приборной регистрации природных геопатогенных зон. Описываются два метода. Использование зарядочувствительного усилителя статических полей с направлением градиента и метода регистрации вариабельности сердечного ритма при нахождении в геопатогенной зоне.

В настоящий момент известно несколько различных методов регистрации геопатогенных зон.

Идеомоторный метод, когда специально подготовленный человек воздействует на механические индикаторы рамки, маятники и т. д. Магниточувствительный принцип (Мерсман), электромагнитный с фазовым анализом шумов (ИГА-1 Кравченко), метод крутящегося электромагнитного поля (Кринкер). Все эти методы имеют недостатки [1].

В идеомоторном методе основной недостаток — необъективность оператора. Оператор может устать, находится в состоянии стресса, и результаты могут быть нестабильны. Определение слабого магнитного поля в местах ГПЗ, а также пересечений сеток Хартмана, Курри магнитометром в квартирах и других местах с сильными переменными электромагнитными полями затруднено и чаще всего невозможно. ИГА-1 неоправданно дорог, и требует индивидуальной настройки и подбора микросхем при изготовлении. VEGA (украинские разработчики) неоправданно дорог.

Также на данный момент нет в открытом доступе схем этих приборов (ИГА, SEVA, VEGA). Разработчики не спешат открывать даже принципиальные схемы. Своей статьей автор восполняет этот пробел.

Также сравнивались себестоимость (стоимость компонентов и сборки) изготовления приборов ИГА-1, VEGA и других приборов и их текущая розничная цена. Разница примерно на порядки выше (в 30-100 раз от себестоимости) не позволяет приобрести эти приборы для частного пользования и для исследований небольших лабораторий.

Автор пользуется терминологией Вейника А.Й. Исходя из его экспериментов на пересечениях сеток Хартмана, Курри, и природных ГПЗ возникают выбросы хронального поля, которое в свою очередь увлекает за собой сатлоны, электроны, фотоны и более крупные по размерам ионы воздуха, что и позволяет использовать с определенными ограничениями для регистрации ГПЗ вышеуказанны приборы [3]. Также это поле воздействует на организм человека, как правило, неблагоприятным образом.

Поэтому для разработки были поставлены следующие технические условия. Отказаться от идеомоторных двигательных реакций оператора и получить приборы, слабо восприимчивые к посторонним электромагнитным и прочим помехам, достаточно чувствительные для достоверного определения ГПЗ.

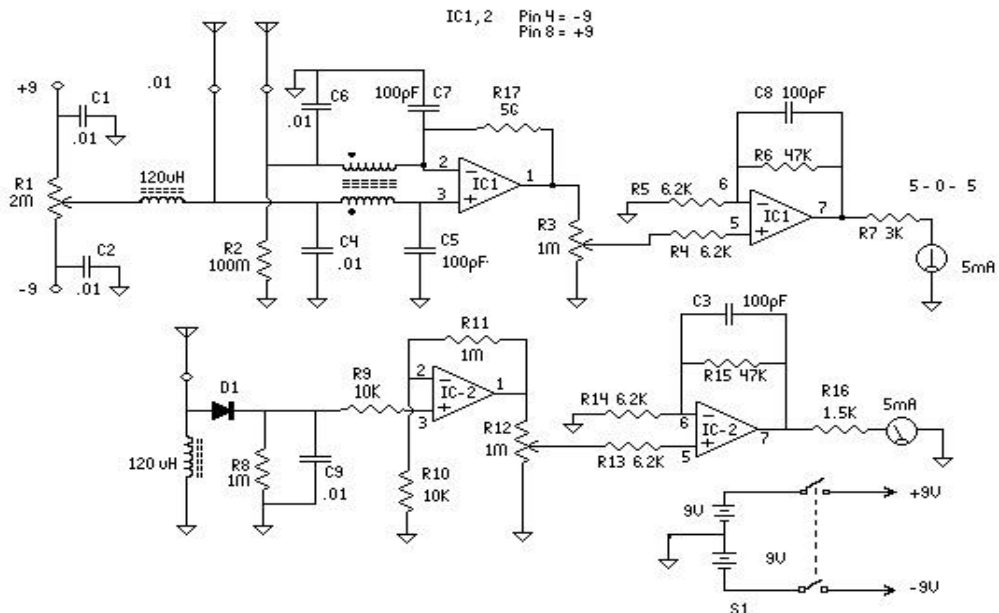


Рис. 1. Принципиальная схема прибора для обнаружения ГПЗ.

Автором был разработан простой анализатор статического градиента поля, выполненного на микросхемах TL082, которые не требуют подбора, включенных по нижеприведенной схеме. В схеме используется достаточно труднодоступный на сегодняшний момент гигаомный резистор. Но при наличии гигаомметра, его можно сделать и самостоятельно из феррита и тонкого медного провода.

Также пришлось применить позолоченные крепдлы для микросхем TL082, и в некоторых местах платы монтаж делать навесом, чтобы исключить на высоких уровнях чувствительности сопротивление и влияние гетинакса на работу прибора.

Приводим принципиальную схему прибора (рис. 1). Подробное радиотехническое описание работы прибора (как это обычно принято в радио-журналах) и нюансы по сборке оставим за пределами данной статьи, дабы не увеличивать ее объем. Для разъяснения нюансов по сборке читатели могут обратиться и задать свои вопросы автору по электронной почте.

Индикатором является аналоговый миллиамперметр с нулем в центре шкалы с пределами 5 миллиампер, который позволяет точно и достоверно определить начало и конец полосы и также их пересечение. Не требует специального обучения оператора. Себестоимость изготовления и сборки прототипа в корпус 90 долларов (рис. 2).



Рис. 2. Прибор в работе

Недостатки прибора исходят из самого принципа регистрации статических полей. В

условиях повышенный влажности (более 92%) прибор практически не работает, но в квартирах и жилых помещениях это не так актуально, так как всегда есть возможность осушить жилое помещение. На местности приходится ждать благоприятной погоды, а именно понижения влажности воздуха менее 88%. Не работает на болотистой местности, по тем же причинам.

Второй метод достоверной регистрации выбросов хронального поля на природных ГПЗ и пересечений сеток - это регистрация в реальном режиме вариабельности сердечного ритма человека, находящегося в ГПЗ или медленно двигающегося по местности. Это позволяет полностью убрать идеомоторный компонент и использовать все органы и системы организма как единый датчик.

Вариабельность сердечного ритма (BCP) - это измерения в реальном времени интервалов между ударами сердца и обработка этих данных математическими методами. Мониторы BCP достаточно давно используются в кардиологии, неврологии, а также спортивной медицине. Доказана прямая взаимосвязь BCP и вегетативной нервной системы, а также влияние неблагоприятных стрессорных факторов на органы и системы человека, а следовательно и на BCP. Использовались беспроводные датчики ритма POLAR, использующиеся в спортивной медицине. Данные передавались в реальном времени на ноутбук, а затем обрабатывались программами Bioharness 3, Bioforce HRV.

Нужно отметить, что на каждого испытуемого (20 человек) составлялась индивидуальная карта соответствия BCP обычной деятельности до нахождения в заведомо известной ГПЗ. Также выполнялись тесты с нагрузкой, а также фиксировалось время восстановления после дозированной нагрузки. После формирования индивидуальных показателей BCP, доброволец помещался в заведомо известную ГПЗ на 5, 10 и 30 минут.

Изменения BCP при нахождении в ГПЗ начинали происходить уже через 7 секунд нахождения в неблагоприятной зоне у 70% добровольцев. У остальных 20% изменения параметров BCP происходили, начиная с 45 секунд нахождения в ГПЗ. И у 10% процентов добровольцев, начиная со 180 секунд.

Отклонения параметров BCP, нетипичных для повседневной деятельности по сравнению с ранее собранной индивидуальной картой, наблюдались у 95% испытуемых находящихся в ГПЗ. Отклонения параметров BCP испытуемых для тестов с дозированной нагрузкой (30 приседаний), наблюдались во всех случаях. Так, увеличение времени восстановления BCP после 1 минуты дозированной нагрузки (приседания) увеличивалось в 6 раз до 30 минут.

Мы сознательно опускаем параметры BCP, так как специфические медицинские термины и параметры BCP (а их более 20) только запутают читателей данной статьи.

Полученные данные и разработанные приборы позволяют объективно и достоверно определить границы и влияние ГПЗ на человека. Разброс цен на мониторы BCP составляет на данный момент от 100 до 200 долларов, что делает их доступными для частных лиц и исследовательских лабораторий. Для анализа BCP также доступно открытое программное обеспечение. Для разъяснения неясных технических и медицинских вопросов можно обращаться к автору данной статьи.

Литература

1. <http://www.ldspb.com/#!---cjuj>
2. Сочеванов Н.Н., Матвеев В.С. Электромагнитные поля как причина возникновения биофизического эффекта. В кн. "Физико-математические и биологические проблемы действия электромагнитных полей и ионизации воздуха". М.: Наука, 1975, т 1, с.25-33.
3. Вейник А.Й. Термодинамика реальных процессов. 1991 г. Стр. 325-391
4. Arvidsson, D. (2009). Physical activity and energy expenditure in clinical settings using multisensory activity monitors. Institute of Medicine, Sahlgrenska Academy at the

University of Gothenburg.

GEOPHATIC ZONES NATURAL ORIGIN AND DEVICES FOR THEIR REGISTRATION

Sergey Storozhenko

Belgorod National Research University
Laboratory of experimental medical devices

povezlo5@gmail.com

This text contains the data on the registration of the instrument of natural geopathogenic zones. We describe two methods. Using a static charge sensitive amplifier with the direction of the gradient field and the method of recording the heart rate variability when in geopathogenic zone.

ПРИМЕНЕНИЕ СПОСОБА И ТЕХНОЛОГИИ ДИСТАНЦИОННОГО ПОИСКА ВОЗДУШНЫХ СУДОВ И ПОДЗЕМНЫХ УГОЛЬНЫХ ПОЖАРОВ

[Ю.П. Кравченко], Р.Р. Ялчин ¹, к.т.н. А.В. Черных ², Д.В. Колоколов ³

¹⁾ ООО «ВТФ «ПРЭЛСИ ИМПЕКС»

²⁾ Департамент пожарно-спасательных сил и специальных формирований МЧС России

³⁾ Белгородская исследовательская группа

ramil.yalchin@mail.ru

В докладе приводятся результаты успешного практического применения методов дистанционного поиска воздушных судов, потерпевших крушение и подземных угольных пожаров по космоснимкам приборами ИГА-1 и КРИАН-7.

В период с апреля 2015 по июль 2016 года ДПСФ МЧС России, совместно с Управлением космического мониторинга НЦУКС МЧС России в инициативном порядке были проведены полевые эксперименты по тестированию возможности дистанционного оперативного поиска воздушных судов потерпевших крушение. Изначально применение указанного способа было опробовано при обнаружении подземных пожаров. Первое успешное применение указанного способа было осуществлено в декабре 2012 года на шахте «Распадская» Кемеровской области при определении зоны действия подземного пожара с поверхности земли, возникшего восьмого мая 2010 года в результате двух последовательных взрывов газо-воздушной смеси. Полагаем, что данный способ и накопленный опыт возможно использовать для целей обнаружения, локализации и тушения торфяных пожаров, а также поиска затонувших судов и других объектов.

Тестирование способа по поиску воздушных судов потерпевших крушение проводились, на первом этапе, по оперативным данным вертолёты Ми-8, потерпевшие крушения 05.07.2015 под Салехардом в ХМАО и 10.10.2014 в Республике Тыва.

Результаты поиска вертолёта Ми-8 в ХМАО в оперативном режиме по представленному крупномасштабному космическому снимку дали положительный результат с точностью 12 км. В дальнейшем методом повторного обнаружения и последовательного уменьшения масштаба космических снимков удалось достичь точности обнаружения 1 км. В случае, потерпевшего крушение Ми-8 в Тыве десятого октября 2014 года, который в то время не был обнаружен, точность прогноза места падения составила 36 км. Метод последовательного увеличения масштаба космических снимков не был применён по организационным и техническим причинам.

На втором этапе апробирования способа УКМ НЦУКС МЧС России были предложены события крушения воздушных судов уже обнаруженных, но без предоставления операторам поиска координат падения, которые необходимо было определить. Результаты поиска сведены в таблицу.

Задача проведения тестовых экспериментов: установить возможность работоспособности способа дистанционного оперативного поиска воздушных судов потерпевших крушение, подземных (угольных) и торфяных пожаров.

Цель проведения тестовых экспериментов: оценить работоспособность и возможности способа, разработать техническое задание на проведение научно-исследовательской и опытно-конструкторской работы по созданию способа и технологии дистанционного оперативного поиска воздушных судов потерпевших крушение и определения зон горения торфа и каменного угля.

Материальное обеспечение: экспериментальный квантовый радиоэстезический индикатор аномалий КРИАН-7, космоснимки, оперативные данные.

Схема проведения эксперимента: по оперативным или подготовленным ранее данным и по космоснимкам оператор на индикаторе аномалий КРИАН-7 Рис. 1 и 2, детектировал зону поиска и далее путём уменьшения масштаба космоснимка уточнял зону возможного

падения воздушного судна. Полученная информация доводилась до Управления космического мониторинга НЦУКС МЧС России, производился совместный анализ и корректировка информации и методом уменьшения масштаба космоснимков производился корректирующий поиск.



Рис. 1

Результаты тестовых полевых экспериментов: сведены в таблицу.



Рис. 2

Таблица 1

| № п\п | Воздушное судно, потерпевшее крушение | Дата события | Отклонение прогноза от фактического места падения, м. | Примечания |
|-------|---------------------------------------|--------------|-------------------------------------------------------|--------------------------|
| 1 | МИ-2 ООО «Росто» | 11.11.2014 | 9 252 | Камчатка, Рис. 3 |
| 2 | ТУ-95 ВВС | 13.06.2015 | 3 243 | Хабаровский край, Рис. 4 |
| 3 | МИ-2 | 02.11.2014 | 9 486 | ЯНАО, Рис.5 |
| 4 | МИ-8 г. Сургут | 05.07.2015 | 3 950 | ХМАО, Рис. 6 |
| 5 | Вертолёт частный 4-местный РОБИНСОН | 23.07.2014 | 17 372 | Камчатка, Рис. 7 |
| 6 | АН-2 борт № 40312 г. Серов | 12.06.2012 | 32 491 | г. Серов, Рис. 8 |



Рис. 3



Рис. 4

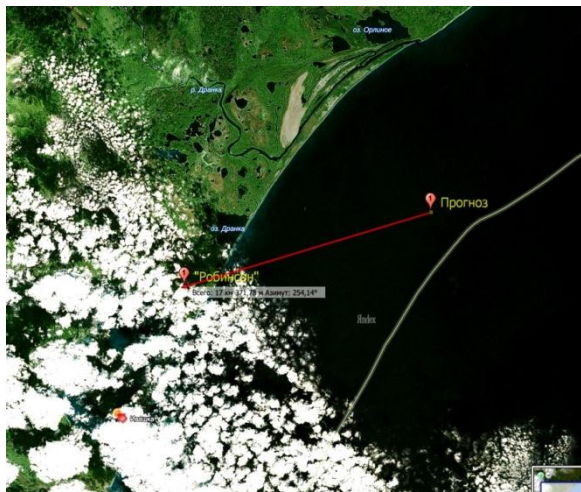


Рис. 5

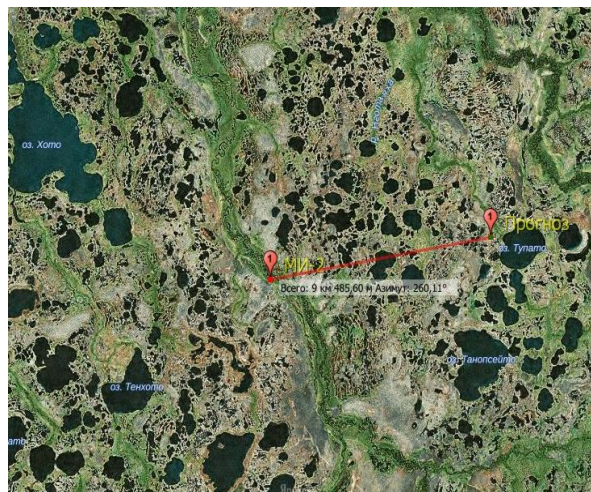


Рис. 6



Рис. 7

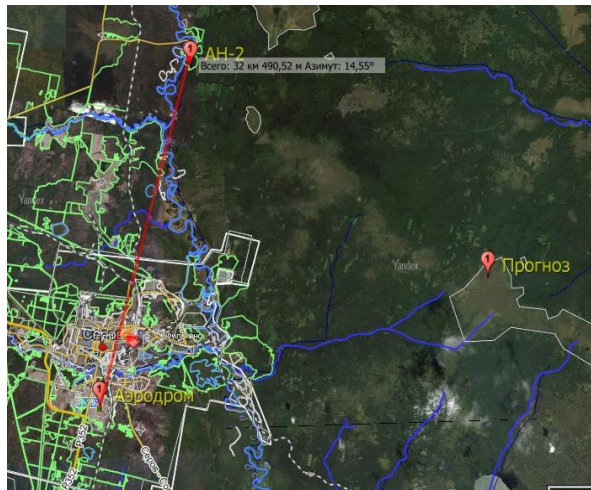


Рис. 8

Рассматриваемый способ был успешно применён при поисках самолёта Ил-76 МЧС России, производившего тушение лесных пожаров в Качугском районе Иркутской области и потерпевшего крушение первого июля 2016, обломки которого были обнаружены утром третьего июля 2016г. Точность прогноза на крупном масштабе космоснимков составила 25 км., Рис. 9, 10.

В результате сопоставления данных, полученных на приборе КРИАН-7 и фактически подтверждённых координат, в результате обнаружения воздушных судов потерпевших крушение можно сделать вывод, что способ успешно протестирован, требует разработки системы эмпирических корректирующих поправок.

В декабре 2012 года апробируемые способ и технология были использованы для обнаружения зоны горения угольного подземного пожара на шахте «Распадская» Кемеровской области. На момент эксперимента подземный пожар, возникший в результате двух повторных взрывов метано-воздушных смесей, действовал более 2,5 лет и приобрёл весьма значительные масштабы. Обнаружение зоны активного горения экзогенного пожара проводилось по космоснимкам дистанционно на КРИАН-7 и полевым прибором ИГА-1 с поверхности, во втором случае не удалось получить достаточно полных результатов из-за трудно проходимой местности в условиях большого снежного покрова. Для условий угольных шахт дистанционный способ показал хорошие результаты и сходимость результатов с газоаналитическим методом. В настоящее время производится подготовка эксперимента по обнаружению торфяных пожаров по космоснимкам в зимне-весеннем периоде.



Рис. 9

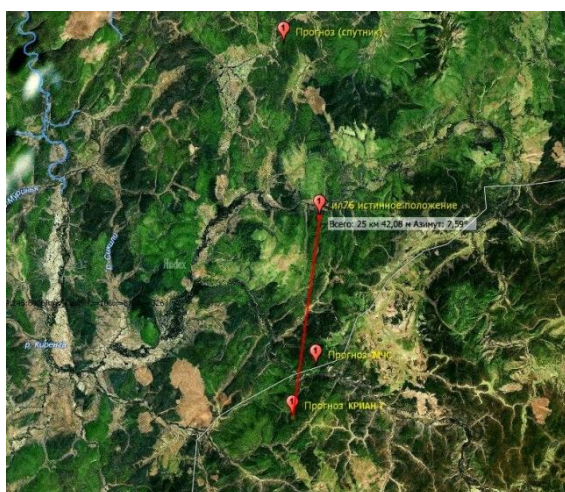


Рис. 10

Литература

1. Е.Г. Горохов, М.И. Давлетов, Ю.П. Кравченко, Р.Р. Ялчин. Дистанционное площадное оконтуривание утечек нефтепродуктов и дистанционная разведка локальных аномалий прибором ИГА-1. // Материалы IV- й международной научно-практической конференции «Торсионные поля и информационные взаимодействия 2014».
2. Ю.П. Кравченко. ИГА-1. С чего все начиналось. // Эксперименты с генераторами и детекторами торсионного поля. Сборник работ. М.: Фолиум, 2014 – 326 с.

USE OF METHOD AND TECHNOLOGY OF REMOTE SEARCH TO LOCATE AIRCRAFTS AND UNDERGROUND COAL FIRES

Yu. Kravchenko, R. Yalchin ¹, PhD. D. A. Chernykh ², D. Kolokolov ³

¹⁾ «VTF «PRELCY IMPEKS» LTD

²⁾ The Department of Fire, Rescue and Specialized Services of Emercom of Russia

³⁾ Belgorod Research Group

ramil.yalchin@mail.ru

The paper consists of results collected during successful implementation of remote search methods to locate aircraft wrenches and underground coal fires with use of space images, IGA-1 and KRIAN-7 devices.

МАССОДИНАМИЧЕСКОЕ ВЗАЙМОДЕЙСТВИЕ В ВИХРЕВЫХ ПРОЦЕССАХ

В.Н. Самохвалов

Самарский национальный исследовательский университет имени С.П. Королева

samohvalov_vn@mail.ru

Представлены результаты экспериментов с модифицированной вихревой трубой. Исследован механизм возникновения вращения осевого сердечника в вихревой трубе в направлении противоположном вращению воздуха. Показано, что в основе силового массодинамического взаимодействия лежит возбуждение прецессии механических спинов атомов. Предположено, что массодинамическое взаимодействие вызывает возникновение вихря торнадо и определяет механизм его силового воздействия.

Экспериментально установлено значительное силовое взаимодействие вращающихся в вакууме электрически нейтральных и неферромагнитных твердых тел (дисков), имеющих динамический дисбаланс, и их силовое воздействие на рядом расположенные другие тела (диски, экраны и т.п.) – массодинамическое взаимодействие [1, 2]. Наличие динамического дисбаланса вращающееся массы (переменный квадрупольный момент) является необходимым условием. Такое вращение приводит к возникновению прецессии механических спинов атомов материала. Прецессия механических спинов атомов приводит к возникновению массодинамического поля вращающегося диска, аналогично тому, как прецессия магнитных спинов приводит к возникновению магнитного поля у вращающегося ферромагнетика (эффект Барнетта [3]).

Единство физических законов, определяющих процесс вращения масс независимо от их агрегатного состояния, дает основание предполагать возникновение массодинамического поля также при вращении жидких и газовых масс. Массодинамическое поле, индуцируемое при нестационарном, вихревом движении жидкостей и газов определяет механизм возбуждения маломасштабных вихрей (водная воронка, торнадо и т.п.) и проявляющиеся при этом силовые эффекты [4].

Представленные ниже экспериментальные исследования показали, что вихревое вращение газа (воздуха) способно создавать массодинамическое поле, приводящее к возникновению весьма значительных силовых эффектов масодинамической природы.

Использовавшееся экспериментальное оборудование было выполнено на базе модифицированной противоточной вихревой трубы, общий вид и принципиальная схема которой представлена на рис. 1.

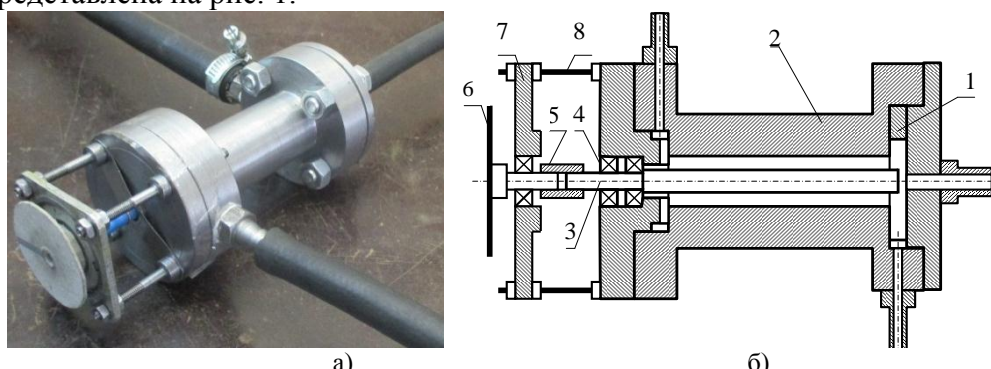


Рис. 1. Вихревое устройство: а) общий вид, б) принципиальная схема.

Вход вихревой трубы – улиточный, толщина улитки (1) – 2,5 мм. Внутренний диаметр цилиндрической камеры расширения (2) вихревой трубы равен 10 мм, длина камеры расширения – 76мм. Внутри камеры расширения вихревой трубы был установлен осевой металлический сердечник (3), имеющий возможность свободного вращения на двух подшипниках качения (4).

Длина консольной части сердечника внутри вихревой трубы – 87 мм. Через втулку (5)

сердечник связан с диском (6), вращающимся на шарикоподшипнике в обойме (7), которая соединена регулировочными шпильками (8) с корпусом вихревой трубы.

На входной штуцер вихревой трубы подавалось давление из сети сжатого воздуха ($1\dots6$ кгс/см 2). Измерение температуры выходящего из вихревой трубы охлажденного и нагретого воздуха производилось с использованием двух мультиметров Mastech MY64, концы штатных термопар которых устанавливались внутри резиновых трубок надетых на штуцеры холодного и горячего выходящего воздуха.

В экспериментах использовались стальные осевые сердечники диаметром 4,0; 5,0 и 6,0 мм, изготовленные из калиброванных (с гладкой поверхностью) прутков малоуглеродистой стали. В этом случае воздушный поток (вихрь) вращался в зазоре между сердечником и внутренней поверхностью корпуса (камеры расширения) вихревой трубы.

Проведенные эксперименты показали, что при давлении воздуха 1 кгс/см 2 , подаваемого на вход вихревой трубы, наблюдается неустойчивое (рывками) вынужденное вращение металлической оси диаметром 6 мм в направлении противоположном вращению воздушного вихря, задаваемого улиточным входом.

При увеличении давления воздуха на входе вихревой трубы скорость вращения осевого сердечника, в направлении противоположном вращению газового вихря, возрастила до 6000...9000 об/мин. Измерение скорости вращения металлического сердечника производилось бесконтактным (лазерным) цифровым тахометром Mastech MS6208B. Луч тахометра направлялся на легкий диск (6) с отражающей полосой, закрепленный на конце осевого сердечника выходящего из вихревой трубы (рис. 1).

При установке сердечников диаметром 5 мм и 4 мм частота вращения была ниже – максимальная скорость вращения достигала, соответственно, 4 и 3 тыс. об/мин, а неустойчивое вращение начиналось только при давлении воздуха 1,2...1,5 кгс/см 2 .

Использовавшаяся конструкция вихревой трубы с улиточным входом позволяла задавать как правовинтовое, так и левовинтовое вращение вихря (за счет переворачивания или смены «улитки»). Проведенные эксперименты показали, что в обоих случаях вынужденное вращение осевого металлического стержня происходит в направлении противоположном вращению воздушного вихря.

Эффект вращения металлической оси, установленной в вихревой трубе, в направлении противоположном вращению воздушного вихря впервые описан в работе В.Е. Финько [5], но объяснения этому явлению дано не было.

В выше описанном эксперименте, где воздух вращается в небольшом (2...3 мм) зазоре между сердечником и стенкой камеры вихревой трубы, вращение вихря задано входной улиткой, и оно измениться не может.

Результат экспериментов свидетельствует о том, что вынужденное вращение осевого сердечника обусловлено не механическим (за счет трения) воздействием вращающегося потока воздуха (вихря) на ось, а имеет принципиально другую физическую природу – действие массодинамических сил [1, 2].

Проведенные эксперименты показали также, что при вынужденном вращении сердечников возникали весьма большие силы и моменты, приводящие к прецессии оси стержня и сильному его изгибу в процессе вращения. Это вызывало механический контакт концевой части сердечника с внутренней поверхностью камеры расширения вихревой трубы.

В экспериментах с металлическим сердечником диаметром 4 мм, боковой зазор между сердечником и поверхностью камеры расширения вихревой трубы составлял 3 мм, что исключало механический контакт сердечника с поверхностью камеры расширения при его упругом изгибе. Однако, как показали эксперименты, металлический консольно закрепленный на двух шарикоподшипниках сердечник «затачивается» на конус за счет трения о внутреннюю поверхность камеры расширения вихревой трубы при его вынужденном вращении в течение нескольких минут. Длина образованного конического участка составляла около 15 мм, при длине консольной части 87 мм. В результате, диаметр сердечника на его конце был равен 3,3 мм, при исходном диаметре 4,0 мм.

При этом сам стержень пластиически не искривлялся – его ось после остановки

вращения оставалась прямолинейной. Это свидетельствует о том, что в процессе вынужденного вращения сердечник имел место динамический изгиб, не связанный с пластической деформацией материала, и обусловленный действием массодинамических сил. Зафиксированный характер износа концевой части осевого сердечника, дает основание предположить, что, в процессе вынужденного вращения, металлический сердечник приобретал S-образный изгиб, визуально схожий с изгибом «хобота» смерча, где также действуют большие массодинамические силы.

Такой характер износа сердечника на конус возможен:

- 1) если направление конического вращения (прецессии) оси сердечника противоположно направлению его основного вынужденного вращения вокруг оси;
- 2) если направления вынужденного вращения сердечника и прецессии оси совпадают, но их скорости сильно отличаются (например, частота конического вращения (прецессии) оси стержня ниже частоты его вынужденного вращения).

При использовании осевых сердечников диаметром 5 и 6 мм касание концом сердечника поверхности камеры расширения приводило к образованию блестящего пояска на его конце длиной 12...13 мм, что тоже возможно только при S-образном изгибе сердечников, в процессе вынужденного вращения, и его касания стенок камеры. При этом остаточной деформации (искривления) оси сердечника также не наблюдалось.

Возникающие в процессе вынужденного вращения и прецессии оси сердечника массодинамические силы и изгибающие моменты неоднократно приводили к поломке сердечников без искривления их оси. Излом происходил в зоне их консольного крепления сердечника – по кольцу первого подшипника. Излом сердечника имеет вид характерный для малоцикловой усталости при изгибе с кручением – многочисленные очаги начального разрушения в тонком поверхностном слое и зона долома в центральной части, с зернистой поверхностью. Это дополнительно подтверждает, что сердечник претерпевал сильный циклический изгиб в процессе вынужденного вращения, при напряжениях в материале близких к пределу текучести.

Во второй серии экспериментов, при подаче воздуха на вход вихревой трубы металлический сердечник был изначально заторможен. Измерялись температуры «холодного» и «горячего» выхода в заторможенном режиме. Затем ось растормаживалась и измерялись новые значения температуры «холодного» и «горячего» выхода в свободном режиме (вынужденное вращение).

Установлено, что переход к вынужденному вращению осевого стержня приводит к существенному снижению температуры «холодного» выхода и, незначительному снижению температуры «горячего» выхода. Снижение температуры выходящего воздуха может свидетельствовать о том, что энергия воздушного вихря расходуется на вращение металлического стержня.

При возбуждении вынужденного вращения сердечника возникал низкочастотный гул. Низкочастотный гул возникал и в случае принудительного торможения вращения сердечника, одновременно с возбуждением сильной вибрации сердечника, т.е. прецессии его оси.

В основе гипотезы о механизме возбуждения вращения осевого сердечника в вихревой трубе положена аналогия физических полей возбуждаемых магнитным и механическим спинами атомов при вращении тела:

1) при вращении динамически несбалансированного твердого тела или нестационарном вращении газа или жидкости возникает массодинамическое поле, аналогично возникновению магнитного поля при вращении ферромагнетика (эффект Барнетта [3]).

2) При помещении тела в переменное массодинамическое поле возникает эффект аналогичный эффекту Эйнштейна – де Хааза [3] – массодинамическое «намагничивание» вызывает вращение всего тела.

В вихревой трубе имеет место спиральное движение газового потока и возникновение турбулентности, что приводит к прецессии векторов механических спинов атомов газа.

Анализ физики процессов в вихревой трубе, с учетом экспериментов с вращением динамически несбалансированных дисков, дает основание полагать, что в основе установленного силового эффекта массодинамического взаимодействия лежит возбуждение прецессии механических спинов атомов материала сердечника относительно линий индукции внешнего переменного массодинамического поля.

Массодинамическое поле вихря проникает в поверхностный слой материала металлического сердечника и возбуждает прецессию механических моментов атомов его материала относительно линий индукции этого поля. Направление вектора индукции массодинамического поля, вызванного прецессией механических спинов материала осевого сердечника, противоположно внешнему массодинамическому полю воздушного вихря (рис. 2).

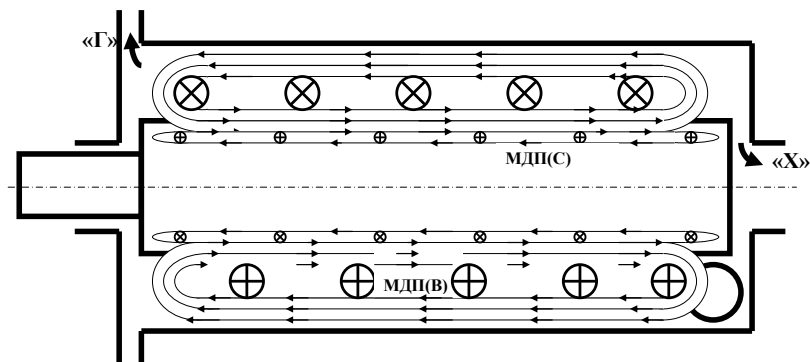


Рис. 2. Схема массодинамических полей вихря «МДП(В)» и вращающегося металлического сердечника «МДП(С)».

Изменение механических моментов атомов материала осевого сердечника приводит к тому, кристаллическая решетка получает обратный механический момент, т.е. возбуждается вращение стержня в направлении противоположном направлению прецессионного вращения механических моментов атомов. Поэтому сердечник получает механическое вращение в направлении противоположном вращению вихря, что зафиксировано в изложенных выше экспериментах.

Взаимодействие массодинамического поля вращающегося сердечника с внешним массодинамическим полем вихря и приводит к возникновению вышеописанных силовых эффектов массодинамического взаимодействия в вихревой трубе: вынужденному вращению металлического сердечника, его циклическому изгибу в процессе прецессионного движения его оси. Этот процесс силового массодинамического взаимодействия имеет большое сходство с процессом массодинамического взаимодействия в вакууме двух динамически несбалансированных дисков, вращающихся в противоположном направлении – возникновение изгибной волны на дисках [1, рис. 3].

Изложенные выше результаты экспериментов с модифицированной вихревой трубой – возникновение больших сил и моментов при вращении осевого сердечника, позволяют предположить, что массодинамическое взаимодействие лежит в основе возникновения силовых эффектов в вихре торнадо.

Массодинамические силы, помимо непосредственно ветрового напора, являются причиной больших механических разрушений, которые создают торнадо. Массодинамический крутящий момент, возникающий внутри хобота торнадо, является причиной сильного закручивания и механического скручивания объектов в «хоботе» торнадо, которое не может возникнуть вследствие простого высокоскоростного напора потока воздуха. Это аналогично тому, как в вихревой трубе закручивается осевой сердечник

Массодинамические силы, создаваемые массодинамическим полем торнадо, вызывают подъем тяжелых объектов, который не может быть вызван разностью давлений воздуха в хоботе торнадо и окружающей среде. Это эффект аналогично тому, как массодинамическое поле вращающегося динамически несбалансированного диска отталкивает экран [1, 2].

Литература

1. Самохвалов В.Н. Неэлектромагнитное силовое взаимодействие при вращении масс в вакууме // Журнал Формирующихся Направлений Науки, 2013, № 1(1), С. 6-19.
2. Самохвалов В.Н. Бесконтактная передача вращения и отталкивание масс в вакууме // Вестник Самарского государственного университета путей сообщения, 2015. – Вып. 2 (28). – Т.2. – С. 164-171.
3. Физический энциклопедический словарь. – М.: Советская энциклопедия. Главный редактор А.М. Прохоров, 1983.
4. Самохвалов В.Н. Массодинамическое и массовариационное поле в физических процессах / Фундаментальные проблемы естествознания и техники. Труды Международного научного Конгресса-2008, выпуск 33. – С-Петербург: Невская жемчужина, 2008. – С. 473-487.
5. Финько В.Е. Особенности охлаждения и сжижения газа в вихревом потоке // Журнал технической физики, 1983, т.53, № 9. – С. 1770-1776.

MASS-DYNAMIC INTERACTION OF VORTEX ROTATING

V.N. Samokhvalov

Samara National Research University

samohvalov_vn@mail.ru

The results of experiments with modified vortex tube. The mechanism of occurrence of the axial rotation of the core in a vortex tube in the direction opposite to the rotation of the air. It is shown that the basis of power mass-dynamic interaction is mechanical excitation of the precession of the spins of the atoms. It is expected that mass-dynamic interaction gives rise to a tornado vortex and determine its mechanism of force action.

ЭЛЕКТРОМАГНИТНЫЙ УЮТ ЖИЛИЩА И ВИХРЕВЫЕ ПОЛЯ В НЁМ: ВЛИЯНИЕ НА ЗДОРОВЬЕ

Б.В. Брунов

persh@mh.vstu.edu.ru

Используя биолокацию, магнитометр, компас, картографирование, были обследованы жилые и производственные помещения. Выявлены аномалии (электромагнитных и вихревых полей), даны рекомендации по устранению этих аномалий и нейтрализации их вредного влияния на здоровье людей.

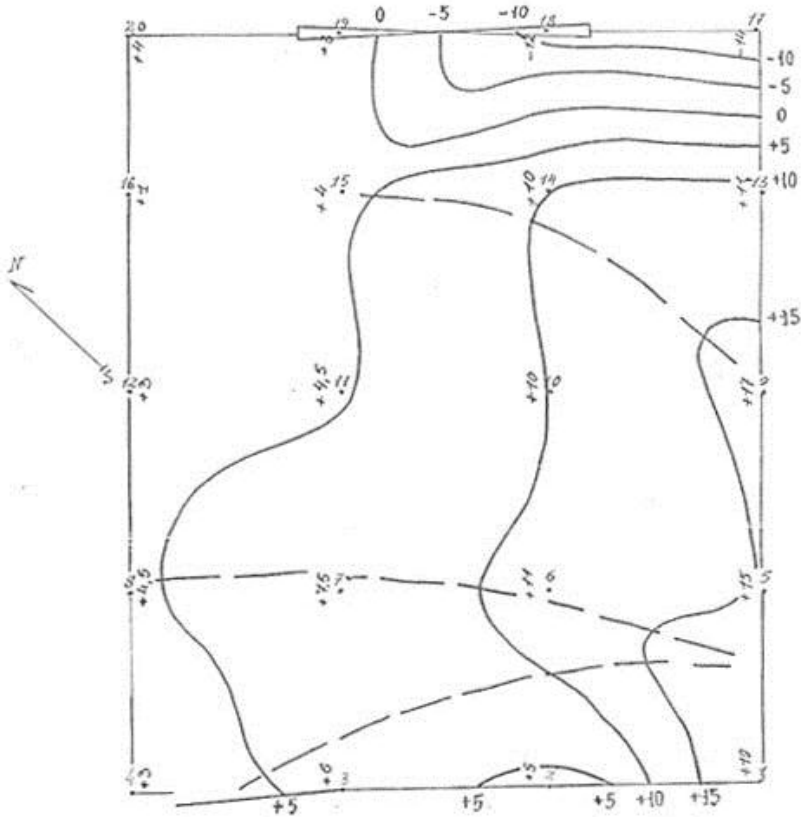
Using biolocation, magnetometer compass, cartography, residential and industrial buildings were examined. Anomalies (electromagnetic and vortex fields) were revealed. Recommendations to eliminate these anomalies and neutralize their harmful impact on human health were done.

Общеизвестно, что современное жилище насыщено электроприборами и электромагнитными полями (ЭМП). Электроприборы обеспечивают нам комфорт и уют. Но известно также и об отрицательном действии избыточных ЭМП на здоровье людей. Хочу привести подобные факты, мало освещенные в специальной литературе.

Методы исследования таковы. Замеры энергоактивности являются методом, официально признанным и применяемым как в отечественной, так и в международной практике [1]. В исследованных квартирах и офисах проводили биолокационную и магнитометрическую съемку, разметив помещения на квадраты с шагом 1 м, обозначив каждый пикет номером. На пикете делали замер энергоактивности биолокационными рамками. А также с помощью компаса мерили отклонения стрелки от линии «север-юг», определяя величину аномального техногенного склонения в комнате. Результаты наносили на схему и проводили изолинии аномалий. Анализировали и давали рекомендации. ЭМП измеряли также с помощью магнитометра.

Результаты исследования. Стены, армированные стальными решётками, с проведенными внутри них проводами, трубами, с батареями отопления, отлитыми из чугуна – все эти металлические детали образуют внутри каменного дома сложную сетку. Она во время грозы усиливает электрические импульсы в десятки раз (Брунов, 2006). Сами батареи изменяют нормальное геомагнитное поле: на расстоянии до 70 см стрелка компаса возле батареи отклоняется на 35-45°. Кроме того, влияют и *внешние ЭМП*: так, импульс от токосъёмника троллейбуса, идущего мимо дома, зарегистрирован магнитометром на расстоянии до 50-70 м, в комнате 4-го этажа. Этот импульс по амплитуде превышает фон в 45-50 раз (Брунов, 2006). *Приборы*, установленные за стеной квартиры, у *соседей* (например, телевизор, микроволновка, компьютер), могут давать широкополосные излучения – от радиочастот до инфразвука. Поясню это на примере обследования квартиры по ул. Чехова в г. Вологде.

В обследованной квартире у северо-западной стены наблюдаются фоновые значения излучений (от +1 до +4,5 единиц). Однако по всей юго-восточной стене значения излучений превышают фон в 5-6 раз (до +19 и -14 единиц). Человеческий организм способен выдерживать однократные нагрузки, превышающие норму в 9-10 раз. При постоянном, или длительном, или при многократном воздействии патогенными (вызывающими дискомфорт, затем недомогание и болезнь) являются нагрузки 4-6-кратные (что наблюдается в комнате-спальне). Источник широкополосного, комплексного излучения (и в инфразвуковом, и в радиочастотном метровом диапазоне) находится за юго-восточной стеной. Изучения расходятся веером от одного-двух излучателей. Кроме того, в северо-восточном углу образуются вихревые поля на фоне высокоградиентного поля, что особенно опасно для здоровья при длительном многократном воздействии (см. рис. 1).



17 – номера пикетов

– значения энергоактивности (замеры в баллах)

+5 – изолинии равной энергоактивности

- векторы распространения патогенных волн от источника за стеной соседней квартиры

Рис. 1. Схема результатов замеров энергоактивности одной из квартир по ул. Чехова в г. Вологде от 25.08.2014 с 19.51 до 20.20.

Для экранирования ЭМП и вихревых полей заказчице было предложено применить экраны из полиэтилена и фольгированной крафтовой бумаги, а от инфразвука – кровать на амортизаторах [1].

Полы (они являются потолками для подпола или нижерасположенной квартиры) также могут искажать геомагнитный фон. Речь идёт о полах, в которых есть трубы отопления с текущей в них жидкостью. Замеры ЭМП были выполнены с помощью компаса над такими «теплыми» полами в комнате размером 4x5,2 м в деревянном доме. Первый цикл замеров делали на уровне 1 м от пола, по регулярной сетке с шагом 1 м. Второй цикл замеров – на тех же точках сетки, но на самом полу. При опускании компаса с высоты 1 м до пола его стрелка вращалась на одних точках вправо, на других – влево. Такое её вращение показывало наличие в комнате высокоградиентных ЭМП. Градиент на соседних точках был таков: от +35° (плюс – вращение вправо) до -307° (минус обозначал вращение стрелки влево от нормали N – S), от +11° до -308°, от +15° до -320°. Такие высокоградиентные вихревые ЭМП могли образоваться не только из-за влияния движения воды по металлическими трубкам «теплого пола», но и из-за того, что эта комната была расположена над подземным водотоком, т.е. геопатогенной зоной. Люди чувствовали в этой спальне дискомфорт, головную боль, беспокойство, бессонницу. После удаления «теплых полов» и экранирования пола фольгой положение улучшилось, люди снова стали спокойно спать в этой комнате (рис. 2-6).

Интерьер и приборы. Случай, аналогичный предыдущему, был зарегистрирован в другой квартире. Телевизор здесь был установлен на геопатогенной зоне, которая действовала как волновод и усилитель. При включении или выключении телевизора магнитометр регистрировал всплеск ЭМП, в 460 раз превышающий фон. Пенсионер, обитатель данной квартиры, жил в условиях постоянной «магнитной бури». Он спился и умер от инсульта.

Искажения ЭМП дают также сейфы, металлические столы, стулья, кровати, микроволновые печи, компьютеры. Показано, что энергоинформационное поле ЭВМ способно угнетать рост и скорость клеточного деления проростков пшеницы [1], а, следовательно, аналогично влиять и на человека.

Статическое электричество (возникающее от трения синтетических тканей одежды, белья, обивки мебели) влияет на детей, больных, пожилых людей: их сон беспокоен, утром они чувствуют усталость, вялость, недомогание.

Приходилось участвовать также и в исправлении ситуации с патогенными полями при проектировании, строительстве и отделке административно-производственных зданий.

На стадии проектирования и выбора места под строительство с помощью биолокации я выбирал вместе с инженерами, архитекторами и заказчиком наиболее оптимальный вариант. Выбирали как по планам, схемам и космоснимкам – без выезда на место будущей стройки. Так и с выездом и натурным обследованием, с привязкой к рельефу и пикетажем.

На стадии строительства, отделки, дизайна были проведены биолокационная поэтажная съёмка (за 1-2 дня, чтобы были сравнимы и достоверны результаты); выявлены недостатки, недочёты; даны рекомендации по возможным вариантам исправления недостатков (вплоть до изменения электропроводки, перевешивания на иную высоту ламп, перепланировки комнат, перестановки мебели, постановки экранов и т.д.); проведён биолокационный контроль за результатами выполненного исправления недостатков (рис. 7-9). Опыт показал, что подобная «информационная защита» и контроль эффективны и позволяют с меньшими затратами материалов, средств, времени добиться комфорта для работающих.

Задача от ЭМП и вихревых полей такова. Полы и стены можно экранировать войлоком, полиэтиленовыми покрытиями, крафтовой бумагой с напылением алюминиевой фольги, шунгито-магнезиальными смесями. Может помочь смена или перестановка мебели, ЭВМ, других приборов [1].

Выводы

В современном жилище электромагнитные поля могут превышать фон в десятки и сотни крат: зарегистрированная величина до 460 крат. Стремление к комфорту и уюту может создавать сильнейшие ЭМП-аномалии, с отклонением стрелки компаса от направления «север-юг» от 45° (у батарей отопления под окнами) и до 300° и более (в комнатах с «теплыми полами»). Эти аномалии могут быть с вихревыми электромагнитными полями (если сочетаются техногенные поля и естественные геопатогенные зоны). В подобных случаях могут возникать не только недомогание и болезни, но и летальный исход. Однако разработаны и методы защиты.

Литература

1. Брунов В.В. Влияние гео- и технопатогенных зон на различные аспекты жизнедеятельности / В.В. Брунов.- Москва: Амрита-Русь, 2006.- 464 с.

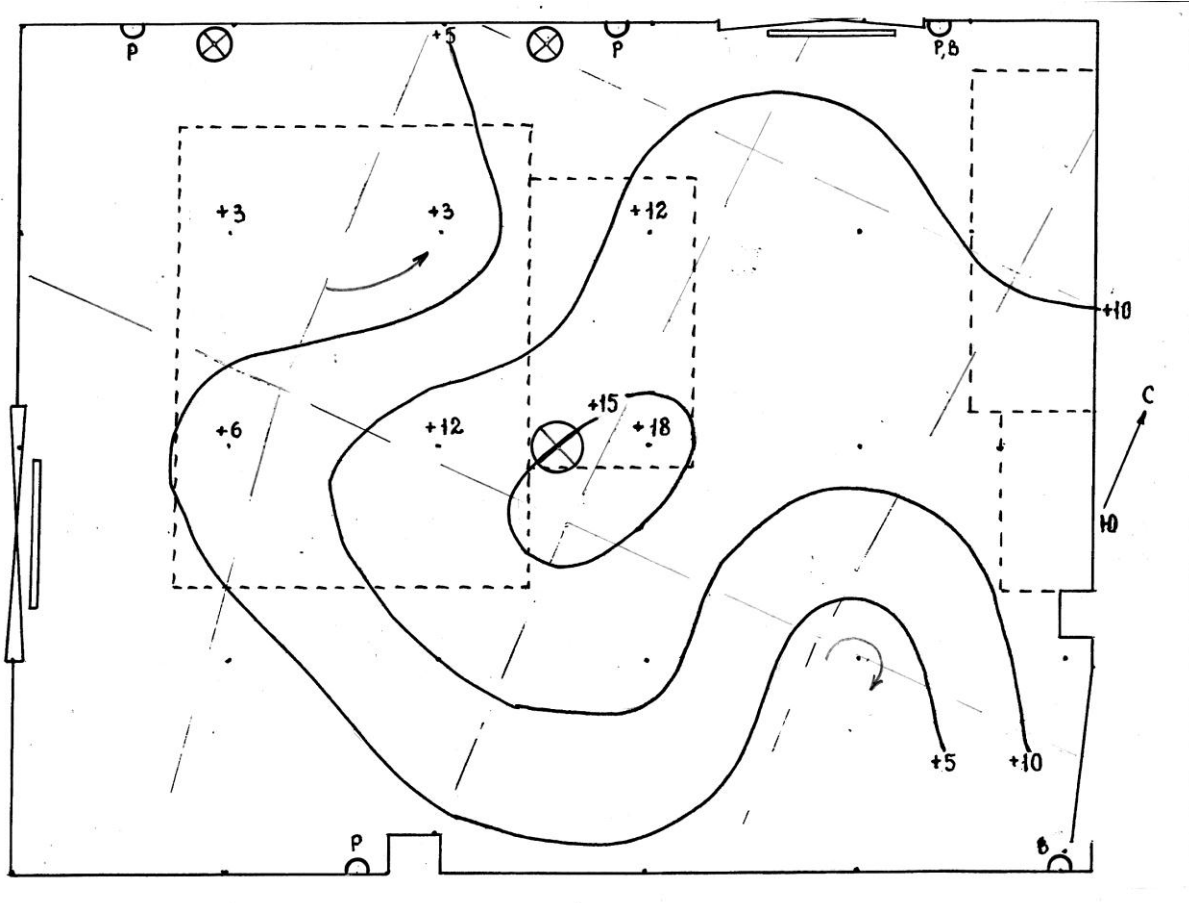


Рис. 2. Биолокационная съемка испанскими рамками в спальне
от 06.03.2014 г. (18.10 мск).

| | |
|-------|--------------------------------------------------------------------------------------------------|
| +15 | изолинии уровней энергоактивности (в баллах) |
| ----- | оси геопатогенных зон |
| ----- | контуры спальных мест и шкафов |
| p | розетки |
| B | выключатели |
| ⊗ | люстра и светильники-бра |
| +18 | замеры уровня энергоактивности на конкретных точках (пикетах) прямоугольной сетки с шагом 1 м |
| → | право- и левозакрученные вихревые потоки |
| ← | |

Примечание: замеры энергоактивности на схеме даны лишь для пикетов, приходящихся на спальные места; остальные не указаны, чтобы «разгрузить» схему.

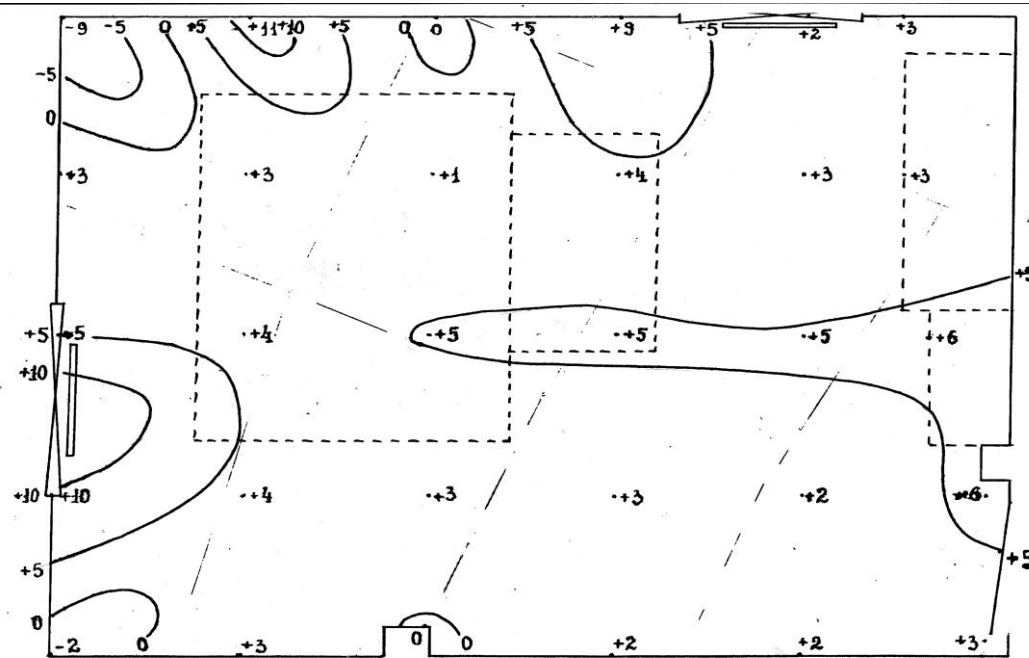
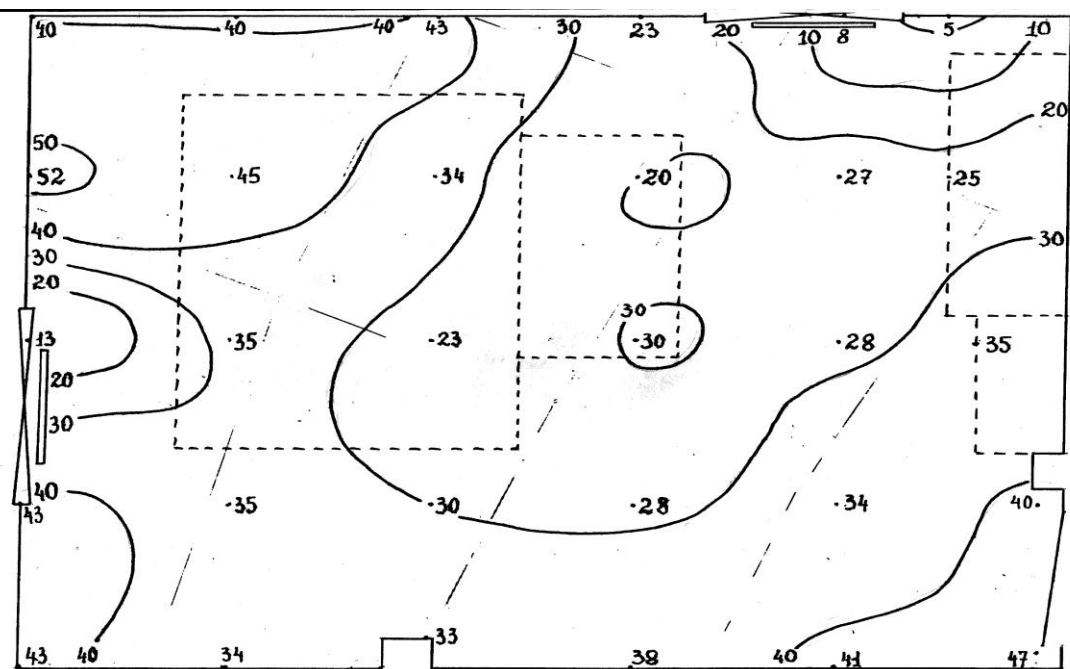


Рис. 3. Биолокационная съемка испанскими рамками в спальне от 19.03.2014 г. (13.00 – 13.40 мск). Обозначения те же, что и на рис. 2.

Примечание: съемка проведена после постановки сетчатого экрана (сетка-рабица) под полом комнаты, в подвале.



**Рис. 4. Показания (в градусах) стрелки магнитного компаса при замерах на высоте 1 м от пола, в спальне от 19.03.2014 г. (13.00 – 13.40 мск).
Обозначения те же, что и на рис. 2.**

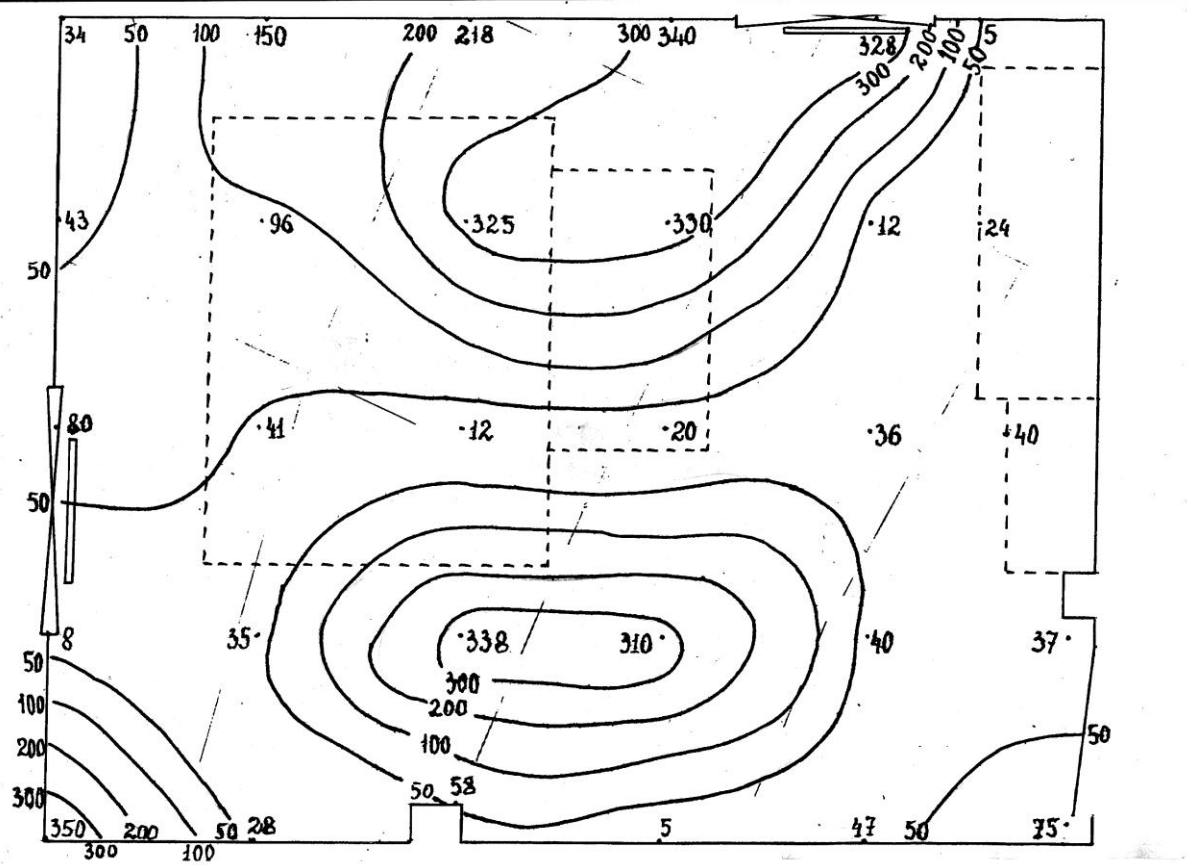


Рис. 5. Показания (в градусах) стрелки магнитного компаса при замерах на уровне пола, в спальне от 19.03.2014 г. (13.00 – 13.40 мск).

Обозначения те же, что и на рис. 2.

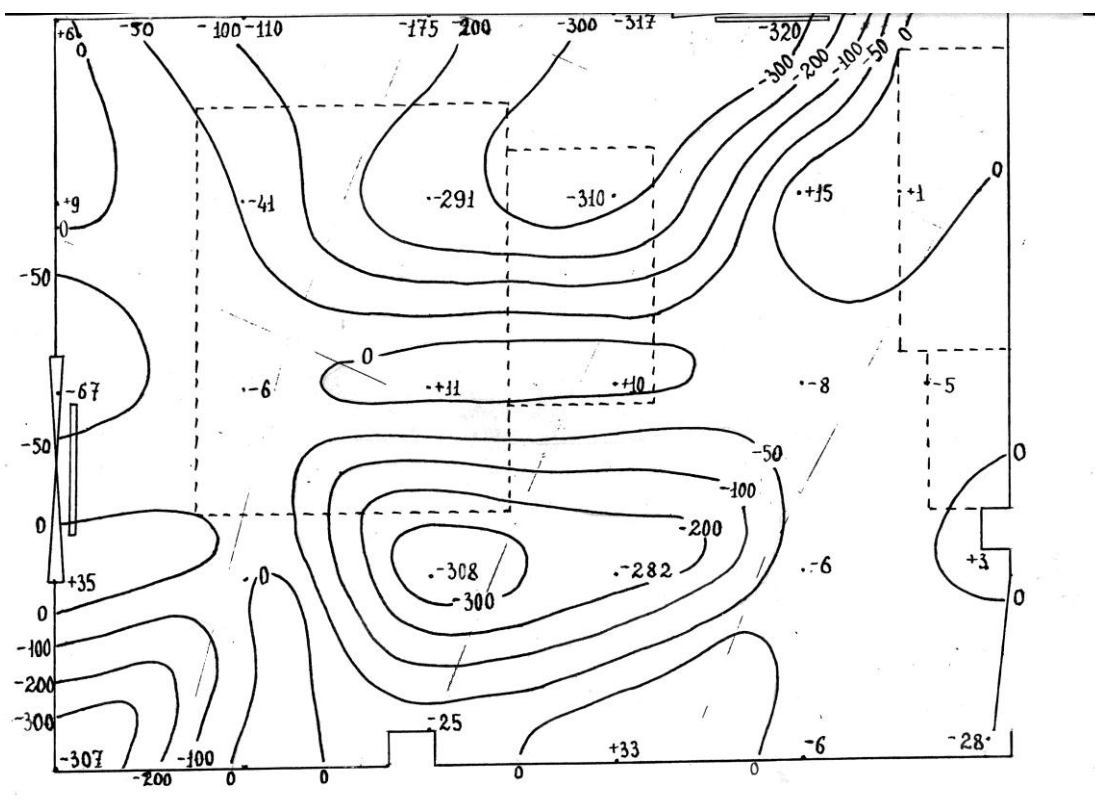
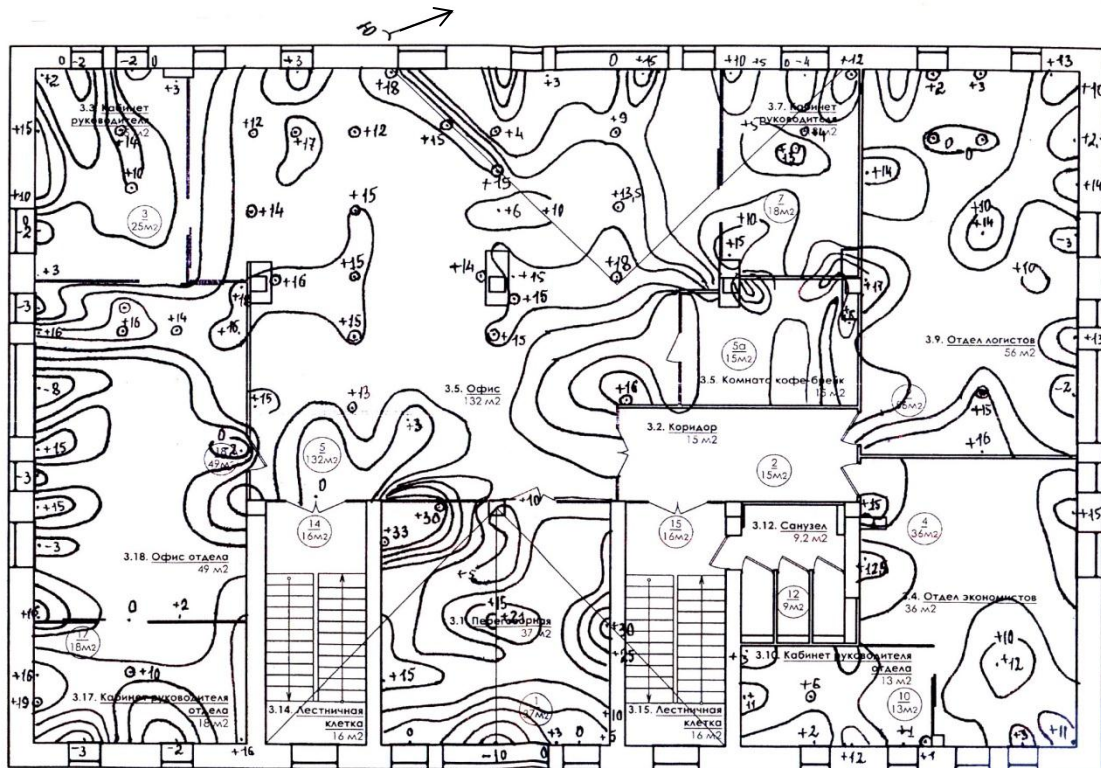


Рис. 6. Поворот (в градусах) стрелки магнитного компаса при опускании его на пикете с высоты 1 м до уровня пола, в спальне от 19.03.2014 г. (13.00 – 13.40 мск).

Обозначения те же, что и на рис. 2.



ЭТАЖ
3

Рис. 7. Биолокационная съемка испанскими рамками в административно-производственном здании (3-й этаж) от 28.01.2016 г. (9.40 – 13.46 мск) на стадии отделки, подключения освещения и укладки половых покрытий.

Результаты обработаны в виде изолиний

+15 – энергозамер (в баллах) на пикете, где разница между тремя – пятью замерами мала

●+15 – энергозамер (в баллах) на пикете, где разница между последовательными замерами велика (от 20 до 250%).

28.1.16

9.40 – 13.46

До: 12.70.000 5/250

После: 12.70.000 / 228

09 мин.

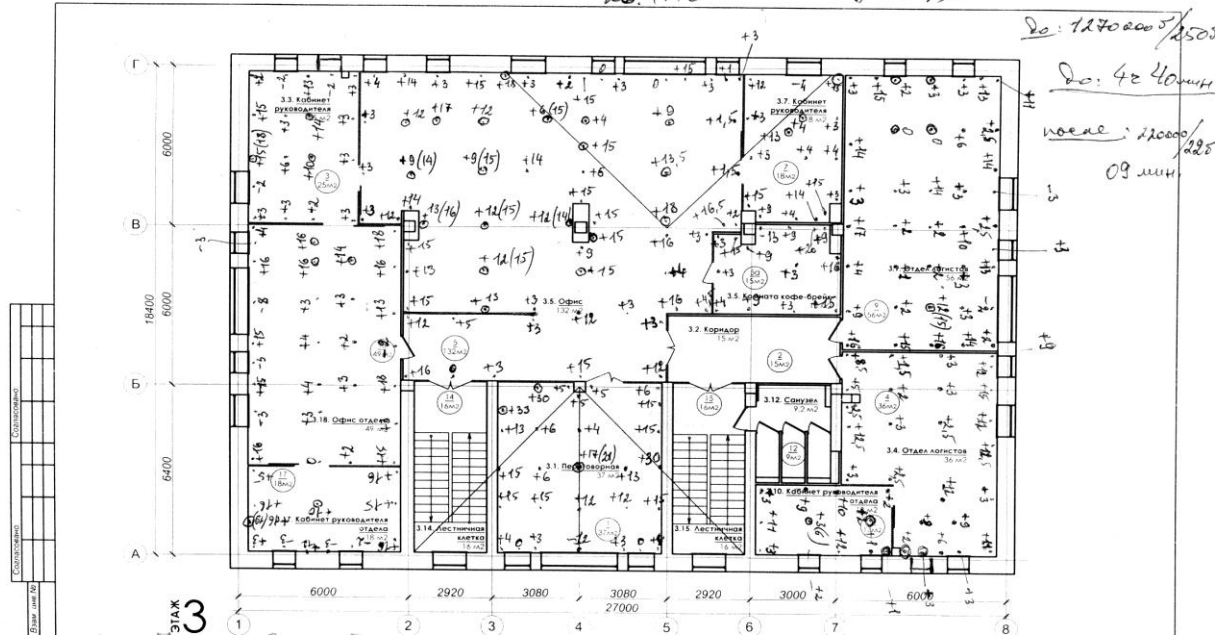


Рис. 8. Черновая, рабочая схема результатов биолокационной съемки в административно-производственном здании (3-й этаж) от 28.01.2016 г. (9.40 – 13.46 мск) на стадии отделки. Обозначения те же, что и на рис. 7.

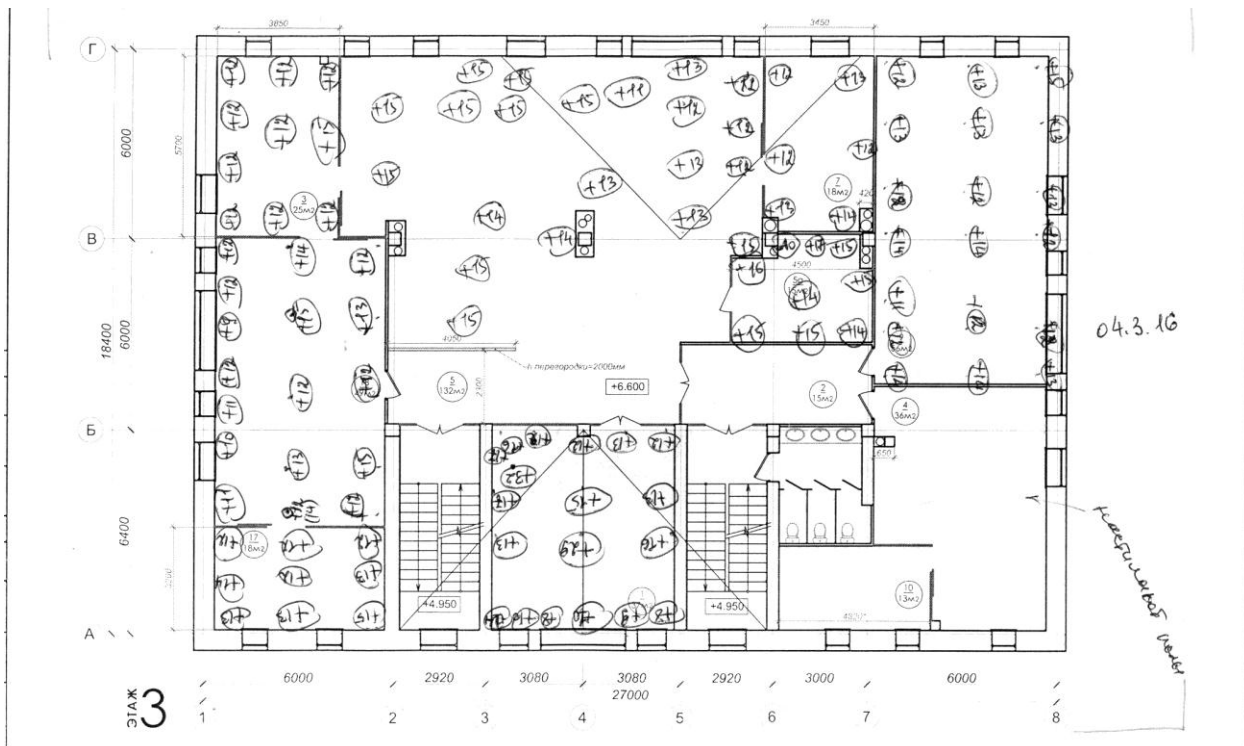


Рис. 9. Чертежная, рабочая схема результатов биолокационной съемки в административно-производственном здании (3-й этаж) от 04.03.2016 г. после исправления недостатков, указанных оператором биолокации и по завершении отделки почти по всем этажам. Обозначения те же, что и на рис. 7, за исключением последнего обозначения под рис. 7.

ELECTROMAGNETIC COMFORT IN THE HOUSE AND THE VORTEX FIELDS IN IT: HEALTH IMPACT

V.V. Brunov

persh@mh.vstu.edu.ru

Using biolocation, magnetometer compass, cartography, residential and industrial buildings were inspected. Anomalies (electromagnetic and vortex fields) were revealed. Recommendations to eliminate these anomalies and neutralize their harmful impact on human health were done.

МЕГАЛИТЫ И ИХ ЗНАЧЕНИЕ В КУЛЬТУРЕ

В.В. Брунов, Ю.П. Кравченко

persh@mh.vstu.edu.ru

Дан перечень известных сейчас типов мегалитов (22 типа). Перечислены их функции (35). Дан перечень известных ныне функций пирамид Старого и Нового Света (16). Приведена классификация мегалитов, их свойства и особенности, влияющие на людей. Указано время создания некоторых мегалитов, пирамид, святилищ (примерно 4-6 тыс. лет назад). Дан анализ географического размещения мегалитов: они выстраиваются в «дуги» и прямые, образующие глобальную «сетку». Приведены правила пользования мегалитами и святилищами предков.

Традиционно считается, что сооружения из громадных камней или обработанных каменных плит, соединенных без применения скрепляющих растворов, возникшие, как полагают, в эпоху неолита (примерно в 4-3-м тысячелетии до нашей эры) – это *мегалиты*. К ним относятся:

1. *дольмены* – мегалитические постройки, сложенные из обработанных камней, либо выдолбленные в монолитных скалах.
2. *менгирь* – одиноко расположенные мегалиты.
3. *кромлехи* – сооружения из множества рядом стоящих менгиров. Классический пример кромлехов - Стоунхендж (Англия).

Эрих фон Деникен указывает еще два типа мегалитов:

4. *элайнменты* – каменные аллеи, протянувшиеся на несколько километров.
5. *каменные круги*.

В.В. Токарев [9] и А.М. Попов [7] упоминают еще о трёх видах естественных мегалитов:

6. *сейды* (карельско-кольский аналог дольменов).
7. *скалы*.
8. *горные вершины*.

В понятии саамов и карелов сейды являются священными камнями, где обитают могучие духи богов.

Сейды могут быть и природного происхождения, но чаще рукотворные.

И.Ф. Никитинский [6] указывает также, что на Русском Севере сакральные мегалиты могут встречаться в виде *плит* (9), *валунов* (10).

На Кавказских, Уральских, Алтайских вершинах и перевалах встречаются пирамидки из камней. Это и объекты поклонения, и указатели дороги. Их название – *туры*, *обо* (11) и *т.д.*

К мегалитам можно отнести также «*каменные идолы*» (12), которым поклонялись древние люди, и которым поклоняются сейчас («Столбы» под Красноярском, «Столбы» на плато Мань-Пупы-Ньюр на Северном Урале и т.п.). А также *каменных истуканов* (13) (или «*каменных баб*», как их ещё называют) южно-русских и алтайских степей, острова Пасхи и Центральной и Южной Америки.

В основе *южнорусских курганов* и *курганов Кавказа* (14) также лежат каменные выкладки. Наконец, там же, на Кавказе, наблюдаются каменные выкладки, представляющие собой *храмы-святилища* (15) под открытым небом. Менее известны «*каменные зеркала*» (16) и «*каменные троны*» (17) Кавказа. Гигантами в этом мире, - наряду со скалами и горными

плато и вершинами, - являются *пирамиды Старого* (18) и *Нового Света* (19). Сюда же относятся и *лабиринты* (20), *святилища* (21), *башни и стены* (22).

Таким образом, можно насчитать двадцать и более типов мегалитов. Возможно, в этот же ряд следует поставить и *пещеры* (23) с настенными изображениями древних.

Функции мегалитов

Изучив литературу по мегалитам и имея свой полевой опыт обследования этих объектов, удалось составить перечень, в котором перечислены различные функции мегалитов:

- 1) очищение;
- 2) исцеление;
- 3) подготовка к рождению ребенка и его зачатие;
- 4) инициация (во взрослое состояние, в когорту жрецов, воинов, монахов-отшельников и т.п.);
- 5) камлание и подготовка к охоте;
- 6) отбор, подготовка и обучение кадров (рудознатцев, рудокопов, горщиков, металлургов, прочих ремесленников, воинов, жрецов-ведунов-знахарей и т.п.); мастерские; добыча сырья;
- 7) ворожба, гадание, предсказание будущего (пифии, оракулы, шаманы и т.п.);
- 8) переход в ИСС (измененное состояние сознания);
- 9) набор силы;
- 10) гармонизация;
- 11) «каменная книга», «училище» и «библиотека» (пиктограммы, руны, рисунки пещеры Кро-Маньон и т.п.);
- 12) сбор, получение, хранение, передача знаний;
- 13) поимка и приручение животных, окультуривание растений;
- 14) башни сторожевые;
- 15) защита и оборона рода, племени;
- 16) склад (запасы) продовольствия на голод, на зиму, на войну и т.п.
- 17) склад оружия и драгоценностей рода;
- 18) жертвенники, требища, святилища;
- 19) молитвенные места;
- 20) культ предков и захоронения;
- 21) прием и передача информации и связь (излучатели);

- 22) маяки, гномоны, ориентация и навигация;
- 23) астрономия;
- 24) скала советов (вече рода и племени);
- 25) календарь;
- 26) «вычислительный центр»;
- 27) «залы - тренажеры» и «спорткомплексы»;
- 28) загородки для скота;
- 29) бухты для стоянки судов;
- 30) бухты для марикультуры;
- 31) скалы «соколиные» и «орлиные» (гнездовые ловчих или священных птиц);
- 32) скалы с птичьими базарами;
- 33) «каменные заборы» для гнездовья гаг (Исландия);
- 34) места казни, наказаний, тюрьмы;
- 35) места уединения и просветления (столпы, острова, монастыри и т.п.).

Очень кратко о предназначении и функциях пирамид

На этот счёт существует несколько версий. Пирамиды – это:

- 1. Энергетические установки, предназначенные для получения подземной энергии (из лежащих под ними разломов) и распределения её для нужд населения.
- 2. Комплексы для исцеления населения и животных (патологии новорождённых, алкоголизм, наркомания, устойчивость к возбудителям болезней и т.д.).
- 3. Устройства, позволяющие менять физические и химические свойства многих веществ: полупроводников, углеродных материалов и т.п. Под воздействием пирамид происходит спонтанная зарядка конденсаторов, меняется температурный порог сверхпроводимости, масштаб физического времени, вес физических тел, свойства воды.
- 4. Устройства для повышения всхожести семян сельхозкультур, увеличения их урожайности и снижения заболеваемости.
- 5. Установка для сохранения продуктов.
- 6. Места для инициации жрецов и фараонов.
- 7. Храмовые комплексы.
- 8. Постаменты храмов (характерен для пирамид Центральной Америки).
- 9. Сооружения для самовозвеличивания какого-либо властителя.
- 10. Сооружение для стяжания милости высшего существа строителями, создававшими пирамиду.
- 11. Символ горы – Проматери, стоя на которой, боги создавали первую землю.

12. Усыпальницы (однако доказано, что останки фараонов или вождей появились лишь в немногих из них, причём значительно, - иногда на тысячелетия, - позже времени завершения строительства этих пирамид).
13. Рефракторные антенны дальней космической связи [1].
14. Космические часы Земли (привлекают наше внимание к 10450 г. до. н.э.).
15. Обсерватории для слежения за Солнцем, Луной, планетами, небесными светилами и созвездиями и для ведения точных календарей.
16. Триада пирамид в Гизе – это устройство для:
 - а) нормализации процессов в организме человека, снятия стрессов (пирамида Хеопса);
 - б) содействия постепенному развитию людей без скачков и рывков, усиления чувствительности и эмоциональности (пирамида Хефрена);
 - в) контроля действия человека рассудком, гармонизации влияния полей пирамид Хеопса и Хефрена (пирамида Микерина).

Кроме того, приводим классификацию мегалитов (табл. 1), отличную от предложенных ранее другими авторами. В ней сакральные объекты делятся на природные и рукотворные. И тем, и другим поклонялись и поклоняются люди. Деление на одиночные, групповые и комплексные достаточно условно. Ибо такой объект, как скажем, Эльбрус, имеет в своих окрестностях целый ряд одиночных и групповых объектов (туры из камня, святилища «Грибы», «Квадрат» и т.п.). Однако эти объекты отстоят достаточно далеко друг от друга и воспринимаются как отдельные. Хотя, по большому счету, район горы Эльбрус – комплексный объект.

Таблица 1

Классификация сакральных мегалитов

| Мегалиты | Природные | Рукотворные |
|-------------|----------------------------------------------------------------------------------------------------------------------------------------------------------------------------------------------------|----------------------------------------------------------------------------------------------------------------------------------------------------------------------------------------------------------------------------------------------------------------------------------------------------------------|
| одиночные | Вершины (Эльбрус, Фудзи, Везувий, Олимп, Араат, Ю-гора в Якутии, Кайлас или Калач-гора, Аннапурна и др.) Природные скалы (Куйво) Обрывы Ущелья Пещеры Ловушки Аномалии Валуны | Обо (туры), плиты Менгиры Скульптуры-бабы (Кызэр) на Алтае Памятники Идолы-фаллосы (Хибины, Вологодская область, Приэльбрусье) Сейды Каменные зеркала Каменные параболы Каменные троны Гробницы и склепы «Квадрат» (Эльбрус) Тарногский камень (Вологодская область) |
| групповые | «Грибы» (Приэльбрусье) Пик Калицкого и его кальдера (там же) Геоглифы (Хибины) | Истуканы Идолы Лабиринты Сейды Дольмены Кромлехи Курганы Храмы под открытым небом, святилища Каменный зоопарк («утки», «лягушки» и т.п.) Каменные ступени Карелии и Атлантики Кро-Маньон (на каменных стенах рисунки) Шахты и штолни «Гнездо» (Кавказ) Жылкыдал (Алтай) |
| комплексные | Долины смерти (табуированные объекты) Мань-Пупы-Нью (плато) «Столбы» (Красноярск) Путорана Каньоны Колорадо Долины гейзеров Белокуриха Аршан Ольхон «Ленские столбы» | Дольмены Аллеи и поля менгиров Курганы Храмы под открытым небом Пирамиды Выкладки Наска, Зюрат-Куль Идолы Пасхи Храмовозащитные комплексы («2 га», Кавказ) Стоунхендж Гластонберри Аркаим Карьеры |

Свойства и особенности мегалитов

О них следует рассказать на примере кавказских дольменов, как лучше изученных из многочисленных перечисленных выше типов мегалитов (за исключением, быть может, пирамид и Стоунхенджа). Приводим обширные цитаты из работы О. Таткова и О. Красули [8].

Согласно [8], большая часть кавказских мегалитов построена из песчаника, который богат кварцем. Кварц обладает интересными физическими свойствами, в частности, пьезоэффеектом способностью генерировать разность электрических потенциалов при механической деформации, и наоборот (если на кристаллы кварца воздействовать электрическим током, они начинают генерировать ультразвук – обратный пьезоэффект). Кварц способен поддерживать постоянство колебаний (стабилизация частоты), на чем и основано его применение в радиоэлектронике.

Достаточно часто встречаются сообщения о случаях многочисленных «чудесных» исцелений как после нахождения возле или внутри дольменов, так и при употреблении воды, взятой возле этих сооружений. Следует отметить, что рядом расположенные источники воды

– почти постоянный атрибут этих сооружений. В конце прошлого века на Мальте был обнаружен комплекс Mnajdra, представляющий собой ансамбль из трех мегалитов. Считается, что он обладает особой «энергетикой» и в ночи полнолуния сюда наведываются экстрасенсы «для подпитки». Археологи предполагают, что именно здесь происходили в древности какие-то чудесные исцеления – на эту мысль наталкивают многочисленные находки терракотовых изображений человеческих органов со следами болезней. В современной археологии подобные изображения называются вотивными, т.е. жертвенными дарами, приносимыми в знак благодарности за исцеление или в знак просьбы о помощи – обычай, широко распространенный и по сей день на христианском Востоке и в некоторых европейских странах.

Версии о лечебных свойствах дольменов чрезвычайно широко распространены также и в кавказских легендах. С врачебной же точки зрения, эти случаи исцелений в большинстве своем сводились к снятию болевых или воспалительных синдромов с последующим подъемом общего тонуса организма вплоть до эйфории. Необходимо сказать и о не меньшем количестве случаев ухудшения самочувствия вблизи дольменов, выражавшегося в появлении чувства немотивированного страха или тревоги, головной боли, различных вегетососудистых реакциях (изменения частоты пульса, цвета и влажности кожных покровов). Подобные явления, наблюдавшиеся в том числе и у детей, позволяют несколько снизить в данном случае роль фактора «первичной психологической установки», хотя его значение несомненно, особенно у людей с неуравновешенной психикой. Тем не менее местные жители, у которых дольмен находится во дворе дома, рассказывают, что домашние животные никогда не приближаются к дольмену ближе 2-3 метров.

В 1998 году был проведен эксперимент на единственном сохранившемся дольмене-монолите города Сочи. Этот дольмен хорошо известен и подробно описан в монографии В.И. Марковина [5].

Он расположен в предгорной части на левом берегу реки Годлик, рядом с минеральным сероводородным источником. В ходе эксперимента внутрь камеры дольмена закладывались ампулы с растворами, имитирующими жидкости (дистиллированная вода, физиологический раствор, раствор глюкозы), которые в том или ином количестве присутствуют в человеческом организме. При помощи приборов «Прогноз» (Россия) и ВІКОМ (Германия) установлено, что в результате суточной внутридолмениной экспозиции ампул в них происходили изменения, придававшие исследуемым растворам свойства, которые при известной мере допуска можно было бы трактовать как лечебные.

Опыты с экспонированием указанных жидкостей в дольмене-монолите и в некоторых других дольменах были повторены дважды в том же объеме. Полученные образцы изучались спектральными методами, заключающимися в возмущении равновесных состояний изучаемых сред широкополосными воздействиями различных полей и измерении откликов на эти воздействия. Спектры поглощения исследуемых жидкостей в оптическом диапазоне (200 ± 1000 нм) формировались с помощью инфракрасного спектрофотометра СС-2000М. В опытных образцах были обнаружены отличия от контрольных в пределах от 200 до 250 нанометров (1 нм равен 10^{-9} м), причем эти изменения не наблюдались в частично разрушенных дольменах. Из классической биологии известно, что это физические характеристики так называемых митогенетических или лучей А.Г. Гурвича – советского ученого, который в 20-х годах прошлого века впервые обнаружил и описал излучение ультракороткого диапазона, в миллиарды раз слабее дневного света, необходимое, чтобы клетка начала делиться. Энергетическим обеспечением митогенетического излучения является квант с длиной волны 190-250 нанометров. Выяснено, что ультрафиолетовое излучение тканей и клеток организма человека лежит в области длин волн 190-340 нм. Его субстратом служат белки, полипептиды, углеводы. Оно полностью отсутствует у жиров.

Известно, что в качестве первичного эшелона, определяющего адаптацию любых живых организмов к постоянно меняющимся факторам внешней среды, выступает количество в организме воды, а также абсолютное содержание и соотношение в ней макро- и микроэлементов, само ее состояние и структура.

Факт того, что вода имеет внутреннюю структуру, в настоящее время общепризнан, но передача свойства исходного вещества запоминающему веществу не всегда происходит через прямой контакт - имеются сообщения о лечебных эффектах, которые осуществлялись и без непосредственного контакта больного с лекарством. В начале 80-х годов сравнивали влияние различных веществ и низкочастотных магнитных полей на добровольцах с помощью медикаментозного теста электроакупунктуры по разрешенному в России с 1999 года медицинскому методу Р. Фолля. Это метод электрического воздействия на биологически активные (акупунктурные) точки организма (которым в отличие от других участков кожи присущ, помимо прочего, пьезоэлектрический эффект). При этом оказалось, что исследуемые вещества можно заменить магнитным полем с частотой их ядерно-спинового резонанса. Известно, что в основе лечебного эффекта акупунктуры лежит и рефлекторное воздействие на мозг, который осуществляет регулирующее воздействие на функции, в том числе и больного организма. Противоболевой эффект гипноза хорошо известен. Пьезоэлектриками в организме человека также являются холестерин, мочевина, лактоза, нуклео-протеиды, кости и сухожилия, диски поперечнополосатых мышечных волокон, коллагеновые структуры. Так, миелиновая мультилембрана нервных волокон имеет жидкокристаллическую структуру со свойством пьезоэлектрика. Наличием пьезоэлектрического эффекта объясняют процессы роста и эрозии костей, механизмы атеросклероза, транспортные процессы переноса питательных веществ и кислорода к клеткам.

Опыт с суточной внутридольменной экспозицией был проведен с культурами молочнокислых бактерий, дрожжей и бактериальных препаратов «Колибактерин» и «Бифидумбактерин». Выяснено, что суточная экспозиция дрожжей в неповрежденном дольмене-монолите вызывала отчетливые изменения их ферментной (мальтазная, зимазная) активности, подъемной силе и антиоксидантной активности. Экспозиция в частично поврежденных дольменах таких изменений не вызывала. В связи с этим дальнейшие опыты проводились на неповрежденном дольмене-монолите. Выяснилось, что суточная внутридольменная экспозиция приводит к снижению устойчивости штаммов к неблагоприятным условиям культивирования (различная концентрация NaCl, различные значения pH питательных сред), снижению общей активности молочнокислых бактерий, причем уровень этого снижения был избирателен и зависел от вида бактерий.

О. Татков и О. Красуля [8] полагали, что биологические эффекты, наблюдаемые вблизи дольменов, можно гипотетически объяснить следующим образом. Факт наличия вблизи дольменов источников воды (в том числе и минеральной) может свидетельствовать о том, что они (дольмены) находятся на местах разломов земной коры. Если это так, то, учитывая форму дольменов и материал, из которого они сооружены (известняк с содержанием кварца, делающий возможным пьезоэлектрический эффект), можно предположить, что дольмены фокусируют и усиливают потоки электромагнитных волн различных длин и частот, идущих из земных глубин. Человек, попадая в эти потоки, испытывает многоуровневое воздействие. Изменяются физические характеристики меж- и внутриклеточных жидкостей его организма, что приводит к изменению их биорезонансных параметров (эффект гомеопатических веществ) с дальнейшим изменением характеристик на всех уровнях функционирования - от молекулярного до уровня организма в целом. Не исключено и прямое действие модулированных дольменами электромагнитных волн на головной мозг, подобное электростимуляции мозга, с усиленiem выделения биологически активных веществ, оказывающих противоболевые и психостимулирующие эффекты (эйфории и депрессии).

Необходимо отметить, что помимо потоков электромагнитных волн, идущих из глубин Земли, дольмены могут генерировать за счет пьезоэлектрического эффекта потоки электромагнитных волн, которые возникают в результате влияния приливных волн. Существует так называемая лунная гипотеза, заключающаяся в том, что притяжение Луны приводит к вертикальным перемещениям не только воды в океанах, но и слоев земной коры. Известно, что, когда Луна находится в перигее своей околоземной орбиты (ближе всего к

Земле), ее приливообразующая сила на 40% больше, чем в апогее. Исходя из этого некоторые ученые считают, что именно эти силы и вызывают растяжение земной коры, то есть деформацию, которая, в свою очередь, приводит к упругим напряжениям в какой-либо части планеты. По другой гипотезе, движения земной коры (в том числе и ее сейсмичность) обусловлены взаимодействием электрического и магнитного полей Земли. По данным Р. Фурдуя, на широте Москвы суточные вертикальные колебания земной коры за счет приливного воздействия составляют около 30 см. Высота приливной волны в земной коре (как и в океанах) постоянно меняется в зависимости от взаимного расположения Луны и Солнца.

Если к дольмену приходит человек в состоянии стресса, то он и заболеть может от пребывания там. Если же человек в состоянии активации - он, скорее всего, ничего не почувствует. Если же совсем упростить вышесказанное, то можно предположить, что возле дольмена существует некая магнитная аномалия - постоянно действующая и меняющаяся модель хорошо всем известной магнитной бури, выраженность действия которой, помимо прочего, зависит от приливной волны. А люди, как известно, по-разному реагируют на магнитные бури [8, с. 62-69].

М.Ю. Лимонад и А.И. Цыганов [4] пишут:

Английские физики занимаются активным изучением мегалитических сооружений. Были обнаружены испускание камнями кромлехов ультразвуковых колебаний, а также колебания уровня радиоактивности, которая либо ниже, либо выше фона. Кратковременные, по несколько минут, "вспышки", когда радиоактивность повышается в три раза, зарегистрированы на кромлехах, расположенных в Роллрайте (Оксфорд) и Мюел-Ти-Ухаф в Уэльсе.

Проведены измерения напряженности магнитного поля. Оказалось, что каменный круг словно экранирует магнитное поле Земли: внутри круга оно заметно слабее. Обнаружена спиральная полоска внутри круга, на которой магнитное поле усилено. Магнитная дорожка делает 7 оборотов. Спираль и цифра "7" – считались священными у многих народов

При исследовании геобиологических сетей на открытых пространствах с помощью биолокации и геофизических методом обнаруживаются значительные вариации геометрической их формы и размеров, в зависимости от времени года и суток, фаз луны, погоды и других физических явлений. Множественность видов структурных геобиологических сетей, называемых каждый раз именем их «открывателей», может говорить о том, что сети как стабильные, фиксированные энергообразования вряд ли существуют. Скорее капиллярно-модульная структура физического вакуума, состоящая из бесконечного множества каналов перекачки энергии, проявляется структурно упорядоченно при прохождении через них тех или иных сигналов, точные характеристики которых зависят от источника и внешних модулирующих воздействий.

Система энергоинформационного обмена Земли предстает перед нами в виде составного элемента всеобъемлющей структуры, через которую живой организм Земли «дышит», через которую Земля связана со всей Вселенной [4, с. 39-51].

Возраст некоторых мегалитических сооружений

Сведений о возрасте мегалитов, пирамид, святилищ гораздо меньше, чем изысканий и гипотез об их функциях, строении, предназначении. Кроме того, хронологические «привязки» крайне противоречивы. Но всё же интересно предпринять попытку сопоставить возрастные характеристики мегалитов, пирамид, святилищ (табл. 2).

Из таблицы 2 следует, что наиболее известные и изученные объекты имеют возраст в 4-6 тысяч лет. Причём, объекты Русского Севера, Кавказа, Ирландии, Центральной Америки по древности не уступают пирамидам Египта. Возможно, даже превосходят их. Не говорит ли это об едином, глобальном замысле строительства мегалитов?!

География мегалитов

Выше уже были приведены цитаты из работ отечественных и зарубежных авторов, свидетельствующие о приуроченности мегалитов к энергоактивным зонам (к геологическим разломам, например).

Хотим поделиться и своими соображениями о географии мегалитов. Если нанести на карту Евразии наиболее значимые объекты, имеющие полифункциональное значение, то выстроится ряд интересных субмеридиональных и субширотных «осей». Например, «оси» «Север-Юг» получаются из таких объектов: о-в Вайгач – «Русский Стоунхендж» (мегалитический комплекс на Средней Усе, введённый в литературу В.А. Чернобровым) – плато Мань-Пупы-Ньюр на Северном Урале – Кунгурская пещера – Аркаим – Бахарден. И вторая такая «ось»: Хибины – Карельские сейды – Соловецкий и Б. и М. Кузовские архипелаги – «Бесовы следки» на скалах Онежского озера – сейды на Шексне и другие мегалиты Вологодчины – «каменные бабы» и курганы Южнорусских степей – дольмены и иные мегалиты Кавказа и Закавказья.

Иное, субширотное простирание имеет «ось»: Ирландия – Бретань – Паннония – Средний Днестр – Северное Причерноморье. И своеобразные «дуги», окаймляющие берега и острова Средиземья, юга Черного моря, Каспия, уходя Гиндукушем и Гималаями в Индию, Китай, Индонезию. Другая система «дуг» – это лабиринты приморских стран Балтии, Скандинавии, Белого моря [3].

Может быть, и здесь просматривается единый, глобальный замысел? Мегалитические объекты разные, а замысел-то един: целостная, энергозащитная, энергоинформационная сеть Земли. В этом наши мысли схожи с мыслями А.Н. Дмитриева, А.В. Шитова [2], Э. Мулдашева.

Таблица 2

Сравнительная характеристика некоторых пирамид, мегалитов, святилищ (ориг.)

| №№ п/п | Название и местонахождение | Возраст (в тыс. лет) | Функции |
|-----------|----------------------------------------------------------------------------------------------------------------------------------|-----------------------------------------------------------|---------------------------------------------------------------------------------------------------------------------------------------------------------------------------|
| 1 | Великая пирамида (Хеопса или Хуфу) (Египет, Северная Африка) | 4660 лет (10500 г. до н.э.)* | антенна космической связи, место инициации жрецов и фараонов, ритуальный и энергетический комплекс, энергозащита населения и помочь в его эволюционно-культурном развитии |
| 2 | Пирамида в г. Мехико (Центральная Америка) | 5000 г. до н.э. – 6500 г. до н.э. | ритуальные и астрономические |
| 3 | Дольмены Кавказа | 5500 – 3400 лет | культовые и защитные комплексы, места захоронений, инициации, исцеления, астрономических наблюдений |
| 4 | Земляная «пирамида» Наут и «пирамида» Ньюгрейнджа (Ирландия, долина реки Бру-на-Бойн) | более 5000 лет | погребальные комплексы |
| 5 | Соловецкие каменные лабиринты и гигантские земляные сооружения (Соловецкий архипелаг, Белое море) | 3-5 тыс. лет (возможно древнее)* | культовые сооружения, святилища, погребения, передача и кодирование планетарной информации, инициация, исцеление |
| 6 | Вундхэндж (в 3 км от Стоунхенджа) Овертон-Хилл, святилище (27 км к северу от Вудхенджа) Эйверби (27 км к востоку от Стоунхенджа) | древнее Стоунхенджа | ритуальные и астрономические |
| 7 | Пирамиды Теотиуакана (Мексика, Центральная Америка) | 1500 г. до н.э. – 600 г. н.э. (примерно 4000 г. до н.э.)* | ритуальные и астрономические |
| 8 | Комплекс на г. Воттоваара (Западно-Карельская возвышенность) | более 2000 лет | культовый комплекс |
| 9 | Стоунхэндж (Солсбериjsкая равнина в Англии) | 15 в. до н.э. (2000 – 1800 г. до н.э.)* | ритуальные и астрономические |
| 10 | Курганы скифов (Кавказ, юг Восточной Европы, Алтай) | бронзовый и железный век | гробницы, святилища |

Практика пользования энергоактивными зонами, мегалитами, святилищами

Ряд лет работая на мегалитах и других святилищах Севера и Юга, мы наблюдали различный подход посетителей, приходящих на эти объекты, к названным святыням. От почти праздного любопытства, до строго научного подхода, до фанатизма и даже до вандализма.

Поэтому возникла потребность поделиться соображениями с теми, кто собрался посетить святыни. Это, скорее всего, можно назвать «Рекомендациями для посетителей священных мест».

1. Определи свою цель – зачем тебе надо идти на святилище, родник, дольмен и т.п.

2. Если определился – иди, приготовившись (можно почтать, поголодать или попоститься, помолиться, искупаться - кто как умеет, но чтобы на душе было спокойно: «Я делаю то, что нужно Моей Душе!»), т.е. нужен настрой, подобный паломникам. Возьми с собой с моря или из реки 1, 3 или 7 белых кварцевых камушков и немного еды.

3. Идя к объектам, внимай всему, что окружает тебя: лесу, облакам, воде, траве, цветам, птицам, тишине, змеям и ящерицам, даже снегу зимой! Все это существует рядом, нужно друг другу и все это – единое целое, Природа!

* в скобках – максимальная оценка возраста, данная в альтернативных источниках (источники – см. по тексту книги).

4. Очистись, прежде чем придешь к объекту: умойся из ручья (или снегом), попей из родника, походи босыми ногами по песку, траве, камням. Посмотри на Солнце, на облака, услыши радость голосов птиц. Почувствуй запахи сего дня, когда ты идешь к святыням Природы. Если нужна более серьезная очистка – сделай это заранее. Если рядом с тобой наставник и такие же, как ты, то есть с кем посоветоваться, спросить.

5. Придя, будь спокойным, ласковым, щедрым. Потому что и ответ тебе будет таким же: «Как аукнется, так и откликнется!».

6. Неторопливо подойди к святыне, поделись с местом хлебом-солью. И сказав: «Воздух и вода, земля и леса, поля и луга, рыбы и лягушки, гады и зверюшки, птицы и люди – в согласии будем! Силы прибудет – в бодрости будем, в радости будем – вместе все люди! Наши предки, будьте с нами, наши предки, ешьте с нами, наши предки, пейте с нами за Род, за народ, за матушку-Русь – БРАТИНУ пустим по кругу за Русь», далее в обряде братания, пускают «братину по кругу» (братину – сосуд с намоленной водой – пускают по часовой стрелке и каждый отпивает глоток, говоря самые заветные слова и пожелания для себя и для всех. Братина обходит хоровод трижды). Затем спроси разрешения у предков, можно ли тебе сейчас посетить святое место. Если ответ будет положительным – ты увидишь (услышишь, почувствуешь) знак, что можно – тогда иди!

7. Положи на святыню свои семь (или три, или один) белых кварцевых камушка – кварц начнёт заряжаться памятью святого места. Так же можно зарядить и воду.

8. Обратись тогда к предкам с тем, что на душе у тебя, с чем ты пришёл (пришла) сюда. Слушай тишину - она ответит, ты поймёшь.

9. Если ты принёс (принесла) свечи и зажигал (а) их, то убери воск, накапвший на камни, землю, песок. Везде должно быть чисто, как и было до тебя, как уже есть в твоей душе. Если пришлось убирать за кем-то, то делай это спокойно, без нервов, браны, без осуждения. Не стыдно убирать – стыдно жить в грязи и дерьме (даже если они вроде бы «чужие», но на святом месте чужого не бывает – оно открыто для всех светлых душ!). Именно чистоту и святость транслирует святилище в мир людей. Храни их!

10. Всегда лучше, если рядом есть ведающий и ведущий человек – он специально дан тебе, ибо ОН ЗНАЕТ, делает всё со знанием и с душой. Он - хранитель. Научит и тебя.

11. Умей отличать истинное от ложного, от искушений и соблазнов.

12. Собрав свои камушки, взяв воду, уходи с благодарностью и радостью в душе. Храни эту радость в Душе! Ты стал богаче благодаря Природе, наставнику, друзьям. Умей и поделиться с другими своей радостью! Нужно будет вспомнить святой настрой души – вынь камушки из заветного мешочка, подержи их на ладони, вспомни РАДОСТЬ и ощути её снова!

Впереди новые дороги, вершины, горизонты! Мир велик, прекрасен, великолепен! Передай это богатство другим – оно Общее, Всесветное, Всесветлое!

Дорогу осилят идущие и спокойные, умные, сердечные и щедрые!

Выводы

1. Любые типы мегалитов – это бесценное сокровище предков, которое следует берегать, хранить, изучать, бережно вводить в современную культуру.
2. Мегалиты – это древнейшая, построенная в течение тысячелетий, энергоинформационная планетарная система. Её функции мы во многом не знаем, но стремительно разрушаем (раскопками, военными действиями, наплывом просто зевак – туристов и туристов-варваров, кражей и разрушением памятников, прокладкой дорог, газо- и нефтепроводов и т.п.).
3. Необходимы усилия и упорство, и специалистов, и местного, и пришлого населения для сохранения, изучения, культурного, осознанного, цивилизованного пользования системой мегалитов. Причём не только в плане истории, археологии,

туризма, но и в плане познания высоких технологий, исцеления и другого, ещё не познанного наследия древних.

Литература

1. Вержбицкий, А. Гробницы – антенны космической связи / А. Вержбицкий // НЛО. – 2007. - № 31.
2. Дмитриев, А.Н. О геофизических характеристиках курганных комплексов Горного Алтая / А.Н. Дмитриев, А.В. Шитов // Биогеофизика. – 2005. - № 5. – Москва: МНТОРЭС им. А.С. Попова, 2005. – 52 с.
3. Кодола, О.Е. Путь лабиринта / О.Е. Кодола, В.Н. Сочеванов. – Санкт-Петербург: Изд-во «Менделеев», 2003. – 176 с.
4. Лимонад, М.Ю. Живые поля архитектуры: учебное пособие / М.Ю. Лимонад, А.И. Цыганов. – Троицк: Титул, 1997. – 208 с.
5. Марковин, В.И. Дольменные памятники Прикубанья и Причерноморья / В.И. Марковин. – Москва, 1998.
6. Никитинский, И.Ф. Тиуновское святилище – школа кокшаров XV века?. – Вологда: Древности Севера, 2007. – 64 с.
7. Попов, А.М. Древние тайны Карелии или гиперборейская традиция Карелии / А.М. Попов. – Москва: ООО «Юридическая фирма «Частное право»», 2008. – 200 с.
8. Татков, О. Загадки мегалитов. Механизмы некоторых биологических эффектов, наблюдаемых у дольменов Северного Кавказа / О. Татков, О. Красуля // Наука, технологии, инновации. – 2004. – № 2-3(5). – С. 62-69.
9. Токарев, В.В. В поисках Гипербoreи / В.В. Токарев. – Санкт-Петербург: ИД «Ардис», 2006. – 156 с.

MEGALITHS AND THEIR MEANING IN CULTURE

V.V. Brunov, Yu.P. Kravchenko

persh@mh.vstu.edu.ru

Given a list of currently known types of megaliths (22 types). Listed their functions (35). Given a list of currently known functions of the pyramids of the Old and New Worlds (16). The classification of the megaliths, their properties and characteristics that affect on people are presented. There is specified creating dates of some megaliths, pyramids, temples (about 4-6 thousand years ago). The analysis of the geographic distribution of megaliths is done. Megaliths are lined up in the 'arc' and straight, forming a global "net". The rules of use of the megaliths and ancestors sanctuaries are given.

АНАЛИЗ АНАЛОГИЙ В СТРОЕНИИ И ФУНКЦИИ МЕГАЛИТОВ И СВЯТИЛИЩ

В.В. Брунов

persh@mh.vstu.edu.ru

Изучены аналогии в строении и функциях дольменов Кавказа и Западной Европы, сейдов Кавказа, Европы, Русского Севера. Все они являются щелевыми или полостными резонаторами, излучают волны определённой частоты, влияющие и на окружающую среду, и на людей. Создатели сейдов и дольменов использовали их для целительства людей, в частности. Мегалиты с «чашками» (выбитыми в них углублениями) характерны и для Западной Европы, и для Русского Севера, Ленинградской области, центра Русской равнины, Кавказа. Они использовались для обрядов и целительства. Часть мегалитов использовали как календарь и астрономические обсерватории. Курганы-кенотафы строили как излучатели для целей защиты от неблагоприятных природных факторов (Кавказ, Алтай и т.д.), для гармонизации человека и природы. Показано, что мегалитическая культура смыкается с дендрокультурой, дендроцивилизацией. Показано, что энергоинформационные связи покрывают многие материики, и их центр - Русская Равнина и Кавказ.

В данном исследовании я намеренно не буду касаться аналогий или гомологий в строении пирамид Старого и Нового Света – об этом уже много и достаточно подробно написано.

Я затрону другие, менее изученные аспекты проблемы. Начну с сейдов и дольменов.

Их сходство, во-первых, в том, что и те, и другие являются резонаторами. Дольмены Кавказа – полостные резонаторы, а некоторые дольмены Ирландии и Англии и сейды Карелии, Вологодской области, Кольского полуострова – резонаторы щелевые. Щелевые резонаторы есть и на Кавказе – в районе Кисловодска и в Национальном парке «Приэльбрусье» (святилища «Стриж» и «Скала Советов»).

Во-вторых, сходство в том, что и «алтарные» камни на святилище «Стриж», и плиты-сейд на святилище «Скала Советов» воздействуют на людей одинаково, влияя на мочеполовую сферу. Сходство и конструкции (плита на трех камнях-подставках), и функции разительно очевидно.

В третьих, привлекает внимание внешнее сходство двух дольменов, похожих друг на друга как две капли воды: один из них – в Ирландии (см. фото [3]), а другой – в Карелии (см. фото в [5]).

В четвёртых, мегалит, носящий название «Черкесский камень», похожий на двойной трон и расположенный в Сочи, напоминает конструкцию «камень-трон» в Кузовском архипелаге Белого моря.

Ещё об одном сходстве стоит сказать особо. В национальном парке «Приэльбрусье» есть ряд дольменов, сложенных не из плит, а из блоков известняка, напоминающих брусы, используемый при строительстве деревянных домов у нас на Русском Севере. Каменные «брусья», венец за венцом сложенные друг на друга, скреплены меж собой каменными цилиндрами, вставленными в пазы верхнего и нижнего венцов. И так на каждом венце. Чем не «коксы» из дерева для скрепления бруса в деревянном срубе у плотников Севера?! И технология скрепления блоков по углам дольменов в данном случае такая же, как у плотников Вологодчины: врубка «в лапу»!

И ещё два замечания по поводу данного дольмена: исследовав его с помощью биолокации и составив схему полей, я назвал дольмен «Завиток»: энергополе, которое образует данный дольмен, действительно напоминает два завитка со стрелкой меж ними. Этакий знак «Овна», который принят в астрологии и астрономии. И тут же, на лицевой доске этого дольмена – то же изображение символа «Овна», которое получилось на схеме энергополя. Значит, древние знали, что делали, и что получается в результате! В группе дольменов, где расположен «Завиток», есть дольмен, рядом с которым лежит коническая «пробка» для закрытия отверстия дольмена, когда он полностью «в сборе». А внутри «Завитка» видна камера, вынутая в пол дольмена и выложенная тонкими известняковыми плитами. Её размеры меньше, чем могила взрослого человека примерно в половину. Да и стенки её вогнуты. Как у двояковогнутой линзы. Это убеждает нас в том, что дольмен был

изначально спроектирован и изготовлен вовсе не как могильник, а как излучатель. Причём излучение идёт как через «лицевое» отверстие (которое очень мало для лаза), т.е. вперёд, наружу из дольмена, так и вверх, но не узким лучом, а тоже узким коническим вихрем. Чем не торсионные излучатели древних?! Торсионные генераторы – это конические «пробки» дольмена и камера в его полу, напоминающая двояковогнутую линзу. Замечание второе: дольмен «Завиток» активирует мочеполовую сферу посетителя. Именно в этой части биополя посетителя данного дольмена происходит гармонизация и усиление поля человека. Кстати, и алтарь-сейд святилища «Стриж», и плита-сейд «Скалы Советов» оказывают аналогичное действие. Вывод однозначен: все три сравниваемых объекта предназначены для активации, нормализации детородной функции людей, пришедших к ним.

Интересно, что на целительство с помощью дольмена именно детородной функции нам указала одна из целительниц Кисловодска. И тут же, на одном из дольменов показала, как это делается. Она и ранее успешно проводила подобные сеансы на показанном нам дольмене. Речь шла о коррекции детородной функции у детей, рождённых с помощью кесарева сечения.

Ассоциативно возникает и ещё одна аналогия. А.М. Попов (2008) описывает один из сейдов, который издаёт мелодичный звук. Кромлехи Роллрайта – тоже звуковые резонаторы (см. выше, статью Брунова, Кравченко). Звуковой резонанс с целительным эффектом возникает также в пещерах, ущельях и каньонах, долинах рек, в церквях, католических и синтоистских храмах при колокольном звоне, а также при воздействии на человека «поющих чаш Востока» (индуизм, ламаизм). Кроме того, «магнитные дорожки» Роллрайта весьма схожи с магнитными выкладками алтайских курганов Онгудая [2]. Алтайские аборигены специально отыскивали намагниченные камни для подобных выкладок.

Сходство кромлехов Стоунхенджа и Средней Усы тоже поразительно.

Похожи и менгирь Алтая («Кызыр» в Курайской степи), и Ирландии, и другие «каменные изваяния» степной Руси, Кавказа. В последнем случае обращает на себя внимание то, что менгир Северного Кавказа был поставлен не просто близ обрыва речного ущелья, но над мощнейшей геологической складкой, повёрнутой своей «дугой» верх, под менгири. То есть, складка как резонатор, а менгир – как излучатель.

Ещё одно сходство таково. В Хибинах один из мингиров назван «омфалом». Он схож с омфалом в Греции [6]. В вологодской области, в Харовском районе есть деревня Анфалиха. Недалеко от неё, на озере Шабзере есть огромный валун, считающийся священным. Правда, форма его вовсе не та, что у менгира.

Ещё тремя особенностями «Скалы Советов» в Приэльбрусье является то, что:

1. На ней в неявном виде зашифровано строение Солнечной системы – во всяком случае, плане, ближайших к Солнцу. Это было обнаружено мною после проведения биолокационной съемки.
2. На одной из сейдов «Скалы Советов» мною была обнаружена чашеобразная выемка размером чуть менее кулака. Это делает похожим плиту приэльбруского сейда на камень-чашечник. Однако данная «чашка», по-видимому, использовалась как светильник-жирник. Туда наливали масло или жир, вставляли фитиль и получался «фонарь». Я сужу об этом по тому, что «чашка» темно-коричневого цвета и, похоже, обгоревшая.
3. На этом же камне я обнаружил «вавилон», похожий на те, что есть на Кольском полуострове и на строительных объектах средневековой Руси, Саркела, Средней Азии [1].

Космогонические сюжеты характерны и для «Тиуновского камня» в Вологодской области [4]. И тут – «Вселенная в камне». И календарь!

Перейду теперь к камням-чашечникам. Их наличие зарегистрировано на Кольском полуострове, в Карелии, на Соловках, Ленинградской и Вологодской областях, на Кавказе (вплоть до высоты более 3000 м на Эльбрусе).

Элайнменты, по видимому, являются гомологами древесных «колоннад» (т.е. мачтовых сосновых лесов Центра и Севера Русской равнины). Во всяком случае, «электромагнитный массаж» человека, вошедшего в «аллею менгиров», по-видимому, схож с воздействием строевого леса и храмовых колоннад.

О курганах можно сказать следующее. Они также являются излучателями, причём ряд из них был построен специально для этой цели, а не для захоронений. «Курганы» без захоронений называются кенотафы, их роль как излучателей доказана с помощью магнитометрической съемки [2]. А.Н. Дмитриевым с соавторами показано, что присутствие оператора биолокации на кенотафе может менять магнитное поле объекта с фоновых значений до 1000 нТл, т.е. на три-четыре порядка выше. И лишь через несколько часов оно приходит в норму.

То, что курганы могут существенно влиять на состояние окружающей среды, я убедился, изучая святилища «Стриж», «Гнездо», «2 гектара» в районе Кисловодска. Дело в том, что они составляют единую систему: к югу от «Стрижа» примерно в километре – «Гнездо». А менее чем в километре на запад от «Гнезда» - святилище «2 гектара». Эти святилища окружены курганами. Они расположены в виде прямоугольной сетки. С горы их видно не менее двадцати штук. Причём, ещё не посетив их, я с помощью биолокации определил, которые из них раскопаны, а какие – нет. Биолокацию я провёл, находясь на святилище «Стриж». С него же я определил и то, что к югу и к юго-западу от «Стрижа» есть ещё интересные объекты. На следующий день проверка подтвердила, что раскопанные и нераскопанные курганы были определены верно: в этом убедился, подойдя к каждому кургану вплотную. А к югу и юго-западу от «Стрижа» я нашёл «Гнездо» и «2 гектара».

На святилище «2 гектара» были обнаружены и каменные круги (причём один «вставлен» в другой, по-видимому, тоже излучатель), и прямоугольные «сетки», и каменная кладка, похожая на фаллос [1].

Проверка же погребальной камеры одного из раскопанных курганов показала следующее. Камни обкладки камеры расположены по спирали (так укладывают снежные «кирпичи» при строительстве своих иглу эскимосы Азии и Аляски). То есть, вокруг погребальной камеры образуется вихревое поле. Это поле узкой спиралью поднимается над вершиной кургана. Интересно, что над этой прямоугольной системой курганов грозовая облачность, идущая на север с Эльбруса (до него около 90 км, т.е. 2-3 часа «хода» для облака), рассеивалась или «обтекала» святилища сбоку, т.е. над святилищами была светлая «дыра» в небе. Подобное явление я наблюдал в Верховажье Вологодской области, где облака «обтекали» перекрестье двух геологических разломов. Налицо воздействие одного из видов курганов на атмосферу – на облачность и грозовое электричество.

Кроме того, для определения энергопотоков в курганах я тут же, рядом с ними, выполнил эксперимент на модели. Для модели набрал кусочков кварцита (кремнийсодержащий материал) размером с палец, полпальца. Выложил их в кольцо диаметром около 20 см. Но не просто кольцо, а так, чтобы камешки образовали спираль, закрученную вправо, по «правилу буравчика». Этим я имитировал движение воздушных масс по антициклональному типу. Тут же замерил рамками направление энергопотока – вектор был вниз, от неба к земле. Энергетика около -15 баллов (т.е. поток шёл не в мою сторону). Я переложил камешки наоборот: теперь они образовали левозакрученную спираль, с вектором «от земли – вверх» (как в циклоне). Энергетика +15 условных баллов (поток был направлен от модели ко мне). Этот эксперимент объяснил действие курганов на облака.

Обкладка погребальной камеры по типу правозакрученной спирали способствовала созданию правозакрученного, нисходящего потока, как в антициклоне. А для него характерна малооблачная погода.

Таким образом, связь курганов друг с другом («прямоугольная сетка»), ориентация курганов и святилищ по сторонам света, приуроченность к разломам и кольцевым структурам (именно таковая наблюдалась вокруг «Стрижа») дают широкие возможности для гармонизации человека и природы. И древние это знали!

Интересно, что системы курганов есть даже в Москве, в парке Царицыно. Есть и в Вологодском Верховажье. И тут они «связаны» друг с другом (с узкого визира «Север-Юг», прорубленного в лесу на одном кургане, виден другой курган, в километре от него). На кургане есть святилище с помеченными соснами. Здесь также отмечается целительное воздействие на людей, выравнивание их биополя.

И курганы тоже образуют глобальную сетку (Вудхэндж – Русь – Алтай – и далее в Азию). Так же, как и Стоунхэндж, Аркаим, Зюрат-куль и другие астрономические комплексы.

Интересна и аналогия между каменными выкладками пустыни Наска (Новый Свет) и озера Зюрат-Куль (Урал). По-видимому, и это не случайно. Кстати, считается, что расположение пирамид в Гизе повторяет расположение звёзд в одном из созвездий.

О географии, функциях и сходстве лабиринтов из разных регионов я писал ранее.

Интересна роль каменных кругов в мегалитической культуре. Мне эта роль стала понятна после посещения Кавказа. Там эти круги-загородки выкладывали для защиты священных деревьев. Там же можно было увидеть и «каменные прямоугольники». Их – два варианта.

Первый – возле храмов-святилищ. По-видимому, это были загоны для содержания жертвенных животных (у святилища «Стриж»).

Второй – возле каменной стены, длина которой около 15 км, и которая по хребтику перегораживает лес. В стене – проходы. Возле них – прямоугольные загоны. По-видимому, в результате загонных охот лесных копытных через проходы в стене загоняли в загородки из камней. Частью могли убивать, а частью, - молодняк, - оставлять «на вырост», для одомашнивания. Особенно свиней, т.к. для них было полно корма: буковые орешки, желуди, дикие яблоки т.п.

В «каменных кругах» стояли буки и дубы. По словам местных жителей, ранее на Кавказе встречались дубы, желуди которых почти не имели дубильных веществ, не горчили, не давали вяжущий вкус во рту, а были сладковатыми. Их культивировали, охраняли, а из желудей делали муку для выпечки лепёшек. Желуди можно было долго хранить, до следующего урожая. То есть, здесь, на Кавказе, существовала «лесная цивилизация», продовольственной базой которой служили жёлуди (лепёшки), а также фрукты, заготовленные на зиму с помощью сушки. Целые фруктовые сады (яблони, груши, сливы, алыча и т.д.), тянущиеся на многие километры по долинам речек, составляют «золотой фонд садоводства» Кавказа и России. Кстати, именно эти многокилометровые сады были основой генофонда при создании Н.И. Вавиловым селекционных центров на Кавказе.

После изучения «каменной стены» Кавказа зародилась мысль: может быть, она явилась прообразом более поздних сооружений – «Змиевых валов» Русской равнины и Великой китайской стены?

Память и о Н.И. Вавилове, и о «лесной цивилизации» бережно хранят местные жители. Они же рассказали и о том, насколько хрупка оказалась эта цивилизация. Захватчики, враги в первую очередь вырубали и сжигали эти священные дубы со сладкими желудями и фруктовые деревья. Уничтожить деревья легко, а насадить и вырастить снова – для этого нужны десятки и сотни лет (в отличие от зерновых, срок оборота которых – год). Не здесь ли корень трепетного отношения друидов к священным дубам? Ведь, кроме прочего, жёлуди надо уметь и сохранить и для еды, и до посадки на следующий год; надо уметь и посадить их, чтобы они принялись и выросли – для этого нужны специальные знания и навыки. Недаром когорта друидов считалась жреческой.

Таким образом, мегалитическая культура смыкается с дендрокультурой, дендроцивилизацией. Вполне объяснимо с этой точки зрения наличие «священных рощ» во многих регионах: в Марий Эл – это дубовые, в Башкирии – липовые, в Сибири – кедровые, на Вологодчине и в Средней Руси – сосновые, дубовые, липовые. По-видимому, эти «дендропарки» и «дендросвятилища» - не менее, а может и более, древние явления, чем «гефсиманские рощи» православных монастырей или сады Семирамиды древнего Вавилона.

Вернёмся к храмам-святилищам под открытым небом (Кавказ, Аркаим, Алтай). Это – каменные выкладки в особых, энергоактивных местах (см. выше). Задумаемся, каково же их происхождение – когда и откуда «они есть пошли»? Частично ответ на этот вопрос находим тут же, в районе Пятигорска. Показанные нам местными жителями землянки каменного века – это неглубокие выемки в скалах. Но устройство их особое: на небольшом пространстве (примерно 2x2 или 3x3 м) половина, которая ближе к выходу, имеет вид выемки, и биолокация показывает, что она имеет «отрицательный» заряд (то есть, входящий «отдаёт» свой заряд, зачастую отрицательный, привносимый им в жилище из внешнего мира). Вторая же, дальняя от входа часть землянки – это возвышение, спальное место, имеющее «положительный» заряд, т.е. землянка и «очищает», снимая часть заряда при входе в неё, и «подпитывает» энергией во время сна, отдыха. Может быть, из-за близости «минусовых» и «плюсовых» пространств в ней (землянке) могли образовываться вихревые поля с горизонтальной осью вращения?

Там же мы видели и своеобразные «святилища» - это полуники, вырубленные в скалах. В них – очаги; каменные «стрелки компаса» с отверстиями посередине (очень похожи на компас, только их размер – метры)*; «Жернова» (каменные круги диаметром более метра и с отверстием (более кулака в диаметре) в центре; каменные лазы-воротца в скалах (как они напоминают «деревья-рогатки», используемые вологодскими ведунами для целительного «обряда проникания»!). Все эти устройства также являются щелевыми или полостными резонаторами и используются для исцеления и по сию пору! И все они рядом, в одном месте!

«Жернова» на Белом море и на Кавказе. Места разные, а предназначение едино! Только кавказские древнее, с каменного века! И выполнены из крепчайшего базальта**.

Какими же универсальными знаниями, каким «золотым запасом» обладали древние! Вот настояще богатство, которое они нам оставили и которое ещё ждёт исследователей!

Вот и развитие, «совершенствование во времени»: 1) «компасные стрелки», «жернова», лазы каменного века (у Пятигорска); 2) «стрелки» и каменные выкладки с сейдами бронзового века («Стриж»); 3) дольмены, «каменные зеркала», «каменные троны» бронзового века на Кавказе и в более поздние эпохи в других регионах; 4) курганы и кремлики разных регионов; 5) пирамиды, зиккураты, храмы по всему миру – в эпоху бронзы, железа и позже.

Выводы

Проведённый анализ показал, что аналогичные «устройства», сооружения, конструкции существуют и на Севере, и на Юге, на разных материках. Причём, если соединить анализируемые объекты попарно или в группы, то большинство связующих линий пройдёт через Север, Центр или Юг Русской равнины, будь то линии субмеридиональные или субширотные. Закономерность это или случайность? По большому счёту, объяснений тут может быть два.

Первое: я русский, мне более знакомы именно те объекты, что географически близки к Русской равнине.

Второе: объективно существует регион, где сходятся многочисленные связи мегалитических объектов, где есть «центр их происхождения» или «центр притяжения».

И всё же аналогии подводят нас именно ко второму выводу: это – система энергоинформационных связей, покрывающая многие материки, не только Евразию или Россию. Выстроена она в течение тысячелетий, и центр её – это Север, Центр и Юг Русской равнины! И изучать эти связи должна именно системная энерго-информационная археология!

Литература

* Кстати, камень, похожий на «компасную стрелку» есть и на святилище «Стриж».

** Порода определена д.г.-м. н., профессором Д.Ф. Семёновым.

1. Брунов, В.В. Дар русов / В.В. Брунов. – Москва: Белые альвы, 2010. – 96 с.
2. Дмитриев, А.Н. О геофизических характеристиках курганных комплексов Горного Алтая / А.Н. Дмитриев, А.В. Шитов // Биогеофизика. – 2005. - № 5. – 52 с.
3. Кельты – художники и сказители. – Москва: Арт-Родник, 2003. – 64 с.
4. Никитинский, И.Ф. Тиуновское святилище – школа кокшаров XV века? / И.Ф. Никитинский. – Вологда: Древности Севера, 2007. – 64 с.
5. Попов, А.М. Древние тайны Карелии или гиперборейская традиция Карелии / А.М. Попов. – Москва: ООО «Юридическая фирма «Частное право», 2008. – 200 с.
6. Токарев, В.В. В поисках Гипербореи / В.В. Токарев. – Санкт-Петербург: ИД «Ариус», 2006. – 156 с.

ANALYSIS OF ANALOGY IN THE STRUCTURE AND FUNCTION OF MEGALITHS AND THE SANCTUARY

V.V. Brunov

persh@mh.vstu.edu.ru

We studied the similarities in the structure and functions of the dolmens of the Caucasus and Western Europe, seitas of Caucasus, Europe, and Russian North. All of them are slotted or cavitary resonators and emit waves of a certain frequency, impacting on the environment and on people. Creators of seitas and dolmens are used them for healing people, in particular. Megaliths with "cups" (knocked out in their grooves) are typical both for Western Europe, and for the Russian North, the Leningrad region, the center of the Russian Plain, Caucasus. They were used for rituals and healing. Part of the megaliths used as a calendar and astronomical observatory. Mounds-cenotaphs built as emitters for the purpose of protecting against unfavorable environmental factors (the Caucasus, Altai, etc.), for the harmonization of man and nature. It is shown that the megalithic culture merges with dendro-culture. It is shown that the energy-informational links cover many continents, and their center - Russian Plain and the Caucasus.

ИССЛЕДОВАНИЕ ВОЛОГОДСКИХ СНЕЖНЫХ ПИРАМИД

В.В. Брунов

persh@mh.vstu.edu.ru

Зимой 2015 г. под Вологдой были из снега построены три модели пирамид. С помощью биолокации дана оценка воздействия пирамид на окружающую местность и на человека, находящегося рядом с ними. Показано и общее воздействие пирамид на человека, и воздействие на его энергоцентры каждой из граней пирамид. Воздействие может быть и положительным, гармонизующим, и «отрицательным», нарушающим нормальные, ровные границы биополя человека.

В феврале 2015 года в д. Закрышкино Вологодского района Вологодской области (в 4 км на запад от г. Вологды) мною были построены из снега модели трёх пирамид с целью исследовать то, как из-за них меняется энергетический фон местности и как влияют пирамиды на людей. Схема размещения пирамид показана на рис. 1. Большой северной пирамиде был присвоен номер 1, большой южной пирамиде – 2, малой - номер 3. Пирамиды 2 и 3 были построены близ оси энергоактивной зоны (подземного водотока), пирамида 1 – в 6-7 метрах от оси. Размеры пирамид приведены в таблице 1.

Таблица 1

**Размеры и состояние моделей пирамид до и после реставрации
13.02.2015 г.**

| №№ пирамид | Размеры | | | | Примечание | |
|-------------------|------------|----------------------------|-------------------------|--------------------------------------------------------------------------------------------------------------------------------------------------------------------------------------------|------------|--|
| | высота (м) | Длина сторон основания (м) | | | | |
| | | северная и южная | восточная и западная | | | |
| до реставрации | | | | | | |
| 1 | 1,6 | 3,1 | 2,8 | построена на $\frac{3}{4}$ высоты, без верхушки; грани истоптаны детьми | | |
| 2 | 2,0 | 3,3 | 3,1 | грани истоптаны, не выглажены | | |
| 3 | 0,8 | 1,7 | 1,6 | — // — | | |
| после реставрации | | | | | | |
| 1 | 1,7 | 3,1 | 2,8 | грани выглажены; с $\frac{2}{3}$ высоты пирамиды изменён угол наклона её граней по отношению к плоскости Земли: верхняя треть пирамиды имела угол $\sim 45^\circ$, нижняя $\sim 60^\circ$ | | |
| 2 | 1,8 | 3,3 | 3,1 | грани выглажены, сделаны слегка вогнутыми; рёбра сделаны острыми | | |
| 3 | 0,8 | 1,7 | 1,6 | — // — | | |

После постройки моделей возле них играли дети, повредили модели. Я замерил энергохарактеристики поврежденных пирамид и характеристики после восстановления (табл. 2). Видно, что после ремонта энергохарактеристики пирамид несколько выросли, выровнялись и практически сравнялись для всех трёх моделей. Причём на северной и восточной гранях пирамиды № 3 и на западной грани пирамиды № 2 наблюдалось повышение энергохарактеристик на 1-2 балла больше, чем среднее по другим сторонам этих моделей. Это, по-видимому, свидетельствует о взаимовлиянии, взаимодействии исследуемых объектов. Все три объекта образовали своеобразную динамическую систему, действуя и друг на друга, и на окружающую обстановку, и на людей, и на животных (обе наши кошки предпочитали сидеть на бревнах возле пирамиды № 3 или влезать на её верхушку).

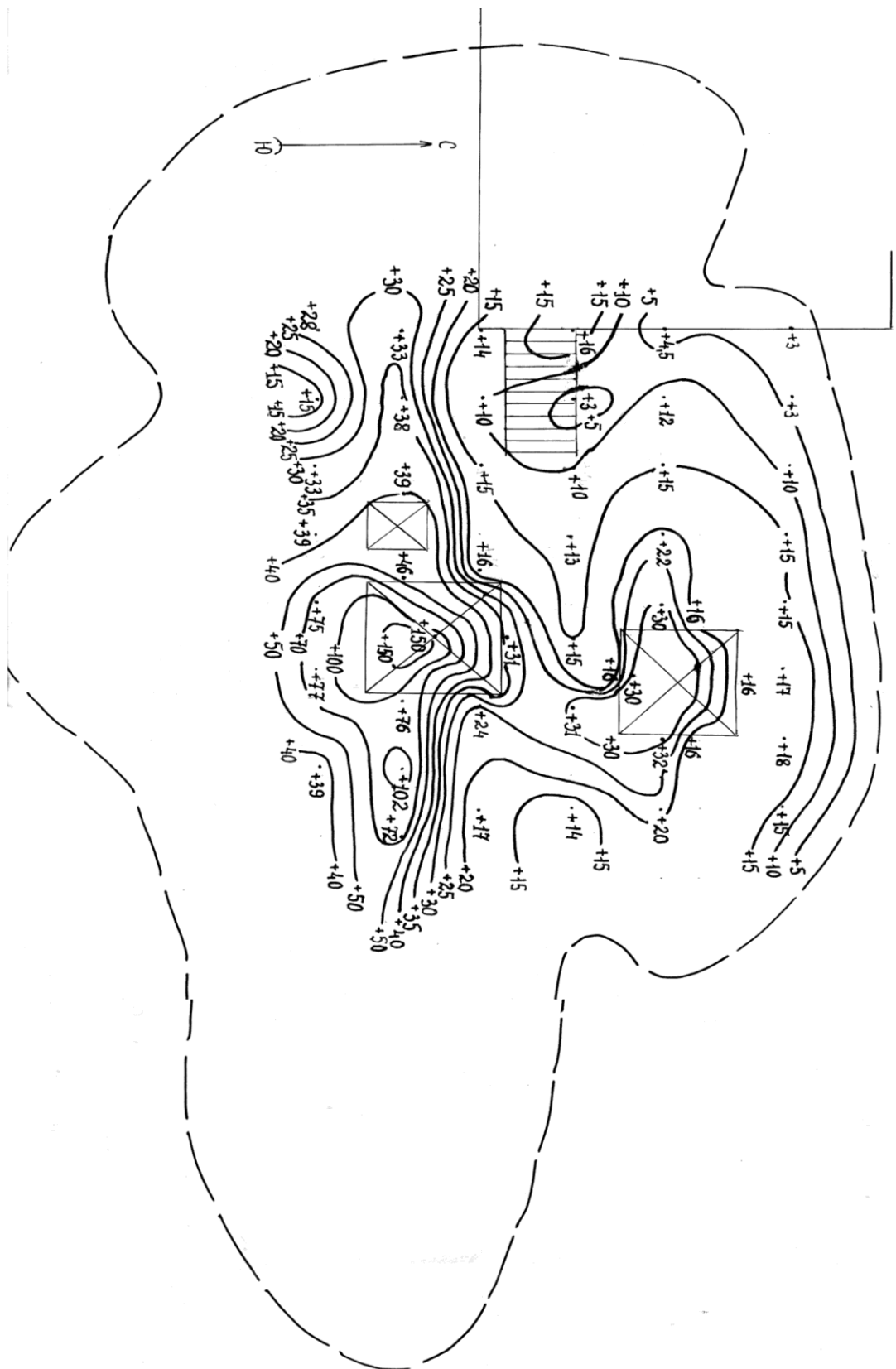


Рис. 1. Результаты биолокационной съемки «испанскими» рамками участка у дома и трёх снежных пирамид (в баллах) от 16.2.2015 г. (16.30-17.30 мск). Осложняющее влияние на энергополе оказывают сугробы к югу от дома, его крыльца, снежная горка к северу от пирамиды № 1. Пунктиром обозначена примерная граница влияния пирамид. За три дня (13-16.2.15) пирамиды №№ 2 и 3 «набрали силу»

**Таблица 2
Энергохарактеристики повреждённых и восстановленных моделей**

пирамид (в баллах) 13.02.2015 г.

| №№ пирамид | Энергозамеры граней пирамид до (в числителе) и после (в знаменателе) восстановления (в скобках – время замера) | | | |
|-----------------|-------------------------------------------------------------------------------------------------------------------|------------|---------|------------|
| | северная | восточная | южная | западная |
| 1 (14.11/14.50) | +15/+16 | +13/+16 | +12/+16 | +14/+16 |
| 2 (14.24/15.00) | +15/+17 | +15/+16 | +15/+17 | +15/+16+17 |
| 3 (14.28/15.12) | +11/+17+16 | +11/+17+16 | +11/+15 | +11/+15 |

Таблица 3

**Данные биолокационных замеров «испанскими» рамками на пикетах
регулярной сетки во дворе дома № 19 в д. Закрышкино (16.02.2015 г.,
с 16.30 до 17.30; м/облачно, ветер ССЗ, 1 м/сек; видимость 10 км,
температура -7°C и ниже)**

| №№ пикетов | баллы | №№ пикетов | баллы | №№ пикетов | баллы |
|---------------|----------|---------------|-----------------|---------------|-------|
| 1 | +3 (фон) | 14 | +32/+20 | 27 | +24 |
| 2 | +3 (фон) | 15 | +10 (у крыльца) | 28 | +17 |
| 3 | +10 | 16 | +3 (фон) | 29 | +33 |
| 4 | +15 | 17 | +10 | 30 | +38 |
| 5 | +15 | 18 | +13 | 31 | +39 |
| 6 | +17 | 19 | +15 | 32 | +46 |
| 7 | +18/+15 | 20 | +31 | 33 | +76 |
| 8 | +4,5 | 21 | +14 | 34 | +102 |
| 9 | +12 | 22 | +14 | 35 | +72 |
| 10 | +15 | 23 | +10 | 36 | +36 |
| 11 | +22 | 24 | +15 | 37 | +15 |
| 12 | +30 | 25 | +16 | 38 | +33 |
| 13 | +30 | 26 | +31 | | |

Примечание к таблице 3:

- 1) на пикетах №№ 7 и 14 разница в замерах свидетельствует о наличии «пульсаций» энергопотока;
- 2) пикеты №№ 29-35 находятся над «косью» подземного водотока (водяной жилы);
- 3) возле пикета № 34 находится вершина пирамиды № 2, со значением энергетики +150 баллов;
- 4) у пикета № 36 находится горка снега у дома.

Для исследования того, как построенные модели меняют энергохарактеристики окружающей местности, была проведена биолокационная съемка и пирамид, и двора. Для этого была размечена регулярная сетка с шагом 2 м, в «узлах» сетки расставлены вешки с номерами пикетов. На пикетах сделаны замеры с помощью Г-образных («испанских») рамок, данные замеров занесены в таблицу 3. На каждом пикете делали по 3-5 замеров и вычисляли среднее арифметическое. Та же процедура с многократными замерами была проделана и для граней пирамид (табл. 4).

Примечание к таблице 4:

* на 3-ю пирамиду (её восточную грань) падает тень от большой пирамиды №2, поэтому вращение рамки Сочеванова влево (отрицательные значения), 3-я пирамида будто «берёт» энергию у 2-й, с её соседней, западной грани.

Для оценки влияния пирамид на людей были проведены биолокационные замеры состояния основных 7-ми энергоцентров испытуемого до посещения пирамид (вдали от моделей) и после посещения (табл. 5). Я сделал также и замеры каждой из моих чакр возле каждой из граней пирамид по данной методике (табл. 6). Всего замеров местности и замеров энергохарактеристик чакр было сделано около 700. Осреднённые данные и были сведены в таблицы 3-9.

Таблица 4

Данные биолокационных замеров «испанскими» рамками у граней пирамид №№ 1-3 во дворе дома № 19 в д. Закрышкино 14.02.2015 г.

| Пирамиды и время замеров | Замеры энергетики пирамид | | | | | | | | |
|--------------------------|---------------------------|-------------------------------------------------------|-------|-----|-------------------|-------|-----|-----|-------|
| | «испанскими» рамками | | | | рамкой Сочеванова | | | | |
| | C | B | Ю | З | C | B | Ю | З | |
| 1-я 11.07 | +16 | +16 | +16 | +16 | -8 | +6 | +7 | -7 | 11.18 |
| 2-я 11.08 | +17 | +17 | +16,5 | +16 | -10 | +10,5 | +10 | -10 | 11.20 |
| 3-я 11.10 | +13,5 | +13,5 (левое вращение) +15 (вращение рамки вправо) | +13 | +13 | -6 | -6,5* | +7 | -6 | 11,25 |

Таблица 5

Энергозамеры (в баллах) биополя исследователя пирамид для выявления их общего

влияния на человека («испанские» рамки; 13.02.2015 г.).

Погода: ясно; V=10 км, t=+1+2°C, ветер С3, 1-2 м/с.

| Энергоцентры человека | Замеры энергоцентров | | | | | | | | | | | |
|-----------------------|-------------------------------------|-------|------------------------------------------|-------|--------------------------------------------------------------|-------|-------|-------|-------|-------|-------|-------|
| | дома (до работы с пирамидами) 14.01 | | дома, сразу после ремонта пирамид, 15.30 | | возле пирамиды № 2 сразу после её ремонта, у граней, в 16.10 | | | | | | | |
| | | | | | C | | B | | Ю | | З | |
| | л | с | л | с | л | с | л | с | л | с | л | с |
| 7 | +12 | +13 | +16 | +16 | +11,5 | +12,5 | +14,5 | +13 | +13 | +14 | +12 | +12 |
| 6 | +12 | +12,5 | +16 | +16 | +12 | +12 | +14,5 | +14,5 | +14,5 | +14,5 | +14,5 | +14,5 |
| 5 | +12 | +12,5 | +15,5 | +16 | +12 | +12,5 | +14,5 | +14,5 | +14,5 | +14 | +16,5 | +16 |
| 4 | +12 | +13,5 | +16 | +16 | +13,5 | +13 | +16 | +14 | +14 | +16 | +12 | +16,5 |
| 3 | +12 | +13 | +16 | +16,5 | +15 | +15 | | | +16 | +16 | +13 | +14 |
| 2 | +12 | +13,5 | +17 | +17 | +16 | +17 | +17 | +15,5 | +16 | +17,5 | +15,5 | +15,5 |
| 1 | +15 | +14,5 | +17 | +17 | +17 | +18 | +16,5 | +16 | +17 | +17,5 | +15 | +17 |

Для наглядности были построены схемы двора с размещением пирамид и с изолиниями уровней энергоактивности (рис. 1).

В целом замеры рамкой Сочеванова показывают левое (отрицательное) вращение у теневых, северной и западной, граней всех трёх пирамид, и правое – у их освещённых, восточной и южной граней. «Испанские» (Г-образные) рамки показывают, что излучают все грани всех трёх пирамид (об этом говорят знаки +).

Таблица 6

Энергозамеры (в баллах) биополя исследователя пирамид для выявления их общего влияния на человека (рамкой Сочеванова, замеры с лицевой стороны тела); 13.02.2015 г., 16.32, у пирамиды № 2

Погода: солнце садится, ясно; V=10 км, t=-2°C, ветер СЗ, 1 м/с.

| Энергоцентры человека | Замеры энергоцентров у различных граней пирамиды № 2 | | | | |
|-----------------------|------------------------------------------------------|-------------|-------------|-------------|-----------|
| | C | B | Ю | З | в среднем |
| 7 | +6 | <u>+5</u> | +6 | <u>+2</u> | +4,75 |
| 6 | +4 | <u>+4</u> | +4 | <u>+4</u> | +4 |
| 5 | +2 | <u>+2</u> | <u>+0</u> | <u>+6</u> | +2,5 |
| 4 | 0 | <u>-0,5</u> | <u>0</u> | <u>0</u> | -0,125 |
| 3 | <u>-0,5</u> | -2 | <u>-0,5</u> | -2 | -1,25 |
| 2 | <u>-1,5</u> | <u>-3</u> | <u>-1</u> | <u>-6,5</u> | -3 |
| 1 | <u>-3</u> | <u>-4,5</u> | <u>-1</u> | <u>-8</u> | -4,125 |

Примечание к таблице 6: чертой подчёркнуты значения, отличающиеся от нормы. Норма (по Сочеванову) для энергоцентров такова:

| | | | | | | | |
|---------|----|----|----|---|----|----|----|
| э/центр | 1 | 2 | 3 | 4 | 5 | 6 | 7 |
| баллы | -6 | -4 | -2 | 0 | +2 | +4 | +6 |

Таблица 7

Энергозамеры (в баллах) биополя исследователя пирамид для выявления их общего влияния на человека («испанские» рамки)

| Энергоцентры человека | Замеры энергоцентров | | | | | |
|-----------------------|---------------------------------------------------------|-------|------------------------------------------------------|-------|-------------------------------------------------------------------------------------------------------|-------|
| | 13.02.2015 г; после отдыха и ужина, замеры дома в 20.27 | | 16.02.2015 г; замеры дома, до выхода на улицу в 9.10 | | 16.02.2015 г. после работы у пирамиды по замеру энергетики чакр – замёрзли ноги, пришёл домой в 11.20 | |
| | л | с | л | с | л | с |
| 7 | +16 | +15 | +10 | +11,5 | +14,5 | +14 |
| 6 | +15 | +14 | +10,5 | +10,5 | +11,5 | +9,5 |
| 5 | +15 | +15 | +12 | +12 | +12 | +11,5 |
| 4 | +15 | +15,5 | +10,5 | +13 | +12 | +12 |
| 3 | +15 | +15 | +12 | +12 | +12,5 | +12,5 |
| 2 | +15 | +15 | +12,5 | +11,5 | +13 | 13,5 |
| 1 | +18 | +18 | +12,5 | +12 | +14 | +14 |

Таблица 8

Энергозамеры (в баллах) биополя исследователя пирамид для выявления их общего влияния на человека (14.02.2015 г.)

| Энергоцентры человека | Замеры энергоцентров | | | | | |
|-----------------------|---------------------------------------------|-----|-------------------------------------------------------------------------|-------|---------------------------------------------|-------------|
| | «испанскими» рамками | | | | рамкой Сочеванова (с лицевой стороны тела) | |
| | до пирамид и выхода из дома на улицу (9.54) | | после пирамид, дома в прихожей, на том же месте, что и 13.02.15 (18.16) | | до пирамид и выхода из дома на улицу (9.45) | |
| | л | с | л | с | л | с |
| 7 | +14,5 | +13 | +11 | +11,5 | <u>+5</u> | <u>+3</u> |
| 6 | +14 | +13 | +13 | +12,5 | <u>+4</u> | <u>+2,5</u> |
| 5 | +13 | +13 | +14 | +12 | <u>+2</u> | <u>+2</u> |
| 4 | +12 | +15 | +14 | +14 | 0 | 0 |
| 3 | +11,5 | +12 | +14 | +14 | <u>-1,5</u> | -2 |
| 2 | +14 | +14 | +14 | +13,5 | <u>-4</u> | <u>-4</u> |
| 1 | +14 | +15 | +16 | +15 | <u>-6</u> | <u>-5</u> |

Подчёркнуты значения, отличающиеся от нормы.

Таблица 9а

Энергозамеры (в баллах) биополя исследователя пирамид для выявления влияния каждой из граней пирамид на человека (14.02.2015 г., 11.58-16.58 мск)

| Пирамиды и энергоцентры человека | | Замеры биополя и время замеров у разных граней пирамид | | | | | | | | | | | |
|----------------------------------|---|--------------------------------------------------------------------|-------|-------|-------|-------|-------|-------|-------|--------------------------------------------|-------|-------|-------|
| | | «испанскими» рамками | | | | | | | | рамкой Сочеванова (с лицевой стороны тела) | | | |
| | | С | | В | | Ю | | З | | C | B | Ю | З |
| | | л | с | л | с | л | с | л | с | 12.15 | 12.19 | 12.27 | 12.31 |
| Первая | 7 | +15 | +14,5 | +20 | +19 | +16,5 | +15,5 | +13,5 | +14,5 | +4 | +6 | +5+6 | +5+6 |
| | 6 | +15 | +14,5 | +18 | +17 | +14 | +15,5 | +15 | +15,5 | +4 | +4 | +6 | +4 |
| | 5 | +15 | +15 | +19,5 | +18 | +14 | +16,5 | +14 | +13,5 | +2 | +4 | +6+8 | +2+4 |
| | 4 | +15,5 | +15,5 | +18 | +18 | +15 | +16,5 | +13,5 | +13,5 | 0 | 0 | -2 | 0 |
| | 3 | +16 | +16,5 | +15,5 | +15 | +16,5 | +15,5 | +14 | +11,5 | -1,5 | -2,5 | -6-9 | -2-5 |
| | 2 | +17 | +17 | +15,5 | +15 | +16,5 | +15,5 | +14 | +12 | -2,5 | -4 | -5 | -4 |
| | 1 | +18,5 | +18,5 | +15,5 | +15,5 | +16,5 | +16 | +10,5 | +11,5 | -3,5 | -6 | -5 | -6-7 |
| | | 11.28 | | 11.45 | | 11.55 | | 12.10 | | 12.15 | 12.19 | 12.27 | 12.31 |
| | | 17.06 | | 17.16 | | 17.25 | | 17.44 | | 16.15 | 16.20 | 16.22 | 16.35 |
| Вторая | 7 | +14 | +15 | +14 | +16 | +15 | +15 | +15 | +15 | +6 | +6 | +6 | +6 |
| | 6 | +15 | +15 | +15 | +16,5 | +15 | +15 | +13 | +15 | +4 | +4,5 | +3 | +4 |
| | 5 | +13 | +17 | +15,5 | +16 | +17 | +15,5 | +13 | +16 | +4 | +8 | +3 | +4 |
| | 4 | +14,5 | +17 | +16 | +17 | +16 | +18 | +16 | +17 | -1,5 | 0 | 0 | 0 |
| | 3 | +18 | +15 | +16 | +15 | +19 | +18 | +15 | +15,5 | -4 | -3 | -3 | -4 |
| | 2 | +18 | +17 | +17 | +16,5 | +15,5 | +15,5 | +16 | +16 | -4 | -7 | -4 | -4 |
| | 1 | +18 | +17 | +17,5 | +17 | +16 | +17 | +16,5 | +17 | -6 | -12 | -6 | -6 |
| | | Устал, замеров не делал: сумерки, плохо видно мелкие цифры записей | | | | | | | | 16.39 | 16.44 | 16.49 | 16.58 |
| Третья | 7 | | | | | | | | | +5 | +6 | +3 | +4,5 |
| | 6 | | | | | | | | | +3 | +4 | +2,5 | +3 |
| | 5 | | | | | | | | | +2 | +2 | +2 | +2 |
| | 4 | | | | | | | | | 0 | 0 | 0 | -2 |
| | 3 | | | | | | | | | -2 | -3 | -4 | -4 |
| | 2 | | | | | | | | | -4 | -3,5 | -6 | -7 |
| | 1 | | | | | | | | | -5,5 | -5 | -7 | -9 |

Примечание к таблице 9 а,б: подчёркнуты замеры, значительно отличающиеся от соседних (для «испанских» рамок – более чем на один балл) или от нормы (для рамки Сочеванова).

Обсуждение результатов

В литературе лишь в одном источнике удалось найти сведения о влиянии пирамид на энергоцентры человека и другие организмы (Павлова, 2004). Прежде чем процитировать данную работу, приведу название семи основных энергоцентров (чакр) и на русском, и на санскрите: 1 – корень (муладхара), 2 – зарод (свадхистхана), 3 – живот (манипура), 4 – ярло (анахата), 5 – горло (вишудха), 6 – чело (аджна), 7 – макушка или темя (сахасрара). По-русски чакра называется «стогно».

С.Н. Павлова пишет следующее [1]:

«Обратиться к этому вопросу меня побудили наблюдения, основанные на исследовании двух пирамид, имеющихся в моем распоряжении. Обе пирамиды выполнены строго в пропорциях Великой пирамиды (ВП) в Гизе. Ориентация по странам света соблюдена тоже в соответствии с ВП (в пределах возможностей компаса). Одна из пирамид имеет высоту 3,7 м, другая – 0,7 м. Назовем их для удобства изложения материала «большая» и «малая».

Таблица 9б

**Энергозамеры (в баллах) биополя исследователя пирамид для выявления влияния каждой из граней пирамид на человека («испанские» рамки
16.02.2015 г., 9.20-11.07)**

| Пирамиды и энергоцентры человека | Замеры биополя, время замеров и освещенность у разных граней пирамид | | | | | | | | |
|----------------------------------|----------------------------------------------------------------------|---------|--------|---------|--------|---------|---------|---------|-------|
| | С | | В | | Ю | | З | | |
| | л | с | л | с | л | с | л | с | |
| | 9.20 ● | | 9.33 ☽ | | 9.57 ☽ | | 10.15 ● | | |
| третья | 7 | +9,5 | +10 | +14,5 | +13,5 | +12,5 | +12,5 | +10,5 | +10,5 |
| | 6 | +9 | +11,5 | +14,5 | +14 | +11 | +12,5 | +10 | +10,5 |
| | 5 | +9 | +12 | +15 | +14,5 | +10,5 | +13 | +10,5 | +10,5 |
| | 4 | +9,5 | +12 | +14,5 | +15 | +12 | +14 | +12 | +11 |
| | 3 | +11 | +11,5 | +14,5 | +15,5 | +10 | +11 | +12,5 | +12 |
| | 2 | +13,5 | +12 | +14 | +14 | +11 | +11,5 | +9,5 | +11,5 |
| | 1 | +13,5 | +13 | +14,5 | +14,5 | +11,5 | +13 | +10 | +12 |
| | | 10.30 ● | | 10.40 ☽ | | 10.55 ☽ | | 11.07 ● | |
| вторая | 7 | +8,5 | +8 | +11 | +10 | +11 | +11 | +9 | +8,5 |
| | 6 | +10,5 | +11 | +12 | +9,5 | +11,5 | +11,5 | +10 | +9,5 |
| | 5 | +10,5 | +9 | +12 | +10,5 | +11,5 | +11,5 | +12 | +13 |
| | 4 | +7,5 | +13 | +14 | +12 | +11,5 | +11,5 | +11 | +12 |
| | 3 | +11 | +10,5 | +13,5 | +12 | +13,5 | +13 | +9 | +9 |
| | 2 | +7,5 | +7,5 | +13,5 | +12 | +14 | +13 | +9 | +9 |
| | 1 | +8,5 | +7 | +15 | +14 | +14 | +14,5 | +10 | +9,5 |

Неожиданно, находясь случайно снаружи напротив середины восточной грани большой пирамиды, я почувствовала усиленную работу сердечной чакры (анахаты). Отхожу в сторону – все возвращается в норму. Тогда появилась мысль обследовать другие грани. Оказалось, что каждая грань влияет на человека не только разной силой воздействия, но и локально, т.е. на конкретные чакры. С *северной* стороны напротив *середины грани* начинается усиленно работать так называемая горловая чакра (вишудха), с *западной* – чакра, находящаяся в области солнечного сплетения (манипура), с *южной* – две чакры, находящиеся в области нижней части позвоночника (муладхара и свадхищтхана). Неоднократно проведено в разное время суток и с интервалом в год. В убывающей последовательности по мощи воздействия грани можно поставить таким образом: северная, восточная, западная, южная.

Дополнительные сведения по *воздействию граней пирамиды* касаются моих *наблюдений за растительным миром*. С северной стороны большой пирамиды были посажены каштан и липа. Судя по их внешнему виду, энергия северной стороны пирамиды их угнетала и подавляла: оба дерева почти не давали веток в стороны, тянулись только вверх и плохо росли. Когда их пересадили подальше и на восток, деревья ожили, а каштан впервые зацвел. Зато вьющиеся растекания, всякого вида лианы активно тянутся к пирамиде, с какой бы стороны от нее они ни росли. У меня дома с северной стороны малой пирамиды алоэ вытянулось в высоту на 1,5 м, не дав ни единого побега. То же самое наблюдалось и с цитрусовыми (грейпфрутами).

Воздействие на *высшие чакры* (аджна – третий глаз и сахасрара - теменная) с внешней стороны большой пирамиды можно было бы, видимо, ощутить, если подняться на *уровень верхней трети высоты пирамиды*. Могу по личному опыту судить только о том, что поток энергии, идущий *вверх от вершины малой пирамиды*, действует очень сильно именно на эти чакры. Они же активизируются при нахождении в *верхней трети внутри большой пирамиды*. Это опять-таки мой личный субъективный опыт. Но есть и объективное свидетельство того, что пирамида – концентратор энергии: мобильный телефон в ней работает как мощная «глушилка» в радиодиапазоне.

Мне бы хотелось обратить внимание интересующихся такого рода проблемами вот на что: Великая пирамида была облицована зеркально отполированными плитами известняка, которые имели отрицательную кривизну с прогибом в 1 м. И это на площади каждой грани, равной 2,2 га, при толщине облицовочных плит 2,5 м! Обычно мы удивляемся: как древние египтяне это сделали? И во тут-то сопоставление приводит нас к вполне определенной мысли: создавая поверхность с отрицательной кривизной, они организовывали вокруг пирамиды пространство, подчиняющееся геометрии Лобачевского, пространство, в котором осуществимы пространственно-временные переходы! Конечно, и пирамиды с плоскими гранями обладают эффектом формы и создают мощные потоки. Но каждая грань пирамиды, обладающая отрицательной кривизной, создает свою фокальную плоскость и свой фокус. О том, что там происходит, нашей науке пока мало известно, однако древние об этом знали и предпринимали усилия по строительству подобных сооружений.

Аэрофотосъемки показали, что и кладка граней ВП даже без облицовки имеет ту же кривизну. Что пространственно-временные переходы осуществимы, подтверждается нашими и американскими летчиками, летавшими прямо над Гизой во время войны между Израилем и АРЕ в пятидесятые годы прошлого века. Приборы казались «взбесившимися», а часы показывали время, отличное от часов на авиабазах. Самолеты плохо подчинялись пилотам, в воздухе крутилась невероятная «карусель» неуправляемых машин. К счастью, все обходилось без столкновений. В настоящее время полеты над пирамидами запрещены. Это первый ответ на вопрос «зачем»?

Но есть и второй, возможно, не менее важный. Свет, отраженный от ровной зеркальной поверхности, становится поляризованным. Видимо, на другие виды энергетических потоков воздействие такой поверхности аналогичное. Мы знаем о воздействии поляризованного света на человека (чаще всего это воздействие отрицательное) и вообще на биологические объекты. А если поляризация света (или других энергий) происходит в пространстве Лобачевского? Что мы об этом знаем? По сути дела – ничего. Когда соприкасаешься с проблемами такой сложности, наши «знания» оказываются сомнительными и примитивными. Во всяком случае, до строителей Великой пирамиды мы явно не дотягиваем (и не только по технологиям).

Н.Н. Непомнящий в книге «Энциклопедия загадочного и неведомого» упоминает еще одну удивительную особенность пирамид: «Излучение в ультрафиолетовом спектре пирамиды поглощают в десять раз сильнее, чем допустим, кубы...» [1, с. 124-127].

Теперь – к нашему материалу. Кроме замеров Г-образной (так называемой «испанской») рамкой, я делал замеры и рамкой Сочеванова. Это позволило получить более надёжные и взаимопроверяемые результаты. Дело в том, что с помощью рамки Сочеванова можно получить данные о том, в какую сторону – вправо (считалось «плюсом» при данной методике измерения) или влево (считалось «минусом») вращается рамка. «Испанскими» рамками вращение вправо-влево оценить сложнее. Но при оценке характеристик биополя человека, при измерении чакр, норма для четвертой (сердечной) чакры равна нулю – при применении методики измерений по Сочеванову. Это весьма затрудняет оценку воздействия какого-либо фактора на сердце испытуемого.

В то же время «испанские» рамки, снабжённые лимбом, позволяют более точно (в баллах) оценить воздействие какого-либо фактора. Однако знаки «плюс» и «минус» в этой методике обозначают иное. «Плюс» - это излучение от человека, предмета, объекта идет по направлению к оператору биолокации. «Минус» обозначает, что направление излучения – от оператора, от исследователя к предмету, объекту, испытуемому.

Для более точной интерпретации данных, я записывал в ряде случаев время замеров, освещенность, погоду, своё состояние. Ибо эти факторы весьма существенны и могут сильно влиять на результаты, вплоть до выбраковки некоторых данных. Например, я не провёл энергозамеров пирамид и своего биополя 15 февраля 2015 года, т.к. в этот день была метель,

снег при видимости 20-100-(до 500) м, температура -15°C и ветер ССЗ до 15 м/сек. На следующий день, т.е. 16 февраля, это отразилось на моём общем самочувствии с утра (см. графу 2 табл. 7, время замера 9 ч 10 мин.): плохо спал, болела голова и правое подреберье (1 февраля, т.е. за две недели до этого, я сломал четыре ребра). Данные от 9.10 16 февраля поэтому некорректно сравнивать с остальными, но я всё же их включил в таблицу 7 как наглядный пример дифференцированного анализа полученных результатов. В свете сказанного ясно также, что данные таблицы 9а сравнимы между собой, но не с данными таблицы 9б. То же – и для таблицы 9 б: сравнимы меж собой, но не с 9а. Однако общие закономерности влияния пирамид на людей выявляются, несмотря на различие в погоде (табл. 10), самочувствии, освещенности.

Таблица 10

Погода за время проведения работ в д. Закрышкино

| Дата и время | Погода | | | |
|-----------------------------|----------------------------------------------------------------------|--------------------------|-----------------|----------------------------|
| | облачность | видимость, км | Температура, °C | ветер |
| 13.02.2015 г. 12-13 час. | малооблачно | 10 | +1+2 | СЗ, слаб. |
| | 16.30 ясно | 10 | -2 | СЗ, 1 м/сек |
| 14.02.2015 г. 9.35 | 10 баллов слоистой | 10 | -3 | ЮЗ, 2 м/сек |
| | 16.15 10 баллов разорванно-дождевой | 3, снег | -2 | ЮЗ, 2 м/сек |
| | 18.00 10 баллов слоистой | 5-7, снег | -2 | ЮЗ, 1 м/сек |
| 15.02.2015 г., весь день | неба не видно | метель 20-100 (до 500) м | -15 | ССЗ, порывы до 15 м/сек |
| 16.02.2015 г. 10.55 | 19 баллов высококучевой | 10 | -8 | штиль |
| | 11.20 9 баллов высокослоистой | 10 | -8 | штиль |
| | 16.30 1 балл высококучевой | 10 | -7 | СЗ, 1 м/сек |
| | 17.30 (солнце зашло, ранние сумерки) 8 баллов высококучевой | 10 | -8 | штиль |

Закономерности таковы. Сначала об общем воздействии пирамид на человека, т.е. о том, как реагирует его биополе на длительное пребывание возле пирамид, без дифференциации на грани. Для такой оценки я сравнивал показания энергетики семи энергоцентров после пребывания у пирамид и, часто, - после вечернего отдыха. Общий вывод таков: гармонизация и увеличение биополя. О гармонизации говорит то, что разница между замерами соседних энергоцентров была или равна нулю, или не превышала один балл. Однако так было не всегда. Например, 13 февраля при замере в 20 ч. 27 мин. разница между первым и вторым энергоцентрами была в три балла. 16 февраля (11.20) разница между пятым и шестым энергоцентрами была в два балла, а между шестым и седьмым – в три-четыре с половиной балла. 14 февраля (18.16) разница между первым и вторым энергоцентрами оценена в 1,5-2 балла, между четвёртым и пятым – в 2 балла, между шестым и седьмым – в 1-2 балла. В целом большее «последействие» оказывается на горло и голову, хотя иногда – и на мочеполовую систему. Это – при исследовании биополя с помощью «испанских» рамок. Если же оценивать общее воздействие с помощью рамки Сочеванова, то результат несколько иной: «последействие» пирамид таково, что наблюдается разгармонизация биополя, воздействие практически на все энергоцентры, кроме шестого (табл. 6). Максимум же - изменения до одной трети и более от нормы – на первый и третий энергоцентры.

Теперь – подробный анализ по воздействию каждой из граней трёх пирамид на энергоцентры человека. Для этого изучены таблицы № 5 (от 13.02.2015 г. в 16.10, пирамида № 2); № 6 (от 13.02.2015 г. в 16.32, пирамида № 2); № 9а (от 14.02.2015 г. в 11.28 – 12.10 и в

12.15-12.31, пирамида № 1; в 16.15 – 16.35 и в 17.06 – 17.44 – пирамида № 2; в 16.39-16.58 – пирамида № 3); № 96 (от 16.02.2015 г. в 9.20-10.15, пирамида № 3 и в 10.30-11.07 пирамида № 2). Данные этих таблиц обработаны и сведены в таблицу 11. Обработка состояла в том, что оценивалась разница (в баллах) между значениями энергоуровней соседних энергоцентров, а также между показаниями по одному энергоуровню, но по лицевой и спинной стороне пациента. При разнице 1,5-2 балла и более такие цифры в таблицах 5,6,9а,9б выделены подчёркиванием, а номера энергоцентров, для которых характерны подобные резкие «скакки», «ступеньки», занесены в таблицу 11.

Таблица 11

**Оценка влияния на энергоцентры (стогны) испытуемого воздействия различных граней снежных моделей пирамид в д. Закрышкино
13-16 февраля 2015 г.**

| Даты, время, номера пирамид | Границы пирамид (по странам света) и номера энергоцентров человека, на которые воздействуют те или иные грани | | | | | | | |
|---------------------------------------|---------------------------------------------------------------------------------------------------------------|------------------------------|--------------------------------------|-------------------------------|------------------------------------------------------------|---------------------------|--------------------------------------|--------------------------|
| | Исследование по методике с использованием «испанских» рамок | | | | Исследование по методике с использованием рамки Сочеванова | | | |
| | C | B | Ю | З | C | B | Ю | З |
| 13.02.15 в 16.10 (2-я пирамида) | 1, <u>2</u> , 3 | 1, <u>2</u> , 4 | 1, <u>2</u> , <u>3</u> , 4 | 4, 5 | | | | |
| 14.02.15 в 11.30-12.10 (1-я пирамида) | <u>2</u> | 3, 4, <u>5</u> , 6, <u>7</u> | <u>3</u> , 4, <u>5</u> , 6, <u>7</u> | 2, <u>3</u> , 4, <u>6</u> , 7 | | | | |
| 14.02.15 в 12.15 (1-я пирамида) | | | | | 1, 2, 3, <u>6</u> | 3, <u>5</u> | 1, 2, <u>3</u> , 4, <u>5</u> , 6, 7 | 1, <u>3</u> , 5, 7 |
| 14.02.15 в 17.06-17.44 (2-я пирамида) | 2, <u>3</u> , <u>4</u> , <u>5</u> , 6 | 3, <u>4</u> , | 2, <u>3</u> , <u>4</u> , 5 | 3, 4, 5, 6, 7 | | | | |
| 14.02.15 в 16.15 (2-я пирамида) | | | | | 3, <u>4</u> , 5 | <u>1</u> , 2, 3, <u>5</u> | <u>3</u> , <u>5</u> , 6 | <u>3</u> , 5 |
| 14.02.15 в 16.39 (3-я пирамида) | | | | | 1, <u>6</u> , 7 | <u>1</u> , 2, <u>3</u> | 1, <u>2</u> , <u>3</u> , 6, <u>7</u> | 1, <u>2</u> , 3, 4, 6, 7 |
| 16.02.15 в 9.20 (3-я пирамида) | 2, 3, <u>4</u> , <u>5</u> , 6 | <u>3</u> | 1, <u>4</u> , <u>5</u> , 6 | <u>1</u> , 5 | | | | |
| 16.02.15 в 10.30 (2-я пирамида) | 2, <u>4</u> , 6 | 1, <u>4</u> , 6 | <u>3</u> | <u>4</u> , 5 | | | | |

Примечание: чертой выделены энергоцентры, на которые данная грань действует максимально.

Анализ таблицы 11 даёт не такие однозначные результаты, как у С.Н. Павловой [1]. Если С.Н. Павлова пишет о том, что её большая модель пирамиды воздействовала своими гранями в наибольшей степени так:

- северная грань – на 5-й энергоцентр («горло»);
- восточная грань – на 4-й («ярло»);
- южная грань – на 2-й («зарод») и 1-й («корень»),

а малая модель пирамиды так: поток энергии от её вершины вверх действовал на 7-й («темя») и 6-й («чело») энергоцентры, то наши данные говорят о том, что северные грани пирамид №№ 1-3 чаще воздействовали на 2-й, 4-й, 6-й энергоцентры; восточные грани – на 3-й, 4-й и 5-й энергоцентры; южные – на 3-й, 4-й, 5-й; западные грани – на энергоцентры 3-й, 4-й, 5-й, 7-й. То есть, при стоянии у граней пирамид чаще были активизированы или угнетены энергоцентры 3-й или 4-й, реже – 2-й или 5-й. После отхода от пирамид и отдыха дома, в тепле – биополе, как правило, гармонизировалось, увеличивалось.

По-видимому, накопление ещё большего массива данных позволит подробнее выяснить роль пирамид при воздействии их на человека. Причём с учётом как географических координат, так и наличия энергоактивных зон вблизи экспериментального поля, погоды, времени суток, освещения, состояния испытуемых и оператора биолокации и

других осложняющих факторов. Особо цennыми были бы результаты энергоизмерений настоящих пирамид и биополей испытуемых возле них, с применением не только биолокации, но и инструментальных измерений (прибор ИГА-1), приборных медицинских наблюдений (ДИАДЭНС, тонометр, электрокардиограф, электроэнцефалограф, ЭНИОТРОН и т.д.).

Литература

1. Павлова, С.Н. Размышления о науке древних / С.Н. Павлова. - Москва: Новый центр, 2004. – 239 с.

STUDYING VOLOGDA SNOW PYRAMIDS

V.V. Brunov

persh@mh.vstu.edu.ru

In winter 2015 near Vologda were built three models of the snow pyramids. With the help of dowsing assessed the impact of the pyramid of the surrounding countryside and to the person who is next to them. It is shown the total effect of pyramids on human and its impact on the energy centers of each of the faces of the pyramids. The impact may be positive, congruent, and "negative", violating of the normal, smooth border of human biofield.

«КОСТЕР НА ВЕТРУ» ИЛИ О ТАК НАЗЫВАЕМОЙ ЭКСТРАСЕНСОРИКЕ И О ВОЗДЕЙСТВИИ СВЯТИЛИЩ НА ЛЮДЕЙ

Б.В. Брунов

persh@mh.vstu.edu.ru

Кроме «традиционных» 5-7 сенсорных систем у человека их в три-четыре раза больше (до двадцати двух). И это – не экстрасенсорика, они присущи большинству людей от рождения. Эти 22 системы и есть «божьи искры», из которых каждый человек обязан сделать «пламя», развивать свои способности с помощью тренировки и упражнений. Но города, техногенная цивилизация губит, «задувает» это пламя, этот костёр. Однако святилища древних людей действуют на человека мощно, комплексно, дают нам силы и новые знания.

Еще со школьной скамьи нам внушают, что человек имеет пять сенсорных систем. Это:

- 1) *зрение*, информация, получаемая с помощью глаз, наиболее «дистантная»: свет далеких звезд приносит нам сведения о событиях, совершившихся от нас на расстояниях в сотни миллионов световых лет;
- 2) *слух*. Дистанция, с которой слышны даже сильные звуки (гром, взрывы, грохот авиадвигателей) – всего первые десятки километров;
- 3) *запахи* можно почувствовать за километры (и то, если нос не заложен);
- 4) *тактильная информация* воспринимается с метра и менее;
- 5) *вкус* – только когда положишь что-либо в рот, т.е. сантиметры.

И это всё, что мы имеем от природы?

Конечно же нет! Давайте продолжим счёт:

- 6) *гравидатчики* – находятся во внутреннем ухе человека (и животных) и позволяют определять вектор (и силу) гравитации;
- 7) *инфракрасные (тепловые) и ультрафиолетовые сенсоры* находятся в коже и способны воспринимать информацию с дистанции метра и более;
- 8) *инфразвуковые сенсоры* – это кожа, руки, ноги, всё тепло человека и животных – воспринимают неслышимые ухом вибрации, идущие и с дистанции в сантиметры, и километры. Из наиболее известных примеров приведу такие: собака спасла жизнь людям во время ашхабадского землетрясения, почувствовав колебания почвы; змеи и ящерицы выползли из своих зимовочных убежищ в октябре месяце перед землетрясением в Крыму. Строго говоря, инфразвуковую чувствительность можно было бы отнести к тактильной, которой обладает кожа. Но ведь инфразвук тело чувствует и в одежде, и в обуви. Кроме того, кожа обладает и электросопротивлением (сухая), и электропроводностью (влажная), т.е. чувствует электроток. А также химическое воздействие и т.п.;
- 9) *магнитодатчиками* являются мозжечок, кожа рук и ног, кровь. Когда я готовил операторов биолокации, то за полгода и общих, и специальных тренировок сумел обучить самых обыкновенных женщин тому, что они с дистанции 2 – 2,5 м сумели уверенно обнаруживать небольшой магнит, спрятанный под одну из металлических мисок;
- 10) *кровь и другие биожидкости* (слюна, моча, лимфа, слёзы) являются и носителями информации, и её приемниками. Е.И. Шипова [5] описывала случаи, когда на кровь, исследуемую ею под микроскопом, воздействовали молитвой, пением псалмов*. И в крови исчезали так называемые «чёрные петли», свидетельствующие о ранее произведенном

* С дистанции в несколько метров.

на владельца этой крови информационном воздействии. Нечто подобное описывает и М.И. Тоненкова [3];

11) *ДЭС (двойные электрические слои)* состоят из строго ориентированных молекул воды и окутывают большинство клеток нашего тела. А.В. Бобров [1, 2] исследовал реакцию ДЭС на информационное воздействие и обнаружил, что дистанция, с которой человек воздействует на воду, может составлять несколько сот метров. Кстати, ДЭС присущи и минеральным, минерально-органическим частицам почвы (см. учебник «Механика грунтов»). ДЭС, по-видимому, также могут играть роль неспецифического сенсора, реагирующего на солнечную активность, магнитные бури, атмосферные явления;

12) *бародатчики* – находятся в ушах, связаны с носоглоткой, и реагируют на внешнее давление как при подъеме в гору, так и при нырянии под воду;

13) *на электромагнитные поля невидимого глазом диапазона* могут реагировать не только кожа, кровь, биожидкости, но и сердце, легкие, ЦНС и периферическая нервная система, а также система энергомеридианов. О наличии последней уже тысячелетия назад знали китайские целители, а в 20-м столетии учение об энергомеридианах и диагностику по ним подробно разработал немецкий врач Рейнгольд Фолль;

14) *сенсорами* влажности воздуха являются кожа, легкие, глаза;

15) *«биохронометры»* или *«биоритмологические часы организма»* также являются неспецифическими сенсорами организма, особенно при узнавании «свой-чужой» (за счёт биорезонанса). Учение о биоритмах подробно разработано в книгах Э.Н. Чирковой [4];

16) *электроторсионными датчиками* (сенсорами, воспринимающими спины, векторы осей вращения, ЭМП и другие аспекты, возникающие при вращении тел или частиц, движении воды и воздуха) могут быть ладони рук, подошвы ног, электромагнитные поля мозга, сердца и всего организма в целом. Дистантность – от сантиметров до тысяч километров;

17) *сенсорами радиоактивных излучений* могут быть руки. Я сам чувствовал излучения от песчинок урановой руды, когда проводил ладонями над препаратом, хранящимся в Музее Землеведения МГУ им. М.В. Ломоносова. Руки после однократной и кратковременной «локации» болели три дня. Дистанция воздействия была 20-25 см;

18) в качестве гипотезы можно высказать мысль о том, что неспецифическими *сенсорами, действующими по принципу биорезонанса для определения «свой-чужой» или «живое-неживое»* могут быть голограммы, хранящиеся в генокоде организмов;

19-22) *полостные, трубчатые, щелевые и ячеистые (или губчатые) структуры.* Это почки и мочевой пузырь, трубчатые кости, кости рёбер, позвоночный столб с каналом внутри, лёгкие, носоглотка, голосовые связки, трахея и бронхи. Они могут быть генераторами вихревых полей и, возможно, приемниками ЭМИ и воздействия иных факторов среды.

Выводы таковы. Кроме «традиционных», общепринятых пяти сенсорных систем, человек обладает в три-четыре раза большим числом сенсоров, и специфических, и неспецифических. Это на несколько порядков повышает чувствительность, данную нам от природы. При маломальской тренировке или при том, что данные, полученные нами от предков при рождении, не «заглушины», не «загрязнены», не «ослеплены» влиянием техногенной цивилизации – при всём том люди и обладают природными дарами, называемыми ныне экстрасенсорикой. «Экстра» в таком контексте значит «сверхъ»: нет, не сверх! Это – норма, полученная от Природы, это и есть «божья искра», заложенная в нас до рождения и при рождении. Как известно, из искры должно разгореться пламя. Вот только всякий ли горожанин умеет развести костёр на ветру?!

В свете изложенного понятно, что святыни воздействуют на людей комплексно и мощно, давая силы, исцеляя, вразумляя, просветляя, одаряя. Но только при правильном,

грамотном пользовании. Только при таком подходе «природопользование» превращается в жизнеобеспечение, в жизнеутверждение, в сотворение жизни в наилучших её вариантах!

Литература

1. Бобров А.В. Модельное исследование полевой концепции механизма сознания. – Орёл: ОрелГТУ, 2006. – 262 с.
2. Бобров А.В. Взаимодействие спиновых полей материальных объектов // Торсионные поля и информационные взаимодействия: материалы межд. научной конференции. Хоста, г. Сочи, 25-29 августа 2009. – Москва, 2009. – С. 67-76.
3. Тоненкова М.И. Энергоинформационная сущность кровли. Дух, Душа, духовность личности и жизни. // Энергоинформационное взаимодействие среды и общества: материалы семинара – Вологда: ВоГТУ, 2008.- С. 49-61.
4. Чиркова Э.Н. Современная гелиобиология. – Москва: Гелиос, 2005. – 520 с.
5. Шипова Е.И. Гемосканирование // Энергоинформационное взаимодействие среды и общества: материалы семинара 18-19 мая 2006. – Вологда: ВоГТУ, 2006. – С. 62-69.

FIRE IN THE WIND: ABOUT THE SO-CALLED EXTRASENSORICS AND THE IMPACT OF SANCTUARY ON PEOPLE

V.V. Brunov

persh@mh.vstu.edu.ru

In addition to "traditional" 5-7 in human sensory systems there is three to four times more (up to twenty-two). And it is - not extrasensorics, they are inherent to most people from birth. These 22 systems are the "spark of God", from which every man must do "flame", to develop their abilities through training and exercises. But the city, technological civilization destroys, "blows out" the flame, the fire. However, the sanctuaries of ancient people are acting on the person powerful, complex, and give us strength and new knowledge.

ПОЕЗДКА НА «ВОЛОГОДСКИЕ ДОЛЬМЕНЫ» 19 МАЯ 2016 Г.

В.И. Чернышов, И.Ф. Никитинский, В.В. Брунов, Д.А. Кузнецов, А.В. Парамонова

persh@mh.vstu.edu.ru

Дано подробное описание двух объектов. Точнее называть их «сейдами», а не дольменами. Подобные сооружения есть в Карелии, на Кольском полуострове, Кавказе - все они являются целевыми резонаторами. С помощью биолокации оценены «энергохарактеристики» сейдов, а также их воздействие на людей. Даже краткое (от 6 до 12 минут) пребывание на одном из сейдов гармонизирует и увеличивает биополе исследователей.

«Дольмены» расположены в д. Коврижново Кирилловского района Вологодской области. Местное их название «Большая и Малая плошки».

«Плошки» расположены в центре деревни, на пологом склоне запад-юго-западной экспозиции. В литературе они названы дольменами. Считаем, что точнее назвать их сейдами. Даём более подробное и точное описание объектов, чем указано в литературе [1].

«Малая плошка» - это плита из кварцита длиной по оси «север-юг» 138 см, по оси «юго-запад – северо-восток» 165 см; толщина: в северной части 13 см, в юго-восточной 12 см, в юго-западной 12-15 см. В среднем 14 см. Поверхность плиты выглажена. Плита лежит на 5 валунах серого гранита, возвышаясь над землей на 20-30 см, слабый наклон на юг, юго-юго-запад, явных рисунков нет. К востоку от «Малой плошки» в 120 см от неё находится «Большая плошка». Её параметры таковы. Это тоже плита из выглаженного кварцита. Размер по оси «север-юг» 123 см, по оси «запад-восток» 147 см, по оси «юго-запад – северо-восток» 158 см, по оси «юго-восток – северо-запад» 152 см. Четыре подпоры тоже из валунов серого гранита, их размер примерно такой же, как и под «Малой плошкой»: около 30-40 см. На одном из валунов (на северо-восточном) она лежит неплотно, с зазором 3-4 см. Но не качается. Толщина: с севера 14 см, с юга 15 см, с запада 14,5 см, с востока 15 см. В среднем около 15 см. Имеет легкий наклон на запад. На поверхности плиты выбит православный крест, вертикальная ось которого совпадает с направлением север-юг, внизу дата – 1893 г. Май. Вверху – слово «Цръ» с лигатурой ~ наверху (т.е. «Царь небесный»). Внизу – буква «А» (а не адамова голова, как указано в литературе).

Энергозамеры биолокационной рамкой таковы: на «Малой плошке» +148 баллов (если стоять в центре плиты), на «Большой плошке» +140 баллов (в центре). Зона влияния «Плошек» простирается к западу от «Малой» до 7,8 м (на это расстояние приходится +28 оборотов биолокационной рамки*); к востоку от «Большой плошки» до 9 м (+26 оборотов); к югу от края «Большой плошки» до 8,15 м (26 оборотов); к северу от «Большой плошки» - до 6,55 (более 20 оборотов – но точнее измерить не удалось, т.к. к северу от «Плошек» - забор из рабицы).

Исследовав «Плошки», В.В. Брунов нашёл, что они похожи на сейды, виденные им в августе 2010 г. на Кавказе. И кавказские, и шекспинские сейды – это щелевые резонаторы. Виктор Викторович выяснил, что лучше всего испытать действие «Плошек» можно, сидя на юго-восточном углу «Большой плошки». Принять участие в эксперименте согласились двое мужчин и женщина. В.В. Брунов определил время экспозиции на сейде для каждого из них: 6, 10 и 12 минут соответственно. Результаты обследования приведены в таблице.

* 1 оборот рамки = 36 баллов. Вращение по часовой стрелке считается «положительным»; влево, против часовой стрелки – «отрицательным».

Таблица

Результаты эксперимента по выявлению влияния сейда «Большая плошка» на биополе людей (от 19.05.2016, оператор В.В. Брунов)

| Стогны (чакры) | Испытуемые | | | | | | | | | | | |
|-------------------|------------|------|-------------|-----|----------|-------|-------------|-----|----------|-------|-------------|-----|
| | 1 | | | | 2 | | | | 3 | | | |
| | до 16.42 | | после 17.02 | | до 16.27 | | после 17.15 | | до 16.32 | | после 16.55 | |
| | л | с | л | с | л | с | л | с | л | с | л | с |
| 7 | +11 | +12 | +17,5 | +18 | +10,5 | +5 | +18 | +18 | +15 | +12 | +19 | +20 |
| 6 | +5,5 | +7 | +17,5 | +18 | +8,5 | +5 | +18,5 | +18 | +10,5 | +10,5 | +18,5 | +19 |
| 5 | +7 | +9 | +17 | +19 | +13 | +7,5 | +18 | +19 | +10 | +10,5 | +19 | +20 |
| 4 | +7,5 | +12 | +18 | +19 | +7 | +5 | +19 | +20 | +11 | +13 | +20 | +20 |
| 3 | +8 | +9 | +18 | +19 | +10 | +6 | +19 | +20 | +12 | +14 | +21 | +21 |
| 2 | +10 | +7,5 | +19,5 | +20 | +4 | +10,5 | +19,5 | +21 | +11 | +11 | +22 | +23 |
| 1 | +9 | +9 | +21 | +21 | +8 | +7,5 | +21 | +21 | +13,5 | +12,5 | +23 | +23 |

Анализ таблицы показывает:

- 1) за короткое время биополе испытуемых выравнивается и становится (по значениям баллов) почти идентичным у всех троих;
- 2) наибольшие величины всех троих испытуемых приходятся на нижнюю часть биополя, на район мочеполовых органов;
- 3) вологодские «плошки», по устройству похожие на пред- и закавказские объекты и так же, как и они, являющиеся щелевыми резонаторами, аналогично кавказским, действуют на людей, гармонизируя биополе и, особенно, стимулируя мочеполовую систему.

Уместно вспомнить при этом второе народное название этих двух вологодских сейдов: «Вера-Надежда-Любовь-Софья». Его нам сообщил местный житель Виктор Домнин, являющийся хранителем «Плошек». Другими словами, идентичные по конструкции сакральные сооружения есть и на юге, и на севере, и в центре Руси. И действуют на людей одинаково. Это наводит на мысль о том, что принадлежат они представителям единой культуры, занимающей огромные территории.

Литература

1. Лазарев, Е.С. Друиды Русского Севера. – Москва: Вече, 2009. – 320 с.

TRIP TO "VOLOGDA DOLMEN" 19 MAY 2016

V.I. Cernyshov, I.F. Nikitskiy, V.V. Brunov, D.A. Kuznetsov, A.V. Paramonova

persh@mh.vstu.edu.ru

We give the detailed description of the two objects. To be more precise to call them seitas instead of dolmens. Similar constructions exist in Karelia and on the Kola Peninsula, the Caucasus - all of which are target resonators. With the help of dowsing were evaluated "energy characteristics" of the seitas, as well as their impact on people. Even a brief (from 6 to 12 minutes), a stay at one of seitas harmonizes and enhances biofield of researchers.

НАБЛЮДЕНИЯ ЗА ВЛИЯНИЕМ СОЛНЕЧНОГО ЗАТМЕНИЯ 20.03.2015 Г. НА ЛЮДЕЙ, ЖИВОТНЫХ, РАСТЕНИЯ

В.В. Брунов

persh@mh.vstu.edu.ru

С помощью биолокации впервые проведены наблюдения за состоянием людей, животных, растений до и во время затмения. Энергетическое состояние людей снизилось в 2,5-6 раз; животных – в 2-6 раз меньше первоначального уровня; у растений «энергопотери» в 1,5-5 раз. Выявлены некоторые факторы, усиливающие энергопотери за затмение (возраст, освещённость, наличие рядом «энергодоноров» и т.д.).

Солнечное затмение 20 марта 2015 г. в Вологде было неполным. Началось оно после 12 часов по московскому времени (в 12 ч. 12 мин. для г. Москвы). Я начал наблюдение в 7 часов утра, ещё до затмения. Наблюдение во время затмения мною велись с 12 ч. 30 мин., уже после того, как Луна начала заслонять диск Солнца. Закончилось затмение в Вологде в 14 ч. 20 мин. по московскому времени. Помимо фиксации положения Луны и Солнца, доли закрытия Луной светила, я отмечал также погоду, состояние организмов. Последнее я вёл с помощью Г-образных (испанских) биолокационных рамок с лимбом в 36 делений. Поворот рамки на 10° в ту или иную сторону оценивался в один балл. Подробнее методика описана ранее (Брунов, 2006).

Наблюдения проведены в деревне Закрышкино Вологодского района: это в 4 км от г. Вологды на запад, по Новоладожскому шоссе, в 1,5 км от п.г.т. Ермаково. Я наблюдал за своими детьми, за женой, за собой, за нашими домашними животными и за деревьями парка, который находится рядом с нашим домом. Доля закрытия Луной Солнца мною оценивалась визуально, при взгляде через закопчённое стекло. В период максимума доля перекрытия составляла для нашей местности не более 25-30%. Начинал затемняться диск Солнца с сектора 2 часа, максимум был на 12 часах «циферблата», окончание – в секторе 10-11 часов. Визуально на местности это воспринималось как снижение освещённости, будто при ранних сумерках. При этом в начале затмения щебетали чечётки и щеглы на деревьях, в парке пела большая синица (но слабо, не интенсивно), над заснеженным огородом, лугом и возле дома над проталинами и лужицами летали пчёлы (первый облёт в этом году у них был необыкновенно рано, 8 марта; да и вообще в этом году весна выдалась ранняя: так, первые зеленушки в г. Вологде зарегистрированы 6 февраля, на 1-1,5 месяца раньше обычного). Проталины были только у дома и на дороге, на местах, где зимой был расчищен снег. В лесу, на лугу, в поле на склонах северной экспозиции снег лежал сплошным покровом. На крутых склонах западной и южной экспозиции снег стаял на 60-80%. На плакорах проталины составляли 10-30%.

Погода была следующей. Утром в 7-8 часов было безоблачно, температура воздуха отрицательная, штиль, потом ветер юго-западный, слабый, на снегу наст. В 12 ч. 55 мин. было 3-4 балла высококучевой облачности, облаков нижнего яруса не было, видимость 10 км, температура +5°C, ветер ЮЗ, 5-7 м/сек. Наст стал проседать с 10 ч. 30 мин. – с 11 часов. В 14 ч. 13 мин. общий балл облачности 8, перистая и высококучевая, облаков нижнего яруса не было; видимость 10 км, температура +8°C, ветер ЮЗ, 5-7 м/сек. В 14 ч. 20 мин. общая облачность 8 баллов, Ci, As, Ac, нижней облачности 4 балла Fn, видимость 10 км, температура +8°C, ветер ЮЗ, 5-7 м/сек.

Динамика протекания затмения видна в таблице 1. Результаты наблюдения за людьми даны в таблице 2.

Таблица 1

Динамика протекания солнечного затмения 20.03.15 г. в г. Вологде

| Время | 12.36 | 12.55 | 13.12 | 13.46 | 14.03 | 14.20 |
|-----------------------------------|-------|-------|--------|-------|-------|-------|
| % закрытия Луной солнечного диска | ~5 | ~20 | ~25-30 | ~10 | ~5 | 0 |

Таблица 2

Динамика энергетического состояния людей (оцененная в баллах поворота биолокационной рамки) перед и во время солнечного затмения в г. Вологде 20.03.15 г.

| Субъект | Время и баллы | |
|---------|---------------|-------|
| | 7.29 | 14.30 |
| сын 1-й | +17 | +7 |
| сын 2-й | +17 | +3 |
| жена | +34 | ? |
| я | +330 | +57 |

Второй сын во время затмения долго смотрел мультфильмы по компьютеру. На состоянии его энергетики оказались и новолуние, и затмение, и компьютер, и недомогание из-за простуды. Первый же ребёнок у компьютера был меньше, больше двигался. Состояние жены во время затмения оценить не удалось, т.к. она была на работе. Мое энергетическое состояние снизилось в 5,5 раза, а детей в 2,5-6 раз.

Результаты наблюдения за домашними животными даны в таблице 3.

Итак, по кошкам снижение их энергетического состояния зафиксировано в конце затмения, и было в 3-6 раз меньше первоначального. По пчёлам снижение было тоже троекратным и тоже в конце явления. По козе – в 2,5 раза, по овцам – в 3-5 раз. По кроликам – в 2-3 раза, по курам в 2 раза. Разница по двум кошкам объясняется тем, что первая кошка убежала во время затмения далеко от дома (вероятно, в деревню), а вторая была или рядом с домом, или (в конце явления) – дома. В конце затмения чечётки и щеглы молчали, большая синица не пела, пчёлы спрятались в ульи.

Таблица 3

Динамика энергетического состояния домашних животных (оцененная в баллах поворота биолокационной рамки) перед и во время солнечного затмения в г. Вологде 20.03.15 г.

| Объект | Время и баллы | | | |
|------------|-----------------------------------------------------------------|-------------------------------------------------|--------------------------------------------------------------------------------|--|
| Кошка 1-я | +13 (7.29) | ? | +2+3 (14.14) | |
| Кошка 2-я | +13 (3.30) | +12 (12.40) | +3+6 (14.13) | |
| Пчёлы | В 12.30 летали у дома (мало) и были на летках 4-х из 5-ти ульев | 13.12 +8+12 (в среднем +9 баллов по 5-ти ульям) | 14.15 +3 балла для всех 5-ти ульев, пчёл на летках нет, все попрятались в ульи | |
| Коза | +10 (12.30) | +3+5 в 14.05 (в среднем +4 балла) | | |
| Овца 1-я | +12 (12.30) | +4 (14.06) | | |
| Овца 2-я | +15 (12.30) | +3 (14.06) | | |
| Кролик 1-й | +9 (12.30) | +3+4 (14.01) | | |
| Кролик 2-й | +9 (12.30) | +4+6 (14.00) (в среднем +5) | | |
| Куры | +9 (12.30) | +4+5 (14.06) | | |

Результаты наблюдения за деревьями даны в таблицах 4 и 5.

Таблица 4

**Динамика энергетического состояния древесных растений (оцененная в баллах
поворота биолокационной рамки) перед и во время солнечного затмения в г. Вологде
20.03.15 г.**

| № п/п | Объект | Время и баллы | | | |
|----------|----------------------------------------|---------------|-------|---------------------|--------------------|
| | | 10.40 | 10.55 | 13.20 – 13.30 | 13.40 – 13.50 |
| 1 | Ива на вост. опушке рощи | +13 | - | +9 | - |
| 2 | Ель 1-я | +13 | - | +6 | - |
| 3 | Ель 2-я | +13 | - | +6 | - |
| 4 | Кедрик | +15 | - | +3+6 (в среднем +5) | - |
| 5 | Липа живая, о двух стволах | +13 | - | +10 | - |
| 6 | Липа сухая | 0 | - | 0 | - |
| 7 | Пихточка | +7 | - | +3+4 | - |
| 8 | Ель 4-метровая на опушке | - | +15 | - | +6 |
| 9 | Осина в тени | - | 0 | - | +3 (уже на солнце) |
| 10 | Осинка рядом (менее 1 метра) с ёлочкой | - | +6 | - | +3 |
| 11 | Ёлочка рядом с осиной | - | +9 | - | +3+4 |
| 12 | Старая живая береза (~200 лет) | - | +15 | - | +4+6 |
| 13 | Старая мёртвая береза | - | 0 | - | 0 |

**Таблица 5
Возрастные и размерные характеристики деревьев, за которыми проведены наблюдения (№№ объектов соответствует таблице 4)
во время солнечного затмения 20.03.15 г.**

| № п/п | Объект | Высота (м) | Диаметр (см) |
|-------|----------------------------------------|------------|--------------|
| 1 | Ива на вост. опушке рощи | 10 | 30 |
| 2 | Ель 1-я | 17-18 | 40 |
| 3 | Ель 2-я | 18 | 40 |
| 4 | Кедрик | 0,3 | 1 |
| 5 | Липа живая, о двух стволах | 13-14 | 30 |
| 6 | Липа сухая | 9 | 20-25 |
| 7 | Пихточка | 0,6 | 1 |
| 8 | Ель 4-метровая на опушке | 4 | 6 |
| 9 | Осина в тени | 10 | 18 |
| 10 | Осинка рядом (менее 1 метра) с ёлочкой | 7 | 4-5 |
| 11 | Ёлочка рядом с осиной | 2 | 3 |
| 12 | Старая живая береза (~200 лет) | 17 | 70 |
| 13 | Старая мёртвая береза | 7 | 80 |

Из таблиц 4 и 5 следует, что энергетическое состояние деревьев с наступлением затмения снижалось у всех экземпляров, независимо от их вида и возраста. Исключение – лишь мёртвые деревья (липа и старая береза), чьё состояние оценивалось в 0 баллов, что и понятно. Это «исключение» позволяет утверждать, что оператор биолокации оценивал именно энергохарактеристики (по-видимому, излучения) живых деревьев, а не отражённый от их стволов солнечный свет. Ведь и кора старой умершей берёзы, и ствол сухой липы были освещены солнцем, однако замеры этих экземпляров давали нулевые значения и до, и во время затмения. Вторым исключением, подтверждающим правило, служат энергозамеры осины (№ 9 в табл. 4 и 5). До затмения это дерево (возрастная категория «приспевающая», т.к. спелые, взрослые осины в наших условиях растут до 15-18 м) было в густой тени, к тому

же вокруг его основания лежал снег толщиной ~10 см. То есть солнце его не «разбудило». А в конце затмения на него всё же упали солнечные лучи, и дерево вышло из «нулевого», анабиозного состояния.

Общие выводы по растениям таковы:

- 1) по-видимому, существуют видовые различия в энергохарактеристиках растений, что показано мною ранее [1]; однако весной, при наличии снегового покрова, энергохарактеристики разных экземпляров гораздо более зависят от того, где растёт дерево – в глубине леса, на опушке, в тени или на солнце;
- 2) при наступлении солнечного затмения, как правило, энергохарактеристики деревьев снижаются (для разных экземпляров от 1,5 до 5 раз), особенно сильно у тех, что растут в глубине леса;
- 3) если же во время солнечного затмения растение «переходит» из тени на свет, то энергохарактеристики могут и повышаться;
- 4) на величину «энергопотерь» какого-либо экземпляра могут влиять, кроме положения его на опушке или в лесу, также и возраст, наличие рядом других экземпляров, могущих быть «энергодонорами» (например соседства осинки и ёлочки – см. №№ 10 и 11 в табл. 4 и 5);
- 5) в дни весеннего равноденствия, когда активизируются растения, преимущественно получают те из них, которые менее затенены, растут там, где быстрее тает снег.

Наблюдения и энергозамеры после затмения не были проведены, т.к. резко изменилась погода, стало пасмурно, похолодало.

Литература

1. Брунов В.В. Влияние гео- и технопатогенных зон на различные аспекты жизнедеятельности. - Москва: Амрита-Русь, 2006. - 464 с.

OBSERVATION OF THE INFLUENCE OF SOLAR ECLIPSE 03 MARCH 2015 TO PEOPLE, ANIMALS AND PLANTS

V.V. Brunov

persh@mh.vstu.edu.ru

Using a dowsing observation of humans, animals, plants were conducted before and during the eclipse. Energy state of people fell in 2,5-6 times; animals - 2-6 times less than the initial level; the "energy loss" of plants in 1.5-5 times. There were identified some of the factors that increase the energy losses of the eclipse (age, illumination, the presence of a number of "energy donors", etc.).

ИЗМЕНЕНИЕ СОСТОЯНИЯ ВОДЫ И СЕМЯН ПРИ ДЕЙСТВИИ НАМЕРЕНИЙ ОПЕРАТОРА В ВИДЕ БУКВЕННЫХ ТЕКСТОВ, ЦИФРОВЫХ КОДОВ И ГЕОМЕТРИЧЕСКИХ ФИГУР

С.Н. Маслоброд¹, М.А. Андрияшева²

¹Институт генетики, физиологии и защиты растений

Академии наук Молдовы, Кишинёв, Лесная, 20, MD-2002, Молдова.

²ФГБНУ «ГосНИОРХ» (НИИ озерного и речного рыбного хозяйства), С-Петербург.

maslobrod37@mail.ru, mariand12@yandex.ru

Намерения оператора, выраженные посредством буквенных текстов, цифровых кодов, составленных на основе этих текстов, а также геометрических фигур способны оказывать существенное влияние на состояние воды и семян. Изменение состояния воды тестируется проращиваемыми в ней семенами. Эффект выражается в увеличении числа правых проростков из семян, которые активируются намерениями как непосредственно, так и опосредованно через воду. Функция намерений, созданных конкретным оператором, может реализовываться и другими исполнителями, что делает данную методику технологичной. При этом необходимо использовать фотоизображения намерений, поскольку в них сохраняется информация, полученная от оператора.

Вначале – маленькая ремарка: в данной работе описываются не только эксперименты, но и история их проведения, в которой о взаимоотношениях авторов говорится в третьем лице. В 10-м выпуске ЖФНН была напечатана статья М.А.Андрияшевой [1], в которой показано, что информационное воздействие на воду оказывает положительное влияние на функционирование находящихся в водной среде организмов - эмбрионов и личинок рыб. Под информационным фактором подразумевалось намерение оператора, выраженное двумя способами: вербально и в виде цифрового кода, составленного на основе этого текста. Причина эффекта, по мнению автора, заключена в направленном изменении структуры воды, подвергнутой информационному воздействию. Это было подтверждено автором экспериментально – путём измерения физических свойств воды с помощью различных методов. Принципиально важно следующее: при использовании цифрового кода в качестве информационного фактора эффект может быть получен не только самим оператором, автором этого кода, но и другими исследователями. В связи с этим, автор считает такой подход пригодным для создания производственной технологии, что позволяет в конкретном случае повысить жизнеспособность эмбрионов и личинок рыб на 20-30%.

На статью Андрияшевой в том же номере ЖФНН появилась рецензия С.Н.Маслоброва [2]. Рецензент высоко оценил оригинальную работу Андрияшевой, отметив прежде всего её выигрышную фактологическую сторону: 1) практическую значимость объекта (воспроизводство ценных промысловых рыб – форели и карпа); 2) достаточную презентативность выборки (несколько десятков тысяч икринок и личинок рыб в варианте); 3) адекватность метода учета выживаемости биообъектов; 4) редкую для такого рода опытов полноту традиционных и нетрадиционных методов, с помощью которых изучались свойства воды, подвергнутой информационному воздействию (электропроводность, оптическая плотность, окислительно-восстановительный потенциал, концентрация водородных ионов, показатели газоразрядной визуализации и биолокации); 5) добротную математическую обработку результатов. В целом, по мнению рецензента, это вызывает доверие к данным, полученным по нетривиальной теме - прямое и опосредованное информационное воздействие на воду не физического, а антропного фактора (мыслеобраза).

При часто негативном отношении официальной академической среды к такого рода работам исследователь как раз особое внимание должен обращать на методическую часть, прежде всего на методику учета эффектов, чтобы хотя бы с этой стороны у оппонентов не возникало категорических возражений и желания из-за этого опорочить всю работу. Эта методика должна быть, по возможности, общепринятой, понятной, без темных «уголков»,

максимально «разжеванной» и легко воспроизводимой другим исследователем, желающим лично проверить достоверность необычных данных.

Сам рецензент уже в течение многих лет ведёт исследования в этом направлении и успел убедиться в целесообразности и профессиональной необходимости такой методологии. Тут надо быть строго самокритичным, дабы не подставлять под удар большую - и не «околонаучную», а на самом деле высоконаучную - проблему взаимодействия материи и сознания. Сложилась парадоксальная ситуация: если ты проводишь исследования по традиционной, часто избитой теме, и получаешь при этом невоспроизводимые результаты, то ничего страшного – ты всё равно защищён «легитимностью» темы и её «славными» представителями. И можешь спокойно печататься – тебя не «съедят». А невоспроизводимость всегда можно объяснить какими-то не всегда доказуемыми, но приемлемыми причинами (состоянием и генотипом объекта, влиянием какого-то неучтённого внешнего фактора, сложностью механизма и т.д. и т.п.). Но стоит тебе только обратиться к теме, отторгаемой официальной наукой, как сразу попадаешь под перекрестный огонь «остепенённых» оппонентов, у которых, в силу неочевидного закона «правоты большинства», всякое лыко в строку. И не дай Бог, пользоваться теми же оговорками, что и «традиционщики». Вот почему так важно не давать лишних поводов для огульной критики. А ведь и в самом «ухоженном» уголке королевства Науки не так уж всё гладко. Имеется в виду неполнота объективности общепринятых методик [3], о чём ещё будет упомянуто ниже.

Маслоброд в собственных работах сосредоточил основное внимание на восприимчивости антропного фактора водой и растительными организмами, преимущественно семенами. Но методикой Андрияшевой ещё не пользовался. Поэтому вполне логично, что две стороны пришли к следующему соглашению: работоспособность методики «намерений», созданной Андрияшевой, проверить на семенах растений, а методики «намерений», созданной Маслобродом, проверить на водных организмах. В настоящей публикации нашли отражение эксперименты пока что по первой части «соглашения». Исследования продолжаются. В них дополнительно для оценки свойств воды, активированной числовыми кодами, «задействован» третий участник соглашения – Сергей Кернбах, создатель и пользователь сверхчувствительной прецизионной аппаратуры [4].

Методика

1. Выбор тестирующего объекта и его параметра при оценке биоэффекта от намерения. В качестве тестирующего объекта служили семена озимого тритикале (сорт Инген 93) – гибрида между пшеницей и рожью, как в [3], [5]. Малые размеры объекта позволяли использовать в каждом варианте большое число повторностей, «озимость» объекта позволяла проводить опыты при нормальных и пониженных фоновых температурах.

Кроме того, по нашим многолетним данным, этот объект хорошо отзывается на действие информационных факторов. Семена проращивали в чашках Петри, в чашке находилось 50 семян (рис.1).

В качестве параметра оценки биоэффекта от намерения было выбран также проверенный надежный параметр - число правых проростков, выросших из активированных внешним фактором семян [3]. Обычно на стадии проростков у злаковых культур морфологически чётко проявляются два биоизомера – левый и правый. У левых проростков первый лист заворачивается против часовой стрелки, у правых - по часовой стрелке [3], [6] (рис.2). Правые проростки характеризуются более активным ростом, что может положительно отразиться на конечном этапе онтогенеза растений – на продуктивности взрослых растений [6], [7]. Биоизомерия или диссимметрия проростков детерминируется



Рис. 1. Чашка Петри с семенами тритикале (сорт Инген 93) в воде.



Рис. 2. Левый (L) и правый (D) проростки тритикале. У L проростка первый лист заворачивается против часовой стрелки, у D проростка - по часовой стрелке

примерно на третий день прорастания семян, когда начинают появляться колеоптили и корешки проростков. В этот период определить у них знак биоизомерии внешне пока не представляется возможным, но внутри колеоптиля (защитного «конуса» ростка) уже находится первый листик, который через день-два выйдет из него наружу, визуально демонстрируя левизну или правизну проростка. Теперь уже знак биоизомерии проростка можно однозначно фиксировать в течение продолжительного времени – даже после появления у проростков новых очередных листьев (в наших опытах обычно анализировались проростки в возрасте семи дней). Поэтому был использован следующий методический прием [3]: семена проращивали в чашках Петри, в которые заливали сразу 5-10 мл водопроводной воды. Этого количества воды хватало на период вплоть до 4 дней проращивания семян, что позволяло не вносить помехи в процесс прорастания семян и формирования биоизомерии проростков. Процедура определения уже на второй день других широко используемых в практике растениеводства параметров (энергии прорастания семян, длин колеоптилей и корешков проростков) требует высокой оперативности, так как эти параметры быстро «плывут» (скорость роста колеоптиля и корешка в среднем 0,5 мм/час). Кроме того эта процедура неизбежно сопровождается механическими, температурными, антропными и другими помехами, что искажает искомый «тонкий» биоэффект. К этому можно добавить «искажающее» действие процедуры добавления в чашки Петри новых порций воды.

2. Методика проращивания семян [3]. Чашки Петри с семенами на проращивание помещали не в «классические» лабораторные термостаты, а на плоскости стола термостатной комнаты в один слой с расстоянием в несколько см друг от друга. Термостаты обычно привносят в исследуемый биоэффект свои артефакты. К ним можно отнести эффект формы устройства, температурные различия по горизонтали и вертикали рабочего объема устройства, взаимодействие объектов при расположении чашек стопкой (обычный прием у биологов), электромагнитные помехи от электротехнической «начинки» устройства. Наконец, надо учитывать возможное наличие на рабочем месте так называемых геопатогенных зон, на что совершенно не обращается внимание «правильных» экспериментаторов. Термостатные комнаты дополнительно обеспечивали не только выбор «чистого» непатогенного участка, но и позволяли проводить многовариантный опыт с большим числом повторностей в варианте. И здесь параметр «число правых проростков» оказывался как нельзя кстати. Число повторностей в варианте – принципиально важный элемент методики, что будет показано далее при изложении результатов исследования. Проращивание семян велось при температуре 20-22°C.

3. Фактор воздействия на воду и семена. Воздействие на семена проводилось антропным фактором – намерением (мыслеобразом) как непосредственно (фактор подавали на семена, находящиеся в чашке Петри с водопроводной водой), так и опосредованно (фактор подавали на водопроводную воду, в которой затем проращивались семена). В опытах Андрияшевой использовались намерения двух типов – выраженные 1) вербально

(словами), 2) в виде числового кода, который составлялся на основе буквенного текста [1]. Андрияшева для проведения опытов в Кишиневе присыпала числовые коды только своих намерений. Код представлял собой цифровой эквивалент буквенного текста и составлялся путём последовательного складывания цифр, где каждая цифра соответствовала порядковому номеру буквы в алфавите (например, цифра 1 соответствовала букве А, цифра 2 – букве Б и т.д.). Получалось трезначное число. Маслоброд дополнительно для своего намерения создавал вторичный числовой код - в виде одной цифры. Был использован принцип Пифагора - сложение цифр по своему модулю [8]. Складывались цифры трезначного числа цифрового кода (например, число 125 становилось числом 8). Иногда Андрияшева создавала особый числовой код, где информационную роль играл цвет кода (ноу-хау автора). У неё случалось, что коды, имеющие разное содержание, могли иметь одинаковое числовое выражение (они были названы совпадающими), в связи с чем обозначались разным цветом и соответственно отличались по функциям. Способ создания цветного кода был неизвестен Маслоброду, поэтому он при создании своих числовых кодов в их цвет не вкладывал никакой информации.

Дополнительно в качестве информационного фактора использовались геометрические фигуры Шкилева, представляющие собой геометрическую форму числа 9 [8]. При построении фигур Шкилёв применил принцип сложения цифр по своему модулю (принципа Пифагора) и лепестковую систему координат. Получились две зеркально симметричные фигуры - правого и левого вращения. Возник вопрос, могут ли эти фигуры (фактически их цифровое фотографическое отображение) оказывать влияние на биоизомерию проростков. Предположение, что левые и правые фигуры Шкилёва могут индуцировать появление из семян преимущественно соответственно левых и правых проростков, было подтверждено в опыте [9]. Таким образом, эти фигуры зарекомендовали себя в качестве действенного намерения, выраженного геометрической фигурой. Поскольку по этому типу намерения уже имелись данные, повторение опыта позволяло проверить надежность и стабильность ранее полученных фактов [9] и давало возможность сравнивать его с данными по другим типам намерения.

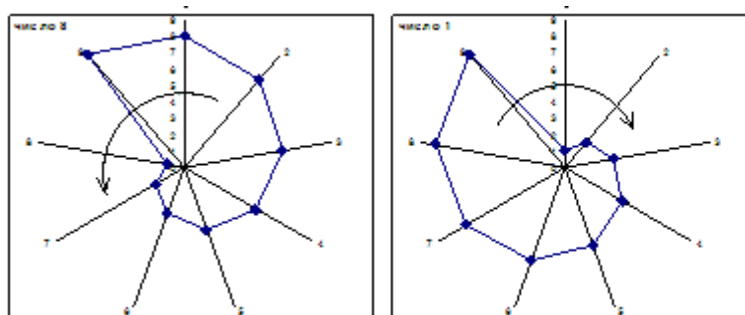


Рис. 3. Левая и правая геометрические фигуры Шкилёва, использованные в опыте

Результаты и обсуждение

Прежде чем перейти к изложению результатов опытов, показывающих, что цифровых кодов влияют на состояние семян и воды, вкратце расскажем, как авторы трудно «дозревали» до получения убедительных фактов существенности этого влияния. Для первых опытов Андрияшева прислала в Кишинёв цветные числовые коды, созданные на основе намерений общего типа «изменение эффективности роста и развития растений». Однако цвет присланных кодов в опыте в Кишинёве не был учтён. Напечатанные на бумаге в чернобелом варианте коды (по три копии одного кода под каждую чашку с целью возможного усиления эффекта [3], [10]) ставились под чашки Петри, в которых находились семена с водой. В варианте было 10 чашек по 50 семян. Но различия между вариантами не были обнаружены. Учитя замечания Андрияшевой по поводу роли цвета кодов и количества их под чашкой, Маслоброд провел новые опыты, где использовались её цветные коды (по одному коду на чашку) и одновременно их аналоги чёрного цвета. И вновь различия между вариантами

отсутствовали. Тогда Андрияшева постаралась учесть в текстах намерений и кодах фактор биоизомерии (левизны и правизны) проростков, поскольку именно этим параметром оценивался в Кишинёве эффект от кодов. Однако и эти улучшения методики не сработали. Что же делать? Андрияшева попросила Маслоброва самому сформулировать тексты намерений по индукции левых и правых проростков и прислать ей эти тексты для того, чтобы она закодировала их по своей методике и затем выслала обратно в Кишинев для проверки их эффективности.

Вот эти тексты: 1) «Подача мысленного потока против часовой стрелки на семена снизу с целью индукции левых проростков»; 2) «Подача мысленного потока по часовой стрелке на семена снизу с целью индукции правых проростков». Но тексты, созданные Маслобродом, оказались неэффективными, несмотря на их последующее уточнение автором текста. Чтобы как-то разрядить ситуацию, Маслоброд решил лично проверить работоспособность высланных ранее Андрияшевой своих текстов намерений, а также построенных на их основе трехзначных и однозначных цифровых кодов (см. методику). Тексты и коды намерений помещались по одному экземпляру под каждой чашкой, в которой находились семена с водой. В варианте – 400 семян (8 чашек по 50 семян). Такого рода опыты Маслоброд ещё не проводил. И был приятно удивлён, что его намерения являются, по-видимому, функциональными (табл.1). По вариантам наблюдалась общая тенденция однотипных различий между контролем и опытом, а также между «левым» и «правым» вариантами текстов и кодов. И если подсчитать среднее по всем «левым» и по всем «правым» вариантам, то различия между ними оказывались существенными. Выходило так, что надо было сразу брать больше повторностей, скажем, хотя бы 10 чашек с семенами, чтобы обнаружить достоверные различия между контрастными вариантами.

Таблица 1
Число правых проростков при воздействии намерения Маслоброва
(текста и его цифрового кода) на семена, находящиеся в чашках в воде, %.

| № п/п | Текст намерения и его цифровой код | Число правых проростков |
|----------|---------------------------------------------------------------------------------------------------|----------------------------|
| 1 | Контроль | $53,4 \pm 2,24$ |
| 2 | Подача мысленного потока против часовой стрелки на семена снизу с целью индукции левых проростков | $51,9 \pm 2,22$ |
| 3 | Подача мысленного потока по часовой стрелке на семена снизу с целью индукции правых проростков | $56,6 \pm 3,11$ |
| 4 | 1179 (сумма цифр каждой буквы текста варианта 2 согласно места буквы в алфавите) | $48,1 \pm 2,67$ |
| 5 | 1141(сумма цифр каждой буквы текста варианта 3 согласно места буквы в алфавите) | $57,0 \pm 3,06$ |
| 6 | 9 (сумма каждой цифры варианта 4: $1+1+7+9=9$) | $53,6 \pm 4,83$ |
| 7 | 7 (сумма каждой цифры варианта 5: $1+1+4+1=7$) | $60,5 \pm 1,82$ |
| 8 | Среднее из числа левых проростков вариантов 2, 4, 6 | $51,3 \pm 1,62$ |
| 9 | Среднее из числа правых проростков вариантов 3, 5, 7 | $58,0 \pm 1,32$ |

Примечание: намерение (текст и цифровой код) создано С.Маслобродом; текст и код намерения помещали под чашки; в каждом варианте 8 чашек по 50 семян; $t_{8,9}=3,21$.

Кишиневский результат стимулировал Андрияшеву на создание своих более точных кодов, «заточенных» исключительно на индукцию левых и правых проростков. Но и эти коды в Кишиневе не дали эффекта. Авторы, понятно, стали волноваться. Не получается ли у них так, что намерение может работать только у его создателя, а у других исполнителей «сила» его намерений теряется? И уже трудно говорить о технологичности оригинального метода повышения жизнеспособности объекта с помощью антропного фактора,

«спрятанного» в числовом коде. Андрияшева между тем в своих трудах как раз подчеркивала технологичность своего метода, которая хорошо зарекомендовала себя на разных объектах – воде, рыбах, крови и т.д. Но на растениях дала сбой.

Тогда Маслоброд предложил Андрияшевой новую идею: выслать ему код в «живом» виде, т.е. в том виде, в котором она отдавала его исполнителям, работающим не на растениях, а на других объектах. Необходимо было эти коды, лучше всего написанные её рукой, сфотографировать и по электронной почте переслать в Кишинёв. Там фото распечатывается в цветном формате и используется в опыте. В прежних опытах по ЭНС (эффекту нелокальной связи) Маслоброд высыпал Кербаху из Кишинева в Штутгарт фотографии семян, пыльцы, воды, т.е. некие энергоинформационные двойники объектов. Кернбах их активировал светодиодными излучателями, а Маслоброд надёжно ловил эффект в Кишиневе на объектах-оригиналах - семенах или пыльце [3], [10].

Так же поступили в опыте с кодами Андрияшевой. Вот они - эти фото кодов: 628-красный, 162 – зелёный, 592 – красный, 260 – зелёный (рис.4). И уже они сработали! Варианты всех фото кодов, которые действовали на семена в воде, существенно превышали контроль по числу правых проростков, выросших из этих семян (табл.2, опыт №2).



Рис. 4. Фото числовых кодов Андрияшевой

Таблица 2.

Число правых проростков при воздействии цифрового кода намерения на семена, находящиеся в чашках в воде, %

| № п/п | Цифра кода | Цвет кода | Код, набранный на компьютере | Фото кодов, написанных автором вручную | |
|----------|---------------|-----------|--------------------------------------------------------------------------|--------------------------------------------------------------------------|----------------------------------------------------------------------------------|
| | | | Воздействие кодов на семена, которые находятся в воде (опыт №1) | Воздействие кодов на семена, которые находятся в воде (опыт №2) | Воздействие кодов на воду, в которой затем проращаются семена (опыт №3) |
| 1 | Контроль | | 52,3 ± 3,51 | 48,9 ± 2,04 | 48,9 ± 2,25 |
| 2 | 162 | Зелёный | 53,8 ± 1,26 | 57,4 ± 1,17** | 59,1 ± 2,15** |
| 3 | 162 | Чёрный | 59,9 ± 2,56 | | |
| 4 | 260 | Зелёный | 56,8 ± 2,47 | 58,8 ± 2,50* | 55,5 ± 3,00 |
| 5 | 260 | Чёрный | 54,2 ± 2,54 | | |
| 6 | 592 | Красный | 52,5 ± 2,64 | 57,9 ± 3,00* | 57,8 ± 2,56* |
| 7 | 592 | Чёрный | 50,3 ± 3,51 | 55,7 ± 2,12* | 58,2 ± 1,85** |
| 8 | 628 | Красный | 52,2 ± 2,55 | 58,4 ± 1,04** | 58,7 ± 2,41* |
| 9 | 628 | Чёрный | 54,1 ± 2,96 | | |

Примечание: цифровые коды созданы М.Андрияшевой; код помещали под чашки; в каждом варианте 10 чашек по 50 семян; опыт №2: $t_{1,2} = 3,62$; $t_{1,4} = 3,07$; $t_{1,6} = 3,63$. $t_{1,7} = 2,31$; $t_{1,8} = 4,15$;
опыт №3: $t_{1,2} = 3,28$; $t_{1,4} = 1,76$; $t_{1,6} = 2,61$; $t_{1,7} = 3,20$; $t_{1,8} = 2,97$.

Для наглядности в той же таблице приведены данные по тем же кодам в цветном и чёрном вариантах, распечатанных на компьютере, где различия отсутствуют (табл.2, опыт №1).

Здесь показательный пример того, как нетривиальные вещи нельзя отрицать с ходу или даже после первой неадекватной проверки, что, к сожалению, бывает в официальной науке сплошь и рядом. Большая статистика (в традиционных опытах она обычно недопустимо малая – всего 150-200 семян на вариант) и другие описанные выше приемы по уменьшению погрешностей методики позволили достоверно доказать, что коды действительно работают. Причем без того, чтобы использовать самые чувствительные физические

приборы, где тоже нужна немалая статистика, а это сделать весьма затруднительно. Просто надо признать, что биообъект (обитатели водной среды, семена и др.) – сам является высокочувствительным индикатором. Ведь Гурвич открыл «многострадальное» биополе сначала с помощью растения - лука. А вот надежного приборного подтверждения открытия пришлось ждать так долго, что Гурвича и его последователей ревнители чистоты науки успели сильно попрессовать как «лжеученых».

Важно подчеркнуть, что два кода из четырёх присланных Андрияшевой, не содержали прямого указания на увеличение правых проростков: зелёный код 260 (табл.2) означал по Андрияшевой намерение «увеличение урожайности», а красный 628 – «увеличение ростовой активности растений». Это было сделано намеренно, поскольку Андрияшева считала, что эти коды будут «работать» на увеличение правых проростков в силу особенностей действия торсионных полей с правым спином – как правило, с положительным эффектом. И, действительно, эти коды, действующие как на семена в воде, так и на воду, индуцировали существенно больше по сравнению с контролем правых проростков. Так ещё раз была подтверждена связь высокой урожайности с правильной проростков, даже задаваемых мысленно, причём через коды. Иначе говоря (не научным языком), вода «поняла» смысл намерения и его «исполнила», увеличив именно число правых, наиболее продуктивных проростков. Кстати, о влиянии цвета кода: в опыте с фото кодов код 592 с красными и чёрными цифрами показал практически одинаковые результаты. Почему? Есть над чем подумать.

Следующим логическим шагом было проведение опыта с теми же фотографиями кодов, но действующими только на воду. Впоследствии на этой воде проращивали семена. И вновь были получены аналогичные различия (табл.2, опыт №3). В целом, эффекты фото кодов, действующих только на воду и на семена в воде, качественно и количественно сопоставимы. Значит, вода является главным рецептором информационного воздействия, что уже отмечалось Андрияшевой и другими исследователями [1], [4], [11], [12].

Согласно полученным данным, фото кода сохраняет «работоспособность» намерения оператора (создателя?) и в том случае, если им (фото) пользуется не только оператор. Отсюда проистекает объективная функциональность кода и технологичность метода. Таким образом, экспериментальные данные свидетельствовали о том, что информационные антропные воздействия оказывают влияние на состояние различных биологических систем (семян, эмбрионов рыб, крови и организма человека) [1], [13], адекватно реагируя на информацию, полученную через реструктурированную воду. С точки зрения эзотерической литературы фото кодов можно назвать терафимом, т.е. предметом, «насыщенным энергией» оператора [14]. Причем терафимом может стать любой предмет, если на него подавать намерение, как-то помечая предмет или даже оставляя без пометок.

Поскольку в опыте Маслоброва по верификации его намерений наблюдалась только тенденция различий между контрастными вариантами, целесообразно было убедиться в том, что при увеличении числа повторностей различия станут достоверными. Одновременно была поставлена задача проверить, влияет ли на эффект место расположения текста намерения по отношению к объекту.

Обычно на этот аспект опытов с намерениями внимание не акцентируется. В тексте намерения Маслоброва указано место его расположения - снизу чашки (лицевой стороной к чашке). А если текст поместить сверху чашки (тоже лицевой стороной к чашке)? Согласно таблице 3, при расположении текста снизу чашки между контрастными вариантами получены уже существенные различия (помогла статистика), а между этими же вариантами сверху чашки наблюдается только тенденция такого же типа различий (не хватило статистики?). Можно сказать, что неточное соблюдение условий текста намерения (где должен располагаться этот текст по отношению к объекту), может в определённой степени снизить ожидаемый эффект, но не снять полностью.

Возникло предположение, что в использованном тексте содержится некая доминантная смысловая часть, которая позволяет получать одинаковый эффект при разном расположении текста на объекте. При анализе текста намерения отчетливо просматриваются

две части – 1) фактор и метод намерения и 2) фактор и цель намерения. Была проведена проверка функциональности полного текста и его отмеченных частей.

Таблица 3.
Число правых проростков при разном расположении текста намерения по отношению к семенам, находящимся в чашках в воде, %

| № п/п | Расположение текста намерения | Текст намерения | Число правых проростков |
|-------|-------------------------------|---------------------------------------------------------------------------------------------------|-------------------------|
| 1 | Контроль | Без намерения | 52,2±1,38 |
| 2 | Снизу объекта | Подача мысленного потока против часовой стрелки на семена снизу с целью индукции левых проростков | 48,8±2,59 |
| 3 | Снизу объекта | Подача мысленного потока по часовой стрелке на семена снизу с целью индукции правых проростков | 58,7±2,39 |
| 4 | Сверху объекта | Подача мысленного потока против часовой стрелки на семена снизу с целью индукции левых проростков | 50,8±2,73 |
| 5 | Сверху объекта | Подача мысленного потока по часовой стрелке на семена снизу с целью индукции правых проростков | 55,0±3,01 |

Примечание: тексты намерения созданы Маслобродом;
в каждом варианте 10 чашек по 50 семян; $t_{2,3} = 2,81$.

Бумаги с соответствующими текстами ставились снизу чашек Петри с семенами в воде. Было обнаружено, что полный текст намерения и его части по-разному действуют на объект (табл.4). Между контрастными («левыми» и «правыми») вариантами полного текста и текста «фактор и метод» получены существенные различия: «левый» вариант индуцировал больше левых проростков, «правый» вариант – больше правых проростков. Между контрастными вариантами «фактор и цель» различия оказались не существенными, но наблюдалась характерная тенденция различий, описанных выше. Интересно, что в «левых» вариантах получено больше левых проростков даже по сравнению с контролем.

Таблица 4.
Число правых проростков при воздействии текста полной и частичной программы намерения на семена, находящиеся в воде, %.

| № п/п | Вид намерения | Текст намерения | Число правых проростков |
|-------|------------------|---------------------------------------------------------------------------------------------------|-------------------------|
| 1 | Контроль | Без намерения | 55,6±2,03 |
| 2 | Полная программа | Подача мысленного потока против часовой стрелки на семена снизу с целью индукции левых проростков | 48,7±1,50 |
| 3 | Полная программа | Подача мысленного потока по часовой стрелке на семена снизу с целью индукции правых проростков | 57,1±2,23 |
| 4 | Фактор и способ | Подача мысленного потока против часовой стрелки на семена снизу | 47,0±1,78 |
| 5 | Фактор и способ | Подача мысленного потока по часовой стрелке на семена снизу | 56,3±2,62 |
| 6 | Фактор и цель | Подача мысленного потока на семена с целью индукции левых проростков | 49,6±2,43 |
| 7 | Фактор и цель | Подача мысленного потока на семена с целью индукции правых проростков | 54,8±1,99 |

Примечание: тексты намерения созданы Маслобродом; в каждом варианте 10 чашек по 50 семян, текст намерения помещали под чашки; $t_{2,3} = 3,12$; $t_{4,5} = 2,93$; $t_{6,7} = 1,66$; $t_{1,2} = 2,74$; $t_{1,4} = 3,20$; $t_{1,6} = 1,90$.

И вновь различия между контролем и вариантами «полный текст» и «фактор и метод» существенные, а между контролем и вариантом «фактор и цель» - не существенные.

Итак, в исходном тексте намерения действительно имеются части разной информационной «силы». Намерение «антропный фактор и метод его подачи на объект» оказалось более эффективным, чем намерение «антропный фактор и цель его подачи на объект». Этот вывод представляется несколько неожиданным: лучшие результаты получаются тогда, когда знаешь, как действовать, а не тогда, когда знаешь, для чего действовать. Но, возможно, отсюда следует, что цель нетрадиционного опыта, проводимого конкретным рядовым оператором, реализуется в большей степени не его намерением, а

намерением более «сильного» оператора (общим энергоинформационным полем?). Зато, если операторами являются великие люди, гении, так называемые Посвящённые, то следует ожидать более высокую степень реализации как методов, так и целей их намерений.

Ранее Маслоброд показал, что тексты стихотворений Пушкина тоже являются своеобразными намерениями или терафимами: они оказывают существенное влияние на состояние семян (кстати, тоже тритикале). Это выражалось в определённом изменении знака биоизомерии проростков: «вдохновенные» поэтические тексты Пушкина индуцировали появление из семян преимущественно правых проростков, а «rationальныe» поэтические тексты - левых проростков [15]. Скажем ещё раз: «тексты гения – не только приёмники и хранители его вдохновенных мыслей, но и их излучатели, своеобразные терафимы» [15].

Наконец, рассмотрим данные по исследованию намерения, выраженного через геометрические фигуры, конкретно, через фигуры Шкилёва. Напомним: в основе построения этих фигур лежит эзотерический «пифагоровский» смысл натуральных чисел и «шкилёвские» представления каждой цифры в лепестковой системе координат в виде пары из левовращательной и правовращательной фигуры.

Было проведено два опыта. В опыте №1 ставилась задача повторения прежнего опыта [9]. В каждом варианте было 400 семян (8 чашек по 50 семян). Различия между вариантами отсутствовали (табл.5). Но наблюдалась тенденция преимущественной индукции правых проростков правыми фигурами. Поэтому в следующем опыте №2 число семян в варианте было увеличено до 500, как и в [9]. Фигуры располагались снизу или сверху каждой чашки изображением к поверхности чашки. При расположении снизу для получения левой спиралей от фигуры в направлении роста ростка использовались правые фигуры и наоборот, как в [9]. При расположении сверху знаки спиралей фигуры и проростка совпадали. Результаты (табл.5): 1) наблюдается индукция преимущественно тех биоизомеров проростков, которые по типу спиралей совпадают с типом спиралей геометрической фигуры в направлении роста ростка проростка; 2) контрастные «левые» и «правые» варианты при расположении фигуры как снизу, так и сверху объекта (семена в воде) существенно различаются между собой; 3) по сравнению с контролем число левых проростков существенно ниже при расположении фигуры как снизу, так и сверху объекта;

4) та же закономерность получена в отношении правых проростков, но существенные различия наблюдаются только при расположении фигуры снизу объекта.

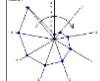
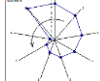
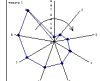
В дальнейшем для получения четких данных о влиянии места расположения фигур по отношению к объекту (как в табл.) опыт целесообразно дополнить вариантами, когда тип спиралей фигуры не совпадает с направлением спиралей роста ростка.

Подчеркнем принципиально важный момент: в прежнем [9] и в настоящем опытах использовались фотографические отображения фигур, построенных Шкилёвым. Выше было показано, что намерение Андреяшевой (в форме числового кода) только тогда стало функциональным в руках другого исследователя, когда оно было использовано в виде фотографического отображения (табл.2). Таким образом, подтверждается тот факт, что намерения в виде фотографического отображения технологичны.

Для продуктивного обсуждения результатов исследования весьма полезным, на наш взгляд, является ознакомление с методикой создания сигилы или магической печати (от лат. *sigillum* — печать) [16], [17]. К сожалению, авторы до последнего времени об этом понятии не имели никакого представления, пока на него не указал Кернбах. Оказывается, при проведении опытов они неосознанно пользовались элементами сигил.

Таблица 5.
Число правых проростков при разном расположении фигур по отношению к семенам, находящимся в чашках в воде, %

| № п/п | Расположение фигуры рисун-ком к объекту | Вид фигуры | Тип спирали в фигуре в направлении роста ростка проростка | Число правых проростков | |
|----------|-----------------------------------------------|---------------|-----------------------------------------------------------------------|-------------------------|-----------|
| | | | | Опыт №1 | Опыт №2 |
| 1 | Контроль | Без | - | 53,4±2,34 | 51,4±1,03 |

| | | фигуры | | |
|---|----------------|-----------------------------------------------------------------------------------|----------------|-----------|
| 2 | Снизу объекта |  | Левая спираль | 53,6±2,79 |
| 3 | Снизу объекта |  | Правая спираль | 59,0±2,68 |
| 4 | Сверху объекта |  | Левая спираль | 43,8±1,75 |
| 5 | Сверху объекта |  | Правая спираль | 54,7±2,21 |

Примечание: фигуры созданы В.Шкилёвым [1]; в каждом варианте опыта №1 и №2 соответственно 8 и 10 чашек по 50 семян; $t_{2,3}=5,30$; $t_{4,5}=3,86$; $t_{1,2}=3,04$; $t_{1,3}=2,82$; $t_{1,4}=3,39$.

Сигилы - это известные с древнейших времён символы, обладающие магической силой, это замыслы, которые в концентрированном виде представляют определенное желание, идею или концепцию. По своей сути, они представляют собой желаемую цель или результат, помещаемые в магическую оболочку заклинания [17]. «Создавая сигилу, маг как бы придает своему желанию определенную структуру. Сигилизация есть опыт формирования и реализации процесса желания (намерения). Теории, стоящие за техниками сигилизации бесконечны, обычно они твердо базируются на психоанализе Фрейда и/или на психологии Юнга, основоположника учения о коллективном бессознательном. Независимо от того, пытается ли кто-то рационалистически объяснить механику работы самих сигил, одно всегда неизменно – сигилы работают. Они работают в подсознании, во что бы вы ни верили, и не зависимо от ваших убеждений» [17].

При создании сигил пользуются методами, из которых для нас представляют интерес 1) метод Слова, 2) метод Мантры, 3) метод Картины. Метод Слова начинается с написания желания (это самый быстрый и наиболее популярный метод конструкции сигил), что, собственно, и делали авторы. Метод Мантры заключается в конструировании из текста желания путем перестановки и изъятия букв некого краткого изречения (осмелимся отождествить с нашим числовым кодом). Метод Картины, по [17], наиболее подходит для объектов, которые могут быть выражены наилучшим способом через диаграмму или рисунок желаемого результата (это и есть в данной статье геометрические фигуры Шкилёва). Но несколько обескураживает, хотя представляется логичным тезис в [17], что в сигил-процессе «неблагородно обуславливать «Как» и «Где» и «гораздо полезнее сфокусироваться на объекте «Что» и позволить силе вашей воли действовать беспрепятственно!». А у авторов статьи «Что» сработало хуже, чем «Как» (не хватило силы воли?). Далее обращает на себя внимание тезис: «После инициации, следует забыть первоначальное намерение и не вспоминать о нём» (значит, оно будет работать независимо от последующего желания оператора?).

В заключении хочется сказать, что, в целом, у авторов и его коллег открывающиеся перспективы нетрадиционных исследований вызывают оптимизм и уверенность. Уверенность «в правильности избранного пути». Уверенность в том, что намерения – этот объективно существующий антропный фактор явно неэлектромагнитной природы - позволяет получать результаты, от которых дух захватывает, причем результаты воспроизводимые (о чём так пекутся не только «традиционщики»), ибо, как сказано выше, «одно всегда неизменно – сигилы работают».

Выводы

- Намерения оператора, выраженные посредством буквенных текстов, цифровых кодов, составленных на основе этих текстов, а также геометрических фигур способны оказывать существенное влияние на состояние воды и семян.

2. Изменение состояния воды тестируется проращиваемыми в ней семенами. Эффект выражается в увеличении числа правых проростков из семян, которые активируются намерениями как непосредственно, так и опосредованно через воду.
3. Функция намерений, созданных конкретным оператором, может реализовываться и другими исполнителями, что делает данную методику технологичной. При этом необходимо использовать фотоизображения намерений, поскольку в них сохраняется информация, полученная от оператора.

Литература

- [1] Андриашева М.А. Изменение свойств воды через числовые коды // Журнал Формирующихся Направлений Науки, 2016, № 10(3), с.7-14.
- [2] Маслоброд С.Н. Рецензия на статью М.А. Андриашевой “Изменение свойств воды через числовые коды //Журнал Формирующихся Направлений Науки,2016,№10(3),с.15-17.
- [3] Маслоброд С.Н., Кернбах С., Маслоброд Е.С. Нелокальная связь в системе «Цифровое отображение растительного объекта - растительный объект». Часть I // Журнал Формирующихся Направлений Науки, 2014, № 4(2), с. 26-46.
- [4] Кернбах С., Замша В., Кравченко Ю. Дальние и Сверхдальние Приборные Взаимодействия // Журнал Формирующихся Направлений Науки, 2013, №1(1), с. 24–42.
- [5] Маслоброд С.Н. Дистанционное действие воды на семена вне закрытой ёмкости //Электронная обработка материалов, 2011, т.47, №4, с.160-166.
- [6] Сулима Ю.Г. Биосимметрические и биоритмические явления и признаки у сельскохозяйственных растений. Кишинев, Штиинца, 1970, 148 с.
- [7] Маслоброд С.Н., Грати М.Н. и др. Некоторые селекционно-генетические и экологические аспекты диссимметрии растений // Матер. XI Межд. симпозиума «Нетрадиционное растениеводство. Эниология. Экология и здоровье». Симферополь, 2002, с.237-239.
- [8] Шкилев В.Д. О коде Пифагора при расщеплении первых цифр натурального ряда на право- и левовращательные геометрические фигуры как базисный информационный подход к пониманию торсионных полей // Матер. IV Межд. научно-практической конференции «Торсионные поля и информационные взаимодействия 2014». Москва, 20-21 сентября 2014г. Москва, 2014, с. 131-135.
- [9] Маслоброд С.Н., Шкилев В.Д., Кернбах С. О влиянии цифровых отображений геометрических фигур на программу развития сельскохозяйственных объектов // Матер. IV Межд. научно-практической конференции «Торсионные поля и информационные взаимодействия 2014». Москва, 20-21 сентября 2014г.. Москва, 2014, с. 224-228.
- [10] С.Н. Маслоброд, С. Кернбах, Е.С. Маслоброд. Нелокальная связь в системе «Цифровое отображение растительного объекта - растительный объект». Часть 2. // Журнал Формирующихся Направлений Науки, 2014, №5(2), с.56-79.
- [11] Слесарев В.И. Вода – природная универсальная радиосистема // Труды Конгресса «Фундаментальные проблемы естествознания и техники». СПб. 2014, т. 36, №3, с.285-290.
- [12] Maslobrod S. N., Korletyanu L. B., Ganya A. I., Burtseva S. A. Influence of Millimetric Radiation on the Viability of Plants:3. Changes in Seeds Metabolism after the Mediated Influence of a Factor//Surface Engineering and Applied Electrochemistry, 2011, V.47, No.1, p.70–75.
- [13] Маслоброд С.Н., Карапили В.Г., Чалык С.Т., Кедис Л.И. Морфофизиологические и генетические эффекты при воздействии поля мысли на растения //Электронная обработка материалов. 2004, №1, с.58-70.
- [14] Терафим. Эзотерический словарь, т.2, Русский духовный центр Москва-Рига, 1993, с.332-333.
- [15] Маслоброд С.Н. Поле сознания поэта в текстах стихотворений Пушкина // Дельфис, 2011, т.67, №3, с.59–63.
- [16] Сигил //<https://ru.wikipedia.org/wiki>
- [17] Методы записи желания и активации сигил //<http://ru-chaosophy.livejournal.com/37089>.

STATE CHANGE OF SEEDS AND WATER UNDER THE INFLUENCE OF THE OPERATOR'S INTENTION THROUGH WRITTEN TEXTS, NUMERIC CODES OR GEOMETRICAL FIGURES

S.N. Maslobrod, M.A. Andriyasheva

The operator's intention transmitted to the object through written texts, numeric codes or geometrical figures (transmitters) have the capacity to significantly affect the state of seeds and water. Changes in the state of water is determined by the ability of water to alter the state of seeds germinated in it. The effect is exemplified by the increase in the number of right sprouts (sprouts with the leaves centered around the stem clockwise) grown from the seeds that were activated by the operator's intention, both directly and indirectly through the water. The intention can be transmitted to the object by different operators, that makes the methodology simple and technological. Therewith, we used digital images of the transmitters possessing information that was received from the operator.

НЕКОТОРЫЕ ПОДХОДЫ К СОЗДАНИЮ КОНЦЕПТУАЛЬНОЙ И ЭЛЕМЕНТНОЙ БАЗЫ КВАНТОВЫХ ГЕНЕРАТОРОВ ПЛАЗМАТОРСИОННОГО ИЗЛУЧЕНИЯ

А.Ю. Смирнов

cat.sensor@mail.ru

Проект «Феникс»

В работе рассмотрены концептуальные и технические решения как отдельных элементов плазматорсионного квантового генератора (ПТКГ), так и некоторых его компонентов. Идея ПТКГ основана на предположении о квантованности торсионных, спин-торсионных и плазматорсионных излучений.

Представлены новые варианты активных модулей и концентраторов модифицированного нами малого генератора А.Е. Акимова, предложены пути их развития. В частности, создан амплитификатор А.Ю. Смирнова, который представляет собой активные модули ММГА, объединенные в единую генерирующую систему.

Предложен способ «индикации» состояния физического вакуума, основанный на эффектах Казимира. Выдвинуто предположение, что эффекты Казимира играют важную роль в биофизике. В частности, в функционировании биологических мембран и иных биоструктур.

Психофизическое воздействие и плазматорсионные поля могут влиять на фазу волновой функции электронов при туннельном переходе. На этой основе мы разрабатываем принципиально новые системы приема и регистрации, состоящие из 3N регистраторов, учитывающих проявления «триады» («пентады» и выше).

Обсуждается возможность использования «эффекта триады» в системах передачи информации по нелокальному каналу. Нами выдвинута гипотеза, согласно которой каждый сигнал в системах нелокального взаимодействия представлен *тремя* разнесенными во времени компонентами, взаимодействующими с детектором в прошлом, настоящем и будущем как взаимосвязанные элементы целого.

Мы полагаем, что так называемый «торсионный/плазматорсионный фантом» может выступать в качестве «рабочего тела» в схемах излучателей и приемников торсионного/плазматорсионного излучения.

Приведены дополнительные аргументы в пользу ранее выдвинутого нами предположения, что плазматорсионное излучение, в частности, представляет собой альфвеновские волны в плазме виртуальных частиц физического вакуума (ПВЧФВ). Изготовлены и проходят испытания «конусы И.Л. Герловина», как новые факторы эффекта формы. Высказано предположение, что «право» и/или «лево» вращающее плазматорсионное излучение индуцировано спиральным движением диполей (по И.Л. Герловину) пар виртуальных частиц (электрон-позитрон, протон-антинейтрон) физического вакуума в скрещенных **E** и **H** полях. Представлен новый тип генераторов плазматорсионного излучения – «генератор Тамма-Смирнова» (ГТС). На основе экспериментального стенда «генератора Тамма-Смирнова» ведется работа над созданием квантового генератора плазматорсионного излучения.

1. Введение

По нашему мнению, уже более 20 лет наблюдается стагнация в развитии «прорывных» направлений «торсионных исследований». Данная работа направлена на преодоление кризиса и является частью серии наших публикаций, посвященных исследованиям в этом направлении.

В работе представлены некоторые результаты и элементы стратегии развития исследований в области плазматорсионики.

Данный текст является продолжением серии наших публикаций [1, 2, 3], посвященных созданию устройств, индуцирующих поля и генерирующих соответствующие им излучения, называемые некоторыми исследователями торсионными. Результаты опытов и уже созданных технологий, процитированных и представленных в [1, 2, 3, 4, 5, 6], не противоречат утверждению о существовании неизвестного вида физических полей и излучений, оказывающих измеримые и воспроизводимые воздействия на различные тест-объекты и технологические процессы. Воздействия, казалось бы, несводимые к воздействию известных полей и излучений, но при этом воспроизводимые в опытах и применяемые в уникальных технологиях. Нет общепризнанной теории тактического уровня, объясняющей наблюдаемые явления, а также обладающей необходимой (для дальнейшего развития торсионники) предсказательной силой для интерпретации опытов и развития практических

приложений. На сегодня нет *общепринятого* способа объяснить, с некоторой более общей точки зрения, опытные факты и технологические достижения в данной области.

Отметим, что теория физического вакуума Г.И. Шипова не очевидным образом связана с опытными эмпирическими и технологическими результатами. Это необходимо еще раз ясно подчеркнуть [1, 3].

Для дальнейшего развития «нашей» области науки и технологии критически необходимо ответить на вопрос: как именно объяснить наблюдаемые в опытах и в технологических приложениях воспроизведимые эффекты? Либо как проявления известных и принятых современной физикой взаимодействий полей и излучений, возможно, в «необычных условиях», либо как проявления неизвестных взаимодействий, не сводимых к уже известным. По нашему мнению, вопрос относится к *описанию* фундаментальных физических принципов, с точки зрения которых, наблюдаемые физические взаимодействия являются лишь частным случаем этих самых общих принципов. Ситуация осложняется тем очевидным обстоятельством, что мы можем описывать наблюдаемые явления лишь в тех терминах, которые *уже признаны и известны* научному сообществу, тем самым неизбежно и правомерно ограничивая коридор попыток понимания физических принципов функционирования Вселенной.

Автор рекомендует читателям ознакомиться с работами [1, 2, 3] для более полного представления о предмете настоящей публикации, т.к. она представляет собой продолжение цикла работ по генераторным устройствам плазматорсионики.

Ввиду очевидной не состыковки теории физического вакуума Г.И. Шипова с огромным пулом эмпирических материалов, мы предлагаем пуститься в *свободный поиск* теорий, концепций, экспериментов, результатов независимых опытов, поиск направленный на постижение истины, а не на декларацию догм.

Мы будем использовать термины торсионный и плазматорсионный для акцентирования внимания на тех или иных аспектах текущего обсуждения. При этом имея в виду, что эти термины могут описывать принципиально разные физические явления [3], в контексте обсуждения, которое частично носит эвристический характер.

2. Постановка задач

Эмпирическая и технологическая торсионика не имеет признанной теоретической основы. По нашему мнению, теория физического вакуума Г.И. Шипова была до некоторой степени искусственно «привязана» А.Е. Акимовым к уникальным эмпирическим исследованиям его сотрудников и других специалистов с целью создания впечатления о существовании теоретической базы у этого перспективного направления. Сказанное не умоляет значения фундаментальных теоретических работ Г.И. Шипова, но вне «привязки» их результатов к интерпретации пула эмпирической торсионики. Более того складывается впечатление, что для основных работ Г.И. Шипова нет адекватных их глубине эмпирических сведений. Поэтому, необходимо осмысление и обобщение эмпирических сведений до состояния пригодного для работы теоретиков.

В работе [3] мы подробно описали устройство, принципы функционирования, особенности использования и историю создания малого генератора А.Е. Акимова (МГА); описали нашу модификацию МГА (ММГА) и оригинальные матричные генераторы А.Ю. Смирнова (МГС) с примерами результатов их эффективного использования, полученных *независимыми группами исследователей*. В той же работе мы впервые предложили и обосновали гипотезу, состоящую в том, что МГА, ММГА и МГС представляют собой генераторы альфвеновских волн в плазме виртуальных частиц физического вакуума (ПВЧФВ). Мы предположили, что наблюдаемые проявления воздействия торсионного излучения *тождественны* эффектам, индуцируемым возбуждениями (в частности, волнами, например, альфвеновскими) в ПВЧФВ. Предположили, что торсионные поля и излучения являются проявлениями виртуальной плазмы (термин наш) электрически заряженных

виртуальных частиц, обладающих спином [1, 3]. В этом контексте торсионные (плазматорсионные) поля можно поставить в один ряд с установленными проявлениями виртуальных частиц физического вакуума [3], такими как эффекты Казимира [7, 8] и Лэмбовский сдвиг [9].

PVP-концепция А.Ю. Смирнова (Plasma Virtual Particles) была предложена нами впервые в работе [1]. Мы ввели понятие плазматорсионного излучения (ПТИ) [1, 2, 3]. По нашему мнению, ПТИ являются частным случаем торсионных излучений и представляют собой, удобную модель описания некоторых аспектов торсионники, пригодную в качестве рабочего инструмента конструирования ПТИ-генераторов и ПТИ-приемников.

Необходимым шагом в этом направлении является создание технической базы для проведения экспериментов направленных на выяснение физических механизмов эффективного воздействия на тест-системы торсионных (плазматорсионных) устройств типа МГА, ММГА, МГС и их аналогов.

Еще одной целью настоящей работы является создание устройств, предназначенных для экспериментальной проверки нашей PVP-концепции.

3. Связь между спектрами электромагнитного возбуждения и свойствами торсионного излучения

Как мы показали в работе [3] ММГА и МГС обладают возможностью генерировать торсионное (плазматорсионное) излучение с различным *спектром действия*, зависящим от амплитудно-частотного спектра *возбуждающего* электромагнитного сигнала. Складывается впечатление, что спектр частот электромагнитного излучения «преобразуется» в «спектр торсионных (плазматорсионных) частот». Термины «частота торсионного излучения» и «спектр частот торсионного излучения» взяты нами в кавычки, т.к. до настоящего времени нет общепринятого мнения о природе торсионного волнового излучения, а наша концепция плазматорсионники пока недостаточно развита. В данной работе мы употребляем термины «торсионная частота» и «спектр торсионных частот», по аналогии с общепринятыми терминами «электромагнитная частота, спектр». Конечно стоило бы употреблять термины более корректно, например, «частота торсионного излучения» вместо «торсионная частота». Однако до выяснения физической природы торсионного излучения мы допустим такую терминологическую вольность и будем далее употреблять эти выражения без кавычек.

Одним из аргументов в пользу существования торсионных частот и их спектров являются эксперименты, частично представленные в [3], из которых следует, что различные *спектры электромагнитного возбуждения* активных модулей могут быть сопоставлены со *спектром действия* торсионных (плазматорсионных) излучений, что было неоднократно показано в опытах. Последнее обстоятельство может служить аргументом в пользу существования в природе *квантов* торсионного излучения. При этом каждой торсионной частоте соответствует квант торсионного/плазматорсионного излучения. Правомерен вопрос: что переносят гипотетические кванты торсионного и плазматорсионного излучения? Только ли информацию? Мы полагаем, что они переносят, по крайней мере, момент импульса, а возможно импульс и энергию.

По нашему мнению, генерация квантов торсионного/плазматорсионного излучения происходит не на всех возбуждающих электромагнитных частотах (или полосе частот), а только на тех, которые соответствуют структуре дискретизации торсионного/плазматорсионного излучения. В этом смысле спектр частот электромагнитного возбуждения активных модулей является инструментом для выявления структуры и способа дискретизации торсионного/плазматорсионного излучения.

Для дальнейшего развития торсионника остро нуждается в строгом определении понятия торсионное излучение. Что является совместным полем деятельности теоретиков и экспериментаторов. Известное понятие электроторсионное излучение, введенное Г.И. Шиповым, к сожалению, не проясняет ситуацию.

Примем во внимание, что МГА, ММГА и МГС представляют собой преобразователи сигналов электромагнитной природы в плазматорсионное излучение, также несущее (и переносящее на объект) информационную компоненту, свойства которой, в частности, зависят от исходного электромагнитного сигнала. Под сигналом мы понимаем спектр электромагнитного излучения, несущий ту или иную информацию, воспринимаемую объектом воздействия. Роль и свойства информационных матриц в процессах преобразования и переизлучения рассмотрены, в частности, [3].

На рис. 1(А-Г) приведены примеры практического использования конструкций ММГА и МГС, некоторые из которых (В, Г) более подробно описаны в [3].

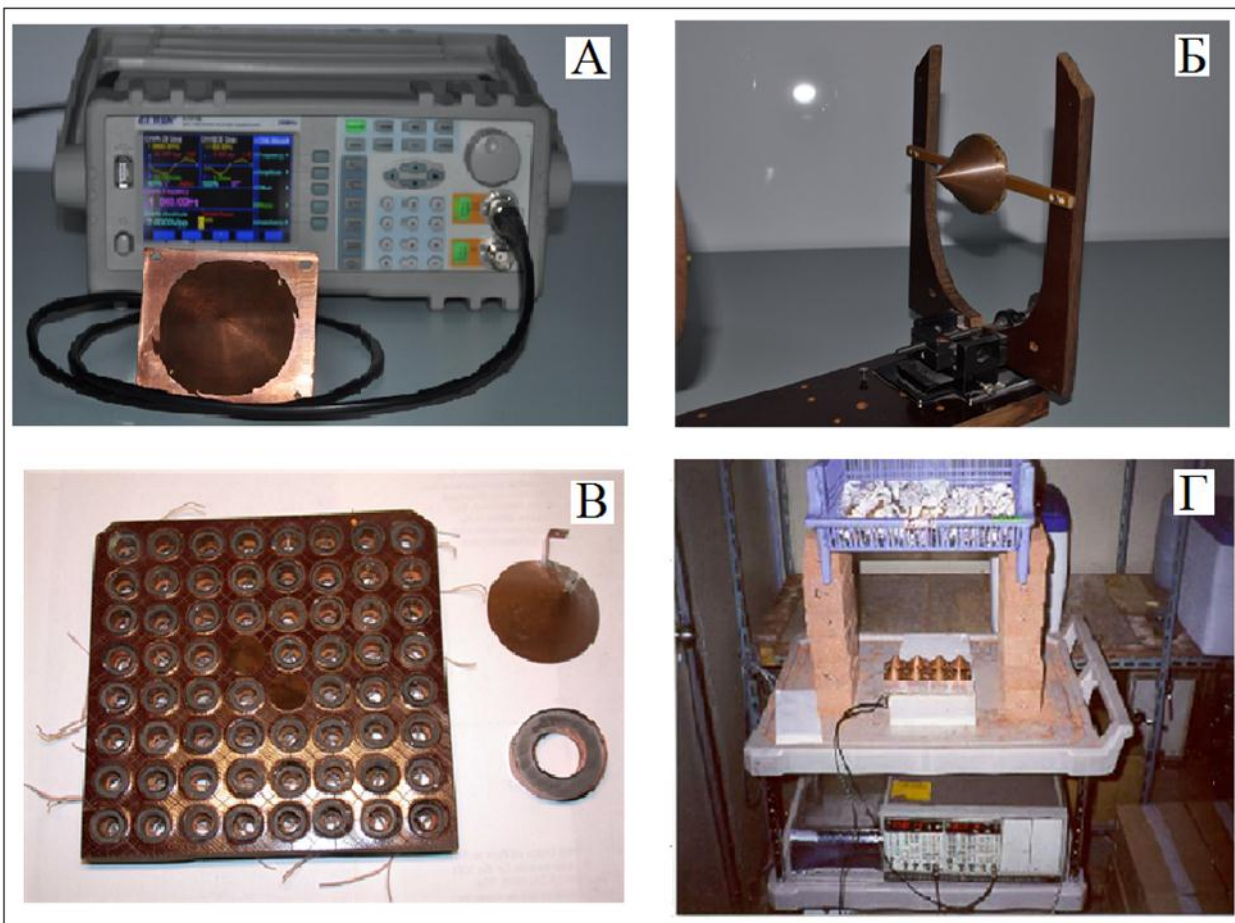


Рис. 1(А-Г). Варианты использования ММГА (А, Б) и МГС (В, Г). Обозначения: А – специализированный ММГА для работы с некоторыми тонкими пленками; Б – ММГА в конструкции дальнодействующего нелокального коррелятора А.Ю. Смирнова (ДНК) [10]; В – матричный (8×8) генератор А.Ю. Смирнова [3]; Г – экспериментальный стенд для изучения влияния факторов матричного (4×4) генератора А.Ю. Смирнова на сохранность и качество продуктов питания, подробнее в [3].

Активные модули ММГА и МГС питаются и соответственно модулируются для заданного воздействия на объекты от внешнего источника управляющего сигнала (в частности, от ГСС) или других источников модулирующего и/или управляющего электрического (в общем случае электромагнитного) сигнала.

В нашей концепции *мета-прибора* [10] мы попытались объединить положительной принудительной и нормированной *приборной* обратной связью детектор, связанный «ментальной тонкополевой» связью с оператором, и генератор, в частности, типа ММГА или МГС. Исходным сигналом для «ментального» воздействия мы использовали широкополосный шумоподобный сигнал, имеющий определенную фрактальную

размерность (определенную, в частности, константой Ляпунова). Интересным, с точки зрения практического использования, является применение в радиофизической (электромагнитной) модуляции [3] сигнала вида фликер-шум с определенными параметрами.

Итак, принципиально важно, что различные виды электромагнитного возбуждения активного модуля ММГА и МГС приводят к различным же эффектам после преобразования ЭМИ-сигнала в плазматорсионный сигнал (ПТ-сигнал).

Главным направлением данного этапа исследований была разработка возможностей использования ММГА, исходя из нашего понимания принципов его функционирования и проверки этих принципов опытным путем.

В схемах ММГА очевидно присутствуют резонансные эффекты, обусловленные, в частности, емкостью и индуктивностью элементов активного модуля. Вопрос о роли добротности таких контуров в функционировании ММГА в настоящее время недостаточно исследован, в частности, при использовании ферритового магнита в конструкции.

Мы полагаем, что один из механизмов «влияния сознания» в схемах наших метаприборов на «ментальном уровне» организации материи является индикация состояния физического вакуума, проявленного, по нашему мнению, несколькими возможными физическими механизмами.

Мы употребляем термины: торсионное, спин-торсионное и плазматорсионное излучения. Далее в тексте мы будем использовать эти термины без пояснения и привязки к принципам функционирования тех или иных конструкций. Эти излучения, по нашему мнению, являются следствием нелинейных процессов, в частности, возбуждений в реальной плазме и в ПВЧФВ. Мы будем давать пояснения этим терминам в контексте обсуждаемых вопросов, там, где это будет необходимо.

4. Некоторые перспективные подходы к индикации плазматорсионных и других «тонких полей»

Рассмотрим кратко несколько наших подходов. Один из них основан на нетрадиционном использовании эффектов Казимира [7]. Другой – на нашей гипотезе о чувствительности фазы волновой функции электронов (реальных и виртуальных) к полевым и дистантным нелокальным психо- и технофизическими воздействиям (взаимодействиям). Мы кратко обсудим проблему создания резонансных плазменных антенн, на основе реальной плазмы и плазмы виртуальных частиц физического вакуума (ПВЧФВ), как в технических, так и в биологических системах. Предложим использовать ММГА как элемент ЕН-антенн, в частности, в среде реальной плазмы или в ПВЧФВ. Кратко сформулируем наши подходы к принципиальной проблеме изучения и использования «тонкой структуры» физического вакуума, проявляющей себя через его «флуктуации», несущие, по нашему мнению, скрытую от внешнего наблюдателя информацию.

4.1. Эффект Казимира

При обсуждении эффекта Казимира обычно рассматривают полированные поверхности той или иной конфигурации, расположенные или двигающиеся относительно друг друга с той или иной частотой [7]. Однако стоит отметить, что эта позиция является модельной и используется в некоторых теоретических оценках «эффекта Казимира».

На самом деле, как известно [7], эффект Казимира был предсказан при объяснении некоторых свойств коллоидов (коллоидных растворов). Поэтому, не стоит удивляться, что эффект Казимира может проявляться в более организованных, чем коллоидные растворы био- и техноструктурах.

По нашему мнению, эффект Казимира может проявляться в биологических, модельных (искусственных) мембрanaх и в сходных с ними структурах. Кроме того, эффект Казимира может проявляться в биофизических и других системах, содержащих двойной

электрический слой (ДЭС), как например, в известных регистраторах А.Б. Боброва и его последователей. Стоит обратить внимание на примембранные эффекты в биологических и технических, в частности, в электродных системах, биосенсорах и других объектах, в которых внешние воздействия на структуры физического вакуума могут приводить к наблюдаемым изменениям в проявлениях эффектов Казимира, через влияние на виртуальные частицы и ПВЧФВ. Мы рассматриваем высокую чувствительность биосистем к воздействию торсионных, плазматорсионных полей и «слабых» (низкоинтенсивных) физических факторов, в процессах генерализации физических воздействий в биологические эффекты, в которой мембранны могут играть роль одного из первичных акцепторов.

Наше допущение участия эффекта Казимира в механизмах функционирования биологических и технических мембран является перспективной идеей, по крайней мере, в части *биосенсоров* и *специализированных техногенных приемников*, основанных на применении в их конструкциях нанотехнологических подходов. Нельзя исключить роль «статического» эффекта Казимира в функционировании регистраторов «тонких полей» на основе генераторов шума различного спектрального состава. Если наши предположения верны, то получают качественное объяснение синхронизация шумов электронных устройств при «ментальном» или приборном воздействиях, через частичную синхронизацию флуктуаций физического вакуума, которая наблюдалась в разнообразных независимых экспериментах. Примером последнего утверждения, возможно, являются некоторые результаты известного проекта Глобальное сознание (Global Conscience Project, GCP). Мы полагаем, что эффект Казимира может выступать как «индикатор состояния» физического вакуума. А это «состояние» (чтобы под этим не понималось, *общепринятой* теории нет!) может меняться при возбуждениях в ПВЧФВ, наблюдавшихся как торсионные и плазматорсионные излучения, генерируемые, например, МГА, ММГА, МГС или другими источниками нелинейных возбуждений в ПВЧФВ.

Исходя из выше изложенного, мы приняли решение работать над созданием регистраторов «состояния физического вакуума», в частности, регистратора спин-торсионных полей на основе эффектов Казимира. И планируем использовать их в *одном из вариантов* создания систем связи и локации на новых физических принципах.

Сказанное выше является основанием для утверждения актуальности и важности исследования физических механизмов влияния факторов МГА, ММГА и МГС на биологические, физические и технические системы. Еще раз подчеркнем, что несмотря на выраженные воспроизведимые и вошедшие в некоторые технологии эффекты, их физические механизмы до сих пор изучены недостаточно. Тем более важным становится развитие методов инструментального (приборного) изучения различных аспектов развития торсионных и плазматорсионных полей и излучений на объекты различного уровня структурной и динамической сложности.

Например, стоит применить разработанные нами методы изучения динамики спеклов при малоугольном рассеянии когерентного света [11] на неоднородностях растворов, суспензий, коллоидов, специализированных биосенсоров и техногенных регистраторов, при воздействии на них торсионных и плазматорсионных полей и излучений, векторного потенциала магнитного поля и других факторов.

Для установления физических механизмов воздействия МГА, ММГА и МГС необходимо предложить ряд новых технических решений, акцентирующих те или иные аспекты воздействия указанных устройств на тест-объекты. В данной работе мы предложим технические решения, которые, по нашему мнению, расширяют горизонт свободного научного поиска в области экспериментальной торсионики.

Мы предлагаем разработку био- и нанотехнологических регистраторов тонких полей, основанных на эффектах Казимира.

4.2. Фаза волновой функции как тест-критерий информационных воздействий

В работе [1] мы предположили, что фаза волновой функции некого тест-объекта может быть индикатором воздействий (в том числе информационных) различной физической

природы. В качестве индикатора фазы волновой функции мы выбрали туннельный эффект (ТЭ), реализованный, например, в туннельных диодах.

На рис. 2 представлена система оценки фазы волновой функции электронов с использованием туннельного эффекта.

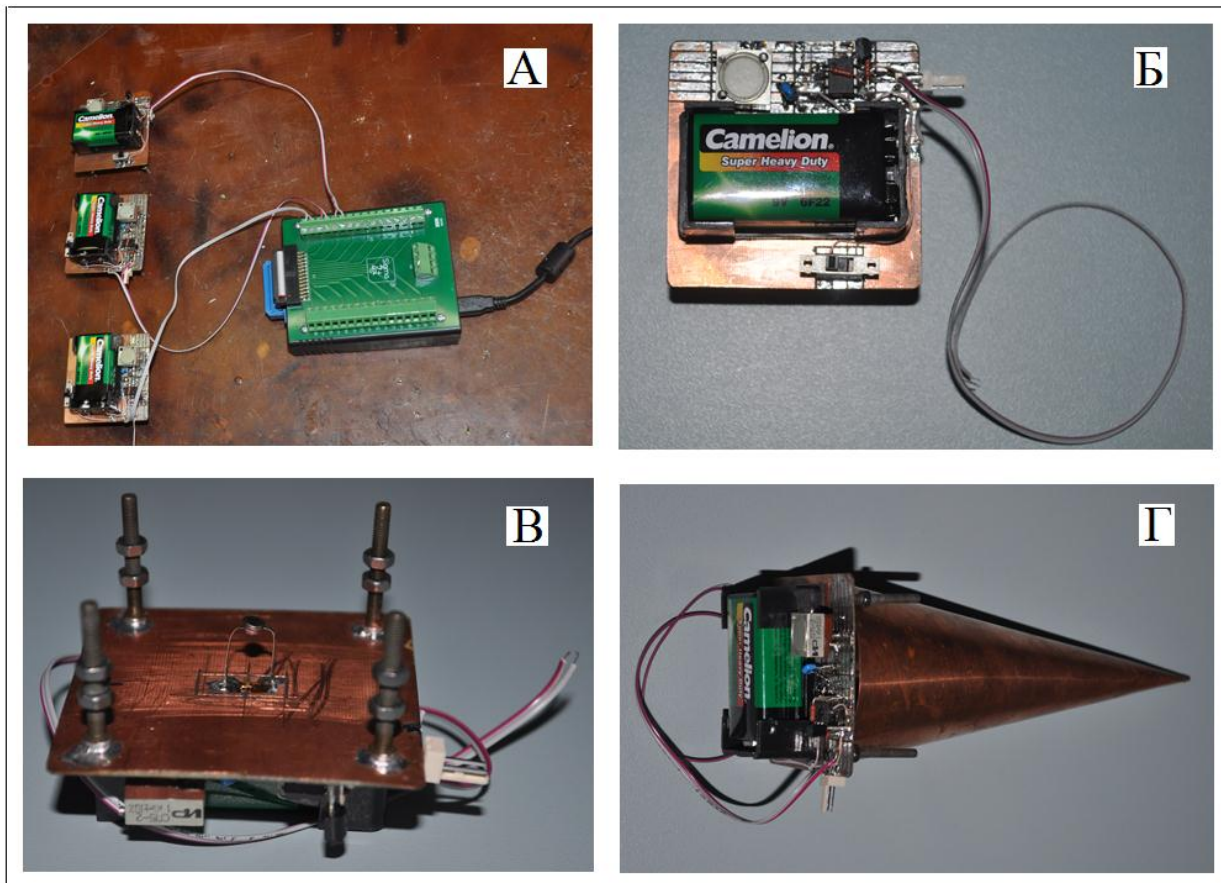


Рис. 2. Детектор фазы волновой функции на основе туннельных диодов. Обозначения: А – модуль регистрации данных Zet 210 с тремя источниками фазового шума волновой функции на основе туннельных диодов; Б – фото одного из источников; В – туннельный диод; Г – элемент системы регистрации фазы волновой функции с конусом-концентратором. Пояснения в тексте.

Основная идея детектора фазы волновой функции заключается в регистрации флуктуаций тока туннельного диода (например, АИ306Г) в области отрицательного дифференциального сопротивления на вольт-амперной характеристике при специально подобранным фиксированном или переменном напряжении, имеющим, в частности, характер шумоподобного сигнала. Наша идея заключается в том, что флуктуации тока (в указанных выше условиях) отражают флуктуации фазы волновой функции электронов при туннельном переходе. При этом «флуктуации» тока несут полезную информацию о воздействии (в частности, информационном) внешних факторов (например, торсионных и плазматорсионных полей) на процесс туннелирования электронов. Полезную информацию можно получить при анализе временных рядов значений флуктуаций тока или при рассмотрении последовательности значений, как цифрового информационного сигнала при соответствующем декодировании.

Индикация фазы волновой функции, например, электронов (реальных или виртуальных), порождает мысль о системах коммуникации, основанных, в частности, на фазовой детекции фазового сдвига волновой функции. В свою очередь коллапс волновой функции является необратимым фактом квантово-механического взаимодействия

передатчика и приемника, в системах нелокального дистантного взаимодействия, приводящий к передаче 1 bit информации.

4.3. Триады в передаче информации по нелокальному каналу

Нами выдвинута гипотеза, согласно которой каждый сигнал в системах передачи нелокального взаимодействия представлен *тремя* разнесенными во времени компонентами, взаимодействующими с детектором в прошлом, настоящем и будущем как взаимосвязанные элементы целого. Мы разрабатываем принципиально новые системы приема и регистрации, состоящие из $3N$ регистраторов, учитывающих проявления «триады» («пентады» и выше). При этом каждый из $3N$ регистраторов может быть «ориентирован» на дифференцированный прием сигналов из «прошлого», «настоящего» и «будущего», образующих единый нелокальный сигнал. По-видимому, принципы передачи информации по нелокальным каналам отличаются от принципа «стимул-реакция» в электромагнетизме. Скорее они реализуются в множестве параллельных миров Х. Эверетта. Простейшим вариантом такой реализации, по-видимому, и является «временная триада», а может быть и «пространственная». При этом временная и пространственная триада могут быть обобщены в *пространственно-временную триаду*, формализованную в виде *матрицы состояния триады* (3×3 элемента). Более глубокое рассмотрение вопроса приводит к предположению о существовании *пентады* и аналогичных явлений более высокого порядка.

По-видимому, неудачи в осуществлении реальных систем связи, основанных на макро-нелокальных взаимодействиях, обусловлены не учетом явлений временной и пространственной *триад* и расслоением времени более высоких порядков. В наших исследованиях принципов нелокальной связи и создании техногенных устройств, мы учитываем это обстоятельство. Данную приоритетную тему мы планируем обсудить в серии открытых публикаций.

4.4. Плазменные генераторы и антенны

Отметим что, по нашему мнению, в некоторых «универсальных генераторах А.Е. Акимова» (УГА) в качестве рабочего тела применялась низкотемпературная плазма в сочетании с эффектом формы. Модуляция спинового колективного состояния плазмы осуществлялась внешним электромагнитным воздействием, что и определяло спектр спин-торсионного излучения от данного источника. Таким образом, УГА содержал в своей конструкции плазменную излучающую антенну в качестве основного генерирующего элемента. В тоже время А.Е. Акимов и сотрудники не рассматривали данный факт, как критически важный способ формирования торсионного излучения, полагая, что ЭМ влияние на плазму индуцирует синфазную с внешним ЭМ сигналом переориентацию спинов рабочего тела (плазмы).

4.5. ММГА в качестве элемента торсионных ЕН-антенн (ТЕН-антенн)

Мы исследуем свойства нового типа генераторов и приемников плазматорсионного излучения, основанных на совместной работе двух и более ММГА. Также мы исследуем свойства плазматорсионного фантома как рабочего тела в генераторах и приемниках плазматорсионного излучения. Мы полагаем, что квантование плазматорсионного излучения может быть связано с квантованием макротел, что частично объясняет так называемые эффект формы и эффект материала, играющие важную роль в плазматорсионике. По этим вопросам подготовлены материалы к печати в ЖФНН.

5. Гипотеза генерации ММГА альфвеновских волн

Мы полагаем, что ММГА (а, возможно, и МГА) представляет собой генератор альфвеновских волн в плазме виртуальных частиц физического вакуума, что является принципиально новым взглядом на их принцип действия и функционирование. По классическому определению альфвеновские волны в плазме вещественных (не виртуальных) частиц это поперечные магнитогидродинамические плазменные волны, распространяющиеся вдоль силовых линий магнитного поля. Вызываются низкочастотными электромагнитными волнами в плазме, распространяющимися вдоль силовых линий магнитного поля [12]. С нашей точки зрения, активный модуль представляет собой устройство, формирующее альфвеновскую плазму виртуальных частиц за счет возбуждения последних электрическим полем, переменным или постоянным в магнитном поле, формируемым независимым источником. Для наглядности сравнения и дальнейшего анализа мы представили на рис. 3(А-Д) схему активного модуля МГА, ММГА и схему Ферза (Н.Р. Furth) для возбуждения альфвеновских волн в реальной плазме [13].

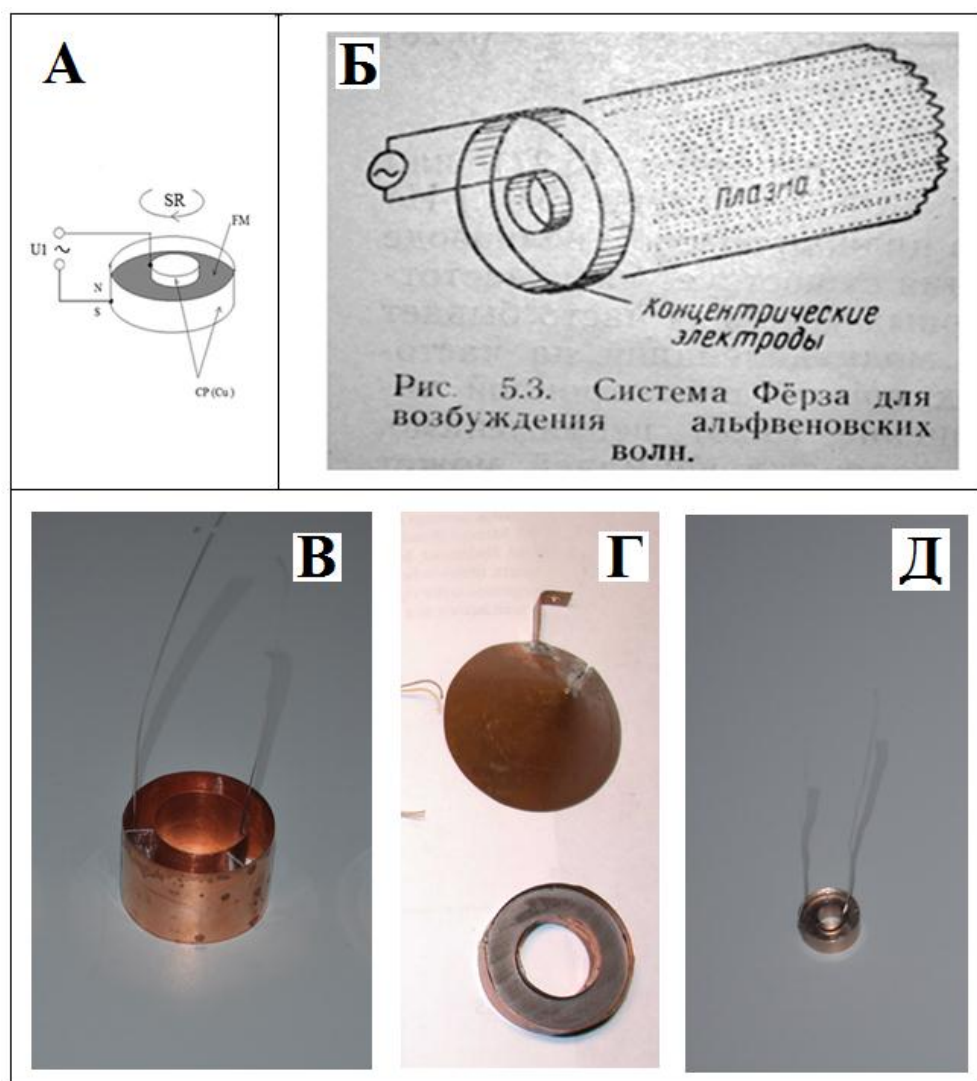


Рис. 3(А-Д). Сопоставление схемы генерации альфвеновских волн с принципом генерации торсионных и/или плазматорсионных излучений активными модулями различной конструкции. Обозначения: А – схема активного модуля МГА и ММГА [3]; Б – схема Фёрза для возбуждения альфвеновских волн [13]; В – воспроизведение схемы Фёрза в виде устройства (без магнита); Г – вариант компоненты классического устройства МГА, ММГА, МГС; Д – воспроизведение схемы Фёрза в виде устройства с неодимовым магнитом (состав: неодим, бор, железо). Пояснения в тексте.

На рис. 3В показана фотография устройства комплементарного схеме Ферза для возбуждения альфвеновских волн. Конструктивной особенностью показанного устройства

является соблюдение соотношений «золотого сечения», как в размерах диаметров двух медных цилиндрических поверхностей, образованных медным листом толщиной 0,35мм, так и в соотношении диаметра внешней цилиндрической поверхности (37мм) к ее ширине.

Как видно из сопоставления рисунков схема Ферза (рис. 3Б) практически аналогична схеме возбуждения активного модуля в устройствах МГА и ММГА, индуцирующих торсионные поля и генерирующих торсионные излучения, в нашей концепции плазматорсионные излучения (рис. 3А, В -Д). В качестве источника электрического (а, возможно, и низкочастотного электромагнитного) поля, выступают полые цилиндрические конструкции. В качестве индуктора магнитного поля могут выступать: магнитная компонента электромагнитного поля (например, как в ЕН-антеннах); магнитное поле Земли и космических источников; магнитное поле намагниченного феррита; магнитное поле неодимовых магнитов и др. Частота (спектр частот) приложенного внешнего электрического поля согласно нашей концепции, должна соответствовать альфвеновским частотам, в свою очередь, определяемым другими условиями формирования альфвеновских волн. При совпадении частот внешнего возбуждающего поля и альфвеновских частот должны проявляться резонансные эффекты. Имея в виду, что материал конуса-концентратора (в терминологии А.Е. Акимова), по нашему мнению, играет роль информационной матрицы (не говоря уже о наполнителе конуса, что является отдельной темой, частично затронутой в [3]), возбуждаемой «переменным альфвеновским полем» (термин наш, А.Ю.С.) в ПВЧФВ, обращаем внимание на то, что хорошие результаты воздействия МГА получались, в частности, при воздействии факторов его излучения на расплавы именно меди.

Одним из экспериментальных подходов к решению вопроса о соотношении вклада свойств реальной и виртуальной плазмы является помещение ММГА в газовую среду с регулируемыми давлением и составом. Что конструктивно может быть выполнено в виде электровакуумного прибора, устройство колбы которого допускает изменение газового состава и достижение определенной степени технического вакуума. По нашему мнению, важно установить зависимость свойств факторов, излучаемых ММГА от перехода вакуума в форвакуум.

Как мы уже отмечали в [3], радиоэстезическое и возможно плазматорсионные и торсионные излучения имеют свойства потока положительно заряженных частиц [14]. Это обстоятельство можно объяснить, принимая во внимание надежно установленный экспериментальный факт асимметрии правого и/или левого вращения в природе, проявляющейся в эффекте не сохранения четности и соответственно в свойствах пар (диполей) виртуальных частиц-античастиц, таким образом, что суммарный положительный заряд пары (или диполя) оказывается наблюдаемым в «лабораторном пространстве» по И.Л. Герловину (реальному физическому мире). Еще раз подчеркнем, что, по нашему мнению, понятие альфвеновской плазмы виртуальных частиц физического вакуума соответствует понятию торсионного поля МГА, интуитивно введенного А.Е. Акимовым [15]. Но оно, по-видимому, не соответствует фундаментальному понятию первичных торсионных полей по Г.И. Шипову [16]. Наглядным «образом» плазматорсионного поля может выступать некое облако (возможно, обладающее свойствами торсионного и/или плазматорсионного фантома), окутывающее активный модуль, при этом нелинейные возбуждения в «облаке-фантоме» (например, электромагнитным полем) могут приводить к плазматорсионному излучению, переносящему импульс (а, возможно, и момент импульса). В указанном смысле торсионный и/или плазматорсионный фантом представляет собой *рабочее тело* перспективного детектора и/или генератора плазматорсионных излучений.

6. Развитие идей ММГА и МГС

Ранее мы опубликовали сведения о матричном генераторе А.Ю. Смирнова – МГС [3]. В МГС активные элементы и соответствующие им конусы-концентраторы расположены в

одной плоскости в виде квадратной матрицы. Ниже мы опишем иное расположение активных модулей ММГА, а именно последовательное и соосное, как показано на рис. 4.

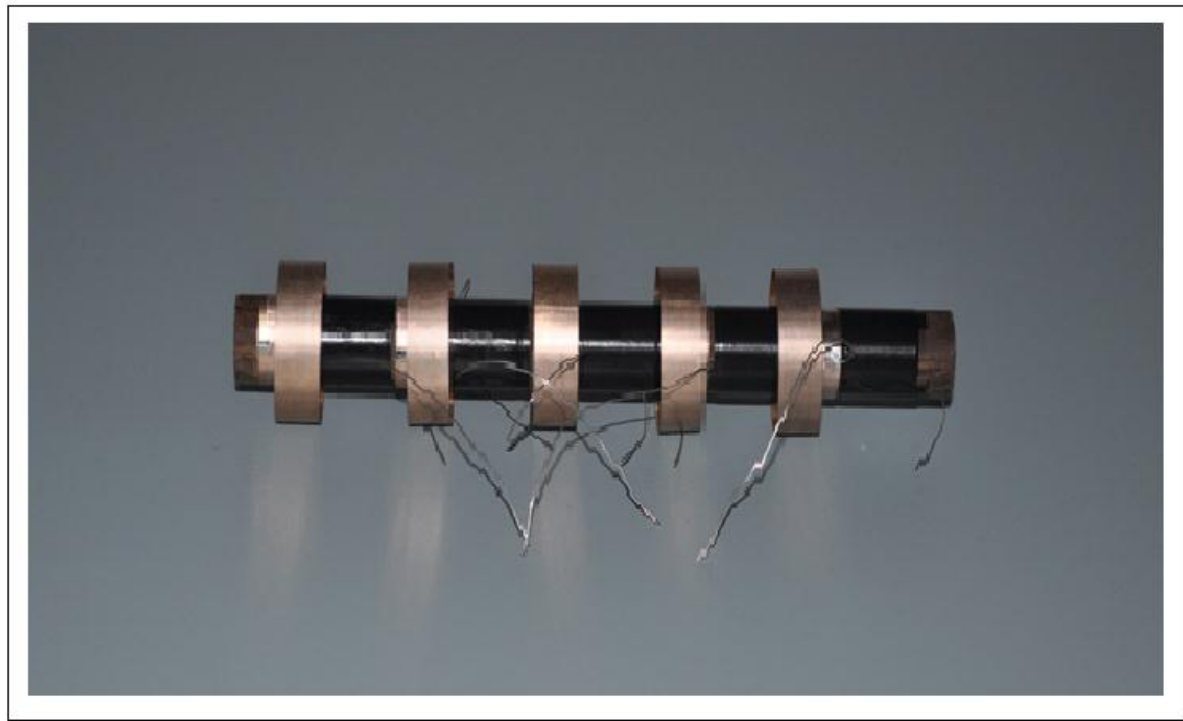


Рис. 4. Последовательное и соосное расположение активных модулей в амплификаторе А.Ю. Смирнова.

Элементы амплификатора аналогичны единичным активным модулям, подробно рассмотренным нами в работе [3]. Для эффективной работы амплификатора необходимо строго выдерживать расстояние между активными модулями, расположенными последовательно и соосно. На активный модуль амплификатора может подаваться идентичный или индивидуальный электрический сигнал специальной или произвольной формы, частично определяющий конечный функционал устройства. Каждый активный модуль может иметь конус-концентратор и информационную матрицу. Амплификатор в целом также может иметь на выходе единичный (общий для всех модулей) концентратор, в частности конус.

На протяжении ряда лет мы экспериментировали с конусами-концентраторами различного размера, состава и такими формами, которые содержали элементы золотого и иных «сечений». Использовали полые и цельнометаллические конусы, формации из нескольких конусов [3]. Некоторые виды конусов представлены на рис. 5(А-Г).

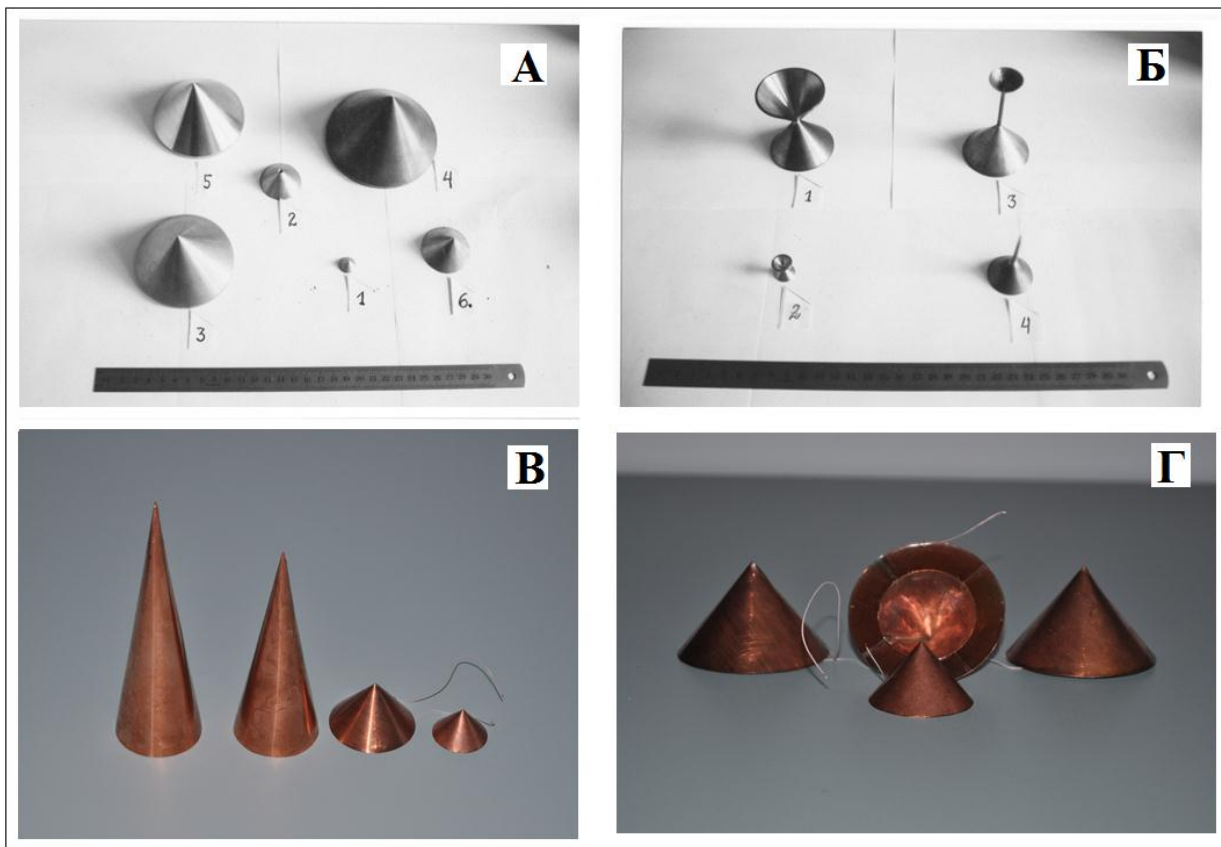


Рис. 5(А-Г). Элементы факторов формы в конструкции МГА, ММГА и МГС. Обозначения: А – конусы «золотого сечения» полые и цельнометаллические, различных размеров, материалов, покрытий и внутренней геометрии; Б – некоторые простейшие формации гармонических конусов; В – конусы с углами И.Л. Герловина ($17,5^\circ$ и 22°); Г – формации из двух проводящих конусов с «золотым соотношением» (в размерах) и наполнителем между проводящими элементами.

Некоторые конусы имели внешнее и/или внутреннее покрытие свойства которого зависели от целей и задач конкретной серии экспериментов.

Помимо конусов, имеющих гармонические соотношения «золотого сечения» в своей форме, мы, возможно, впервые использовали в геометрии конусов значения телесных углов при вершине, предложенных И.Л. Герловиным [17]. По И.Л. Герловину: «Существует два основных угла, определяющих анизотропию структур, связанных с фундаментальным полем. Это протонный угол, который равен приблизительно 17° , и электронно-метонный угол, равный примерно 22° ».

На рис. 5 показаны выполненные нами конусы с углами И.Л. Герловина и для сравнения – конусы, выполненные по «золотому сечению» [3].

Особенности воздействия «конусов И.Л. Герловина» на тест-системы, как самостоятельных факторов формы, так и в составе ММГА, и в составе других приборов в настоящее время изучаются.

Отметим, что у И.Л. Герловин: «Огромную роль в природе всех вещественных структур играет струна фундаментального поля, которая сканирует по поверхности конуса... Конус, по которому сканирует струна фундаментального поля, имеет определенный угол... Практически все материальные структуры помнят о том, что в основе их лежит струна фундаментального поля, которая сканирует по поверхности конуса. Эти углы анизотропии, как было показано [18], ответственны за сам факт образования кристаллических структур, за многие свойства твердых тел. Оказывается, что эта память проявляется и в макропроцессах, поэтому, когда создаются формы типа конуса, пирамиды с углами, близкими к указанным или как-то с ними связанными, то это вызывает в природе определенные резонансные явления».

Исходя из выше изложенного, мы полагаем, что экспериментальные исследования свойств «конусов И.Л. Герловина» имеют значение для подтверждения его концепции фундаментального поля, расслоенных пространств и наблюдаемых явлений в лабораторном пространстве, т.е. в нашей общепринятой лабораторной системе отсчета.

Отметим, что И.Л. Герловин предложил оригинальное объяснение известного, но до сих пор не объясненного с позиций фундаментальной физики, явления «эффекта формы».

Интересно, что протонный и электронно-метонный углы по И.Л. Герловину близки (но не точно соответствуют) по значениям к гармоникам «золотого сечения» (соответственно 1/4 и 1/3) от телесного угла при вершине конуса «золотого сечения». Аналогичные явления мы наблюдали в экспериментах, представленных в работе [4]. Поэтому мы предполагаем, что «рядом» с «золотым сечением» присутствует еще одно, близкое к нему по числовым значениям, но, возможно, не совпадающее по свойствам «сечение». По-видимому, мы одни из первых обратили внимание на возможность существования нескольких «выделенных сечений», проявления которых мы планируем проверить опытным путем.

При оптимизации работы ММГА мы пришли к выводу о необходимости создавать формацию из нескольких конусов, каждый из которых содержал бы наполнитель, выполняющий, в частности, роль информационной матрицы. Одним из вариантов конусов-концентраторов было создание системы из двух конусов, вставленных один в другой, имеющих общую плоскость оснований и находящихся между собой в геометрических соотношениях «золотого сечения». В системах конусов с наполнителем мы использовали «золотые соотношения».

На рис. 5Г представлен внешний вид и частично внутренняя структура, допускающая «резонансные» (с учетом геометрии и физических свойств элементов ММГА) взаимодействия с элементами типичной опытной ситуации.

В наших работах одним из наполнителей являлась эпоксидная смола. При необходимости в затвердевшей эпоксидной смоле просверливались отверстия, которые заполнялись материалом информационной матрицы. При необходимости на обкладки конуса-концентратора подавался переменный электрический потенциал (выступающий как сигнал), который преобразовывался данной системой в плазматорсионное излучение. Свойства плазматорсионного излучения зависели от параметров электрического управляющего сигнала, подаваемого на обкладки конденсатора-концентратора.

7. Генератор Тамма-Смирнова (ГТС)

С некоторых пор МГА было принято интерпретировать как некое наследие гипотетических устройств в мысленных экспериментах И.Е. Тамма. Существует мнение, что данной версии придерживался и А.Е. Акимов, сообщивший автору данной работы, что он не является разработчиком МГА [3]. Интерпретацию МГА как «генератора И.Е. Тамма» развивал в экспериментальных исследованиях П.И. Госьков, например, [19]. Но (!) понятие «генератор И.Е. Тамма» не использовалось самим И.Е. Таммом. По крайней мере, такое заключение можно сделать из анализа его открытых работ. Не исключаем, что П.И. Госьков ориентировался на устройство МГА при интерпретации его функционала, как на не существовавший (в то время) генератор И.Е. Тамма.

Мы полагаем, что с использованием результатов мысленных экспериментов и идей И.Е. Тамма действительно могут быть созданы конкретные конструкции.

В данном разделе мы попытаемся передать термину «генератор Тамма» (ГТ) адекватный физический смысл. Представим разработанные нами опытные образцы, стимулом для разработки которых послужили мысленные эксперименты И.Е. Тамма, изложенные в [20]. Сравним ГТ с активными модулями МГА, ММГА и МГС.

Как известно, в конструкциях МГА, как правило, использовался кольцевой поперечно (?) намагниченный феррит. Использование в активных модулях намагниченного феррита

создает неоднозначную ситуацию: с одной стороны, намагниченный феррит создает магнитное поле, с другой – выступает как многофункциональная структура. При этом не ясно какой вклад в конечный функционал активного модуля вносят эффекты скрещенных **E** и **H** полей, а какой спин-зависимые процессы в структуре намагниченного феррита. Процитируем опубликованное мнение А.Е. Акимова по поводу принципа функционирования активного модуля МГА: «При намагничивании ферромагнетика молекулярные токи по границам доменов оказываются «одноориентированными». Движение электрона по такому замкнутому (кольцевому) контуру порождает торсионное поле» [21 с. 5]. Данное мнение принципиально отличается от мнения П.И. Госькова о том, что активный модуль МГА является частным случаем ГТ. Да и сам термин ГТ применяется П.И. Госьковым к механизмам функционирования МГА без достаточно убедительных доказательств. Отметим, что нам не удалось найти в открытых публикациях А.Е. Акимова упоминания о том, что он допускает интерпретацию активного модуля МГА как «генератора Тамма». И, наконец, сопоставление конструкций активного модуля МГА и гипотетического устройства, основанного на мысленном эксперименте И.Е. Тамма [20], *с очевидностью не позволяет их полностью идентифицировать.*

Таким образом, на лицо несоответствие между известной EGS-концепцией А.Е. Акимова и предположением о том, что МГА является разновидностью устройств, порожденных мысленным экспериментом И.Е. Тамма. Сама идея создания «генератора Тамма» *по мотивам* его мысленных экспериментов представляется интересной и заслуживающей разработки. По нашему мнению, разработке подлежат как концептуальные принципы функционирования ГТ, так и соответствующие конструктивные решения. Подчеркнем, что конструктивные решения могут иметь мало общего с таковыми в активном модуле МГА и ММГА. А принципы функционирования ГТ могут быть принципиально отличны от МГА и ММГА.

Попробуем разобраться в обозначенной проблематике. Начнем с краткого анализа мысленного эксперимента И.Е. Тамма, приведенного в [20, с.502-506]. В известном § 104 читаем: «На основании закона сохранения момента количества движения мы должны заключить, что система конденсатор + магнит, возбуждающий поле **H**, приобретает в процессе разряда равный **K** момент механического количества движения» [20, с.503]. В этом утверждении нет ничего о свойствах именно ферритового магнита.

Принимая во внимание выше изложенное, мы создали устройство, которое предлагаем назвать «генератором Тамма-Смирнова» (ГТС). Так как оно объединяет теоретические построения И.Е. Тамма и экспериментальные подходы А.Ю. Смирнова к конструированию плазматорсионных генераторов. На рис. 6(А-Г) представлены схема мысленного эксперимента И.Е. Тамма [20] и два варианта ГТС.

Под ГТС мы понимаем устройство, реализующее мысленный эксперимент И.Е. Тамма в техногенном исполнении, с элементами гармонических соотношений («золотого сечения» и других «сечений») в его конструкции. Мы полагаем, что такое устройство генерирует некие (пока не идентифицированные) возбуждения в ПВЧФВ, распространяющиеся как в структурах физического вакуума, так и через другие материальные среды (в частности, информационные матрицы) и переносящие момент импульса, а, возможно, и импульс, энергию, информацию.

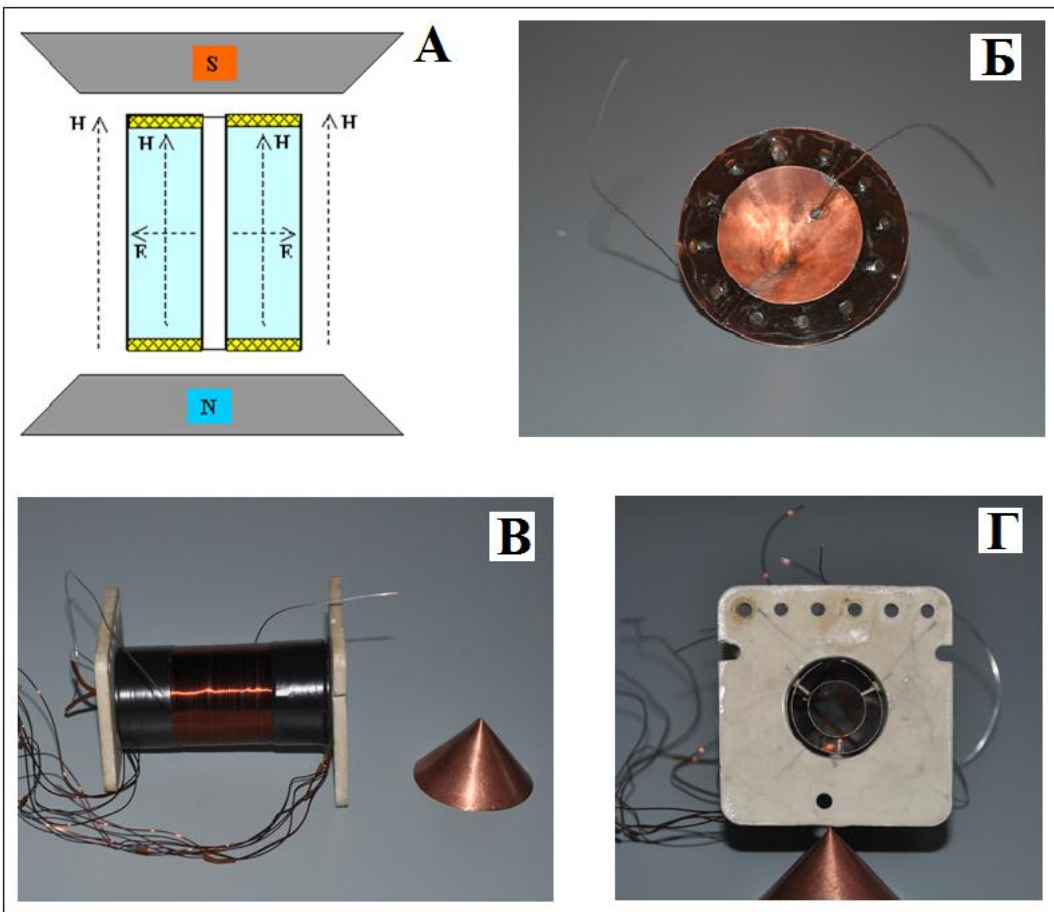


Рис. 6(А-Г). Этапы создания «генератора Тамма-Смирнова». Обозначения: А – схема мысленного эксперимента И.Е. Тамма [20, §104]; Б – «генератор Тамма-Смирнова» с наполнителем и встроенными магнитами (вид со стороны основания); В – «базовый генератор Тамма-Смирнова» (вид сбоку), применяется только левая или только правая намотка катушки; Г – тоже что на В (вид с торца, видны цилиндрические обкладки конденсатора с воздушным диэлектриком). Пояснения в тексте.

Одним из видов возбуждений в ПВЧФВ могут быть уединенные нелинейные волны, например, относящиеся к одному из видов солитонов. Имея в виду плазматорсионную природу солитонов, мы предложили называть их тордионами, о чем сообщали более 15 лет назад.

На рис. 6Б представлена конструкция генератора, состоящая из конденсатора, обкладки которого выполнены в виде медных конусов. Размеры конусов заданы в соотношении «золотого сечения», как и пропорции каждого из конусов. Между обкладками-конусами находится наполнитель – эпоксидная смола, в ней размещены 11 цилиндрических постоянных магнитов (неодим, бор, железо). Данная конструкция принципиально сходна с конструкцией на рис. 3Д, но более совершенна. На рис. 6В, Г представлена конструкция генератора аналогичная исходной схеме мысленного эксперимента И.Е. Тамма (рис. 6А). Важными отличиями от «прототипа» конструкции являются: использование однонаправленной (левой или правой) намотки катушки, состоящей только из левых или только из правых отдельно намотанных слоев, соединенных последовательно или параллельно (рис. 6В); соотношение диаметров цилиндрических обкладок конденсатора, размещенных внутри катушки соответствует «золотому сечению» или другим определенным соотношениям. В некоторых случаях между обкладками конденсатора может быть размещен наполнитель с теми или иными свойствами. На рис. 6В показан конус-концентратор [3], который при необходимости может использоваться, как и другие средства формирования диаграммы направленности излучения.

Согласно закону сохранения момента импульса и допуская, что «генератор Тамма-Смирнова» и физический вакуум образуют замкнутую систему, для которой справедлив закон сохранения момента импульса, мы можем сформулировать следующее

предположение: ГТС может передавать на структуры физического вакуума и другие материальные структуры не скомпенсированный, при «быстрым» разряде конденсатора в магнитном поле, момент импульса, который для внешнего наблюдателя будет представляться как фактор переноса момента количества движения, обусловленный, по нашему мнению, волнами и возбуждениями в плазме виртуальных частиц физического вакуума. Последнее утверждение позволяет еще раз обратить внимание на то, что торсионное и плазматорсионное излучение представляет собой возбуждения в ПВЧФВ, что доступно для экспериментальной проверки, в частности, с использованием ГТС и фокусаторов плазматорсионных волн.

В конструкциях ГТС может использоваться эффект формы, который на наш взгляд, обусловлен квантованием макрообъектов, что в сочетании с электромагнитными резонансами и резонансами, связанными со свойствами элементов, составляющих детали конструкции генераторов, обуславливают их функционал. С этой точки зрения для достижения максимального эффекта воздействия необходим «резонанс» (физическая природа которого понятна лишь отчасти) генератора и объекта воздействия.

Мы проводим экспериментальное сравнительное изучение свойств «излучения» различных конструкций ГТС на тест-объектах как в нелокальном (по образу), так и в локальном режимах. Принципиально важно дифференцировать роль намагниченных ферритов по отношению к магнитам иного типа, которые также могут являться элементами активных модулей, как рассмотренных, так и перспективных генераторов. Схема питания генераторов определяется целями и задачами экспериментов, а в целом должна обеспечивать «скрещенные» Е и Н поля во время циклов его работы.

По нашему мнению, «генератор Тамма-Смирнова» может быть использован для накачки активной среды в конструкциях «резонансных» плазматорсионных квантовых генераторов. В качестве активной среды могут выступать структуры физического вакуума и другие материальные среды, в частности, информационные матрицы.

8. Проект генератора плазматорсионных солитонов Смирнова

Как известно, торсионное излучение обладает, казалось бы, противоречивыми свойствами: очень высокой проникающей способностью через материальные среды и возможностью переносить информацию о свойствах материальных сред и процессов (информационная матрица), происходящих в них. Не подлежит сомнению сам факт нелокального воздействия на объекты и процессы, с использованием образов объектов, созданных физическими методами (фото, фотонегативы, электронные изображения и др.). При попытке объяснения этих фактов используют гипотезу голограммичности физического вакуума. Механизмы такой голограммичности не вполне понятны. Они опираются на представления о «фазовом портрете» физического вакуума, без убедительного объяснения физической природы такого «портрета». В тоже время анализ эмпирических данных позволяет предположить, что физический вакуум является *активной средой* для распространения торсионных излучений.

Отмеченные выше обстоятельства получают фундаментальное физическое объяснение в рамках нашей РВР-концепции [3], в рамках которой торсионные излучения рассматриваются как волны и возбуждения в плазме виртуальных частиц физического вакуума. С нашей точки зрения, ПВЧФВ *предсуществует* до торсионных возбуждений и является всепроникающей средой, в которой распространяются именно плазматорсионные излучения.

Для дальнейшего анализа примем во внимание следующие обстоятельства. Физический вакуум выступает как активная среда распространения плазматорсионных излучений. Мы допускаем, что *импульсное* плазматорсионное излучение представляет собой уединенные нелинейные волны, в частности солитоны, распространяющиеся в ПВЧФВ. Мы предполагаем, что *плазматорсионное излучение квантовано*. Поэтому предлагаемый нами способ генерации плазматорсионных солитонов должен учитывать квантование

плазматорсионного излучения. Таким образом, солитон плазматорсионного излучения является одним из вариантов кванта плазматорсионного излучения.

Нами разработан экспериментальный стенд (генератор), предназначенный для генерации плазматорсионных солитонов (ПТС). Технической реализацией генератора ПТС является *принципиальная* модификация генератора Тамма-Смирнова (ГТС). Основное отличие от прототипа заключается в том, что при «быстрым» разряде конденсатора в магнитном поле, напряженность последнего должна меняться по определенному закону, обеспечивающему генерацию уединенных нелинейных волн. В нашем подходе к генерации ПТС принципиально важным является не только скрещивание E и H полей, но и синхронное во времени изменение напряженности E и H полей по определенному закону (индивидуальному для каждого из указанных полей). Математическое описание процесса генерации ПТС (*согласованное изменение во времени E и H*) мы планируем дать в последующих публикациях, после завершения предварительной серии экспериментов с генератором ПТС.

9. Гипотезы и заключение

Идеи И.Е. Тамма получили частичное подтверждение в *экспериментах* G.M. Graham, D.G. Lahoz [22], хотя публикаций о продолжении этих экспериментов в открытой печати мы не обнаружили. В 2012 году мы предположили [23], что работающий МГА создает в окружающем пространстве физический фактор, переносящий момент импульса, а сам МГА может создавать тягу, по-видимому, влияя на свойства физического вакуума. В 2014 году В.Т. Шкатов опубликовал [24] результаты экспериментов, согласно которым, по его мнению, в неоднородном спин-торсионном поле генератора А.Е. Акимова наблюдается движение материальных тел.

Мы полагаем, что излучение «генератора Тамма-Смирнова» переносит момент импульса, что может быть проверено экспериментально. При постановке таких экспериментов важно иметь в виду, что возникающий при разряде конденсатора не скомпенсированный момент импульса в ГТС, при фиксации генератора (в мысленном эксперименте) относительно некоторой системы отсчета, является тем фактором, который передает момент импульса через структуры физического вакуума.

Одним из механизмов такой передачи может быть генерация альфвеновских волн в плазме виртуальных частиц физического вакуума (ПВЧФВ). Наглядным примером использования нашей гипотезы существования плазмы виртуальных частиц (в частности, их диполей) физического вакуума [3] является предположение, что «право» и «лево» вращающее плазматорсионное излучение индуцировано спиральным движением виртуальных частиц и/или их диполей, при соответствующей конфигурации скрещенных E и H полей.

Вероятно, что такие устройства, как МГА, ММГА, МГС с одной стороны и ГТС («генератор Тамма-Смирнова») с другой, генерируют неидентичные физические факторы, природу которых и возможные различия еще предстоит изучить. Полагаем, что альфвеновские волны ПВЧФВ являются лишь одним из факторов воздействия ММГА и МГС. Основным фактором воздействия «генератора Тамма-Смирнова» являются иные возбуждения ПВЧФВ, в качестве которых, в частности, мы рассматриваем ударные волны в плазме виртуальных частиц, а также в реальной холодной плазме.

Мы работаем над созданием плазматорсионных квантовых генераторов как на основе амплификатора А.Ю. Смирнова, так и на основе ГТС. В работе мы представили конструкции с наполнителями, которые рассматриваем как информационные матрицы с потенциально широким спектром свойств. В наших конструкциях плазматорсионных квантовых генераторов мы рассматриваем структурно организованные информационные матрицы, как активную среду, возбуждающую импульсным излучением «генератора Тамма-Смирнова».

10. Благодарности

Мы выражаем благодарность В. Розенталю, который оказал нам значительную помощь в технической реализации некоторых идей, представленных в данной работе.

Список литературы

1. Смирнов А.Ю. Дальние нелокальные взаимодействия могут определяться торсионными возбуждениями и волнами в виртуальной плазме физического вакуума (гипотезы, концептуальный и качественный анализ). Материалы III-й международной научно-практической конференции. Торсионные поля и информационные взаимодействия 2012, М., 15-16 сентября, с.173-200.
2. Смирнов А.Ю. Генераторы возбуждений виртуальной плазмы физического вакуума на основе преобразователя когерентного ЭМИ КВЧ в плазматорсионное излучение. Материалы IV-й международной научно-практической конференции. Торсионные поля и информационные взаимодействия 2014, М., 20-21 сентября, с.154-167.
3. Смирнов А.Ю. Развитие концепции плазмы виртуальных частиц физического вакуума А.Ю. Смирнова. Часть 1. ЖФН №10(3), с. 114-133, 2015.
4. Смирнов А.Ю. Дальние нелокальные приборные взаимодействия в формировании концепции "телеportации информации". Материалы II-й международной научно-практической конференции. Торсионные поля и информационные взаимодействия 2010, Тамбов, 28-29 сентября. с.119-149.
5. Смирнов А.Ю. Психофизическая активность оператора и исследователя. Экспериментальное изучение, техническое моделирование. Сборник работ Эксперименты с генераторами и детекторами торсионного поля. М., Фолиум, 2014, с.93-124.
6. Смирнов А.Ю. Скрининг новых физических факторов воздействия? (Расширенная рецензия на работу Сергея Кернбаха «Измерение эффективности систем, работающих с «высокопроникающим излучением»») ЖФН №2(1), с.94-105, 2013.
7. Mostepanenko V.M., Trunov N.N. The Casimir Effect and Its Applications. (Oxford: Clarendon Press, 1997).
8. C.M. Wilson, G. Johansson, A. Pourkabirian, J.R. Johansson, T. Duty, F. Nori, P. Delsing. Observation of the Dynamical Casimir Effect in a Superconducting Circuit. Nature, (479):376– 379, 2011.
9. Берестецкий В.Б., Лифшиц Е.М., Питаевский Л.П. т. 4, «Квантовая электродинамика», изд. 3. «Наука», М., 1989. с. 605-613.
10. Смирнов А.Ю. Проблема экспериментатора-оператора в «психофизических» исследованиях. Концепция мета-прибора в создании операторно-приборных комплексов «психофизики». ЖФН №5(2), с. 32-51, 2014.
11. Смирнов А.Ю. Механизмы влияния радиоволн миллиметрового диапазона слабой интенсивности на мембранные нормальных и опухолевых клеток. Автореферат диссертации на соискание ученой степени к.б.н., Москва, МГУ, 1992, 24 с.
12. Элементарная физика плазмы, 1969, с.161
13. Furth H.P. You Cyclotron Waves in Mirror Geometry. Univ. of Calif. Rad. Lab. Engineering Notes UCRL – 5423 –T (1959).
14. H.I. Lovegrove. Англия, №2090309, Класс G01V9/02, 1980.
15. Акимов А.Е. Эвристическое обсуждение проблемы поиска новых дальнодействий. EGS-концепция. Препринт МНТЦ ВЕНТ №7А, М., 1991, 63с.
16. Шипов Г.Е. Теория физического вакуума. Наука, М., 1997. 450с.
17. Герловин И.Л. Основы единой теории всех взаимодействий в веществе. Энергоатомиздат, Л., 1990. 432с.
18. Протодьяконов М.М., Герловин И.Л. Электронное строение и физические свойства кристаллов. М., Наука, 1975, 356 с.

19. Госьков П.И., Кондрашова А.Г., Аксенов А.О. Изучение влияния формы торсионного генератора на биообъекты. Биоинформационные и энергоинформационные технологии (БЭИТ-2002): докл. 5-го Междунар. конгр. Т.1. - Барнаул: Изд-во АлтГТУ, 2002, с.56-58.
20. Тамм И.Е. Основы теории электричества. М., изд. Технико-теоретической литературы, 1954, с. 620.
21. МНТЦ ВЕНТ. Итоговый отчет на составную часть ОКР «Разработка и создание установки по утилизации люизита методом гидрирования и получение металлического мышьяка для синтеза арсенида галлия». Ч.1. М., 1993.
22. G.M. Graham, D.G. Lahoz. Nature, 285, 154, 1980.
23. Смирнов А.Ю. частное сообщение в Ф2, 2012.
24. Шкатов В.Т. Движение физических тел в неоднородном спин-торсионном поле генератора А.Е.Акимова. Материалы IV-й международной научно-практической конференции. Торсионные поля и информационные взаимодействия 2014, М., 20-21 сентября, с.170-182.

APPROACHES TO CREATION OF QUANTUM GENERATORS OF PLAZMATORSION RADIATION

A.Yu. Smirnov

“Fenix” Project

On the basis of development of our concept of plasma of virtual particles of physical vacuum (PVP) new approaches to generation and detection of plazmatorsion radiation are offered. Detectors are based on application of effects of Casimir and the analysis of fluctuations of a phase of wave function of electrons upon tunnel transition. The concept is offered and experimental stands Tamm-Smirnov's generator are designed. Smirnov's amplifikator is developed. The element and conceptual base for creation the plazmatorsion of quantum generators is offered.

ATTEMPTS TO DETECT THE TORSION FIELD NATURE OF SCALAR WAVE GENERATED BY DUAL TESLA COIL SYSTEM

Gao Peng

The Scalar Wave Technology Research Web in China
The laboratory of Beijing Wellan Century Co., Ltd

gpufo@outlook.com

Abstract-Scalar wave was found and used at first by Nikola Tesla in his wireless energy transmission experiment. Prof.K.Meyl extended the Maxwell equation and found the lost scalar wave part. The scalar wave theory proposed by Prof.K.Meyl indicates that the torsion field is the nature of scalar wave. This work attempts to detect the torsion field nature of scalar wave generated by the dual Tesla coil system, using the torsion balance consisting of a wooden frame. The result is positive and two kinds of torsion field including left-handed and right-handed are detected in dual Tesla coil system.

1. Introduction

As everyone knows, Nikola Tesla is the first experimental physicist to conduct the no-loss wireless transmission of energy experiment as scalar wave radiation, of course there are many other names too. Mainly the western scientific community and scientists call it scalar wave, such as Tom Bearden, Eric.P.Dollard, Prof.K.Meyl and so on. Of course, the similar results were obtained by S.V.Avramenko, G.F.Ignajev and others [1] in Russia. N.Tesla's original patent in US is No. 649.621 on 15.5.1900:Apparatus for transmission of Electrical Energy [2].

There are many devices and patents based on torsion field in N.Tesla's inventions, such as the Tesla coil, which is the most popular one in Figure1; and Tesla turbine, which is a mechanical device of fluid mechanics in Figure2.

There is the similar core principle in these two kinds of device. Let us pay special attention to N.Tesla's statement in 1891 that the ether behaves as a fluid to solid objects and as a solid to light and heat. And this ties in directly with the work of Dr.N.A.Kozyrev [1].

The electromagnetism should follow the principle of fluid mechanics. There is the vortex structure in not only both the Tesla coil and the Tesla turbine, but also most of his inventions.

Prof.K.Meyl has done many works on Tesla's technology and scalar wave theory. For example, he found the lost scalar wave part of Maxwell's equation and extended the field theory. And he also found the magnetic scalar wave at first, which is also called "Meyl's wave"

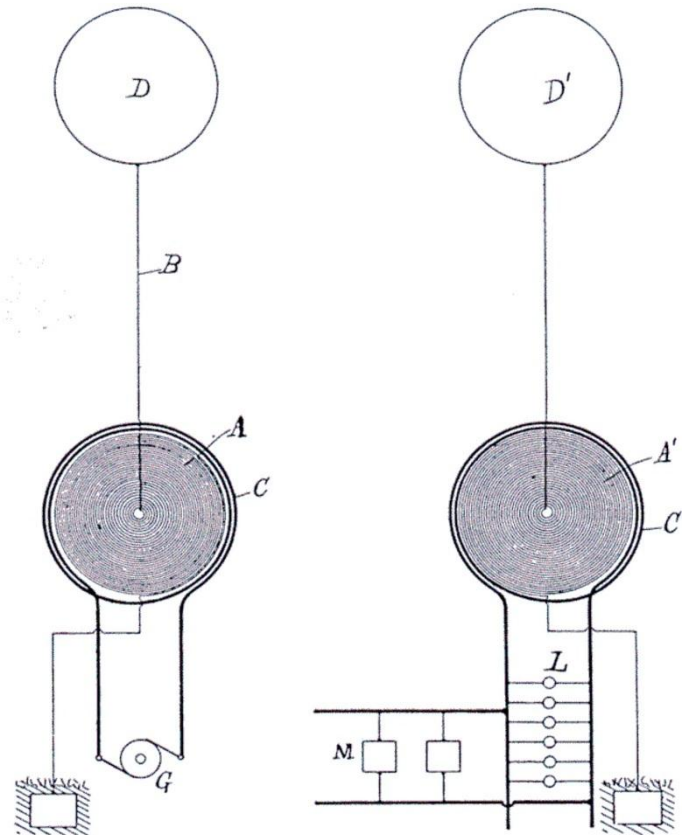


Figure1. Tesla Coils in N.Tesla's patent, No.649.621

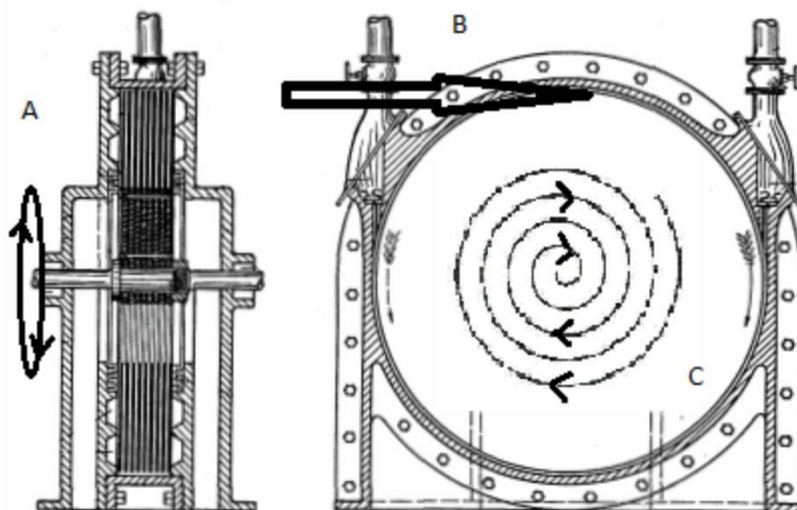


Figure2. The structure of Tesla turbine

In addition to the theory, Prof.K.Meyl also did many scalar wave kits and devices for demonstrating the Tesla's technology and something new, such as the wireless energy transmission, the biological and medicine effects and so on.

According to Prof.K.Meyl's vortex model of scalar wave, the scalar wave in Tesla's scalar system is the electric scalar wave in Figure3.

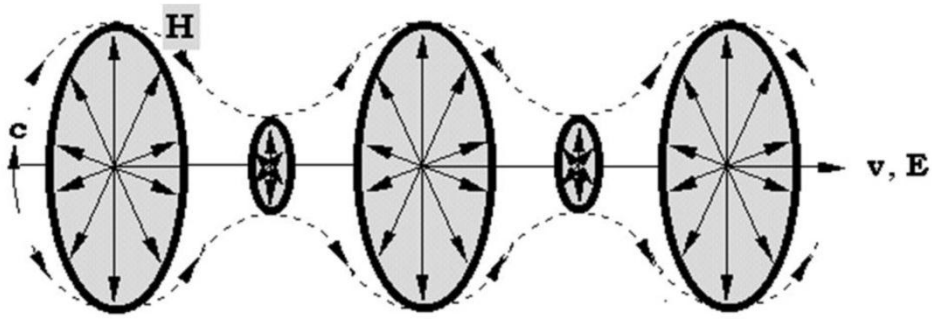


Figure3. The vortex model of electric scalar wave [3] (Quote from: DNA and Cell Resonance, wrote by Prof.K.Meyl.)

The direction of the ring-like vortex and the field pointers are perpendicular. And the vector of the H-field points into the direction of the vortex centre and the vector of the E-field axially points to the outside [3].

So this work wants to detect the vortex of scalar wave using a torsion balance consisting of a wooden frame. Author believes the scalar wave consisting of vortex is a kind of non-stationary spinning, and will talk about it in details on the analysis part.

2. Description of devices and methodology

In this work, the Phase-Conjugate-Resonator consists of two standard pancake Tesla coils, two wooden frames in different size, and some auxiliary objects were used. In this section, it will be discussed in three parts: the Phase-Conjugate-Resonator, the methodology and the full configuration of hardware.

2.1. The Phase-Conjugate-Resonator

In N.Tesla's patent [2], we can see the basic structure of Tesla coil. There are the same parameters in these two Tesla coils. There are large numbers of coils winded in pancake structure in the secondary coil, the center of the secondary coil is connected to a smooth spherical antenna and the end of coil at the outside is connected to ground. There are only few numbers of coils in the primary coil but the diameter of the wire of primary coil is much larger than the diameter of the wire of secondary coil.

The complete Tesla scalar system consists of two same Tesla coils, one is the transmitter and the other one is the receiver. When the two Tesla coils get the true resonance, the scalar wave will be generated. According to Prof.K.Meyl, the condition of the scalar wave resonance is:

- (1) **The same frequency;**
- (2) **The same wave shape, respectively modulation;**
- (3) **The opposite phase shift [3].**

The most important condition is the opposite phase shift between the transmitter coil and the receiver coil. When the three conditions are met, the scalar wave will be generated. The dual Tesla coil system can be also called the Phase-Conjugate-Resonator.

The Phase-Conjugate-Resonator in this work consists of two standard pancake Tesla coils, which are made on printed circuit board. The advantage of using the printed circuit board to make the coils is that it can ensure the two coils produced by factory are extremely same. One Tesla coil acts as the transmitter and the other coil acts as the receiver.

The secondary coil is printed on the top of the printed circuit board and the total length of the secondary coil is 16 meters. The center of the secondary coil is connected to a series of pillars of brass, and at the end of the series of pillars of brass, a stainless steel ball whose diameter is about

150mm is connected. The outside end of the secondary coil is connected to a ground line, which is the link of the transmitter and receiver.

The primary coil is printed under the printed circuit board with wider copper wire. The primary coil is connected directly to the output of the RF driver circuit. At the exact resonance frequency, there will be low impedance at the primary coil of the transmitter. So the RF driver should be a special one, this will be discussed later.

The two coils of the Phase-Conjugate-Resonator are in Figure 4.



Figure4. The two Tesla coils in Phase-Conjugate-Resonator

The signal generator and the RF amplifier circuit are also needed for driving the transmitter of the Phase-Conjugate-Resonator. The signal generator is DDS type, frequency range is 0-8 Mhz, the output impedance is standard 50 Ohms, which is suitable for the input impedance of RF amplifier. The RF amplifier is a kind of class AB amplifier, whose bandwidth is 3-30 Mhz and designed power is 45 watts. But the output impedance of the RF amplifier should not be 50 Ohms because of the low impedance of the primary coil of transmitter coil. So the impedance of primary coil and the output impedance of RF amplifier should be matched.

As to the adjustment of the Tesla Phase-Conjugate-Resonator, we should pay attention to what N.Tesla said in 1927:

"The mode of propagating the currents from the transmitter through the terrestrial globe is most extraordinary considering the speed of the electrification of the surface. The wave starts with a theoretically infinite speed, slowing down first very quickly and afterwards at a lesser rate ... The mean surface speed is thus about 471,200 kilometers per second -- fifty seven percent greater than that of the so-called Hertz waves -- which should propagate with the velocity of light if they exist ... in the system I have devised only force is conveyed to all points of the earth, the energy itself travelling in definite paths determined beforehand. Perhaps the most wonderful feature is that the energy reaches the receiver without the slightest dispersion, so that an incomparably greater amount is collected than is possible by radiations [4]."

Prof.K.Meyl also talked about the transmission of scalar wave with 1.5 times the speed of light [5]. In this work, there are two frequencies, one is the frequency of LC resonance, other one is the frequency of Phase-Conjugate-Resonance. According to 1/4 wavelength theory, the wavelength would not change with the same coil, so the ratio of speeds would be equal to the ratio of frequencies. In this work, the frequency of LC resonance is 2.65 Mhz, and the frequency of Phase-Conjugate-Resonance is 4.17 Mhz, so the ratio of these two frequencies is about 1.57 .

That's the whole configuration of the Phase-Conjugate-Resonator, corresponding to the condition of scalar wave.

2.2. Methodology

There are many methods for detecting torsion field, see [6]. In this work, the torsion balance consisting of a wooden frame is chosen to detect the torsion field generated by the dual Tesla coil system.

The torsion balance method is very sensitive and it can be rotated by torsion field directly. In [7, 8], this method was used by V.Zamsha and V.Shkatov in their telekinetic experiment with two photos at distance of about 8000 kilometers. There was obvious rotation of wooden frame after the palm was near the photo of wooden frame remotely. The video of this experiment is in [9].

There are also many experiments showing this method by V.Zamsha in [10, 11, 12]. In these experiments, the wooden frame was rotated by the photo of crystal, the hands, the photo of human and the torsion field generator.

Of course this method is also verified by other scientists and is also easy-built. So it's chosen in this work. The wooden frames used in experiments are in figure5. There are different sizes of them, the side length of left frame is 148mm and the side length of right frame is 206mm.

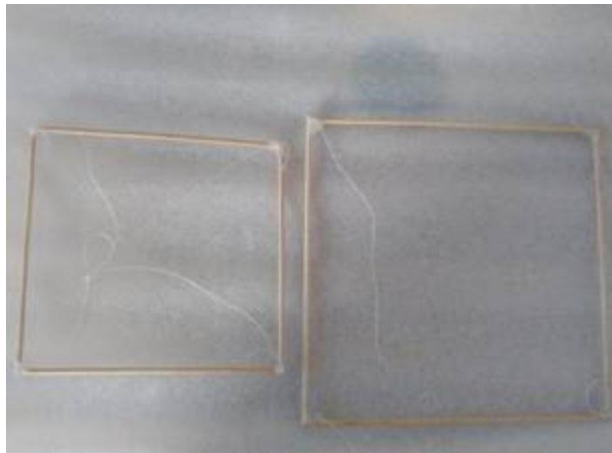


Figure5. The wooden frames used in experiments

2.3. The full configuration of hardware

In this part, all kinds of the hardware are combined to a whole system to conduct the experiment. The full configuration is in Figure6.

In this configuration, the transmitter is put on the table. The receiver is put into a closed hardboard box on the ground. The wooden frame is suspended at the top of the stainless steel ball antenna by a very thin line.

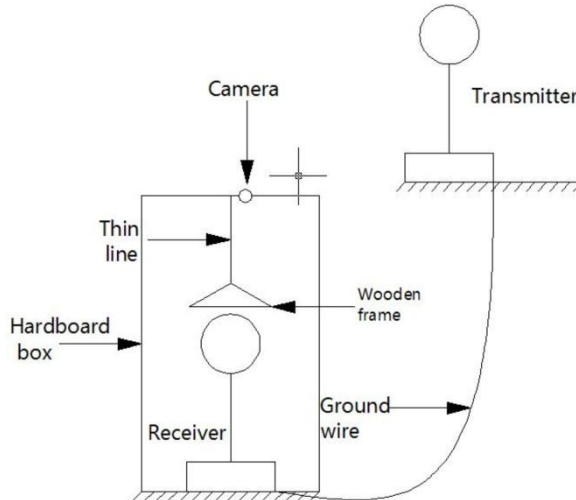


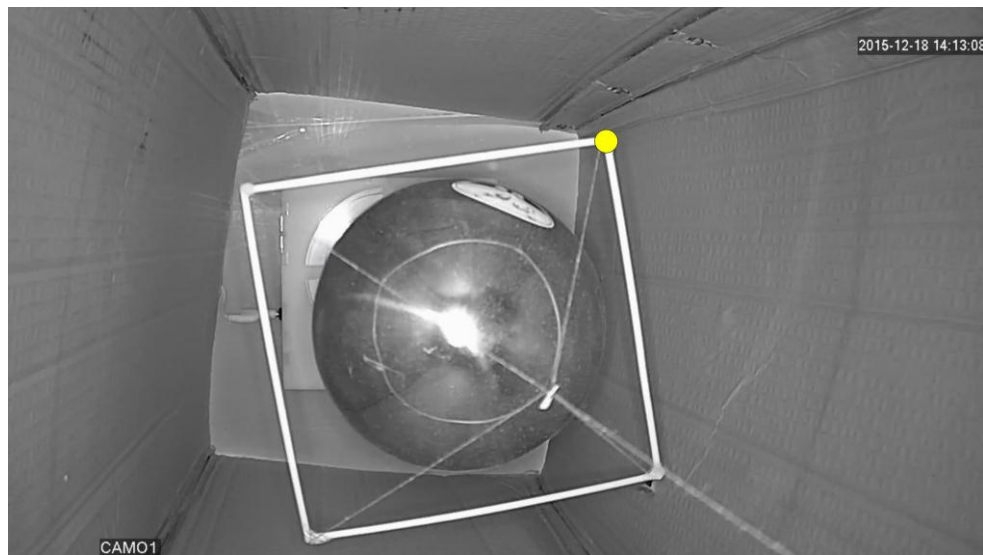
Figure6. The full configuration of experiments

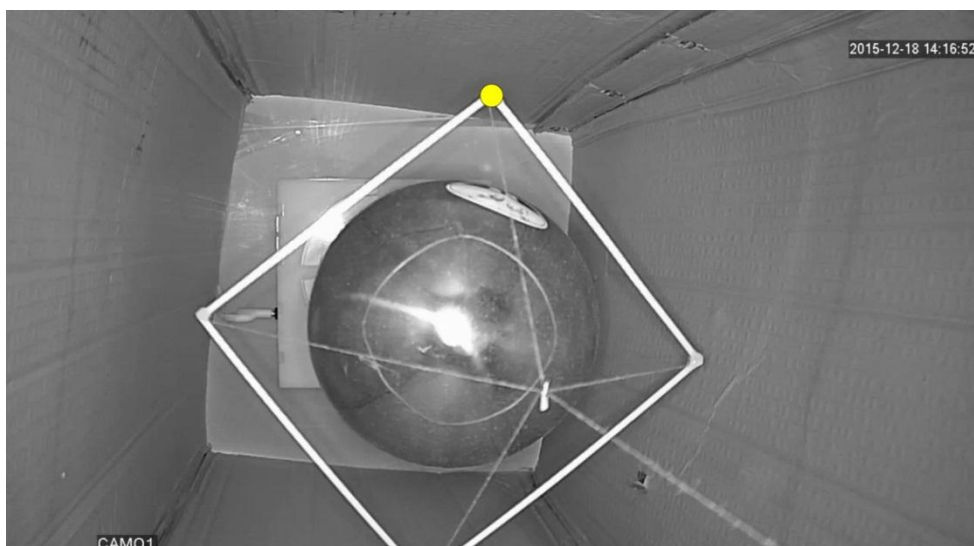
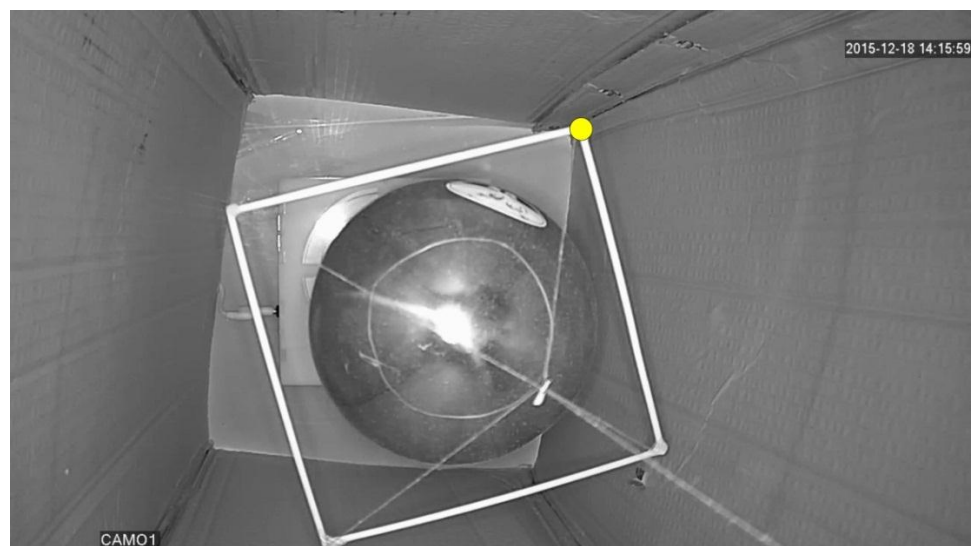
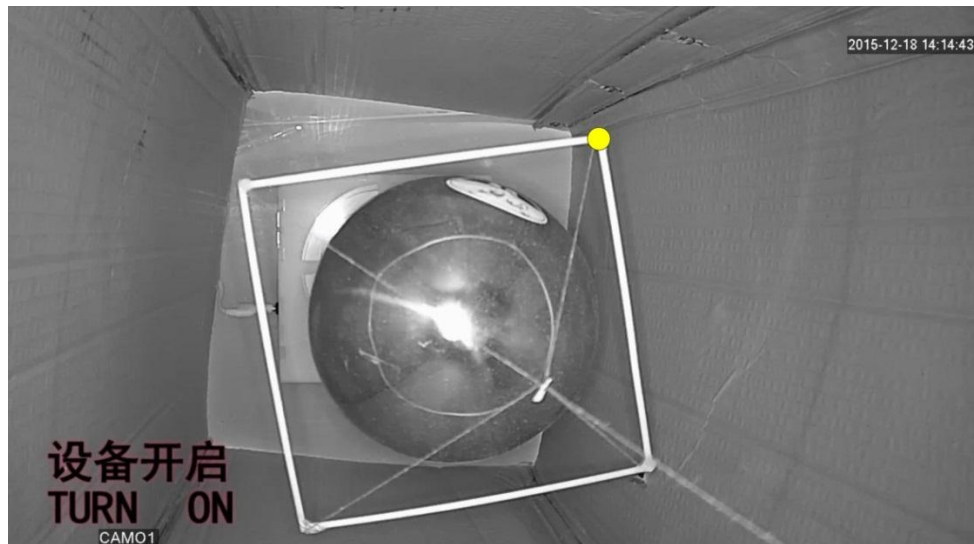
The other side of this thin line is connected at the center of the top cover of box. There is a hole next to the center at the top cover of box, it's used to place a WIFI camera here. Then the scene in the box can be watched in real time at any place.

3. Experimental process

In this section, the experiment process will be described in detail. There are two representative and independent experiments in this part. The torsion balance consisting of the wooden frame is used in the experiments.

In the first experiment, the wooden frame whose side length is 148mm was used. The wooden frame was put into the hardboard box hung by a very thin line. Then the hardboard box was closed and the author used the WIFI camera to watch the inside of the box on the computer a few meters away. Before the beginning of this experiment, the author let the wooden frame be relaxed until it was static. The relax time was more than 24 hours, and the screen on the computer showed that the wooden frame was almost static. The static wooden frame could not rotate in a closed box if there was no extern force. The process is in block figure7 and the video [13].





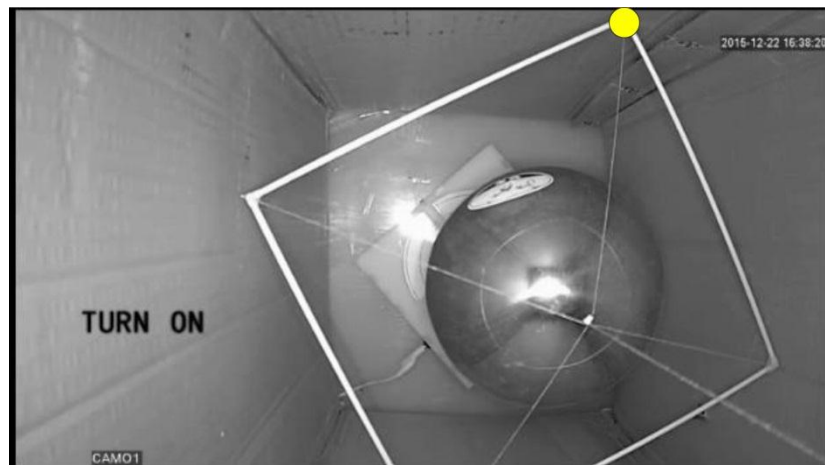
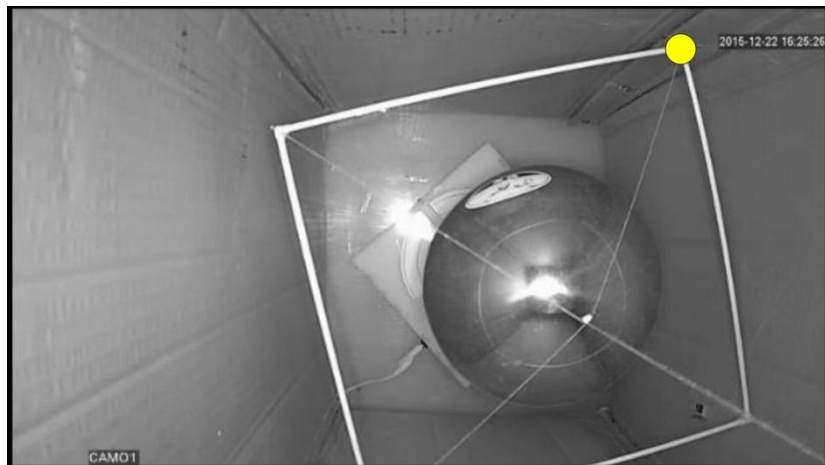
Block figure7. Sample positions of the wooden frame in the first experiment, one of the corners was marked using a yellow circle.

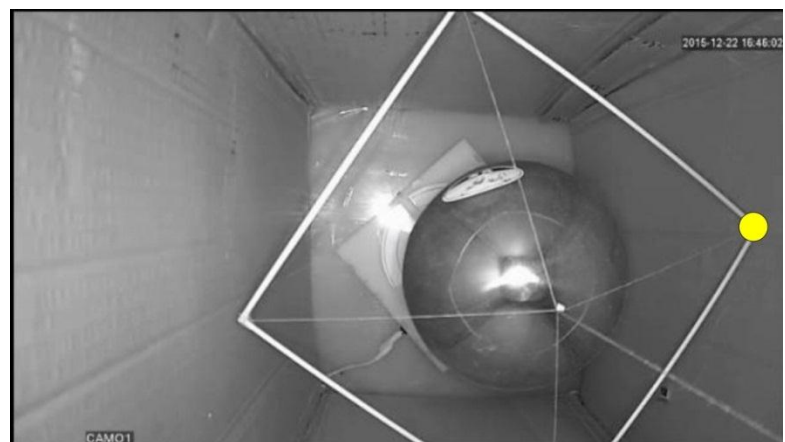
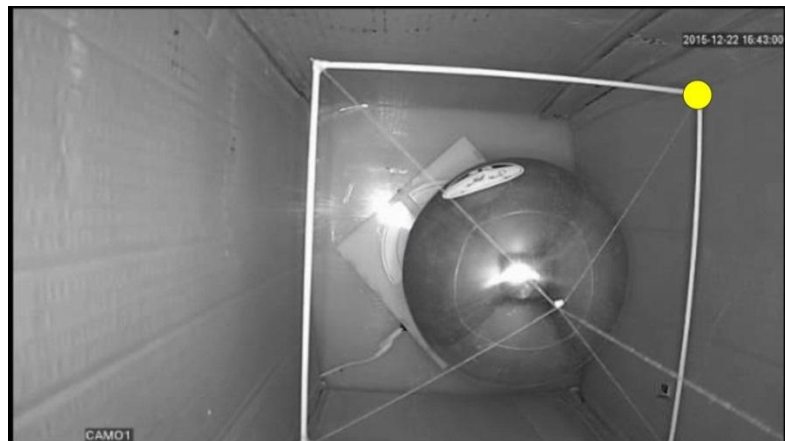
As we can see from the video, there is regular movement of the wooden frame. The direction of rotation was counter clockwise from the camera. At first stage, the angular acceleration of wooden frame was the largest at the beginning of the movement, then the acceleration would become smaller and smaller because the torque force of the thin line whose direction was opposite

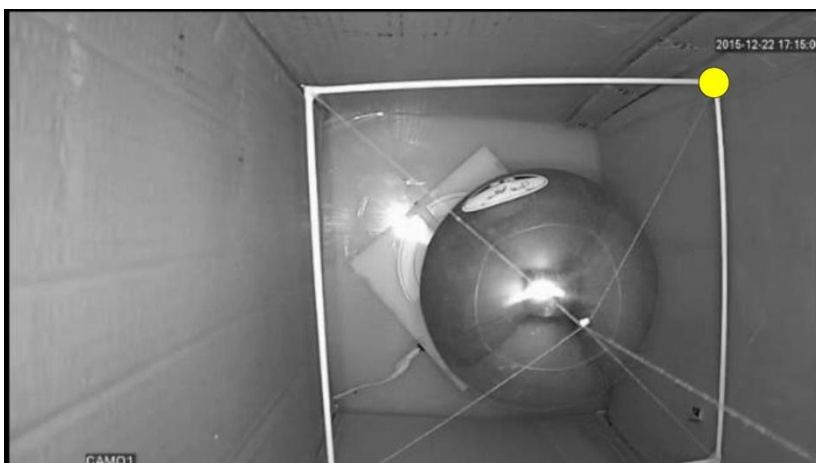
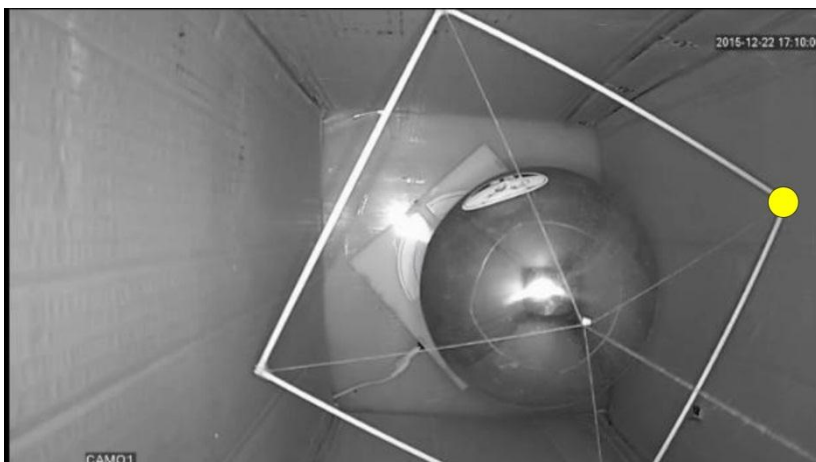
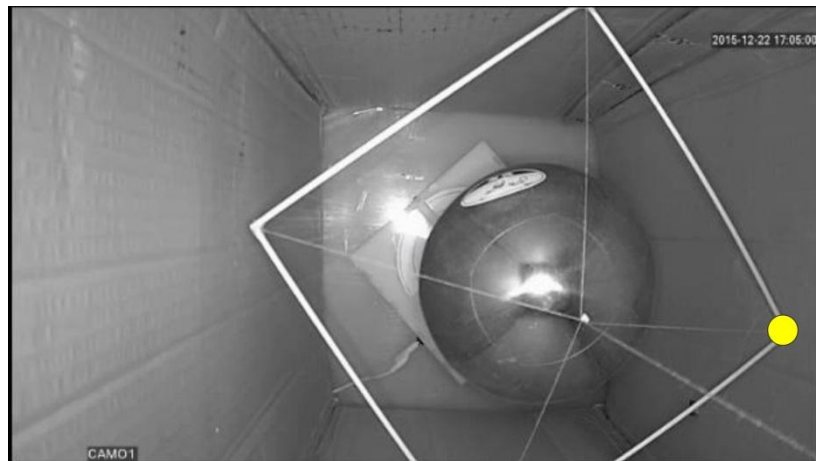
to the direction of torsion field force would become larger and larger. And the angular speed of wooden frame would be larger and larger. At second stage, the angular speed of wooden frame became largest when the torque force of the thin line was equal to the torsion field force generated by the dual Tesla coil. Then the angular acceleration would change its direction and became larger and larger because the torsion field force didn't change but the torque force of the thin line became larger and larger as the wooden frame rotated. The angular speed of wooden frame would be smaller and smaller until the wooden frame stopped.

Then the wooden frame would be back and forth for several times as the law said above. At last, the wooden frame would be static in a position, where the torque force of the thin line was equal to the torsion field force. This position would be between the original position and the maximum angular position of the wooden frame. In fact, the wooden frame would back to the original position after turned off the device. But this process was not in this video. It will be discussed in the second experiment.

In the second experiment, the wooden frame whose side length is 206mm was used. This larger wooden frame was in the same position as in the first experiment. Other configuration was also the same. But in the second experiment, the author didn't wait until the wooden frame was static, because the wooden frame was more sensitive with larger size. It was very difficult to let the wooden frame be absolutely static. So the second experiment began when the wooden frame was oscillating back and forth in a small scale. If the wooden frame rotated in a large scale after turning on the device, it also could show some significant results. The process is in block figure8 and the video [14].







Block figure8. Sample positions of the wooden frame in the second experiment, one of the corners was marked using a yellow circle.

The video is 4X speed faster than the normal speed of the original video, because the original video is too long. As we can see, the sample positions are also more than the first experiment, because the movement back to the original position is also recorded in this video.

In the second experiment, there was also regular movement of wooden frame. But there was obvious difference between the first experiment and the second experiment. The direction of rotation was clockwise from the camera. Before the beginning of the second experiment, the wooden frame was not static but it was already oscillating back and forth in a small scale. After turning on the device, the wooden frame began to rotate just like the law in first experiment. The total path of the wooden frame was nearly half a circle. It was a obvious result driving by the torsion field force.

There was also a more complete movement process in the second experiment compared with the first one. The process back to the original position was recorded too after turning off the device. As we can see from block figure8, after turning off the device, the wooden frame began to rotate in counter clockwise. Because there was no torsion field force in this time, there was only torque force of the thin line itself in this time. So this force would drive the wooden frame to the original position before the beginning of the experiment.

4. Analysis of results

The results above can be replicated in other author's experiments. The wooden frame whose side length is 148mm rotates in counter clockwise from the camera but the one whose side length is 206mm rotates in clockwise from the camera.

There is regular movement in both of these two experiments, it's obvious that it can't be the random factors leading to the movement of wooden frame.

4.1. The dual vortex structure

Because the two wooden frames are in the same position at the top of the antenna of receiver coil in dual Tesla coil system, just the side length of these two wooden frames is different. So we can move the two wooden frames in one plane in figure9 to analyze.

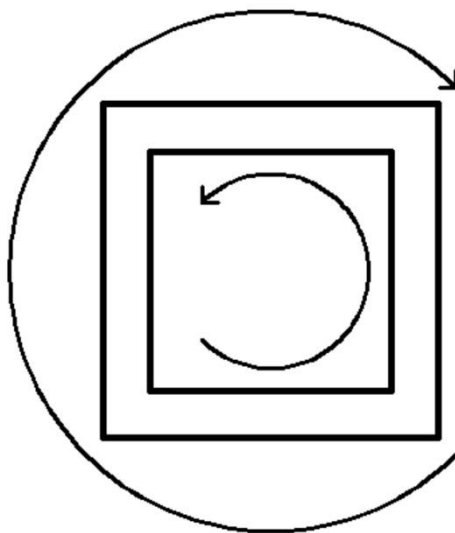


Figure9. Two wooden frames in one plane from the camera

As we can see in figure9, only the side length of two wooden frames is different, other conditions are all the same in these two experiments. But there are two kinds of torsion field including left-handed and right-handed are detected in dual Tesla coil system. It seems that there is a dual vortex structure in scalar wave.

As everyone knows, there is dual vortex phenomena in fluid mechanics. Leonardo da Vinci had observed in liquids the two basic types of vortices in duality: "*one of these vortices moves slower at the center than it does at its perimeter and the other moves faster at its center than it does along the perimeter [15].*"

And according to Prof.K.Meyl's scalar wave theory, there are two basic types of vortices too. One is the current vortex which has the property of expansion and the other one is the potential vortex which has the property of concentration found by Prof.K.Meyl.

The tornado is a kind of typical phenomena of dual vortex. It consists of expanding vortex from inside and counter vortex contracting from outside. From the results of this work, the dual vortex structure is also detected using two wooden frames with different sizes. So there is the "electromagnetic tornado" in dual Tesla coil system, the author thinks it's a basic structure for

wireless energy transmission.

4.2. Scalar wave consists of non-stationary spinning

In one of the Dr.M.Kricker's works, the 14g disk suspended inside the double quadrupole spinner turned for about 10 degrees. The spinning in the quadrupole spinner was modulated in amplitude specially, so the non-stationary spinning was generated to drive the disk [16].

Non-stationary spinning is very important to generate the mechanical torque which can rotate the wooden frame. According to the model of scalar wave in Figure3, there are many vortices with different diameters perpendicular with the direction of transmission. These vortices follow the Lorenz Transformation. When the diameter of vortex is the maximum, then the angular speed is the minimum at the anti-node; when the diameter of vortex is the minimum, then the angular speed is the maximum at the node. The angular speed of the vortices between anti-node and node are different and the scalar wave is a kind of longitudinal wave with the property of oscillation, so the vortices of scalar wave are a kind of non-stationary spinning.

5. Conclusions and further developments

In this work, author mainly did many experiments using the torsion balance consisting of wooden frame. Two typical experiments are chosen to be analyzed. To be honest, the second experiment is not designed intentionally. Author just wants to improve the sensitivity using the larger wooden frame at first, but the opposite direction is detected. Author believes that the size of dual vortex structure generated by dual Tesla coil system can be changed with different power.

Some conclusions:

- The nature of scalar wave is torsion field.
- There are two kinds of torsion field including left-handed and right-handed in the resonant dual Tesla coil system. They are combined to become a tornado structure.
- The vortices of scalar wave are a kind of non-stationary spinning.
- The torsion balance consisting of wooden frame is a sensitive method to detect the torque generated by the torsion field.

Of course this work is just a beginning, further exploration and experiments are needed. For example, testing with different driving power for Tesla scalar system; testing with different position of wooden frame; testing the transmitter coil and receiver coil of Tesla scalar system simultaneously; testing Tesla scalar system for non-local effects and so on.

6. Acknowledgment

Author would like to thank V.Shkatov and V.Zamsha, who wrote the book called "Torsion Field and Interstellar Communication". Author got Mr.V.Zamsha's permission to translate this book into a Chinese version and spread it for free. There is no this book, then there is no this work. Author also would like to thank Mr.M.Kricker for some discussions and the joint non-local experiments. Further more, author would like to thank Association of Unconventional Science and Cybertronica Research for their translated English version papers and files about torsion field.

7. Reference

- [1] Vesperman. Gary. Space travel innovations.
- [2] Nikola Tesla. Apparatus for transmission of electrical energy. May 15, 1900. US Patent 649,621.
- [3] Konstantin Meyl. Dna and cell resonance. INDEL G mb H Verlagsabteilung, Villingen-Schwenningen,(2ndedn), Germany, 2011.

- [4] Nikola Tesla. World system of wireless transmission of energy. Telegraph and Telephone Age, 1927.
- [5] Konstantin Meyl. Scalar waves: Theory and experiments1. Journal of Scientific Exploration, 15(2):199–205, 2001.
- [6] Serge Kernbach. On metrology of systems operating with high penetrating emission. International Journal of Unconventional Science, 1(2):76–91, 2013.
- [7] Vitaliy Zamsha and Victor Shkatov. Telekinetic experiment with two photos at distance of about 8,000 kilometers.
- [8] Victor Shkatov and Vitaliy Zamsha. Torsion field and interstellar communication. 2015.
- [9] Victor Shkatov and Vitaliy Zamsha. <https://youtu.be/ld7-hk5xmzq>.
- [10] Vitaliy Zamsha. <https://youtu.be/mm8ih3q-3nq>.
- [11] Vitaliy Zamsha. <https://youtu.be/ucw0hq687ds>.
- [12] Vitaliy Zamsha. <https://youtu.be/e7pivjo-v4>.
- [13] Gao Peng. <https://www.youtube.com/watch?v=uosaexjbsgm>.
- [14] Gao Peng. <https://www.youtube.com/watch?v=kvkbocxkhxe>.
- [15] Konstantin. Meyl. About vortex physics and vortex losses. Journal of Vortex Science and Technology, Ashdin Publishing, Vol. 1 (2012), (Article ID 235563):10 pages doi:10.4303/jvst/235563, 2012.
- [16] Mark Krinker. Some physical aspects of artificial and natural field gyroscopes. relation to atmospheric phenomena and geo-pathogenic zones. 2014.

ПОПЫТКИ ОБНАРУЖИТЬ ТОРСИОННЫЙ ХАРАКТЕР ПОЛЯ СКАЛЯРНОЙ ВОЛНЫ, ГЕНЕРИРУЕМОЙ ДВОЙНОЙ СИСТЕМОЙ КАТУШЕК ТЕСЛЫ

Gao Peng

The Scalar Wave Technology Research Web, Китай
Лаборатория Beijing Wellan Century Co., Ltd

gpufo@outlook.com

Впервые скалярные волны были обнаружены Николой Тесла и использованы в его экспериментах по беспроводной передаче энергии. Проф. К. Мэйл расширил уравнения Максвелла и нашёл скалярные волны как недостающую их часть. Теория скалярных волн, предложенная проф. К. Мэйлом, указывает, что скалярные волны имеют торсионный характер. Данная работа пытается обнаружить торсионный характер скалярных волн, генерируемых двойной системой катушек Теслы, используя крутильные весы в виде деревянной рамки. Результат положительный: обнаружены два вида кручения, левое и правое в двойной системе катушек Теслы.